



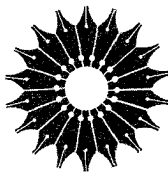
# مکانیک کوانتومی

جلد اول

کلودکوهن - تانوجی  
برنارد دیو  
فرانک لالوئه

ترجمه

محمد فرهاد رحیمی  
محسن سربیشه‌ای



# مکانیک کوانتومی

جلد اول

کلود کوهن - تانوجی  
برنارد دیو  
فرانک لالوئه

ترجمه

محمد فرهاد رحیمی محسن سربیشه‌ای

مرکز نشر دانشگاهی

## فهرست

عنوان	
صفحه	
۱	رهمودهای کاربرد
۳	مقدمه
۷	پیشگفتار
۹	فصل اول : امواج و ذرات ، درآمدی برایدهای اساسی مکانیک کوانتومی
۱۰	رئوس مطالب فصل اول
۱۳	A ، امواج الکترومغناطیسی و فوتونها
۲۴	B ، ذرات مادی و امواج ماده
۲۹	C ، توصیف کوانتومی یک ذره .
۴۲	D ، ذره در یک پتانسیل نرداری مستقل از زمان
۵۵	مکملهای فصل اول راهنمای خواننده
۵۷	A <sub>1</sub> : مرتبه بزرگی طول موجهای واپسنه به ذرات
۶۱	B <sub>1</sub> : قیدهای تحمیل شده توسط روا بط عدم قطعیت
۶۴	C <sub>1</sub> : روابط عدم قطعیت و فراستجهمای انتی
۶۸	D <sub>1</sub> : یک نمایش تجربی از رابطه عدم قطعیت
۷۱	E <sub>1</sub> : یک بررسی ساده از بسته موج دو بعدی
۷۶	F <sub>1</sub> : ارتباط بین مسائل یک بعدی و سه بعدی
۸۲	G <sub>1</sub> : بسته موج گوسی یک بعدی . گستردنگی بسته موج
۹۰	H <sub>1</sub> : حالتهای مانای یک ذره در پتانسیلهای مربعی یک بعدی

صفحه

۱۰۷

۱۱۷

۱۲۳

۱۲۴

۱۲۹

۱۴۸

۱۶۸

۱۸۱

۲۰۰

۲۱۱

۲۲۷

۲۲۸

۲۲۹

۲۴۴

۲۵۳

E<sub>II</sub>

۲۶۶

۲۷۶

۲۸۱

۲۹۱

۲۹۲

۲۹۴

۲۹۶

۳۱۲

۳۲۶

۳۴۹

عنوان

J<sub>I</sub> : رفتار یک بسته موج در یک پله پتانسیلK<sub>I</sub> : تمرینات

## فصل دوم : ابزارهای ریاضی مکانیک کوانتومی

رئوس مطالب فصل دوم

A : فضای توابع موج یک ذره

B : فضای حالتها ، نمادگذاری دیراک

C : نمایشها در فضای حالتها

D : معادلات ویژه مقداری ، مشاهده‌پذیرها

E : دو مثال مهم از نمایشها و مشاهده‌پذیرها

F : حاصلضرب تansوری فضاهای حالت

مکملهای فصل دوم

راهنمای خواننده

A<sub>II</sub> : نامساوی شوارتزB<sub>II</sub> : مروری بر بعضی خواص مفید عملگرهای خطیC<sub>II</sub> : عملگرهای یکانیD<sub>II</sub> : مطالعه مفصل تر نمایشها {r} و {p}E<sub>II</sub> : چند خاصیت عمومی دو مشاهده‌پذیر Q و P ، که جابجاگر آنها برای  $\hat{a}$  است .F<sub>II</sub> : عملگر پاریتهG<sub>II</sub> : کاربرد خواص حاصلضرب تansوری . چاه نامحدود دو بعدیH<sub>II</sub> : تمرینات

## فصل سوم : اصول موضوع مکانیک کوانتومی

رخوس مطالب فصل سوم

A : مقدمه

B : بیان اصول موضوع

C : تعبیر فیزیکی اصول موضوع مرسوط به مشاهده‌پذیرها و اندازه‌گیری آنها

D : مفاهیم فیزیکی معادله شرودینگر

E : اصل برهم نهش و پیش بینی های فیزیکی

صفحه	عنوان
	مکملهای فصل سوم
۳۷۰	راهنمای خواننده
۳۷۳	$A_{III}$ : ذره در یک چاه پتانسیل مربعی
۳۸۶	$B_{III}$ : مطالعه جریان احتمال در چند مورد خاص
۳۹۳	$C_{III}$ : انحرافهای ریشه‌های میانگین مربعی دو مشاهده پذیر همیوغ
۳۹۷	$D_{III}$ : اندازه‌گیریها بی که فقط روی یک قسمت از دستگاه فیزیکی انجام می‌شود
۴۰۴	$E_{III}$ : عملگر چکالی
۴۲۲	$F_{III}$ : عملگر تحول
۴۲۷	$G_{III}$ : دیدگاههای شرودبینگر و هایزنبرگ
۴۳۱	$H_{III}$ : تغییرناپذیری پیمانهای
۴۵۰	$J_{III}$ : انتشاردهنده معادله شرودبینگر
۴۶۱	$K_{III}$ : حالتهای ناپایدار طول عمر
۴۶۶	$L_{III}$ : تعریبات
۴۷۸	$M_{III}$ : حالتهای مقید یک ذره در یک "چاه پتانسیل" باشکل دلخواه
۴۸۸	$N_{III}$ : حالتهای نامقید یک ذره در حضور یک چاه پتانسیل باشکل دلخواه
۴۹۸	$O_{III}$ : خواص کوانتومی یک ذره در یک ساختار تناوبی یک بعدی
۵۲۳	فهرست راهنمای

## رهنمودهای کاربرد

این کتاب از چندین فصل و مکملهای مربوط به آنها تشکیل شده است: فصلها شامل مفاهیم اساسی هستند. به جز تغییرات و اضافاتی چند، فصلها متراffد با درسی هستند که "عمولاً" در سال آخر برنامهٔ دورهٔ کارشناسی (لیسانس) فیزیک ارائه می‌شود.

این چهارده فصل به نوبهٔ خود کامل‌اند و می‌توان آنها را مستقل از مکملهایشان مطالعه کرد.

مکملها بدمبایل هر فصل می‌آیند، و به صورت "راهنمای خواننده"، نکات مشکل و مهم هر فصل را مورد بحث قرار می‌دهند. هر فصل توسط یک "حرف" که با یک شاخص پایین همراه است و شمارهٔ فصل مربوطه را بیان می‌کند، برچسب می‌خورد (مثلاً "مکملهای فصل پنجم به ترتیب عبارتند از A<sub>7</sub>، B<sub>7</sub>، C<sub>7</sub> . . . ."). مکملها را می‌توان بلافاصله با نماد ● که در بالای هر یک از صفحات آنها ظاهر می‌شود، بازشاخت.

مکملها متفاوت‌اند. برخی، به منظور گسترش بررسی فصل مربوطه یا بحث مفصلتر پیرامون بعضی نکات هستند؛ بقیه، مثالهای بارزی را توصیف می‌کنند یا مفاهیم فیزیکی گوناگونی را معرفی می‌نمایند.

میزان مشکلی مکملها نیز متفاوت است. برخی از آنها مثالهای خیلی ساده یا ادامهٔ فصل می‌باشند، در حالیکه بقیه مشکلتراند و بعضی از آنها در سطح دورهٔ کارشناسی ارشد ( فوق لیسانس ) می‌باشند. به هر حال، خواننده باید پیش از استفاده از مکملها، مطالب هر فصل را خوانده باشد.

دانشجو نباید سعی کند که تمام مکملهای یک فصل را در یک نوبت بخواند. بلکه باید بنا به هدف و علاقه‌ای که دارد، تعداد کمی از آنها (مثلاً "دو یا سه‌تا") را، بخلافه چند تمرین انتخاب کند، سایر مکملها را می‌توان برای مطالعات بعدی گذاشت. بعضی از قسمت‌های کتاب با حروف ریز چاپ شده‌اند و می‌توان آنها در مطالعات اولیه حذف کرد.

## مقدمه

### ساختار و سطح کتاب

تأکید بر اهمیت مکانیک کوانتومی در فیزیک و شیمی نوبن چندان ضروری به نظر نمی‌رسد. برنامه‌های جاری دانشگاه‌ها طبیعتاً این اهمیت را منعکس می‌سازند. مثلاً در دانشگاه‌های فرانسه، در سال دوم، "مقدمه‌ای سبیتا" کیفی برایده‌های اساسی مکانیک کوانتومی ارائه می‌شود. در سال آخر برنامه دوره‌های کارشناسی، مکانیک کوانتومی مقدّماتی و مهمترین کاربردهای آن مفصلانه "مود مطالعه قرار می‌گیرد.

کتاب حاضر نتیجهٔ مستقیم چندین سال تدریس مکانیک کوانتومی در سال آخر برنامه دوره‌های کارشناسی است، که نخست به صورت دو درس به موازات هم در داشکدهٔ علوم پاریس و سپس در دانشگاه پاریس تدریس گردید. ما این نکته را مهم یافتیم که در ساختار این کتاب بین دو جنبهٔ متفاوت ولی مکمل یکدیگر (جلسات تدریس و پرسش و پاسخ) تمايز مشخصی قائل شویم. به این دلیل است که کتاب را به دو قسمت متمایز تقسیم کرده‌ایم (رک "رهنمودهای کاربرد" در ابتدای کتاب). از یکسو، فصلها مبتنی بر جلسات تدریس در دو درس فوق الذکر هستند، که ما پیش از نوشتن متن نهایی آنها را باهم مقایسه کرده و گسترش داده‌ایم. از سوی دیگر، "مکملها" از دل پرسش و پاسخها، تمرینها و مسائل داده شده به دانشجویان، و گزارش‌هایی که برخی از آنها تهیه گردند بیرون آمده‌است، ایده‌هایی نیز از درس‌های دیگری که تحت شرایط یا سطوح دیگری [مخصوصاً] در برنامه‌های کارشناسی ارشد ( فوق لیسانس ) مداده شده‌اند، سرچشمه گرفته است. همان‌طور که در "رهنمودهای کاربرد" اشاره کردیم، فصلها به صورت یک کل، کم و بیش، درسی را تشکیل می‌دهند که منظور ما تدریس آن به دانشجویان سال چهارم دانشگاه یا کسانی است که سطح دانش آنها هم ارز با آن است. با این همه، منظور از مکملها آن نیست که در یک سال بررسی شوند.

خواننده، استاد یا دانشجو باید از میان آنها طبق علاوه، سلیقه یا هدفها یعنی قسمتهایی را انتخاب کند.

در سرتاسر این کتاب، مخاطب ما دانشجویان رشته فیزیک هستند، یعنی همانهایی که آموزششان را در چند سال گذشته به عنده داشته‌ایم. بهجز در تعداد محدودی از مکملها، ما از این حد تجاوز نکرده‌ایم. علاوه بر این، سعی کردیم که مشکلات دانشجویان را در ادراک و حذب مکانیک کوانتمی، و نیز شوالات آنرا در نظر بگیریم. البته، امیدواریم که این کتاب برای سایر خوانندگان، نظیر دانشجویان دوره کارشناسی ارشد، محققین نازهه کار و دیپران دیگرستانها نیز قابل استفاده باشد.

خواننده لزومی ندارد که با فیزیک کوانتمی آشنا باشد؛ تعداد محدودی از دانشجویان ما آشنا بودند. با این همه، ما معتقدیم که درس مکانیک کوانتمی پیشنهادی ما (رک "روش کلی" در زیر) باید توسط درس توصیفی تری که شامل جنبه‌های عطی تری است، نظیر فیزیک اتمی، تکمیل شود.

## روش کلی

احساس ما براین است که بهترین راه آشنایی با مکانیک کوانتمی، حل بعضی مسائل خاص است. بنابراین ما اصول موضوع مکانیک کوانتمی را خیلی زود معرفی می‌کنیم (در فصل سوم)، تا بتوانیم آنها را در قسمتهای بعدی کتاب به کار ببریم. تجربه تدریس ما نشان داده است که بهتر است تمام اصول موضوع را یکباره باهم در ابتدای معرفی کنیم تا در چندین مرحله، همچنین، فضاهای حالت و نمادگذاری دیراک را از ابتدای کاربرده‌ایم. این کار ما را از تکرار بیهوده‌ای که از ارائه صورت‌بندی کلی تر برآورده باشد فقط پس از توسعه مکانیک موجی منحصراً برجسب توابع موج ناشی می‌شود، برحدار می‌دارد. علاوه بر این، یک تغییر دیرهنگام در نمادگذاری ممکن است دانشجو را گیج کند، و شکهای را در مفاهیمی که او تازه با آنها آشنا شده و هنوز کاملاً "جذب نکرده است، به وجود آورد.

پس از یک فصل درباره معرفی کیفی ایده‌های مکانیک کوانتمی، که مانستگی‌های اپتیکی را برای آشنا ساختن خواننده با این مفاهیم جدید به کار می‌برد، با یک روش سیستماتیک ابزار ریاضی (فصل دوم)، و اصول موضوع مکانیک کوانتمی را همراه با بحثی پیرامون محتوای فیزیکی آنها ارائه می‌کنیم (فصل سوم). این کار، خواننده را از ابتدای قادر می‌سازد که یک دید کلی از پیامدهای فیزیکی اصول موضوع جدید داشته باشد. از مکملهای فصل سوم به بعد، به بحث پیرامون کاربردها خواهیم پرداخت، شروع از ساده‌ترین آنها

(سیستم‌های دو- ترازی، نوسانگر هماهنگ، و غیره) و رفته رفته پرداختن به موضوعهای پیچیده‌تر (اتم هیدروژن، روش‌های تقریبی، و غیره). هدف ما این است که نمایشهاي از مکانيك کوانتمي را با راهه مثالهای زيادي از زمينه‌های متفاوت مانند فيزيك اتمي، فيزيك مولکولي و فيزيك حالت جامد به دست دهيم . در اين مثالها ما توجهمان را به جنبه‌های مکانيك کوانتمي پديدده‌ها متمرکر خواهيم کرد ، و غالباً "از جزئيات خاصی که در کتابهای تخصصی تر مورد بررسی قرار می‌گيرند ، چشم پوشی خواهيم نمود . هرگاه ممکن باشد ، نتایج مکانيك را با نتایج کلاسيك مقایسه می‌کنيم تا خواننده بتواند ادراک خود را پيرامون آثار مکانيك کوانتمي توسعه دهد .

اين نظرگاه اساساً قياسي باعث شده است که ما از تکيه کردن بر معرفی تاريخی ایده‌های مکانيك کوانتمي ، يعني ، ارائه و بحث واقعيت‌های تجريبي که مارا به ردي ایده‌های کلاسيك و می‌دارد ، خودداری کنيم . بنابراین ما مجبور بوده‌ایم که از روش استقرارايی صرف نظر کييم ، و حال آنکه در توصيف صحيح فيزيك به عنوان علمي که به خاطر مواجهه داشم با واقعيت‌های تجريبي دائمًا در حال تکامل است ، استفاده از اين روش ضروري است . چنین روشی به نظر می‌رسد که برای يك کتاب درسي فيزيك اتمي یا يك درس مقدماتي فيزيك کوانتمي در سطحي پايان‌تر ، مناسبتر باشد .

همچنین ، ما تعمداً "از هرگونه اشاره فلسفی پيرامون مکانيك و تعبيرهای ديجري که پيشنهاد شده‌اند خودداری کرده‌ایم . اينگونه بحثها ، در حالی که خيلي جالب هستند (رك بخش ۵ از کتابشناسي ) ، به نظر ما به سطح ديجري تعلق دارند . ما احساس می‌کنيم که اين سوالها می‌توانند فقط پس از احاطه بر نظریه "رسمی" کوانتمي ، که موقفيت موثر آن در تمام زمينه‌های فيزيك و شيمي پذيرش آنرا تحميل کرده است ، در نظر گرفته شوند .

## قدرشناسی

تجربيات آموزشی که اين کتاب شمره آن است ، کارهایي گروهی بوده است که در طول چندين سال انجام شده است . ما از تمام اعضاء گروههای مختلف و مخصوصاً "از ڈاک دوپون- رُک و سرژه هاروش ، برای همکاری دوستانه‌شان ، و بحثهای مفیدی که در گردهمائيهای هفتگی مان داشته‌ایم و ايده‌هایي که برای مسائل و تمرি�نهای پيشنهاد شده‌اند سپاسگزاری می‌کنيم . بدون کمک بالازش و صمیمانه آنها ، ما هرگز نمی‌توانستیم تأليف اين كتاب را به آنجام برساییم .

همچنین ما نمی‌توانیم دین خود را به فيزيكدانانی که مارا با تحقیق آشنا کردند ،

یعنی آلفرد کاستلر و جین بروسل در مورد دوتای ما و موریس لوی در مورد سومین نفر ، فراموش کنیم . در آزمایشگاههای آنها بود که ما زیبا یی و توان مکانیک گوانسومی را کشف کردیم . همچنین ما اهمیت آموزش فیزیک نوین توسط آلبرت مسیاه ، کلود بلاخ و آناتول آبراگام در A.C.E. را ، هنگامی که مطالعات فوق لیسانس هنوز در برنامه های دانشگاهی فرانسه یکپارچه نشده بود ، فراموش نکردیم .  
از با توان اوشه ، بودری ، بوی ، براذرشی ، امو ، هی وائر ، لمیر ، و توزو به خاطر آماده کردن متن اولیه کتاب سپاسکزاری می کنیم .

## پیشگفتار

این کتاب (متن انگلیسی) اساساً ترجمه‌ای است از ویرایش فرانسه‌آن که در پایان سال ۱۹۷۳ به بازار آمد. کتاب حاضر دستخوش بعضی تغییرات شده است. مهمترین آنها اضافی شدن یک کتابشناسی مفصل، با پیشنهادهایی پیرامون کاربرد آن است که در پایان هر فصل یا مکملها آمده است.

این کتاب در اصل برای دانشجویان فرانسوی که تحصیلات دورهٔ کارشناسی خود را به پایان می‌رسانند، یا کار تحقیقاتی خود را آغاز می‌کنند تدوین شده است، با این همه، به نظر ما ساختار این کتاب ( جدا کردن کتاب به فصلها و مکملها - سرک "رهنمودهای کاربرد") باید آنرا برای سایر گروهها نیز مناسب ساخته باشد. به عنوان مثال، برای یک درس مکانیک کوانتومی مقدماتی، ما استفاده از مهمترین فصلها را همراه با ساده‌ترین مکملهای آنها توصیه می‌کنیم. برای یک درس پیشرفته‌تر، می‌توان فصلهای باقیمانده و مکملهای مشکلتر را به کاربرد، بالاخره، امید است که بعضی از مکملهای پیشرفته‌تر دانشجویانی را که از یک درس مکانیک کوانتومی عادی به موضوعات تحقیقاتی جاری در زمینه‌های مختلف فیزیک می‌روند، بسیاری دهد.

فرصت را مفتخم شمرده از نیکلول و دن اوستروفسکی، و همچنین از سوزان همی به خاطر دقت و صمیمیتی که در این ترجمه (انگلیسی) به کاربردها ند تشکر می‌کنیم. تذکرات آنان غالباً باعث بهبود کتاب اصلی شده است، علاوه بر این، از خاتم او دوئن و خاتم ماثیو از بابت کمکشان در سازمان دادن کتابشناسی، سپاسگزاریم.

س، گوهن - ناجی

ب، دیو

ف، لالوئنه

**فصل اول**

## **امواج و ذرات**

**درآمدی بر ایده‌های اساسی مکانیک کوانتومی**

## رئوس مطالب فصل اول

- A - امواج الکترومغناطیسی و فوتونها
- ۱ - کوانتومهای نور و روابط پلانک - اینشتین
  - ۲ - دوگانگی موجی - ذره‌ای
  - ۳ - تحلیل آزمایش دوشکاف یانگ
  - ۴ - یکی‌سازی کوانتومی دوچنیهٔ نور
  - ۵ - اصل تجزیهٔ طیفی

- B - ذرات مادی و امواج ماده
- ۱ - روابط دوبروی
  - ۲ - توابع موج ، معادلهٔ شرودینگر

- C - توصیف کوانتومی یک ذره:
- ۱ - ذرهٔ آزاد
  - ۲ - شکل بستهٔ موج دریک زمان معین
  - ۳ - رابطهٔ عدم قطعیت هایزنبیرگ
  - ۴ - تحول زمانی یک بستهٔ موج آزاد

- D - ذره دریک پتانسیل نرداری مستقل از زمان
- ۱ - جدا کردن متغیرها . حالت‌های مانا
    - a - وجود حالت‌های مانا
    - b - برهم نهش حالت‌های مانا
  - ۲ - پتانسیلهای "مربعی" یک بعدی . بررسی کیفی
    - a - معنی فیزیکی یک پتانسیل مربعی
    - b - تشابه اپتیکی
    - c - مثال‌ها

در وضعیت کنونی دانش علمی، مکانیک کوانتومی نقشی اساسی در توصیف و فهم پدیده‌های طبیعی ایفا می‌کند. در حقیقت، پدیده‌هایی که در مقیاس بسیار کوچک (اتمی یا زیر اتمی) به وجود می‌پیوندند نمی‌توانند در خارج از چارچوب فیزیک کوانتومی توضیح داده شوند. بعنوان مثال، وجود و خواص اتمها، پیوند شیمیایی و انتشار یک الکترون در یک بلور نمی‌تواند به کمک مکانیک کلاسیک فهمیده شوند. حتی وقتی فقط با اجسام فیزیکی ماکروسکوپیکی (یعنی، اجسامی که ابعادشان در حدود ابعاد اجسامی که در زندگی روزمره با آنها مواجهیم) سروکار داریم، برای رسیدن به یک توصیف کامل علمی، "اصولاً" لازم است که از مطالعه رفتار اتمها، یونها و الکترونهای مختلف تشکیل دهندۀ آنها شروع کنیم. پدیده‌های بسیاری وجود دارند که، در مقیاس ماکروسکوپیکی، رفتار کوانتومی طبیعت را بروز می‌دهند. ازین نظر است که می‌توان گفت مکانیک کوانتومی پایه‌های درک کنونی ما از تمام پدیده‌های طبیعی، از جمله آنهاست که به طور مرسوم در شیمی، زیست‌شناسی و غیره بروزی می‌شوند.

از دیدگاه تاریخی، ایده‌های کوانتومی با بررسی ذرات مادی و تابش بریک‌پایه مشترک، در وحدت چشمگیر مفاهیم اساسی فیزیک مشارکت کرده‌است. در آخر قرن نوزدهم بین دو موجود در پدیده‌های فیزیکی تمايز قائل می‌شدند: ماده و تابش، که قوانین کاملاً متفاوتی برای هر کدام به کار می‌رفت. برای پیش‌بینی حرکت اجسام مادی قوانین مکانیک نیوتنی (رک پیوست III) مورد استفاده قرار می‌گرفت. موقعیت آنها، اگرچه بخطول انجامید، معذلک موثر بود. راجع به تابش، نظریه الکترومغناطیس، با وارد کردن معادلات ماکسول، تعبیر متعددی از یک دسته پدیده‌هایی که قبلاً "متعلق به محدوده‌های متفاوت"؛ الکتریسته، مغناطیس و نور، در نظر گرفته می‌شدند، ایجاد کرده بود. بخصوص، نظریه الکترومغناطیسی تابش با کشف امواج هرتز، بطور چشمگیری از نظر تحریبی تأثیرگذارد. با این دسته قوانین، از نظر داده‌های تجربی در آن زمان، فیزیک را به نقطه‌ای رسانده بود که می‌توانست رضایت بخش در نظر گرفته شود.

لیکن سرنوشت فیزیک در اوائل قرن بیستم، با تغییر ناگهانی و عمیقی که منجر به وارد شدن مکانیک نسبیتی و مکانیک کوانتومی شد، رقم زده شد. "انقلاب" نسبیتی و "انقلاب" کوانتومی، تاحد زیادی مستقل از یکدیگر بودند. زیرا با فیزیک کلاسیک از جهات متفاوتی درگیر می‌شدند، قوانین کلاسیک برای اجسام مادی‌ای که با سرعتهای بسیار زیاد، در حدود سرعت نور (محدوده نسبیتی)، حرکت می‌کنند اعتبار خود را از دست می‌دهند. بعلاوه، هم‌چنین معلوم شد که این قوانین در مقیاس اتمی یا زیر اتمی (محدوده

کوانتمومی) نیز فاقد اعتبار هستند. مع ذالک، توجه به این نکته حائز اهمیت است که فیزیک کلاسیک، می‌تواند، در هر دو مورد، به عنوان تقریبی از نظریه‌های جدید در نظر گرفته شود. تقریبی که برای اغلب پدیده‌هایی که در مقیاس روزمره اتفاق می‌افتد معتبر است به عنوان مثال، مکانیک نیوتونی به ما امکان می‌دهد تا حرکت یک جسم جامد را به طور صحیح پیش بینی کنیم، مشروط بر آنکه غیر نسبیتی (سرعت‌های بسیار کوچک‌تر از سرعت نور) و ماکروسکوپیکی (ابعاد بسیار بزرگ‌تر از ابعاد اتمی) باشد. با وجود این، از یک دیدگاه اساسی، نظریه کوانتمومی همیشه ضروری است. این تنها نظریه‌ای است که ما را قادر به درک وجود خود یک جسم جامد و مقادیر فراستخیلی ماکروسکوپیکی (چگالی، گرمای ویژه، کشسانی وغیره) وابسته به آن می‌کند. در حال حاضر، هنوز نظریه "کامل" رضایت بخشی که مکانیک کوانتمومی و مکانیک نسبیتی را یکجا در برگیرد در اختیار نداریم زیرا مشکلاتی در این محدوده رخ داده است. مع ذالک، اغلب پدیده‌های اتمی و مولکولی بخوبی توسط مکانیک کوانتمومی غیر نسبیتی، که قصد داریم در اینجا آنرا مورد بررسی قرار دهیم تشریح می‌شوند.

این فصل درآمدی است برایدها و "وارگان" کوانتمومی. در اینجا هیچ تصد تداریم که مطالب را دقیق یا کامل ارائه دهیم. هدف اساسی این است که حسن‌گذاشت خواننده را برانگیزیم. پدیده‌هایی تشریح خواهند شد که ایده‌های کامل‌ا" جا افتاده در بینش ما، مانند مفهوم یک مسیو، را دکرگون خواهند کرد. می‌خواهیم با نشان‌دادن این مطلب به طور ساده و کیفی، که چگونه نظریه کوانتمومی ما را قادر به حل مسائلی که در مقیاس اتمی با آن مواجهیم می‌کند، آنرا برای خواننده قابل توجیه گردانیم. بعدها به ایده‌های مختلفی که در این فصل وارد شده‌اند برخواهیم گشت و وارد جزئیات بیشتری از آنها خواهیم شد، چه در زمینه فرمول بنده ریاضی (فصل دوم) و چه در زمینه فیزیکی (فصل سوم).

در بخش اول (A)، ایده‌های اساسی کوانتمومی (دوگانگی موجی - ذره‌ای، فرایند، اندازه‌گیری) را، که بر تجربیات معروف اپتیکی متکی هستند، وارد می‌کنیم، سپس نشان می‌دهیم (بخش B) که چگونه این ایده‌ها می‌توانند به درات مادی تعمیم داده شوند (تابع موج، معادله شرودینگر). بعدها، مشخصات، بسته موج وابسته به یک ذره را به طور دقیق‌تر مطالعه کرده، و روابط عدم قطعیت هایزنبرگ را وارد می‌کنیم (بخش C). بالاخره، چند مورد ساده از آثار کوانتمومی نمونه‌ای را مورد بحث قرار می‌دهیم (بخش D).

## A. امواج الکترومغناطیسی و فوتونها

### ۱- کوانتومهای نور و روابط پلانک - اینشتین

نیوتن نور را به عنوان باریکه‌ای از ذرات که می‌توانند، به عنوان مثال، در اثر بازتاب از یک آینه به عقب برگردند، در نظر گرفت. در خلال نیمهٔ اول قرن نوزدهم، طبیعت موج مانندی نور (تداخل، تفرق) ثابت شد. این امر توانست اپتیک را به نظریهٔ الکترومغناطیسی ضمیمه کند. در این چارچوب، سرعت نور،  $c$ ، به ثابت‌های الکتریکی و مغناطیسی مربوط شده و پدیده‌های قطبی نور می‌توانند به عنوان تجلی‌هایی ازویزکی برداری میدان الکتریکی تعبیر شوند.

ولی، مطالعهٔ تابش جسم سیاه، که نظریهٔ الکترومغناطیسی نمی‌توانست آنرا تشریح کند، پلانک را به پیشنهاد فرضیهٔ کوانتش انرژی (۱۹۰۵) رهمنمود: برای یک موج الکترومغناطیسی با فرکانس  $v$ ، تنها انرژی‌های ممکن، مضارب صحیحی از کوانتم  $\hbar$  هستند، که  $\hbar$  یک ثابت اساسی جدید است. اینشتین با تعمیم دادن این فرضیه، بازگشت به نظریهٔ ذره‌ای را پیشنهاد کرد (۱۹۰۵): نور از یک باریکه از فوتونهای تشکیل شده است که هر کدام دارای انرژی  $\hbar v$  است. اینشتین نشان داد که چگونه ورود فوتونها به‌طور بسیار ساده‌ای، درک بعضی از مشخصه‌های اثر فوتوالکتریک را که تا آن زمان روش نشده بود، ممکن می‌سازد. بیست سال سپری شد تا، توسط اثر کمپتون (۱۹۲۴)، نشان داده شود که واقعاً "فوتون به صورت یک موجود مجزا وجود دارد".

این نتایج به نتیجه‌گیری زیر متنهی شدند: برهم کنش یک موج الکترومغناطیسی با ماده توسط فرایندهای تقسیم ناپذیر بنیادی اتفاق می‌افتد که در آنها تابش به صورت ترکیبی از ذرات، فوتونها، ظاهر می‌شود فراسنجهای ذره‌ای (انرژی  $E$  و نکانه  $p$  فوتون) و فراسنجهای موجی (فرکانس زاویه‌ای  $\omega = 2\pi v$  و بردار موج  $k$ ، که در آن  $2\pi/\lambda = |k|$ ) فرکانس و  $\omega$  طول موج هستند) توسط روابط اساسی:

$$\boxed{E = hv = \hbar\omega} \\ p = \hbar k$$

(A-1) (روابط پلانک - اینشتین)

به یکدیگر مربوط می‌شوند، که در آن  $h = h \cdot 2\pi$  بر حسب ثابت پلانک  $h$  تعریف شده است:

$$h = 6.62 \times 10^{-34} \text{ جول} \times \text{ثانیه} \quad (A-2)$$

در حین هر فرایند بنیادی، انرژی و تکانه کل باید پایسته باشند.

### ۳- دوگانگی موجی - ذره‌ای

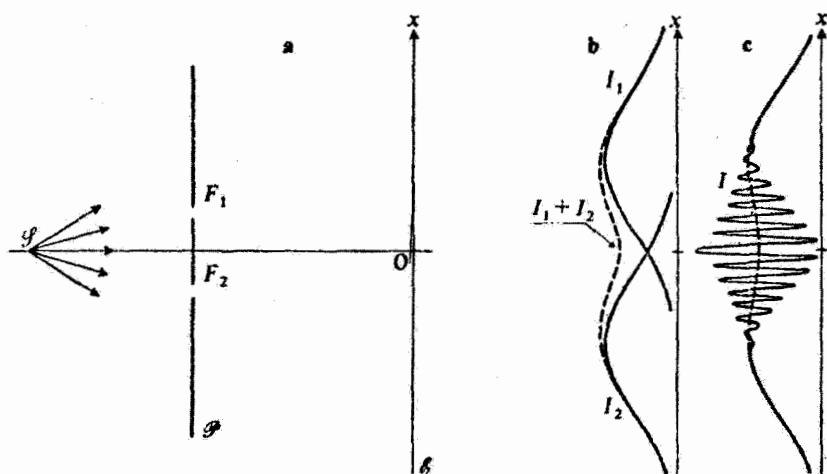
به این ترتیب به مفهوم ذره‌ای نور باز گشتمایم، آیا این بدان معنی است که باید نظریهٔ موجی را رها کنیم؟ مسلماً "نه". خواهیم دید که پدیده‌های نوعاً "موجی"، نظیر تداخل و تفرق نمی‌توانند در یک چارچوب صرفاً "ذره‌ای" تشریح شوند. تحلیل آزمایش مشهور دوشکاف یانگ ما را به نتیجه‌گیری زیر هدایت خواهد کرد: تعبیر کامل پدیده‌ها می‌تواند فقط با حفظ هردو جنبهٔ موجی و ذره‌ای نور به دست آید (اگر چه از پیش آشتبانی نداشته باشد). سپس نشان خواهیم داد که چگونه با وارد کردن مفاهیم اساسی کوانتومی می‌توان این پارادوکس را برطرف ساخت.

### ۴- تحلیل آزمایش دوشکاف یانگ

دستگاه به کار رفته در این آزمایش به طور طرح وار در شکل نشان داده شده است. نور تکنگ گسیل شده توسط چشممه<sup>۶</sup> روی یک پرده<sup>۷</sup> مات که دوشکاف باریک  $F_1$  و  $F_2$  در آن تعبیه شده است می‌تابد و پرده مشاهده<sup>۸</sup> (به عنوان مثال، یک صفحه عکاسی) را روشن می‌کند. اگر  $F_2$  را مسدود کنیم روی<sup>۹</sup> یک توزیع شدت نور  $I_1(x)$  به دست می‌آوریم که الگوی تفرقی  $F_1$  است. به همین طریق، وقتی  $F_1$  مسدود شود، الگوی تفرقی  $F_2$  توسط  $I_2(x)$  تشریح می‌شود. وقتی دو شکاف  $F_1$  و  $F_2$  به طور همزمان باز باشند، یک دستگاه فریزه‌های تداخلی روی پرده مشاهده می‌کنیم. بخصوص، ملاحظه می‌کنیم که شدت  $I(x)$  متناظر برابر با مجموع شدت‌های تولید شده توسط  $F_1$  و  $F_2$  به طور جداگانه نیست:

$$I(x) \neq I_1(x) + I_2(x) \quad (A-3)$$

چگونه می‌توان نتایج تجربی‌ای را که در بالا بیان شد بر حسب نظریه ذره‌ای (که ضرورت آنرا در بخش گذشته دیدیم) تشریح کرد؟ وجود الگوی تفرقی وقتی که فقط یکی از دوشکاف باز است می‌توانست، بمعنوان مثال، به عنوان نتیجهٔ برخورد های فوتونی با لبه‌های شکاف تشریح شود. البته، یک چنین تعبیری باید دقیق تر پرورانده شود و مطالعهٔ دقیق تر نشان خواهد داد که این تعبیر ناکافی است. بنابراین، بهتر است که توجه خود را به پدیدهٔ تداخل معطوف کنیم. می‌توانیم سعی کنیم این پدیده را توسط برهم کنش بین فوتونهایی که از شکاف  $F_1$  و فوتونهایی که از شکاف  $F_2$  عبور می‌کنند تشریح کنیم. یک چنین تعبیری به پیش‌بینی زیر منجر خواهد شد: اگر شدت چشمکه  $I$  (تعداد فوتونهای گسیل شده در یک ثانیه) کاهش یابد تا اینکه فوتونها عملایکی یکی به پرده برخورد کنند، برهم کنش بین فوتونها باید کاهش یابد و، آلا، صفر شود. لذا فریزهای تداخلی باید محو شوند.



شکل ۱

نمودار آزمایش تداخل نوری دوشکاف یانگ (شکل a). هر کدام از شکافهای  $F_1$  و  $F_2$  روی پردهٔ e یک الگوی پراشی ایجاد می‌کنند. شدت‌های مربوطه  $I_1(x)$  و  $I_2(x)$  هستند (خطوط پر در شکل b). وقتی دوشکاف  $F_1$  و  $F_2$  به طور همزمان باز باشند، شدت  $I(x)$  مشاهده شده روی پرده برابر با جمع  $I_1(x) + I_2(x)$  (خط چین) در شکلهای b و c نیست، بلکه نوساناتی را نشان می‌دهد که از تداخل بین میدانهای الکتریکی تابیده شده توسط  $F_1$  و  $F_2$  ناشی شده است، (خط پر در شکل c).

قبل از اشاره به جوابی که توسط آزمایش داده شده است، یادا ور می‌شویم که نظریهٔ موجی یک تعبیر کاملاً "طبیعی از فریزها فراهم می‌آورد. شدت نور دریک نقطه روی پرده<sup>\*</sup> متناسب است با مجدور دامنهٔ میدان الکتریکی در آن نقطه. اگر  $E_1(x)$  و  $E_2(x)$  در نمادگذاری مختلف، به ترتیب معرف میدانهای الکتریکی ایجاد شده توسط شکافهای  $F_1$  و  $F_2$ ، در  $x$  باشند (دو شکاف مانند چشممهای ثانوی رفتار کنند)، میدان برایند کل دراین نقطه، وقتی  $F_1$  و  $F_2$  هردو بازباشند، برابراست با\*:

$$E(x) = E_1(x) + E_2(x) \quad (A-4)$$

دراین صورت، با به کاربردن نمادگذاری مختلف، داریم:

$$I(x) \propto |E(x)|^2 = |E_1(x) + E_2(x)|^2 \quad (A-5)$$

چون (شدتهای  $I_1(x)$  و  $I_2(x)$  به ترتیب متناسب با  $|E_1(x)|^2$  و  $|E_2(x)|^2$  هستند، فرمول (A-5) نشان می‌دهد که  $I(x)$  با  $I_1(x) + I_2(x)$  بماندازهٔ یک جملهٔ تداخلی، که با اختلاف فاز بین  $E_1$  و  $E_2$  و بستگی دارد و حضور آن فریزها را تشریح می‌کند، تفاوت دارد. بنابراین نظریهٔ موجی پیش‌بینی می‌کند که کاهش شدت چشممه<sup>\*\*</sup> فقط باعث می‌شود که فریزها از نظر شدت کاهش پیدا کنند ولی محو نمی‌شوند.

وقتی "عمل" فوتونها را یکی یکی گسیل می‌دارد واقعاً "چه اتفاق می‌افتد؟" نه پیش‌بینی‌های نظریهٔ موجی محقق می‌شوند و نه پیش‌بینی‌های نظریهٔ ذره‌ای. در واقع: (i) اگر پرده<sup>\*</sup> را با یک صفحهٔ عکاسی بپوشانیم و زمان نوردهی را افزایش دهیم روی هر عکس تعداد بسیار زیادی فوتون گیر بیندازیم، وقتی عکس‌ها را ظاهر می‌کنیم مشاهده می‌شود که فریزها محو نشده‌اند. ازین رو تعبیر ذره‌ای صرف، که بنابر آن فریزها از برهم کنش بین فوتونها ناشی می‌شوند، باید رد شود.

(ii) از طرف دیگر، می‌توانیم صفحهٔ عکاسی را در مدت زمانی آنقدر کوتاه در معرض نور قرار دهیم، که بتواند فقط چند فوتون دریافت کند. دراین صورت مشاهده می‌کنیم که هر فوتون در روی یک برخورد جایگزینه ایجاد می‌کند نه یکالگوی تداخلی بسیار ضعیف. بنابراین، تعبیر صرفاً "موجی نیز باید رد شود".

در حقیقت، به تدریج که فوتونهای بیشتر و بیشتری به صفحهٔ عکاسی برخورد

\* چون آزمایش مطالعه شده دراینجا با نور ناقطبیده انجام گرفته است، صفت بوداری میدان الکتریکی نقش اساسی ندارد. برای سهولت، دراین پاراکراف از آن صرف‌نظر می‌کیم.

می‌کنند، پدیده<sup>۱</sup> زیر اتفاق می‌افتد. توزیع برخوردهای انفرادی آنها کترهای به نظر می‌رسد، تنها وقتی که تعداد زیادی از آنها به هم می‌رسند توزیع برخوردها جنبه<sup>۲</sup> پیوسته ای پیدا می‌کند. چگالی برخوردها در هر نقطه از هم متناظراست با فریزهای تداخلی؛ روی فریز روش ماقزیم و روی فریز تاریک صفات است. از این رو می‌توان گفت که فوتونها، وقتی به صفحه میرسند، الگوی تداخلی می‌سازند.

بنابراین، نتیجه<sup>۳</sup> این آزمایش، ظاهرا<sup>۴</sup> به یک پارادوکس منجر می‌شود، به عنوان مثال، در چارچوب نظریه<sup>۵</sup> ذرهای می‌تواند به طریق زیر بیان شود. چون برهمنشای فوتون – فوتون نادیده<sup>۶</sup> گرفته شده‌اند، هر فوتون باید به طور جداگانه در نظر گرفته شود، اما در این صورت روش نیست که چرا بسته به اینکه فقط یک شکاف باز باشد یا هر دو پدیده‌ها باید به طور موثری تفاوت داشته باشند. چرا برای فوتونی که از یکی از شکافها عبور می‌کند. این واقعیت که شکاف دیگر باز یا بسته است باید چنین اهمیت قاطعی داشته باشد؟

قبل از بحث در باره<sup>۷</sup> این مسئله، توجه کنید که در آزمایش قبل به دنبال تعیین اینکه هر فوتون قبل از رسیدن به پرده از داخل کدام شکاف عبور کوده است نبودیم. برای بدست آوردن این اطلاعات، می‌توانیم تصور کنیم که آشکار سازهایی (تکثیرکننده‌های فوتون) پشت<sub>۱</sub> F<sub>۱</sub> و پشت<sub>۲</sub> F<sub>۲</sub> قرار داده‌ایم. در این صورت مشاهده خواهد شد که، اگر فوتونها یکی یکی بر سند، هر کدام از داخل یک شکاف کاملاً "معین عبور می‌کنند" (یک علامت یا توسط آشکار ساز واقع در پشت F<sub>۱</sub> ثبت خواهد شد یا توسط آشکار سازی که در پوشانده است، نه توسط هر دو باهم). اما، مسلمًا، فوتونهایی که بین طریق آشکار شده‌اند جذب شده و به پرده نمی‌رسند. تکثیرکننده<sup>۸</sup> فوتونی را که، به عنوان مثال، F<sub>۱</sub> را مسدود می‌کند، بردارید. تکثیرکننده<sup>۹</sup> فوتونی که پشت F<sub>۲</sub> می‌باشد به ما می‌گوید که در حدود نصف فوتونها از F<sub>۲</sub> عبور می‌کنند. نتیجه می‌گیریم که سایر فوتونها (که می‌توانند تا محل پرده ادامه داشته باشند) از F<sub>۱</sub> عبور کرده‌اند. اما الگویی که این فوتونها به تدریج روی پرده می‌سازند یک الگوی تداخلی نیست، زیرا F<sub>۲</sub> مسدود است. این الگو فقط الگوی پراشی F<sub>۱</sub> است.

#### ۶ - یکی سازی کوانتمی دو جنبه<sup>۱۰</sup> نور

تحلیل قبلی نشان می‌دهد که اگر فقط یکی از دو جنبه<sup>۱۱</sup> نور، موجی یا ذرهای، در نظر گرفته شود غیرممکن است بتوانیم تمام پدیده‌های مشاهده شده را تشریح کنیم. حال

بنظر می‌رسد که این دو جنبه مانع‌الجمع هستند. بنابراین، برای فائق آمدن برای این اشکال، لازم می‌شود که مفاهیم فیزیک کلاسیک را به طریقی انتقادی مورد تجدیدنظر قرار دهیم. باید امکان این را پذیریم که این مفاهیم، هرچند تجربه روزمره ما را به این نکته هدایت می‌کند که آنها را کاملاً "پارچه درنظرگیریم، ممکن است در محدوده" جدیدی ("میکروسکوپیکی") که وارد آن می‌شویم معتبر نباشد. به عنوان مثال، یک مشخصه اصلی این محدوده" جدید، وقتی ظاهر شد که شمارندهای در پشت شکافهای یانگ قرار دادیم: وقتی یک اندازه‌گیری روی یک سیستم میکروسکوپیکی انجام می‌دهیم، آنرا بهطور اساسی پریشیده می‌کنیم. این یک خاصیت جدید است زیبا، در محدوده" ماکروسکوپیکی، همواره امکان تصور وسائل اندازه‌گیری‌ای که تاء شیر آنها برسیست، عمل" تا حدی که بخواهیم ضعیف باشد، وجود دارد. این تجدید نظر انتقادی در فیزیک کلاسیک توسط آزمایش تحمیل شده است و مسلمان" باید توسط آزمایش رهبری شود.

حال بیاید "پارادوکس" بیان شده در بالا، راجع به فوتونی را که از یک شکاف عبور می‌کند اما بسته به اینکه شکاف دیگر باز یا بسته باشد رفتار متفاوتی دارد، مورد تجدید نظر قرار دهیم. دیدیم که اگر سعی کنیم فوتونها را وقتی از شکافها گذشتند آشکار کنیم، مانع رسیدن آنها به پرده می‌شویم. به طور عمومی‌تر، یک تحلیل مفصل تجربی نشان می‌دهد که غیرممکن است در یک زمان هم بتواتریم الگوی تداخلی را مشاهده کنیم و هم بدانیم که هرفوتون از کدام شکاف عبور کرده است (دک. مکمل D). بنابراین، برای رفع این پارادوکس لازم است که از این عقیده که یک فوتون حتماً از یک شکاف بخصوص عبور می‌کند دست بکشیم. در این صورت، به این مطلب هدایت می‌شویم که مفهوم مسیر یک ذره را، که یک مفهوم اساسی فیزیک کلاسیک است، مورد سؤال قرار دهیم.

بعلاوه، همچنان که فوتونها یکی یکی به پرده می‌رسند اصابت آنها روی پرده به تدریج الگوی تداخلی را می‌سازد. این مطلب می‌رساند که، برای یک فوتون بخصوص، از پیش مطمئن نیستم که به کجای پرده برخورد خواهد کرد. این فوتونها همگی تحت یک شرایط‌گهیل شده‌اند. بنابراین عقیده دیگر کلاسیک، که می‌گوید: شرایط‌اولیه به طور کامل حرکت بعدی یک ذره را تعیین می‌کنند، باطل شده است. تنها می‌توانیم بگوئیم که، وقتی یک فوتون گسیل می‌شود، احتمال برخورد آن به پرده در  $x$  متناسب است با شدت  $|E(x)|^2$  که با استفاده از نظریهٔ موجی محاسبه شده است، یعنی، با  $|E(x)|^2$  پس از تلاش‌های آزمایشی فراوانی که در اینجا تشریح نخواهیم کرد، مفهوم دوگانگی موجی - ذره‌ای فرمول‌بندی شد. می‌توانیم آنرا بهطور طرح‌وار بهصورت زیر

## خلاصه کنیم \* :

(i) جنبه‌های ذره‌ای و موجی نور جدائی ناپذیر از بکدیگوند، نور به طور همزمان مانند یک موج و مانند یک شار از ذرات رفتار می‌کند، و موج مارا به محاسبه احتمال تجلی یک ذره قادر می‌سازد.

(ii) پیش‌بینی‌ها در باره رفتار یک فوتون می‌تواند فقط احتمالاتی باشد.

(iii) اطلاعات در باره یک فوتون در زمان  $t$ ، توسط موج  $E(r, t)$ ، که یک جواب

از معادلات ماکسول است، داده می‌شود. می‌گوئیم کماین موج حالت فوتونها را در زمان  $t$  مشخص می‌کند.  $E(r, t)$  به عنوان دامنه احتمال اینکه یک فوتون در زمان  $t$ ، در نقطه  $r$  ظاهر شود، تعبیر می‌شود. معنی این مطلب این است که احتمال مربوطه متناسب است با  $|E(r, t)|^2$ .

## گوشیدها :

(i) چون معادلات ماکسول خطی و همگن هستند، می‌توانیم یک اصل برهم‌نهاش بکار ببریم:

اگر  $E_1$  و  $E_2$  دو جواب از این معادلات باشند،  $E = \lambda_1 E_1 + \lambda_2 E_2$ ، که در آن  $\lambda_1$  و  $\lambda_2$  اعداد ثابتی هستند، نیز یک جواب است. همین اصل برهم‌نهاش است که پدیده‌های موجی در اپتیک کلاسیک (داخل، تفرق) را تشریح می‌کند. از این رو، در فیزیک کوانتومی، تعبیر  $E(r, t)$  به عنوان یک دامنه احتمال، برای ثبات این پدیده‌ها ضروری است.

(ii) این نظریه صرفاً بهما اجازه می‌دهد که احتمال وقوع یک حادثه معین را محاسبه کنیم. بنابراین، تحقیق‌های تجربی باید بر تکرار تعداد زیادی از آزمایش‌های یکسان متکی باشند. در آزمایش بالا، تعداد زیادی از فوتونها، که همگی به یک طریق تولید شده‌اند، متوالیاً "گسیل شده" والگوی تداخلی را، که تجلی احتمالات محاسبه شده است، می‌سازند.

(iii) ما در اینجا در باره "حالت فوتون" صحبت می‌کیم تا بتوانیم در بخش B تشابهی بین  $E(r, t)$  وتابع موج  $E(r, t')$  که حالت کوانتومی یک ذره مادی را مشخص می‌کند، ارائه دهیم. این "تشابه اپتیکی" بسیار سودمند است. بخصوص، همانطور که در بخش D خواهیم دید، این کار بهما اجازه خواهد داد تا به سادگی و بدون

\* لازم به تذکر است که این تعبیر فیزیکی از پدیده‌ها، که عموماً در حال حاضر "صحیح" در نظر گرفته می‌شود، هنوز مورد اعتراض بعضی از فیزیکدانها است.

توسل به محاسبه، خواص مختلف کوانتومی ذرات مادی را بفهمیم. اما، نباید خیلی فراتر از این رفت و اجازه دهیم در ما این باور را ایجاد کند که در نظر گرفتن  $E(r, t)$  به عنوان مشخص کننده، حالت کوانتومی یک فوتون امر کاملاً صحیحی است.

بعلاوه، خواهیم دید که این واقعیت که  $(E, \psi)$  مختلط است در مکانیک کوانتومی ضروری است، حال آنکه نمادگذاری مختلط  $(E, \psi)$  در اپتیک صرفاً برای سهولت به کاربرده می شود ( فقط قسمت حقیقی آن دارای معنای فیزیکی است ). تعریف دقیق حالت کوانتومی ( مختلط ) نابش تنها می تواند در چارچوب الکترودینامیک کوانتومی، نظریه ای که هم مکانیک کوانتومی و هم نسبیتی است، داده شود. این مسائل را در اینجا در نظر نخواهیم گرفت ( در مکمل  $K_7$  یک بررسی اجمالی از آنها را ارائه خواهیم داد ).

### ۳- اصل تجزیه طیفی :

با مجهز شدن به ایده های معرفی شده در بخش ۲، اینک می خواهیم یک آزمایش اپتیکی ساده دیگر را، که موضوع آن قطبش نور است، مورد بحث قرار دهیم. این کار به ما اجازه خواهد داد تا مفاهیم اساسی مربوط به اندازه گیری کیمی های فیزیکی را معرفی کنیم.

این آزمایش عبارتست از ارسال یک موج نوری تکریگ تحت و قطبی شده به سمت یک تجزیه گر  $A$ . محور  $Oz$  جهت انتشار این موج را مشخص می کند و  $\theta$  بردار یکمای است که قطبش آن را تشریح می کند ( رک شکل ۲ )، تجزیه گر  $A$  نوری را که موازی  $Ox$  قطبی شده است عبور می دهد و نوری را که موازی با  $Oy$  قطبی شده است جذب می کند.

توصیف کلاسیکی این آزمایش ( توصیفی که برای باریکه نوری که به حد کافی شدید باشد معتبر است ) به شرح زیر است. موج تحت قطبی شده توسط یک میدان الکتریکی به شکل :

$$E(r, t) = E_0 e_r e^{i(kz - \omega t)} \quad (A-6)$$

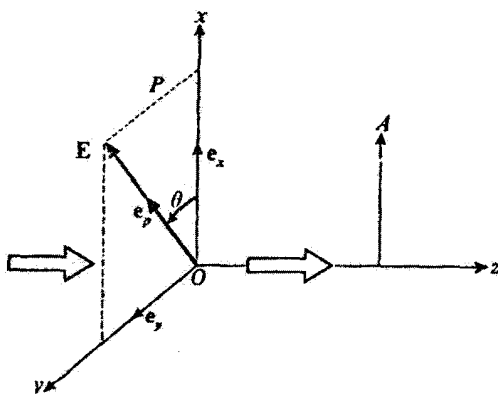
که در آن  $E_0$  یک ثابت است، مشخص می شود. شدت نور / متناسب است با  $|E_0|^2$ . موج تخت پس از عبور از داخل تجزیه گر  $A$ ، در امتداد  $Ox$  قطبی می شود :

$$E'(r, t) = E'_0 e_r e^{i(kz - \omega t)} \quad (A-7)$$

و شدت آن،  $I'$ ، که با  $|E'_0|^2$  متناسب است توسط قانون مالوس داده می‌شود:

$$I' = I \cos^2 \theta \quad (A-8)$$

[ $e_x$  برداریکه محور  $Ox$  و  $\theta$  زاویه بین  $e_x$  و  $e_p$  است].



شکل ۲.

یک آزمایش ساده اندازه‌گیری درمورد قطبش یک موج نوری. یک باریکه نور در امتداد  $Oz$  انتشار می‌باید و به ترتیب از قطبی کننده  $M$  و تجزیه‌گر  $A$  عبور می‌کند.  $\theta$  زاویه بین  $Ox$  و میدان الکتریکی موج عبور کرده از  $M$  می‌باشد. ارتعاشات عبور کرده از  $A$  موازی  $Ox$  هستند.

در سطح کوانتمی، یعنی، وقتی که  $I$  آن قدر ضعیف یا شد که فوتونها یکی یکی به تجزیه‌گر برسند، چه اتفاقی خواهد افتاد؟ (دراین صورت یک آشکارساز فوتونی پشت تجزیه‌گر قرار می‌دهیم). قبل از همه، آشکار ساز به هیچ وجه "کسری از یک فوتون" را ثبت نمی‌کند. یا فوتون از تجزیه‌گر می‌گذرد یا کاملاً "توسط آن جذب می‌شود". بنابراین (جز در موارد خاصی که الان بررسی خواهیم کرد)، نمی‌توانیم باقطعیت پیش بینی کنیم که آیا یک فوتون فرودی معین عبور خواهد کرد یا جذب خواهد شد، فقط می‌توانیم احتمالات مربوطه را بدانیم. بالاخره، اگر تعداد زیاد  $N$  فوتون را یکی پس از دیگری ارسال داریم، نتیجه با قانون کلاسیکی مطابقت خواهد داشت، به این معنی که بعد از تجزیه‌گر در حدود  $\theta \cos^2 N$  فوتون آشکار خواهد شد.

از این توصیف ، ایده‌های زیر را به خاطر خواهیم سپرد :

(i) وسیلهٔ اندازه‌گیری (دراینجا ، تجزیه‌گر) می‌تواند فقط بعضی از نتایج ممتاز را بدهد ، که مآلتها را نتایج ویژه خواهیم نامید \* . در آزمایش فوق فقط دو نتیجه ، ممکن وجود دارد : فوتون یا از تجزیه‌گر عبور می‌کند یا متوقف می‌شود . می‌گوئیم که ، در مقابله با مورد کلاسیکی [ رگ فرمول (A - A) ] که شدت عبور کرده  $\rho$  ، بر حسب مقدار  $\theta$  می‌تواند بمطور پیوسته بین ۰ و ۱ تغییر کند ، نتیجهٔ اندازه‌گیری کوانتیدم است .

(ii) به هر یک از این نتایج ویژه یک ویژه حالت مربوط می‌شود . دراینجا ، این دو ویژه حالت توسط :

$$\begin{aligned} e_p &= e_x \\ e_p &= e_y \end{aligned} \quad (A - 9)$$

یا

مشخص می‌شوند ( ۰۱ بوداریک محور است ) . اگر  $e_x = e_y$  باشد ، با قطعیت می‌دانیم که فوتون از تجزیه‌گر خواهد گذشت ، اگر برعکس  $e_x = e_y$  باشد ، فوتون یقیناً " متوقف خواهد شد .

بنابراین ، ارتباط بین نتایج ویژه و ویژه حالتها به شرح زیر است . اگر ذره ، قبل از اندازه‌گیری ، در یکی از ویژه حالتها باشد ، نتیجهٔ این اندازه‌گیری قطعی است : نتیجهٔ نمی‌تواند چیزی جزء نتیجهٔ ویژهٔ واپسنه باشد .

(iii) وقتی حالت قبل از اندازه‌گیری دلخواه باشد ، فقط احتمالهای یافتن نتایج ویژهٔ مختلف می‌تواند پیش بینی شود . برای یافتن این احتمالات ، حالت ذرات را به صورت یک ترکیب خطی از ویژه حالت‌های مختلف تجزیه می‌کنیم . دراینجا ، برای یک  $e_p$  دلخواه می‌تویسیم :

$$e_p = e_x \cos \theta + e_y \sin \theta \quad (A - 10)$$

احتمال به دست آوردن یک نتیجهٔ ویژهٔ معین متناسب است با موضع قدر مطلق ضریب ویژه حالت متناظر . ضریب تناسب توسط این شرط تعیین می‌شود که مجموع تمام این احتمالات باید برایر با یک باشد . بنابراین ، از (A - 10) نتیجه می‌گیریم که هر فوتون دارای احتمال  $\cos^2 \theta$  است برای اینکه از تجزیه‌گر بگذرد و دارای احتمال  $\sin^2 \theta$  برای اینکه توسط آن جذب شود ( می‌دانیم که  $\cos^2 \theta + \sin^2 \theta = 1$  ) . این ، در واقع همان چیزی است که در بالا بیان شد . این قاعده در مکانیک کوانتومی اصل تجزیهٔ طیفی

---

\* دلیل این نام‌گذاری در فصل سوم خواهد آمد .

نامیده می شود . توجه کنید که این تجزیه به نوع وسیله اندازه‌گیری مورد نظر بستگی دارد ، زیرا باید از ویژه حالتها بی استفاده شود که مربوط به آن است : در فرمول ( A - ۱۰ ) ، انتخاب محورهای  $Ox$  و  $Oy$  توسط تجزیه گر تعیین می شود .

(iv) نور ، پس از عبور از داخل تجزیه‌گر ، کاملاً "در امتداد  $e$ " قطبی شده است . اکر بعد از تجزیه‌گر اول  $A$  ، یک تجزیه‌گر دوم  $A'$  را که دارای همان محور است قرار دهیم ، تمام فوتونهایی که از  $A$  گذشته‌اند از  $A'$  نیز خواهند گذشت . بنابرآنچه در نکته (ii) دیدیم ، این مطلب بدان معنی است که حالت فوتونها ، پس از اینکه از  $A$  گذشته‌اند ، ویژه حالتی است که توسط  $e$  مشخص می شود . لذا ، یک تغییر ناگهانی در حالت ذرات وجود داشته است . قبل از اندازه‌گیری ، این حالت توسط یک بردار  $E(r,t)$  که با  $e$  همخط بود تعریف شده بود . پس از اندازه‌گیری ، مقداری اطلاعات تکمیلی داریم ( فوتون عبور کرد هاست ) که با تشریح حالت توسط بردار متفاوتی ، که اکنون با  $e$  همخط است ، وارد شده است . این مطلب واقعیتی را بیان می کند که قبل از  $A$ -۲ ذکر کردیم و آن این است که اندازه‌گیری دستگاه میکروسکوپیکی ( دراینجا ، فوتون ) را به شکل اساسی پریشیده می کند .

### گوشزد :

پیش‌بینی مطمئن نتیجه ، وقتی  $e = e$  باشد ، فقط یک مورد خاص است . در این صورت احتمال یکی از حوادث ممکن یقیناً "برابر واحد است . اما برای اینکه درستی این پیش‌بینی را تحقیق کیم باید تعداد زیادی آزمایش انجام دهیم . باید مطمئن بود که تمام فوتونها عبور می کنند ( یا متوقف شده‌اند ) ، زیرا این واقعیت که یک فوتون بخصوص از تجزیه‌گر عبور کند ( یا جذب شده باشد ) مشخصه  $e = e$  ( یا  $e = e$  ) نیست .

## B. ذرات مادی و امواج ماده

### ۱ - روابط ماده و بروزی :

به موازات کشف فوتونها، مطالعه طیفهای گسیلی و جذبی اتمی یک واقعیت اساسی را نمایان ساخت، که فیزیک کلاسیک در تشریح آن ناتوان بود:

این طیفها از خطوط باریکی تشکیل یافته‌اند، به عبارت دیگر، یک اتم معین فقط فوتونهایی را که فرکانشهای (بعنی، انرژی‌های) کاملاً "معینی دارند گسیل یا جذب می‌کند. اگر بپذیریم که انرژی اتم کوانتیده است، یعنی، می‌تواند فقط مقادیر گستتهٔ معین ( $\dots E_i, i = 1, 2, \dots, n$ ) را بگیرد، این واقعیت می‌تواند بمطور بسیار ساده‌ای تعبیر شود: در این صورت گسیل یا جذب یک فoton همراه است با یک "پرسش" در انرژی اتم از یک مقدار مجاز  $E_i$  به مقدار دیگر  $E_j$ . پاسخی انرژی ایجاد می‌کند که فوتون دارای فرکانس  $v_{ij}$  باشد به طوری که:

$$\hbar v_{ij} = |E_i - E_j| \quad (B-1)$$

بنا براین فقط فرکانسهایی که از  $(1 - B)$  تبعیت می‌کنند می‌توانند توسط اتم گسیل یا جذب شوند.

وجود چنین ترازهای انرژی گسته‌ای، مستقل از توسط آزمایش فرانک - هوتز تاء بیبد شد. بوهر این مطلب را به کمک مدارهای الکترونی ممتاز تعبیر کرد و همراه با سامرفلد، یک قاعدةٔ تجربی بیان گرد که محاسبهٔ این مدارهارا برای مورد اتم هیدرزن ممکن می‌ساخت. ولی منشاء اساسی این قواعد کوانتش مجھول باقی ماند.

لیکن، در سال ۱۹۲۳، دوبروی فرضیهٔ زیر را پیشنهاد گرد:

ذرات مادی، درست مانند فوتونها، می‌توانند یک جنبهٔ موج مانند داشته باشند. وی سپس قواعد کوانتش بوهر - سامرفلد را به صورت نتیجه‌ای از این فرضیه بدست آورد، ترازهای انرژی مجاز مختلف مشابه با مدهای ویژه یک تار مرتعش هستند. آزمایشهای پراش الکترون (داویسون و جرم، ۱۹۲۷)، با نشان دادن اینکه الگوهای تداخلی می‌توانند با ذرات مادی نظیر الکترونها به دست آیند، به ظور برجسته‌ای وجود جنبهٔ موج مانندی ماده را تاء بیبد کرد.

بنابراین به یک ذره مادی با انرژی  $E$  و تکانهٔ  $P$ ، موجی منتب می‌کنیم که

فرکانس زاویه‌ای  $2\pi\nu = \omega$  و بردار موجی  $\mathbf{k}$  ای آن با همان روابطی که برای فوتونها برقرار است (رک بخش A) داده شود:

$$\begin{cases} E = h\nu = \hbar\omega \\ \mathbf{p} = \hbar\mathbf{k} \end{cases} \quad (B-2)$$

به عبارت دیگر، طول موج متناظر برابر است با:

$$\lambda = \frac{2\pi}{|\mathbf{k}|} = \frac{h}{|\mathbf{p}|} \quad (\text{رابطه دو بروی}) \quad (B-3)$$

گوشزد:

کوچکی ثابت پلانک // توضیح می‌دهد که چرا بسیار مشکل است که بتوان ماهیت موج مانندی ماده را در مقیاس ماکروسکوپیکی تشان داد. مکمل A، این فصل، مرتبه‌های بزرگی طول موجهای دوبروی وابسته به ذرات مادی مختلف را وارد بحث قرار می‌دهد.

### ۳- توابع موج، معادله شرودینگر

بر طبق فرضیه دوبروی ایده‌های معرفی شده در بخش A برای مورد فوتون را به تمام ذرات مادی اعمال خواهیم کرد. با یادآوری نتایج این بخش، به‌فرمول بندی زیر هدایت می‌شویم:

(i) به جای مفهوم کلاسیکی یک مسیر، باید مفهوم یک حالت متغیر نسبت به زمان را جایگزین کنیم. حالت کوانتومی یک ذره نظریه الکترون \* توسط یک تابع موج (r, t) // مشخص می‌شود، که تمام اطلاعاتی را که ممکن است درباره ذره بدست آورد، در بر دارد.

(ii) به عنوان دامنه احتمال حضور ذره تعبیر می‌شود. چون مکانهای ممکن ذره یک پیوستار تشکیل می‌دهند، احتمال (r, t)  $= \psi(r, t)$  برای اینکه ذره در زمان در عنصر حجمی  $d^3r = dx dy dz$ ، واقع در نقطه r باشد باید با  $d^3r$  متناسب باشد و از این رو بینهایت کوچک است. بنابراین  $|\psi(r, t)|^2$  به عنوان چگالی احتمال

\* در اینجا وجود اسپین الکترون را به حساب نخواهیم آورد. (رک فصل ۱۵)

مربوطه، با :

$$d\mathcal{P}(r, t) = C |\psi(r, t)|^2 d^3 r \quad (B-4)$$

که در آن  $C$  ثابت بهنجارش است، تعبیر می شود [ر ک گوشزد (i) در آخر بخش ۲-B].  
(iii) اصل تجزیه، طیفی به اندازه گیری یک کمیت فیزیکی دلخواه اعمال می شود:  
نتیجه، بدست آمده باید به یک مجموعه از نتایج ویژه  $\{\alpha\}$  تعلق داشته باشد.

- به هر ویژه مقدار  $\alpha$  یک ویژه حالت، یعنی، یک ویژه تابع  $(r)_\alpha^\psi$  وابسته است. این تابع طوری است که، اگر  $(r)_\alpha^\psi = (r_0)_\alpha^\psi$  زمانی است که اندازه گیری در آن انجام شده است (باشد، اندازه گیری همواره به  $\alpha$  منجر خواهد شد).
- برای هر  $(r, t)_\alpha^\psi$ ، احتمال  $\mathcal{P}_\alpha$  یافتن ویژه مقدار  $\alpha$  در یک اندازه گیری در زمان  $t_0$ ، با تجزیه  $(r, t_0)_\alpha^\psi$  برحسب توابع  $(r)_\alpha^\psi$  پیدا می شود:

$$\psi(r, t_0) = \sum_a c_a \psi_a(r) \quad (B-5)$$

در این صورت :

$$\mathcal{P}_\alpha = \frac{|c_\alpha|^2}{\sum_a |c_a|^2} \quad (B-6)$$

$\left( \sum_a \mathcal{P}_a = 1 \right)$  حضور مخرج ما را مطمئن می سازد که احتمال کل برابر است با:

- اگر اندازه گیری یقیناً  $\alpha$  را به دست دهد، تابع موج ذره بلافاصله پس از اندازه گیری عبارت است از:

$$\psi(r, t_0) = \psi_\alpha(r) \quad (B-7)$$

(iv) می ماند معادلهای که تحول تابع  $(r, t)_\alpha^\psi$  را توصیف می کند، و باید نوشته شود. می توان آنرا، با استفاده از روابط پلانک و دوبروی، به روشن بسیار طبیعی به دست آورد. مع الوصف، قصد اثبات این معادله، اساسی را، که معادله، شرودینگر نامیده می شود، نداریم. فقط آنرا خواهیم پذیرفت. بعذا، بعضی از پی آمدهای آنرا (که تحقیق تجربی آنها اعتبار معادله را ثابت خواهد کرد) مورد بحث قرار خواهیم داد. بعلاوه، این معادله را به طور بسیار مفصل تری در فصل ۳ بررسی خواهیم کرد.

وقتی یک ذره (به جرم  $m$ ) تحت تأثیر یک پتانسیل<sup>\*</sup>  $V(r, t)$  قرار دارد، معادله شودینگر شکل:

$$i\hbar \frac{\partial}{\partial t} \psi(r, t) = -\frac{\hbar^2}{2m} \Delta \psi(r, t) + V(r, t) \psi(r, t) \quad (B-8)$$

را می‌گیرد که در آن ۴ عملگر لابلسی  $\partial^2/\partial x^2 + \partial^2/\partial y^2 + \partial^2/\partial z^2$  است. فوراً متوجه می‌شویم که این معادله نسبت به  $\psi$  خطی و همگن است. در نتیجه، برای ذرات مادی، یک اصل بوهم نهشی وجود دارد که، همراه با تعییر  $\psi$  به عنوان دامنه احتمال، منبع آثار موجی است. بعلاوه، توجه کنید که معادله دیفرانسیل (B-8) نسبت به مرتبه اول است، اگر بنابراین حالت ذره در زمان  $t_0$ ، که توسط  $(r, t_0)\psi$  مشخص شده است، حالت بعدی آنرا تعیین کند، این شرط ضروری است.

بنابراین یک تشابه اساسی بین ماده و تابش وجود دارد: در هردو مورد، توصیف صحیح پدیده‌ها مستلزم وارد کردن مفاهیم کوانتومی، و بخصوص، ایده "دوگانگی موجی ذره‌ای" است.

### گوشزدها:

برای یک دستگاه مشکل از فقط یک ذره، احتمال کل یافتن ذره در زمان  $t$  در رجایی از فضا برابر است با ۱:

$$\int d\Omega(r, t) = 1 \quad (B-9)$$

جون (B-9) توسط فرمول (B-4) داده شده است، نتیجه می‌گیریم که تابع موج  $(t, r)\psi$  باید مجبوراً "انتگرال پذیر" باشد:

$$\int |\psi(r, t)|^2 d^3r \quad (B-10)$$

محدود است. بنابراین ثابت بهنجارش C که در (B-4) ظاهر می‌شود توسط رابطه زیر داده می‌شود:

\* در اینجا معرف ارزی پتانسیل است. به عنوان مثال، می‌تواند حاصل ضرب پتانسیل الکتریکی دربار ذره باشد، در مکانیک کوانتومی (B-4) "عمولاً" پتانسیل نامیده می‌شود.

$$\frac{1}{C} = \int |\psi(r, t)|^2 d^3r \quad (B-11)$$

(بعداً "خواهیم دید که شکل معادله شرودینگر می‌رساند که  $C$  مستقل از زمان است) . غالباً "از توابع موجی بهنجارشده استفاده می‌شود به طوری که :

$$\int |\psi(r, t)|^2 d^3r = 1 \quad (B-12)$$

در این صورت ثابت  $C$  برابراست با ۱ .

به اختلاف مهم بین مفاهیم حالت‌های کلاسیکی و حالت‌های کوانتومی توجه کنید . حالت کلاسیکی یک ذره در زمان  $t$  با تصریح شش فراسنج  $x, y, z, p_x, p_y, p_z$  و  $\dot{x}, \dot{y}, \dot{z}$  که مکان و سرعت آنرا در این زمان مشخص می‌کنند تعیین می‌شود . حالت کوانتومی یک ذره توسط تعداد بینهایت فراسنج، مقادیر تابع موج  $(\psi, \psi')$  وابسته به آن در نقاط مختلف فضا، تعیین می‌شود . به جای ایده کلاسیکی یک مسیر (توالی حالت‌های مختلف ذره کلاسیکی نسبت نرمان) ، باید ایده انتشار موج وابسته به ذره را جایگزین کنیم . به عنوان مثال، آزمایش دوشکاف پانک را که، قبلاً برای مورد فوتوнаها تشریح کردیم، ولی در اصل می‌تواند با ذرات مادی نظریه الکترونها نیز انجام شود، درنظر بگیرید . وقتی الگوی تداخلی مشاهده شد، معنی ندارد که بیرسیم هر ذره از داخل کدام شکاف عبور کرده است، زیرا موج وابسته به آن از داخل هر دوگذشته است .

شایان توجه است که، برخلاف فوتوناها، که می‌توانند در خلال یک آزمایش گسیل با جذب شوند، ذرات مادی نه می‌توانند خلق شوند و نه مندم . به عنوان مثال، الکترونها که از یک رشته گرم گسیل می‌شوند از قبل در آن رشته وجود داشته‌اند . به همین طبقیک الکترونی که توسط یک شمارشگر جذب شده است ناپدید نمی‌شود : بلکه جز یک اتم یا یک مولکول یا یک جریان الکتریکی می‌شود . در واقع، نظریه نسبیت نشان می‌دهد که امکان دارد ذرات مادی را خلق یا نابود کرد : به عنوان مثال، فوتوونی که به حد کافی انرژی دارد، وقتی از نزدیکی یک اتم می‌گذرد، می‌تواند به یک زوج الکترون - پوزیترون تبدیل شود . بالعکس، پوزیترون، وقتی به یک الکترون برخورد کند، با آن نابود شده و فوتونهای گسیل می‌دارد . لیکن، در ابتدای این فصل خاطرنشان ساختیم که در اینجا خود را به محدوده کوانتومی غیرنسبیتی محدود خواهیم کرد، و در واقع مختصات مکانی و زمانی را به طور غیر متقاضی در نظر گرفته‌ایم . در

چارچوب مکانیک کوانتومی غیر نسبیتی، ذرات مادی نه می‌توانند خلق شوندو نه نابود. این قانون پایستگی، همان طور که خواهیم دید، دارای نقشی با اهمیت اساسی است.

لزوم رها کردن آن یکی از مهمترین مشکلاتی است که در موقع ساختن مکانیک کوانتومی نسبتی با آن مواجه می‌شویم.

### C. توصیف کوانتومی یک ذره بسته موجها

در بخش گذشته مفاهیم اساسی ای را که برای توصیف کوانتومی یک ذره لازمند معرفی کردیم. در این بخش می‌خواهیم خود را با این مفاهیم آشنا کرده و از آنها چندین خاصیت بسیار مهم استنتاج کنیم. ابتدا با مطالعه یک مورد خاص بسیار ساده، مورد یک ذره آزاد، شروع می‌کنیم.

/ ذره آزاد

ذرمای را در نظر بگیرید که انرژی پتانسیل آن در هر نقطه از فضا صفر (یا یک مقدار ثابت) باشد. بدین ترتیب ذره تحت تأثیر هیچ نیروی نبوده، و گفته می‌شود که آزاد است.

وقتی  $0 = V(r, t)$  معادله شرودینگر به صورت زیر در می‌آید:

$$i\hbar \frac{\partial}{\partial t} \psi(r, t) = -\frac{\hbar^2}{2m} \nabla^2 \psi(r, t) \quad (C-1)$$

این معادله، بوضوح توسط جوابهایی به صورت:

$$\psi(r, t) = A e^{i(kr - \omega t)} \quad (C-2)$$

(که در آن  $A$  یک ثابت است) ارضاء می‌شود، مشروط برآنکه  $k$  و  $\omega$  در رابطه زیر صدق کنند:

$$\omega = \frac{\hbar k^2}{2m} \quad (C-3)$$

مشاهده می‌کنیم که، برطبق روابط دو بروی [دک (B-2)، شرط (C-3) (بیانگر

این واقعیت است که انرژی  $E$  و تکانه  $p$  یک ذره آزاد در معادلهای صدق می‌کنند که در مکانیک کلاسیک مشهور است :

$$E = \frac{p^2}{2m} \quad (C-4)$$

بعداً (در بخش C-2) به تعبیر فیزیکی حالتی به شکل (C-2) باز خواهیم گشت. ملاحظه می‌کنیم که چون داریم :

$$|\psi(r, t)|^2 = |A|^2 \quad (C-5)$$

یک موج تخت ازین نوع، معرف ذره‌ای است که احتمال حضور آن در تمام فضا یکساخت است (گوشزد زیر را به بینید).

اصل برهم نهش می‌گوید که هر ترکیب خطی از امواج تختی که در رابطه (C-3) صدق کنند نیز جوابی از معادله (1-C) خواهد بود. یک چنین برهم نهشی می‌تواند به صورت زیر نوشته شود :

$$\psi(r, t) = \frac{1}{(2\pi)^{3/2}} \int g(k) e^{i(kr - \omega(k)t)} dk \quad (C-6)$$

( $d^3k$ ، بنایه تعریف، معرف عنصر حجمی بینهایت کوچک فضای  $k$  است)  $g(k) \cdot (dk_x dk_y dk_z)$ ، که می‌تواند مختلط باشد، باید به حد کافی منظم باشد تا مشتق گیری در داخل انتگرال را امکان پذیر سازد. بعلاوه، می‌توان نشان داد که، هر جوابی که مجدداً "انتگرال پذیر باشد می‌تواند به صورت (C-6) نوشته شود. یک تابع موج تنظیر (C-6)، برهم نهشی از امواج تخت، یک "بسته موج" سه بعدی نامیده می‌شود. برای سهولت، غالباً "به مطالعه" مورد یک‌بسته موج یک‌بعدی، که از برهم نهش امواج تختی که همگی به موازات  $Ox$  منتشر می‌شوند، هدایت خواهیم شد. در این صورت تابع موج فقط به  $x$  و، بستگی دارد:

$$\psi(x, t) = \frac{1}{\sqrt{2\pi}} \int_{-\infty}^{+\infty} g(k) e^{i(kx - \omega(k)t)} dk \quad (-2)$$

\* یک مدل ساده ازبسته موج دو بعدی در مکمل  $E$  ارائه شده است، بعضی از خواص عمومی بسته موج‌های سه بعدی در مکمل  $F$  مطالعه شده اند، این مکمل همچنین نشان می‌دهد که چگونه در بعضی موارد، یک مساله سه بعدی می‌تواند به چندین مساله یک بعدی تقلیل یابد.

در بخش آینده، شکل بسته موج در یک لحظه معین مورد توجه ما خواهد بود. اگر این لحظه را به عنوان مبدأ زمان انتخاب کیم، تابع موج بصورت زیر نوشته می‌شود:

$$\psi(x, 0) = \frac{1}{\sqrt{2\pi}} \int g(k) e^{ikx} dk \quad (C-8)$$

می‌بینیم که  $g(k)$  همان تبدیل فوریه<sup>۲</sup> (رک پیوست ۱) تابع  $(x, 0)\psi$  است:

$$g(k) = \frac{1}{\sqrt{2\pi}} \int \psi(x, 0) e^{-ikx} dx \quad (C-9)$$

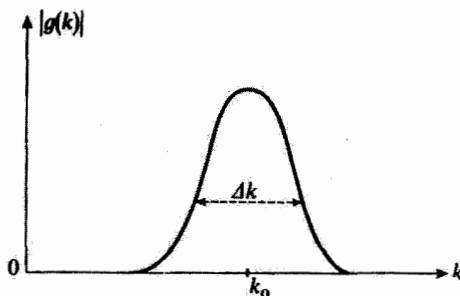
در نتیجه، اعتبار فرمول (C-8) به مورد ذرۀ آزاد محدود نمی‌شود: پتانسیل هرچه باشد،  $\psi(x, 0)$  همواره می‌تواند بهاین صورت نوشته شود. بنابراین، نتایجی را که از این مطلب در بخش‌های ۲ و ۳ در زیر استنتاج خواهیم کرد کاملاً "عمومی" هستند. در بخش ۴ به‌طور صریح به‌ذرۀ آزاد خواهیم پرداخت.

### گوشزد:

یک موج تخت از نوع (C-2)، که قدر مطلق آن در تمام فضا ثابت است [رک (C-5)]، "مجذوراً" انتگرال‌پذیر نیست. لذا، این موج نمی‌تواند به طور دقیق، معرف یک حالت فیزیکی ذرۀ باشد (به‌همان طریقی که، در اپتیک، یک موج تخت تکرنگ از نظر فیزیکی تحقق پذیر نیست). از طرف دیگر، یک برهمنهش از امواج تخت، مانند (C-7)، می‌تواند مجذوراً انتگرال‌پذیر باشد.

### ۳ - شکل بسته موج در یک زمان معین

شکل بسته موج توسط قسمت وابسته به  $x$  تابع  $(x, 0)\psi$ ، که با معادله (C-8) تعریف می‌شود، داده می‌شود. تصور کنید که منحنی  $|g(k)|$  بصورتی که در شکل ۳ ترسیم شده است باشد. یعنی، دارای یک قله، باز واقع در  $k_0 = k$  و پهنای  $4k$  (که به عنوان مثال، دو نصف مقدار ماکریممش تعریف می‌شود) می‌باشد.



شکل ۳.

شکل نابع  $|g(k)|$  مدول تبدیل فوریه  $\psi(x, 0)$  : فرض می‌کنیم که در جایی که  $k = k_0$ ، موجی می‌شود، متغیر کربوده و دارای پهنه‌ای  $\Delta k$  باشد.

ابتدا سعی می‌کنیم از طریق، مطالعه یک مورد خاص بسیار ساده، رفتار  $\psi(x, 0)$  را به طور کیفی بفهمیم. فرض کنید که  $\psi(x, 0)$  به جای اینکه مانند فرمول (C-8) بر هم نهش تعداد بی‌نهایت موج تخت  $e^{ikx}$  باشد مجموع فقط سه موج تخت باشد. بودارهای موجی این امواج تخت عبارتند از  $k_0 - \frac{\Delta k}{2}$ ،  $k_0 + \frac{\Delta k}{2}$ ، و دامنه‌ایشان به ترتیب متناسبند با  $1$ ،  $\frac{1}{2}$  و  $\frac{1}{3}$ . در این صورت داریم:

$$\begin{aligned} \psi(x) &= \frac{g(k_0)}{\sqrt{2\pi}} \left[ e^{ik_0 x} + \frac{1}{2} e^{i(k_0 - \frac{\Delta k}{2})x} + \frac{1}{2} e^{i(k_0 + \frac{\Delta k}{2})x} \right] \quad (\text{C-10}) \\ &= \frac{g(k_0)}{\sqrt{2\pi}} e^{ik_0 x} \left[ 1 + \cos\left(\frac{\Delta k}{2}x\right) \right] \end{aligned}$$

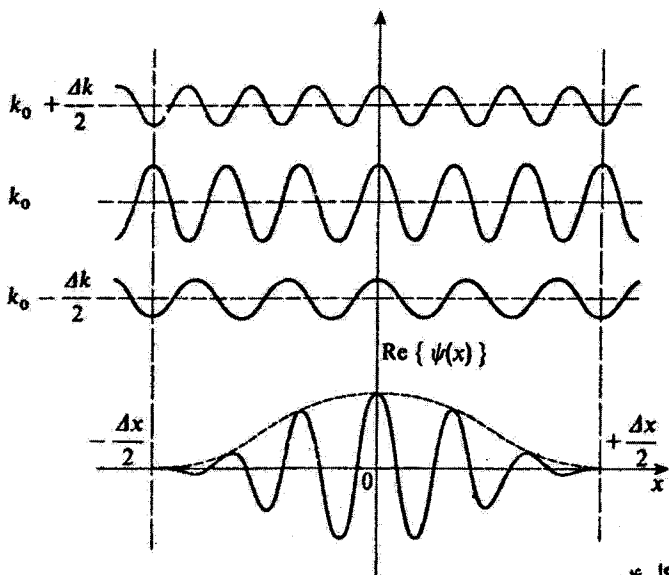
ملحوظه می‌کنیم که وقتی  $x = 0$  باشد،  $|\psi(x)|$  ماقزیم است. این نتیجه‌مناشی ازین حقیقت است که، وقتی  $x$  این مقدار را بگیرد، سه موج هم فاز بوده و، همانطوری که در شکل ۴ نشان داده شده است، به طور سازنده تداخل می‌کنند، هرچه از مقدار  $x = 0$  دورتر می‌شویم، امواج بیشتر و بیشتر از هم‌فازی خارج شده و  $|\psi(x)|$  کاهش می‌یابد. وقتی اختلاف فاز بین  $e^{ik_0 x}$  و  $e^{i(k_0 \pm \Delta k/2)x}$  برابر  $\pi$  شود تداخل کامل "ویرانگر" می‌شود.

وقتی  $x = \pm \frac{4x}{2}$  شود، که  $\Delta x$  توسط :

$$\Delta x \cdot \Delta k = 4\pi \quad (\text{C-11})$$

داده می‌شود،  $|\psi(x)|$  بمسمت صفر می‌گردد. این فرمول نشان می‌دهد که هرچه پهنه‌ای  $\Delta k$  تابع  $|g(k)|$  کوچکتر باشد، پهنه‌ای  $\Delta x$  تابع  $|\psi(x)|$  (فاصله بین دو صفر  $|\psi(x)|$ ) بزرگتر

خواهد شد.



شکل ۴.

قسمت‌های حقیقی سه موج که مجموع آنها تابع  $\psi(x)$  (C-1۵) را به دست می‌دهد. در  $x = 0$  ، سه موج هم فاز بوده و بطور سازنده تداخل می‌کند. وقتی از  $x = 0$  دور می‌شویم از همفازی خارج می‌شوند و به ازاء  $x = \pm \Delta x/2$  بطور ویرانگری تداخل می‌کنند.

در قسمت پائین شکل، قسمت حقیقی  $\{\psi(x)\}$  نشان داده شده است، منحنی خط چین مربوط است به تابع  $\left[ 1 + \cos\left(\frac{\Delta k}{2}x\right) \right]$  که بنابر (C-1۵)،  $\psi(x)$  (وازا بین رو، شگل بسته موج) را می‌دهد.

گوشزد:

فرمول (C-1۵) نشان می‌دهد که  $\psi(x)$  نسبت به  $x$  تناوبی است و بنابر این دارای یک رشته مانگزیم‌ها و می‌نیمهاست. این امر از این حقیقت ناشی می‌شود که  $|\psi(x)|$  برهم نهش تعداد محدودی موج (در اینجا، سه موج) است. برای یک برهم نهش پیوسته از تعداد بی‌نهایت موج، نظیر فرمول (A-8)، چنین پدیده‌ای اتفاق نمی‌افتد، و  $|\psi(x)|$  می‌تواند فقط یک مانگزیم داشته باشد.

حال بهبسته موج عمومی فرمول  $(\psi - \psi_0)$  بر می‌گردیم. شکل آن نیز از یک پدیده تداخل حاصل می‌شود:  $|\psi(x, 0)|^2$  هنگامی مانگزیم است که امواج تخت مختلف بمحضور سازنده تداخل کنند.

فرض کنید که  $\alpha(k)$  شناسه تابع  $\psi(x, 0)$  باشد:

$$\psi(x, 0) = |\psi(x, 0)| e^{i\alpha(k)} \quad (C-12)$$

هم چنین فرض کنید که در داخل بازه  $k_0 - \frac{\Delta k}{2}, k_0 + \frac{\Delta k}{2}$  که در آن  $|\psi(x, 0)|$  مقدار قابل ملاحظه‌ای دارد،  $\alpha(k)$  به حد کافی آرام تغییر کند، در این صورت وقتی به قدر کافی کوچک باشد، می‌توان  $\alpha(k)$  را در مجاورت  $k = k_0$  بسط داد:

$$\alpha(k) \approx \alpha(k_0) + (k - k_0) \left[ \frac{d\alpha}{dk} \right]_{k=k_0} \quad (C-13)$$

که مرا قادر می‌سازد تا  $(C-12)$  را به صورت زیر بازنویسی کنیم:

$$\psi(x, 0) \approx \frac{e^{i(k_0 x + \alpha(k_0))}}{\sqrt{2\pi}} \int_{-x}^{+\infty} |g(k)| e^{i(k - k_0)(x - x_0)} dk \quad (C-14)$$

که در آن

$$x_0 = - \left[ \frac{d\alpha}{dk} \right]_{k=k_0} \quad (C-15)$$

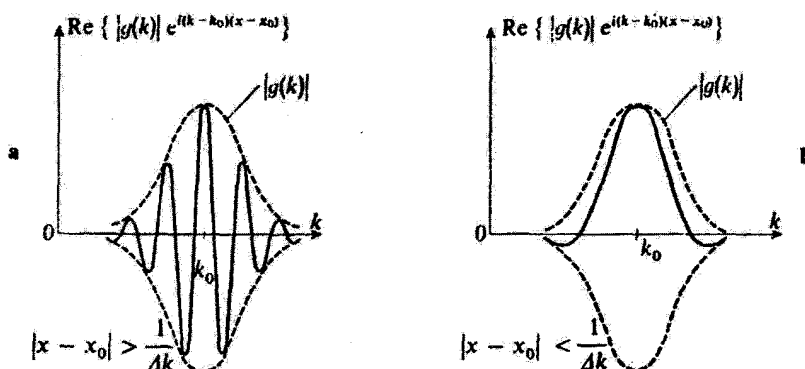
شکل  $(C-14)$  برای مطالعه تغییرات  $|\psi(x, 0)|$  بحسب  $x$  مفید است، وقتی  $|x - x_0|$  بزرگ باشد، تابع  $k$  که باید از آن انتگرال گرفته شود، تعداد بسیار زیادی نوسان در داخل بازه  $\Delta k$  انجام می‌دهد. سپس ملاحظه می‌کنیم (رو ک شکل a - ۵ که قسمت حقیقی این تابع در آن رسم شده است) که نوسانات پی در پی اثر یکدیگر را خنثی می‌کنند، و انتگرال روی  $k$  قابل اعتماد می‌شود. به عبارت دیگر، وقتی  $x$  دور از  $x_0$  در نظر گرفته شود، فازهای امواج مختلفی که  $(0, \psi)$  را می‌سازند در محدوده  $\Delta k$  بسیار سریع تغییر می‌کنند، و این امواج با تداخل یکدیگر را منعدم می‌کنند، از طرف دیگر، اگر  $x_0 \approx x$  باشد، تابعی که باید از آن روی  $k$  انتگرال گیری شود به ندرت نوسان می‌کند (رو ک شکل b - ۵)، و  $(0, \psi)$  مانگزیم است.

بنابراین، مکان مرکز بسته موج،  $x_M(0)$ ، عبارت است از:

$$x_M(0) = x_0 = - \left[ \frac{d\alpha}{dk} \right]_{k=k_0} \quad (C-16)$$

این مکان را با تصریح اینکه فازهای امواج مختلفی که  $(0, \psi)$  را می‌سازند در محدوده

$\Delta k$  تغییرات بسیار ناچیزی دارند، به دست آورده‌ایم (شرط "فاز مانا").



شکل ۵

تغییرات تابعی که باید، برای به دست آوردن  $\psi(x, 0)$ ، روی  $k$  از آن انتگرال کرفت، نسبت به  $k$ . در شکل (a)، مقدار  $x$  چنان انتخاب شده است که  $|x - x_0| > 1/\Delta k$ ، و تابعی که باید از آن انتگرال کرفته شود چندین بار در بازه  $\Delta k$  نوسان می‌کند. در شکل (b)، مقدار  $x$  طوری انتخاب شده است که  $|x - x_0| < 1/\Delta k$  و تابعی که باید از آن انتگرال گیری شود بسختی نوسان می‌کند، به طوری که انتگرال آن روی  $k$  یک مقدار نسبتاً بزرگی می‌شود. در نتیجه، مرکز بسته موج [ نقطه‌ای که  $\psi(x, 0)$  ماقریم است] در  $x = x_0$  واقع شده است.

وقتی  $x$  از مقدار  $x_0$  دور شود،  $|\psi(x, 0)|$  کاهش می‌یابد. اگر وقتی که  $k$  محدوده  $\Delta k$  را طی می‌کند  $e^{ik(x-x_0)}$  تقریباً یک بار نوسان کند، یعنی، اگرداشتہ باشیم:

$$\Delta k \cdot (x - x_0) \simeq 1 \quad (C-17)$$

این کاهش قابل ملاحظه می‌شود. بنابراین اگر  $\Delta x$  پهنای تقریبی بسته موج باشد، داریم:

$$\Delta k \cdot \Delta x \gtrsim 1 \quad (C-18)$$

بدین ترتیب به یک رابطه کلاسیکی بین پهناهای دوتابع که تبدیلات فوریه یکدیگرند، برگشته‌ایم. واقعیت مهم این است که حاصل ضرب  $\Delta x \cdot \Delta k$  دارای یک حد

پائینی است ، مقدار دقیق این حد ، بهوضوح بهتعریف دقیق پهناهای  $4x$  و  $4k$  بستگی دارد.

بنابراین ، یک بسته موج نظیر (C-7) معرف حالت ذرهای است که احتمال حضور آن ، درزمان  $t = 0$  ، علاوه بر خارج بازمای که پهناهی تقریبی آن  $4x$  بوده و در مقدار  $x_0$  متمرکز است ، صفر است .

گوشزد :

استدلال قبل می‌تواند ما را به این اعتقاد هداخت کند که حاصلضرب  $4x \cdot 4k$  همواره از مرتبه ۱ است [رک (C-12)] . روی این واقعیت تأکید می‌کنیم که این یک حد پائینی است . با وجودی که غیرممکن است بتوان بسته موجهای ساخت که برای آنها حاصلضرب  $4x \cdot 4k$  در مقابل ۱ قابل اغماض باشد ، ولی کاملاً ممکن است بسته های بسازیم که برای آنها این حاصلضرب تا هرحد دلخواهی بزرگ باشد [رک] ، به عنوان مثال ، به مکمل  $G$  بخصوص تذکر (ii) از بخش C-۳] ، به این دلیل است که (C-18) به صورت یک نامساوی نوشته شده است .

### ۳- رابطه عدم قطعیت هایزنبرگ

در مکانیک کوانتومی ، نامساوی (C-18) نتایج فیزیکی فوق العاده مهمی به همراه دارد . اینکه قصد داریم که آنها را مورد بحث قرار دهیم ( برای سهولت ، در چار چوب یک مدل یک بعدی خواهیم ماند ) .

دیدیم که یک موج تخت  $\psi(x, t)$  متناظر است با یک چکالی احتمال ثابت برای حضور ذره در طول محور  $Ox$  ، برای تمام مقادیر  $t$  . این نتیجه می‌تواند تقریباً این طور بیان شود که بگوئیم مقدار  $\psi$  متناظر بینهایت است . از طرف دیگر ، فقط یک فرکانس زاویهای  $\omega$  و یک بردار موجی  $k$  وارد می‌شود . بنابر روابط دو بروی ، این مطلب بدان معنی است که انرژی و تکانه ذره کاملاً معین هستند :  $E = \hbar\omega_0$  و  $p = \hbar k_0$  . بعلاوه ، یک چنین موج تختی می‌تواند مورد خاصی از (C-7) ، که برای آن  $g(k)$  یک "تابع دلتا" ( پیوست ۲ ) است .

$$g(k) = \delta(k - k_0) \quad (C-19)$$

در نظر گرفته شود. در این صورت مقدار  $\hbar k$  ای متناظر صفر است.

اما این ویژگی می‌تواند، با استفاده از اصل تجزیهٔ طیفی (رک بخش‌های A-۲ و B-)، به روش زیر نیز تعبیر شود. وقتی می‌گوییم ذره‌ای، که در زمان ۰ =  $x(0)$  توسط تابع موج  $A e^{ikx}$  تشریح شده است، یک تکانه کاملاً "معین دارد"، مانند این است که بگوییم اندازه‌گیری تکانه در این زمان یقیناً "مقدار  $\hbar k = p$  را خواهد داد. ازین مطلب نتیجه می‌گیریم که  $e^{ikx}$  ویژه حالت متناظر با  $p = \hbar k$  را مشخص می‌کند. چون برای هر مقدار حقیقی  $k$  یک موج تخت وجود دارد، ویژه مقدارهایی را که در یک اندازه‌گیری تکانه یک حالت دلخواه می‌توان انتظار به دست آوردن آنها را داشت تمام مقادیر حقیقی را شامل می‌شوند. در این مورد، کوانتی شرایط ممکنه وجود ندارد: نظریه مکانیک کلاسیک، تمام مقادیر تکانه مجازند.

حال فرمول (C-۸) را در نظر بگیرید. در این فرمول  $|x(0)\psi\rangle$  به صورت برهم‌نهشی خطی از ویژه تابعهایی تکانه است که در آن ضریب  $e^{ikx}$  عبارت است از  $g(k)$ ، بدین ترتیب به این امر سوق داده می‌شویم که اگر در  $0 = x$ ، تکانه ذره‌ای که حالت آن توسط  $|x(0)\psi\rangle$  توصیف می‌شود اندازه‌گیری شود،  $|g(k)|^2$  را (باتقریب یک ضریب ثابت) به عنوان احتمال یافتن  $\hbar k = p$  تعبیر کنیم. در واقع، مقادیر ممکن  $p$ ، مانند مقادیر  $x$ ، یک مجموعه پیوسته تشکیل می‌دهند، و  $|g(k)|^2$  متناسب است با یک چالی احتمال: احتمال  $(\overline{d\mathcal{P}}(k))$  برای یافتن مقداری بین  $\hbar k$  و  $\hbar(k+dk)$  با تقریب یک ضریب ثابت، برابر است با  $|g(k)|^2 dk$ . به طور دقیق‌تر، اگر فرمول (C-۸) را به صورت:

$$\psi(x, 0) = \frac{1}{\sqrt{2\pi\hbar}} \int \bar{\psi}(p) e^{ipx/\hbar} dp \quad (C-20)$$

بازنویسی کنیم، می‌دانیم که  $(p)\bar{\psi}$  و  $(x)\psi$  در رابطهٔ بسل - پارسوال (پیوست ۱) :

$$\int_{-\infty}^{+\infty} |\psi(x, 0)|^2 dx = \int_{-\infty}^{+\infty} |\bar{\psi}(p)|^2 dp \quad (C-21)$$

صدق می‌کنند. اگر مقدار مشترک این انتگرال‌ها  $C$  باشد،  $\int |g(x, 0)|^2 dx$  صدق می‌کنند. اگر مقدار مشترک این انتگرال‌ها  $C$  باشد،  $\int |g(x, 0)|^2 dx = C$  باشد، بین  $x$  و  $dx$  باشد. به همین طریق:

$$\overline{d\mathcal{P}}(p) = \frac{1}{C} |\bar{\psi}(p)|^2 dp \quad (C-22)$$

عبارت است از احتمال اینکه اندازه‌گیری تکانه نتیجه‌های بین  $p$  و  $p + dp$  به دست دهد [سپس رابطه<sup>۱۸ - C</sup>] تضمین می‌کند که احتمال کل یافتن یک مقدار غیر مشخص، در واقع، برابر است با  $[0..1]$ .

حال به نامساوی  $(18 - C)$  بر می‌گردیم. می‌توانیم آنرا به صورت زیر بنویسیم:

$$\Delta x \cdot \Delta p \gtrsim \hbar \quad (C-22)$$

$\Delta p = \hbar \Delta k$  پهنای منحنی  $|\psi(p)|$  است). ذرهای را در نظر بگیرید که حالت آن توسط بسته موج  $(C-20)$  تعریف شده باشد، می‌دانیم که احتمال مکانی آن در  $x = x_0$  فقط در داخل ناحیه‌ای به پهنای  $\Delta x$  حول  $x_0$  دارای مقدار قابل ملاحظه‌ای است؛ مکان آن با عدم قطعیت  $\Delta x$  معلوم است. اگر در همان زمان تکانه، این ذره اندازه‌گیری شود، مقداری بین  $\frac{\Delta p}{2} + p_0$  و  $\frac{\Delta p}{2} - p_0$  به دست خواهد آمد، زیرا  $|\psi(p)|^2$  عملای خارج این بازه صفر است.

بنابراین عدم قطعیت در اندازه حرکت  $\Delta p$  است. لذا تغییر رابطه<sup>۱۹ - C</sup> به شرح زیر است: غیر ممکن است که در یک زمان معین هم مکان ذره و هم تکانه آن، هردو، با درجه دقت دلخواهی تعیین شوند. وقتی به حد پائینی که توسط  $(C-23)$  تحملیم می‌شود رسیدیم، افزایش دقت در مکان (کاهش  $\Delta x$ ) می‌رساند که دقت در تکانه کم می‌شود ( $\Delta p$  افزایش می‌باید)، وبالعکس، این رابطه، رابطه عدم قطعیت‌ها یزبرگ نامیده می‌شود.

ما چیزی ازین نوع در مکانیک کلاسیک نمی‌شناسیم. محدودیتی که توسط  $(C-23)$  بیان شده است ازین حقیقت ناشی می‌شود که  $\hbar$  صفر نیست. همین‌کوچکی مقدار  $\hbar$  در مقیاس ماکروسکوپیکی است که این محدودیت را به طور کامل در مکانیک کلاسیک قابل اغماض می‌کند (در مکمل  $B_1$  یک مثال به طور مفصل مورد بحث قرار گرفته است).

گوشزد:

نامساوی  $(18 - C)$  که با آن شروع کردیم، "ذاتاً" یک اصل مکانیک کوانتومی نیست، بلکه صرفاً "بیانگر یک خاصیت عمومی از تبدیلات فوریه است، که کاربردهای متعدد آن را می‌توان در فیزیک کلاسیک یافت. به عنوان مثال، از نظریه الکترومغناطیس می‌دانیم که هیچ قطاری از امواج الکترومغناطیسی

وجود ندارد که بتوان برای آن دریک زمان، مکان و طول موج را بادقت نامحدودی تعریف کرد. مکانیک کوانتومی وقتی وارد می شود که به مرذره مادی یک موج وابسته کرده و بخواهیم طول موج و تکانه آن در رابطه دوبروی صدق کنند.

### ۴ - تحول زمانی یک بسته موج آزاد

تاکنون، فقط به شکل یک بسته موج در یک لحظه معین پرداخته ایم، در این بخش می خواهیم تحول زمانی ازرا مطالعه کنیم. لذا، به مورد یک ذره آزاد که حالت آن توسط بسته موج یک بعدی (C-۷) توصیف شده است، برمی گردیم.  
یک موج تخت معین  $e^{i(kx - \omega t)}$  با سرعت :

$$V_\phi(k) = \frac{\omega}{k} \quad (C-24)$$

در امتداد محور  $Ox$  انتشار می یابد زیرا تنها از طریق  $\left( x - \frac{\omega}{k} t \right)$  به  $x$  و بستگی دارد،  $V_\phi(k)$  سرعت فاز موج تخت نامیده می شود.  
می دانیم که برای یک موج الکترومغناطیسی که در خلاء انتشار می یابد، پر مستقل از  $k$  بوده و برابر است با سرعت نور. تمام امواجی که بسته موج را می سازند با همان سرعت حرکت می کنند به طوری که بسته تیز یکجا با همان سرعت حرکت می کند، بدون اینکه تغییر شکل یابد. از طرف دیگر، می دانیم که در یک محیط پاشنده، که سرعت فاز توسط رابطه :

$$V_\phi(k) = \frac{c}{n(k)} \quad (C-25)$$

داده می شود، این مطلب درست نیست: که  $n(k)$  شاخص محیط است که با طول موج تغییر می کند.

موردنی را که در اینجا برسی می کنیم مربوط به یک محیط پاشنده است، زیرا سرعت فاز برابر است با [ رک معادله (C-۳) ] :

$$V_\phi(k) = \frac{\hbar k}{2m} \quad (C-26)$$

خواهیم دید که وقتی امواج مختلف سرعتهای فاز نا برابر داشته باشند، سرعت نقطه  $x_M$ ، مانگیم بسته موج، برخلاف آنچه ممکن است انتظار رود، برابر با سرعت فاز میانگین  $\frac{\omega_0}{k_0} = \frac{\hbar k_0}{2m}$  نیست.

مانند گذشته، ابتدا سعی خواهیم کرد، قبل از انتخاب یک دیگاه عمومی‌تر، به طور کیفی بفهمیم چه اتفاق می‌افتد. بنا براین، به برهمنهش سه موج برسی شده در بخش ۲-*C* بر می‌گردیم. برای یک مقدار دلخواه  $x$ ،  $\psi(x, t)$  توسط رابطه زیر داده می‌شود:

$$\begin{aligned}\psi(x, t) &= \frac{g(k_0)}{\sqrt{2\pi}} \left\{ e^{ik_0x - \omega_0t} + \frac{1}{2} e^{i[(k_0 - \frac{\Delta k}{2})x - (\omega_0 - \frac{\Delta \omega}{2})t]} \right. \\ &\quad \left. + \frac{1}{2} e^{i[(k_0 + \frac{\Delta k}{2})x - (\omega_0 + \frac{\Delta \omega}{2})t]} \right\} \\ &= \frac{g(k_0)}{\sqrt{2\pi}} e^{i(k_0x - \omega_0t)} \left[ 1 + \cos \left( \frac{\Delta k}{2}x - \frac{\Delta \omega}{2}t \right) \right] \quad (C-27)\end{aligned}$$

بنابراین، می‌بینیم که مانند  $|\psi(x, t)|$ ، که در زمان  $t = 0$  در  $x = 0$  بود، اکنون در نقطه  $x$  است:

$$x_M(t) = \frac{\Delta \omega}{\Delta k} t \quad (C-28)$$

است نه در نقطه  $x = 0$ . منشاء فیزیکی این نتیجه در شکل عظاً هر می‌شود. قسمت (۱) این شکل مکان سه مانند  $\psi(x, t)$  را در زمان  $t = 0$ ، برای قسمتهای حقیقی هریک از سه موج، نشان می‌دهد. چون مانند  $\psi(x, t)$  موج  $x$  در نقطه تداخل سازنده وجود دارد، که از نیرو متناظراست با مکان مانند  $|x_M(t)|$ ، چون سرعت فاز با  $k$  افزایش می‌یابد [فرمول (C-26)]، مانند  $(\frac{\Delta k}{2})$  موج  $(k_0 + \frac{\Delta k}{2})$  بهم مانند  $\psi(x, t)$  موج  $(k_0)$  خواهد رسید، که این موج بهنوبه خود به مانند  $x_M(t) = -\frac{\Delta k}{2}$  خواهد رسید.

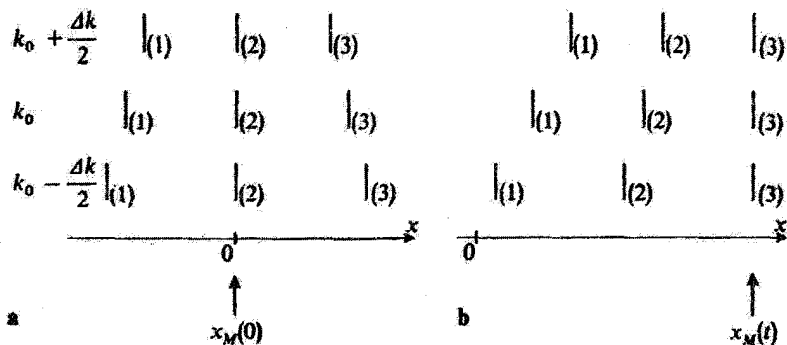
بدین ترتیب پس از مدت معینی وضعیتی را خواهیم داشت که در شکل (b-6) نشان داده شده است: مانند  $\psi(x, t)$  را تعیین می‌کند. از شکل بوضوح دیده می‌شود که  $x_M(t)$  برابر با  $\frac{\omega_0}{\Delta k}$  نیست، و یک محاسبه ساده باز دیگر (C-28) را به دست می‌دهد، تغییر مکان مرکز بسته موج (C-7) می‌تواند، با اعمال روش "فاز مانا" به طریق مشابهی پیدا شود. از شکل (C-7) برای بسته موج آزاد می‌توان دید که، برای اینکه از  $(x, 0)$  به  $(x, t)$  برویم، کافی است  $g(k)$  را به  $e^{-i\omega(k)t}$  تبدیل کنیم. بنابراین استدلال بخش ۲-*C* معتبر باقی می‌ماند، به شرط اینکه شناسه  $x(k)$  ای

را با :

$$\alpha(k) = \omega(k)t \quad (C-29)$$

جایگزین کنیم . در این صورت شرط (C-16) می‌دهد :

$$x_M(t) = \left[ \frac{d\omega}{dk} \right]_{k=k_0} t - \left[ \frac{d\alpha}{dk} \right]_{k=k_0} \quad (C-30)$$



شکل ۶ .

مکانهای ماگزیموم‌های سه موج شکل ۶ در زمان ۰ = e (شکل a) و

در زمان بعدی e (شکل b) . در زمان ۰ = e ، ماگزیموم‌های (۲) ،

واقع در  $x = 0$  ، هستند که تداخل سازنده دارند ; مکان مرکزبسته موج در  $x = 0$  =  $x_M(0)$  قرار دارد ، در زمان e ، سه موج با سرعت

فازهای مختلف پ جلو می‌روند . در این صورت ماگزیموم‌های (۳)

هستند ، که تداخل سازنده دارند و مرکز بسته موج در  $x = x_M(t)$ 

قرار دارد . بنابراین ملاحظه می‌کنیم که سرعت مرکز بسته موج

(سرعت گروه) با سرعت فازهای سه موج فرق دارد .

بدین ترتیب به نتیجه (C-28) می‌رسیم : سوخت نقطه ماگزیموم بسته موج

عبارت است از :

$$V_G(k_0) = \left[ \frac{d\omega}{dk} \right]_{k=k_0} \quad (C-31)$$

 $V_G(k_0)$  سرعت گروه بسته موج نامیده می‌شود ، با توجه به رابطه پاشیدگی داده شده

در (C-۳)، خواهیم داشت :

$$V_G(k_0) = \frac{\hbar k_0}{m} = 2V_p(k_0) \quad (C-32)$$

این نتیجه مهم است زیرا، به ما امکان می‌دهد تا مجدداً "توصیف کلاسیکی ذره" آزاد را، برای مواردی که این توصیف معتبر است، به دست آوریم. به عنوان مثال، وقتی با یک ذره مکروскопیکی سروکار داریم (و مثال ذره غباری که در مکمل B بحث می‌شود نشان می‌دهد که ناچه حد می‌تواند کوچک باشد)، رابطه عدم قطعیت در دقتی که با ان مکان و تکانه ذره را می‌دانیم محدودیت قابل مشاهده‌ای مطرح نمی‌کند. این مطلب بدان معنی است که، برای تشریح چنین ذره‌ای بسروش مکانیک کوانتوسی، می‌توانیم بسته موجی بسازیم که پهنه‌های مشخصه  $\Delta x$  و  $\Delta p$  از آن قابل اعماض باشد، در این صورت، از مکان  $(x, p)$  و تکانه  $p$  ذره به زبان کلاسیک صحبت خواهیم کرد. اما در این حال سرعت ذره باید  $\frac{p_0}{m} = v$  باشد، این مطلب در واقع همان چیزی است که از فرمول (C-32) که در توصیف کوانتوسی به دست آمده است، استنباط می‌شود: در مواردی که  $\Delta x$  و  $\Delta p$  هردو بتوانند قابل اعماض باشند، مانگزیم بسته موج مانند ذره‌ای حرکت خواهد کرد که از قوانین مکانیک کلاسیک پیروی می‌کند.

گوشزد:

ما در اینجا حرکت مرکز بسته موج آزاد را مورد تأکید قرار داده‌ایم. هم‌چنین امکان دارد طریقه تحول شکل آن نسبت به زمان را مورد مطالعه قرار دهیم. در این صورت به آسانی می‌توان نشان داد که، اگر پهنه‌ای  $\Delta p$  یک ثابت حرکت باشد،  $\Delta x$  با زمان تغییر می‌کند، و برای زمانهای به حدکافی طولانی، به طور نامحدود افزایش می‌یابد (گسترش بسته موج)، بحث درباره این پدیده در مکل G<sub>1</sub>، که مورد خاص یک بسته موج کاووسی بررسی می‌شود، آمده است.

#### D. ذره در یک پتانسیل فردی‌ای مستقل از زمان

در بخش C دیدیم که چگونه، وقتی بتوان ثابت پلانک  $\hbar$  را قابل اعماض تلقی کرد، توصیف مکانیک کوانتوسی یک ذره به توصیف کلاسیکی تقلیل می‌یابد. در تقریب کلاسیک، جنبه موجی ظاهر نمی‌شود زیرا طول موج  $\frac{\hbar}{p}$  را بسته به ذره از طولهای

مشخصهٔ حرکت آن بسیار کوچکتر است. این وضعیت مشابه وضعیتی است که در اپتیک با آن مواجه می‌شویم. اپتیک هندسی، که از خواص موجی نور صرف نظر می‌کند، وقتی بتوان از طول موج مربوطه در مقابل طولهایی که با آنها مواجهیم صرف نظر کنیم تقریب خوبی است. بنابراین مکانیک کلاسیک نسبت به مکانیک کوانتومی همان نقشی را ایفا می‌کند که اپتیک هندسی در مقابل اپتیک موجی.

در این بخش می‌خواهیم به ذرهای که دریک پتانسیل مستقل از زمان قرار دارد بپردازیم. آنچه در بالا گفته شد می‌رساند که آثار نوعاً "کوانتومی" (یعنی آنهاست که منشاء موجی دارند) وقتی باید بروز کنند که پتانسیل در فواصل کوتاه‌تر از طول موج بهطور قابل ملاحظه‌ای تغییر کند، که در این صورت نمی‌توان از آن صرف نظر کرد. به این دلیل است که می‌خواهیم رفتار یک ذره کوانتومی واقع در "پتانسیلهای مربعی" مختلف، یعنی "پتانسیلهای پلمای" (ناظر آنچه در شکل a - ۷ نشان داده شده است، را مطالعه کنیم. یک چینی پتانسیلی، که ناپیوسته است، به‌وضوح در فواصل از مرتبه طول موج، هر قدر هم کوچک باشد، بهطور قابل ملاحظه‌ای تغییر می‌کند؛ از این رو آثار کوانتومی همواره باید ظاهر شوند. قبل از پرداختن به این بررسی، بعضی از خواص مهم معادله شرودینگر را وقتی که پتانسیل وابسته به زمان نباشد مورد بحث قرار می‌دهیم.

### ۱ - جدا کردن متغیرها. حالت‌های مانا

تابع موج ذرهای که انرژی پتانسیل  $V$  آن وابسته به زمان نباشد باید در معادله شرودینگر زیر صدق کند:

$$i\hbar \frac{\partial}{\partial t} \psi(\mathbf{r}, t) = -\frac{\hbar^2}{2m} \Delta \psi(\mathbf{r}, t) + V(\mathbf{r}) \psi(\mathbf{r}, t) \quad (D-1)$$

۲ - وجود حالت‌های مانا:

بهینیم آیا برای این معادله جوابهایی به صورت زیر وجود دارد:  
 $\psi(\mathbf{r}, t) = \varphi(\mathbf{r}) \chi(t)$  (D-2)

با قرار دادن (D-2) در (D-1) خواهیم داشت:

$$i\hbar \varphi(\mathbf{r}) \frac{d\chi(t)}{dt} = \chi(t) \left[ -\frac{\hbar^2}{2m} \Delta \varphi(\mathbf{r}) \right] + \chi(t) V(\mathbf{r}) \varphi(\mathbf{r}) \quad (D-3)$$

اگر طرفین این رابطه را بر حاصلضرب  $\varphi(r)\chi(t)$  تقسیم کنیم داریم :

$$\frac{i\hbar}{\chi(t)} \frac{d\chi(t)}{dt} = \frac{1}{\varphi(r)} \left[ -\frac{\hbar^2}{2m} \Delta \varphi(r) \right] + V(r) \quad (D-4)$$

این معادله یک تابع را که فقط به ۲ بستگی دارد (طرف چپ) با تابع دیگری که فقط به ۲ بستگی دارد (طرف راست) باهم برابر قرار می‌دهد. این برابری تنها وقتی ممکن است که هرکدام ازین توابع در واقع یک مقدار ثابت باشد، ما این مقدار ثابت را برابر با  $\hbar\omega$ ، که در آن  $\varphi$  دارای دیمانسیون فرکانس زاویه‌ای است، قرار می‌دهیم. با مساوی قراردادن طرف چپ با  $\hbar\omega$ ، یک معادله دیفرانسیل برای  $\varphi(r)$  به دست می‌آید که به‌سادگی قابل انتگرال‌گیری بوده و نتیجه می‌دهد :

$$\chi(t) = A e^{-i\omega t} \quad (D-5)$$

به همین طریق،  $\varphi(r)$  باید در معادله زیر صدق کند :

$$-\frac{\hbar^2}{2m} \Delta \varphi(r) + V(r) \varphi(r) = \hbar\omega \varphi(r) \quad (D-6)$$

اگر در معادله  $(D-5)$  قراردهیم  $A=1$  که، به عنوان مثال، وقتی امکان پذیر است که ثابت  $A$  را در  $\varphi(r)$  منظور داریم، نتیجه زیر حاصل می‌شود: تابع

$$\psi(r, t) = \varphi(r) e^{-i\omega t} \quad (D-7)$$

بما ان شرط جواب معادله شرودینگر است که  $\varphi(r)$  جواب معادله  $(D-6)$  باشد. بما ان ترتیب می‌گوئیم که متغیرهای زمانی و فضایی جدا شده‌اند.

یک تابع موج از نوع  $(D-7)$  یک جواب مانای معادله شرودینگر نامیده می‌شود: این جواب به یک چالانی احتمال مستقل از زمان  $|\varphi(r)|^2 = |\psi(r, t)|^2$  منجر می‌شود. در یک تابع مانا فقط یک فرکانس زاویه‌ای  $\omega$  ظاهر می‌شود، بنابر روابط پلانک-اینشتن، یک حالت مانا حالتی است با یک انرژی کاملاً "معین"  $E = \hbar\omega$  (ویژه حالت انرژی). در مکانیک کلاسیک، وقتی انرژی پتانسیل مستقل از زمان باشد، انرژی کل یک پایای حرکت است، در کوانتومی، حالت‌های با انرژی کاملاً "معینی وجود دارد. بنابراین معادله  $(D-6)$  می‌تواند به صورت :

$$\left[ -\frac{\hbar^2}{2m} \Delta + V(r) \right] \varphi(r) = E \varphi(r) \quad (D-8)$$

یا :

$$H\varphi(r) = E\varphi(r) \quad (D-9)$$

نوشته شود که  $H$  عملکرد دیفرانسیلی زیر است:

$$H = -\frac{\hbar^2}{2m} \Delta + V(r) \quad (D-10)$$

 $H$  یک عملگر خطی است زیرا، اگر  $\lambda_1$  و  $\lambda_2$  مقادیر ثابتی باشند، داریم:

$$H[\lambda_1\varphi_1(r) + \lambda_2\varphi_2(r)] = \lambda_1 H\varphi_1(r) + \lambda_2 H\varphi_2(r) \quad (D-11)$$

بدین ترتیب معادله (D-9) معادله ویژه مقدار عملگر خطی  $H$  است: اعمالبه "ویژه تابع"  $\varphi(r)$ ، منجر به حاصل ضرب همان تابع در "ویژه مقدار"  $E$  می‌شود بنابراین انرژی‌های مجاز همان ویژه مقدارهای عملگر  $H$  هستند. بعده "خواهیم دید که معادله (D-9) فقط برای مقادیر معینی از  $E$  دارای جوابهای  $\varphi(r)$  است که مجدول را" انگرال پذیری‌باشد (رک بخش‌های ۲-۲ و ۲-۳ از مکمل  $H$ ) : این مطلب منشاء کوانتش انرژی است.

گوشزد:

معادله (D-8) یا (D-9) گاهی در مقابل "معادله شرودینگرو" است  
به زمان" (D-1)، "معادله شرودینگر مستقل از زمان" نامیده می‌شود. تفاوت اساسی آنها را مورد تأکید قرار دهیم: معادله (D-1) یک معادله عمومی است که حالت ذره هرچه باشد، تحول تابع موج را می‌دهد، از طرف دیگر معادله ویژه مقداری (D-9) به ما امکان می‌دهد تا، از میان تمام حالت‌های ممکن ذره، آنها را که مانا هستند پیدا کنیم.

b - برهم نهش حالت‌های مانا

برای اینکه مقادیر ممکن مختلف انرژی  $E$  (و ویژه تابع  $\varphi(r)$  متناظر) را متمایز سازیم، آنها را با یک شاخص  $n$  مشخص می‌کنیم. لذا داریم:

$$H\varphi_n(r) = E_n\varphi_n(r) \quad (D-12)$$

و حالت‌های مانای ذره، دارای توابع موج زیر هستند:

$$\psi_n(r, t) = \varphi_n(r) e^{-iE_n t/\hbar} \quad (D-13)$$

$\psi_n(r, t)$  جواب معادله شرودینگر (D-1) است. از آنجاکه این معادله خطی است، دارای یک دسته جوابهای دیگری به صورت:

$$\psi(r, t) = \sum_n c_n \varphi_n(r) e^{-iE_n t/\hbar} \quad (D-14)$$

است، که در آن ضرائب  $c_n$  ثابت‌های مختلط دلخواه هستند. بخصوص، داریم:

$$\psi(r, 0) = \sum_n c_n \varphi_n(r) \quad (D-15)$$

بر عکس، فرض کنید که  $\psi(r, 0)$ ، یعنی حالت ذره در زمان ۰ = ۰، رامی‌دانیم. بعداً "خواهیم دید که هر تابع  $\psi(r, 0)$  همواره می‌تواند بر حسب ویژه تابعهای  $H$ ، مانند رابطه (D-15)، تجزیه شود. ازین‌رو ضرائب  $c_n$  توسط  $(\psi(r, 0), \psi)$  تعیین می‌شوند. بنابر این جواب معادله شرودینگر  $(\psi(r, t), \psi)$ ، توسط (D-14) داده می‌شود. آنچه که باید برای بدست آوردن آن انجام دهیم این است که هر جمله از (D-15) را در ضرب  $e^{-iE_n t/\hbar}$ ، که  $E_n$  ویژه مقدار وابسته به  $\varphi_n(r)$  است، ضرب کنیم. ناء کید می‌کنیم که این ضرائب فاز از یک جمله به محمله دیگر فوق می‌کنند. فقط در مورد حالت‌های مانا است که بستکی آن به زمان فقط با یک تابع نمایی مشخص می‌شود [فرمول (D-13)].

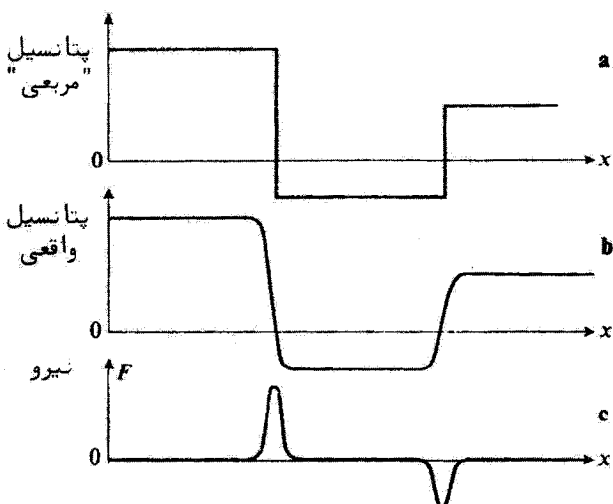
### ۲- پتانسیلهای "مربع" یک بعدی:

#### مطالعه: کیفی

در ابتدای بخش D گفتیم که برای آشکار ساختن آثار کوانتومی، پتانسیلهای را بررسی می‌کنیم که در فواصل کوتاه به مطری قابل ملاحظه‌ای تغییر کنند. در اینجا، برای متمرکز شدن روی ایده‌های فیزیکی ساده، خود را به مطالعه کیفی محدود خواهیم ساخت. مطالعه دقیق‌تر در مکمل‌های این فصل (مکمل  $H_1$ ) ارائه شده است. جهت ساده‌کردن مسئله یک مدل یک بعدی را، که در آن انرژی پتانسیل فقط به  $x$  بستگی داشته باشد، در نظر خواهیم گرفت (تجوییه یک‌چنین مدلی در مکمل  $F_1$  آمد است).

## ه - معنی فیزیکی یک پتانسیل مربعی :

یک مسئله یک بعدی با پتانسیلی که در شکل a - ۷ نشان داده شده است در نظر بگیریم . محور  $Ox$  به چند ناحیه پتانسیل ثابت تقسیم شده است . پتانسیل در مرز دوناچیه مجاور، یک پرش ناگهانی و ناپیوستگی (انجام می دهد . در واقع ، یک چنین ثابعی نمی تواند حقیقتا " یک پتانسیل فیزیکی را ، که باید پیوسته باشد ، نشان دهد . ما از آن برای نشان دادن طرح واریک انرژی پتانسیل  $(x)$  - ۷ که در واقع دارای شکل b - ۷ است استفاده خواهیم کرد : در شکل b - ۷ ناپیوستگی وجود ندارد اما  $(x)$  - ۷ در نزدیکی بعضی از مقادیر  $x$  خیلی سریع تغییر می کند . وقتی فوایدی که در آن این تغییرات رخ می دهد خیلی کوچکتر از سایر فواصل دخیل در مسئله (بخصوص ، طول موج وابسته به ذره) باشد . می توانیم پتانسیل واقعی را توسط پتانسیل مربعی شکل a - ۷ جایگزین کنیم . این تقریب برای ، بعنوان مثال ، ذرهای با انرژی بسیار بالا ، که طول موج آن بسیار کوتاه خواهد بود ، از اعتبار می افتد .



شکل ۷

پتانسیل مربعی (شکل a) که به طور طرح وار یک پتانسیل واقعی (شکل b) را که نیروی متناظر با آن دارای شکل c است ، نشان می دهد .

پیش بینی های مکانیک کلاسیک راجع به رفتار یک ذره در پتانسیل نظری پتانسیل شکل ۷ را به آسانی می توان تعیین کرد . به عنوان مثال ، تصور کنید که  $V(x)$  انرژی پتانسیل گرانشی باشد . در این صورت شکل b - ۷ برش واقعی ناحیه ای را که ذره در آن حرکت می کند نشان می دهد : نایپیوستگی ها مربوط به پیبهای تنندی هستند ، که توسط سطوح افقی جدا شده اند . توجه کنید که اگر انرژی کل  $E$  ای ذره را ثابت بگیریم ، محدوده هایی از محور  $x$  که برای آن ها  $E > V$  باشد برای ذره ممنوع است ( انرژی جنبشی  $V - E_k = E - V$  باید مشیت باشد ) .

گوشزد :

نیروی وارد بر ذره عبارت است از  $F(x) = -\frac{dV(x)}{dx}$  . در شکل c - ۷) این نیرو ، که از پتانسیل  $V(x)$  در شکل b - ۷ به دست آمده است ، رسم شده است . می توان دید که این ذره ، در تمام نواحی ای که پتانسیل ثابت است ، تحت تأثیر هیچ نیرویی قرار ندارد . در این صورت سرعت آن ثابت است . فقط در نواحی مرزی بین این سطوح افقی است که نیرویی بر ذره وارد می شود و بسته به وضعیت مورد نظر ، به ذره شتاب داده یا حرکت آن را کند می کند .

b - تشابه اپتیگی :

می خواهیم حالت های مانای ( بخش ۱ - D ) یک ذره در یک پتانسیل " مربعی " یک بعدی را بررسی کنیم . در ناحیه ای که پتانسیل دارای مقدار ثابت  $V$  است ، معادله ویژه مقداری ( D - ۹ ) به صورت :

$$\left[ -\frac{\hbar^2}{2m} \frac{d^2}{dx^2} + V \right] \varphi(x) = E\varphi(x) \quad (D-16)$$

یا :

$$\left[ \frac{d^2}{dx^2} + \frac{2m}{\hbar^2} (E - V) \right] \varphi(x) = 0 \quad (D-17)$$

نوشته می شود .

در اپتیک معادله " کاملا " مشابهی وجود دارد . یک محیط شفاف در نظر بگیرید که

شاخص  $n$  آن نه به  $r$  بستگی داشته باشد و نه به زمان. در این محيط امواج الکترومغناطیسی ای می‌توانند وجود داشته باشند که میدان الکتریکی  $E(r, t)$  آنها مستقل از  $y$ ،  $z$  بود. و دارای شکل زیر باشند:

$$E(r, t) = eE(x) e^{-i\Omega t} \quad (D-18)$$

که در آن  $e$  یک برداریکه عمود بر  $Ox$  است. در این صورت  $E(x)$  باید دو معادله زیر صدق کند:

$$\left[ \frac{d^2}{dx^2} + \frac{n^2 \Omega^2}{c^2} \right] E(x) = 0 \quad (D-19)$$

ملاحظه می‌کنیم که اگر قرار دهیم:

$$\frac{2m}{\hbar^2} (E - V) = \frac{n^2 \Omega^2}{c^2} \quad (D-20)$$

معادلات (D-12) و (D-19) یکسان می‌شوند.

علاوه، در نقطه‌ای مانند  $x$  که انرژی پتانسیل  $V$  [ و درنتیجه، شاخص  $n$ ] که توسط (D-20) داده شده است ] ناپیوسته است، شرایط مرزی برای  $\phi(x)$  و برای  $E(x)$  یکی هستند؛ این دوتایع و همین‌طور مشتقهای اول آنها باید پیوسته بمانند (رک مکمل  $H_1$ ، بخش b-1). بدین ترتیب تشابه ساختاری بین دو معادله (D-12) و (D-19) بهما امکان می‌دهد تا بهیک مسئله مکانیک کوانتومی، مربوط به پتانسیل شکل a-2، یک مسئله اپتیکی، یعنی، انتشار یک موج الکترومغناطیسی با فرکانس زاویه‌ای  $\Omega$  در محيطی که شاخص آن، دارای همان نوع ناپیوستگی‌ها است، منسوب کنیم. برطبق (D-20)، رابطه بین فراسنجهای اپتیکی و مکانیکی عبارت است از:

$$n(\Omega) = \frac{1}{\hbar \Omega} \sqrt{2mc^2(E - V)} \quad (D-21)$$

برای موج نوری، ناحیه‌ای که در آن  $V > E$  است مربوط است به یک محيط شفاف که شاخص آن حقیقی است. در این صورت موج به صورت  $e^{ikx}$  است. وقتی  $E > V$  باشد چه اتفاق می‌افتد؟ فرمول (D-20) یک شاخص موهومی خالص بددست می‌دهد. در (D-19)،  $e^2$  منفی بوده و جواب به صورت  $e^{-ix}$  است؛ مشابه یک "موج میرا" است. بعضی از جنبه‌های این وضعیت، انتشار یک موج الکترومغناطیسی در یک محيط فلزی را بهیاد می‌آورد.\*

\* نباید در این تشابه بیش از حد پافشاری کرد زیرا شاخص "یک محيط فلزی" هم دارای قسمت حقیقی و هم دارای قسمت موهومی است (در یک فلز، یک موج اپتیکی در حالی که میراست به نوسان خود ادامه می‌دهد).

بنابراین می‌توانیم نتایج کاملاً "شناخته شده اپتیک موجی را به مسایلی که در اینجا مطالعه می‌کنیم منتقل کنیم. لیکن باید بدانیم که این صرفاً "یک تشابه است؛ تعبیری که ما پذیرای موج می‌دهیم به طور بنیادی با آنچه که اپتیک موجی کلاسیک به موج الکترومغناطیسی نسبت می‌دهد تفاوت دارد.

### c. مثالها

#### x. پله و سد پتانسیل :

ذره‌ای با انرژی  $E$  در نظر بگیرید که مطابق شکل ۸ از ناحیه  $x$  های منفی به سمت "پله" پتانسیل به مارتفاع  $V_0$  می‌رود.

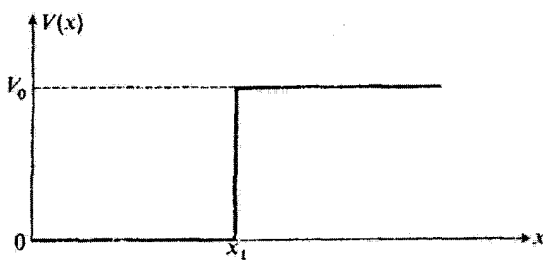
اگر  $V_0 > E$  باشد، (موردنظر که در آن ذره کلاسیک از پله عبور کرده و با یک سرعت کمتر حرکتش را به سمت راست ادامه می‌دهد)، مشابه اپتیکی آن به شرح زیر است: یک موج نوری از چپ به راست در محیطی به شاخص  $n$  :

$$n_1 = \frac{c}{\hbar\Omega} \sqrt{2mE} \quad (D-22)$$

انتشار می‌یابد، در  $x_1 = x$  یک ناپیوستگی وجود دارد و شاخص برای  $x > x_1$  برابر است با:

$$n_2 = \frac{c}{\hbar\Omega} \sqrt{2m(E - V_0)} \quad (D-23)$$

می‌دانیم که موج فرودی که از چپ می‌آید به یک موج باز تابیده و یک موج عبور کرده تجزیه می‌شود. حال این نتیجه را به مکانیک کوانتومی منتقل می‌کنیم: ذره با یک احتمال معین  $\psi$  باز تابیده شده و فقط با احتمال  $\varphi = 1$  حرکتش را به سمت راست ادامه می‌دهد. این نتیجه با آنچه که توسط مکانیک کلاسیک پیش‌بینی می‌شود تناقض دارد.

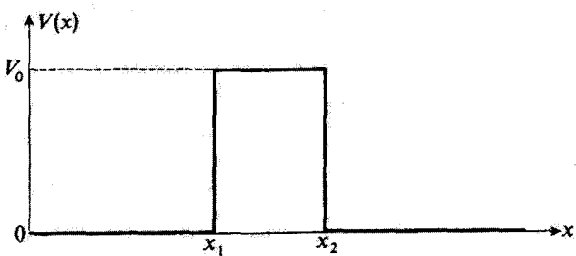


شکل ۸

پله و سد پتانسیل

وقتی  $E < V_0$  باشد، شاخص  $n_2$ ، که به ناحیه  $x_1 > x$  مربوط می‌شود، موهومی خالص شده و نورفروندی، کلاً "باز تابیده" می‌شود، لذا در اینجا پیش بینی کوانتوسی با پیش بینی مکانیک کلاسیک انتطاب دارد. معذالک، وجود یک موج میرا برای  $x_1 > x$  نشان می‌دهد که احتمال یافتن ذره کوانتوسی درین ناحیه غیر صفر است.

نقش این موج میرا در مورد یک سد پتانسیل (شکل ۹) برجسته‌تر است. برای  $E < V_0$ ، یک ذره کلاسیک همواره برخواهد گشت. اما، در مسئله‌ای پیکی متناظر، یک لایه با خمامت محدود و با شاخص موهومی خواهیم داشت که توسط یک محیط شفاف احاطه شده است. اگر این ضخامت خیلی بزرگتر از بود  $\mu/2$  موج میرا باشد، بخشی از موج فروندی به داخل ناحیه  $x_1 > x$  وارد می‌شود. از این رو، حتی برای  $E < V_0$ ، برای عبور ذره از سد یک احتمال غیر صفر پیدا می‌کنیم.

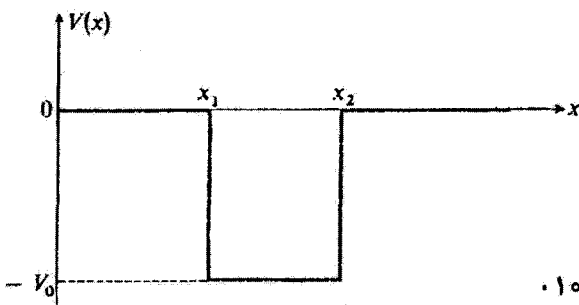


شکل ۹.  
سد پتانسیل

### β. چاه پتانسیل

در اینجا تابع  $V(x)$  به صورتی است که در شکل ۱۰ نشان داده شده است. پیش بینی‌های مکانیک کلاسیک به شرح زیر است: وقتی ذره دارای یک انرژی منفی  $E$  (ولی بزرگتر از  $-V_0$ ) باشد، می‌تواند فقط بین  $x_1$  و  $x_2$ ، با انرژی جنبشی  $E_k = E + V_0$ ، نوسان کند، وقتی ذره دارای انرژی مثبت باشد و از سمت چپ به چاه پتانسیل برسد، در  $x_1$  یک شتاب ناگهانی، و سپس در  $x_2$  یک شتاب منفی با همان قدر مطلق می‌گیرد و سپس به حرکتش به سمت راست ادامه می‌دهد.

در مشابه ای پیکی مورد  $0 < E < V_0$  -، شاخص‌های  $n_1$  و  $n_2$ ، که به تواحدی  $x < x_1$  و  $x > x_2$  مربوط می‌شوند، موهومی هستند، در حالی که شاخص  $n_2$ ، که فاصله  $[x_1, x_2]$  را مشخص می‌کند، حقیقی است. بدین ترتیب معادلی از یک لایه، هوا داریم



شکل ۱۰  
چاه پتانسیل

که به عنوان مثال، بین دو محیط باز تابنده قرار دارد. امواج مختلفی که متالیا " در  $x_1$  و  $x_2$  با تابیده می شوند، از طریق تداخل یکدیگر را تخریب می کنند مگر برای بعضی فرکانشهای کاملاً " معین ( "مددهای بهنجار" ) که امواج مانای پایداری را برقرار می سازند. از دیدگاه کوانتومی، این امر می رساند که انرژیهای منفی کوانتیده هستند\*، در حالی که از نظر کلاسیک، تمام مقادیر بین  $-V_0$  و ۰ امکان پذیر هستند.

بمازاء  $E > 0$ ، شاخصهای  $n_1$ ،  $n_2$  و  $n_3$  حقیقی اند:

$$n_1 = n_3 = \frac{c}{\Omega} \frac{1}{\hbar} \sqrt{2mE} \quad (D-24)$$

$$n_2 = \frac{c}{\Omega} \frac{1}{\hbar} \sqrt{2m(E + V_0)} \quad (D-25)$$

چون  $n_1$  از  $n_2$  و  $n_3$  بزرگتر است، این وضعیت مشابه وضعیت یک تیغه شیشه‌ای در هواست. برای بدست آوردن موج بازتابیده در ناحیه  $x_1 < x$ ، یا موج عبورکرده در ناحیه  $x > x_2$ ، لازم است تعداد بی نهایت موج را که از بازتابهای پی دریی در  $x_1$  و  $x_2$  ایجاد می شوند ترکیب کنیم. ( تداخل سنج چند موجی مشابه با تداخل سنج فابری - پرو ). در این صورت در می باییم که برای فرکانشهای فرودی معینی، موج کاملاً " عبورکرده است. ازینرو از دیدگاه کوانتومی، ذره، عموماً، با یک احتمال معینی بازتابیده می شود. معذالت،

\* مقادیر انرژیهای مجاز توسط شرط مشهور:  $x_2 - x_1 = k\lambda_2/2$  داده نمی شود زیرا لازم است وجود امواج میرایی را که در اثر بازتاب در  $x_1 = x$  و  $x = x_2$  یک انتقال فاز وارد می کنند. به حساب آوریم ( رک مکمل  $H_i$  ، بخش ۲-۲ ) .

مقادیری از انرژی ، که انرژیهای تشیدی نامیده می شوند ، وجود دارد که برای آنها احتمال عبور ۱ بوده و درنتیجه ، احتمال بازنگار صفر است .

این چند مثال نشان می دهد که تاچماندازه پیش بینی های مکانیک کوانتومی می توانند با پیش بینی های مکانیک کلاسیک تفاوت داشته باشند . این مثالها هم چنین به مطرور آشکاری نقش اصلی ناپیوستگی های پتانسیل را ( که ، بهطور طرح وار ، معرف تغییرات مرتع است ) مورد تأکید قرار می دهند .

### نتیجه :

در این فصل ، بعضی ایده های اساسی مکانیک کوانتومی را معرفی کرده و به طریقه کیفی و حسی مورد بحث قرار دادیم . بعذا " ( در فصل ۲ ) به این ایده ها باز خواهیم گشت تا آنها را بهروشی دقیق تر و اصولی تر ارائه دهیم . مع ذالک ، آشکار است که توصیف کوانتومی دستگاه های فیزیکی بهطور ریشمای با توصیف هایی که توسط مکانیک کلاسیک داده می شود تفاوت دارد ( هرچند توصیف های مکانیک کلاسیک ، در موارد بی شماری ، تقریبی عالی هستند ) . ما در این فصل خود را بهمورد دستگاه های فیزیکی متکل از فقط یک ذره محدود کرده ایم . توصیف این دستگاه ها در یک زمان معین ، در مکانیک کلاسیک ، برمشخص کردن شش فراسنج ، که مولفه های مکان ( ۱ ) و سرعت ( ۱ ) ی ذره هستند ، بنانده است . تمام متغیر های دینامیکی ( انرژی ، تکانه خطی ، تکانهزا و بیهای ) با مشخص شدن ( ۱ ) و ( ۱ ) ی ذره تعیین می شوند . قوانین نیوتون به ما امکان می دهند تا ( ۱ ) را از طریق حل معادلات دیفرانسیل مرتبه دوم نسبت به زمان ، محاسبه کنیم . درنتیجه ، وقتی ( ۱ ) و ( ۱ ) در زمان اولیه معلوم باشند این معادلات مقادیر ( ۱ ) و ( ۱ ) را در هر زمان دیگر مشخص می کنند .

مکانیک کوانتومی توصیف پیچیده تری از پدیده ها به کار می برد . حالت دینامیکی یک ذره ، در یک زمان معین ، توسط یک تابع موج مشخص می شود . این تابع دیگر فقط به شش فراسنج ، بلکه به تعداد بی نهایت فراسنج [ مقادیر ( ۱ ) و ( ۱ ) ] در تمام نقاط  $\mathbb{R}^3$  فضای بستگی دارد . بعلاوه ، پیش بینی های نتایج اندازه گیری اینک فقط احتمالاتی هستند ( فقط احتمال به دست آوردن یک نتیجه معین ، در اندازه گیری یک متغیر دینامیکی ، را به دست می دهند ) . تابع موج جوابی است از معادله شرودینگر ، که مارا قادر به محاسبه ( ۱ ) از روی ( ۱ ) می سازد . این معادله متنضم یک اصل برهم نهش است که منجر به آثار موجی می شود . این تغییر بزرگ در تصور ما از مکانیک توسط آزمایش تحمیل شد . ساختار و رفتار ماده در سطح اتمی در چارچوب مکانیک کلاسیک توضیح ناپذیر هستند . از این جهت این

نظریه بعضی از سادگیهای خود را از دست داد، لیکن تاحد زیادی وحدت کسب کرد، زیرا ماده و تابش براساس یک طرح عام (دوگانگی موجی- ذرما) تشریح می شوند، ما این حقیقت را تاء کید می کنیم که گرچه این طرح عام با آیده ها و عادتهای ما که از مطالعه محدوده ماکروسکوپیکی نشأت می گیرد مغایرت دارد، ولی "کاملاً" دارای ارتباطی منطقی است، هرگز کسی موفق نشده است آزمایشی را تصور کند که بتواند اصل عدم قطعیت را نقض کند (روز مکمل  $D_1$  در این فصل). به طور کلی، هیچ مشاهده ای، تاکنون، با اصول اساسی مکانیک کوانتومی تناقض نداشته است. با وجود این، در حال حاضر هیچ نظریه جامعی برای پدیده های نسبیتی و کوانتومی وجود ندارد و، مسلماً، هیچ چیزمانع امکان یک تغییر بزرگ جدید نمی شود.

#### مراجع و پیشنهادات برای مطالعه بیشتر:

توصیف پدیده های فیزیکی ای که لزوم وارد کردن مفاهیم مکانیک کوانتومی را نشان می دهد؛ به زیربخش ۱ از بخش "Introductory work - quantum physics" کتاب شناسی بخصوص کتاب شناسی پیدا کنید. کتاب شناسی پیدا کنید. تاریخچه توسعه مفاهیم مکانیک کوانتومی : مراجع بخش ۴ کتاب شناسی، بخصوص Jammer (4.8) و همچنین مرجعه های (5.11) و (5.12)، را که شامل مراجع متعددی برای مقاله های اصلی هستند.

آزمایش های بنیادی : مراجع مربوط به مقاله های اصلی را می توانید در بخش ۳ از کتاب شناسی پیدا کنید. مسئله تعبیر در مکانیک کوانتومی : بخش ۵ کتاب شناسی، بخصوص "Resource Letter" (5.11)، که شامل مرجع های متعدد طبقه بندی شده ای است، تشابهات و اختلافات امواج مادی و امواج الکترومغناطیسی : Bohm (5.1), chap. 4، به خصوص، جدول "Summary on Probabilities" در آخر فصل، همچنین به مقالاتی که توسط : شرودینگر (۱-۲۵)، گائو (۱-۲۶)، لورن و بیم (۱-۲۸)، اسکالی و سارجنت (۱-۳۰) نوشته شده اند مراجعه کنید.

## مکمل‌های فصل اول

$A_1$  و  $B_1$  و  $C_1$  : بسیار ساده‌اند ولی مرتبه بزرگی فراستجهای کوانتمومی را به صورتی اساسی منعکس می‌سازند.

$a$  : مرتبه بزرگی طول موجهای واپس‌ته بذرات مادی

$b$  : قیدهای تحمیل‌شده توسط روابط عدم قطعیت.

$c$  : روابط عدم قطعیت و فراستجهای انتی

$D_1$  : بحث درباره یک آزمایش فکری ساده که سعی می‌کند مکمل‌سوون جنبه‌های ذره‌ای و موجی نور را از اعتبار بیندارد (آسان است، ولی می‌تواند برای مطالعه بعدی گذاشته شود).

$d$  : یک‌نمايش تجربی از رابطه عدم قطعیت

$E_1$  و  $F_1$  و  $G_1$  : مکملهای در باره بسته موج‌ها (بخش C از فصل اول)

$e$  : یک بررسی ساده از بسته موج دو بعدی

$E_1$  : با یک روش ساده و کیفی رابطه‌ای را که بین گستردنگی جانبی یک بسته موج دو بعدی و پاشیدگی زاویه‌ای بردارهای موج وجود دارد نشان می‌دهد (آسان).

$f$  : رابطه بین مسائل یک بعدی و سه بعدی

$F_1$  : تعمیم نتایج بخش C از فصل اول به سه بعد، که نشان می‌دهد چگونه مطالعه یک ذره در فضای سه بعدی می‌تواند در بعضی موارد، به مسائل یک بعدی تقلیل یابد (کمی مشکلتر).

$g$  : بسته موج گوسی یک بعدی:

$G_1$  : بررسی دقیق یک مورد خاص از بسته‌های موج که خواص و تحول آنها را دقیقاً "می‌توان محاسبه کرد (مشکلاتی در محاسبه وجود دارد اما از نظر فهم آسان است).

$H_1$  : به طریقی کمی‌تر، ایده‌های بخش ۲-۳ از فصل اول می‌پردازد، قویاً "توصیه می‌شود، زیرا پتانسیلهای مربعی اغلب برای نشان دادن مقاهیم مکانیک کوانتومی، به طور ساده، به کار می‌روند (مکمل‌های متعدد و تمریناتی که بعداً "در این کتاب ارائه می‌شوند برنتایج  $H_1$  متنگی هستند).

$H_1$  : حالتهای ماناًی یک ذره در پتانسیلهای مربعی یک بعدی

$J_1$  : مطالعه دقیق‌تر رفتار کوانتومی یک ذره در یک پتانسیل مربعی برای یک مورد خاص جون ذره بحد کافی در فضای یگریده شده است (بسته موج)، می‌توان حرکت آن را تعقیب کرد (قدرتی مشکل است، و برای تعبیر نتایج فیزیکی اهمیت دارد).

$J_1$  : رفتار یک بسته موج در یک پله پتانسیل

$K_1$  : تمرینات

مکمل A<sub>1</sub>

## مرتبه بزرگی طول موجه‌ای وابسته به ذرات مادی

رابطه دوبروی :

$$\lambda = \frac{h}{p} \quad (1)$$

نشان می‌دهد که برای ذرهای به جرم  $m$  و سرعت  $v$ ، هرچه  $m$  و  $v$  کوچکتر باشند، طول موج متناظر بزرگتر خواهد بود.

برای نشان دادن اینکه آشکار ساختن خواص موجی ذره در محدوده ماکروسکوپیکی غیرممکن است، به عنوان مثال، یک ذره غبار بدقترا  $\mu$  و جرم  $10^{-15}$  kg را در نظر بگیرید. حتی برای یک چنین جرم کوچک و سرعت  $v \approx 1$  mm/s، فرمول (1) می‌دهد:

$$\lambda \approx \frac{6.6 \times 10^{-34}}{10^{-15} \times 10^{-3}} \text{ meter} = 6.6 \times 10^{-16} \text{ meter} = 6.6 \times 10^{-6} \text{ Å} \quad (2)$$

یک چنین طول موجی در مقیاس ذره غبار کاملاً "قابل اعماض" است.

از طرف دیگر، یک نوترون حرارتی، یعنی یک نوترون ( $m_n \approx 1.67 \times 10^{-27}$  kg) با سرعت  $v$  متناظر با انرژی حرارتی میانگین در درجه حرارت (مطلق)  $T$ ، در نظر بگیرید. با رابطه زیر داده می‌شود:

$$\frac{1}{2} m_n v^2 = \frac{p^2}{2m_n} \approx \frac{3}{2} kT \quad (3)$$

که  $k$  ثابت بولتزمن است ( $k \approx 1.38 \times 10^{-23}$  joule/degree). طول موجی کمینه چنین سرعتی مربوط می‌شود برابر است با:

$$\lambda = \frac{h}{p} = \frac{h}{\sqrt{3m_n k T}} \quad (4)$$

هاره:  $T \approx 300$  °K، داریم:

$$\lambda \approx 1.4 \text{ Å} \quad (5)$$

یعنی، طول موجی که از مرتبه فاصله بین اتمها در یک شبکه بلوری است. بنابراین، یک باریکه از نوترونهای حرارتی که بدیک بلور برخورد می‌کنند، باعث ایجاد پدیده‌های پراش، مشابه با آنچه که با اشعه X مشاهده شد، می‌شوند.

حال مرتبه بزرگی طول موجهای دوبروی وابسته به الکترونها ( $m_e \approx 0.9 \times 10^{-30} \text{ kg}$ ) را بررسی کنیم. اگر باریکه‌الکترون را از طریق اختلاف پتانسیل  $V$  (بیان شده بر حسب ولت) شتابدار کنیم اثرباری جنبشی زیر را به الکترون داده‌ایم:

$$E = qV = 1.6 \times 10^{-19} V \text{ joule} \quad (6)$$

$E = \frac{p^2}{2m_e}$  ، طول موج متناظر برابر با  $\lambda = \frac{h}{p} = \frac{h}{\sqrt{2m_e E}}$  است با:

$$\lambda = \frac{h}{p} = \frac{h}{\sqrt{2m_e E}} \quad (7)$$

یعنی، به صورت عددی، برابر است با:

$$\lambda = \frac{6.6 \times 10^{-34}}{\sqrt{2 \times 0.9 \times 10^{-30} \times 1.6 \times 10^{-19} V}} \text{ meter} \\ \approx \frac{12.3}{\sqrt{V}} \text{ Å} \quad (8)$$

با اختلاف پتانسیلهای چند صد ولت، بار دیگر طول موجهای در حدود طول موج اشعه X به دست خواهیم آورد، و پدیده‌های پراشی الکترون می‌توانند با بلورها یا پودرهای بلوری مشاهده شوند.

شتابدهندهای بزرگی که در حال حاضر موجود هستند قادرند انرژی قابل ملاحظه‌ای به ذرات بدهند. این امر مارا از گستره غیرنسبیتی که تابحال خود را به آن محدود کرده‌ایم خارج می‌سازد. به عنوان مثال، به سادگی می‌توان باریکه‌هایی از الکترون که انرژی آنها از  $1 \text{ eV} = 1 \text{ electron-volt} = 1.6 \times 10^{-19} \text{ joule}$  (1 GeV $\star = 10^9 \text{ eV}$ ) در حالی که جرم در حال سکون الکترون برابر است با  $m_e c^2 \approx 0.5 \times 10^6 \text{ eV}$  معنی این انرژی این است که سرعت متناظر خیلی به سرعت نور،  $c$ ، نزدیک است. درنتیجه مکانیک کوانتومی غیرنسبیتی که در اینجا مطالعه می‌کنیم کاربردی ندارد.

لیکن، روابط:

$$E = h\nu \quad (9-a)$$

$$\lambda = \frac{h}{p} \quad (9-b)$$

در گستره نسبیتی معتبر باقی می‌مانند. از طرف دیگر، رابطه (۷) باید اصلاح شود زیرا، از نظر نسبیتی، انرژی  $E$  ای ذره‌ای به جرم درحال سکون  $m_0$  دیگر  $p^2/2m_0$  نیست، بلکه برابر است با:

$$E = \sqrt{p^2c^2 + m_0^2c^4} \quad (10)$$

در مثال بالا (الکترونی با انرژی  $1 \text{ GeV}$ ) قابل اغماض است، و خواهیم داشت:

$$\lambda \simeq \frac{hc}{E} = \frac{6.6 \times 10^{-34} \times 3 \times 10^8}{1.6 \times 10^{-10}} \text{ m} = 1.2 \times 10^{-15} \text{ m} = 1.2 \text{ fermi} \quad (11)$$

(۱). با الکترونهایی که به‌این طریق شتابدارشده‌اند، می‌توان ساختار هسته‌های اتمی، و بخصوص، ساختار بروتون را کشف کرد با ابعاد هسته‌ای از مرتبه فرمی هستند.

گوشزدّها:

(i) می‌خواهیم خطای معمول در محاسبه طول موج یک ذره مادی به جرم  $m_0 \neq 0$  را که انرژی  $E$  ای آن معلوم است خاطرنشان سازیم. این خطا عبارت است از محاسبه فرکانس  $v$  با استفاده از (۹-a)، و سپس، باتشباه با امواج الکترومغناطیسی، در نظر گرفتن  $c/v$  برای طول موج دوپروری. سلیма "استدلال صحیح این است که برای یافتن  $v$  اندازه حرکت  $p$  ای وابسته به انرژی  $E$ ، را به عنوان مثال، از (۱۰) (یا، در گستره غیرنسبیتی، از رابطه  $E = \frac{p^2}{2m}$ ) محاسبه کرده و سپس رابطه (۹-b) را به‌کار ببریم.

\* در ایالات متحده آمریکا، این واحد گاهی به صورت  $\text{BeV}$  نوشته می‌شود.

برطبق (a - ۹) ، فرکانس  $\nu$  به مبدأ انتخاب شده برای انرژی بستگی دارد . همین (ii)  
 مطلب برای سرعت فاز  $v\lambda = V_\phi = \frac{\omega}{k}$  نیز صادق است . از طرف دیگر توجه کنید  
 که سرعت گروه  $V_G = \frac{d\omega}{dk} = 2\pi \frac{dv}{dk}$  بمانندازی مبدأ انرژی بستگی ندارد .  
 این مطلب در تعبیر فیزیکی  $V_G$  حائز اهمیت است .

مراجع و پیشنهادات برای مطالعه بیشتر :

Wichmann (1.1), chap. 5; Eisberg and Resnick (1.3), § 3.1.

مکمل B<sub>1</sub>

## فیدهای تحمیل شده توسط روابط عدم قطعیت

- ۱ - دستگاه ماکروسکوپیکی  
۲ - دستگاه میکروسکوپیکی

در بخش ۳-۱ از فصل اول دیدیم که مکان و تکانه یک ذره نمی‌توانند به طور همزمان با دقت دلخواه تعیین شوند؛ عدم قطعیتهای  $\Delta x$  و  $\Delta p$  ی مربوطه باید در رابطه عدم قطعیت زیر صدق کند:

$$\Delta x \cdot \Delta p \gtrsim \hbar \quad (1)$$

در اینجا می خواهیم اهمیت این قید را به طور عددی برآورد کنیم. نشان خواهیم داد که این قید در محدوده ماکروسکوپیکی بکلی قابل اغماض بوده و، بر عکس، در سطح میکروسکوپیکی قاطع می شود.

## ۱ - دستگاه ماکروسکوپیکی

بار دیگر مثال ذره غبار (رک مکمل A<sub>1</sub>) را که قطر آن از مرتبه  $\mu 1$  و جرم آن  $m = 10^{-15} \text{ kg}$  بوده و دارای سرعت  $v = 10^{-3} \text{ m/sec}$  است در نظر می‌گیریم. در این صورت تکانه آن برابراست با:

$$p = mv \simeq 10^{-18} \text{ joule sec/m} \quad (2)$$

اگر مکان این ذره با تقریب، مثلاً  $\mu 0.01$  اندازه‌گیری شده باشد، عدم قطعیت  $\Delta p$  در تکانه آن باید در رابطه زیر صدق کند:

$$\Delta p \simeq \frac{\hbar}{\Delta x} \simeq \frac{10^{-34}}{10^{-8}} = 10^{-26} \text{ joule sec/m} \quad (3)$$

بنابراین رابطه عدم قطعیت عملاً "محدودیتی در این مورد ایجاد نمی‌کند زیرا، در عمل، وسیله اندازه‌گیری تکانه از رسیدن به دقت نسبی مورد نیاز  $10^{-15}$  ناتوان است.

در اصطلاح کوانتومی، ذره غبار توسط یک بسته موج که سرعت گروه آن  $v = 10^{-3} \text{ m/sec}$  و تکانه میانگین آن  $p = 10^{-18} \text{ joule sec/m}$  است تشریح می‌شود. اما در این حالت می‌توان چنان گستردگی فضائی  $\Delta x$  و پاشیدگی تکانه  $\Delta p$  یکوچکی انتخاب کرد که هردو بکلی قابل اغماض باشند. در این صورت ماگریم بسته موج معرف مکان ذره غبار بوده و حرکت آن با حرکت ذره کلاسیکی یکسان است.

### ۳- دستگاه ماکروسکوپیکی

حال یک الکترون اتمی در نظر بگیرید. مدل بوهر آن را مانند یک ذره کلاسیک توصیف می‌کند. مدارهای مجاز توسط قواعد کوانتش، که از پیش در نظر گرفته شده‌اند تعیین می‌شوند: به عنوان مثال، شاعع  $r$  یک مدار دایرمهای و تکانه  $p = mv$  ای الکترونی کمروی آن حرکت می‌کند باید در رابطه:

$$pr = n\hbar \quad (4)$$

که در آن  $n$  یک عدد صحیح است، صدق گنند.

برای اینکه بمان طریق بتوان بزمیان کلاسیکی از مسیر یک الکترون صحبت کرد، باید عدم قطعیتهاي مکان و تکانه الکترون، به ترتیب در مقابل  $r$  و  $p$  قابل اغماض باشند:

$$\Delta x \ll r \quad (5-a)$$

$$\Delta p \ll p \quad (5-b)$$

که معنی آنها خواهد بود:

$$\frac{\Delta x}{r} \cdot \frac{\Delta p}{p} \ll 1 \quad (6)$$

اما رابطه عدم قطعیت رابطه زیر را تحمیل می‌کند:

$$\frac{\Delta x}{r} \cdot \frac{\Delta p}{p} \gtrsim \frac{\hbar}{rp} \quad (7)$$

اگر با استفاده از فرمول (۴)، در طرف راست نامساوی فوق  $r p / n\hbar$  را با  $n\hbar$  جایگزین کنیم، این نامساوی می‌تواند به صورت زیر نوشته شود:

$$\frac{\Delta x}{r} \cdot \frac{\Delta p}{p} \gtrsim \frac{1}{n} \quad (8)$$

ملاحظه می‌کنیم که (۸) با (۶) ناسازگار است، مگر اینکه  $1 \gg n$ . بنابراین رابطه عدم قطعیت ما را وادار می‌سازد تا تصویر نیمه کلاسیکی مدارهای بوهر را رد کنیم (رک بخش ۲-۲ از فصل هفتم).

مراجع و پیشنهادات برای مطالعه بیشتر:

Bohm (5.1), chap. 5, § 14.

## روابط عدم قطعیت و فرآستجهای اتمی

روابط عدم قطعیت مفهوم مدار بوهر را از همنوع حقیقت فیزیکی تهی می‌سازند (رك مکمل<sub>۱</sub> B<sub>۱</sub>) . بعده (فصل هفتم) ، نظریه کواتنومی اتم‌هیدرژن رامطالعه خواهیم کرد . با این وجود ، می‌خواهیم مستقیماً نشان دهیم که چگونه روابط عدم قطعیت ما را قادر به درک پایداری اتمها و حتی به دست آوردن مرتبه بزرگی ابعاد و انرژی اتم هیدرژن در حالت پایه‌آن می‌سازد .

برای این کار یک الکترون را در میدان کولنی یک پروتون ، کهفرض می‌کنیم در مبدأ دستگاه مختصات ساکن است ، درنظر بگیرید . وقتی دو ذره در فاصله  $r$  از یکدیگر فرارداشته باشند ، انرژی پتانسیل الکترون برابر است با :

$$V(r) = - \frac{q^2}{4\pi\epsilon_0 r} \quad (1)$$

که  $q$  بار الکترون (دقیقاً "مخالف بار پروتون) است . قرار می‌دهیم :

$$\frac{q^2}{4\pi\epsilon_0} = e^2 \quad (2)$$

فرض کنید که حالت الکترون توسط یک تابع موج با تقارن کروی که گسترده‌گی فضائی آن توسط  $r_0$  مشخص شده است توصیف شود (معنی این مطلب این است که احتمال حضور الکترون فراتراز  $r_0$  یا  $2r_0$  یا  $3r_0$  "عمل" صفر است) . در این صورت انرژی پتانسیل مربوط به این حالت از مرتبه زیر است :

$$\bar{V} \simeq - \frac{e^2}{r_0} \quad (3)$$

برای اینکه این مقدار تاحد ممکن پائین باشد ، لازم است که  $r_0$  را هرچه ممکن است کوچکتر انتخاب کرد . یعنی ، تابع موج باید تا آنجا که ممکن است حول پروتون متغیر باشد . اما لازم است که انرژی جنبشی را نیز به حساب آوریم . در اینجاست که اصل عدم قطعیت وارد می‌شود : اگر الکترون در داخل حجمی به بعد خطی  $r_0$  محبوس باشد ، عدم

قطعیت  $\Delta p$  در تکانه آن حداقل از مرتبه  $\hbar/r_0$  است. به عبارت دیگر، حتی اگر تکانه میانگین آن صفر باشد، انرژی جنبشی  $T$  وابسته به حالت مورد نظر صفر نیست:

$$\bar{T} \gtrsim \bar{T}_{\min} = \frac{1}{2m} (\Delta p)^2 \simeq \frac{\hbar^2}{2mr_0^2} \quad (4)$$

اگر برای کاهش دادن انرژی پتانسیل،  $r_0$  را کوچکتر در نظر بگیریم، انرژی جنبشی می‌نیم افزایش می‌یابد.

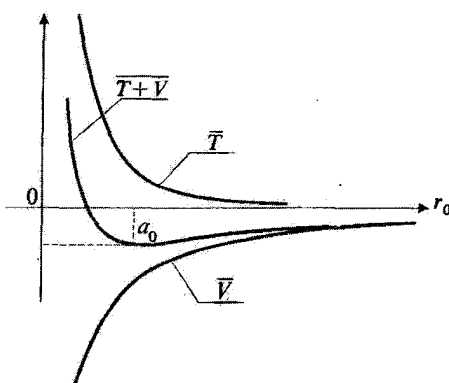
بنابراین پائین‌ترین انرژی کل که با رابطه عدم قطعیت سازگار است عبارت است از می‌نیم تابع:

$$E_{\min} = \bar{T}_{\min} + \bar{V} = \frac{\hbar^2}{2mr_0^2} - \frac{e^2}{r_0} \quad (5)$$

این می‌نیم بهازه:

$$r_0 = a_0 = \frac{\hbar^2}{me^2} \quad (6)$$

به دست می‌آید و برابراست با:



شکل ۱

تفییرات انرژی پتانسیل  $\bar{V}$ ، انرژی جنبشی  $\bar{T}$ ، و انرژی کل  $\bar{V} + \bar{T}$  در اتم هیدروژن نسبت به  $r_0$  (گسترده‌گی تابع موج). توابع  $\bar{T}$  و  $\bar{V}$  عکس یکدیگر تغییر می‌کنند، بطوری که انرژی کل بهازه، مقداری از  $\bar{T}$  و  $\bar{V}$  از یک مقدار می‌نیم می‌گزند. مقدار  $r_0$  مربوط به  $r_0$  مرتبه بزرگی اندازه اتم هیدروژن را به دست می‌دهد.

عبارت (۶) عبارتی است که در مدل بوهر برای شاع اولین مدار پیدا شد، و (۷) دقیقاً "انرژی حالت پایه اتم هیدروژن را بدست می‌دهد (رک فصل هفتم: تابع موج حالت پایه در واقع  $r^{1/100}$  است). چنین توافق کمی‌ای فقط می‌تواند تصادفی باشد، زیرا ما روی مرتب‌های بزرگی استدلال کردی‌ایم. به‌هرحال، محاسبه اخیر یک ایده فیزیکی مهمی را آشکار می‌سازد: به‌علت رابطه عدم قطعیت، هرچه گستردگی تابع موج‌کمتر باشد، انرژی جنبشی کترون بزرگ‌تر است. در این صورت حالت پایه اتم از مصالحه‌ای بین انرژی جنبشی و انرژی پتانسیل نتیجه می‌شود.

این واقعیت را مورد تائید قرار می‌دهیم که این مصالحه، که برپایه رابطه عدم قطعیت استوار است، بکلی با آنچه که در مکانیک کلاسیک انتظار می‌رود تفاوت دارد. اگر کترون در یک مدار دایره‌ای کلاسیکی به‌شعاع حرکت می‌کرد، انرژی پتانسیل آن برابر با:

$$V_{el} = -\frac{e^2}{r_0} \quad (8)$$

می‌بود، انرژی جنبشی متناظر از مساوی قراردادن نیروی الکتروستاتیک و نیروی جاذب به مرکز\* بدست می‌آید:

$$\frac{e^2}{r_0^2} = m \frac{v^2}{r_0} \quad (9)$$

که می‌دهد:

$$T_{el} = \frac{1}{2} mv^2 = \frac{1}{2} \frac{e^2}{r_0} \quad (10)$$

در این صورت انرژی کل برابر خواهد بود با:

$$E_{el} = T_{el} + V_{el} = -\frac{1}{2} \frac{e^2}{r_0} \quad (11)$$

---

\* در واقع، قوانین الکترومغناطیس کلاسیک نشان می‌دهند که یک کترون شتابدار تابش می‌کند، که این امر وجود مدارهای پایدار را منوع می‌سازد.

مطلوب‌ترین وضعیت از نظر انرژی در  $r_0 = 0$  ، که انرژی پیوندی بین‌هایتی به دست می‌دهد ، اتفاق می‌افتد . بنای‌باین در حقیقت می‌توانیم بگوییم که این رابطه عدم قطعیت است که ما را به درک وجود اتمها ، آن‌طور که هستند ، قادر می‌کند .

مراجع و پیشنهادات برای مطالعه بیشتر :

Feynman III (1.2) , § 2-4.

(1.13) , first section of § 49.

همین نوع استدلال برای ملکولها در :

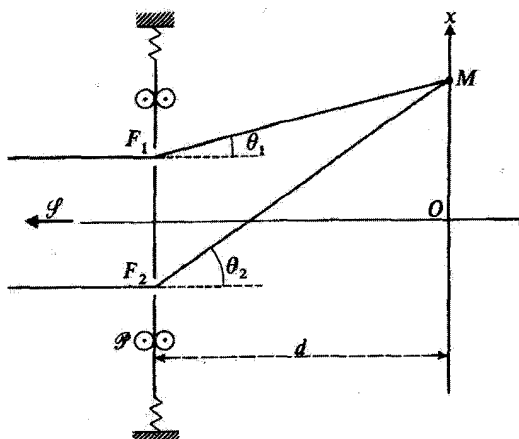
به‌کار رفته است .

مکمل D<sub>1</sub>

### یک نهایش تجربی از رابطه عدم قطعیت

آزمایش دوشکاف یانگ، که در بخش ۲-۴ از فصل اول مورد تحلیل قرار گرفت، مارا به استنتاج‌های زیر رهگمون شد: جنبه‌های موجی و ذره‌ای سور هردو برای تشریح پدیده‌های مشاهده شده لازم‌اند، اما یمنظر می‌رسد که، یکدیگر را طرد می‌کنند، به این معنی که غیر ممکن است تعیین کنیم هر فoton از داخل کدام شکاف عبور کرده است بدون اینکه، با خود این عمل، الگوی تداخلی را از بین ببریم. جنبه‌های موجی و ذره‌ای بعضی موقع مکمل یکدیگر گفته می‌شوند.

باردیگر آزمایش دوشکاف یانگ را، به منظور نشان دادن اینکه "مکملیت" و "روابط عدم قطعیت" چه ارتباط نزدیکی با یکدیگر دارند بررسی می‌کنیم. برای بهزیرستوال کشیدن درستی رابطه عدم قطعیت می‌توان وسائل دقیقتری از آنچه در فصل اول بیان شد، که در آن تکثیر کنندگان فotonی در پشت شکافها قرار داشت، تصور کرد. اینک به تحلیل یکی از این وسائل می‌پردازیم.



شکل ۱

طرح وسیله‌ای که با استفاده از یک لوحه متحرک و گذگانه آن قبل و بعد از عبور فoton اندازه‌گیری می‌شود، برای تعیین اینکه آیا فoton، قبل از رسیدن به نقطه M در روی پرده، از F<sub>1</sub> عبور کرده است یا از F<sub>2</sub>، به کار می‌رود.

فرض کنید لوحه  $\omega$ ، که شکافها در آن تعبیه شده‌است، طوری سوار شده است که بتواند در همان صفحه بهمطور عمودی حرکت کند. بدین ترتیب می‌توان تکانه عمودی منتقل شده به‌آنرا اندازه‌گیری کرد. فوتونی را که در نقطه  $M$  به‌پرده مشاهده  $\omega$  برخورد می‌کند در نظر بگیرید (برای سهولت یک چشم  $\omega$  در بینهایت انتخاب می‌کنیم). تکانه این فوتون وقتی از  $\omega$  می‌گذرد تغییر می‌کند. پاسنگی تکانه ایجاب می‌کند که لوحه  $\omega$  این اختلاف تکانه را جذب کند. اما تکانه‌ای که به‌آین ترتیب به  $\omega$  منتقل می‌شود به‌مسیر فوتون بستگی دارد، فوتون، بسته به‌آنکه از  $F_1$  گذشته است یا از  $F_2$ ، دارای تکانه :

$$p_1 = -\frac{\hbar v}{c} \sin \theta_1 \quad (1)$$

یا :

$$p_2 = -\frac{\hbar v}{c} \sin \theta_2 \quad (2)$$

است  $\frac{\hbar v}{c}$  تکانه‌فوتون و  $\theta_1$  و  $\theta_2$  زوایائی هستند که  $F_1M$  و  $F_2M$  با راستای ورودی می‌سازند. سپس اجازه می‌دهیم که فوتونها یکی یکی وارد شده و بتدربیح الگوی تداخلی را روی پرده  $\omega$  بسازند. برای هر کدام، با اندازه‌گیری تکانه کسب شده توسط لوحه  $\omega$ ، تعیین می‌کنیم که از کدام شکاف عبور کرده است. از این‌رو بمنظر می‌رسد که با وجودی که می‌دانیم هوفوتون از کدام شکاف گذشته است بازهم پدیده‌های تداخلی می‌توانند روی  $\omega$  مشاهده شوند.

در واقع، خواهیم دید که با این دستگاه فریزهای تداخلی قابل رویت نیستند. خطای استدلال قبلی در این است که فرض کردیم فقط فوتونها دارای مشخصه کوانتومی هستند. در حقیقت، نباید فراموش شود که مکانیک کوانتومی به‌لوحه  $\omega$  (اجسام ماکروسکوپیکی نیز اعمال می‌شود. اگر بخواهیم می‌دانیم که یک فوتون از داخل کدام سوراخ گذشته است، عدم قطعیت  $p$  در تکانه عمودی  $\omega$  باید به‌قدری کوچک باشد که بتوانیم اختلاف بین  $p_1$  و  $p_2$  را اندازه‌گیری کنیم:

$$\Delta p \ll |p_2 - p_1| \quad (3)$$

اما در این صورت، رابطه عدم قطعیت دلالت براین دارد که مکان  $\omega$  فقط با تقریب  $Ax$ ، با

$$\Delta x \gtrsim \frac{h}{|p_2 - p_1|} \quad (4)$$

علوم است. اگر فاصله دوشکاف را به  $a$  و فاصله بین لوحة  $\varphi$  و پرده  $\psi$  را به  $d$  نشان دهیم و اگر فرض کنیم که  $\theta_1$  و  $\theta_2$  کوچک باشند ( $d/a \gg 1$ ) ، خواهیم داشت (شکل ۱) :

$$\begin{aligned} \sin \theta_1 &\simeq \theta_1 \simeq \frac{x - a/2}{d} \\ \sin \theta_2 &\simeq \theta_2 \simeq \frac{x + a/2}{d} \end{aligned} \quad (5)$$

(۱) معرف مکان نقطه برخورد  $M$  روی  $\psi$  است) . در این صورت فرمولهای (۱) و (۲) می‌دهند :

$$|p_2 - p_1| \simeq \frac{hv}{c} |\theta_2 - \theta_1| \simeq \frac{h}{\lambda d} a \quad (6)$$

که  $\lambda = \frac{c}{v}$  طول موج نور است. با قراردادن این مقدار در فرمول (۴) نتیجه می‌شود :

$$\Delta x \gtrsim \frac{\lambda d}{a} \quad (7)$$

اما  $\frac{\lambda d}{a}$  دقیقاً "فاصلهای" است که انتظار داریم بین فریزها روی  $\psi$  بیدا کنیم. اگر مکان عمودی شکافهای  $F_1$  و  $F_2$  فقط با عدم قطعیتی بزرگتر از فاصله بین فریزها تعیین شده باشد، غیرممکن است که الگوی تداخلی مشاهده شود.

بحث اخیر بوضوح نشان می‌دهد که غیرممکن است یک نظریه کوانتومی بنا کنیم که، بدون برخورد به تناظرات جدی، برای نور معتبر بوده و برای دستگاههای مادی اعتبار نداشته باشد. بنابراین، در مثال فوق، اگر می‌توانستیم لوحة  $\varphi$  را به عنوان یک دستگاه مادی کلاسیکی در نظر بگیریم، می‌توانستیم مکملیت دو جنبه نور، و در نتیجه، نظریه کوانتومی تابش را از اعتبار بیندازیم. بر عکس، یک نظریه کوانتومی ماده‌تنها، با مشکلات مشابهی مواجه خواهد شد. برای بدست آوردن یک مجموعه هماهنگ، باید ایده‌های کوانتومی را به تمام دستگاههای فیزیکی اعمال کنیم.

مراجع و پیشنهادات برای مطالعه بیشتر:

## مکمل ۱

## بررسی ساده‌ای از یک بسته موج دو بعدی

۱ - مقدمه

۲ - پاشیدگی زاویه‌ای و ابعاد جانبی

۳ - بحث

۴ - مقدمه

در بخش ۲-۱ از فصل اول، شکل بسته موجهای یک بعدی را، که از برهمنشش امواج تختی که همه در یک جهت انتشار می‌یافتنند بدست آمده بودند، مطالعه کردیم [فرمول (C-۲)]. اگر این جهت، جهت محور  $Ox$  باشد،تابع حاصله مستقل از  $y$  و  $z$  است. این بسته موج در راستای  $Ox$  دارای گستردگی محدودی بوده، ولی در راستاهای عمود بر آن محدود نیست: مقدار آن در تمام نقاط یک صفحه موازی با  $yOz$  یکسان است. در اینجا می‌خواهیم یک نوع ساده‌تری از بسته‌های موج را بررسی کنیم: موجهای تختی را که می‌خواهیم با هم ترکیب کنیم دارای بردارهای موجی هم صفحه‌ای هستند، کماز نظر بزرگی. (تقریباً) مساوی بوده ولی از نظر جهت کمی اختلاف دارند. هدف این است که نشان دهیم چگونه پاشیدگی زاویه‌ای به محدودیت بسته موج در جهتهای عمود بر بردار موجی میانگین منجر می‌شود.

در بخش ۲-۲ از فصل اول دیدیم که چگونه می‌توان، با مطالعه برهمنشش سه‌موج مشخص از بسته یک بعدی، مهترین جنبه‌های پدیده‌ها را فهمید. بخصوص، می‌توان رابطه اساسی (C-۱۸) را این فصل را پیدا کرد. ما در اینجا خود را به مدل ساده‌ای از این نوع محدود خواهیم کرد. تعمیم نتایجی را که پیدا خواهیم کرد می‌توان به همان روش فصل اول انجام داد (مکمل F را نیز بهبینید).

## ۲ - پاشیدگی زاویه‌ای و ابعاد جانبی

سه موج تخت را که بردارهای موجی  $k_1$ ،  $k_2$  و  $k_3$  را آنها در شکل ۱ نشان داده شده است، در نظر بگیرید. این بردارها هر سه در صفحه  $xOy$  واقعند،  $Ox$  در امتداد  $k_1$

و  $k_3$  و  $k_2$  نسبت به  $k_1$  قرینه بوده و زاویه هر کدام از آنها با  $k_1$ ، که فرض می‌کنیم کوچک باشد،  $40^\circ$  است. بالاخره تصویرهای  $k_1$ ،  $k_2$  و  $k_3$  روی  $Ox$  برابرند:

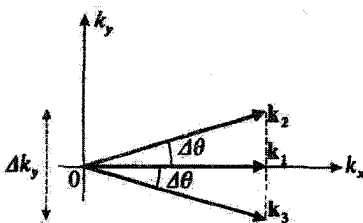
$$k_{1x} \approx k_{2x} = k_{3x} \approx |k_1| = k \quad (1)$$

بزرگی این سه بردار فقط بموسیله جملاتی که نسبت به  $40^\circ$  از مرتبه دوم هستند و ما از آنها صرفنظر خواهیم کرد، باهم اختلاف دارند: مؤلفه‌های این بردارها روی محور  $Oy$  عبارتند از:

$$\begin{cases} k_{1y} = 0 \\ k_{2y} = -k_{3y} \approx k \Delta\theta \end{cases} \quad (2)$$

مانند بخش ۲-۲ از فصل اول، دامنه‌های  $g(k)$  حقيقی‌ای انتخاب خواهیم کرد کمتر روابط زیر صدق کنند:

$$g(k_2) = g(k_3) = \frac{1}{2}g(k_1) \quad (3)$$



شکل ۱.

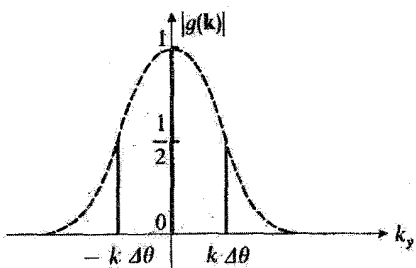
ترتیب بردارهای موجی  $k_1$ ،  $k_2$  و  $k_3$  و استه به سه موج تختی که با یک‌یگر ترکیب شده و یک بسته موج دوبعدی تشکیل می‌دهند. این مدل به طور طرحوار یک وضعیت پیچیده‌تری را نشان می‌دهد، که در آن، مانند معادله (ع) از فصل اول، یک بسته موج حقیقی با مشخصات زیر خواهیم داشت: تمام بردارهای موجی بر  $Oz$  عمود بوده و دارای تصاویر یکسانی روی  $Ox$  هستند (تنها مؤلفه روی  $Oy$  تغییر می‌کند)، تابع  $|g(k)|$ ، نسبت به این تنها متغیر  $k$ ، به صورتی است که در شکل ۲ نشان داده شده است، پهنای  $\Delta k_y$  آن به طور بسیار ساده‌ای به پاشیدگی زاویه‌ای مربوط می‌شود:

$$\Delta k_y = 2k \Delta \theta \quad (4)$$

از برهمنهش سه موجی که در بالا تعریف شدند نتیجه می‌شود:

$$\begin{aligned} \psi(x, y) &= \sum_{i=1}^3 g(\mathbf{k}_i) e^{i\mathbf{k}_i \cdot \mathbf{r}} \\ &= g(\mathbf{k}_1) \left[ e^{ikx} + \frac{1}{2} e^{i(kx+k \Delta \theta)y} + \frac{1}{2} e^{i(kx-k \Delta \theta)y} \right] \\ &= g(\mathbf{k}_1) e^{ikx} [1 + \cos(k \Delta \theta y)] \end{aligned} \quad (5)$$

(بستگی به  $z$  وجود ندارد و بهمین دلیل است که بسته موج دو بعدی نامیده می‌شود).



شکل ۲

سه مقدار انتخاب شده برای  $k_y$ ، بهطور بسیار طرح وار، یک تابع قله‌دار  $|g(k)|$  (خط چین) را نشان می‌دهند.

برای اینکه بفهمیم چه اتفاقی می‌افتد، می‌توانیم از شکل ۳، که در آن برای هریک از سه مولفه، جبهه‌های موج متوالی مربوط به اختلاف فازهای  $2\pi$  را نشان داده‌ایم، استفاده کنیم. تابع  $|\psi(x, y)|$  در  $y = 0$  را دارای یک ماکریسم است: سه موج بهطور سازشده روی محور  $x$  تداخل می‌کنند. وقتی از این محور دور می‌شویم،  $|\psi(x, y)|$  کاهش می‌یابد (اختلاف فاز بین مولفه‌ها کاهش می‌یابد) و در آن  $y = \pm \frac{4y}{2}$  توسط رابطه

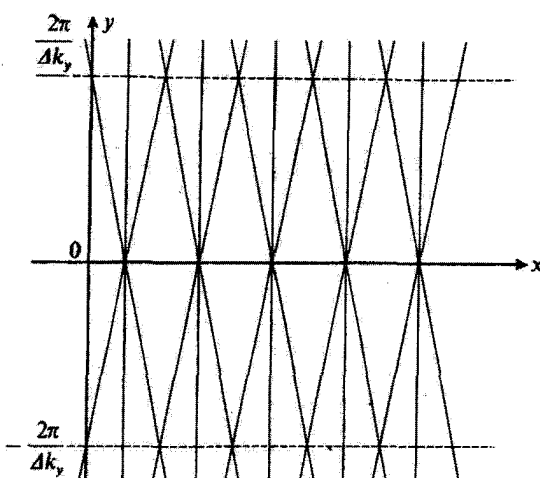
$$\cos\left(k \Delta \theta \frac{4y}{2}\right) = -1 \quad (6)$$

داده می‌شود، یعنی برای:

$$k \Delta \theta \Delta y = 2\pi \quad (7)$$

به سمت صفر میل می‌کند. بنابراین فازهای امواج  $k_2$  و  $k_3$  با فاز موج  $k_1$  در تقابلند (شکل ۳). با استفاده از (۴)، می‌توانیم (۷) را به صورتی بازنویسی کنیم که مشابه با رابطه (C-11) از فصل اول باشد.

$$\Delta y \cdot \Delta k_y = 4\pi \quad (8)$$



شکل ۳

سطوح هم‌فاز سه‌موج وابسته به سه‌بردار  $\mathbf{k}$  ای شکل ۱:

این امواج در  $y = 0$  هم‌فاز بوده، ولی در  $y = \pm 2\pi/\Delta k_y$  به طور ویرانگری تداخل می‌کنند.

بنابراین پاشیدگی زاویه‌ای بردارهای موجی، ابعاد جانبی بسته موجها را محدود می‌سازد. از نظر کمی، این محدودیت به شکل یک رابطه عدم قطعیت است [ فرمول‌های (۷) و (۸) ] .

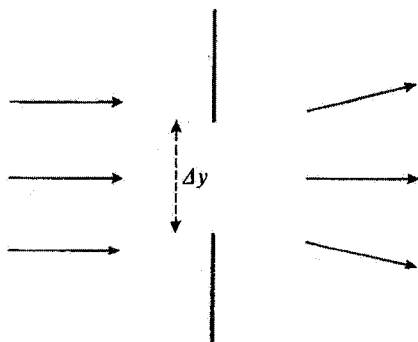
### ۳ - بحث

یک موج تخت با بردار موجی  $\mathbf{k}$  را که در امتداد  $Ox$  انتشار می‌یابد در نظر بگیرید. هر تلاشی برای محدود ساختن گستردگی آن در امتداد عمود بر  $Ox$  باعث بروز یک پاشیدگی زاویه می‌شود، یعنی، به یک بسته موج مشابه با بسته موجی که در آینجا بررسی می‌کنیم تبدیل می‌شود.

فرض کنید که، به عنوان مثال، در مسیر موج تخت یک پرده‌که شکافی با پهنای  $\Delta y$  در آن تعبیر شده است قرار داده‌ایم. این امر منجر به یک موج پراشی می‌شود (رک شکل ۴). می‌دانیم که پهنای زاویه‌ای الگوی پراشی توسط رابطه زیر داده می‌شود:

$$2\Delta\theta \approx 2 \frac{\lambda}{\Delta y} \quad (9)$$

که در آن  $\lambda = \frac{2\pi}{|\mathbf{k}|}$  طول موج فرودی است. این در واقع همان وضعیت بالاست: فرمولهای (۷) و (۹) یکسانند.



شكل ۴

وقتی عدم قطعیت  $\Delta y$  کاهش یابد، پراش موج توسط دیافراگم عدم قطعیت  $\Delta k_y$  را افزایش می‌دهد.

$F_1$  مکمل

### ارتباط بین مسائل یکبعدی و سهبعدی

۱ - بسته موج سه بعدی

a - مورد ساده

b - مورد عمومی

۲ - توجیه مدل‌های یک بعدی

مسلماً "فضایی که یک ذره کلاسیکی یا کوانتومی در آن حرکت می‌کند سه بعدی است بهاین دلیل بود که معادله شرودینگر ( $\psi$ ) در فصل اول را برای تابع موج  $\psi(r)$  که به سه مولفه بردار، یعنی  $x$ ،  $y$  و  $z$  بستگی دارد، نوشتم. باوجود این، کراوا" در این فصل از یک مدل یک بعدی، که در آن فقط متغیر  $x$  را در نظر گرفته‌ایم، استفاده کرد هم‌ایم، بدون اینکه این مدل را دقیقاً "توجیه کرده باشیم. لذا این مکمل دوهدف را دنبال می‌نماییم:

اول (بخش ۱) تعمیم نتایج داده شده در بخش C از فصل اول به سه بعد، سپس (بخش ۲) نشان دادن اینکه چگونه می‌توان، در بعضی موارد، دقیقاً "مدل یکبعدی را توجیه کرد.

۱ - بسته موج سه بعدی

a - مورد ساده

مورد بسیار ساده‌ای را در نظر می‌گیریم که برای آن دو فرضیه زیر برقرار باشد:

- بسته موج آزاد است  $[V(r) \equiv 0]$  و لذا می‌تواند مانند معادله (ع-۱) از فصل

اول نوشته شود:

$$\psi(r, t) = \frac{1}{(2\pi)^{3/2}} \int g(k) e^{ik \cdot r - i\omega(k)t} dk^3 \quad (1)$$

- علاوه بر این،  $g(k)$  به صورت زیراست:

$$g(k) = g_1(k_x) \times g_2(k_y) \times g_3(k_z) \quad (2)$$

یاد آوری کنیم که عبارت  $\omega(k)$  بر حسب  $k$  به صورت:

$$\omega(\mathbf{k}) = \frac{\hbar \mathbf{k}^2}{2m} = \frac{\hbar}{2m} (k_x^2 + k_y^2 + k_z^2) \quad (3)$$

بود. (۲) و (۳) را در (۱) قرار دهید، می‌توان سه انتگرال‌گیری نسبت به  $k_x$ ،  $k_y$  و  $k_z$  را جدا کرد و نتیجه گرفت:

$$\psi(\mathbf{r}, t) = \psi_1(x, t) \times \psi_2(y, t) \times \psi_3(z, t) \quad (4)$$

با:

$$\left\{ \begin{array}{l} \psi_1(x, t) = \frac{1}{\sqrt{2\pi}} \int_{-\infty}^{+\infty} g_1(k_x) e^{i[k_x x - \omega(k_x)t]} dk_x \\ \omega(k_x) = \frac{\hbar k_x^2}{2m} \end{array} \right. \quad (5)$$

وروابط مشابهی برای  $\psi_2(y, t)$  و  $\psi_3(z, t)$ .

$\psi_1(x, t)$  در واقع دارای شکل یک بسته موج یک بعدی است. بنابراین، در این مورد بخصوص،  $(\psi_2, t)$  از حاصلضرب (۴) سه بسته موج یک بعدی، که هر کدام به طریقی کاملاً مستقل تحول می‌یابند، به دست می‌آید.

## b - مورد عمومی

در مورد عمومی، که پتانسیل  $V(r)$  دلخواه است، فرمول (۱) معتبر نیست. در این صورت مفید است که  $g(\mathbf{k}, t)$ ، تبدیل فوریه سه بعدی تابع  $\psi(r, t)$  را، بانوشتی:

$$\psi(\mathbf{r}, t) = \frac{1}{(2\pi)^{3/2}} \int g(\mathbf{k}, t) e^{i\mathbf{k} \cdot \mathbf{r}} d^3k \quad (6)$$

وارد کنیم. بستگی  $g(\mathbf{k}, t)$  به  $t$ ، که  $V(r)$  وارد می‌کند، از پیش دلخواه است؛ بعلاوه "عموماً" هیچ دلیلی وجود ندارد که بتوانیم  $g(\mathbf{k}, t)$  را، مانند (۲)، به صورت یک حاصلضرب بنویسیم. برای اینکه نتایج بخش C-۲ از فصل اول را تعمیم دهیم، فرضیه زیرا را در باره واپسگی آن به  $\mathbf{k}$  می‌پذیریم:  $|g(\mathbf{k}, t)|$  (در هر زمان معین  $t$ ) تابعی است که برای مقادیری از  $\mathbf{k}$  نزدیک به  $\mathbf{k}_0$  دارای یک قله بسیار برجسته است و وقتی نوک  $\mathbf{k}$  از محدوده  $D_k$  به مرکز  $\mathbf{k}_0$  و ابعاد  $4k_x$ ،  $4k_y$ ،  $4k_z$  خارج می‌شود دارای مقدار قابل اغماضی است.

مانند بالا، قرار می‌دهیم:

$$g(\mathbf{k}, t) = |g(\mathbf{k}, t)| e^{i\alpha(\mathbf{k}, t)} \quad (7)$$

بهطوری که فاز موجی که توسط بودار  $\mathbf{k}$  تعیین می‌شود می‌تواند بهصورت زیر نوشته شود:

$$\xi(\mathbf{k}, \mathbf{r}, t) = \alpha(\mathbf{k}, t) + k_x \cdot x + k_y \cdot y + k_z \cdot z \quad (8)$$

می‌توانیم بهاستدلالی شبیه استدلال بخش ۲-۲ ازفصل اول بهپردازیم. قبل از هرجیز بسته موج وقتی بهماگزیم می‌رسد که تمام امواجی که، برای آنها نوک بودار  $\mathbf{k}$  در  $D_k$  واقع است "عملاء" همفار باشند، یعنی، که  $\xi$  در محدوده  $D_k$  تغییرات بسیار کوچکی داشته باشد. بهطور کلی، می‌توان  $\xi(\mathbf{k}, \mathbf{r}, t)$  را حول  $\mathbf{k}_0$  بسط داد، تغییرات آن بین  $\mathbf{k}_0$  و  $\mathbf{k}$ ، تا مرتبه اول نسبت به  $\delta \mathbf{k} = \mathbf{k} - \mathbf{k}_0$ ، برابراست با:

$$\begin{aligned} \delta\xi(\mathbf{k}, \mathbf{r}, t) \simeq \delta k_x & \left[ \frac{\partial}{\partial k_x} \xi(\mathbf{k}, \mathbf{r}, t) \right]_{\mathbf{k}=\mathbf{k}_0} + \delta k_y & \left[ \frac{\partial}{\partial k_y} \xi(\mathbf{k}, \mathbf{r}, t) \right]_{\mathbf{k}=\mathbf{k}_0} \\ & + \delta k_z & \left[ \frac{\partial}{\partial k_z} \xi(\mathbf{k}, \mathbf{r}, t) \right]_{\mathbf{k}=\mathbf{k}_0} \end{aligned} \quad (9)$$

یا بهطور مختصه‌تر\*، با استفاده از (۸) :

$$\begin{aligned} \delta\xi(\mathbf{k}, \mathbf{r}, t) \simeq \delta \mathbf{k} \cdot [\nabla_{\mathbf{k}} \xi(\mathbf{k}, \mathbf{r}, t)]_{\mathbf{k}=\mathbf{k}_0} \\ \simeq \delta \mathbf{k} \cdot [\mathbf{r} + [\nabla_{\mathbf{k}} \alpha(\mathbf{k}, t)]_{\mathbf{k}=\mathbf{k}_0}] \end{aligned} \quad (10)$$

از رابطه (۱۰) ملاحظه می‌کنیم که تغییرات  $(\mathbf{k}, \mathbf{r}, t)$  در داخل  $D_k$  برای:

$$\mathbf{r} = \mathbf{r}_M(t) = -[\nabla_{\mathbf{k}} \alpha(\mathbf{k}, t)]_{\mathbf{k}=\mathbf{k}_0} \quad (11)$$

می‌نمیم خواهد بود. دیدیم که، تحت این شرایط،  $[(\mathbf{r}, t)]_{\psi}$  ماگزیم است. لذا رابطه (۱۱) مکان  $(\mathbf{r}_M, t)$  مرکز بسته موج را تعیین کرده و تعمیمی است از معادله (۱۵-۲) ازفصل اول بهسده بعد.

\* علامت  $\nabla$  معرف "گرادیان" است: بنایه تعریف  $\nabla f(x, y, z) = \partial f / \partial x \hat{x} + \partial f / \partial y \hat{y} + \partial f / \partial z \hat{z}$  برداری است که مولفه‌های آن عبارتند از  $\partial f / \partial x, \partial f / \partial y, \partial f / \partial z$ . شاخص  $\hat{x}$  در  $\nabla$  بدین معنی است که، مانند (۹)، مشتق‌گیری باید نسبت به متغیرهای  $x, y, z$  انجام شود.

حال، بهینیم درجه محدوده  $D_r$  بهمکثر  $r_M$  و  $\Delta z$ ،  $\Delta y$ ،  $\Delta x$ ، بسته موج (۶) مقادیر غیرقابل اغراضی دارد. وقتی امواج با  $\mathbf{k}$  های مختلف یکدیگر را با تداخل تحریب کنند، یعنی، وقتی تغییرات  $\xi(\mathbf{k}, r, t)$  در داخل محدوده  $D_k$  از مرتبه  $\pi$  (یا دقیق‌تر، از مرتبه ۱ رادیان) باشد،  $|\psi(r, t)|$  خیلی کوچک‌تر از  $|\psi(r_M, t)|$  خواهد شد. قرار دهید  $\delta\mathbf{r} = \mathbf{r} - \mathbf{r}_M$ ، اگر (۱۱) را به حساب آوریم، رابطه (۱۰) می‌تواند به صورت زیرنوشته شود:

$$\delta\xi(\mathbf{k}, \mathbf{r}, t) \simeq \delta\mathbf{k} \cdot \delta\mathbf{r} \quad (12)$$

شرط ۱  $\delta\xi(\mathbf{k}, \mathbf{r}, t) \gtrsim 1$  بلا فاصله روابط موجود بین ابعاد  $D_r$  و ابعاد  $D_k$  را به‌مامی دهد:

$$\begin{cases} \Delta x \cdot \Delta k_x \gtrsim 1 \\ \Delta y \cdot \Delta k_y \gtrsim 1 \\ \Delta z \cdot \Delta k_z \gtrsim 1 \end{cases} \quad (13)$$

سپس روابط عدم قطعیت هایزنبرگ مستقیماً از رابطه  $\mathbf{p} = \hbar\mathbf{k}$  حاصل می‌شود:

$$\begin{cases} \Delta x \cdot \Delta p_x \gtrsim \hbar \\ \Delta y \cdot \Delta p_y \gtrsim \hbar \\ \Delta z \cdot \Delta p_z \gtrsim \hbar \end{cases} \quad (14)$$

این نامساوی‌ها تعمیم (۲۳-۲۴) از فصل اول به‌سه بعد هستند. بالاخره، توجه کنید که سرعت گروه  $v_g$  بسته موج می‌تواند با مشتق‌گیری از (۱۱) نسبت به  $t$  بدست آید:

$$v_g = -\frac{d}{dt} [\nabla_{\mathbf{k}} \alpha(\mathbf{k}, t)]_{\mathbf{k}=\mathbf{k}_0} \quad (15)$$

در مورد خاص بسته موج آزادی که لزوماً "در (۲) صدق نمی‌کند داریم:

$$\alpha(\mathbf{k}, t) = \alpha(\mathbf{k}, 0) - \omega(\mathbf{k})t \quad (16)$$

که  $\omega(\mathbf{k})$  توسط (۳) داده می‌شود. در این صورت فرمول (۱۵) می‌دهد:

$$v_g = [\nabla_{\mathbf{k}} \omega(\mathbf{k})]_{\mathbf{k}=\mathbf{k}_0} = \frac{\hbar \mathbf{k}_0}{m} \quad (17)$$

که تعمیم معادله (C-۳۱) از فصل اول است.

### ۳- توجیه مدل‌های یک بعدی

دربخش A-۱ از فصل اول دیدیم که، وقتی پتانسیل مستقل از زمان باشد، می‌توان متغیرهای زمانی و مکانی را در معادله شرودینگر جدا کرد. این امر منجر به معادله ویژه مقداری (D-۸) می‌شود.

دراینجا می‌خواهیم نشان دهیم که چگونه، در بعضی موارد، می‌توان این روش را ادامه داد و متغیرهای  $x$ ،  $y$ ،  $z$  در (D-۸) را نیز جدا ساخت.

فرض کنید انرژی پتانسیل ( $V$ ) بتواند به صورت زیر نوشته شود:

$$V(r) = V(x, y, z) = V_1(x) + V_2(y) + V_3(z) \quad (18)$$

حال ببینم آیا جوابهای به شکل:

$$\varphi(x, y, z) = \varphi_1(x) \times \varphi_2(y) \times \varphi_3(z) \quad (19)$$

برای معادله ویژه مقداری وجود دارد یا خیر؟ استدلالی شبیه به استدلال فصل اول (بخش D-۱-a) نشان می‌دهد که این امر در صورتی امکان پذیر است که داشته باشیم:

$$\left[ -\frac{\hbar^2}{2m} \frac{d^2}{dx^2} + V_1(x) \right] \varphi_1(x) = E_1 \varphi_1(x) \quad (20)$$

و همچنین دو معادله مشابه دیگر که در آن  $x$  توسط  $y$  (یا  $z$ ) و  $V_1$ ،  $V_2$  توسط  $V_3$  (یا  $E_1$  و  $E_2$  (یا  $E_3$ ) جایگزین شده باشد. علاوه بر این، لازم است که رابطه زیر نیز برقرار باشد:

$$E = E_1 + E_2 + E_3 \quad (21)$$

معادله (21) از همان نوع (D-۸) است، ولی در یک بعد، متغیرهای  $x$ ،  $y$  و  $z$  جدا شده‌اند.\*

\* می‌توان نشان داد (رک فصل دوم، بخش F-۴-۲-۳) که، وقتی  $V(r)$  به شکل (18) باشد تمام جوابهای معادله ویژه مقداری (D-۸) ترکیبات خطی جوابهای هستند که در اینجا پیدا کردۀ‌ایم.

حال اگر، به عنوان مثال، انرژی پتانسیل  $V(r)$  یک ذره فقط به  $x$  بستگی داشته باشد چه اتفاق می‌افتد؟ دراین مورد  $V(r)$  را می‌توان به صورت (۱۸) نوشت، که در آن  $V_1 = V_2 = V_3 = 0$  و  $V_1 = V_2 = V_3 = V$  . معادلات (۲۰) برای  $y$  و  $z$  به مورد ذره آزاد دریک بعد مریبوط می‌شوند، که قبلاً، در بخش ۱- از فصل اول، مطالعه کردیم، جوابهای آنها امواج تخت  $e^{ik_y y} e^{ik_z z}$  هستند. آنچه می‌ماند این است که معادله (۲۰) را، که مسأله‌ای است فقط دریک بعد، حل کنیم، مع ذلک، انرژی کل ذره در سه بعد برابراست با:

$$E = E_1 + \frac{\hbar^2}{2m} [k_y^2 + k_z^2] \quad (۲۲)$$

بنابراین مدل‌های یک بعدی‌ای که در فصل اول بررسی شدند در واقع مربوطند به ذره‌ای در سه بعد که در یک پتانسیل  $V(r)$  که فقط به  $x$  بستگی دارد. حرکت می‌کند. دراین صورت جوابهای  $y(\varphi_2)$  و  $z(\varphi_3)$  بسیار ساده بوده و به ذراتی مربوط می‌شوند که یا در "امتداد آزادند" یا در امتداد  $Oy$  . بدین جهت است که تمام توجه خود را به مطالعه معادله مربوط به  $x$  معطوف داشتایم.

$G_1$  مکمل

بسته موج گوسی یک بعدی :

### گسترش بسته موج

۱ - تعریف یک بسته موج گوسی

۲ - محاسبه  $\Delta x$  و  $\Delta p$  ، رابطه عدم قطعیت

۳ - تحول بسته موج

a - محاسبه  $\psi(x, t)$

b - سرعت بسته موج

c - گسترش بسته موج

درین مکمل می خواهیم یک بسته موج آزاد بخصوص (یک بعدی) را ، که برای آن تابع  $\psi(k)$  گوسی است ، بررسی کنیم ، دلیل جالب بودن این مثال دراین واقعیت نهفته است که محاسبات می توانند تا آخر به طور دقیق انجام شوند . بدین ترتیب ، ابتدا می توانیم در این مورد خاص ، خواص مختلف بسته موجها را که در بخش آغازی اول به آنها اشاره کردیم ، ثابت کنیم . سپس از این خواص برای مطالعه ، تغییرات پهنه ای بسته موج نسبت به زمان و آشکار کردن پدیده گسترش بسته موج با زمان استفاده خواهیم کرد .

### / - تعریف یک بسته موج گوسی

در یک مدل یک بعدی ، یک ذره آزاد  $[V(x) \equiv 0]$  در نظر بگیرید که تابع موج آن

در زمان  $t = 0$  به صورت زیر باشد :

$$\psi(x, 0) = \frac{\sqrt{a}}{(2\pi)^{3/4}} \int_{-\infty}^{+\infty} e^{-\frac{a^2}{4}(k-k_0)^2} e^{ikx} dk \quad (1)$$

این بسته موج از ترکیب امواج تخت  $e^{ikx}$  با ضرائب :

$$\frac{1}{\sqrt{2\pi}} g(k, 0) = \frac{\sqrt{a}}{(2\pi)^{3/4}} e^{-\frac{a^2}{4}(k-k_0)^2} \quad (2)$$

که متناظرند با یک تابع گوسی به مرکز  $k = k_0$  ضرب در یک ضریب عددی که تابع موج را بهنجار می‌کند)، بدست آمده است. باین دلیل است که بسته موج (۱) گوسی نامیده می‌شود.

در محاسباتی که در زیر می‌آید، کارا "با انتگرال‌های از نوع زیر مواجه خواهیم شد:

$$I(\alpha, \beta) = \int_{-\infty}^{+\infty} e^{-\alpha^2(\xi + \beta)^2} d\xi \quad (۳)$$

که در آن  $\alpha$  و  $\beta$  اعدادی هستند مختلط [برای اینکه انتگرال (۳) همگرا باشد، باید داشته باشیم  $\operatorname{Re} \alpha^2 > 0$ ] . روش ماندها بهما امکان می‌دهد تاثیر دهیم که این انتگرال به  $\beta$  بستگی ندارد:

$$I(\alpha, \beta) = I(\alpha, 0) \quad (۴)$$

و اینکه، وقتی شرط  $-\pi/4 < \operatorname{Arg} \alpha < +\pi/4$  برقرار باشد (که اگر  $\operatorname{Re} \alpha^2 > 0$  باشد، همواره برقرار است)  $I(\alpha, 0)$  عبارت از:

$$I(\alpha, 0) = \frac{1}{\alpha} I(1, 0) \quad (۵)$$

حال آنچه می‌ماند محاسبه  $I(1, 0)$  است، که می‌تواند به طور کلاسیک، از طریق یک انتگرال‌گیری دوگانه در صفحه  $xOy$  و در مختصات قطبی انجام شود:

$$I(1, 0) = \int_{-\infty}^{+\infty} e^{-\xi^2} d\xi = \sqrt{\pi} \quad (۶)$$

بنابراین داریم:

$$\int_{-\infty}^{+\infty} e^{-\alpha^2(\xi + \beta)^2} d\xi = \frac{\sqrt{\pi}}{\alpha} \quad (۷)$$

با:

اکنون  $(x, 0)\psi$  را محاسبه کنیم. برای انجام این کار، جملات وابسته به  $k$  در نمایهای (۱) را، بانوشن آنها به صورت:

$$-\frac{a^2}{4}(k - k_0)^2 + ikx = -\frac{a^2}{4} \left[ k - k_0 - \frac{2ix}{a^2} \right]^2 + ik_0x - \frac{x^2}{a^2} \quad (8)$$

در یک موضع کامل جمع می‌کنیم. سپس، با استفاده از (۷)، خواهیم داشت:

$$\psi(x, 0) = \left( \frac{2}{\pi a^2} \right)^{1/4} e^{ik_0 x} e^{-x^2/a^2} \quad (9)$$

ملاحظه می‌کنیم که، همان‌طور که می‌توان انتظار داشت، تبدیل فوریه یک تابع گوسی نیز یک تابع گوسی است (رک پیوست ۱).

بنابراین، در زمان  $t = 0$ ، چگالی احتمال ذره عبارت است:

$$|\psi(x, 0)|^2 = \sqrt{\frac{2}{\pi a^2}} e^{-2x^2/a^2} \quad (10)$$

منحنی نمایش  $|\psi(x, 0)|^2$  همان منحنی زنگی شکل معمولی است. مرکز بسته موج  $\psi(x, 0)$  در نقطه  $x = 0$  واقع است، این در واقع همان چیزی است که اگر فرمول عمومی (C-۱۶) از فصل اول را اعمال کرده بودیم، بدست می‌آوردیم زیرا در این مورد بخصوص تابع  $g(k)$  حقیقی است.

### ۳- محاسبه $4x$ و $4p$ با رابطه عدم قطبیت

وقتی که تابع گوسی  $f(x) = e^{-x^2/b^2}$  را مطالعه می‌کنیم، مناسب است که پهنه‌ای آنرا دقیقاً به صورت زیر تعریف کنیم:

$$4x = \frac{b}{\sqrt{2}} \quad (11)$$

وقتی  $x$  از صفر تا  $4x \pm \frac{b}{\sqrt{2}}$  تغییر می‌کند،  $f(x)$  به نسبت  $1/\sqrt{e}$  کاهش می‌یابد. این تعریف، که البته اختیاری است، این امتیاز را دارد که با تعریف "ریشه میانگین مربعی انحراف" تغییر  $x$  منطبق است (رک فصل سوم، بخش ۵-۵). با این قرارداد، می‌توانیم پهنه‌ای  $4x$  بسته موج (۱۰) را محاسبه کنیم، که برابر می‌شود با:

$$\Delta x = \frac{a}{2} \quad (12)$$

می‌توان بهمین طریق پهنانی  $\Delta k$  را محاسبه کرد ، زیرا  $|g(k, 0)|^2$  نیز یک تابع گوسی است . نتیجه این محاسبه خواهد شد :

$$\Delta k = \frac{1}{a} \quad (13-a)$$

یا :

$$\Delta p = \frac{\hbar}{a} \quad (13-b)$$

بنابراین داریم :

$$\Delta x \cdot \Delta p = \frac{\hbar}{2} \quad (14)$$

نتیجه‌ای که کاملاً "با رابطه عدم قطعیت هایزنبرگ سازگار است .

### ۳ - تحول بسته موج

a - محاسبه  $\psi(x, t)$

برای محاسبه تابع موج  $\psi(x, t)$  در زمان  $t$  ، کافی است فرمول عمومی (۶-۲) از فصل اول را ، که تابع موج یک ذره آزاد را به دست می‌دهد ، مورداً استفاده قرار دهیم ، نتیجه خواهیم گرفت :

$$\psi(x, t) = \frac{\sqrt{a}}{(2\pi)^{3/4}} \int_{-\infty}^{+\infty} e^{-\frac{\sigma^2}{4}(k-k_0)^2} e^{i[(kx - \omega(k)t)]} dk \quad (15)$$

که در آن  $\omega(k) = \frac{\hbar k^2}{2m}$  ( رابطه پاشیدگی برای یک ذره آزاد ) . خواهیم دید که در زمان  $t$  نیز ، بسته موج گوسی باقی می‌ماند . عبارت (۱۵) می‌تواند ، مانند فوق ، با جمع کردن تمام جملاتی که در نماها به  $k$  بستگی دارند در مربع کامل ، تبدیل شود . از این‌رو می‌توانیم

با استفاده از (۷) بدست آوریم :

$$\psi(x, t) = \left(\frac{2a^2}{\pi}\right)^{1/4} \frac{e^{i\varphi}}{\left(a^4 + \frac{4\hbar^2 t^2}{m^2}\right)^{1/4}} e^{ik_0 x} \exp \left\{ - \frac{\left[x - \frac{\hbar k_0}{m} t\right]^2}{a^2 + \frac{2\hbar t}{m}} \right\} \quad (16-a)$$

که  $\varphi$  حقیقی و مستقل از  $x$  است :

$$\varphi = - \theta - \frac{\hbar k_0^2}{2m} t \quad \text{با} \quad \tan 2\theta = \frac{2\hbar t}{ma^2} \quad (16-b)$$

حال چگالی احتمال  $|\psi(x, t)|^2$  ذره در زمان  $t$  را محاسبه کنیم. خواهیم داشت :

$$|\psi(x, t)|^2 = \sqrt{\frac{2}{\pi a^2}} \frac{1}{\sqrt{1 + \frac{4\hbar^2 t^2}{m^2 a^4}}} \exp \left\{ - \frac{2a^2 \left(x - \frac{\hbar k_0}{m} t\right)^2}{a^4 + \frac{4\hbar^2 t^2}{m^2}} \right\} \quad (17)$$

اکنون نشان دهیم که هنجار بسته موج ، به زمان وابسته

نیست ( در فصل سوم خواهیم دید که این خاصیت از این حقیقت نتیجه می شود که هامیلتونی  $H$  ذره هرمیتی است ) . برای این کار می توانیم ، از (۷) استفاده کنیم و از رابطه (۱۷) بین  $\infty - \infty +$  انگرال گیری کنیم . سریعتر خواهد بود که از رابطه (۱۵) به بینیم تبدیل فوریه  $(x, t) \psi$  توسط رابطه زیر داده می شود :

$$g(k, t) = e^{-i\omega(k)t} g(k, 0) \quad (18)$$

لذا  $g(k, t)$  شکارا دارای همان هنجار  $g(k, 0)$  است . معادله بدل - پارسوال به ما می گوید که  $(x, t) \psi$  و  $g(k, t)$  دارای یک هنجار هستند . همین طور  $(0, 0) \psi$  و  $g(k, 0)$  ازین مطلب نتیجه می گیریم که  $(x, t) \psi$  دارای همان هنجار  $(0, 0) \psi$  است .

b - سرعت بسته موج

در (۱۷) دیدیم که چگالی احتمال  $|\psi(x, t)|^2$  یک تابع گوسی به مرکز  $x = V_0 t$  است که سرعت  $V_0$  به صورت زیر تعریف می شود :

$$V_0 = \frac{\hbar k_0}{m} \quad (19)$$

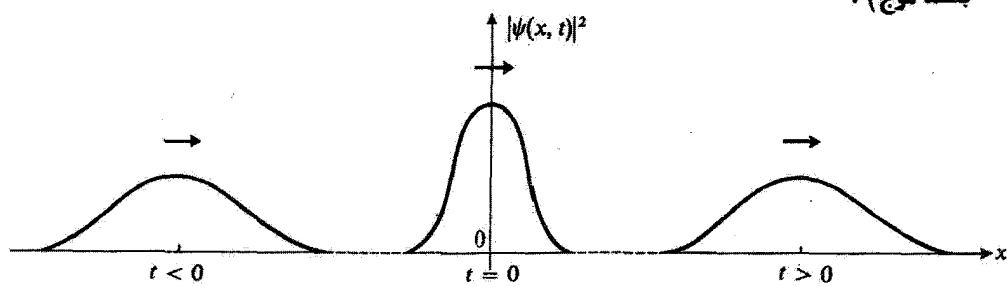
این نتیجه را می‌توانستیم، با توجه به رابطه عمومی (۲۲) از فصل اول، که سرعت گروه  $V_0$  را می‌دهد، انتظار داشته باشیم.

### ۳- گسترش بسته موج

باردیگر فرمول (۱۷) را در نظر بگیریم. بنابر تعريف (۱۱)، پهنه‌ای  $\Delta x(t)$  بسته موج در زمان  $t$  برابر است با:

$$\Delta x(t) = \frac{a}{2} \sqrt{1 + \frac{4\hbar^2 t^2}{m^2 a^4}} \quad (20)$$

مشاهده می‌کنیم که (وک شکل ۱) تحول بسته موج به یک تغییر مکان ساده با سرعت محدود نمی‌شود. بسته موج دستخوش تغییر شکل نیز نمی‌شود. وقتی  $t \rightarrow \infty$ - تا صفر افزایش می‌باید، پهنه‌ای بسته موج کاهش یافته و در  $t = 0$  = به یک می‌نیم می‌رسد. سپس همانطوری که بعافراش خود ادامه می‌دهد،  $\Delta x(t)$  بدون حد گسترش می‌باید (گسترش بسته موج).



شکل ۱

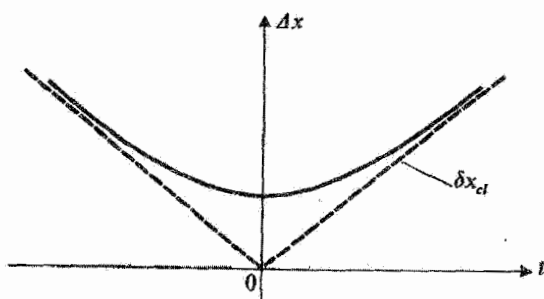
برای  $t = 0$  های منفی، پهنه‌ای بسته موج گوسی در حین انتشار کاهش می‌باید و در زمان  $t > 0$  "می‌نیم" است: حاصل ضرب  $\Delta x$  برابر است با  $\hbar/2$ . سپس برای  $t > 0$ ، بسته موج باردیگر در حین انتشار گسترش می‌باید. می‌توان در رابطه (۱۷) دید که ارتفاع بسته موج نیز تغییر می‌کند، ولی در جهت خلاف پهنا، بمطوری که هنجار  $(x, t)\psi$  ثابت می‌ماند. خواص تابع  $(k, t)\psi$  کاملاً متفاوت‌اند. در واقع [ رک فرمول (۱۸) ] :

$$|g(k, t)| = |g(k, 0)| \quad (21)$$

بنابراین، تکانه متوسط بسته موج ( $\hbar k_0$ ) و پاشیدگی تکانه آن ( $\hbar \Delta k$ ) تسبت به زمان تغییر نمی‌کنند. بعده "خواهیم دید" (فصل سوم) که این امرناشی از این واقعیت است که برای یک ذره آزاد، تکانه یک پایای حركت است. از نظر فیزیکی واضح است که چون ذره آزاد باهیچ مانعی برخورد نمی‌کند، توزیع تکانه آن نمی‌تواند تغییر کند.

وجود پاشیدگی تکانه  $\Delta p = \hbar \Delta k = \hbar/a$  بدین معنی است که سرعت ذره فقط

باتقریب  $\Delta v = \frac{\Delta p}{m} = \frac{\hbar}{ma}$  معلوم است. یک دستمزرات کلاسیکی و ادرازنظریگیرید که در زمان  $t = 0$  از نقطه  $x = 0$ ، با پاشیدگی سرعتی برابر با  $\Delta v$  شروع به حرکت کنند. در زمان  $t$  پاشیدگی مکانهای آنها برابر با  $\Delta x_{cl} = \Delta v |t| = \frac{\hbar |t|}{ma}$  خواهد بود، این پاشیدگی همان طور که در شکل ۲ نشان داده شده است، با  $\Delta x$  بخطور خطی افزایش می‌یابد. حال روی همان نمودار، منحنی‌ای که تحول  $\Delta x(t)$  نسبت به زمان را می‌دهد، رسم می‌کنیم، وقتی  $\Delta x$  بی‌نهایت می‌شود،  $\Delta x(t)$  عملناً بر  $\Delta x_{cl}$  منطبق است [شاخه هذلولی ای که  $\Delta x(t)$  را نشان می‌دهد دارای مجانبهای به صورت خط‌راست می‌باشد که همان  $\Delta x_{cl}$  است]، بنابراین، می‌توانیم بگوییم که، وقتی  $\Delta x$  بسیار بزرگ باشد، یک تعبیر شبکه کلاسیکی برای پهنهای  $\Delta x$  وجود دارد. از طرف دیگر، وقتی  $\Delta x$  به سمت صفر میل کند،  $\Delta x(t)$  مقادیری می‌گیرد که بیشتر و بیشتر با  $\Delta x_{cl}$  اختلاف دارند. مسلماً "ذره کوانتومی" باید پیوسته در رابطه عدم قطعیت هایزنبورگ،  $\Delta x \cdot \Delta p \geq \hbar/2$ ، حدق گند و چون  $\Delta p = \hbar/a$  مقداری می‌گیرد که حد پائین به  $\Delta x$  تحمیل می‌گند. این حد همان چیزی است که می‌توان در شکل ۲ دید.



شکل ۲

تغییرات پهنهای  $\Delta x$  بسته موج شکل ۱ نسبت به زمان. برای  $\Delta x$  های بزرگ،  $\Delta x$  به سمت  $\Delta x_{cl}$ ، پاشیدگی مکانهای دسته ذرات کلاسیکی ای که در زمان  $t = 0$  با پاشیدگی سرعت  $a = \Delta p/m$  نقطه  $x = 0$  را ترک کرده‌اند، میل می‌کند.

## گوشزدها:

(i) گسترش بسته موجهای آزاد یک پدیده عمومی است که بهمورد خاصی که در اینجا مطالعه کردیم، محدود نمی‌شود. می‌توان نشان داد که، تغییرات پهنای یکبسته موج آزاد دلخواه، بهصورتی است که در شکل ۲ نشان داده شده است (رک تمرین ۴ از مکمل  $L_m$ ).

(ii) درفصل اول استدلال ساده‌ای در (C-۱۷) مارا به  $\Delta x \ll k$  رهنمون شد، بدون اینکه فرضیه خاصی در باره  $\alpha(k)$ ، بجز بیان این مطلب که  $\alpha(k)$  دارای قسمای پمپهای  $k$  است و شکل آن بهصورتی است که درشکل ۳ ازفصل اول نشان داده شده است، بهکار برده باشیم (که در واقع دراین مکمل نیز چنین است). دراین صورت چگونه رابطه  $\Delta x \gg k$  را (بهعنوان مثال، برای یک بسته موج گوسی وقتی که بزرگ است) بهدست می‌آوریم.

البته این فقط یک تناقض ظاهری است. در فصل اول، برای یافتن  $\Delta x \cdot \Delta k \approx 1$  در (C-۱۳) فرض کردیم که شناسه  $\alpha(k)$  نتواند در محدوده  $k$  تقریباً یکتابع خطی باشد. لذا بهطور ضمنی یک فرضیه تکمیلی در نظر گرفتیم: و آن اینکه جملات غیرخطی مشارکت قابل اغماضی درشکل  $\alpha(k)$  در محدوده  $k$  دارد. بهعنوان مثال، برای جملاتی که نسبت به  $(k - k_0)$  ازمرتبه دوم‌اند، لازم است داشته باشیم:

$$\Delta k^2 \left[ \frac{d^2 \alpha}{dk^2} \right]_{k=k_0} \ll 2\pi. \quad (22)$$

اگر، بر عکس، فاز  $\alpha(k)$  نتواند در محدوده  $k$  و با خطای خیلی کوچکتر از  $\pi/2$  توسط یکتابع خطی نمایانده شود، وقتی بهاستدلال فصل اول سرگردیم، درمی‌باشیم که بسته موج از آنجه که توسط (C-۱۷) پیش‌می‌نی شده بود، بزرگتر است.

در مورد بسته موج گوسی‌ای که دراین مکمل مطالعه کردیم، داریم  $\frac{1}{a} \ll k$  و  $\frac{\hbar k^2}{2m} = -\frac{\hbar^2 t}{2m}$  درنتیجه، شرط (22) می‌تواند بهصورت  $2\pi \ll \left(\frac{1}{a}\right)^2 \frac{\hbar t}{m}$  نوشته شود. در واقع، می‌توانیم بدکمک (۲۰) تحقیق کنیم که، تاوقتی این شرط برقرار باشد، حاصل ضرب  $\Delta x \cdot \Delta k$  تقریباً برابر است با ۱.

$H_1$  مکمل

## حالتهای مانای یک ذره در پتانسیلهای مربعی بکبعدی

۱ - رفتار یک تابع موج مانای  $\psi(x)$ 

۳ - نواحی با انرژی پتانسیل ثابت

۴ - رفتار  $\psi(x)$  در نقطه‌نایپوستگی انرژی پتانسیل

۵ - اصول محاسبه

۲ - مطالعه بعضی موارد ساده

۶ - پله‌های پتانسیل

۷ - سدهای پتانسیل

۸ - حالتهای مقید ، جاههای پتانسیل مربعی

در فصل اول (بخش-۲-D) ، نفع مطالعه حرکت یک ذره در یک پتانسیل مربعی "را که تغییر فضائی سریع آن برای بعضی از مقادیر  $x$  آثار صراحتاً "کوانتمومی ایجاد می‌کرد" ، دیدیم . شکل توابع موج وابسته به حالتهای مانای ذره با درنظر گرفتن یک مشابه اپتیکی که ما را قادر ساخت تا بهطور بسیار ساده‌ای بفهمیم چگونه این آثار فیزیکی جدید ظاهر می‌شوند . بیش بینی شد .

در این مکمل ، محاسبه کمی حالتهای مانای ذره را بهطور مختصر شرح می‌دهیم . نتایج این محاسبه را برای چند مورد ساده ارائه خواهیم کرد و مفاهیم فیزیکی آنها را مورد بحث قرار خواهیم داد . در اینجا خود را به مدل‌های یک بعدی محدود خواهیم ساخت (رک مکمل  $F_1$ ) .

۱ - رفتار یک تابع موج مانای

۲ - نواحی با انرژی پتانسیل ثابت

در مورد یک پتانسیل مربعی  $\psi(x)$  در بعضی از نواحی فضای یک تابع ثابت

$V(x) = V$  است. در چنین ناحیه‌ای، معادله (D-۸) از فصل اول می‌تواند به صورت زیر نوشته شود:

$$\frac{d^2}{dx^2} \varphi_e(x) + \frac{2m}{\hbar^2} [E - V_e(x)] \varphi_e(x) = 0 \quad (1)$$

چند مورد را از هم متمایز خواهیم ساخت:

$$E > V \quad (i)$$

ثابت مثبت  $k$  را که توسط:

$$E - V = \frac{\hbar^2 k^2}{2m} \quad (2)$$

تعريف می‌شود وارد می‌کنیم. در این صورت حل معادله (1) می‌تواند به صورت:

$$\varphi(x) = A e^{ikx} + A' e^{-ikx} \quad (3)$$

نوشته شود که  $A$  و  $A'$  ثابت‌های مختلطی هستند.

$$E < V \quad (ii)$$

این شرط بمناحیه‌هایی از فضا مربوط می‌شود که طبق قوانین مکانیک کلاسیک برای

ذره منوع است. در این مورد، ثابت مثبت  $\rho$  را که توسط:

$$V - E = \frac{\hbar^2 \rho^2}{2m} \quad (4)$$

تعريف می‌شود وارد می‌کنیم و جواب (1) می‌تواند به صورت:

$$\varphi(x) = B e^{\rho x} + B' e^{-\rho x} \quad (5)$$

نوشته شود که در آن  $B$  و  $B'$  ثابت‌های مختلطی هستند.

$$E = V \quad (iii)$$

در این مورد بخصوص،  $\varphi(x)$  یک تابع خطی از  $x$  خواهد بود.

ب - رفتار  $\varphi(x)$  در نقطه ناپیوستگی انرژی پتانسیل

رفتار تابع موج در نقطه  $x_1 = x$  که در آن پتانسیل  $V(x)$  ناپیوسته است، چگونه

است؟ ممکن است تصور شود که در این نقطه تابع موج  $\psi(x)$  بطور عجیبی رفتار خواهد کرد، به عنوان مثال، ناپیوسته خواهد شد. هدف این بخش این است که نشان دهیم این طور نیست:  $\psi(x)$  و  $d\psi/dx$  پیوسته هستند و فقط مشتق دوم  $d^2\psi/dx^2$  است که در  $x = x_1$  ناپیوسته خواهد بود.

سعی کنیم، بدون ارائه اثبات دقیقی این خاصیت را بفهمیم. برای این منظور یادآور می‌شویم که یک پتانسیل مربعی باید به عنوان حدیک پتانسیل  $V(x)$  در نظر گرفته شود که وقتی  $0 \rightarrow \epsilon$ ، در خارج از بازه  $[x_1 - \epsilon, x_1 + \epsilon]$  برابر  $V(x) = V$  است، و در داخل این بازه بطور پیوسته تغییر می‌کند. سپس معادله زیر را در نظر بگیرید:

$$\frac{d^2}{dx^2} \psi(x) + \frac{2m}{\hbar^2} (E - V) \psi(x) = 0 \quad (6)$$

که فرض می‌شود  $V(x) = V$ ، مستقل از  $x$ ، در داخل بازه  $[x_1 - \epsilon, x_1 + \epsilon]$  محدود است. یک جواب  $\psi(x)$  طوری انتخاب کنید که، برای  $x < x_1 - \epsilon$ ، بریک‌جواب معین (۱) منطبق باشد. مسأله عبارت از این است که نشان دهیم، وقتی  $0 \rightarrow \epsilon$ ،  $\psi(x)$  به سمت یک تابع  $\psi(x)$  که در  $x = x_1$  پیوسته و مشتق پذیر است میل می‌کند. بهذیرم که، برای هر مقدار  $\epsilon$ ،  $\psi(x)$  در نزدیکی  $x = x_1$  محدود است\*. از نظر فیزیکی، این مطلب بدان معنی است که چگالی احتمال محدود باقی می‌ماند. سپس از (۶) بین  $\eta$  و  $x_1 + \eta$  انتگرال می‌گیریم، خواهیم داشت:

$$\frac{d\psi_\epsilon}{dx}(x_1 + \eta) - \frac{d\psi_\epsilon}{dx}(x_1 - \eta) = \frac{2m}{\hbar^2} \int_{x_1 - \eta}^{x_1 + \eta} [V_\epsilon(x) - E] \psi_\epsilon(x) dx \quad (7)$$

در حدد، وقتی  $0 \rightarrow \epsilon$ ، تابع طرف راست این رابطه که باید از آن انتگرال گرفته شود، به خاطر فرض قبلی مان، کراندار می‌ماند. در نتیجه، اگر<sup>۱</sup> به سمت صفر میل کند، انتگرال نیز به سمت صفر میل خواهد کرد، و:

$$\frac{d\psi}{dx}(x_1 + \eta) - \frac{d\psi}{dx}(x_1 - \eta) \xrightarrow{\eta \rightarrow 0} 0 \quad (8)$$

بنابراین، در این حد،  $d\psi/dx$  و هم‌چنین  $\psi(x)$  در  $x = x_1$  پیوسته‌اند (دلیل پیوستگی

\* این نکته می‌تواند از خواص معادله دیفرانسیل (۱) بطور ریاضی اثبات شود.

$\varphi(x)$  این است که انتگرال یک تابع پیوسته است). از طرف دیگر،  $d^2\varphi/dx^2$  ناپیوسته است و همان‌طور که می‌توان مستقیماً از (۱) دید، در  $x_1 = x$  پرشی برابر با  $\frac{2m}{\hbar^2} \varphi(x_1)\sigma_v$  انجام می‌دهد [۵] معرف تغییر  $V(x)$  در  $x_1 = x$  است.

گوشزد:

در استدلال فوق، ضروری است که  $V(x)$  کراندار بماند. در چند تمرین از مکمل  $K_1$ ، به عنوان مثال، موردی را در نظر خواهیم گرفت که برای آن  $V(x) = \alpha\delta(x)$  تابع بی‌کرانی انتگرال آن محدود می‌ماند، باشد. در این مورد،  $\varphi(x)$  پیوسته می‌ماند، ولی  $d\varphi/dx$  چنان نیست.

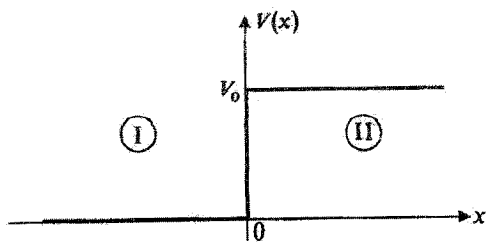
### ۶ - اصول محاسبه

بنابراین، روش تعیین حالت‌های مانا در یک "پتانسیل مربعی" به شرح زیر است: در تمام ناحیه‌هایی که  $V(x)$  ثابت است،  $\varphi(x)\varphi$  را به هر کدام از دو شکل (۲) یا (۵) که مناسب است بنویسید، سپس این توابع را، با شرط پیوستگی  $\varphi(x)$  و  $d\varphi/dx$  در نقاطی که  $V(x)$  ناپیوسته است، "به یکدیگر متصل کنید".

### ۷ - بررسی پنجم مورد ساده

حال به محاسبه کمی حالت‌های مانا برای تمام شکل‌های  $V(x)$  که در بخش ۵-۲-۱ از فصل اول در نظر گرفتیم، بروطیک روشی که در بالاتوصیف شد، بپردازیم. بدین ترتیب ثابت خواهیم کرد که شکل‌جوابها در واقع همان‌های است که توسط مشابه‌پنیکی پیش‌بینی شده بود.

### ۸ - پله‌های پتانسیل



شکل ۱.

پله پتانسیل

• موردی که  $V_0 > E$  است، انعکاس جزئی  
قرار دهدید:

$$\sqrt{\frac{2mE}{\hbar^2}} = k_1 \quad (9)$$

$$\sqrt{\frac{2m(E - V_0)}{\hbar^2}} = k_2 \quad (10)$$

جوابهای (1) در دو ناحیه I ( $x < 0$ ) و II ( $x > 0$ ) به شکل (۳) هستند:

$$\varphi_I(x) = A_1 e^{ik_1 x} + A'_1 e^{-ik_1 x} \quad (11)$$

$$\varphi_{II}(x) = A_2 e^{ik_2 x} + A'_2 e^{-ik_2 x} \quad (12)$$

چون معادله (1) همگن است، روش محاسبه مذکور در بخش ۱ می‌تواند فقط ما را به تعیین نسبت‌های  $A'_1/A_1$ ،  $A_2/A_1$  و  $A'_2/A_1$  قادرسازد. در واقع، دو شرط اتصال در  $x = 0$  برای تعیین این سه نسبت کافی نیست، باین جهت  $A'_2$  را مساوی صفر انتخاب خواهیم کرد،  $A'_2 = 0$ ، که معادل این است که خود را به موردنی محدود کنیم که ذره فروودی از  $x = -\infty$  می‌آید. در این صورت از شرایط اتصال خواهیم داشت:

$$\frac{A'_1}{A_1} = \frac{k_1 - k_2}{k_1 + k_2} \quad (13)$$

$$\frac{A_2}{A_1} = \frac{2k_1}{k_1 + k_2} \quad (14)$$

$\varphi_I(x)$  ترکیبی است از دو موج. موج اول (جمله برحسب  $A_1$ ) مربوط است به یک ذره فروودی، با تکانه  $p = \hbar k_1$ ، که از چپ به مرast منتشر می‌شود. موج دوم (جمله برحسب  $A_1$ ) مربوط است به یک ذره بازتابیده، با تکانه  $-\hbar k_1$ ، که درجهت مخالف انتشار می‌یابد. چون  $A_2$  را مساوی با صفر انتخاب کردی‌ایم،  $A'_2 = 0$ ، فقط از یک موج، وابسته به ذره عبور کرده، تشکیل شده است. در فصل سوم (بخش c - D - ۱) خواهیم دید که چگونه می‌توان، با بمکار بردن مفهوم یک جریان احتمال، ضریب عبور  $T$  و ضریب بازتاب  $R$  را برای یک لبه پتانسیل تعریف کرد (رک هم چنین به بخش ۲ از مکمل  $B_{III}$ ). این ضرائب، احتمال عبور از پله پتانسیل یا بازگشت از آنرا در نقطه  $x = 0$  برای ذره‌ای که از  $x = -\infty$  می‌آید به دست می‌دهند. بدین ترتیب خواهیم داشت:

$$R = \left| \frac{A'_1}{A_1} \right|^2 \quad (15)$$

و، برای  $T^*$  :

$$T = \frac{k_2}{k_1} \left| \frac{A_2}{A_1} \right|^2 \quad (16)$$

سپس، با در نظر گرفتن (۱۳) و (۱۴)، داریم:

$$R = 1 - \frac{4k_1 k_2}{(k_1 + k_2)^2} \quad (17)$$

$$T = \frac{4k_1 k_2}{(k_1 + k_2)^2} \quad (18)$$

بها آسانی می‌توان نشان داد که  $R + T = 1$  : مسلم است که ذره یا عبور می‌کند یا بازتابیده می‌شود. برخلاف پیش‌بینی‌های مکانیک کلاسیک، احتمال برگشتن ذره فرودی غیر صفر است. این نکته در فصل اول، با استفاده از مشابه اپتیکی و بررسی بازتاب یک موج نوری از یک سطح مشترک تخت (با  $n_1 > n_2$ )، تشریح شد. بعلاوه، می‌دانیم که در اپتیک، هیچ‌تاء خیر فازی توسط یک چنین انعکاسی ایجاد نمی‌شود، معادلات (۱۳) و (۱۴) در واقع نشان می‌دهند که نسبت‌های  $A'_1/A_1$  و  $A_2/A_1$  حقیقی است. بنابراین، ذره کوانتومی در اثر بازتاب یا عبور کند نمی‌شود (رگ مکمل  $J_1$ ، بخش ۲). بالاخره، به سادگی می‌توان با استفاده از (۹)، (۱۰) و (۱۱) نشان داد که اگر  $V_0 \gg E$  باشد،  $T \approx 1$  : وقتی انرژی ذره در مقابل ارتفاع پله پتانسیل به حد کافی بزرگ باشد، ذره طوری از این پله می‌گذرد، که گوئی اصلاً "پله وجود نداشته" است.

• موردی که  $V_0 < E$  باشد، بازتاب کلی

روابط (۱۰) و (۱۲) را توسط روابط زیر جایگزین می‌کنیم:

$$\sqrt{\frac{2m(V_0 - E)}{\hbar^2}} = \rho_2 \quad (19)$$

---

\* منشاء فیزیکی فاکتور  $k_2/k_1$  که در  $T$  ظاهر می‌شود در بخش ۲ از مکمل  $J_1$  بحث شده است.

$$\varphi_{II}(x) = B_2 e^{\rho_2 x} + B'_2 e^{-\rho_2 x} \quad (20)$$

برای اینکه این جواب وقتی  $\infty + \rightarrow x$  کردار بماند، لازم است که داشته باشیم:

$$B_2 = 0 \quad (21)$$

شرط اتصال در  $x = 0$  برای این مورد می‌دهند:

$$\frac{A'_1}{A_1} = \frac{k_1 - i\rho_2}{k_1 + i\rho_2} \quad (22)$$

$$\frac{B'_2}{A_1} = \frac{2k_1}{k_1 + i\rho_2} \quad (23)$$

در این صورت ضریب بازتاب  $R$  برابراست با:

$$R = \left| \frac{A'_1}{A_1} \right|^2 = \left| \frac{k_1 - i\rho_2}{k_1 + i\rho_2} \right|^2 = 1 \quad (24)$$

مانند مکانیک کلاسیک، ذره همواره بازتابیده می‌شود (بازتاب کلی). با وجود این، یک اختلاف مهم وجود دارد، که قبلاً در فصل اول به آن اشاره کردیم: با خاطر وجود موج میرای  $e^{-\rho_2 x}$ ، احتمال حضور ذره در ناحیه‌ای از فضا که از نظر کلاسیکی برای آن منوع می‌باشد، غیر صفر است. این احتمال به طور نمائی با  $x$  کاهش یافته و وقتی  $x$  بزرگتر از "گستره"  $1/\rho_2$  موج میرا باشد، قابل اعماض می‌شود. همچنین توجه کنید که ضریب  $A'_1/A_1$  مختلط است. در اثر بازتاب، انتقال فازی ظاهر می‌شود که، از نظر فیزیکی، ناشی از این واقعیت است که ذره وقتی به ناحیه  $x > 0$  نفوذ می‌کند دچارتاء خیر می‌شود (رک مکمل  $J_+$ ، بخش او همچنین  $B_{III}$  بخش ۳). این انتقال فاز مشابه انتقال فازی است که در هنگام بازتاب نواز یک ماده فلزی ظاهر می‌شود، ولی در مکانیک کلاسیک هیچ مشابهی برای آن وجود ندارد.

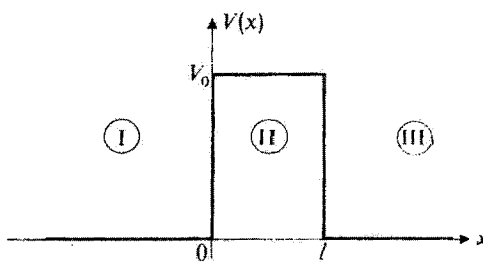
گوشزد:

وقتی  $\rho_2 \rightarrow +\infty$ ، به طوری که (۲۲) و (۲۳) میدهند:

$$\begin{cases} A'_1 \rightarrow -A_1 \\ B'_2 \rightarrow 0 \end{cases} \quad (25)$$

در ناحیه  $x > 0$  ، موج ، که گستره آن بدون حد کاهش می‌یابد ، به سمت صفر میل می‌کند . چون  $0 \rightarrow A_1 + A'_1$  ، تابع موج  $\varphi(x)$  در  $x = 0$  به سمت صفر می‌رود ، به طوری که در این نقطه پیوسته می‌ماند ، از طرف دیگر ، مشتق آن ، که به طور ناگهانی از مقدار  $2ikA_1$  به صفر می‌رسد ، دیگر پیوسته نیست . این امر ناشی از این واقعیت است که چون پرش پتانسیل در  $x = 0$  بینهایت است ، انتگرال (۷) ، وقتی  $\eta$  به سمت صفر میل می‌کند . دیگر به سمت صفر میل نخواهد کرد .

### ۶ - سدهای پتانسیل



شکل ۲

سد پتانسیل مربعی

۸ - موردی که  $V_0 > E$  باشد \* ، تشذید

با به کار بردن نمادگذاری های (۹) و (۱۰) ، در سه ناحیه  $I$  ( $x < 0$ ) ،  $II$  ( $0 < x < l$ ) و  $III$  ( $x > l$ ) ، خواهیم داشت :

$$\varphi_I(x) = A_1 e^{ik_1 x} + A'_1 e^{-ik_1 x} \quad (26-a)$$

$$\varphi_{II}(x) = A_2 e^{ik_2 x} + A'_2 e^{-ik_2 x} \quad (26-b)$$

$$\varphi_{III}(x) = A_3 e^{ik_1 x} + A'_3 e^{-ik_1 x} \quad (26-c)$$

حال ، مانند فوق  $A'_3$  را مساوی با صفر انتخاب می‌کنیم (ذره فرویدی از  $-\infty$  می‌آید) ، شرایط اتصال در  $x = l$  ضرایب  $A_2$  و  $A'_2$  را بر حسب  $A_3$  به دست می‌دهد و این شرایط اتصال در  $x = 0$  ضرایب  $A_1$  و  $A'_1$  و  $A_2$  و  $A'_2$  (و درنتیجه بر حسب  $A_3$ ) خواهند داد . بدین ترتیب نتیجه می‌گیریم :

\* می‌تواند با مشیت باشد (مورد یک سد پتانسیل نظیر آنچه که در شکل ۲ نشان داده شده است) یا منفی (مورد یک چاه پتانسیل) .

$$\begin{aligned} A_1 &= \left[ \cos k_2 l - i \frac{k_1^2 + k_2^2}{2k_1 k_2} \sin k_2 l \right] e^{ik_1 l} A_3 \\ A'_1 &= i \frac{k_2^2 - k_1^2}{2k_1 k_2} \sin k_2 l e^{ik_1 l} A_3 \end{aligned} \quad (۲۷)$$

می‌توانیم از روابط  $A_3/A_1$  و  $A'_1/A_1$  ضریب بازنتاب  $R$  و ضریب عبور  $T$  را سد را محاسبه کنیم که در اینجا برابرند با:

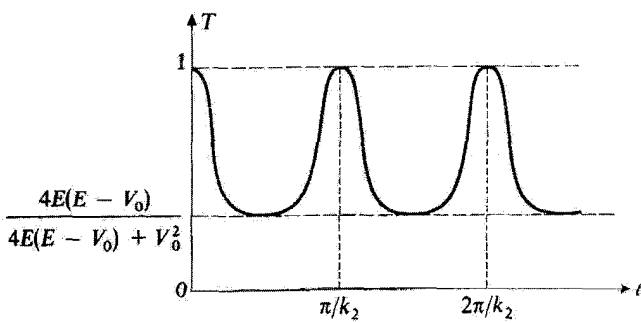
$$R = \left| \frac{A'_1}{A_1} \right|^2 = \frac{(k_1^2 - k_2^2)^2 \sin^2 k_2 l}{4k_1^2 k_2^2 + (k_1^2 - k_2^2)^2 \sin^2 k_2 l} \quad (۲۸-a)$$

$$T = \left| \frac{A_3}{A_1} \right|^2 = \frac{4k_1^2 k_2^2}{4k_1^2 k_2^2 + (k_1^2 - k_2^2)^2 \sin^2 k_2 l} \quad (۲۸-b)$$

سپس به آسانی می‌توان نشان داد که  $R + T = 1$  با درنظر گرفتن (۹) و (۱۵) داریم:

$$T = \frac{4E(E - V_0)}{4E(E - V_0) + V_0^2 \sin^2 [\sqrt{2m(E - V_0)} l/\hbar]} \quad (۲۹)$$

تفصیرات ضریب عبور  $T$  نسبت به  $l$  (با  $E$  و  $V_0$  ثابت) در شکل ۳ نشان داده شده است:  $T$  بین مقدار می‌نیم خود، و مقدار ماقزیم خود که برابر ۱ است، به طور تناوبی نوسان می‌کند. این تابع مشابه تابعی است که عبور از



شکل ۳

تفصیرات ضریب عبور  $T$  را سد نسبت به پهنای آن (ارتفاع سد،  $V_0$ ، انرژی  $E$  را ذره ثابتند). شدیدها وقتی ظاهر می‌شوند، که مضرب صحیحی از نصف طول موج  $\pi/k_2$  در ناحیه II باشد.

انترفرومتروفابری - پرورا انتشاریح می‌کند ، مانند اپتیک ، تشدیدها (کدهمازه  $I = T$  ، یعنی وقتی  $k_2 l = n\pi$  باشد ، به دست می‌آیند) مربوط به مقادیری از / هستند که مخارب صحیحی از نصف طول موج ذره در ناحیه II باشند . وقتی  $V_0 > E$  باشد ، بازنگار ذره در هریک از نایپوسنگی‌های پتانسیل ، بدون انتقال فاز در تابع موج صورت می‌گیرد (رک بخش  $\alpha - a$  ) . بدین جهت ، شرط تشدید  $k_2 l = n\pi$  مربوط به مقادیری از / است که برای آن یک دسته امواج ساکن بتواند در ناحیه II وجود داشته باشد . از طرف دیگر ، دوراز تشدیدها ، امواج مختلفی که در  $0 < x < l$  بازنگاری شده‌اند با تداخل یکدیگر اخیربینی می‌کنند ، به طوری که مقادیر تابع موج کوچک می‌شوند . مطالعه انتشاریک بسته موج (مشابه با آنچه که در مکمل I آمد) نشان خواهد داد که ، اگر شرط تشدید برقرار باشد ، بسته موج زمان نسبتاً "طلانی" ای در ناحیه II صرف خواهد کرد . در مکانیک کوانتومی این پدیده پراکندگی تشدیدی نامیده می‌شود .

$\beta$  ، موردی که  $V_0 < E$  باشد ، اثر تونل

در این مورد باید ( $b - ۲۶$ ) را توسط ( $۲۵$ ) جایگزین کنیم ، در حالی که  $m$  هنوز هم توسط ( $۱۹$ ) داده می‌شود . شرایط اتصال در  $0 = x = l$  ما را قادر می‌سازند که ضریب عبور از سد را محاسبه کنیم . در واقع انجام مجدد محاسبات غیرضروری است : نچه باید انجام دهیم این است که در معادلات به دست آمده در بخش  $\alpha$  ،  $k_2$  را توسط  $i\rho_2$  - جانشین کنیم . در این صورت داریم :

$$T = \left| \frac{A_3}{A_1} \right|^2 = \frac{4E(V_0 - E)}{4E(V_0 - E) + V_0^2 \sinh^2 [\sqrt{2m(V_0 - E)}l/\hbar]} \quad (۳۰)$$

و ، البته ،  $T = 1 - R = 1 - \frac{1}{\rho_2 l}$  و قتنی  $1 \gg \rho_2 l$  ، داریم :

$$T \approx \frac{16E(V_0 - E)}{V_0^2} e^{-2\rho_2 l} \quad (۳۱)$$

قبل ، در فصل اول ، دیدیم که چرا ، برخلاف پیش‌بینی‌های کلاسیک ، ذره دارای یک احتمال غیر صفر برای عبور از سد پتانسیل است . تابع موج در ناحیه II صفر نیست ، اما رفتار یک "موج میرا" با برد  $1/\rho_2$  را دارد . وقتی  $1/\rho_2 \lesssim l$  ، ذره دارای احتمال قابل ملاحظه‌ای برای عبور از سد ، توسط "اثر تونل" ، است . این اثر دارای کاربردهای فیزیکی متعددی است : معکوس‌کردن مولکول آمونیاک (رک مکمل  $G_{Jv}$ ) ، دیود تونل ، اثر ژوفسان ، استحاله های بعضی از هسته‌ها و غیره .

برد موج میرا برای یک الکترون برابر است با :

$$\left(\frac{1}{\rho_2}_{el}\right) \approx \frac{1.96}{\sqrt{V_0 - E}} \text{ Å} \quad (32)$$

که در آن  $E$  و  $V_0$  بحسب الکترون ولت بیان شده‌اند ( این فرمول می‌تواند بلاعده از فرمول (۸) مکمل  $A_1$  ، با جایگزین کردن  $\lambda = 2\pi/k$  توسعه  $2\pi/\rho_2$  به دست آید ) . حال یک الکترون بالانزی  $eV$  را در نظر بگیرید که به‌سدی برخورد می‌کند که برای آن  $V_0 = 2eV$  و  $l = 1 \text{ Å}$  است . در این صورت برد موج میرا  $1/96 \text{ Å}$  ، یعنی ، از مرتبه  $1/1$  است : بنابراین الکترون باید دارای احتمال قابل ملاحظه‌ای برای عبور از سد باشد . درواقع ، فرمول (۳۰) در این مورد می‌دهد :

$$T \approx 0.78 \quad (33)$$

نتیجه کوانتومی بطور ریشه‌ای با نتیجه کلاسیکی تفاوت دارد : احتمال عبور الکترون از سد تقریباً  $1/8$  است .

حال فرض کنید که ذره فردی یک پرتون باشد ( که جرم آن تقریباً  $1840$  برابر جرم الکترون است ) . در این صورت برد  $1/\rho_2$  برابر است با :

$$\left(\frac{1}{\rho_2}_{pr}\right) \approx \frac{1.96}{\sqrt{1840(V_0 - E)}} \text{ Å} \approx \frac{4.6}{\sqrt{V_0 - E}} 10^{-2} \text{ Å} \quad (34)$$

با همان مقادیر :  $E = 1 \text{ eV}$  ،  $V_0 = 2 \text{ eV}$  ،  $l = 1 \text{ Å}$  ، برد  $1/\rho_2$  را خیلی کوچکتر از  $l$  به دست می‌آوریم . در این صورت فرمول (۳۱) می‌دهد :

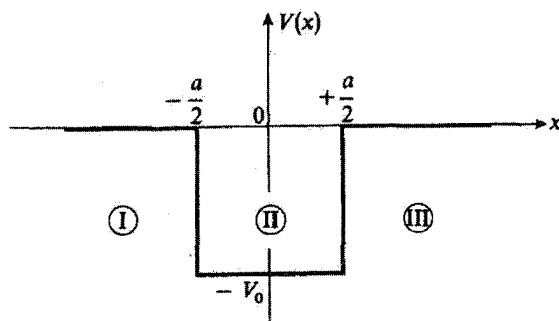
$$T \approx 4 \times 10^{-19} \quad (35)$$

تحت این شرایط ، احتمال عبور پروتون از سد پتانسیل قابل اغماض است . به طریق اولی ، اگر (۳۱) را بـاجسام ماکروسکوپیکی اعمال می‌کردیم ، چنان احتمال ضعیفی به دست

هـ - حالتی‌ای مفید ، چاه بـپتانسیل مربعی

$\alpha$  . چاه با عمق محدود

در اینجا خود را به مطالعه مورد  $-V_0 < E < 0$  محدود خواهیم ساخت ( مورد  $E > 0$  ، در محاسبات بخش قبلی  $b-\alpha$  گنجانده شده است ) .



شکل ۴.

چاه پتانسیل مربعی

در نواحی I، II و III داریم :

$$\varphi_I(x) = B_1 e^{\rho x} + B'_1 e^{-\rho x} \quad (36-a)$$

$$\varphi_{II}(x) = A_2 e^{ikx} + A'_2 e^{-ikx} \quad (36-b)$$

$$\varphi_{III}(x) = B_3 e^{\rho x} + B'_3 e^{-\rho x} \quad (36-c)$$

که در آن :

$$\rho = \sqrt{-\frac{2mE}{\hbar^2}} \quad (37)$$

$$k = \sqrt{\frac{2m(E + V_0)}{\hbar^2}} \quad (38)$$

چون  $\varphi(x)$  باید در ناحیه I کراندار باشد، باید داشته باشیم :

$$B'_1 = 0 \quad (39)$$

در این صورت شرایط اتصال در  $x = -\frac{a}{2}$  می‌دهند:

$$A_2 = e^{(-\rho+ik)a/2} \frac{\rho + ik}{2ik} B_1$$

$$A'_2 = -e^{-(\rho+ik)a/2} \frac{\rho - ik}{2ik} B_1 \quad (40)$$

و همین شرایط در  $x = a/2$  می‌دهند:

$$\frac{B_3}{B_1} = \frac{e^{-\rho a}}{4ik\rho} [(\rho + ik)^2 e^{ika} - (\rho - ik)^2 e^{-ika}]$$

$$\frac{B'_3}{B_1} = \frac{\rho^2 + k^2}{2k\rho} \sin ka$$
(۴۱)

اما  $\varphi(x)$  باید در ناحیه III نیز کراندار باشد، از این رو لازم است که  $B_3 = 0$  باشد، یعنی :

$$\left( \frac{\rho - ik}{\rho + ik} \right)^2 = e^{2ika}$$
(۴۲)

چون  $\rho$  و  $k$  به  $E$  بستگی دارند، معادله (۴۲) فقط بموازاء مقادیر معینی از  $E$  می‌تواند برقرار باشد. بدین ترتیب، تحمیل یک کران به  $\varphi(x)$  در تمام نواحی فضا، کوانتش انرژی را به دنبال خواهد آورد. بطور دقیق‌تر، دو حالت امکان‌پذیر هستند:

(۱) اگر:

$$\frac{\rho - ik}{\rho + ik} = - e^{ika}$$
(۴۳)

داریم:

$$\frac{\rho}{k} = \tan \left( \frac{ka}{2} \right)$$
(۴۴)

قرار دهیم:

$$k_0 = \sqrt{\frac{2mV_0}{\hbar^2}} = \sqrt{k^2 + \rho^2}$$
(۴۵)

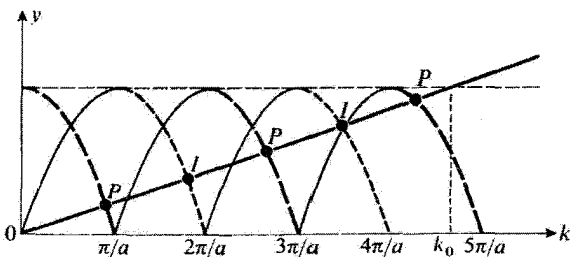
در این صورت نتیجه خواهیم گرفت:

$$\frac{1}{\cos^2 \left( \frac{ka}{2} \right)} = 1 + \tan^2 \frac{ka}{2} = \frac{k^2 + \rho^2}{k^2} = \left( \frac{k_0}{k} \right)^2$$
(۴۶)

بنابراین معادله (۴۳) معادل با دستگاه معادلات زیر است:

$$\left\{ \begin{array}{l} \left| \cos \left( \frac{ka}{2} \right) \right| = \frac{k}{k_0} \\ \tan \left( \frac{ka}{2} \right) > 0 \end{array} \right. \quad (47-a)$$

$$\left\{ \begin{array}{l} \left| \cos \left( \frac{ka}{2} \right) \right| = \frac{k}{k_0} \\ \tan \left( \frac{ka}{2} \right) < 0 \end{array} \right. \quad (47-b)$$



شکل ۵

حل نموداری معادله (۴۲)، که انرژی‌های حالت‌های مقید یک ذره در چاه پتانسیل مربعی را می‌دهد. در موردی که در شکل نشان داده شده است، پنج حالت مقید وجود دارد، سه حالت زوج (وابسته به نقاط P می‌شکل) و دو حالت فرد (نقاط I).

ترازهای انرژی توسط نقاط تلاقی یک خط راست، که شیب آن  $1/k_0$  است با کمانهای سینوسی (خط چین‌های بزرگ در شکل ۵) تعیین می‌شوند. به این ترتیب، تعداد معینی تراز انرژی به دست می‌آوریم که توابع موجشان زوج است. اگر (۴۳) را در (۴۰) و (۴۱) قرار دهیم به آسانی می‌توان نشان داد که  $B'_3 = B_1$  و  $A'_2 = A_2$ ، درنتیجه (۴۲) اگر:

$$\frac{\rho - ik}{\rho + ik} = e^{ika} \quad (48)$$

محاسبه‌ای از همان نوع به روابط زیر منجر می‌شود:

$$\left\{ \begin{array}{l} \left| \sin \left( \frac{ka}{2} \right) \right| = \frac{k}{k_0} \\ \tan \left( \frac{ka}{2} \right) < 0 \end{array} \right. \quad (49-a)$$

$$\left\{ \begin{array}{l} \left| \sin \left( \frac{ka}{2} \right) \right| = \frac{k}{k_0} \\ \tan \left( \frac{ka}{2} \right) > 0 \end{array} \right. \quad (49-b)$$

در این صورت، ترازهای انرژی توسط نقاط تقاطع همان خط راست قبلی با کمانهای سینوسی دیگر (خط چین‌های کوتاه در شکل ۵) تعیین می‌شوند. ترازهایی که به‌این ترتیب به دست می‌آیند بین ترازهای به دست آمده در (i) قرار می‌گیرند. به‌آسانی می‌توان نشان داد که توابع موج مربوطه فرد هستند.

گوشزد:

اگر  $\frac{\pi}{a} < k_0$  ، یعنی، اگر:

$$V_0 \leq V_1 = \frac{\pi^2 \hbar^2}{2ma^2} \quad (50)$$

شکل ۵ نشان می‌دهد که فقط یک حالت مقید برای ذره وجود دارد، و این حالت دارای یک تابع موج زوج است. سپس، اگر  $V_1 < V_0 < 4V_1$  ، اولین تراز فرد ظاهر می‌شود، و الی آخر؛ وقتی  $V_1$  افزایش می‌یابد به طور متناوب ترازهای زوج و فرد ظاهر می‌شوند. اگر  $V_1 \gg V_0$  ، شبیه  $1/k_0$  خط راست شکل ۵ بسیار کوچک است؛ برای پائین‌ترین ترازهای انرژی، عملان "داریم":

$$k = \frac{n\pi}{a} \quad (51)$$

که در آن  $n$  یک عدد صحیح است، و درنتیجه:

$$E = \frac{n^2 \pi^2 \hbar^2}{2ma^2} - V_0 \quad (52)$$

$\beta$  — چاه بینهایت عمیق

فرض کنید  $V(x)$  برای  $x < 0$  ، صفر، و در جاهای دیگر بینهایت باشد. قرار می‌دهیم:

$$k = \sqrt{\frac{2mE}{\hbar^2}} \quad (53)$$

بنابرگوشید داده شده در انتهای بخش ۲-۸-β این مکمل،  $\varphi(x)$  باید در خارج از بازه  $[0, a]$  صفر، و در  $x = 0$  و همین طور در  $x = a$  پیوسته باشد. حال برای  $0 \leq x \leq a$  داریم:

$$\varphi(x) = A e^{ikx} + A' e^{-ikx} \quad (54)$$

چون  $\varphi(0) = 0$ ، می‌توان نتیجه گرفت  $A' = -A$ ، که منجر می‌شود به:

$$\varphi(x) = 2A \sin kx \quad (55)$$

بعلاوه،  $\varphi(a) = 0$ ، بنابراین:

$$k = \frac{n\pi}{a} \quad (56)$$

که در آن  $n$  یک عدد صحیح مثبت دلخواه است. اگر، با دقت گرفتن (56)، تابع (55) را بهنجار کنیم توابع موج مانای:

$$\varphi_n(x) = \sqrt{\frac{2}{a}} \sin\left(\frac{n\pi x}{a}\right) \quad (57)$$

را با انرژیهای:

$$E_n = \frac{n^2 \pi^2 \hbar^2}{2ma^2} \quad (58)$$

بعدست می‌آوریم. بهاین ترتیب کوانتش ترازهای انرژی، در این مورد، بسیار ساده است.

گوشزدها:

(i) رابطه (56) بیانگر این واقعیت است که حالت‌های مانا با این شرط تعیین می‌شوند که پهنهای  $a$  ای چاه بایستی مضرب صحیحی از نصف طول موج،  $\pi/k$ ، باشد. وقتی عمق چاه محدود باشد اینطور نیست (رک بخش ۲-۸-β)، اختلاف بین دوموردار انتقال فاز تابع موج، که در اثر بازنگردی از یک پله پتانسیل اتفاق می‌افتد، ناشی می‌شود. (رک بخش ۲-۸-β).

(ii) به آسانی می‌توان از روی (۵۱) و (۵۲) ثابت کرد که، اگر عمق  $V_0$  یک چاه محدود به سمت بینهایت میل کند، ترازهای انرژی یک‌چاه بینهایت به دست خواهد آمد.

### مراجع و پیشنهادهای برای مطالعه بیشتر:

Eisberg and Resnick (1.3), chap. 6; Ayant and Belorizky (1.10), chap. 4; Messiah (1.17), chap. III; Merzbacher (1.16), chap. 6; Valentin (16.1), annex V.

## مکمل ۴

## رفتار یک بسته موج در یک پله پتانسیل

۱ - بازنتاب کلی :  $E < V_0$ ۲ - بازنتاب جزئی :  $E > V_0$ 

در مکمل  $H_1$  ، حالت‌های مانای یک ذره در پتانسیلهای "مربعی" گوناگون را تعیین کردیم . برای بعضی موارد ( به عنوان مثال ، یک پتانسیل پلماهی ) ، حالت‌های مانایی که بین ترتیب به دست می‌آیند ، از امواج تخت نامقید ( فرودی ، بازنتابی و عبوری ) تشکیل شده‌اند . البته ، چون چنین امواجی نمی‌توانند به هنجار شوند ، نمی‌توانند واقعاً "معرف یک حالت فیزیکی ذره باشند . لیکن ، می‌توان آنها را به مطور خطی ترکیب کرد و بسته موجهایی به دست آورد که به هنجار پذیر باشند . بعلاوه ، چون یک چنین بسته موجی مستقیماً "برحسب توابع موج مانا بسط داده شده است ، تعیین تحول زمانی آن بسیار ساده است . آنچه لازم است . انجام دهیم این است که هر یک از ضرائب بسط‌را در یکتابع نمائی موهومی  $e^{-Et/\hbar}$  ، در یک فرکانس کاملاً "معین  $\frac{E}{\hbar}$  ضرب کنیم ( فصل اول ، بخش b - D-1 ) .

در این مکمل ، قصد داریم چنین بسته موجهایی ساخته و تحول زمانی آنها را برای موردی که پتانسیل ، مانند شکل ۱ در مکمل  $H_1$  ، یک پله بهارتفاع  $V_0$  دارد ، مطالعه کنیم . بهاین ترتیب ، قادر خواهیم بود رفتار کوانتموی ذره را به هنگام رسیدن به پله پتانسیل ، با تعیین حرکت و تغییرشکل بسته موج وابسته به آن ، دقیقاً "تشریح کنیم . این امر هم چنین بهما امکان خواهد داد تا نتایج متعدد به دست آمده در  $H_1$  ( ضرائب بازنتاب و عبور ، کند شدن در اثر بازنتاب و غیره . . . ) را از طریق مطالعه فقط حالت‌های مانا تأثیر بین کنیم .

قرار می‌دهیم :

$$\sqrt{\frac{2mE}{\hbar^2}} = k \quad (1)$$

$$\sqrt{\frac{2mV_0}{\hbar^2}} = K_0$$

و مانند مکمل  $H_1$  ، دومورد متناظر با  $k$  کوچکتر یا بزرگتر از  $K_0$  را متمایز خواهیم ساخت .

/ بازتاب گلی :  $E < V_0$

در این مورد ، توابع موج مانا توسط فرمولهای (۱۱) و (۱۲) از مکمل  $H_1$  داده می شوند  
 ( در اینجا  $k_1$  را  $k$  خواهیم نامید ) ، ضرائب  $A_1$  ،  $A'_1$  ،  $B_2$  و  $B'_2$  در این فرمولها توسط  
 معادلات (۲۱) ، (۲۲) و (۲۳) از مکمل  $H_1$  بهم مربوط می شوند .

می خواهیم ، با ترکیب کردن خطی این توابع موج مانا یک بسته موج بسازیم . فقط  
 مقادیری از  $k$  را که کوچکتر از  $K_0$  باشند انتخاب خواهیم کرد تا امواجی که بسته را تشکیل  
 می دهند بازتاب کلی پیدا کنند . برای این منظور ، یک تابع  $(k)$  ای ( که بسته موج را  
 مشخص می کند ) انتخاب می کنیم که برای  $k > K_0$  صفر باشد . توجه خود را به ناحیه منفی  
 محور  $x$  ها ، طرف چپ سد پتانسیل ، معطوف می کنیم . در مکمل  $H_1$  ، رابطه (۲۲) نشان  
 می دهد که  $A_1$  و  $A'_1$  در رابطه (۱۱) برای یک موج مانا در این ناحیه دارای مدولهای یکسانی  
 هستند . از این رو می توان قرار داد :

$$\frac{A'_1(k)}{A_1(k)} = e^{-2i\theta(k)} \quad (۲)$$

که در آن رک فرمول (۹) از مکمل  $H_1$  :

$$\tan \theta(k) = \frac{\sqrt{K_0^2 - k^2}}{k} \quad (۳)$$

بالاخره ، بسته موجی را که می خواهیم بررسی کنیم ، در زمان  $t = 0$  ، برای  $x$  های منفی  
 می تواند به صورت زیر نوشته شود :

$$\psi(x, 0) = \frac{1}{\sqrt{2\pi}} \int_0^{K_0} dk g(k) [e^{ikx} + e^{-2i\theta(k)} e^{-ikx}] \quad (۴)$$

مانند بخش C از فصل اول ، فرض می کنیم که  $|g(k)|$  حول مقدار  $k = k_0 < K_0$  دارای قله  
 بر جسته ای به پهنای  $4k$  باشد .

برای اینکه عبارتی برای تابع موج  $\psi(x, t)$  در هر زمان  $t$  بددست آوریم ، از رابطه  
 کلی ، (D-۱۴) از فصل اول استفاده می کنیم :

$$\psi(x, t) = \frac{1}{\sqrt{2\pi}} \int_0^{K_0} dk g(k) e^{i[kx - \omega(k)t]} + \frac{1}{\sqrt{2\pi}} \int_0^{K_0} dk g(k) e^{-i[kx + \omega(k)t + 2\theta(k)]} \quad (5)$$

که در آن  $\omega(k) = \hbar k^2 / 2m$  . این رابطه فقط برای  $x$  های منفی معتبر است . جمله اول آن بسته موج فرودی ، و جمله دوم ، بسته بازتابیده را نشان می‌دهد . برای سهولت فرض خواهیم کرد که  $g(k)$  حقیقی باشد . در این صورت شرط فازمانا ( فصل اول بخش ۲ C ) ، محاسبه مکان  $x$  ای موکز بسته موج فرودی را ممکن می‌سازد : اگر در  $k = k_0$  ، مشتق شناسه اولین تابع نمائی نسبت به  $k$  را مساوی صفر قرار دهیم ، بدست می‌آید :

$$x_i = t \left[ \frac{d\omega}{dk} \right]_{k=k_0} = \frac{\hbar k_0}{m} t \quad (6)$$

به همین طریق ، مکان  $x$  موکز بسته بازتابیده با مشتق‌گیری از شناسه تابع نمائی دوم به دست می‌آید . با مشتق‌گرفتن از معادله (۳) ، خواهیم داشت :

$$\begin{aligned} [1 + \tan^2 \theta] d\theta &= \left[ 1 + \frac{K_0^2 - k^2}{k^2} \right] d\theta \\ &= - \frac{dk}{k^2} \sqrt{K_0^2 - k^2} - \frac{dk}{\sqrt{K_0^2 - k^2}} \end{aligned} \quad (7)$$

یعنی :

$$\frac{K_0^2}{k^2} d\theta = - \frac{K_0^2}{k^2} \frac{1}{\sqrt{K_0^2 - k^2}} dk \quad (8)$$

بنابراین داریم :

$$x_r = - \left[ t \frac{d\omega}{dk} + 2 \frac{d\theta}{dk} \right]_{k=k_0} = - \frac{\hbar k_0}{m} t + \frac{2}{\sqrt{K_0^2 - k_0^2}} \quad (9)$$

فرمولهای (۶) و (۹) بهم امکان می‌دهند تا حرکت ذره را ، که در ناحیه‌ای به پهنه‌ای کوچک

$\Delta x$  و به مرکز  $x$  یا  $x$  واقع است، دقیق‌تر تشریح کنیم.

ابتدا به مینیم برای  $x$  های منفی چه اتفاق می‌افتد. مرکز  $x$  بسته موج فرودی با سرعت ثابت  $\hbar k_0/m$  از چپ به راست انتشار می‌یابد. از طرف دیگر، از فرمول (۹) ملاحظه می‌کنیم که  $x$  مثبت است، یعنی، در خارج از ناحیه  $0 < x$ ، که در آن رابطه (۵) برای تابع موج معتبر است، قرار دارد. این مطلب بدان معنی است که، برای تمام مقادیر منفی  $x$ ، امواج مختلف جمله دوم (۵) به طور ویرانگری تداخل می‌کنند: برای  $x$  های منفی بسته موج بازتابیده وجود ندارد، بلکه فقط یک بسته موج فرودی نظیر آنچه که در بخش C از فصل اول مطالعه شد، وجود دارد.

مرکز بسته موج فرودی در زمان  $0 = \tau$  به سدمی‌رسد. دریک بازمای از زمان در حوالی  $0 = \tau$ ، بسته موج در ناحیه  $0 \approx x$  که سد قرار دارد متمرکز می‌شود، و شکل آن نسبتاً پیچیده است. اما وقتی  $\tau$  به حد کافی بزرگ باشد، از (۶) و (۹) ملاحظه می‌کنیم که، بسته موج فرودی است که ناپدید می‌شود، و فقط بسته موج بازتابیده باقی می‌ماند. اکنون  $x$  است که مثبت است. در حالی که  $x$  منفی می‌شود: امواج بسته، فرودی به‌ازاء تمام مقادیر منفی  $x$  به طور ویرانگری تداخل می‌کنند، در حالی که امواج بسته بازتابیده برای  $0 < x = \tau$  به‌طور سازنده تداخل می‌کنند. بسته موج بازتابیده با سرعت  $\hbar k_0/m$  به سمت چپ، در خلاف جهت بسته ورودی، که تصویر آینه‌ای آنست، انتشار می‌یابد، و شکل آن تغییری نکرده است\*. بعلاوه فرمول (۹) نشان می‌دهد که بازتاب یک تاء‌خیر  $\tau$  وارد می‌کند، که به صورت زیر داده می‌شود:

$$\tau = -2 \left[ \frac{d\theta/dk}{d\omega/dk} \right]_{k=k_0} = \frac{2m}{\hbar k_0 \sqrt{K_0^2 - k_0^2}} \quad (10)$$

برخلاف آنچه که مکانیک کلاسیک پیش‌بینی می‌کند، ذره آنا "بازتابیده نمی‌شود. توجه کنید که تاء‌خیر  $\tau$ ، برای یک مقدار معین  $k$  به انتقال فاز  $2\theta(k)$  بین موج فرودی و موج بازتابیده مربوط است. با وجود این، باید توجه شود که تاء‌خیر بسته موج بسادگی متناسب با  $(k_0)\theta$  آن‌طور که برای یک موج تخت بیکران رخ می‌دهد نیست، بلکه متناسب با مشتق  $d\theta/dk$  به‌ازاء  $k = k_0$  است. از نظر فیزیکی، این تاء‌خیر ناشی از این واقعیت است که، برای  $\tau$  نزدیک به صفر، احتمال حضور ذره در ناحیه  $0 > x$ ، که از نظر کلاسیک ممنوع است،

\* فرض می‌کنیم  $4k$  آنقدر کوچک باشد که گسترش بسته موج در خلال بازه زمانی مورد نظر قابل اغماض باشد.

صفر نیست ] موج میرا ، بهگوشزد (i) در زیر رجوع کنید [ . می‌توان ، بطور مجازی ، گفت که ذره قبل از برگشتن مدت زمانی در حدود  $\tau$  درین ناحیه صرف می‌کند . فرمول (۱۰) نشان می‌دهد که هرچه انرژی میانگین  $\frac{\hbar^2 k_0^2}{2m}$  بسته موج به ارتفاع  $V_0$  سد نزدیکتر باشد ، تا خیر ، طولانی‌تر است .

گوشزدها :

(i) در اینجا روی مطالعه بسته موج برای  $x < 0$  تأکید کردیم ، ولی نی‌توان آنچه را که برای  $x > 0$  رخ می‌دهد نیز مطالعه کرد ، بسته موج ، در این ناحیه می‌تواند به صورت زیر نوشته شود :

$$\psi(x, t) = \frac{1}{\sqrt{2\pi}} \int_0^{K_0} dk g(k) B'_2(k) e^{-\rho(k)x} e^{-i\omega(k)t} \quad (11)$$

که در آن :

$$\rho(k) = \sqrt{K_0^2 - k^2} \quad (12)$$

$B'_2(k)$  توسط معادله (۲۳) از مکمل  $H_1$  ، با جایگزینی  $A_1$  توسط  $k_1$  ،  $k$  توسط  $k_2$  توسط  $\rho$  به دست ، می‌آید . در این صورت استدلالی مشابه با استدلال بخش C-۲ افصل اول نشان می‌دهد که مدول  $|\psi(x, t)|$  عبارت (۱۱) وقتی مانگریم است که فاز تابعی که باید از آن روی  $k$  انتگرال گرفته شود مانا باشد . حال بنابر روابط (۲۲) و (۲۳) از مکمل  $H_1$  ، شناسه  $B'_2$  ، نصف شناسه  $A'_1$  که بنابر (۲) ، برابر  $\theta(k) - 2\theta$  است ، می‌باشد . در نتیجه ، اگر  $\omega(k)$  و  $\theta(k)$  رادرحوالی  $k = k_0$  بسط دهیم ، برای فاز تابعی که باید در (۱۱) از آن روی  $k$  انتگرال گیری شود ، خواهیم داشت :

$$\left\{ - \left[ \frac{d\theta}{dk} \right]_{k=k_0} - \left[ \frac{d\omega}{dk} \right]_{k=k_0} t \right\} (k - k_0) = - \frac{\hbar k_0}{m} (k - k_0) \left( t - \frac{\tau}{2} \right) \quad (13)$$

] از رابطه (۱۰) و این واقعیت که  $g(k)$  حقیقی فرض شده است ، استفاده کرده‌ایم [ ، از این مطلب می‌توان نتیجه گرفت که  $|\psi(x, t)|$  در ناحیه  $x > 0$  بخازه  $t = \frac{\tau}{2}$

ماگزینم است\*. بنابراین، زمانی که در آن بسته بر می‌گردد  $\frac{\epsilon}{2}$  است، که همان تأخیر  $\tau$  در بازتاب را که در بالا بدست آوردیم، می‌دهد. همچنین از رابطه (۱۲) ملاحظه می‌کنیم که، به محض اینکه  $\left| \frac{\epsilon}{2} - \tau \right|$  از زمان  $\Delta t$  که توسط :

$$\frac{\hbar k_0}{m} \Delta k \Delta t \approx 1 \quad (14)$$

تعریف می‌شود، که در آن  $\Delta k$  پهنای  $|g(k)|$ ، تجاوز کند، امواج از همفازی خارج شده و رابطه (۱۱) برای  $|x(t)|$  قابل اعتماد می‌شود. بهاین ترتیب، بسته موج در مدت بازه زمانی  $\Delta t$  از مرتبه:

$$\Delta t = \frac{1/\Delta k}{\hbar k_0/m} \quad (15)$$

که تقریباً "متناظر با زمانی است که، در ناحیه  $x < 0$ ، برای طی مسافتی در حدود پهنای  $1/\Delta k$  خود صرف می‌کند، کلاً" در ناحیه  $x > 0$  باقی می‌ماند. چون فرض شده است که  $\Delta k$  بسیار کوچکتر از  $k_0$  و  $K_0$  باشد، مقایسه (۱۵) و (۱۶) نشان می‌دهد که:

$$\Delta t \gg \tau \quad (16)$$

از این رو تأخیر در بازتاب، برای بسته موج بازتابیده، تغییر مکانی را وارد می‌کند که خیلی از پهنای آن کوچکتر است.

### ۳- بازتاب جزئی : $E > V_0$

این بار، یک تابع  $(k)g$  به پهنای  $\Delta k$  که حول مقدار  $K_0 > k_0 = k$  مرکز است و برای  $K_0 < k$  صفر است در نظر می‌گیریم، بسته موج در این مورد از ترکیب توابع موج مانائی که توسط فرمولهای (۱۱) و (۱۲) از مکل  $H_1$  داده شده‌اند، با ضرائب  $(k)g$ ، تشکیل می‌شود. برای اینکه ذره مورد نظر از ناحیه منفی محور  $x$  ها بسد برسد،  $E$  را مساوی با

\* توجه کنید که، برخلاف آنچه که در فصل اول برای یک بسته موج آزادپسدا کردیم فاز (۱۳) به  $x$  بستگی ندارد. نتیجه می‌شود که  $|x(t)|$ ، در ناحیه  $x < 0$ ، دارای قله بر جسته‌ای که نسبت به زمان حرکت کند، نیست.

صفرانتخاب می‌کنیم، و همچنین قوار می‌دهیم  $A_1 = A_1(k)$  و  $A_2(k)$  از فرمولهای (۱۳) و (۱۴) در مکمل  $H_1$  (که در آن  $A_1$  توسط  $k_1$  توسط  $k_2$  توسط  $\sqrt{k^2 - K_0^2}$  جایگزین شده است) بدست می‌آیند. برای اینکه بسته موج را توسط یک رابطه تنها، که برای تمام مقادیر معتبر باشد، تشریح کنیم، از "تابع پلما" هیویساید  $\theta(x)$  که به صورت زیر تعریف می‌شود استفاده می‌کنیم:

$$\begin{aligned}\theta(x) &= 0 & x < 0 \\ \theta(x) &= 1 & x > 0\end{aligned}\quad (17)$$

در این صورت بسته موج مورد نظر می‌تواند به صورت زیر نوشته شود:

$$\begin{aligned}\psi(x, t) &= \theta(-x) \frac{1}{\sqrt{2\pi}} \int_{K_0}^{+\infty} dk g(k) e^{i[kx - \omega(k)t]} \\ &\quad + \theta(-x) \frac{1}{\sqrt{2\pi}} \int_{K_0}^{+\infty} dk g(k) A'_1(k) e^{-i[kx + \omega(k)t]} \\ &\quad + \theta(x) \frac{1}{\sqrt{2\pi}} \int_{K_0}^{+\infty} dk g(k) A_2(k) e^{i[\sqrt{k^2 - K_0^2}x - \omega(k)t]}\end{aligned}\quad (18)$$

این بار، سه بسته موج بدست می‌آوریم: فرویدی، بازنایی، عبوری. مانند بخش ۱ فوق، شرط فاز مانا مکان مراکز  $x_r$  و  $x_i$  را بدست می‌دهد. چون  $A'_1(k)$  حقيقی‌اند، نتیجه خواهیم گرفت:

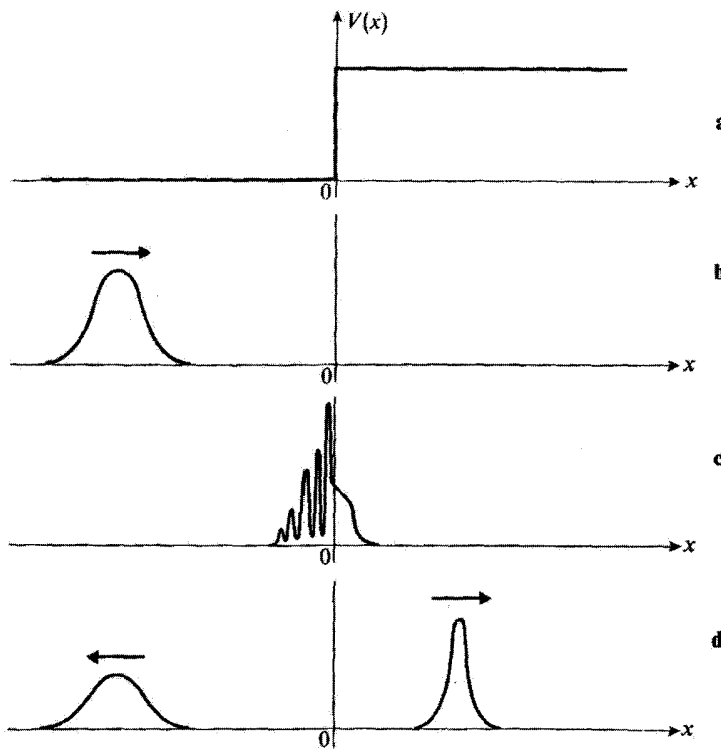
$$x_r = \frac{\hbar k_0}{m} t \quad (19-a)$$

$$x_i = -\frac{\hbar k_0}{m} t \quad (19-b)$$

$$x_i = \frac{\hbar \sqrt{k_0^2 - K_0^2}}{m} t \quad (19-c)$$

بحثی مشابه به بحث (۶) و (۹) به نتایج زیر منجر می‌شود: برای های منفی، فقط بسته موج فرویدی وجود دارد، برای های مثبت و به قدر کافی بزرگ فقط بسته موجهای بازنایی و عبوری وجود دارند (شکل ۱). توجه کنید که هیچ تأ خیری، نه در بازنای و نه در عبور وجود ندارد. این امر ناشی از این واقعیت است که ضرائب  $A'_1(k)$  و  $A_2(k)$  حقيقی هستند. بسته موجهای فرویدی و بازنایی به ترتیب با سرعتهای  $\hbar k_0/m$  و  $-\hbar k_0/m$  انتشار

می‌یابند، حال، فرض کنید  $\Delta k$  آن قدر کوچک باشد که، بتوانیم در بازه از تغییرات  $A'_1(k)$  در مقابل تغییرات  $(g(k))$  صرفنظر کنیم.



شکل ۱

رفتار یک بسته موج در یک پتانسیل پله‌ای، در مورد  $E > \gamma_0$ ، پتانسیل در شکل a نشان داده شده است. در شکل b، بسته موج به سمت پله در حرکت است. شکل c بسته موج را در دوره کوتاهی که در آن بسته موج بدو قسمت تقسیم می‌شود، نشان می‌دهد. تداخل بین امواج فرودی و بازنایی مسئول نوسانات بسته موج در ناحیه  $0 < x$  است. پس از مدتی (شکل d) دو بسته موج خواهیم داشت. بسته موج اول (بسته میوج بازنایی) به سمت چپ بر می‌گردد، دامنه آن از دامنه بسته موج فرودی کوچکتر و پهنای آن به همان اندازه پهنای موج فرودی است. بسته موج دوم (بسته موج عبوری) به سمت راست است انتشار می‌یابد، دامنه آن قدری از دامنه بسته موج فرودی بزرگتر بوده، ولی باریکتر است.

در این صورت می‌توانیم در جمله دوم (۱۸) ،  $A'_1(k_0)$  را توسط  $A'_1(k)$  جانشین کرده و آنرا از انتگرال خارج کنیم . سپس به سادگی می‌توان دید که بسته موج بازنایی همان شکل بسته موج فروندی ، تصویر آینه‌ای آن ، را دارد . ولی دامنه‌اش کوچکتر است زیرا ، برطبق فرمول (۱۳) از مکمل  $H_1$  ،  $A'_1(k_0)$  کوچکتر از ۱ است . ضریب بازنای  $R$  ، بنا به تعریف ، عبارت است از نسبت بین احتمالهای یافتن ذره در بسته موج بازنایی و در بسته موج فروندی . از این رو ، داریم :  $R = |A'_1(k_0)|^2$  ، که در واقع بمعادله (۱۵) از مکمل  $H_1$  متناظر است [  $A'_1(k_0) = 1$  ] .

وضعیت بروای بسته موج عبوری فرق می‌کند . هنوز می‌توانیم برای ساده کردن عبارت آن ، از این واقعیت که  $\Delta k$  بسیار کوچک است استفاده کنیم : می‌توانیم  $A_2(k)$  را بموسیله

وضعیت بروای بسته موج عبوری فرق می‌کند . هنوز می‌توانیم برای ساده کردن عبارت آن ، از این واقعیت که  $\Delta k$  بسیار کوچک است استفاده کنیم : می‌توانیم  $A_2(k_0)$  را بموسیله

$$\sqrt{k^2 - K_0^2} \quad \text{را بموسیله تقریب زیر جایگزین کنیم :}$$

$$\sqrt{k^2 - K_0^2} \simeq \sqrt{k_0^2 - K_0^2} + (k - k_0) \left[ \frac{d\sqrt{k^2 - K_0^2}}{dk} \right]_{k=k_0} \quad (۲۰)$$

$$\simeq q_0 + (k - k_0) \frac{k_0}{q_0}$$

که در آن :

$$q_0 = \sqrt{k_0^2 - K_0^2} \quad (۲۱)$$

در این صورت بسته موج عبوری می‌تواند به صورت زیر نوشته شود :

$$\psi_i(x, t) \simeq A_2(k_0) e^{iq_0 x} \frac{1}{\sqrt{2\pi}} \int_{K_0}^{+\infty} dk g(k) e^{i[(k-k_0)\frac{k_0}{q_0}x - \omega(k)t]} \quad (۲۲)$$

حال این عبارت را با عبارت بسته موج فروندی :

$$\psi_i(x, t) = e^{ik_0 x} \frac{1}{\sqrt{2\pi}} \int_{K_0}^{+\infty} dk g(k) e^{i[(k-k_0)x - \omega(k)t]} \quad (۲۳)$$

مقایسه کنیم . ملاحظه می‌کنیم که :

$$|\psi_i(x, t)| \simeq A_2(k_0) \left| \psi_i\left(\frac{k_0}{q_0}x, t\right) \right| \quad (۲۴)$$

بنابراین ، بسته موج عبوری دارای دامنه‌ای است که کمی از دامنه بسته فرودی بزرگتر است؛ برطبق فرمول (۱۴) از مکمل  $H_1 A_2(k_0)$  بزرگتر از ۱ است . لیکن پهنه‌ای آن کوچکتر است، زیرا اگر پهنه‌ای  $|ψ(x, t)|$  برابر  $Ax$  باشد ، فرمول (۲۴) نشان می‌دهد که پهنه‌ای  $|ψ(x, t)|$  برابر است با :

$$(Δx)_t = \frac{q_0}{k_0} Δx \quad (25)$$

می‌بینیم که ضریب عبور (نسبت بین احتمالهای یافتن ذره در بسته عبوری و در بسته فرودی) حاصلضرب دو عامل است:

$$T = \frac{q_0}{k_0} |A_2(k_0)|^2 \quad (26)$$

این فرمول ، در واقع ، متناظر با فرمول (۱۶) از مکمل  $H_1$  است، زیرا  $A_1(k_0) = 1$  بالاخره ، توجه کنید که با درنظر گرفتن انقباض بسته موج عبوری در امتداد محور  $Ox$  ، می‌توانیم سرعت آنرا بدست آوریم :

$$V_t = \frac{\hbar k_0}{m} \times \frac{q_0}{k_0} = \frac{\hbar q_0}{m} \quad (27)$$

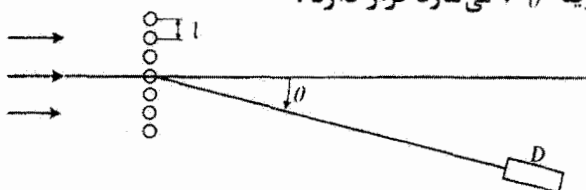
مراجع و پیشنهادات برای مطالعه بیشتر:

Schiff (1.18), chap. 5, figs 16, 17, 18, 19; Eisberg and Resnick (1.3), § 6-3, fig. 6-8; also see reference (1.32).

مکمل  $K_1$ 

## تعریف‌نات

۱ - یک باریکه از نوترونها ، که جرم آنها  $M_n \approx 1.67 \times 10^{-27} \text{ kg}$  و انرژی آنها  $E$  می‌باشد با سرعت ثابت به یک زنجیره خطی از هسته‌های اتمی که به طور منظمی ، مانند شکل زیر ، مرتب شده‌اند برخورد می‌کند ( این هسته‌ها می‌توانند ، به عنوان مثال ، هسته‌های یک مولکول خطی طوبیل باشند ) . فاصله بین دو هسته متوالی را  $D$  و اندازه هر هسته را  $d$  می‌نامیم ( $d \ll D$ ) . یک آشکارساز نوترونی  $D$  در فاصله دور و در جهتی که با جهت نوترونهای فروودی زاویه  $\theta$  می‌سازد قرار دارد .



( a ) پدیده مشاهده شده در  $D$  را وقتی انرژی  $E$  ای نوترونهای فروودی تغییر کند به طور کیفی تشریح کنید .

( b ) آهنگ شمارش ، بر حسب  $E$  ، یک تشدید در  $E_1 = E_0 = E_0$  نشان می‌دهد . بادا نستن اینکه هیچ تشدید دیگری برای  $E_1 < E_0$  وجود ندارد ، نشان دهد که می‌توان  $\theta$  را تعیین کرد . را برای  $E_1 = 1.3 \times 10^{-20} \text{ joule}$   $\theta = 30^\circ$  محاسبه کنید .

( c ) از حدود چه مقداری از  $E$  بعده باید اندازه محدود هسته‌ها در نظر گرفتموشوند .

۲ - حالت مقید یک ذره در یک " چاه به صورت تابع دلتا "

ذرهای را در نظر بگیرید که هامیلتونی  $H$  عملگر تعریف شده توسط فرمول  $(D-10)$  از فصل اول آن به صورت زیر است :

$$H = -\frac{\hbar^2}{2m} \frac{d^2}{dx^2} - z \delta(x)$$

۳ - یک ثابت مثبت است که ابعاد آن را پیدا خواهید کرد .

( a ) از معادله ویژه مقداری  $H$  بین  $z^-$  و  $z^+$  انتگرال بگیرید . بامیل دادن

ع به سمت صفر نشان دهید که مشتق ویژه تابع  $\varphi(x)$  در  $x = 0$  دارای یک ناپیوستگی است و سپس آنرا بر حسب  $\alpha$ ،  $m$  و  $\varphi(0)$  بدست آورید.

b) فرض کنید انرژی  $E$  ای ذره منفی است (حالت مقید). در این صورت  $\varphi(x)$  می‌تواند به صورت زیر نوشته شود:

$$\begin{cases} x < 0 & \varphi(x) = A_1 e^{\rho x} + A'_1 e^{-\rho x} \\ x > 0 & \varphi(x) = A_2 e^{\rho x} + A'_2 e^{-\rho x} \end{cases}$$

ثابت  $\rho$  را بر حسب  $E$  و  $m$  بنویسید. با استفاده از نتایج سؤال قبلی، ماتریس  $M$  را که به صورت:

$$\begin{pmatrix} A_2 \\ A'_2 \end{pmatrix} = M \begin{pmatrix} A_1 \\ A'_1 \end{pmatrix}$$

تعريف می‌شود محاسبه کنید. سپس با استفاده از این شرط که  $\varphi(x)$  باید محدوداً انتگرال پذیر باشد، مقادیر ممکن انرژی را پیدا کنید. توابع موج بهنجار شده متناظر را محاسبه کنید.

c) این توابع موج را رسم کنید. مرتبه بزرگی پهنهای  $\Delta x$  آنها را بدھید.

d) احتمال  $p$  برای اینکه یک اندازه‌گیری تکانه ذره در یکی از حالت‌های مانای بهنجار شده‌ای که در بالا محاسبه شد نتیجه‌ای بین  $p$  و  $p + \Delta p$  بدهد چقدر است؟ بمازاء چه مقداری از  $p$  این احتمال ماقریم است؟ در چه محدوده‌ای، با بعد  $\Delta p$ ، مقدار قابل اغماضی دارد؟ مرتبه بزرگی حاصلضرب  $\Delta x \cdot \Delta p$  چقدر است؟

### ۳ - عبور از یک سد پتانسیل" به صورت تابع دلتا"

ذره‌ای در نظر بگیرید که در همان پتانسیل تعرين قبیل قوار دارد. این بار، ذره با انرژی مثبت  $E$ ، در طول محور  $Ox$  از چپ به مراس است انتشار می‌یابد.

a) نشان دهید که یک حالت مانای ذره می‌تواند به صورت زیر نوشته شود:

$$\begin{cases} \varphi(x) = e^{ikx} + A e^{-ikx} & \text{اگر } x < 0 \\ \varphi(x) = B e^{ikx} & \text{اگر } x > 0 \end{cases}$$

که در آن  $k$ ،  $A$  و  $B$  ثابت‌های هستند که باید بر حسب انرژی  $E$ ،  $m$  و  $\alpha$  محاسبه شوند

(به ناپیوستگی  $\frac{d\varphi}{dx}$  در  $x = 0$  توجه کنید).

b) قرار دهید:  $E_L = -m\alpha^2/2\hbar^2$  - (انرژی حالت مقید ذره). ضریب بازتاب  $R$  و ضریب عبور  $T$  را بر حسب فراستنچ بدون بعد  $E/E_L$  محاسبه کنید. تغییرات آنها را بر حسب  $E$  برسی کنید، وقتی  $\infty \rightarrow E$ ، چه اتفاق می‌افتد؟ این مطلب را چگونه می‌توان تعبیر کرد؟ نشان دهید که، اگر عبارت  $T$  را به مقادیر منفی  $E$  گسترشد همی، وقتی  $E \rightarrow -E_L$ ، واگرا می‌شود، و این نتیجه را مورد بحث قرار دهید.

۴ - بهترین ۲ برگردید، و این بار، از تبدیل فوریه استفاده کنید.

a) معادله ویژه مقداری  $H$  و تبدیل فوریه این معادله را بنویسید. از این معادله مستقیماً عبارت  $(p)\bar{\varphi}$ ، تبدیل فوریه  $\varphi(x)$  را بر حسب  $p$ ،  $E$ ،  $\alpha$  و  $(0)\varphi$  ترتیج‌گیری کنید. سپس نشان دهید که برای  $E$  فقط یک مقدار، یک مقدار منفی، امکان پذیراست. با این روش فقط حالت مقید ذره، و نهال‌تهاشی که در آنها ذره انتشار می‌یابد، بدست می‌آید، چرا؟ سپس  $(x)\varphi$  را محاسبه کنید و نشان دهید که باین‌طریق می‌توان تمام نتایج تمرین ۲ را بدست آورد.

b) انرژی جنبشی متوسط ذره‌می‌تواند به صورت زیرنوشته شود (رک فصل سوم):

$$E_k = \frac{1}{2m} \int_{-\infty}^{+\infty} p^2 |\bar{\varphi}(p)|^2 dp$$

نشان دهید که، وقتی  $(p)\bar{\varphi}$  یک تابع "به حد کافی منظم" باشد، هم‌چنین داریم:

$$E_k = -\frac{\hbar^2}{2m} \int_{-\infty}^{+\infty} \varphi^*(x) \frac{d^2\varphi}{dx^2} dx$$

این فرمولها بهما امکان می‌دهند تا انرژی  $E_k$  برای یک ذره در حالت مقیدی را کمتر (a) محاسبه شده است، به دوروش مختلف، بدست آوریم. چه نتیجه‌های بدست می‌آید؟ توجه کنید که در این مورد،  $\varphi(x)$  در  $x = 0$ ، نقطه‌ای که مشتق آن ناپیوسته است، "منظم" نیست. در این صورت لازم است که از  $(x)\varphi$  به مفهوم "توزیعها" مشتق‌گیری کرد، این نوع مشتق‌گیری نقطه  $x = 0$  را در مقدار متوسط مورد نظر شرکت می‌دهد. این شارکت را از نظر فیزیکی تعبیر کنید: یک چاه مربعی در نظر بگیرید که مرکز آن در  $x = 0$  است و پهنای  $a$ ‌ی آن به سمت صفر و عمق  $V_0$  آن به سمت بینهایت میل کند (بطوری  $\kappa = a/V_0$ )، رفتار تابع موج در این چاه را مطالعه کنید.

## ۵- چاه متشکل از دوتایع دلتا

یک ذره به جرم  $m$  در نظر بگیرید که انرژی پتانسیل آن بواابر است با :

$$V(x) = -\alpha \delta(x) - \alpha \delta(x - l) \quad \alpha > 0$$

که در آن  $l$  یک طول ثابت است .

$$E = -\frac{\hbar^2 \rho^2}{2m} \quad a) \quad \text{با قرار دادن} \quad E = -\frac{\hbar^2 \rho^2}{2m}$$

دهید که انرژیها ممکن توسط رابطه

$$e^{-\rho l} = \pm \left( 1 - \frac{2\rho}{\mu} \right)$$

داده می شوند که در آن  $\mu$  به موسیله  $\mu = \frac{2m\alpha}{\hbar^2}$  تعریف می شود . یک حل نموداری از این معادله ارائه دهید .

(i) حالت پایه . نشان دهید که این حالت زوج است ( نسبت به تقارن حول نقطه  $x = l/2$  تغییرناپذیر است ) و انرژی  $E_L$  آن از انرژی  $E_S$  که در مسئله ۳ وارد شد کمتر است . این نتیجه را به طور فیزیکی تعبیر کنید . نمودار تابع موج مربوطه رارسم کنید .  
(ii) حالت برانگیخته . نشان دهید که ، وقتی / بزرگتر از مقداری که مشخص خواهد کرد باشد ، یک حالت برانگیخته فرد ، با انرژی  $E_A$  که بزرگتر از  $E_L$  است ، وجود دارد . تابع موج متناظر را پیدا کنید .

(iii) تشریح کنید که چگونه محاسبات اخیر ما را قادر می سازد تا مدلی بسازیم که معرف یک مولکول دواتمی یونیده ( به عنوان مثال  $H_2^+$  ) باشد که هسته های آن به فاصله / از هم قرار داوند . انرژیها این دو تراز چگونه با / تغییر می کنند ؟ در حد ۰  $\rightarrow$  / و در حد  $\infty \rightarrow$  / چه اتفاق می افتد ؟ اگر دافعه دوهسته را به حساب آوریم ، انرژی کل سیستم چقدر است ؟ نشان دهید که منحنی تغییرات انرژیها که این چنین به دست آمده است نسبت به / ما را قادر می سازد تا در بعضی موارد وجود حالت های مقید  $H_2^+$  را پیش بینی کرده و مقدار / در تعادل را تعیین کنیم . به این طریق یک مدل بسیار مقدماتی از بیوند شیمیائی به دست می آوریم .

b) ضرائب بازتاب و عبور مجموعه دوسد به صورت تابع دلتا را محاسبه کنید . تغییر آنها را نسبت به / مطالعه کنید . آیا تشیده هایی که به این ترتیب به دست آمداند ، وقتی / ضرب صحیحی از طول موج دوپری ذره باشد ، اتفاق می افتد ؟ چرا ؟

ع - یک چاه پتانسیل مربعی به پهنای  $a$  و عمق  $V_0$  در نظر بگیرید (در این تمرین از قرارداد بخش  $\alpha$ -c-۲ در مکمل  $H_1$  استفاده خواهیم کرد) . می‌خواهیم خواص حالت مقید یک ذره در این چاه را وقتی پهنای  $a$  را به سمت صفر میل کند مطالعه کنیم .

د) نشان دهید که در حقیقت فقط یک حالت مقید وجود دارد و انرژی  $E$  آنرا

$$\text{محاسبه کنید} \quad (پیدا می‌کنیم \quad E \approx -\frac{mV_0^2 a^2}{2\hbar^2} \quad ، \quad \text{یعنی انرژی ای که با محدوده مساحت } aV_0 \text{ چاه تغییر می‌کند})$$

ب) نشان دهید که  $0 \rightarrow \rho$  و  $A'_2 = A_2 \approx B_1/2$  از این مطلب نتیجه‌گیری کنید که ، در حالت مقید ، احتمال یافتن ذره در خارج از چاه به سمت ۱ میل می‌گردد .

c) چگونه بررسی‌های اخیر می‌توانند به ذرهای که ، مانند تمرین ۲ ، در پتانسیل  $V(x) = -\alpha\delta(x)$  قرار دارد اعمال شود ؟

۷ - ذرهای را در نظر بگیرید که در پتانسیل :

$$\begin{array}{ll} V(x) = 0 & x \geq a \\ V(x) = -V_0 & 0 \leq x < a, \end{array}$$

و  $(x)$  برای  $x$  های منفی بینهایت است قرار دارد . فرض کنید  $\psi(x)$  یکتابع موج وابسته به حالت مانای ذره باشد . نشان دهید که  $\psi(x)$  می‌تواند ، ادامه داده شود و یکتابع موج فرد که مربوط به یک حالت مانا برای یک چاه مربعی به پهنای  $a$  و عمق  $V_0$  است بددست دهد (رگ مکمل  $H_1$  ، بخش ۲-۰-۰) . در تعداد حالت‌های مقید ذره برحسب  $a$  و  $V_0$  بحث کنید . آیا ، مانند چاه مربعی متقارن ، همواره لاقل یک چنین حالتی وجود دارد ؟

۸ - در یک مسئله دو بعدی ، بازنای مایل یک ذره از یک پله پتانسیل را که به صورت :

$$\begin{array}{ll} V(x, y) = 0 & x < 0 \\ V(x, y) = V_0 & x > 0 \end{array}$$

تعريف شده است در نظر بگیرید حرکت مرکزبسته موج را مطالعه کنید . در مورد بازنای میان مسیر این مرکز و مسیر کلاسیکی (جابجایی جانی) در اثر بازنای (را بدطور فیزیکی تعبیر کنید . نشان دهید که وقتی  $+ \infty \rightarrow V_0$  ، مسیر کوانتمی با مسیر کلاسیک مجانب می‌شود .

## فصل دو<sup>م</sup>

# ابزارهای ریاضی مکانیک کوانتومی

## رئوس مطالب فصل دوم

- ۱ - ساختار فضای توابع موج  $\psi$
- a -  $\psi$  یک فضای برداری است
  - b - حاصلضرب برداری
  - c - عملگرهای خطی
- ۲ - پایه‌های راست هنجار گستته در  $\psi$
- $\{u_i(r)\}$
  - a - تعریف
  - b - مولفه‌های یک تابع موج در پایه‌های  $\{u_i(r)\}$
  - c - عبارتی برای حاصلضرب برداری بر حسب مولفه‌ها.
  - d - رابطه بستاری
- ۳ - وارد کردن "پایه‌های" که به  $\psi$  تعلق ندارند.
- a - امواج تخت
  - b - "تابع دلتا"
  - c - تعمیم: پایه‌های "راست هنجار پیوسته

## ۸ - فضای حالت

- ۱ - مقدمه
- ۲ - بردارهای "کت" و بردارهای "برا"
- a - عناصر  $\psi$ : کتها
  - b - عناصر فضای همزاد  $\psi$  وابسته به  $\psi$
  - c - تساناظر بین کتها و برها
- ۳ - عملگرهای خطی
- a - تعاریف
  - b - مثالهای از عملگرهای خطی. تصویر کندها

- ۴ - همیوگ هرمیتی  
 a - عمل یک عملگر خطی روی یک برا  
 b - عملگر الحاقی  $A^*$  وابسته به یک عملگر خطی  $A$   
 c - تناظر بین یک عملگر و الحاقی آن  
 d - همیوگ هرمیتی در نمادگذاری دیراک  
 e - عملگرهای هرمیتی
- 

## c - نمایش‌ها در فضای حالتها

- ۱ - مقدمه  
 a - تعریف یک سماش  
 b - هدف بخش C  
 ۲ - روابط مشخصه یک پایه راست هنجار  
 a - رابطه راست هنجاری  
 b - رابطه بستاری  
 ۳ - نمایش‌کتها و براها  
 a - نمایش‌کتها  
 b - نمایش براها  
 ۴ - نمایش عملگرهای  
 a - نمایش  $A$  توسط یک ماتریس "مربعی"  
 b - نمایش ماتریسی کت  $\langle A | \psi \rangle = A | \psi \rangle$   
 c - عبارتی برای عدد  $\langle \phi | A | \psi \rangle$   
 d - نمایش ماتریسی  $A^*$  ، الحاقی  $A$   
 ۵ - تغییر نمایشها  
 a - بیان مسئله  
 b - تبدیل مولفه‌های یک کت  
 c - تبدیل مولفه‌های یک برا  
 d - تبدیل عناصر ماتریس یک عملگر
-

۱ - ویژه مقدارها و ویژه بردارهای یک عملگر

a - تعاریف

b - یافتن ویژه مقدارها و ویژه بردارهای

یک عملگر

۲ - مشاهده پذیرها

a - خواص ویژه مقدارها و ویژه بردارهای

یک عملگر هرمیتی .

b - تعریف یک مشاهده پذیر

c - مثال : تصویر کننده  $P$

۳ - مجموعه های مشاهده پذیرهای

جایجایی پذیر

a - قضیه های مهم

b - مجموعه های کامل مشاهده پذیرهای

جایجایی پذیر (م، ک، م، ج)

۵ - معادلات ویژه مقداری

مشاهده پذیرها

۱ - نمایش های  $\{|\psi\rangle\}$  و  $\{\langle \psi|\}$

a - تعریف

b - روابط راست هنجاری و بستاری

c - مولفدهای یک کت

d - حاصل ضرب نردازی دو بردار

e - عبور از نمایش  $\{|\psi\rangle\}$  به نمایش  $\{\langle \psi|\}$

۲ - عملگرهای  $R$  و  $P$

a - تعریف

b -  $P$  و  $R$  هرمیتی هستند

c - ویژه بردارهای  $R$  و  $P$

d - مشاهده پذیرند .

۶ - دو مثال مهم از نمایشها و

مشاهده پذیرها

## ۴ - حاصلضرب تانسوری

## فضاهای حالت

- ۱ - مقدمه
  - ۲ - تعریف و خواص حاصلضرب تانسوری
  - ۳ - فضای حاصلضرب تانسوری
  - ۴ - حاصلضرب تانسوری عملگرها
  - ۵ - نمادگذاری
  - ۶ - معادلات ویژه مقداری در فضای حاصلضرب
  - ۷ - ویژه مقدارها و ویژه بردارهای عملگرها  
گسترش یافته
  - ۸ - مجموعه‌های کامل مشاهده‌پذیرهای  
جایجای پذیر در
  - ۹ - کاربردها
  - ۱۰ - حالت‌های ذره دریک و سه بعد
  - ۱۱ - حالت‌های یک سیستم دو ذره‌ای
-

این فصل بهیک برسی عام از ابزار ریاضی پایه که در مکانیک کوانتومی بهکار می‌رود اختصاص یافته است. مطالب را بهطور فشرده و بهاین منظور کمطالعه فصلهای بعدی را برای خوانندگانی که با این ابزار آشنا نیستند، تسهیل کند، ارائه خواهیم کرد. هیچ سعی نمی‌شود تا از نظر ریاضی کامل و دقیق باشیم. احساس می‌کنیم بهتر است، با تحدید کردن مفاهیم مختلفی که در مکانیک کوانتومی مفیدند، در یک فصل، و بخصوص، باتاکید بر روی راحتی نمادگذاری دیراک برای محاسبات مختلفی که باید انجام دهیم، خود را بهیک دیدگاه عملی محدود کنیم.

ازین جهت، سعی خواهیم کرد تا جائی که ممکن است بحث را ساده‌کنیم، در اینجا نه تعاریف عام و نه استدلالهای دقیقی را که برای یک ریاضی‌دان لازم است، نخواهیم یافت. به عنوان مثال، گاهی از فضاهای بالابعاد نامحدود صحبت خواهیم کرد ولی طوری استدلال می‌کنیم که گوئی تعداد ابعادشان محدود بوده است. بعلاوه، اصطلاحات بسیاری (تواضع مجددرا "انتگرال پذیر، پایه و غیره) را با معنایی بهکار خواهیم گرفت، که هرچند معمولاً "در فیزیک بهکار می‌رود، ولی دقیقاً آن چیزی که در ریاضی محض بهکار می‌رود، نیست.

بخش A را با مطالعه توابع موجی که در فصل اول معرفی شدند شروع می‌کنیم. نشان می‌دهیم که این توابع موج بهیک فضای بوداری انتراوی، که آنرا "فضای تابع موج  $\psi$ " می‌نامیم، تعلق دارند. این مطالعه را دقیقاً "انجام خواهیم داد زیرا بعضی از مفاهیم اساسی صورت‌بندی ریاضی مکانیک کوانتومی: حاصلضرب نرداری، عملگرهای خطی پایه، و غیره، را وارد می‌کند. باشروع بخش B، صورت‌بندی عامتری را توسعه خواهیم داد که حالت یک سیستم را توسط یک "بردار حالت" متعلق بهیک فضای بوداری: "فضای حالت  $\psi$ ", مشخص می‌کند. در این صورت‌بندی نمادگذاری دیراک وارد می‌شود که محاسبات را بسیار ساده می‌کند. بخش C به مطالعه ایدهٔ یک نمایش اختصاص یافته است. مطالعه، بخش D مخصوصاً به خوانندگانی توصیه می‌شود که با قطعی کردن یک عملگر نا آشناست: این عمل، همواره در آنچه بدنبال می‌آید، برای ما مفید خواهد بود. در بخش E به برسی دومثال مهم از نمایشها می‌پردازیم. مخصوصاً، نشان می‌دهیم که چگونه توابع موج مطالعه شده در بخش A، "مولفه‌ای" بردارهای حالت در یک نمایش بخصوص هستند. بالاخره در بخش F، مفهوم ضرب تانسوری را وارد می‌کنیم. این مفهوم توسط یک مثال ساده‌در مکمل D<sub>IV</sub> بهطور ملحوظ‌تری نشان داده خواهد شد.

## A . فضای توابع موج یک ذره

تعبر احتمالاتی تابع موج  $(\psi(r, t))$  یک ذره در فصل گذشته ارائه شد :  
 $d^3r = dx dy dz$  معرف احتمال یافتن ذره در زمان  $t$  ، در حجم حول نقطه  $r$  ، است .

احتمال کل یافتن ذره در تمام فضا برابر ۱ است ، از این رو باید داشته باشیم :

$$\int d^3r |\psi(r, t)|^2 = 1 \quad (A-1)$$

که در آن انتگرال گیری روی تمام فضا انجام می شود .

به این ترتیب ، به مطالعه مجموعه توابع مجدوا "انتگرال پذیر" ، یعنی ، توابعی که برای آنها انتگرال  $(A-1)$  همگرا باشد ، هدایت می شویم ، این مجموعه توسط ریاضی دانان  $L^2$  نامیده می شود و ساختار یک فضای هیلبرت را دارد .

از دیدگاه فیزیکی ، واضح است که مجموعه  $L^2$  بسیار وسیع است : با توجه به مفهوم  $|\psi(r, t)|^2$  ، تابع موجی که عمل "مورد استفاده قرار گرفته است دارای نوعی نظم است .  
 می توانیم فقط تابع  $(\psi(r, t))$  ای را نگهداریم که در همه جا معین ، پیوسته و مشتق پذیر باشد (به عنوان مثال ، بیان این مطلب که یک تابع در یک نقطه از فضا واقعا "نایپوسته است هیچ معنی فیزیکی ندارد زیرا ، هیچ آزمایشی ما را قادر نمی سازد تا به مبددهای واقعی در مقیاس بسیار کوچک ، مثلا "  $10^{-30} m$  دسترسی داشته باشیم ) . همچنین می توانیم خود را به توابع موجی محدود سازیم که دارای قلمرو کرانداری باشد (که ما را مطمئن می سازد که ذره می تواند در یک ناحیه محدودی از فضا ، مثلا " ، در داخل آزمایشگاه ، یافت شود ) . در اینجا بحارتیه یک لیست کلی و دقیق از این شرایط تکمیلی مبادرت نخواهیم کرد : مجموعه توابع موجی را که از توابع بقدر کافی منظم  $L^2$  تشکیل یافته اند ، هر خواهیم نامید .

### ۱ - ساختار فضای توابع موج $\mathcal{H}$

۲ . هر یک فضای برداری است .

می توان به سادگی نشان داد که هر تمام معیارهای یک فضای برداری را ارضامی کند .

به عنوان یک مثال، نشان می‌دهیم که اگر  $\psi_2(r) \in \mathcal{F}$  و  $(r)\psi_1^* \in \mathcal{F}$ ، در این صورت داریم:

$$\psi(r) = \lambda_1\psi_1(r) + \lambda_2\psi_2(r) \in \mathcal{F} \quad (A-2)$$

که در آن  $\lambda_1$  و  $\lambda_2$  دو عدد مختلط دلخواه‌اند.

برای اینکه نشان دهیم  $(r)\psi$  مجدواً "انتگرال پذیر است،  $|\psi(r)|^2$  رابطه می‌دهیم:

$$|\psi(r)|^2 = |\lambda_1|^2 |\psi_1(r)|^2 + |\lambda_2|^2 |\psi_2(r)|^2 + \lambda_1^* \lambda_2 \psi_1^*(r) \psi_2(r) + \lambda_1 \lambda_2^* \psi_1(r) \psi_2^*(r) \quad (A-3)$$

دو جمله آخر (A-3) دارای مدولهای یکسانی هستند، که حد بالائی آنها

عبارت است از:

$$|\lambda_1| |\lambda_2| [|\psi_1(r)|^2 + |\psi_2(r)|^2]$$

بنابراین  $|\psi(r)|^2$  از تابعی که انتگرال آن همگراست کوچکتر است، زیرا  $|\lambda_1| \neq |\lambda_2|$  مجدواً "انتگرال پذیر هستند.

#### ۵- حاصلضرب نرداری

##### α- تعریف

به هر زوج عنصر  $(r)\varphi$  و  $(r)\psi$  از  $\mathcal{F}$ ، که به‌این ترتیب در نظر گرفته شده باشند، یک عدد مختلط وابسته می‌کنیم که به صورت  $(\psi, \varphi)$  نشان داده می‌شود و بنا به تعریف برابر است با:

$$(\varphi, \psi) = \int d^3r \varphi^*(r) \psi(r)$$

(A-4)

$\varphi$  حاصلضرب نرداری  $(r)\varphi$  و  $(r)\psi$  است اگر  $\varphi$  و  $\psi$  به  $\mathcal{F}$  تعلق داشته باشند، این انتگرال همیشه همگراست.

---

\* نشانه  $\in$  به معنی "تعلق دارد به" می‌باشد.

## - خواص

از تعریف (A-۴)، نتیجه می‌شود:

$$(\varphi, \psi) = (\psi, \varphi)^* \quad (A-5)$$

$$(\varphi, \lambda_1\psi_1 + \lambda_2\psi_2) = \lambda_1(\varphi, \psi_1) + \lambda_2(\varphi, \psi_2) \quad (A-6)$$

$$(\lambda_1\varphi_1 + \lambda_2\varphi_2, \psi) = \lambda_1^*(\varphi_1, \psi) + \lambda_2^*(\varphi_2, \psi) \quad (A-7)$$

حاصلضرب نرداری نسبت بمتابع دوم خطی، و نسبت به تابع اول ضد خطی است. اگر  $(\varphi, \psi) = 0$  باشد،  $\varphi(r)$  و  $\psi(r)$  را متعامد گوئیم. مقدار:

$$(\psi, \psi) = \int d^3r |\psi(r)|^2 \quad (A-8)$$

عددی است حقیقی و مثبت و در صورتی صفر است که فقط و فقط  $0 \equiv (\psi, \psi)$  باشد.

$\sqrt{(\psi, \psi)}$  هنچار  $(r)\psi$  نامیده می‌شود [بسادگی می‌توان تسان داد که این عدد تمام خواص یک هنچار را دارد]، بنابراین، حاصلضرب نرداری انتخاب شده در بالا، تعريف یک هنچار در  $\mathcal{F}$  را ممکن می‌سازد.

در آخر، نامساوی شوارتز را ذکر می‌کنیم (رک مکمل A<sub>11</sub>):

$$|(\psi_1, \psi_2)| \leq \sqrt{(\psi_1, \psi_1)} \sqrt{(\psi_2, \psi_2)} \quad (A-9)$$

این نامساوی در صورتی بهیک تساوی تبدیل می‌شود که فقط و فقط دوتابع  $\psi_1$  و  $\psi_2$  متناسب با یکدیگر باشند.

## c - عملگرهای خطی

## d - تعريف

یک عملگر خطی  $A$  بنا به تعريف، یک موجود ریاضی است که به هر تابع  $\psi \in \mathcal{F}(r)$  یک تابع دیگر  $(r)\psi$  به طریقی وابسته می‌کند، و این وابستگی خطی است:

$$\psi'(r) = A\psi(r) \quad (A-10-a)$$

$$A[\lambda_1\psi_1(r) + \lambda_2\psi_2(r)] = \lambda_1 A\psi_1(r) + \lambda_2 A\psi_2(r) \quad (A-10-b)$$

حال چند مثال از عملگرهای خطی ذکر می‌کنیم: عملگر پاریته  $\Pi$ ، که تعریف آن به صورت زیراست:

$$\Pi\psi(x, y, z) = \psi(-x, -y, -z) \quad (\text{A}-11)$$

عملگر ضرب در  $x$ ، که ما آنرا با  $X$  نمایش می‌دهیم و به صورت زیر تعریف می‌شود:

$$X\psi(x, y, z) = x\psi(x, y, z) \quad (\text{A}-12)$$

بالاخره، عملگر مشتق‌گیری نسبت به  $x$ ، که آنرا  $D_x$  می‌نامیم و تعریف آن به صورت زیر است:

$$D_x\psi(x, y, z) = \frac{\partial\psi(x, y, z)}{\partial x} \quad (\text{A}-13)$$

[دو عملگر  $X$  و  $D_x$  وقتی روی یکتابع  $\psi(r)$  عمل کنند، می‌توانند آن را به تابعی تبدیل کنند که ممکن است دیگر مجددرا "انتگرال پذیر" نباشد.]

### $\beta$ – ضرب عملگرهای

فرض کنید  $A$  و  $B$  دو عملگر خطی باشند. حاصل ضرب  $AB$  ی آنها به صورت زیر تعریف می‌شود:

$$(AB)\psi(r) = A[B\psi(r)] \quad (\text{A}-14)$$

ابتدا  $B$  روی  $\psi(r)$  عمل می‌کند و می‌دهد  $\phi(r) = B\psi(r)$ ، سپس  $A$  روی تابع جدید  $\phi(r)$  عمل می‌کند.

عموما  $AB \neq BA$ . حاصلگر  $A$  و  $B$  عملگری است که به صورت  $[A, B]$  نوشته شده و به صورت زیر تعریف می‌شود:

$$[A, B] = AB - BA \quad (\text{A}-15)$$

برای مثال، حاصلگر  $[X, D_x]$  را محاسبه می‌کنیم. برای این منظور یک تابع

دلخواه ( $\psi$ ) انتخاب می‌کنیم :

$$\begin{aligned} [X, D_x] \psi(\mathbf{r}) &= \left( x \frac{\partial}{\partial x} - \frac{\partial}{\partial x} x \right) \psi(\mathbf{r}) \\ &= x \frac{\partial}{\partial x} \psi(\mathbf{r}) - \frac{\partial}{\partial x} [x\psi(\mathbf{r})] \\ &= x \frac{\partial}{\partial x} \psi(\mathbf{r}) - \psi(\mathbf{r}) - x \frac{\partial}{\partial x} \psi(\mathbf{r}) = -\psi(\mathbf{r}) \end{aligned} \quad (\text{A}-16)$$

چون این رابطه برای تمام ( $\psi$ ) ها درست است، می‌توان نتیجه گرفت که :

$$[X, D_x] = -1 \quad (\text{A}-17)$$

۳- پایه‌های راست هنجار گستته در  $\mathcal{F}$  :

#### ۴- تعریف

یک مجموعه شمارش پذیر از توابع  $\mathcal{F}$  را، که با شاخص گستته ( $i, \dots, n$ ) مشخص شده‌اند در نظر بگیرید :

$$u_1(\mathbf{r}) \in \mathcal{F}, \quad u_2(\mathbf{r}) \in \mathcal{F}, \quad \dots, \quad u_i(\mathbf{r}) \in \mathcal{F}, \quad \dots$$

مجموعه  $\{u_i(\mathbf{r})\}$  در صورتی راست هنجار است که داشته باشیم :

$$(u_i, u_j) = \int d^3r \quad u_i^*(\mathbf{r}) \quad u_j(\mathbf{r}) = \delta_{ij} \quad (\text{A}-18)$$

که در آن  $\delta_{ij}$  تابع دلتای کرونکر است که برای  $j = i$  برابر با یک و برای  $j \neq i$  برابر با صفر است.

- این مجموعه در صورتی یک پایه \* تشکیل می‌دهد که هر تابع  $\psi \in \mathcal{F}$  بتواند به یک طریق و فقط به یک طریق بر حسب  $(u_i)$  نوشته شود :

$$\boxed{\psi(\mathbf{r}) = \sum_i c_i u_i(\mathbf{r})} \quad (\text{A}-19)$$

---

\* وقتی که مجموعه  $\{u_i(\mathbf{r})\}$  تشکیل یک پایه بدنهند، گاهی گفته می‌شود که مجموعه کاملی از توابع است. باید توجه کرد که کلمه کامل با معنای مخالف آنچه که معمولاً "در ریاضی به کار می‌رود، به کار رفته است.

b - مولفهای یک تابع موج در پایه

ظرفین (A-۱۹) را در  $(\tau) u_j^*$  ضرب کرده و روی تمام فضا از آن انتگرال می‌گیریم .  
از (A-۱۸) و (A-۱۹) داریم \* :

$$\begin{aligned} (u_j, \psi) &= \left( u_j, \sum_i c_i u_i \right) = \sum_i c_i (u_j, u_i) \\ &= \sum_i c_i \delta_{ij} = c_j \end{aligned} \quad (\text{A-۲۰})$$

بنابراین :

$$c_i = (u_i, \psi) = \int d^3r \ u_i^*(r) \psi(r) \quad (\text{A-۲۱})$$

بنابراین ، مولفه  $c_i$  ی  $(\tau) \psi$  روی  $u_i$  برابر است با حاصلضرب نزدیکی  $(\tau) \psi$  در  $u_i(\tau)$  . انتخاب پایه  $\{u_i(\tau)\}$  ، معادل با این است که  $(\tau) \psi$  یا مجموعه مولفهای  $c_i$  ی  $\psi$  آن نسبت به توابع پایه ، مشخص شده باشد . می‌گوییم که مجموعه اعداد  $c_i$  ، تابع  $(\tau) \psi$  را در پایه  $\{u_i(\tau)\}$  نمایش می‌دهند .

گوشزدگا :

به مشابهت با یک پایه راست هنجار  $\{e_1, e_2, e_3\}$  از فضای سه بعدی معمولی  $R^3$  (i) توجه کنید .

این حقیقت که  $e_1, e_2$  و  $e_3$  متعامد و یکانی هستند ، می‌تواند در واقع به صورت زیر بیان شود :

$$e_i \cdot e_j = \delta_{ij} \quad (i, j = 1, 2, 3) \quad (\text{A-۲۲})$$

هر بردار  $V$  از  $R^3$  می‌تواند در این پایه بسط داده شود :

$$V = \sum_{i=1}^3 v_i e_i \quad (\text{A-۲۳})$$

\* برای اینکه کاملاً "دقیق باشیم ، باید مطمئن شویم که می‌توانیم  $\int d^3r$  را تعویض کنیم ، منظماً" از این مسئله صرفنظر خواهیم کرد .

که در آن :

$$v_i = e_i \cdot v \quad (A-24)$$

بنابراین فرمولهای  $(A-18)$ ،  $(A-19)$  و  $(A-21)$ ، به نوعی فرمولهای مشهور  $(A-22)$ ،  $(A-23)$  و  $(A-24)$  را تعمیم می‌دهند، لیکن باید توجه شود که اعدادی حقیقی هستند، حال آنکه  $c$  اعدادی مختلط.

سلماً "یک تابع  $(r)\psi$  در دوپایه مختلف، مولفه‌های متفاوتی خواهد داشت." مسئله تغییر پایه را بعداً "مطالعه خواهیم کرد".

هم‌چنین می‌توانیم، در پایه  $\{u_i(r)\}$ ، یک عملگر خطی  $A$  را توسط یک مجموعه اعداد که می‌توانند بصورت یک ماتریس مرتب شوند، تماش دهیم. باز دیگر در بخش C، پس از اینکه نمادگذاری دیراک را معرفی کردیم، به این سوال بازخواهیم گشت.

### c - عبارت حاصلضرب نرداری بر حسب مولفه‌ها

فرض کنید  $\varphi(r)$  و  $\psi(r)$  دوتابع موج باشند که بتوانند بصورت زیر بسط داده شوند:

$$\begin{aligned} \varphi(r) &= \sum_i b_i u_i(r) \\ \psi(r) &= \sum_j c_j u_j(r) \end{aligned} \quad (A-25)$$

حاصلضرب نرداری آنها می‌تواند با استفاده از  $(A-18)$  و  $(A-19)$  محاسبه شود:

$$\begin{aligned} (\varphi, \psi) &= \left( \sum_i b_i u_i, \sum_j c_j u_j \right) = \sum_{i,j} b_i^* c_j (u_i, u_j) \\ &= \sum_{i,j} b_i^* c_j \delta_{ij} \end{aligned}$$

یعنی:

$$(A-26)$$

$(\varphi, \psi) = \sum_i b_i^* c_i$

بخصوص :

$$(\psi, \psi) = \sum_i |c_i|^2 \quad (A-27)$$

بنابراین، حاصلضرب نرداری دوتابع موج ( یا مجدور هنجار یک تابع موج ) می‌تواند به‌طور بسیار ساده‌ای بر حسب مولفه‌های این توابع در پایه  $\{u_i(r)\}$  بیان شود.

گوشزد :

فرض کنید  $V$  و  $W$  دوبردار از  $R^3$  ، با مولفه‌های  $v_i$  و  $w_i$  باشند. عبارت تحلیلی حاصلضرب نرداری آنها کاملاً "شاخته شده است".

$$\nabla \cdot W = \sum_{i=1}^3 v_i w_i \quad (A-28)$$

از این رو می‌توان فرمول (A-26) را به عنوان تعمیم (A-28) تلقی کرد.

۴ - رابطه بستاری

رابطه (A-18)، که رابطه راست هنجاری نامیده می‌شود، این واقعیت را بیان می‌کند که توابع مجموعه  $\{u_i(r)\}$  به ۱ بهنجار شده و نسبت به یکدیگر متعامدند اکنون می‌خواهیم رابطه دیگری، که رابطه بستاری نامیده شده و بیان کننده این واقعیت است که این مجموعه تشکیل یک پایه میدهد، برقرار سازیم.

اگر  $\{u_i(r)\}$  یک پایه از  $\psi$  باشد، برای هر تابع  $\psi(r)$  بسطی مانند (A-19) وجود دارد. عبارت (A-21) برای مولفه‌های مختلف  $c_i$  را در (A-19) قرار دهید. ااسم متغیر انتگرال‌گیری باید عوض شود، زیرا "قبلًا" در (A-19) ظاهر شده است [۲] :

$$\begin{aligned} \psi(r) &= \sum_i c_i u_i(r) = \sum_i (u_i, \psi) u_i(r) \\ &= \sum_i \left[ \int d^3r' u_i^*(r') \psi(r') \right] u_i(r) \end{aligned} \quad (A-29)$$

با معاوضه  $\sum_i$  و  $\int d^3r'$  ، خواهیم داشت :

$$\psi(\mathbf{r}) = \int d^3 r' \psi(\mathbf{r}') \left[ \sum_i u_i(\mathbf{r}) u_i^*(\mathbf{r}') \right] \quad (\text{A}-۴۰)$$

بنابراین  $\sum_i u_i(\mathbf{r}) u_i^*(\mathbf{r}')$  تابعی است به صورت  $F(\mathbf{r}, \mathbf{r}')$  از  $\mathbf{r}$  و  $\mathbf{r}'$  به طوری که برای هر تابع  $\psi(\mathbf{r})$  داریم:

$$\psi(\mathbf{r}) = \int d^3 r' \psi(\mathbf{r}') F(\mathbf{r}, \mathbf{r}') \quad (\text{A}-۴۱)$$

معادله (A-۴۱) مشخصه یک تابع  $(\mathbf{r}' - \mathbf{r}) \delta$  است (رگ پیوست ۲)، از اینجا می‌توان نتیجه گرفت:

$$\boxed{\sum_i u_i(\mathbf{r}) u_i^*(\mathbf{r}') = \delta(\mathbf{r} - \mathbf{r}')} \quad (\text{A}-۴۲)$$

متقابلاً، اگر یک مجموعه راست هنجار  $\{u_i(\mathbf{r})\}$  در رابطه بستاری (A-۴۲) صدق کند، تشکیل یک پایه می‌دهد. دو واقع، هر تابع  $\psi(\mathbf{r})$  می‌تواند به صورت زیرنوشته شود:

$$\psi(\mathbf{r}) = \int d^3 r' \psi(\mathbf{r}') \delta(\mathbf{r} - \mathbf{r}') \quad (\text{A}-۴۳)$$

با قراردادن عبارت (A-۴۳) برای  $(\mathbf{r}' - \mathbf{r}) \delta$  در این رابطه، فرمول (A-۴۰) بدست می‌آید. برای رسیدن به (A-۴۹) آنچه که باید انجام دهیم این است که بار دیگر جمع بندی و انتگرال گیری را معاوضه کنیم. لذا این معادله این واقعیت را بیان می‌کند که  $\psi(\mathbf{r})$  همواره می‌تواند بر حسب  $u_i(\mathbf{r})$  بسط داده شود و ضرائب این بسط را بدهد.

گوشزده:

بار دیگر در بخش C، با استفاده از نمادگذاری دیگر، به بررسی رابطه بستاری خواهیم پرداخت و خواهیم دید که می‌توان یک تعبیر هندسی ساده‌وار آن را ایجاد کرد.

## ۳- معرفی "پایه‌های" که به تابع موج ندارند.

پایه‌های  $\{u_i\}$  که در بالا مطالعه شدند از توابع مجددرا "انتگرال پذیر تشکیل شده‌اند. همچنین ممکن است مناسب باشد "پایه‌های" وارد کنیم که از توابعی تشکیل شده باشند که نه به  $\psi$  تعلق داشته باشند و نه به  $v_p$ ، ولی مع الوصف هر تابع موج  $\psi$  بتواند بر حسب آنها بسط داده شود. می‌خواهیم مثالهایی از چنین پایه‌هایی ارائه داده و نشان دهیم که چگونه می‌توان فرمولهای مهمی را که در بخش گذشته برقرار ساختیم به آنها گسترش داد.

## ۳- امواج تخت

برای سهولت، موردیک بعدی را بررسی می‌کنیم. از این رو تابع مجددرا "انتگرال پذیر  $\psi(x)$  را که فقط به متغیر  $x$  بستگی دارند مطالعه خواهیم کرد. در فصل اول مزیت استفاده از تبدیل فوریه  $\psi(p) = \int_{-\infty}^{+\infty} dx \psi(x) e^{-ipx/\hbar}$  را دیدیم:

$$\psi(x) = \frac{1}{\sqrt{2\pi\hbar}} \int_{-\infty}^{+\infty} dp \bar{\psi}(p) e^{ipx/\hbar} \quad (A-34-a)$$

$$\bar{\psi}(p) = \frac{1}{\sqrt{2\pi\hbar}} \int_{-\infty}^{+\infty} dx \psi(x) e^{-ipx/\hbar} \quad (A-34-b)$$

تابع  $\psi_p$  را که به صورت

$$v_p(x) = \frac{1}{\sqrt{2\pi\hbar}} e^{ipx/\hbar} \quad (A-35)$$

تعریف شده است در نظر بگیرید.  $\psi_p$  یک موج تخت با بردار موجی  $p/\hbar$  است. انتگرال  $|v_p(x)|^2 = \frac{1}{2\pi\hbar}$  روی تمام محور  $x$  ها واگرا می‌شود. لذا  $v_p(x) \notin \mathcal{F}$ . مجموعه تمام امواج تخت، یعنی، کلیه توابع  $\psi_p$  مربوط به مقادیر مختلف  $p$  را به  $\{v_p(x)\}$  نمایش می‌دهیم، عدد  $p$  را، که به طور پیوسته بین  $-\infty$  و  $\infty$  تغییر می‌کند، به عنوان یک شاخص پیوسته در نظر خواهیم گرفت که بهما اجازه خواهد داد تا تابع مختلف مجموعه  $\{\psi_p\}$  را مشخص کنیم [ یادآور می‌شویم که شاخص که برای مجموعه  $\{u_i\}$  در بالا بدکار رفته بود، گسته بود ].

فرمولهای (A-۳۴) را می‌توان با استفاده از (A-۳۵) به صورت زیر بازنویسی کرد:

$$\psi(x) = \int_{-\infty}^{+\infty} dp \bar{\psi}(p) v_p(x) \quad (A-36)$$

$$\bar{\psi}(p) = (v_p, \psi) = \int_{-\infty}^{+\infty} dx v_p^*(x) \psi(x) \quad (A-37)$$

این دو فرمول می‌تواند با (A-۱۹) و (A-۲۱) مقایسه شوند. رابطه (A-۳۶) این ایده را بیان می‌کند که هر تابع  $\psi(x)$  می‌تواند فقط و فقط به یک طریق بر حسب  $v_p(x)$ ، یعنی امواج تخت، بسط داده شود. چون شاخص  $p$  به طور پیوسته تغییر می‌کند و نه به طور گستته، جمع بندی  $\sum$  در (A-۱۹) باید با یک انتگرال گیری روی  $p$  جایگزین شود. رابطه (A-۳۷) مانند (A-۲۱)، مولفه  $(\bar{\psi}(p), \psi)$  را دوی  $(x)$  به صورت حاصلضرب نردداری  $(\psi, v_p)$  به دست می‌دهد\*. مجموعه این مولفه‌ها، که متناظر با مقادیر مختلف ممکن  $p$  هستند، تابعی از  $p$ ، مثل  $(p)\bar{\psi}$  تشکیل می‌دهند، که تبدیل فوریه  $(x)$  است.

بنابراین،  $(p)\bar{\psi}$  مشابه با  $c_i$  است. این دو عدد مختلف که با به  $p$  یا به  $x$  بستگی دارند، معروف مولفه‌های همان تابع  $(x)\psi$  در دو پایه مختلف:  $\{v_p(x)\}$  و  $\{u_i(x)\}$  هستند. این نکته هم چنین وقتی که محدود هنجار  $(x)$  را محاسبه کنیم، به طور آشکار ظاهر می‌شود. بنابر رابطه پرسوال [پیوست ۱، فرمول (۴۵)] داریم:

$$(\psi, \psi) = \int_{-\infty}^{+\infty} dp |\bar{\psi}(p)|^2 \quad (A-38)$$

فرمولی که شبیه (A-۲۷) است به شرطی که  $c_i$  با  $(p)\bar{\psi}$  و  $\sum$  با  $\int dp$  جایگزین شود، حال نشان دهیم که  $(x)\psi$  در یک رابطه بستاری صدق می‌کند. با استفاده از فرمول زیر رک [به پیوست ۲، معادله (۳۴)]:

$$\frac{1}{2\pi} \int_{-\infty}^{+\infty} dk e^{ikx} = \delta(u) \quad (A-39)$$

---

\* فقط حاصلضرب نردداری دوتابع "مجذوراً" انتگرال پذیر را تعریف گرده‌ایم، اما این تعریف می‌تواند به مسادگی به مواردی نظری این مورد گسترش یابد، بشرط اینکه انتگرال مربوطه همگرا باشد.

خواهیم داشت :

$$\int_{-\infty}^{+\infty} dp \ v_p(x) \ v_p^*(x') = \frac{1}{2\pi} \int \frac{dp}{\hbar} e^{ip\frac{\hbar}{\hbar}(x-x')} = \delta(x - x') \quad (A-40)$$

این فرمول مشابه (A-۳۲) است، که در آن  $\sum$  توسط  $\int dp$  جایگزین شده است.  
بالاخره، برای اینکه بهبینیم آیا معادلی برای رابطه راست هنجاری وجود دارد یا خیر، حاصلضرب نرداری ( $v_p, v_{p'}$ ) را محاسبه می‌کنیم: باردیگر با استفاده از (A-۳۹) نتیجه می‌گیریم:

$$(v_p, v_{p'}) = \int_{-\infty}^{+\infty} dx \ v_p^*(x) \ v_{p'}(x)$$

یعنی:

$$(v_p, v_{p'}) = \frac{1}{2\pi} \int \frac{dx}{\hbar} e^{i\frac{x}{\hbar}(p' - p)} = \delta(p - p') \quad (A-41)$$

(A-۴۱) و (A-۱۸) را باهم مقایسه کنیم، در اینجا بهجای دوشاخص گستته  $i$  و  $z$  و یک دلتای کرونکر  $\delta$ ، دوشاخص پیوسته  $p$  و  $p'$  و یک تابع دلتا تفاضل بین دو شاخص،  $\delta(p - p')$  داریم. توجه کنید که اگر قرار دهیم  $p = p'$  "حاصلضرب نرداری" ( $v_p, v_{p'}$ ) و اگرا می‌شود، باز هم می‌بینیم که  $v_p(x) \neq v_{p'}(x)$ . ما (A-۴۱) را یک رابطه "راست هنجاری" خواهیم نامید، هرچند که این لغت را بهطور صحیح بهکار نبرده‌ایم. بعضی اوقات گفته می‌شود که  $v_p(x)$  "به مفهوم دیراک، راست هنجار هستند"

تعیین بدسه بعد هیچ اشکالی بوجود نمی‌آورد. امواج تخت زیر را در نظر می‌گیریم:

$$v_p(r) = \left( \frac{1}{2\pi\hbar} \right)^{3/2} e^{ip.r/\hbar} \quad (A-42)$$

تابع پایه  $\{v_p(r)\}$  اکنون بدسه شاخص پیوسته  $p_x, p_y, p_z$  که آنها وادرنعاد  $p$  خلاصه می‌کنیم، بستگی دارند. در این صورت به سادگی می‌توان نشان داد که فرمولهای زیر معتبرند:

$$\psi(r) = \int d^3p \ \bar{\psi}(p) \ v_p(r) \quad (A-43)$$

$$\bar{\psi}(\mathbf{p}) = (v_{\mathbf{p}}, \psi) = \int d^3r \ v_{\mathbf{p}}^*(\mathbf{r}) \ \psi(\mathbf{r}) \quad (A-44)$$

$$(\varphi, \psi) = \int d^3p \ \bar{\varphi}^*(\mathbf{p}) \ \bar{\psi}(\mathbf{p}) \quad (A-45)$$

$$\int d^3p \ v_{\mathbf{p}}(\mathbf{r}) \ v_{\mathbf{p}}^*(\mathbf{r}') = \delta(\mathbf{r} - \mathbf{r}') \quad (A-46)$$

$$(v_{\mathbf{p}}, v_{\mathbf{p}'}) = \delta(\mathbf{p} - \mathbf{p}') \quad (A-47)$$

این فرمولها تعمیمهای (A-۳۶)، (A-۴۰)، (A-۳۷)، (A-۴۸) و (A-۴۹) هستند. بنابراین می‌توان ( $\mathbf{r}$ )<sup>۲</sup> هارا به عنوان تشکیل‌دهنده‌های یک "پایه پیوسته" در نظر گرفت. کلیه فرمولهایی را که در بالا برای پایه گستته  $\{u_i(\mathbf{r})\}$  برقرار شده بودند می‌توان، با استفاده از قواعد تناظر که در جدول (۱-۱) خلاصه شده است، به پایه پیوسته گسترش داد.

$i \leftrightarrow \mathbf{p}$
$\sum_i \leftrightarrow \int d^3p$
$\delta_{ij} \leftrightarrow \delta(\mathbf{p} - \mathbf{p}')$

جدول (۱-۱)

## ۶ - "تابع دلتا"

حال، بهمین روش یک مجموعه توابعی از  $\mathbf{r}_0$ ،  $\psi_{\mathbf{r}_0}(\mathbf{r})$ ، را که توسط شاخص پیوسته  $\mathbf{r}_0$  (نمادگذاری فشرده برای  $x_0, y_0, z_0$ ) مشخص شده و به صورت زیر تعریف می‌شوند، وارد می‌کنیم:

$$\boxed{\psi_{\mathbf{r}_0}(\mathbf{r}) = \delta(\mathbf{r} - \mathbf{r}_0)} \quad (A-48)$$

$\psi_{\mathbf{r}_0}(\mathbf{r})$  معرف مجموعه توابع دلتائی است که در نقاط مختلف  $\mathbf{r}_0$  فضای متمرکزند، واضح است که  $\psi_{\mathbf{r}_0}(\mathbf{r})$  محدودرا "انتگرال‌بازیر نیست":  $\psi_{\mathbf{r}_0}(\mathbf{r}) \notin \mathcal{H}_{\mathbf{r}_0}$ .

سپس روابط زیر را که برای هر تابع  $\psi(\mathbf{r})$  متعلق به  $\mathcal{H}$  معتبر است در نظر بگیرید:

$$\psi(\mathbf{r}) = \int d^3r_0 \ \psi(\mathbf{r}_0) \ \delta(\mathbf{r} - \mathbf{r}_0) \quad (A-49)$$

$$\psi(r_0) = \int d^3r \delta(r_0 - r) \psi(r) \quad (A-50)$$

این روابط را می‌توان، با استفاده از (A-۴۸) به صورت زیر بازنویسی کرد:

$$\psi(r) = \int d^3r_0 \psi(r_0) \xi_{r_0}(r) \quad (A-51)$$

$$\psi(r_0) = (\xi_{r_0}, \psi) = \int d^3r \xi_{r_0}^*(r) \psi(r) \quad (A-52)$$

(A-۵۱) بیانگراین واقعیت است که هر تابع  $\psi(r)$  می‌تواند به یک طریق و فقط به یک طریق بر حسب  $\xi_{r_0}$  بسط داده شود. (A-۵۲) نشان می‌دهد که مولفه  $\xi_{r_0}(r)$  روی تابع  $\psi(r)$  (در اینجا با تابع پایه حقیقی سروکار داریم) دقیقاً برابراست با مقدار  $\psi(r)$  در نقطه  $r_0$ ، یعنی  $\psi(r_0)$ . (A-۵۱) و (A-۵۲) مشابه با (A-۱۹) و (A-۲۱) هستند؛ کافی است

شاخص گستته  $\sum_i$  را با شاخص پیوسته  $\int d^3r_0$  و  $\sum_i$  را با  $\int d^3r_0$  جایگزین کنیم.

بنابراین  $\psi(r_0)$  هم از  $c_i$  است: این دو عدد مختلف، که یکی به  $r_0$  و دیگری به  $i$  بستگی دارند، معرف مختصات یک تابع  $\psi(r)$  در دو پایه مختلف:  $\{\xi_{r_0}(r)\}$  و  $\{u_i(r)\}$  هستند.

در اینجا فرمول (A-۲۶) به صورت زیر در می‌آید:

$$(\varphi, \psi) = \int d^3r_0 \varphi^*(r_0) \psi(r_0) \quad (A-53)$$

می‌بینیم که اعمال (A-۲۶) به مورد پایه پیوسته  $\{\xi_{r_0}(r)\}$  منجر به تعریف (A-۴) از ضرب نردازی می‌شود.

بالاخره توجه کنید که  $\xi_{r_0}(r)$  در همان روابط "راست هنجاری" و بستاری برای  $v_p(r)$ ، صدق می‌کند. باین ترتیب داریم [ فرمول (۲۸) در پیوست ۲ ]:

$$\int d^3r_0 \xi_{r_0}(r) \xi_{r_0}^*(r') = \int d^3r_0 \delta(r - r_0) \delta(r' - r_0) = \delta(r - r') \quad (A-54)$$

$$\begin{aligned} (\xi_{r_0}, \xi_{r_0}) &= \int d^3 r \delta(r - r_0) \delta(r - r'_0) \\ &= \delta(r_0 - r'_0) \end{aligned} \quad (A-55)$$

به این ترتیب، تمام فرمولهای را که برای پایه‌گستته  $\{\psi_i(r)\}$  برقرار ساختیم می‌توانند با به کار بردن قواعد تناظر، که در جدول (۲-۲) خلاصه شده‌اند، به پایه پیوسته  $\{\psi_{r_0}(r)\}$  تعمیم یابند.

$i \leftrightarrow r_0$
$\sum_i \leftrightarrow \int d^3 r_0$
$\delta_{ij} \leftrightarrow \delta(r_0 - r'_0)$

جدول (۲-۲)

گوشزد مهم :

سودمندی پایه‌های پیوسته‌ای که در بالا معرفی کردیم در آنچه که به دنبال می‌آید روشن‌تر می‌شود. مع ذالک نباید نکته زیر از نظر ما مخفی بماند: یک حالت فیزیکی باید همواره متناظر با یک تابع موج مجددرا "انتگرال پذیر باشد. در هیچ موردی  $(\psi_p(r))$  یا  $(\psi_{r_0}(r))$  نمی‌توانند معرف حالت یک ذره باشند. این توابع فقط واسطه‌های محاسباتی بسیار آسانی برای اعمالی هستند که روی توابع موج  $(\psi)$  که قادرند یک حالت فیزیکی را توصیف کنند، انجام می‌گیرند.

در اپتیک کلاسیک یا وضعیت مشابهی مواجه می‌شویم، و آن اینکه موج تکریگتخت از نظر ریاضی بسیار سودمند است، اما از نظر فیزیکی یک ایده‌آل سازی تحقق ناپذیر است، حتی دقیق‌ترین صافیها همیشه عبور یک نوار فرکانسی ۴۷ را، که ممکن است بسیار کوچک باشد ولی هرگز دقیقاً "صرفیست از خود عبور می‌دهند. همین مطلب برای توابع  $(\psi_{r_0}(r))$  صحت دارد. می‌توانیم یک تابع موج مجددرا "انتگرال پذیر، بسیار جایگزینه حول  $r_0$  در نظر بگیریم، به عنوان مثال:

$$\xi_{r_0}^{(e)}(r) = \delta^{(e)}(r - r_0) = \delta^{(e)}(x - x_0) \delta^{(e)}(y - y_0) \delta^{(e)}(z - z_0)$$

که در آن  $\delta^{(e)}$  ها توابعی هستند که دارای قلمای به پهنای  $\epsilon$  و ارتفاع  $\frac{1}{\epsilon}$  بوده و در  $x_0, y_0, z_0$  یا  $x_0$  متتمرکز هستند، به طوری که  $\int_{-\infty}^{+\infty} \delta^{(e)}(x - x_0) dx = 1$  (برای مثالهای از اینگونه توابع به بخش b-۱ از پیوست ۲ مراجعه کنید). وقتی  $\epsilon \rightarrow 0$ ، داریم

$\zeta \rightarrow \zeta_{r_0}^{(e)}$  ، که دیگر مجاز نیست . اما ، در واقع ، غیرممکن است که یک حالت فیزیکی متناظر با این حد داشته باشیم ؛ حالت فیزیکی یک ذره هر اندازه جایگزینه باشد ، و هرگز دقیقاً صفر نیست .

### ۳ - تعمیم : پایه‌های "راست هنجار" پیوسته

#### ۱ - تعریف

برای تعمیم نتایج بدست آمده در دو بخش قبلی ، یک مجموعه توابعی از  $w_\alpha(r)$  را که با یک شاخص پیوسته  $\alpha$  مشخص شده‌اند و در دو رابطه :

$$(w_\alpha, w_{\alpha'}) = \int d^3r \quad w_\alpha^*(r) \quad w_{\alpha'}(r) = \delta(\alpha - \alpha') \quad (A-56)$$

$$\int d\alpha \quad w_\alpha(r) \quad w_\alpha^*(r') = \delta(r - r') \quad (A-57)$$

که روابط راست هنجاری و بستاری نامیده می‌شوند ، صدق کنند ، یک پایه راست هنجار پیوسته می‌نامیم .

#### گوشزدگا :

اگر  $\alpha' = \alpha$  باشد ،  $(w_\alpha, w_\alpha)$  واکرا می‌شود . از این رو  $w_\alpha(r) \neq 0$  .  $(i)$

$\alpha$  می‌تواند معرف چندین شاخص باشد ، همچنانکه برای  $w_0$  و  $w_p$  در مثالهای بالا این چنین است .  $(ii)$

می‌توان پایه‌ای را تصور کرد که هم شامل توابع  $w_0(r)$  ، که توسط یک شاخص گستته مشخص شده‌اند ، باشد و هم شامل توابع  $w_p(r)$  ، که توسط یک شاخص پیوسته مشخص شده‌اند . در این مورد ، مجموعه  $(w_0, w_p)$  تشکیل یک پایه نمی‌دهد ، مجموعه  $w_p(r)$  باید به آن افزوده شود .  $(iii)$

حال مثالی ازین وضعیت ارائه دهیم . مورد جاه مریعی مطالعه شده در

بخش ۲-۲D از فصل اول را در نظر بگیرید (مکمل  $H_0$  را نیز بهبینید) .

همان‌طور که بعداً "خواهیم دید ، مجموعه حالت‌های مانای یک ذره در یک پتانسیل مستقل از زمان تشکیل یک پایه می‌دهند . برای  $E < 0$  ، لایه‌های انرژی گسته‌ای

داریم، که به توابع موج محدودرا "انتگرال پذیری" که بایک شاخص گستته مشخص شده‌اند، مربوط می‌شوند. ولی اینها تنها حالت‌های مانای ممکن نیستند. معادله (A-۲۷) از فصل اول، هم‌چنین، برای  $E > 0$ ، دارای جوابهایی هستند که کراندار بوده ولی در تمام فضاسترده شده‌اند، و از این جهت محدودرا "انتگرال پذیر نیستند".

در مورد یک پایه "مخلوط"، گستته و پیوسته،  $\{u_i(r), w_\alpha(r)\}$  روابط راست هنجاری عبارتند از:

$$\begin{aligned} (u_i, u_j) &= \delta_{ij} \\ (w_\alpha, w_\beta) &= \delta(\alpha - \beta) \\ (u_i, w_\alpha) &= 0 \end{aligned} \quad (A-58)$$

و رابطه بستاری به صورت زیر در می‌آید:

$$\sum_i u_i(r) u_i^*(r') + \int d\alpha w_\alpha(r) w_\alpha^*(r') = \delta(r - r') \quad (A-59)$$

، مؤلفه‌های یک تابع موج

همیشه می‌توانیم بنویسیم:

$$\psi(r) = \int d^3r' \psi(r') \delta(r - r') \quad (A-60)$$

با استفاده از رابطه‌ای که توسط (A-۵۷) برای  $(r - r')$  داده شده است، و با این فرض

$$\text{که می‌توانیم ترتیب } \int d\alpha \text{ و } \int d^3r' \text{ را عوض کنیم، خواهیم یافت:}$$

$$\psi(r) = \int d\alpha \left[ \int d^3r' w_\alpha^*(r') \psi(r') \right] w_\alpha(r) \quad \text{یعنی:}$$

$\psi(r) = \int d\alpha c(\alpha) w_\alpha(r)$	$(A-61)$
------------------------------------------------	----------

$c(\alpha) = (w_\alpha, \psi) = \int d^3r' w_\alpha^*(r') \psi(r')$	$(A-62)$
---------------------------------------------------------------------	----------

(A-۶۱) بیان‌گر این واقعیت است که هر تابع موج  $(r) \psi$  دارای یک بسط یکتا بر حسب  $w_\alpha(r)$  می‌باشد. مؤلفه  $c(\alpha)$  ای  $(r) \psi$  روی  $w_\alpha(r)$ ، برابر است با حاصل ضرب

نرداری  $(w_\alpha, \psi)$

۷. عبارت حاصلضرب نرداری و هنجار بر حسب مولفه‌ها

فرض کنید  $\varphi(r)$  و  $\psi(r)$  دو تابع مجدوراً "انتگرال پذیر باشند که مولفه‌های آنها  
بر حسب  $w_\alpha(r)$  معلوم باشند :

$$\varphi(r) = \int d\alpha \ b(\alpha) \ w_\alpha(r) \quad (A-63)$$

$$\psi(r) = \int d\alpha' \ c(\alpha') \ w_{\alpha'}(r) \quad (A-64)$$

حاصلضرب نرداری آنها را محاسبه کنید :

$$\begin{aligned} (\varphi, \psi) &= \int d^3r \ \varphi^*(r) \ \psi(r) \\ &= \int d\alpha \int d\alpha' \ b^*(\alpha) \ c(\alpha') \int d^3r \ w_\alpha^*(r) \ w_{\alpha'}(r) \end{aligned} \quad (A-65)$$

آخرین انتگرال توسط (A-56) داده می‌شود ، لذا :

$$(\varphi, \psi) = \int d\alpha \int d\alpha' \ b^*(\alpha) \ c(\alpha') \ \delta(\alpha - \alpha')$$

یعنی :

$$(\varphi, \psi) = \boxed{\int d\alpha \ b^*(\alpha) \ c(\alpha)} \quad (A-66)$$

بخصوص :

$$\boxed{(\psi, \psi) = \int d\alpha |c(\alpha)|^2} \quad (A-67)$$

به این ترتیب تمام فرمولهای بخش ۲-A می‌توانند ، با استفاده از قواعد تناظر  
جدول (۲-۳) ، تعمیم داده شوند .

$i \leftrightarrow \alpha$
$\sum_i \leftrightarrow \int d\alpha$
$\delta_{ij} \leftrightarrow \delta(\alpha - \alpha')$

جدول (۲-۳)

مهمترین فرمولهای این بخش در جدول (۲-۴) گردآورده شده‌اند. در واقع، لازم نیست که آنها را به‌این صورت به‌خاطر سیرد: خواهیم دید که واردشدن نمادگذاری دیراک ما را قادر خواهد ساخت تا آنها را به‌طور بسیار ساده‌ای به‌دست آوریم.

{ $w_\alpha(r)$ }	{ $u_i(r)$ }	
$(w_\alpha, w_{\alpha'}) = \delta(\alpha - \alpha')$	$(u_i, u_j) = \delta_{ij}$	رابطه راست‌هنچاری
$\int d\alpha \ w_\alpha(r) \ w_\alpha^*(r') = \delta(r - r')$	$\sum_i u_i(r) \ u_i^*(r') = \delta(r - r')$	رابطه بستاری
$\psi(r) = \int d\alpha \ c(\alpha) \ w_\alpha(r)$	$\psi(r) = \sum_i c_i \ u_i(r)$	بسط یک تابع موج $\psi(r)$
$c(\alpha) = (w_\alpha, \psi) = \int d^3r \ w_\alpha^*(r) \ \psi(r)$	$c_i = (u_i, \psi) = \int d^3r \ u_i^*(r) \ \psi(r)$	عبارت مولفه‌های $\psi(r)$
$(\phi, \psi) = \int d\alpha \ b^*(\alpha) \ c(\alpha)$	$(\phi, \psi) = \sum_i b_i^* c_i$	حاصلضرب نرداری
$(\psi, \psi) = \int d\alpha  c(\alpha) ^2$	$(\psi, \psi) = \sum_i  c_i ^2$	مجذور هنچار

جدول (۲-۴)

## B . فضای حالتها . نهاد گذاری دیراک

/ - مقدمه /

در فصل اول ، اصل موضوع زیر را بیان کردیم : حالت کوانتومی یک ذره ، در یک زمان معین ، توسط تابع موج  $(\psi)$  داده می شود ، تعبیر احتمالاتی این تابع موج ایجاب می کند که مجدورا " انتگرال پذیر باشد ، و این نکته مارا به مطالعه فضای  $\mathcal{H}$  (بخش A) رهنمون شد . سپس بخصوص دریافتیم که یک تابع  $(\psi)$  می تواند توسط چندین مجموعه متمایز از مولفه ها که هر کدام به انتخاب یک پایه مربوطند ، نمایش داده شود [ جدول (۲-۵) ] . این نتیجه می تواند به طریق زیر تعبیر شود :  $\{\psi_i\}_{i=1}^n$  یا  $\{\psi(p)\}_{p \in \mathcal{P}}$  حالت ذره و هم جنین تابع موج  $(\psi)$  را [ اگر پایه مورد استفاده قبلا ] مشخص شده باشد [ مشخص می کند . بعلاوه خود  $(\psi)$  ، در جدول (۲-۵) ] ، در همان ردیف  $\{\psi_i\}_{i=1}^n$  و  $\{\psi(p)\}_{p \in \mathcal{P}}$  و  $\{\alpha\}_{\alpha \in \Omega}$  ظاهر می شود : مقدار  $(\psi)$  که تابع موج دریک نقطه  $x$  از فضا می گیرد ، می تواند به عنوان مولفه آن " روی یک تابع مشخص  $(\psi_{r_0})$  از یک پایه بخصوص ( پایه تابع  $\delta$  ) در نظر گرفته شود .

Basis	مولفه های $(\psi)$
$u_i(\mathbf{r})$	$c_i, i = 1, 2, \dots, n, \dots$
$v_p(\mathbf{r})$	$\psi(p)$
$\zeta_{r_0}(\mathbf{r})$	$\psi(r_0)$
$w_\alpha(\mathbf{r})$	$c(\alpha)$

جدول (۲-۵) .

بدین ترتیب خودرا در وضعیتی می یابیم که مشابه است با وضعیتی که در فضای معمولی  $R^3$  بدآن بروخته می کنیم : مکان یک نقطه در فضا می تواند توسط مجموعه ای از سه عدد ، که مختصات آن نسبت به دستگاه محورهایی که از پیش تعیین شده اند ، مشخص شود . اگر محورها را عوض کنیم ، مجموعه مختصات دیگری به همان نقطه مربوط می شوند . اما مفهوم بردار هندسی و محاسبه برداری به ما امکان می دهد تا از مراجعت به یک دستگاه محورها احتراز کنیم . این امر هم فرمولها و هم استدلال را تا حد قابل ملاحظه ای تسهیل می کند . در اینجا می خواهیم روش مشابهی را بکار بریم : هر حالت کوانتومی یک ذره توسط یک بردار حالت متعلق به یک فضای انتزاعی ،  $\mathcal{H}$  که فضای حالت یک ذره نامیده می شود ،

مشخص خواهد شد. این واقعیت که فضای  $\mathcal{H}$  زیرفضایی از  $L^2$  است بدین معنی است که  $\mathcal{H}$  زیرفضایی از فضای هیلبرت است. اکنون نمادگذاری و قواعد محاسبه برداری در  $\mathcal{H}$  را تعریف می‌کنیم.

در واقع، آنچه که بردارهای حالت و فضای حالتها انجام می‌دهند بیشتر از تسهیل صورت‌بندی است. تعمیم صورت‌بندی را نیز امکان‌پذیر می‌سازند. مسلماً "سیستم‌های فیزیکی‌ای وجود دارند که تشریح کوانتومی آنها نمی‌توانند توسط یک تابع موج داده شوند؛ در فصلهای چهارم و نهم خواهیم دید که یکی از این موارد وقتی است که، حتی برای یک ذره تنها، درجات آزادی اسبیبن را به حساب آوریم، در نتیجه، اولین اصل موضوعی که در فصل سوم بیان خواهیم کرد، اصل موضوع زیرخواهد بود؛ حالت کوانتومی هر سیستم فیزیکی توسط یک بردار حالت مشخص می‌شود، که به یک فضای  $\mathcal{H}$  که همان فضای حالت سیستم است، تعلق دارد.

از این رو، در بقیه این فصل، محاسبات برداری در  $\mathcal{H}$  را گسترش خواهیم داد. مفاهیمی که وارد خواهیم کرد و نتایجی که به دست خواهیم آورد برای هرسیستم فیزیکی‌ای که در نظر نگیریم، معتبرند. معذالک برای نشان دادن این مفاهیم و نتایج، آنها را به مورده ساده یک ذره (بدون اسبیبن) اعمال خواهیم کرد، زیرا این مورده است که قبلاً "بررسی کرده‌ایم".

در این بخش ابتدا، نمادگذاری دیراک را که در عمل بسیار مفید می‌باشد معرفی می‌کنیم.

### ۳- بردارهای "کت" و بردارهای "برا"

۴- عناصر  $\mathcal{H}$  : کتهایا

۵- نمادگذاری

هر عنصر، یا بردار، فضای  $\mathcal{H}$  یک بردارکت، یا، بطور ساده‌تر، یک کت، تابیده می‌شود. آنرا توسط نماد  $| \psi \rangle$  نشان می‌دهیم و در داخل آن یک علامت مشخص‌کننده قرار می‌دهیم که ما را قادر می‌سازد تا کت مربوطه را از سایر کتهای تغییر دهیم، مثلًا:  $| \psi \rangle$  |  $\psi \rangle$  بخصوص، اکنون که با مفهوم یک تابع موج آشنا شدایم، فضای  $\mathcal{H}$  حالت‌های یک ذره را با واپسکردن یک بردار کت  $| \psi \rangle$  از  $\mathcal{H}$  به هرتتابع مجبوراً "انتگرال‌پذیر"  $(r)$   $\psi(r) \in \mathcal{F}$ ،

تعریف خواهیم کرد:

(B-1)

سپس، اعمال مختلفی را که برای  $\psi$  تعریف کردیم به  $\psi$  منتقل خواهیم کرد. هرچند  $\psi$  و  $\psi'$  "همریخت" هستند، برای جلوگیری از اشتباه کاری و حفظ امکان تعیین فوق الذکر، در بخش  $A - 1$ ، با دقت بین آنها تمایز قائل خواهیم شد. این واقعیت را ناتکید می‌کنیم که در  $\langle \psi | D\psi \rangle$  وابستگی به  $\psi$  ظاهر نمی‌شود، بلکه فقط حرف  $\psi$  ظاهری شودتا یادآوری کند که بهجه تابعی وابسته است.  $(\psi | D\psi \rangle)$  (بخش E) بعنوان مجموعه‌ای از مولفه‌های کت  $\langle \psi |$ ، دریک پایه بخصوص تعبیر خواهد شد، و  $\psi$  نقش یک شاخص را بازی می‌کند زیرا در بخش  $B - 3$  و جدول  $(A - 5)$  در نتیجه، رویه‌ای را که در اینجا می‌بذریم این است که ابتدا یک بردار را توسط مولفه‌ایش دریک دستگاه مختصات مرجح، که بعداً آنرا در ردیف دستگاههای مختصات دیگر قرار خواهیم داد، مشخص می‌کنیم.

فضای حالت یکذره (بدون اسپین) را فقط در یک بعد با  $\psi$ ، یعنی فضای مجردی نظری  $(A - 1)$ ، اما با استفاده از تابع موجه‌ای که فقط به متغیر  $x$  بستگی دارد، مشخص خواهیم کرد.

### $\beta$ - ضرب نرداری

به هرجفت کت  $\langle \phi |$  و  $\langle \psi |$ ، که بعاین ترتیب در نظر گرفته می‌شوند، یک عدد مختلف وابسته می‌کنیم که حاصلضرب نرداری  $(\langle \psi | \phi \rangle)$  آنهاست، و خواص مختلف تشریح شده توسط معادلات  $(A - 5)$  و  $(A - 6)$  را ارضا می‌کند. بعده "پس از وارد کردن مفهوم یک" برای  $\psi$ ، این فرمولها را از نمادگذاری دیراک باز نویسی خواهیم کرد. در  $\psi$ ، حاصلضرب نرداری دو کت با حاصلضرب نرداری که در بالا برای توابع موج وابسته تعریف شده است منطبق خواهد بود.

### $\delta$ - عناصر فضای $\psi$ ، همزاد $\psi$ : برآها

### $\alpha$ - تعریف فضای همزاد $\psi$

قبل از هرچیز، یادآور شویم که، منظور از یک تابع خطی که روی کتهای  $\psi$  ای  $\psi$  تعریف شده‌اند چیست. یک تابع خطی  $x$  یک عمل خطی است که به هر کت  $\langle \psi |$  یک عدد مختلف وابسته می‌کند:

$$\langle \psi | \in \mathcal{E} \xrightarrow{x} \text{number } x(\langle \psi |) \\ x(\lambda_1 \langle \psi_1 | + \lambda_2 \langle \psi_2 |) = \lambda_1 x(\langle \psi_1 |) + \lambda_2 x(\langle \psi_2 |) \quad (B - 2)$$

تابع خطی و عملگر خطی نباید با هم اشتباه شوند. در هردو موردبا اعمال خطی سروکارداریم، ولی اولی به هر کت یک عدد مختلف وابسته می‌کند، در حالی که دومی یک

کت دیگر به آن وابسته می‌گند.

می‌توان نشان داد که مجموعه تابعکهای خطی که روی کتهای  $\psi \in \mathcal{H}$  | تعریف شده‌اند یک فضای برداری تشکیل می‌دهند، که فضای هم‌زاد  $\mathcal{H}$  نامیده شده و توسط  $\mathcal{H}$  نمایش داده می‌شود.

### β - نماد برای بردارهای فضای $\mathcal{H}$

هر عنصر، یا بردار، فضای  $\mathcal{H}$  یک بردار برای، یا به‌طور ساده‌تر، یک برآنامیده می‌شود. آنرا توسط  $\langle \cdot | \cdot \rangle$  نمایش می‌دهیم، به عنوان مثال، برای  $|\chi\rangle$  تابعک  $\chi$  را نشان می‌دهد و از این پس نمادگذاری  $\langle \psi | \chi \rangle$  را برای نشان دادن عددی که از عمل تابعک خطی  $\chi \in \mathcal{H}$  روی کت  $\psi \in \mathcal{H}$  بدست آمده است به‌کار خواهیم برد:

$$\chi(|\psi\rangle) = \langle \chi | \psi \rangle \quad (B-3)$$

اصل این اصطلاح کلمه "براکت" \* که برای نشانه  $\langle \cdot | \cdot \rangle$  بکار رفته است، گرفته شده است. از این‌رو اسم "برا" برای طرف چپ و اسم "کت" برای طرف راست این نشانه انتخاب شده است.

### ه - ارتباط بین کتها و برآها

#### آ - به‌هرکت یک برآ مربوط می‌شود.

وجود یک ضرب نزدایی اکنون مارا قادر خواهد ساخت تا نشان دهیم که می‌توانیم به‌هرکت  $\psi \in \mathcal{H}$  |، یک عنصر از  $\mathcal{H}$ ، یعنی، یک برآ، که به صورت  $|\varphi\rangle$  نشان داده می‌شود، وابسته کنیم.

در واقع کت  $\langle \varphi |$  به‌ما امکان می‌دهد تا یک تابعک خطی تعریف کنیم؛ و آن تابعکی است که به هر کت  $\psi \in \mathcal{H}$  |، یک عدد مختلط وابسته گند که برابر است با حاصل ضرب نزدایی  $\langle \psi | \varphi \rangle$ . فرض کنید  $|\varphi\rangle$ ، این تابعک خطی باشد، بنابراین توسط رابطه زیر تعریف می‌شود:

\* به معنی پرانتز، م

$$\langle \varphi | \psi \rangle = (\varphi, \psi) \quad (B-4)$$

β . این ارتباط ضد خطی است

در فضای  $\mathcal{H}$  ، حاصلضرب نرداری ، نسبت به بردار اولی ، ضد خطی است . این مطلب در نعادگذاری (B-4) توسط رابطه زیر بیان می شود :

$$\begin{aligned} (\lambda_1 |\varphi_1\rangle + \lambda_2 |\varphi_2\rangle, |\psi\rangle) &= \lambda_1^* (\varphi_1, \psi) + \lambda_2^* (\varphi_2, \psi) \\ &= \lambda_1^* \langle \varphi_1 | \psi \rangle + \lambda_2^* \langle \varphi_2 | \psi \rangle \\ &= (\lambda_1^* \langle \varphi_1 | + \lambda_2^* \langle \varphi_2 |) |\psi\rangle \end{aligned} \quad (B-5)$$

از فرمول (B-5) مشاهده می کنیم که برای وابسته به کت عبارت است از برای  $|\lambda_1^* \langle \varphi_1 | + \lambda_2^* \langle \varphi_2 |$

$$\lambda_1 |\varphi_1\rangle + \lambda_2 |\varphi_2\rangle \Rightarrow \lambda_1^* \langle \varphi_1 | + \lambda_2^* \langle \varphi_2 | \quad (B-6)$$

بنابراین ارتباط برا  $\Rightarrow$  کت ضد خطی است .

گوشزد :

اگر  $\lambda$  یک عدد مختلف و  $|\psi\rangle$  یک کت باشد ،  $\langle \psi | \lambda$  یک کت است (  $\mathcal{H}$  بسیاری برداری است ) . کاهی آنرا به صورت  $\langle \psi | \lambda$  می نویسیم :

$$\langle \lambda \psi | = \lambda \langle \psi | \quad (B-7)$$

در این صورت باید دقت داشته باشیم که  $|\lambda\psi\rangle$  معروف برای وابسته به کت است . چون ارتباط بین یک برا و یک کت ضد خطی است ، داریم :

$$\langle \lambda \psi | = \lambda^* \langle \psi | \quad (B-8)$$

γ . نعادگذاری دیراک برای حاصلضرب نرداری

حالا دو نعادگذاری متفاوت برای نشان دادن حاصلضرب نرداری  $\langle \psi | \lambda \varphi \rangle$  در

در اختیار داریم :  $\langle \psi | \varphi \rangle$  یا  $\langle \varphi | \psi \rangle$  ، که در آن  $|\varphi\rangle$  عبارت است از برای وابسته به کت  $|\varphi\rangle$  . از این به بعد فقط نمادگذاری (دیواک) ، یعنی  $\langle \psi | \varphi \rangle$  را به کار خواهیم برد . جدول (۶-۲) خواص حاصلضرب نردازی ، را که قبلاً در بخش ۱-۱ داده شد ، در نمادگذاری دیواک خلاصه می‌کند .

$$\langle \varphi | \psi \rangle = \langle \psi | \varphi \rangle^* \quad (B-9)$$

$$\langle \varphi | \lambda_1 \psi_1 + \lambda_2 \psi_2 \rangle = \lambda_1 \langle \varphi | \psi_1 \rangle + \lambda_2 \langle \varphi | \psi_2 \rangle \quad (B-10)$$

$$\langle \lambda_1 \varphi_1 + \lambda_2 \varphi_2 | \psi \rangle = \lambda_1^* \langle \varphi_1 | \psi \rangle + \lambda_2^* \langle \varphi_2 | \psi \rangle \quad (B-11)$$

$$\langle \psi | \psi \rangle \text{ حقیقی و مشتب است و فقط زمانی صفر است که} \quad (B-12)$$

۸ . آیا به هر برایک کت مربوط می‌شود ؟

هر چند با هر کت یک برا منتظر است ، ولی در دو مثال انتخاب شده در ۶ خواهیم دید که ، امکان دارد برآهای پیدا کنیم که دارای کتهای منتظر نباشند . بعده " خواهیم دید که چرا این اشکال در مکانیک کوانتومی دست و پاگیر نیست .

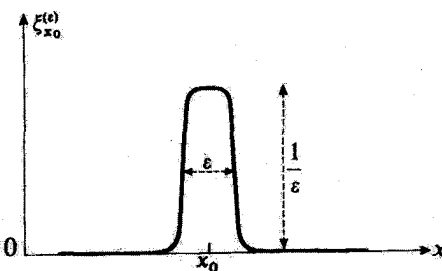
### ۱- مثالهای خلف انتخاب شده در ۶

برای سهولت در یک بعد استدلال خواهیم کرد .

فرض کنید  $\xi_{x_0}^{(e)}$  یک تابع حقیقی و به مقدار کافی منظم باشد به طوری که  $\int_{-\infty}^{+\infty} dx \xi_{x_0}^{(e)}(x) = 1$  ، دارای شکل یک قله به پهنای  $e$  و دامنه  $1/e$  ، مرمرکز در  $x_0$  باشد . شکل ۱ را بهبینید ،  $\xi_{x_0}^{(e)}$  به عنوان مثال ، یکی از توابعی است که در بخش ۱-۱ از پیوست ۲ در نظر گرفته شد . اگر  $e \neq 0$  باشد ،  $\xi_{x_0}^{(e)}(x) \in \mathcal{E}_{x_0}^{(e)}$  ( مجدول هنجار آن از مرتبه  $1/e$  است ) . کت مربوطه را با  $\langle \xi_{x_0}^{(e)} |$  نمایش دهیم :

$$\xi_{x_0}^{(e)}(x) \iff |\xi_{x_0}^{(e)}\rangle \quad (B-13)$$

اگر  $0 \neq e$  ،  $|\xi_{x_0}^{(e)}\rangle$  فرض کنید ، برای وابسته بین کت باشد ، برای هر  $\psi \in \mathcal{E}_x$  داریم :



شکل ۱

$\xi_{x_0}^{(e)}$  تابعی است که در  $x = x_0$  دارای یک قله (به پهنای  $\epsilon$  و دامنه  $1/\epsilon$ ) بوده و انتگرال آن بین  $-\infty$  و  $\infty$  برابر ۱ است.

$$\langle \xi_{x_0}^{(e)} | \psi \rangle = (\xi_{x_0}^{(e)}, \psi) = \int_{-\infty}^{+\infty} dx \xi_{x_0}^{(e)}(x) \psi(x) \quad (B-14)$$

حال  $\epsilon$  را بسمت صفر میل دهید. از یک طرف:

$$\lim_{\epsilon \rightarrow 0} \xi_{x_0}^{(e)}(x) = \xi_{x_0}(x) \notin \mathcal{G}_x \quad (B-15)$$

و مجدور هنجار  $(x_0^{(e)})$ ، که از مرتبه  $1/\epsilon$  است، وقتی  $0 \rightarrow \epsilon$ ، واگرامی شود  $\mu$ ، از این رو:

$$\lim_{\epsilon \rightarrow 0} \langle \xi_{x_0}^{(e)} \rangle \notin \mathcal{G}_x \quad (B-16)$$

از طرف دیگر، وقتی  $0 \rightarrow \epsilon$ ، انتگرال (B-14) بسمت یک حد کاملاً معین،  $\langle x_0 | \psi \rangle$ ، میل می‌کند و زیرا، برای مقادیر خیلی کوچک  $\epsilon$ ،  $\langle x_0 | \psi \rangle$  در (B-14) می‌تواند توسط  $\langle x_0 | \psi \rangle$  جایگزین شده و از انتگرال خارج شود  $\mu$ . درنتیجه،  $\langle x_0^{(e)} | \psi \rangle$  بسمت یک برا، که آنرا با  $\langle x_0 | \psi \rangle$  نشان خواهیم داد میل می‌کند.  $\langle x_0^{(e)} | \psi \rangle$  تابعک خطی‌ای است که به حرکت  $\langle \psi |$  از  $x_0$ ، مقدار  $\langle x_0 | \psi \rangle$  را که عبارت از مقدار تابع موج وابسته در نقطه  $x_0$  است، وابسته می‌کند:

$$\begin{aligned} \lim_{\epsilon \rightarrow 0} \langle \xi_{x_0}^{(e)} | &= \langle \xi_{x_0} | \epsilon \mathcal{G}_x^* \\ \text{اگر } \langle \xi_{x_0} | \psi &= \langle x_0 | \psi \end{aligned} \quad (B-17)$$

بما می‌توانیم ملاحظه کنیم که برای  $\langle x_0 | \psi \rangle$  وجود دارد، ولی هیچ‌کسی منتظر آن نیست. به همین طریق، موج تختی را در نظر بگیرید که در خارج از بازه‌ای به پهنای  $L$  قطع شده باشد:

$$v_{p_0}^{(L)}(x) = \frac{1}{\sqrt{2\pi\hbar}} e^{ip_0 x/\hbar} \quad -\frac{L}{2} \leq x \leq +\frac{L}{2} \quad (B-18)$$

که در آن تابع  $(x)|v_{p_0}^{(L)}\rangle$  در خارج این بازه به سرعت به سمت صفر می‌کند (در عین حالی که پیوسته و مشتق پذیر باقی می‌ماند). کت وابسته به  $(x)|v_{p_0}^{(L)}\rangle$  را به  $\langle v_{p_0}^{(L)}|$  نمایش خواهیم داد:

$$\langle v_{p_0}^{(L)}(x)| \in \mathcal{F}_x \iff |v_{p_0}^{(L)}\rangle \in \mathcal{C}_x \quad (B-19)$$

مجدور هنجار  $|v_{p_0}^{(L)}\rangle$ ، که عمل "برابر  $L/2\pi\hbar$ " است، اگر  $\infty \rightarrow L$ ، واگرامی شود. از این رو

$$\lim_{L \rightarrow \infty} |v_{p_0}^{(L)}\rangle \notin \mathcal{C}_x \quad (B-20)$$

حال برای  $|v_{p_0}^{(L)}\rangle$  وابسته به  $\langle v_{p_0}^{(L)}|$  را در نظر می‌گیریم. برای هر  $\psi \in |\psi\rangle$  داریم:

$$\langle v_{p_0}^{(L)} | \psi \rangle = (v_{p_0}^{(L)}, \psi) \simeq \frac{1}{\sqrt{2\pi\hbar}} \int_{-L/2}^{L/2} dx e^{-ip_0 x/\hbar} \psi(x) \quad (B-21)$$

وقتی  $\infty \rightarrow L$ ،  $\langle v_{p_0}^{(L)} | \psi \rangle$  دارای حدی است، که عبارت است از مقدار  $\bar{\psi}(p_0)$ . تبدیل فوریه  $\langle \bar{\psi}(p) | \psi(x) \rangle$  بخواهد  $p = p_0$ . ازینرو، وقتی  $\infty \rightarrow L$ ،  $\langle v_{p_0}^{(L)} | \psi \rangle$  به سمت یک برای کاملاً "معین"  $|v_{p_0}\rangle$  میل می‌کند:

$$\begin{aligned} \lim_{L \rightarrow \infty} \langle v_{p_0}^{(L)} | &= \langle v_{p_0} | \in \mathcal{C}_x^* \\ \text{اگر } |\psi\rangle \in \mathcal{C}_x, \langle v_{p_0} | \psi \rangle &= \bar{\psi}(p_0) \end{aligned} \quad (B-22)$$

در اینجا نیز، هیچ کسی متناظر برای  $|v_{p_0}\rangle$  نیست.

## ۲- حل فیزیکی مشکلات فوق

این عدم تقارن ارتباط بین کتها و براها، همان‌طوری که مثالهای قبلی نشان می‌دهند، بوجود "پایه‌های پیوسته" برای  $\psi$  مربوط است. چون توابعی که این "پایه‌ها" را تشکیل میدهند به  $\psi$  تعلق ندارند، نمی‌توانیم یک کت از  $\psi$  به آنها وابسته کنیم. لیکن حاصل ضرب آنها در یک تابع دلخواه از  $\psi$  تعریف شده است، و این امر بعما اجازه می‌دهد تا یک تابع خطی در  $\psi$ ، یعنی، یک برای متعلق به  $\psi$ ، به آنها وابسته کنیم. دلیل

استفاده از چنین "پایه‌های پیوسته‌ای" در مفید بودنشان، در بعضی از محاسبات عملی نهفته است. همین دلیل (که در آنچه که در زیر می‌آید روش‌تر خواهد شد) ما را در اینجا به‌این امر رهنمون می‌شود که با وارد کردن "کتهای تعمیم یافته"، که با استفاده از توابعی که مجدوا "انتگرال پذیر نبوده ولی حاصلضرب نردازی آنها با هر تابعی از پیچ وجوددارد، تعریف شده‌اند، تقارن بین کتها و برآها را دوباره برقرار کنیم. در آنچه که بعدن بال می‌آید با "کتهای نظری" نظیر  $\langle \psi | \psi \rangle$  یا  $\langle \psi | \psi' \rangle$ ، که به  $(\psi, \psi')$  یا  $(\psi, \psi')$  وابسته‌اند، کار خواهیم کرد. برای اینکه دقیق باشیم باید فراموش کنیم که این "کتهای تعمیم یافته" نمی‌توانند معرف حالت‌های فیزیکی باشند. این کتهای صرفاً "واسطه‌های آسانی" هستند، کمدمحاسبات عملیاتی که باستی روی کتهای واقعی فضای  $\mathbb{R}^n$ ، که علاوه‌حال‌های کوانتومی تحقق‌پذیر را مشخص می‌کنند، انجام دهیم، بدکار می‌روند.

این روش چند مشکل ریاضی مطرح می‌کند، که می‌توان با پذیرفتن دیدگاه فیزیکی زیر از آنها احتراز کرد:  $\langle \psi | \psi \rangle = 1$  (یا  $\langle \psi | \psi' \rangle = 0$ ) در واقع نمایانگر  $\langle \psi | \psi' \rangle = 0$  است هنگامی که  $\psi$  در مقایسه با تمام طولهای دیگر مسئله مورد نظر بسیار کوچک ( $\psi$ ) یا  $L$  بسیار بزرگ باشد. در تمام محاسبات واسطی که  $\langle \psi | \psi' \rangle = 1$  (یا  $\langle \psi | \psi' \rangle = 0$ ) ظاهر می‌شود، هرگز به حد  $0 = \psi$  (یا  $\psi \rightarrow \infty$ ) نمی‌رسیم، بهطوری که همواره در  $\mathbb{R}^n$  کار می‌کنیم. نتیجه فیزیکی به دست آمده در آخر محاسبه، تا آنجا که  $\psi$  نسبت به سایر طولها به قدر کافی کوچک باشد، بستگی بسیار ناچیزی به مقدار  $\psi$  دارد: در این صورت می‌توان درنتیجه نهائی از  $\psi$  صرف‌نظر کرد، یعنی قرار داد  $\psi = 0$  (رویه‌ای که باشد برای  $L$  به کار رود مشابه است).

معکن است ایراد گرفته شود که  $\{\psi(x)\}$  و  $\{\psi'(x)\}$  برخلاف  $\{\psi(x)\}$  و  $\{\psi'(x)\}$ ، پایه‌های متعامد نیستند، زیرا دقیقاً در رابطه بستاری صدق نمی‌کنند در واقع، بهطور تقریبی در آن صدق می‌کنند. به عنوان مثال، عبارت  $\int dx_0 \psi(x_0) \psi'(x_0)$  تابعی است از  $(x - x')$  که می‌تواند به عنوان یک تقریب غالی برای  $(x - x')^\delta$  به کار رود. نمایش ترسیمی آن علاوه‌اً مثلى است به قاعده  $\frac{1}{2}$  و ارتفاع  $\frac{1}{2}$ ، متغیرکردن  $x - x' = z$  (پیوست ۲ بخش ۷-۱). اگر  $\psi$  در مقایسه با سایر طولهای مسئله قابل اغماض باشد، اختلاف بین این عبارت و  $(x - x')^\delta$ ، از نظر فیزیکی غیر قابل ملاحظه است. عموماً، فضای همزاد  $\mathbb{R}^n$  و فضای حالت  $\mathbb{R}^d$  هم ریخت نیستند، البته، بجز وقتی

که  $\psi$  ابعاد محدودی داشته باشد\*: گرچه بهر کت  $\langle \psi |$  در  $\mathcal{H}$  یک برا  $| \psi \rangle$  در  $\mathcal{H}^*$  مربوط می شود ، عکس آن صحت ندارد . با وجود این ، توافق خواهیم کرد که علاوه بر بردارهای متعلق به  $\mathcal{H}$  ( که هنگارشان محدود است ) ، کتهای تعمیم یافته‌ای که هنگارشان نامحدود بوده ولی حاصلضرب نرداری آنها با هر کت متعلق به  $\mathcal{H}$  محدود باشد ، بدکار برمی . بعاین ترتیب به هو برا  $| \varphi \rangle$  از  $\mathcal{H}^*$  یک کت متناظر وجود خواهد داشت . اما کتهای تعمیم یافته معروف حالتها فیزیکی سیستم نیستند .

### ۳ - عملگرهای خطی

#### a - تعاریف

اینها همان عملگرهای بخش ۱- A هستند .  
یک عملگر خطی  $A$  به هر کت  $\psi \in \mathcal{H}$  یک کت دیگر  $\psi' \in \mathcal{H}$  وابسته می کند  
که ارتباط آنها خطی است :

$$|\psi'\rangle = A |\psi\rangle \quad (B-23)$$

$$A(\lambda_1 |\psi_1\rangle + \lambda_2 |\psi_2\rangle) = \lambda_1 A |\psi_1\rangle + \lambda_2 A |\psi_2\rangle \quad (B-24)$$

حاصلضرب دو عملگر خطی  $A$  و  $B$  ، که به صورت  $AB$  نوشته می شود ، بروش زیر  
تعریف می شود :

$$(AB) |\psi\rangle = A(B |\psi\rangle) \quad (B-25)$$

ابتدا  $B$  روی  $|\psi\rangle$  عمل کرده کت  $\psi | B$  را می دهد ، سپس  $A$  روی کت  $\psi | B$  عمل  
می کند . عموما "  $AB \neq BA$  " . جابجاگر  $[A, B]$  ای عملگرهای  $A$  ،  $B$  ، بنا به تعریف عبارت  
است از :

$$[A, B] = AB - BA \quad (B-26)$$

\* درست است که فضای هیلبرت  $L^2$  و فضای همزاد آن هم ریخت هستند ، ولی برای فضای  
تابع موج  $\mathcal{H}$  یک زیر فضا از  $L^2$  در نظر گرفته ایم ، که تشریح می کند چرا  $\mathcal{H}$  از  $\mathcal{H}$   
" بزرگتر " است .

فرض کنید  $\langle \varphi |$  و  $\langle \psi |$  دو کت باشند. حاصلضرب نردهای:

$$\langle \varphi | (A | \psi \rangle) \quad (B - ۲۷)$$

را عنصر ماتریسی  $A$  بین  $\langle \varphi |$  و  $\langle \psi |$  می‌نامیم. در نتیجه این عنصر، یک عدد است که بهطور خطی به  $\langle \psi |$  و بهطور ضد خطی به  $\langle \varphi |$  بستگی دارد.

### ۶. مثالهایی از عملگرهای خطی تصویرگرها

$\alpha$ ، گوشزد مهم در باره نمادگذاری دیراک.

در مطالب گذشته، کم کم به سهولت و راحتی نمادگذاری دیراک بی بردم. بدعنوان مثال  $\langle \varphi |$  معرف یک تابع خطی (یکبرا) و  $\langle \psi_1 | \psi_2 |$ ، معرف حاصلضرب نرداری دو کت  $\langle \psi_1 |$  و  $\langle \psi_2 |$  است. در این صورت عددی که توسط تابع خطی  $\langle \varphi |$  به کت دلخواه  $\langle \psi |$  وابسته می‌شود با پهلوی هم قراردادن نمادهای  $\langle \varphi |$  و  $\langle \psi |$ ، یعنی،  $\langle \psi | \varphi |$  نوشته می‌شود، این عدد حاصلضرب نرداری  $\langle \psi |$  در کت  $\langle \varphi |$  متناظر با  $\langle \varphi | \varphi |$  است (که بهمین جهت است که وجود یک تناظر یک بهیک بین کتها و براها مفید است).

حال فرض کنید که  $\langle \varphi |$  و  $\langle \psi |$  را به ترتیب عکس پتوییسیم:

$$|\psi\rangle\langle\varphi| \quad (B - ۲۸)$$

خواهیم دید که اگر بر قاعده پهلوی هم‌گذاشت نمادها استوار بمانیم، این عبارت معرف یک عملگر است. یک کت دلخواه  $\langle \chi |$  انتخاب کرده و عبارت زیر را در نظر بگیرید:

$$|\psi\rangle\langle\varphi|\chi\rangle \quad (B - ۲۹)$$

می‌دانیم که  $\langle \chi | \varphi |$  یک عدد مختلط است، در نتیجه، (B - ۲۹) کتی است، که از ضرب کردن  $\langle \psi |$  در عدد  $\langle \chi | \varphi |$ ، به دست آمده است. اگر  $\langle \psi | \varphi |$ ، بهیک کت دلخواه اعمال شود، یک کت دیگر می‌دهد. بنابراین یک عملگر است.

بناین ترتیب می‌بینیم که ترتیب نمادها از اهمیت تعیین کننده‌ای برخوردار است به خاطر خطی بودن فضای  $\mathcal{H}$  و عملگرهایی که به کار خواهیم بود، فقط اعداد مختلط را می‌توان بدون اشکال جابجا کرد. در واقع، اگر  $\beta$  یک عدد باشد، داریم:

$$\left\{ \begin{array}{l} |\psi\rangle\lambda = \lambda|\psi\rangle \\ \langle\psi|\lambda = \lambda\langle\psi| \\ A\lambda|\psi\rangle = \lambda A|\psi\rangle \quad (A \text{ یک عملگر خطی است}) \\ \langle\varphi|\lambda|\psi\rangle = \lambda\langle\varphi|\psi\rangle = \langle\varphi|\psi\rangle\lambda \end{array} \right. \quad (B-۳۰)$$

اما، برای کتها، براها و عملگرها، در موقع نوشتن فرمولها، باید ترتیب همواره بدقت رعایت شود؛ این امر، بهائی است که باید در قبال سادگی صورتیندی، دیراک، برداخت.

$\beta$ . تصویر گر  $P_{\psi}$  روی یک کت  $|\psi\rangle$

فرض کنید  $|\psi\rangle$  کتی باشد که بهیک بهنجار شده است:

$$\langle\psi|\psi\rangle = 1 \quad (B-۳۱)$$

عملگر  $P_{\psi}$  را که به صورت:

$$P_{\psi} = |\psi\rangle\langle\psi| \quad (B-۳۲)$$

تعریف شده است در نظر بگیرید و آنرا بهیک کت دلخواه  $|\varphi\rangle$  اعمال کنید:

$$P_{\psi}|\varphi\rangle = |\psi\rangle\langle\psi|\varphi\rangle \quad (B-۳۳)$$

$P_{\psi}$ ، وقتی روی یک کت دلخواه  $|\varphi\rangle$  عمل کند، یک کت متناسب با  $|\psi\rangle$  می‌دهد. ضریب متناسب  $|\psi|\varphi\rangle$ ، حاصلضرب نردازی  $|\varphi\rangle$  در  $|\psi\rangle$  است. بنابراین، مفهوم "هندسی"  $P_{\psi}$  روش است: عبارت است از عملگر "تصویر قائم" روی کت  $|\psi\rangle$ .

این عبارت توسط این واقعیت تأیید می‌شود که  $P_{\psi}^2 = P_{\psi}$  (دوبار تصویر کردن متوالی روی یک بردار معین معادل است با یک بار تصویر کردن). بروای دیدن این مطلب می‌نویسیم:

$$P_{\psi}^2 = P_{\psi}P_{\psi} = |\psi\rangle\langle\psi|\psi\rangle\langle\psi| \quad (B-۳۴)$$

در این رابطه،  $|\psi\rangle\langle\psi|$  عددی است برابر با ۱ فرمول (B-۳۱) . از این رو

$$P_{\psi}^2 = |\psi\rangle\langle\psi| = P_{\psi} \quad (B-35)$$

۷. تصویرگر روی یک زیر فضا

فرض کنید  $|\varphi_1\rangle, |\varphi_2\rangle, \dots, |\varphi_q\rangle$  بردار بهنجار شده و عمود بر یکدیگر باشند:

$$\langle\varphi_i|\varphi_j\rangle = \delta_{ij} \quad ; \quad i, j = 1, 2, \dots, q \quad (B-36)$$

زیر فضائی از  $\mathcal{H}$  را که توسط این  $q$  بردار پدید می‌آید به  $\mathcal{H}_q$  نمایش می‌دهیم.  
فرض کنید  $P_q$  عملگر خطی‌ای باشد که توسط رابطه زیر تعریف شده است:

$$P_q = \sum_{i=1}^q |\varphi_i\rangle\langle\varphi_i| \quad (B-37)$$

$P_q^2$  را محاسبه کنیم.

$$P_q^2 = \sum_{i=1}^q \sum_{j=1}^q |\varphi_i\rangle\langle\varphi_i|\varphi_j\rangle\langle\varphi_j| \quad (B-38)$$

با استفاده از (B-36)، خواهیم داشت:

$$P_q^2 = \sum_{i=1}^q \sum_{j=1}^q |\varphi_i\rangle\langle\varphi_i|\delta_{ij} = \sum_{i=1}^q |\varphi_i\rangle\langle\varphi_i| = P_q \quad (B-39)$$

بنابراین،  $P_q$  یک تصویرگر است. به آسانی می‌توان دید که  $P_q$ ، روی زیر فضای  $\mathcal{H}_q$  تصویر می‌کند، زیرا برای هر  $\psi \in \mathcal{H}$  داریم:

$$P_q|\psi\rangle = \sum_{i=1}^q |\varphi_i\rangle\langle\varphi_i|\psi\rangle \quad (B-40)$$

وقتی  $P_q$  روی  $\mathcal{H}$  عمل کند، بر همنهش خطی تصاویر  $|\psi\rangle$  را  $|\varphi_i\rangle$  های مختلف یعنی، تصویر  $|\psi\rangle$  روی زیر فضای  $\mathcal{H}_q$  را به دست می‌دهد.

### ۳- سمیونگ کردن شرمنی

۴- عمل یک عملگر خطی روی یک برا

تا کنون، فقط عمل یک عملگر خطی  $A$  روی کنها را تعریف کردیم، اکنون خواهیم دید که می‌توان عمل  $A$  روی براها را نیز تعریف کرد.

فرض کنید که  $|\varphi\rangle$ ، یک برای کاملاً "معین باشد، و مجموعه تمام کتهای  $|\psi\rangle$  را در نظر بگیرید. به هریک از این کتهای  $|\psi\rangle$  می‌توان عدد مختلط  $\langle\psi|A|\varphi\rangle$  را، که قبلاً به عنوان عنصر ماتریسی  $A$  بین  $|\varphi\rangle$  و  $|\psi\rangle$  تعریف شده بود، وابسته کرد. چون  $A$  خطی است و حاصل ضرب نداری به طور خطی بهشتی بستگی دارد، عدد  $\langle\psi|A|\varphi\rangle$  به طور خطی به  $|\psi\rangle$  بستگی خواهد داشت. به این ترتیب، برای  $|\varphi\rangle$  و  $A$  ثابت، می‌توانیم به هر کت  $|\psi\rangle$  یک عدد وابسته کنیم که به طور خطی به  $|\psi\rangle$  بستگی داشته باشد. بنابراین مشخص کردن  $|\varphi\rangle$  و  $A$ ، تابع خطی جدیدی روی کتهای  $\varphi$ ، یعنی، یک برای جدید متعلق به  $|\varphi\rangle$ ، تعریف می‌کند. این برای جدید را با  $|A|\varphi\rangle$  نمایش خواهیم داد از این رو روابطی که  $|A|\varphi\rangle$  را تعریف می‌کند، می‌تواند به صورت زیر نوشته شود:

$$\langle\langle\varphi|A|\psi\rangle = \langle\varphi|(A|\psi)\rangle \quad (B - 41)$$

عملگر  $A$  به برای  $|\varphi\rangle$  یک برای جدید  $|A|\varphi\rangle$  وابسته می‌کند. حال شان می‌دهیم که ارتباط خطی است. برای این منظور، یک ترکیب خطی از برآهای  $|\varphi_1\rangle$  و  $|\varphi_2\rangle$  در نظر بگیرید:

$$\langle\chi| = \lambda_1\langle\varphi_1| + \lambda_2\langle\varphi_2| \quad (B - 42)$$

(که معنی آن عبارت است از:  $\langle\chi|\psi\rangle = \lambda_1\langle\varphi_1|\psi\rangle + \lambda_2\langle\varphi_2|\psi\rangle$ ) از (B - 41)، داریم:

$$\begin{aligned} \langle\langle\chi|A|\psi\rangle &= \langle\chi|(A|\psi)\rangle \\ &= \lambda_1\langle\varphi_1|(A|\psi)\rangle + \lambda_2\langle\varphi_2|(A|\psi)\rangle \\ &= \lambda_1\langle\langle\varphi_1|A|\psi\rangle + \lambda_2\langle\langle\varphi_2|A|\psi\rangle \end{aligned} \quad (B - 43)$$

چون  $|\psi\rangle$  دلخواه است، نتیجه می‌شود:

$$\begin{aligned} \langle\chi|A &= (\lambda_1\langle\varphi_1| + \lambda_2\langle\varphi_2|)A \\ &= \lambda_1\langle\varphi_1|A + \lambda_2\langle\varphi_2|A \end{aligned} \quad (B - 44)$$

بنابراین، معادله (B - 41)، یک عمل خطی روی برآها تعریف می‌کند. برای  $|\varphi\rangle$  برائی است که از عمل عملگر خطی  $A$  روی برای  $|\varphi\rangle$  حاصل شده است.

## گوشزده :

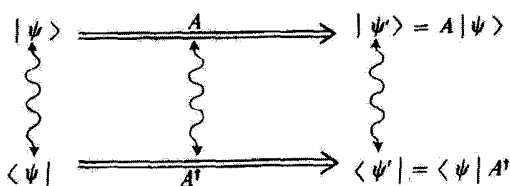
(i) از تعریف (B-۴۱) برای  $\langle \varphi | A | \psi \rangle$  ، ملاحظه می‌کیم که محل پرانتزها در نمادی که عنصر ماتریسی  $A$  بین  $\langle \varphi |$  و  $\langle \psi |$  را تعریف می‌کند اهمیتی ندارد . لذا ، از این به بعد این عنصر ماتریسی را توسط نماد  $\langle \varphi | A | \psi \rangle$  نمایش خواهیم داد :

$$\langle \varphi | A | \psi \rangle = (\langle \varphi | A) | \psi \rangle = \langle \varphi | (A | \psi \rangle) \quad (B-45)$$

(ii) ترتیب نسبی  $\langle \varphi |$  و  $A$  ، در نماد  $\langle \varphi | A$  بسیار اهمیت دارد (رك بخش ۳-۲ در بالا) ، باید بتوسیم  $\langle A | \varphi \rangle$  و نه  $\langle \varphi | A$  : اگر  $\langle \varphi | A$  روی یک کت  $\langle \psi |$  عمل کند عدد  $\langle \psi | A | \varphi \rangle$  رامی دهد ، بنابراین ،  $\langle A | \varphi \rangle$  در واقع یک برا است . از طرف دیگر ، اگر  $\langle \varphi | A$  بریک کت  $\langle \psi |$  عمل کند  $\langle \psi | \varphi | A$  را ، یعنی یک عملگر (عملگر  $A$  ضربدر عدد  $\langle \psi | \varphi \rangle$ ) خواهد داد . ما تا کنون هیچ شیئی ریاضی از این نمونه تعریف نکرده‌ایم (لذا  $\langle \varphi | A$  دارای هیچ معنایی نیست) .

۶ - عملگر الحاقی  $A^\dagger$  ، وابسته به یک عملگر خطی  $A$  .

اکنون خواهیم دید که ارتباط بین کتها و براها ، که در بخش ۳-۲ مطالعه کردیم ، ما را قادر می‌سازد تا به هر عملگر خطی  $A$  یک عملگر خطی دیگر  $A^\dagger$  ، که عملگر الحاقی (یا همیوغ هرمیتی)  $A$  نامیده می‌شود ، وابسته کنیم . فرض کنید ،  $\langle \psi |$  یک کت دلخواه از  $\mathcal{H}$  باشد . عملگر  $A$  یک کت دیگر  $\langle \psi' | = A | \psi \rangle$  از  $\mathcal{H}$  به آن وابسته می‌کند (شکل ۲) .



شکل ۲.

تعریف عملگر الحاقی  $A^\dagger$  وابسته به یک عملگر  $A$  با استفاده از تناظر بین کتها و براها با کت  $\langle \psi |$  ، یک برای  $| \psi \rangle$  متناظراست ، بهمین طریق با  $\langle \psi |$  کت  $\langle \psi' |$

متناظر است. بهاین ترتیب این ارتباط بین کتها و برآها، بهما اجازه می‌دهد تا عمل عملگر  $A'$  روی برآها را تعریف کیم: عملگر  $A'$ ، بهبرای  $|\psi\rangle$  می‌متناظر باشد  $\langle\psi|$ ، برای  $|\psi'\rangle$  می‌متناظر باشد  $\langle\psi'|A\rangle = \langle\psi'|\psi\rangle$  را وابسته می‌کند. می‌نویسیم:  $|\psi\rangle = \langle\psi|A'$  حال نشان می‌دهیم که رابطه  $|A'\psi\rangle = |\psi'\rangle$  خطی است. می‌دانیم که، برای  $|\psi_1\rangle + \lambda_2|\psi_2\rangle$  می‌متناظر است باشد  $\langle\psi_1| + \lambda_2^*|\psi_2|$  (ارتباط بین یک برآ و یک کت، ضد خطی است). عملگر  $A'$ ، کت  $\langle\psi_2| + \lambda_2^*|\psi_1|$  را به کت  $\langle\psi_2| + \lambda_2^*|\psi_1| + \lambda_1^*A|\psi_1\rangle + \lambda_2^*A|\psi_2\rangle = \lambda_1^*|\psi_1\rangle + \lambda_2^*|\psi_2\rangle$  تبدیل می‌کند. بالاخره با این کت، برای زیر متناظر است:

$$\lambda_1\langle\psi_1| + \lambda_2\langle\psi_2| = \lambda_1\langle\psi_1|A' + \lambda_2\langle\psi_2|A'$$

از این مطلب، نتیجه می‌گیریم که:

$$(\lambda_1\langle\psi_1| + \lambda_2\langle\psi_2|)A' = \lambda_1\langle\psi_1|A' + \lambda_2\langle\psi_2|A' \quad (B - 46)$$

بنابراین،  $A'$  یک عملگر خطی است، که توسط فرمول زیر تعریف می‌شود:

$$|\psi'\rangle = A|\psi\rangle \iff \langle\psi'| = \langle\psi|A^* \quad (B - 47)$$

به سادگی، از (B - 47) رابطه مهم دیگری که توسط عملگر  $A'$  ارضا می‌شود، نتیجه می‌شود. با استفاده از خواص حاصلضرب تردی، همواره می‌توان نوشت:

$$\langle\psi'|\phi\rangle = \langle\phi|\psi'\rangle^* \quad (B - 48)$$

که در آن  $\langle\phi|$  یک کت دلخواه از  $\mathcal{H}$  است. با استفاده از عبارتهای (B - 47) برای  $\langle\psi|$  و  $|\psi'\rangle$ ، نتیجه می‌گیریم:

$$\langle\psi|A^*|\phi\rangle = \langle\phi|A|\psi\rangle^* \quad (B - 49)$$

رابطه‌ای که برای تمام  $|\phi\rangle$  ها و  $|\psi\rangle$  ها معتبر است.

کوشزد در باره نمادگذاری  $\text{tr}$

در سالا نمادگذاری ای را ذکر کردیم که می‌تواند به اشتباه بینجامد.

اینها عبارتند از  $\langle \psi | A | \psi \rangle$  و  $\langle A\psi |$  یک عدد است فرمولهای (B-۷) و (B-۸) همین مشکل، با عبارتهای  $\langle A\psi | A\psi \rangle$  و  $\langle A\psi |$  که در آنها  $A$  یک عملگر خطی است، پیش می‌آید.  $\langle A\psi | A\psi \rangle$  طریقه دیگری برای نشان دادن کت است:

$$\langle A\psi | = A|\psi\rangle \quad (B-50)$$

$\langle A\psi |$  عبارت است از برای وابسته به کت  $\langle \psi | A$ . با استفاده از (B-۵۰) و (B-۴۷)، ملاحظه می‌کنیم که:

$$\langle A\psi | = \langle \psi | A^t \quad (B-51)$$

وقتی یک عملگر خطی  $A$  را از داخل نماد برا خارج می‌کنیم. باید آنرا با الحاقی  $A^t$ ، حایگرین کنیم (و در سمت راست برا قرار دهیم).

### ۳- ارتباط بین یک عملگر و الحاقی آن

با استفاده از (B-۴۷) یا (B-۴۹)، بمسادگی می‌توان نشان داد که:

$$(A^t)^t = A \quad (B-52)$$

$$(\lambda A)^t = \lambda^* A^t \quad (\lambda \text{ یک عدد است}) \quad (B-53)$$

$$(A + B)^t = A^t + B^t \quad (B-54)$$

حال  $(AB)^t$  را محاسبه کنیم. برای این منظور، کت  $\langle \varphi | \psi \rangle = AB|\psi\rangle$  را در نظر می‌گیریم. با قراردادن  $\langle \psi | \chi \rangle = B|\chi\rangle$ ، آنرا به صورت  $\langle \varphi | \chi \rangle = A|\chi\rangle$  می‌نویسیم. در این صورت داریم:

$$\langle \varphi | = \langle \psi | (AB)^t = \langle \chi | A^t = \langle \psi | B^t A^t$$

زیرا  $\langle \psi | B^t \rangle = \langle \psi | B$ . از اینجا نتیجه می‌شود:

$$(AB)^t = B^t A^t \quad (B-55)$$

توجه کنید که وقتی الحاقی حاصلضرب عملگرهای را می‌گیریم، ترتیب آنها عوض می‌شود.

گوشزد :

چون  $A = (A^\dagger)^\dagger$  ، می‌توان ، با استفاده از  $(B - ۵۱)$  ، نوشت :

$$\langle A^\dagger \phi | = \langle \phi | (A^\dagger)^\dagger = \langle \phi | A$$

بنابراین طرف چپ  $(B - ۴۱)$  می‌تواند به صورت  $\langle \psi | A^\dagger \phi \rangle$  بازنویسی شود . به همین طریق ، طرف راست همین معادله می‌تواند ، با نمادگذاری  $(B - ۵۰)$  ، به صورت  $\langle \psi | A \phi \rangle$  نوشته شود . ازین مطلب معادله زیرنتیجه می‌شود که بعضی اوقات برای تعریف عملگر الحاقی  $A$  ، یعنی  $A^\dagger$  ، به کار می‌رود :

$$\langle A^\dagger \phi | \psi \rangle = \langle \phi | A \psi \rangle \quad (B - ۵۶)$$

#### ۴ - همیوغ هرمیتی گردن در نمادگذاری دیراک

در بخش گذشته ، با استفاده از ارتباط بین کتها و براها ، مفهوم عملگر الحاقی را وارد کردیم . یک کت  $\langle \psi |$  و برای  $|\psi\rangle$  متناظر با آنرا ، "همیوغهای هرمیتی" یکدیگر گوییم . عمل همیوغ هرمیتی گردن ، در شکل ۲ توسط پیکانهای موج دار نشان داده شده است ، ملاحظه می‌کنیم که این عمل  $A^\dagger$  را به  $A$  وابسته می‌سازد . به این دلیل است که  $A$  نیز همیوغ هرمیتی عملگر  $A^\dagger$  نامیده می‌شود .

عمل همیوغ هرمیتی گردن ترتیب موجودهای را که به آنها اعمال می‌شود ، عوض می‌کند . لذا در شکل ۲ می‌بینیم که  $\langle \psi | A^\dagger | \psi \rangle$  به  $\langle \psi | A | \psi \rangle$  تبدیل می‌شود . کت  $\langle \psi |$  به  $| \psi \rangle$  و  $A^\dagger$  به  $A$  تبدیل شده است . علاوه بر این ، ترتیب وارونه می‌شود . به همین طریق ، در  $(B - ۵۵)$  ، دیدیم که همیوغ هرمیتی حاصل ضرب دو عملگر برابر است با حاصل ضرب همیوغهای هرمیتی آنها که به ترتیب عکس قرار گرفته باشند . بالاخره ، نشان می‌دهیم که :

$$(|u\rangle \langle v|)^\dagger = |v\rangle \langle u| \quad (B - ۵۷)$$

$(|u\rangle \langle u| + |v\rangle \langle v|)$  با  $(|u\rangle \langle u|)$  جایگزین شده و ترتیب آنها عوض شده است ) . با اعمال رابطه  $(B - ۴۹)$  به عملگر  $|v\rangle \langle u|$  ، داریم :

$$\langle \psi | (|u\rangle \langle v|)^\dagger | \phi \rangle = [\langle \phi | (|u\rangle \langle v|) | \psi \rangle]^* \quad (B - ۵۸)$$

حال ، اگر از خاصیت  $(B - ۹)$  حاصل ضرب نرداری استفاده کنیم ، داریم :

$$[\langle \varphi | (| u \rangle \langle v |) | \psi \rangle]^* = \langle \varphi | u \rangle^* \langle v | \psi \rangle^* = \langle \psi | v \rangle \langle u | \varphi \rangle \quad (B - 59)$$

$$= \langle \psi | (| v \rangle \langle u |) | \varphi \rangle$$

از مقایسه (B - 58) و (B - 59)، رابطه (B - 57) بدست می‌آید.  
 می‌ماند نتیجه عمل همیوغ هرمیتی کودن روی یک ثابت، که باید پیدا کنیم. از (B - 53) و (B - 6) ملاحظه می‌کنیم که این عمل را به‌جز تبدیل می‌کند (همیوغ مختلط)، این امر با این واقعیت که  $\langle \psi | \varphi \rangle^* = \langle \varphi | \psi \rangle$ ، مطابقت دارد.  
 بنابراین، همیوغ هرمیتی یک کث، یک برا است و بالعکس، همیوغ هرمیتی بک عملگر، الحقیقی آن، و همیوغ هرمیتی یک عدد، همیوغ مختلط آن است. در نمادگذاری دیراک، عمل همیوغ هرمیتی کودن، بسیار ساده است، کافی است قاعده زیر را به کار بندیم:

### قاعده

برای بدست آوردن همیوغ هرمیتی (یا الحقیقی) هر عبارت، شامل ثابتها، کتها، برآها و عملگرها، باید:

ثابتها را با همیوغ های مختلطشان	}
کتها را با برآهای وابسته به آنها	
برآها را با کتها را با کتها وابسته به آنها	

عملگرها را با الحقیقیها یشان

جایگزین کنیم

ترتیب فاکتورها را معکوس کنیم (با وجود این، محل ثابتها هیچ اهمیتی ندارد).

### مثالها:

الحقیقی این عملگر با استفاده از قاعده فوق به صورت:  $\lambda \langle u | A | v \rangle | w \rangle \langle \psi |$   
 بدست می‌آید که می‌تواند با تغییردادن محل  $\lambda^*$  و  $| v | A' | u \rangle$ ، به صورت  $\lambda^* \langle v | A' | u \rangle | \psi \rangle \langle w |$  نیز نوشته شود.

به همین طریق،  $\lambda \langle u | v \rangle | w \rangle \langle \psi |$  یکث است (و  $| v | w \rangle$  ثابتند).

برای همیوغ عبارت است از  $\lambda^* \langle w | v \rangle \langle u | \lambda^* | \psi \rangle \langle w |$ ، که می‌تواند به صورت  $| u | \lambda^* | \psi \rangle \langle w |$  نیز نوشته شود.

## ۶ - عملگرهای هرمیتی

یک عملگر  $A$  را هرمیتی گوئیم اگر باللحاقی اش برابر باشد، یعنی، اگر:

$$A = A^* \quad (B-60)$$

با ترکیب  $(B-60)$  و  $(B-49)$ ، می‌بینیم که یک عملگر هرمیتی در رابطه زیر صدق می‌کند:

$$\langle \psi | A | \varphi \rangle = \langle \varphi | A | \psi \rangle^* \quad (B-61)$$

که برای تمام  $\langle \varphi |$  ها و  $\langle \psi |$  ها معتبر است.  
بالاخره، برای یک عملگر هرمیتی،  $(B-56)$  به صورت زیر در می‌آید:

$$\langle A\varphi | \psi \rangle = \langle \varphi | A\psi \rangle \quad (B-62)$$

بعداً، وقتی به مسئله ویژه مقدارها و ویژه بردارها بپردازیم، عملگرهای هرمیتی را دقیقتر بررسی خواهیم کرد. بعلاوه، در فصل سوم، خواهیم دید که عملگرهای هرمیتی نقشی اساسی در مکانیک کوانتومی بازی می‌کنند.

اگر فرمول  $(B-52)$  بهمودی که در آن  $\langle u | = | v \rangle = | \psi \rangle = | \psi \rangle^*$  اعمال شود، مشاهده می‌کنیم که تصویرگر  $| \psi \rangle \langle \psi | = P_\psi$  هرمیتی است:

$$P_\psi^* = | \psi \rangle \langle \psi | = P_\psi \quad (B-63)$$

گوشزد:

حاصلضرب دو عملگر هرمیتی  $A$  و  $B$  فقط زمانی هرمیتی است که  
 $[A, B] = 0$  در واقع، اگر  $A = A^*$  و  $B = B^*$  باشد، می‌توان با استفاده از  
 $(AB)^* = B^*A^* = BA$  نشان داد که  $[AB] = 0$  است که تنها وقتی با  $AB$  برابر است که  $[A, B] = 0$ .

### C - نمایشها در فضای حالتها

/ — مقدمه

#### ۱ - تعریف یک نمایش

انتخاب یک نمایش به معنای انتخاب یک پایه راست هنجار، چهگسته و چهپیوسته، در فضای حالت‌های  $\mathcal{H}$  است. در این صورت، بردارها و عملگرها، در این پایه، توسط اعداد نمایش داده می‌شوند؛ مولفه‌ها برای بردارها، عناصر ماتریسی برای عملگرها. محاسبه برداری معرفی شده در بخش B، به محاسبه ماتریسی روی این اعداد تبدیل می‌شود. انتخاب یک نمایش، علی‌الاصول، دلخواه است. در واقع، آشکارا به‌مسئله خاص مورد مطالعه بستگی دارد؛ در هر مورد، نمایشی را انتخاب می‌کنیم که به ساده‌ترین محاسبات منجر شود.

#### ۲ - هدف بخش C

می‌خواهیم، با استفاده از نعادگذاری دیراک، و برای هر فضای دلخواه  $\mathcal{H}$ ، بار دیگر کلیه مفاهیم معرفی شده در بخش‌های ۲-A و ۳-A برای پایه‌های گسته و پیوسته  $\mathcal{H}$ ، را مورد بررسی قرار دهیم.  
دو رابطه مشخصه یک پایه را در نعادگذاری دیراک خواهیم نوشت؛ روابط راست هنجاری و بستاری. سپس نشان خواهیم داد که چگونه می‌توان با استفاده ازین دورابطه، تمام مسائل مربوط به یک نمایش و تبدیل از یک نمایش به‌نمایش دیگر را حل کرد.

#### ۳ - روابط مشخصه یک پایه راست هنجار

#### ۴ - رابطه راست هنجاری

یک مجموعه از کتها، گسته ( $\{|u_i\rangle\}_{i=1}^{\infty}$ ) یا پیوسته ( $\{|w_i\rangle\}_{i=1}^{\infty}$ )، را راست هنجار گویند اگر کتهای این مجموعه در رابطه راست هنجاری زیر صدق کنند:

$$\langle u_i | u_j \rangle = \delta_{ij} \quad (C-1)$$

یا:

$$\langle w_x | w_{x'} \rangle = \delta(x - x') \quad (C-2)$$

می‌توان دید که، برای یک مجموعه پیوسته،  $\langle w_\alpha | w_{\alpha'} \rangle$  وجودندارد:  $\langle w_\alpha | w_{\alpha'} \rangle$  دارای هنجار بینهایت است و از این‌رو متعلق به  $\mathcal{H}$  نیست. معذالک، بودارهای  $\mathcal{H}$  می‌توانند برحسب  $\langle w_\alpha |$  بسط داده شوند. در نتیجه، مفید است که  $\langle w_\alpha |$  ها را به عنوان کتهای تعمیم یافته قبول کنیم (وک بحث‌های بخش‌های ۳-۲-۳ و A-۲-۳).

## ۶- رابطه بستاری

یک مجموعه گستته  $\{u_i\}$ ، با پیوسته،  $\{w_\alpha\}$ ، تشکیل یک پایه می‌دهند اگر هر کت  $\langle \psi |$  متعلق به  $\mathcal{H}$  دارای یک بسط منحصر بفرد روی  $\langle u_i |$  یا  $\langle w_\alpha |$  باشد.

$$|\psi\rangle = \sum_i c_i |u_i\rangle \quad (C-3)$$

$$|\psi\rangle = \int d\alpha c(\alpha) |w_\alpha\rangle \quad (C-4)$$

علاوه بر این، فرض می‌کنیم که پایه راست هنجار باشد. لذا هردو طرف (C-3) را در  $\langle u_j |$  و هردو طرف (C-4) را در  $\langle w_\alpha |$  ضرب نردازی می‌کنیم. با استفاده از (C-1) (C-2) یا (C-3)، عباراتی برای مولفه‌های  $c_i$  یا  $c(\alpha')$  به صورت زیر بدست می‌آوریم:

$$\langle u_j | \psi \rangle = c_j \quad (C-5)$$

$$\langle w_\alpha | \psi \rangle = c(\alpha') \quad (C-6)$$

سپس در (C-3)،  $c_i$  را با  $\langle u_i | \psi \rangle$ ، در (C-4)،  $c(\alpha')$  را با  $\langle w_\alpha | \psi \rangle$  جایگزین می‌کنیم:

$$\begin{aligned} |\psi\rangle &= \sum_i c_i |u_i\rangle = \sum_i \langle u_i | \psi \rangle |u_i\rangle \\ &= \sum_i |u_i\rangle \langle u_i | \psi \rangle = \left( \sum_i |u_i\rangle \langle u_i| \right) |\psi\rangle \end{aligned} \quad (C-7)$$

$$\begin{aligned} |\psi\rangle &= \int d\alpha \, c(\alpha) |w_\alpha\rangle = \int d\alpha \langle w_\alpha | \psi \rangle |w_\alpha\rangle \\ &= \int d\alpha |w_\alpha\rangle \langle w_\alpha | \psi \rangle = \left( \int d\alpha |w_\alpha\rangle \langle w_\alpha| \right) |\psi\rangle \end{aligned} \quad (C-8)$$

[چون، در (C-۷)، می‌توانیم عدد  $\langle \psi | u_i \rangle$  را بعداز کت  $\langle u_i |$  قواردهیم، بهمین طریق می‌توانیم، در (C-۸)، عدد  $\langle \psi | w_\alpha \rangle$  را بعداز کت  $\langle w_\alpha |$  قواردهیم.]

بعاین ترتیب، می‌بینیم که دو عملگر ظاهر می‌شوند:  $\sum_i |u_i\rangle \langle u_i|$  و  $\int d\alpha |w_\alpha\rangle \langle w_\alpha|$  این عملگرها اگر روی هر کت  $|\psi\rangle$  متعلق به  $\mathcal{H}$  عمل کنند، همان کت  $|\psi\rangle$  را می‌دهند. چون  $|\psi\rangle$  دلخواه است، نتیجه می‌شود:

$$P_{(u_i)} = \sum_i |u_i\rangle \langle u_i| = \mathbb{1} \quad (C-9)$$

$$P_{(w_\alpha)} = \int d\alpha |w_\alpha\rangle \langle w_\alpha| = \mathbb{1} \quad (C-10)$$

که در آن،  $\mathbb{1}$ ، معروف عملگر همانندی در  $\mathcal{H}$  است. رابطه (C-۹)، یا (C-۱۰)، یا (C-۱۱)، رابطه بستاری نامیده می‌شود. متقابلاً، نشان می‌دهیم که روابط (C-۹) و (C-۱۰) بیان می‌دارند که هرگدام از مجموعه‌های  $\{|u_i\rangle\}$  و  $\{|w_\alpha\rangle\}$  یک پایه تشکیل می‌دهند. برای هر  $|\psi\rangle$  متعلق به  $\mathcal{H}$ ، می‌توانیم بنویسیم:

$$\begin{aligned} |\psi\rangle &= \mathbb{1} |\psi\rangle = P_{(u_i)} |\psi\rangle = \sum_i |u_i\rangle \langle u_i| \psi \rangle \\ &= \sum_i c_i |u_i\rangle \end{aligned} \quad (C-11)$$

با:

$$c_i = \langle u_i | \psi \rangle \quad (C-12)$$

بهمین طریق:

$$\begin{aligned} |\psi\rangle &= \mathbb{1} |\psi\rangle = P_{(w_\alpha)} |\psi\rangle = \int d\alpha |w_\alpha\rangle \langle w_\alpha| \psi \rangle \\ &= \int d\alpha \, c(\alpha) |w_\alpha\rangle \end{aligned} \quad (C-13)$$

با:

$$c(\alpha) = \langle w_\alpha | \psi \rangle \quad (C-14)$$

بنابراین، هرکت  $\psi$  دارای یک بسط منحصر بفرد روی  $|u_i\rangle$  یا روی  $|w_\alpha\rangle$  است لذا هریک از این دو مجموعه یک پایه تشکیل می‌دهند، یک پایه گسته یا یک پایه پیوسته. همچنین می‌بینیم که رابطه  $(C-9)$ ، یا  $(C-10)$ ، بهما اجازه می‌دهد که عبارات  $(C-12)$  و  $(C-14)$  برای مولفه‌های  $e_1$  و  $e_2$  را، بهسادگی، فوراً بدست آوریم.

گوشزدستا:

(i) بعداً (در بخش B) خواهیم دید که، در مورد فضای  $\mathcal{H}$ ، روابط  $(A-32)$  و  $(A-52)$  می‌توانند بهسادگی از  $(C-9)$  و  $(C-10)$  استنتاج گردند.

(ii) تعبیر هندسی رابطه بستاری

از بحث بخش b-3-B، ملاحظه می‌کنیم که  $|u_i\rangle \langle u_i|$  یک تصویرگر است:

تصویرگر روی زیرفضای  $\mathcal{H}$  که توسط  $|u_1\rangle \langle u_1|, |u_2\rangle \langle u_2|, \dots, |u_i\rangle \langle u_i| \dots$  پیدید آمده است، اگر  $|u_i\rangle$  ها یک پایه تشکیل بدهند، هر کت از  $\mathcal{H}$  می‌تواند روی  $|u_i\rangle$  ها بسط داده شود، دراین صورت زیرفضای  $\mathcal{H}$  با خود فضای  $\mathcal{H}$  یکسان است. درنتیجه، عادی است که  $|u_i\rangle \langle u_i|$  برابر با عملگر همانندی باشد؛ تصویر کردن یک کت متعلق به  $\mathcal{H}$  روی  $\mathcal{H}$  آن کت را تغییر نمی‌دهد، همین استدلال می‌تواند به  $|w_\alpha\rangle \langle w_\alpha|$  اعمال شود.

اکنون می‌توانیم همارز رابطه بستاری را برای فضای سهبعدی هندسه معمولی،  $R^3$ ، پیدا کنیم، اگر  $e_1, e_2$  و  $e_3$  سهبردار راست هنجار این فضاو،  $P_1, P_2$  و  $P_3$  تصویرگرهای روی این سهبردار باشند، این واقعیت که  $\{e_1, e_2, e_3\}$  تشکیل یک پایه در  $R^3$  می‌دهند، توسط رابطه زیر بیان می‌شود:

$$P_1 + P_2 + P_3 = \mathbb{1} \quad (C-15)$$

از طرف دیگر  $\{e_1, e_2\}$  یک مجموعه راست هنجار تشکیل می‌دهند ولی یک پایه  $R^3$  نیستند. این مطلب توسط این واقعیت بیان می‌شود که تصویرگر  $P_1 + P_2$  (که روی صفحه  $e_1$  و  $e_2$ ، تصویر می‌کند) برابر  $\mathbb{1}$  نیست، به عنوان مثال

$$(P_1 + P_2)e_3 = 0$$

جدول (۲-۷) تنها فرمولهای اساسی لازم برای هر محاسبه‌ای را که باید در نمایش  $\{ |w_\alpha\rangle \}$  یا  $\{ |u_i\rangle \}$  انجام شود، خلاصه می‌کند.

نمایش $\{  u_i\rangle \}$	نمایش $\{  w_\alpha\rangle \}$
$\langle u_i   u_j \rangle = \delta_{ij}$	$\langle w_\alpha   w_{\alpha'} \rangle = \delta(\alpha - \alpha')$
$P_{\{u_i\}} = \sum_i  u_i\rangle \langle u_i  = \mathbb{I}$	$P_{\{w_\alpha\}} = \int d\alpha  w_\alpha\rangle \langle w_\alpha  = \mathbb{I}$

### ۳- نمایش‌گذاری و براحتی

#### a- نمایش‌گذاری

در پایه  $\{ |u_i\rangle \}$ ، کت  $\langle \psi |$  توسط مولفه‌هایش، یعنی، توسط مجموعه اعداد  $c_i = \langle u_i | \psi \rangle$ ، نمایش داده می‌شود. این اعداد را بهطور عمودی مرتب می‌کنند تا یک ماتریس یک ستونی (و عموماً بینهایت سطر) تشکیل دهند.

$$\begin{pmatrix} \langle u_1 | \psi \rangle \\ \langle u_2 | \psi \rangle \\ \vdots \\ \langle u_i | \psi \rangle \\ \vdots \end{pmatrix} \quad (C-16)$$

در پایه  $\{ |w_\alpha\rangle \}$ ، کت  $\langle \psi |$  توسط بینهایت عدد پیوسته،  $c(\alpha) = \langle w_\alpha | \psi \rangle$ ، یعنی، توسط یکتابع از  $\alpha$ ، نمایش داده می‌شود. در این صورت می‌توان یکمحور عمودی رسم کرد، و در طول آن مقادیر مختلف ممکن  $\alpha$  را قرار داد. با هر یک از این مقادیر، یک عدد،  $\langle \psi | w_\alpha \rangle$ ، متناظر است.

$$\alpha \downarrow \begin{pmatrix} \vdots \\ \langle w_\alpha | \psi \rangle \\ \vdots \end{pmatrix} \quad (C-17)$$

## ۶ - نمایش برآها

فرض کنید  $|\varphi\rangle$ ، یک برای دلخواه باشد. در پایه  $\{ |u_i\rangle\}$ ، می‌توان نوشت:

$$\langle \varphi | = \langle \varphi | \mathbb{1} = \langle \varphi | P_{(u_i)} = \sum_i \langle \varphi | u_i \rangle \langle u_i | \quad (C-18)$$

$|\varphi\rangle$  دارای یک بسط منحصر بفرد روی برآهای  $|u_i\rangle$  است، مؤلفه‌های  $|\varphi\rangle$ ، یعنی  $b_i = \langle u_i | \varphi \rangle$  همیوغ‌های مختلط مؤلفه‌های کت  $\langle \varphi |$  را بسته به  $|\varphi\rangle$ ، یعنی  $b_i = \langle u_i | \varphi \rangle$  باشد.

به همین طریق، در پایه  $\{ |w_\alpha\rangle\}$ ، خواهیم داشت:

$$\langle \varphi | = \langle \varphi | \mathbb{1} = \langle \varphi | P_{(w_\alpha)} = \int d\alpha \langle \varphi | w_\alpha \rangle \langle w_\alpha | \quad (C-19)$$

مؤلفه‌ای  $|\varphi\rangle$ ، یعنی  $\langle \varphi | w_\alpha \rangle$ ، همیوغ‌های مختلط مؤلفه‌های کت  $\langle \varphi |$  را بسته به  $|\varphi\rangle$ ، یعنی  $b(\alpha) = \langle w_\alpha | \varphi \rangle$  باشد.

توافق کرد مایم که مؤلفه‌های یک کت را به طور عمودی مرتب کنیم. قبل از تشریح اینکه چگونه مؤلفه‌های یک برا را مرتب کنیم، نشان می‌دهیم که چگونه رابطه بستاری ما را قادر می‌سازد تا به سادگی حاصلضرب نرداری دوکت را بر حسب مؤلفه‌ایشان به دست آوریم. می‌دانیم که همیشه می‌توان در عبارت حاصلضرب نرداری،  $|\psi\rangle$  را بین  $|\varphi\rangle$  و  $|\psi\rangle$  قرارداد:

$$\begin{aligned} \langle \varphi | \psi \rangle &= \langle \varphi | \mathbb{1} | \psi \rangle = \langle \varphi | P_{(u_i)} | \psi \rangle \\ &= \sum_i \langle \varphi | u_i \rangle \langle u_i | \psi \rangle = \sum_i b_i^* c_i \end{aligned} \quad (C-20)$$

به همین طریق:

$$\begin{aligned} \langle \varphi | \psi \rangle &= \langle \varphi | \mathbb{1} | \psi \rangle = \langle \varphi | P_{(w_\alpha)} | \psi \rangle \\ &= \int d\alpha \langle \varphi | w_\alpha \rangle \langle w_\alpha | \psi \rangle = \int d\alpha b^*(\alpha) c(\alpha) \end{aligned} \quad (C-21)$$

اکنون مؤلفه‌ای  $|\varphi\rangle$  برای  $|\varphi\rangle$  را به طور افقی مرتب کنیم تا یک ماتریس سطروی (ماتریسی که یک سطر و بی‌نهایت ستون دارد) به دست آید:

$$(\langle \varphi | u_1 \rangle \quad \langle \varphi | u_2 \rangle \quad \dots \quad \langle \varphi | u_i \rangle \quad \dots) \quad (C-22)$$

به کاربردن این قوارداد،  $\langle \psi | \varphi \rangle$  عبارت است از حاصلضرب ماتریسی یک ماتریس ستونی که نشان دهنده  $\langle \psi |$  است، در یک ماتریس سطروی که معرف  $|\varphi\rangle$  است. نتیجه عبارت از

ماتریسی است که دارای یک سطر و یک ستون، یعنی، یک عدد، است.  
در پایه  $\langle \psi | \varphi \rangle$  دارای بینهایت مؤلفه پیوسته  $\langle \psi | w_\alpha | \varphi \rangle$  است.  
مقادیر مختلف  $w_\alpha$  در طول یک محور افقی قرار داده می‌شوند. به هر یک ازین مقادیر، یک  
مؤلفه  $\langle \varphi | w_\alpha | \psi \rangle$  وابسته است:

$$\frac{(\dots\dots\dots \langle \varphi | w_\alpha \rangle \dots\dots\dots)}{\alpha} \quad (C-23)$$

گوشزد:

در یک نمایش معین، ماتریسهای که معرف یک کت  $\langle \psi |$  و برای  $|\psi\rangle$  وابسته به آن می‌باشند همیوغ‌های هرمیتی یکدیگرند (به مفهوم ماتریسی): برای اینکه از یک ماتریس به ماتریس دیگر برسیم باید جای سطرها و ستونها را عوض کرده و هر عنصر را همیوغ مختلط کنیم.

### ۳ - نمایش عملگرها

#### a - نمایش $A$ توسط یک ماتریس "مربعی"

یک عملگر خطی  $A$  داده شده است، می‌توانیم، در پایه  $\{ | u_i \rangle\}$  یا  $\{ | w_\alpha \rangle\}$  مجموعه‌ای از اعداد که به صورت:

$$A_{ij} = \langle u_i | A | u_j \rangle \quad (C-24)$$

$$A(\alpha, \alpha') = \langle w_\alpha | A | w_{\alpha'} \rangle \quad (C-25)$$

تعریف شده‌اند به آن وابسته کنیم.

این اعداد به دو شاخص بستگی دارند و از این‌رو می‌توانند به صورت یک ماتریس "مربعی" که بینهایت سطر و ستون شمارش پذیر ناپیوسته دارد مرتباً شوند. قرارداد متداول این است که شاخص اول، سطرها و شاخص دوم ستونها را تعیین کند. بنابراین، در پایه  $\{ | u_i \rangle\}$ ، عملگر  $A$  توسط ماتریس زیر نمایش داده می‌شود:

$$\begin{pmatrix} A_{11} & A_{12} \dots & A_{1j} \dots \\ A_{21} & A_{22} \dots & A_{2j} \dots \\ \vdots & \vdots & \vdots \\ A_{i1} & A_{i2} \dots & A_{ij} \dots \\ \vdots & \vdots & \vdots \end{pmatrix} \quad (C-26)$$

می بینیم که ستون ز ام از مولفه های تبدیل  $\langle u_j | u_i \rangle$  کت پایه  $\langle u_j |$  در پایه  $\{ \langle u_i | \}$  تشکیل شده است.

برای یک پایه پیوسته، دومحور عمود برهم رسم می کنیم. با نقطه ای که دارای طول  $\alpha'$  و عرض  $\alpha$  است، عدد  $A(\alpha, \alpha')$  متناظر است:

$$\alpha' \quad (A(\alpha, \alpha')) \quad \alpha \quad (C-27)$$

حال برای محاسبه ماتریسی که معرف عملگر  $AB$ ، در پایه  $\{ \langle u_i | \}$  است از رابطه مستاری استفاده می کنیم:

$$\begin{aligned} \langle u_i | AB | u_j \rangle &= \langle u_i | A^\dagger B | u_j \rangle \\ &= \langle u_i | AP_{|u_k\rangle} B | u_j \rangle \\ &= \sum_k \langle u_i | A | u_k \rangle \langle u_k | B | u_j \rangle \end{aligned} \quad (C-28)$$

قراردادی که برای ترتیب عناصر  $A_{ij}$  یا  $A(\alpha, \alpha')$  انتخاب شده است با فرادراد مربوط به حاصلضرب دوماتریس، سازگار است: رابطه (C-28) بیانگر این واقعیت است که ماتریس معرف  $AB$  عبارت است از حاصلضرب ماتریسهای وابسته به  $A$  و  $B$ .

۶- نمایش ماتریسی کت  $\langle \psi | \psi' \rangle = A$

مسئله به صورت زیر است: اگر مولفه های  $\langle \psi |$  و عناصر ماتریسی  $A$  در یک نمایش معین زابدایم، چگونه می توانیم مولفه های  $\langle \psi |$  را در همان نمایش محاسبه کنیم؟ در پایه  $\{ \langle u_i | \}$ ، مختصات  $c_i$  کت  $\langle \psi |$  توسط رابطه زیر داده می شوند:

$$c'_i = \langle u_i | \psi' \rangle = \langle u_i | A | \psi \rangle \quad (C-۲۹)$$

اگر رابطه بستاری را بین  $A$  و  $\langle \psi |$  قرار دهیم، خواهیم داشت:

$$\begin{aligned} c'_i &= \langle u_i | A^\dagger | \psi \rangle = \langle u_i | AP_{\{u_j\}} | \psi \rangle \\ &= \sum_j \langle u_i | A | u_j \rangle \langle u_j | \psi \rangle \\ &= \sum_j A_{ij} c_j \end{aligned} \quad (C-۳۰)$$

به همین طریق، برای پایه  $\{w_\alpha\}$ ، بدست می‌آوریم:

$$\begin{aligned} c'(\alpha) &= \langle w_\alpha | \psi' \rangle = \langle w_\alpha | A | \psi \rangle \\ &= \int d\alpha' \langle w_\alpha | A | w_{\alpha'} \rangle \langle w_{\alpha'} | \psi \rangle \\ &= \int d\alpha' A(\alpha, \alpha') c(\alpha') \end{aligned} \quad (C-۳۱)$$

بنابراین، رابطه ماتریسی برای  $|\psi'\rangle = A|\psi\rangle$  بسیار ساده است. به عنوان مثال، از (C-۳۰) مشاهده می‌کنیم که، ماتریس ستونی معروف  $\langle \psi |$  برای است با حاصلضرب ماتریس ستونی معروف  $\langle \psi |$  در ماتریس مرتبی معروف  $A$ :

$$\begin{pmatrix} c'_1 \\ c'_2 \\ \vdots \\ c'_i \\ \vdots \\ c'_j \\ \vdots \end{pmatrix} = \begin{pmatrix} A_{11} & A_{12} & \dots & A_{1j} & \dots \\ A_{21} & A_{22} & \dots & A_{2j} & \dots \\ \vdots & \vdots & & \vdots & \\ A_{j1} & A_{j2} & \dots & A_{jj} & \dots \\ \vdots & \vdots & & \vdots & \\ \vdots & \vdots & & \ddots & \\ \vdots & \vdots & & \vdots & \end{pmatrix} \begin{pmatrix} c_1 \\ c_2 \\ \vdots \\ c_i \\ \vdots \\ c_j \\ \vdots \end{pmatrix} \quad (C-۳۲)$$

c - عبارت عدد  $\langle \phi | A | \psi \rangle$

با قراردادن رابطه بستاری بین  $|\varphi\rangle$  و  $A$  و مجدداً بین  $A$  و  $|\psi\rangle$  خواهیم

یافت:

- برای پایه  $\{ |u_i\rangle\}$ :

$$\begin{aligned}\langle \varphi | A | \psi \rangle &= \langle \varphi | P_{\{u_i\}} A P_{\{u_j\}} | \psi \rangle \\ &= \sum_{i,j} \langle \varphi | u_i \rangle \langle u_i | A | u_j \rangle \langle u_j | \psi \rangle \\ &= \sum_{i,j} b_i^* A_{ij} c_j\end{aligned}\quad (C-۳۳)$$

- برای پایه  $\{ | w_\alpha \rangle \}$

$$\begin{aligned}\langle \varphi | A | \psi \rangle &= \langle \varphi | P_{\{w_\alpha\}} A P_{\{w_\alpha\}} | \psi \rangle \\ &= \iint d\alpha d\alpha' \langle \varphi | w_\alpha \rangle \langle w_\alpha | A | w_{\alpha'} \rangle \langle w_{\alpha'} | \psi \rangle \\ &= \iint d\alpha d\alpha' b^*(\alpha) A(\alpha, \alpha') c(\alpha')\end{aligned}\quad (C-۳۴)$$

تعییر این فرمولها در صورت بندی ماتریسی به صورت زیر است :

$\langle \varphi | A | \psi \rangle$  یک عدد است، یعنی، یک ماتریس با یک سطرویکستون، که از ضرب کدن ماتریس ستونی معرف  $\langle \psi |$  ابتدا در ماتریس مربعی معرف  $A$  و سپس در ماتریس سط्रی معرف  $\langle \varphi |$ ، بدست آمده است. به عنوان مثال، در پایه  $\{ | u_i \rangle \}$

$$\langle \varphi | A | \psi \rangle = (b_1^* \ b_2^* \dots \ b_i^* \dots) \begin{pmatrix} A_{11} & A_{12} & \dots & A_{1j} & \dots \\ A_{21} & A_{22} & \dots & A_{2j} & \dots \\ \vdots & \vdots & & \vdots & \\ A_{i1} & A_{i2} & \dots & A_{ij} & \dots \\ \vdots & \vdots & & \vdots & \end{pmatrix} \begin{pmatrix} c_1 \\ c_2 \\ \vdots \\ c_j \\ \vdots \end{pmatrix} \quad (C-۳۵)$$

گوشزدّه :

- (i) بهمین طریق می‌توان نشان داد که برای  $A | \varphi \rangle$  توسط یک ماتریس سطری، حاصل ضرب ماتریس مربعی معرف  $A$  در ماتریس سطری معرف  $| \varphi \rangle$  [دو ماتریس اول در طرف راست (C-۳۵)]، نشان داده می‌شود. بار دیگر، اهمیت ترتیب نمادها را می‌بینیم: عبارت  $| \varphi \rangle A$  به یک عمل ماریسی منجر خواهد شد که تعریف شده نیست (ضرب یک ماتریس سطری در یک ماتریس مربعی).
- (ii) از دیدگاه ماتریسی، معادله (B-۴۱) که  $A | \varphi \rangle$  را تعریف می‌کند، صرفاً "بیانگر"

انجمانی بودن حاصلضرب سه ماتریسی است که در (C-۳۵) ظاهر شده‌اند.  
با استفاده از قراردادهای اخیر،  $\langle \psi | \psi \rangle$  را توسط یک ماتریس مربعی بیان می‌کنیم:

$$\begin{pmatrix} c_1 \\ c_2 \\ \vdots \\ c_i \\ \vdots \end{pmatrix} (c_1^* \ c_2^* \ \dots \ c_j^* \ \dots) = \begin{pmatrix} c_1 c_1^* & c_1 c_2^* \dots & c_1 c_j^* \dots \\ c_2 c_1^* & c_2 c_2^* \dots & c_2 c_j^* \dots \\ \vdots & \vdots & \vdots \\ c_i c_1^* & c_i c_2^* \dots & c_i c_j^* \dots \\ \vdots & \vdots & \vdots \end{pmatrix} \quad (C-36)$$

این، در واقع یک عملگر است، حال آنکه  $\langle \psi | \psi \rangle$ ، حاصلضرب یک ماتریس ستونی در یک ماتریس سطری، یک عدد است.

ه - نمایش ماتریسی  $A^\dagger$ ، الحتی  $A$ .

با استفاده از (B-۴۹)، به سادگی نتیجه می‌گیریم:

$$(A^\dagger)_{ij} = \langle u_i | A^\dagger | u_j \rangle = \langle u_j | A | u_i \rangle^* = A_{ji}^* \quad (C-37)$$

یا:

$$A^\dagger(\alpha, \alpha') = \langle w_\alpha | A^\dagger | w_{\alpha'} \rangle = \langle w_{\alpha'} | A | w_\alpha \rangle^* = A^*(\alpha', \alpha) \quad (C-38)$$

لذا، ماتریسهای معرف  $A$  و  $A^\dagger$  در یک نمایش معین، به‌مفهوم ماتریسی، همیوغ‌های هرمیتی یکدیگر هستند؛ برای رسیدن از یکی به‌دیگری، جای سطراها و ستونها را عوض کرده سپس همیوغ مختلط‌آنرا می‌گیریم.

اگر  $A$  هرمیتی باشد،  $A^\dagger = A$ ، می‌توان در (C-۳۷)  $(A^\dagger)_{ij}$  را توسط  $A_{ij}$  و در (C-۳۸)  $A^\dagger(\alpha, \alpha')$  را توسط  $A(\alpha, \alpha')$  جایگزین کرد:

$$A_{ij} = A_{ji}^* \quad (C-39)$$

$$A(\alpha, \alpha') = A^*(\alpha', \alpha) \quad (C-40)$$

بنابر این، یک عملگر هرمیتی توسط یک ماتریس هرمیتی، یعنی، ماتریسی که در آن هردو عنصری که نسبت به قطر اصلی متقارن باشند، همیوغ مختلط یکدیگرند، نشان‌داده‌می‌شود. بخصوص، برای  $j = i$  یا  $\alpha = \alpha'$ ، روابط (C-۳۹) و (C-۴۰) به صورت زیر در می‌آیند:

$$A_{ii} = A_{ii}^* \quad (C-41)$$

$$A(\alpha, \alpha) = A^*(\alpha, \alpha) \quad (C-42)$$

بنابراین، عناصر قطری یک ماتریس هرمیتی همیشه اعدادی حقیقی هستند.

#### ۵- تغییر نمایشها

##### ۵- موضع مسئله

در یک نمایش معین، حرکت (یا یک برا، یا یک عملگر) توسط یک ماتریس نشان داده می‌شود. اگر نمایشها، یعنی، پایه‌ها، را عوض کنیم، همان کت (یا برا، یا عملگر)، توسط یک ماتریس متفاوت نمایش داده خواهد شد. این دو ماتریس چگونه بهم مربوط می‌شوند؟

برای سهولت، در اینجا فرض خواهیم کرد که از یک پایه راست هنجارگسته  $\{ |u_i\rangle \}$  به پایه راست هنجارگسته دیگر  $\{ |t_k\rangle \}$  مربوط. در بخش E، مثالی از تغییر از یک پایه پیوسته به پایه دیگر را مطالعه خواهیم کرد.  
تغییر پایه، با مخصوص کردن مؤلفه‌های  $|u_i\rangle$  ی هریک از کتهای پایه جدید بر حسب هریک از کتهای پایه قدیم، تعریف می‌شود. قرار خواهیم داد:

$$S_{ik} = \langle u_i | t_k \rangle \quad (C-43)$$

S ماتریس تغییر پایه (ماتریس تبدیل) است، اگر<sup>۱</sup> S معرف همیوغ هرمیتی آن باشد، داریم:

$$(S^*)_{kl} = (S_{ik})^* = \langle t_k | u_i \rangle \quad (C-44)$$

محاسباتی که در زیر می‌آیند می‌توانند با استفاده از دو رابطه مستعاری:

$$P_{(u_i)} = \sum_i |u_i\rangle \langle u_i| = \mathbb{I} \quad (C-45)$$

$$P_{(t_k)} = \sum_k |t_k\rangle \langle t_k| = \mathbb{I} \quad (C-46)$$

و دو رابطه راست هنجاری:

$$\langle u_i | u_j \rangle = \delta_{ij} \quad (C-47)$$

$$\langle t_k | t_l \rangle = \delta_{kl} \quad (C-48)$$

به سادگی و بدون استمداد از حافظه صورت گیرند.

گوشزد :

ماتریس تبدیل،  $S$  ، یکانی است ( مکمل  $C_{II}$  ) ، یعنی در رابطه زیر صدق می‌کند :

$$S^t S = S S^t = I \quad (C-49)$$

که در آن  $I$  ماتریس یکه است . در واقع ، ملاحظه می‌کنیم که :

$$\begin{aligned} (S^t S)_{kl} &= \sum_i S_{ki}^t S_{il} = \sum_i \langle t_k | u_i \rangle \langle u_i | t_l \rangle \\ &= \langle t_k | t_l \rangle = \delta_{kl} \end{aligned} \quad (C-50)$$

به همین طریق :

$$\begin{aligned} (S S^t)_{ij} &= \sum_k S_{ik} S_{kj}^t = \sum_k \langle u_i | t_k \rangle \langle t_k | u_j \rangle \\ &= \langle u_i | u_j \rangle = \delta_{ij} \end{aligned} \quad (C-51)$$

۶ - تبدیل مولفه‌های یک‌گت

برای اینکه مولفه‌های  $\langle \psi | t_k \rangle$  ی یک‌گت  $\langle \psi |$  در پایه جدید را از مولفه‌های  $\langle u_i | \psi \rangle$  در آن در پایه قدیم به دست آوریم کافی است (C-45) را بین  $| t_k \rangle$  و  $\langle \psi |$  قرار دهیم :

$$\begin{aligned} \langle t_k | \psi \rangle &= \langle t_k | \mathbb{1} | \psi \rangle = \langle t_k | P_{(u_i)} | \psi \rangle \\ &= \sum_i \langle t_k | u_i \rangle \langle u_i | \psi \rangle \\ &= \sum_i S_{ki}^t \langle u_i | \psi \rangle \end{aligned} \quad (C-52)$$

روابط معکوس می‌توانند به همین طریق ، با استفاده از (C-46) به دست آیند :

$$\begin{aligned} \langle u_i | \psi \rangle &= \langle u_i | \mathbb{1} | \psi \rangle = \langle u_i | P_{(t_k)} | \psi \rangle \\ &= \sum_k \langle u_i | t_k \rangle \langle t_k | \psi \rangle \\ &= \sum_k S_{ik} \langle t_k | \psi \rangle \end{aligned} \quad (C-53)$$

۷ - تبدیل مولفه‌های یک‌گرا

اساس محاسبه دقیقاً همان است . به عنوان مثال :

$$\begin{aligned}\langle \psi | t_k \rangle &= \langle \psi | \mathbb{1} | t_k \rangle = \langle \psi | P_{\{u_i\}} | t_k \rangle \\ &= \sum_i \langle \psi | u_i \rangle \langle u_i | t_k \rangle \\ &= \sum_i \langle \psi | u_i \rangle S_{ik}\end{aligned}\quad (C-54)$$

د - تبدیل عناصر ماتریس یک عملگر

اگر، در  $\langle t_k | A | t_l \rangle$  را هم بین  $\langle t_k |$  و  $A$ ، هم بین  $A$  و  $\langle t_l |$  قرار دهیم، نتیجه می‌گیریم :

$$\begin{aligned}\langle t_k | A | t_l \rangle &= \langle t_k | P_{\{u_i\}} A P_{\{u_j\}} | t_l \rangle \\ &= \sum_{i,j} \langle t_k | u_i \rangle \langle u_i | A | u_j \rangle \langle u_j | t_l \rangle\end{aligned}\quad (C-55)$$

یعنی :

$$A_{kl} = \sum_{i,j} S_{ki}^{\dagger} A_{ij} S_{jl} \quad (C-56)$$

بهمنین طریق :

$$\begin{aligned}A_{ij} &= \langle u_i | A | u_j \rangle = \langle u_i | P_{\{t_k\}} A P_{\{t_l\}} | u_j \rangle \\ &= \sum_{k,l} \langle u_i | t_k \rangle \langle t_k | A | t_l \rangle \langle t_l | u_j \rangle \\ &= \sum_{k,l} S_{ik} A_{kl} S_{lj}^{\dagger}\end{aligned}\quad (C-57)$$

د - معادلات ویژه مقداری مشاهده‌پذیرها

ا - ویژه مقدارها و ویژه بردارهای یک عملگر

ب - تعاریف

$\psi$  یک ویژه‌بردار (یا ویژه کت) عملگر خطی  $A$  نامیده می‌شود اگرداشتہ باشیم :

$$A | \psi \rangle = \lambda | \psi \rangle \quad (D-1)$$

که در آن  $\lambda$  یک عدد مختلط است. اگرچه به مطالعه تعدادی از خواص معادله (D-1) معادله ویژه مقداری عملگر خطی  $A$ ، می‌پردازیم. عموماً، این معادله وقتی دارای جواب

است که با فقط مقادیر معینی را بگیرد این مقادیر را ویژه مقدارهای  $A$  می‌نامیم . مجموعه این ویژه مقدارها ، طیف  $A$  نامیده می‌شود .

توجه کنید که ، اگر  $\psi$  یک ویژه بردار  $A$  با ویژه مقدار  $\lambda$  باشد ،  $\langle \psi | \alpha \rangle$  ( که در آن  $\alpha$  یک عدد مختلط دلخواه است ) نیز یک ویژه بردار  $A$  با همان ویژه مقدار است :

$$A(\alpha | \psi \rangle) = \alpha A | \psi \rangle = \alpha \lambda | \psi \rangle = \lambda(\alpha | \psi \rangle) \quad (D-2)$$

برای اینکه خود را ازین ابهام بروهایم ، می‌توانیم ویژه بردارها را نسبت به عدد یک بهنجار کنیم :

$$\langle \psi | \psi \rangle = 1 \quad (D-3)$$

اما این کار ، ابهام را کاملاً "برطرف نمی‌کند ، زیرا  $\langle \psi | \psi \rangle = 1$  ، که در آن  $\psi$  یک عدد حقیقی دلخواهی است ، دارای همان هنجار  $\psi$  است . در زیر خواهیم دید که ، در مکانیک کوانتومی ، پیش‌بینی‌های فیزیکی که از  $\langle \psi | \psi \rangle$  یا  $\langle \psi | \psi \rangle = 1$  بدست می‌آیند ، یکسانند .

ویژه مقدار  $\lambda$  تابعی است ، یعنی ، اگر تمام ویژه‌کتهای وابسته‌به آن هم خط باشند . تقریب یک ضریب ثابت ، یکتا باشد ، یعنی ، اگر تمام ویژه‌کتهای وابسته‌به آن هم خط باشند . از طرف دیگر ، اگر حداقل دوکت مستقل خطی وجود داشته باشند که ویژه بردارهای  $A$  با یک ویژه مقدار باشند ، این ویژه مقدار تبعیگن نامیده می‌شود . در این صورت درجه (یا مرتبه) تبعیگن آن برابر است با تعداد ویژه بردارهای مستقل خطی ای که به آن وابسته‌اند (درجه تبعیگنی یک ویژه مقدار می‌تواند محدود یا نامحدود باشد) . به عنوان مثال ، اگر  $\lambda_1, \lambda_2, \dots, \lambda_g$  مرتبه تبعیگن باشد ،  $g$  کت مستقل  $\langle \psi^i | \psi^i \rangle$  (  $i = 1, 2, \dots, g$  ) می‌باشد که:

$$A | \psi^i \rangle = \lambda_i | \psi^i \rangle \quad (D-4)$$

اما ، در این صورت هر کت  $\langle \psi |$  به شکل :

$$| \psi \rangle = \sum_{i=1}^g c_i | \psi^i \rangle \quad (D-5)$$

برای هر مقدار از ضرایب  $c_i$  ، یک ویژه بردار  $A$  با ویژه مقدار  $\lambda$  خواهد بود ، زیرا :

$$A | \psi \rangle = \sum_{i=1}^g c_i A | \psi^i \rangle = \lambda \sum_{i=1}^g c_i | \psi^i \rangle = \lambda | \psi \rangle \quad (D-6)$$

در نتیجه ، مجموعه ویژه‌کتهای  $A$  وابسته به  $\lambda$  ، یک فضای برداری  $g$  بعدی ( که می‌تواند

بی نهایت بعدی باشد) تشکیل می‌دهد، که "ویژه زیر فضای" ویژه مقدار  $\lambda$  نامیده می‌شود.  
بخصوص، کفتن اینکه  $\lambda$  ناتبهگن است معادل است با اینکه گفته شود درجه تبهگنی آن  
 $= 1$  است.

سرازیر روش کرن این تعریفها، مثال یک تصویرگر،  $P_{\psi} = |\psi\rangle\langle\psi|$  (با  
 $= 1$ ) را انتخاب می‌کنیم (بخش ۳-۳-B). معادله ویژه مقداری آن  
به صورت زیر نوشته می‌شود:

$$P_{\psi} |\varphi\rangle = \lambda |\varphi\rangle$$

یعنی:

$$|\psi\rangle\langle\psi| |\varphi\rangle = \lambda |\varphi\rangle \quad (D-7)$$

کت طرف چپ یا همیشه با  $|\psi\rangle$  همخطاست یا صفر، در نتیجه ویژه بردارهای  $P$  عبارتند  
از: از یکطرف، خود  $|\psi\rangle$ ، با ویژه مقدار  $\lambda = 1$ ، از طرف دیگر، تمام کتهای  $|\varphi\rangle$  که با  
 $|\psi\rangle$ ، متعامدهستند و برای آنها ویژه مقدار وابسته عبارت است از  $\lambda = 0$ ، از این رو،  
طیف  $P$  شامل فقط دو مقدار: ۱ و ۰ است. اولی ساده، و دومی بی نهایت تبهگن است  
(اگر فضای حالت مورد نظر بی نهایت بعدی باشد). ویژه زیر فضای وابسته به  $\lambda = 0$  مکمل\*

$|\psi\rangle$  است (و گ بخش ۳-۲-D).

\* در یک فضای برداری  $\mathcal{H}$ ، دوزیر فضای  $\mathcal{H}$  و  $\mathcal{H}$  را مکمل گویند اگر تمام کتهای  $|\psi\rangle$  متعلق به  $\mathcal{H}$  بتوانند به صورت  $|\psi_1\rangle + |\psi_2\rangle = |\psi\rangle$  نوشته شوند، که در آن  $|\psi_1\rangle$  و  $|\psi_2\rangle$  به ترتیب متعلق به  $\mathcal{H}$  و  $\mathcal{H}$  هستند، و اگر  $\mathcal{H}_1$  و  $\mathcal{H}_2$  مجزا باشند (کت مشترک غیر صفر نداشته باشند، در نتیجه عبارت  $|\psi_1\rangle + |\psi_2\rangle = |\psi\rangle$  یکتا است)، درواقع، برای یک زیر فضای معین  $\mathcal{H}$ ، بی نهایت زیر فضای  $\mathcal{H}$  وجود دارد،  $\mathcal{H}$  را می توان بالاعمال این شرط که بر  $\mathcal{H}$  متعامد باشد، تعیین کرد: این عمل در خلال این کتاب انجام خواهد شد، حتی اگر کلمه "متعامد" صریحاً قبل از مکمل ذکر نشده باشد.

مثال: در فضای سه بعدی معمولی، اگر  $\mathcal{H}$  یک صفحه  $M$  باشد،  $\mathcal{H}$  می تواند هر خط راست دلخواهی که در  $M$  واقع نیست، باشد. مکمل متعامد  $\mathcal{H}$ ، خط راستی است که از میداء گذشته و بر  $M$  عمود است.

## گوشزده :

اگر دو طرف معادله (D-۱) را همراه هرمیتی کنیم، خواهیم داشت:

$$\langle \psi | A^\dagger = \lambda^* \langle \psi | \quad (D-8)$$

بنابراین، اگر  $\langle \psi |$  یک ویژه کت  $A$  با ویژه مقدار  $\lambda$  باشد، می‌توان گفت که  $|\psi\rangle$  یک ویژه برای  $A^\dagger$  با ویژه مقدار  $\lambda^*$  است. معذالک، روی این واقعیت تأکید می‌کنیم که، بجز در موردی که  $A$  هرمیتی باشد (بخش a-D-۲)، هیچ‌چیزی نمی‌توان، از پیش، در باره  $A|\psi\rangle$  گفت.

برای اینکه کاملاً دقیق باشیم، باید معادله ویژه مقداری (D-۱) در فضای  $\mathcal{H}$  را حل کنیم. یعنی، باید فقط آن ویژه بردارهای  $|\psi\rangle$  را که دارای هنجار محدودی هستند در نظر بگیریم. در واقع، مجبور خواهیم شد عملگرهایی را به کار ببریم، که ویژه کتهای آنها در این شرط صدق نکنند (بخش E). از این‌رو، فرض خواهیم کرد بردارهایی که جوابهای (D-۱) هستند می‌توانند "کتهای تعیین یافته" باشند.

## ۶ - یافتن ویژه مقدارها و ویژه بردارهای یک عملگر

یک عملگر خطی  $A$  داده شده است. چگونه می‌توان تمام ویژه مقدارها و ویژه بردارهای مربوط به آن را پیدا کرد؟ با این مسئله فقط از دیدگاه صرفاً عملی برخورده خواهیم کرد. موردی را در نظر خواهیم گرفت که فضای حالتها دارای ابعاد محدود  $N$  باشد، وفرض خواهیم کرد که نتایج بتوانند به یک فضای حالتها بینهاشت بعدی تعیین یابند. حال، یک نمایش، به عنوان مثال،  $\{|u_i\rangle\}$ ، انتخاب می‌کنیم و معادله برداری (D-۱) را روی بردارهای راست هنجار مختلف  $\langle u_i |$  پایه تصویر می‌کنیم:

$$\langle u_i | A | \psi \rangle = \lambda \langle u_i | \psi \rangle \quad (D-9)$$

با قراردادن رابطه بستاری بین  $A$  و  $|\psi\rangle$ ، نتیجه خواهیم گرفت:

$$\sum_j \langle u_i | A | u_j \rangle \langle u_j | \psi \rangle = \lambda \langle u_i | \psi \rangle \quad (D-10)$$

با نمادگذاری معمول:

$$\langle u_i | \psi \rangle = c_i \quad (D-11)$$

معادلات (D-10)، می‌توانند به صورت زیر نوشته شوند.

$$\sum_j A_{ij} c_j = \lambda c_i \quad (D-12)$$

یا :

$$\sum_j [A_{ij} - \lambda \delta_{ij}] c_j = 0 \quad (D-13)$$

(D-13) می‌تواند به عنوان یک دستگاه معادلات در نظر گرفته شود که مجهولات آن را ها یعنی مؤلفه‌های ویژه بردار در نمایش انتخاب شده هستند. این دستگاه خطی و همگن است.

α - معادله سرشتی

دستگاه (D-13) از  $N$  معادله با  $N$  مجهول  $c_j$  ( $i = 1, 2, \dots, N$ ) ( $j = 1, 2, \dots, N$ ) تشکیل شده است. چون این دستگاه خطی و همگن است، در صورتی دارای یک جواب غیر بدیهی است که فقط و فقط دترمینان ضرائب صفر باشد (جواب بدیهی جوابی است که در آن تمام  $c_j$  ها صفر باشد)، شرط فوق به صورت زیر نوشته می‌شود:

$$\text{Det} [\mathcal{A} - \lambda I] = 0 \quad (D-14)$$

که در آن  $\mathcal{A}$  ماتریس  $N \times N$  از عناصر  $A_{ij}$  و  $I$ ، ماتریس یکه است. معادله (D-14)، که معادله سرشتی (یا سکولار) نامیده می‌شود، مارا قادر می‌سازد تا تمام ویژه مقدارهای عملگر  $A$ ، یعنی، طیف آنرا، تعیین کنیم. (D-14) را می‌توان صریحاً به صورت زیر نوشت:

$$\begin{vmatrix} A_{11} - \lambda & A_{12} & A_{13} & \dots & A_{1N} \\ A_{21} & A_{22} - \lambda & A_{23} & \dots & A_{2N} \\ \vdots & \vdots & \vdots & \ddots & \vdots \\ A_{N1} & A_{N2} & A_{N3} & \dots & A_{NN} - \lambda \end{vmatrix} = 0 \quad (D-15)$$

این یک معادله درجه  $N$  ام از  $\lambda$  است، در نتیجه دارای  $N$  ریشه، حقیقی یا موهومی،

مختلف یا یکسان است، به سادگی می‌توان، بالاتر یک تغییر پایه دلخواه، نشان داد که معادله سرشتی مستقل از نمایش انتخابی است. از این‌رو، ویژه مقدارهای یک عملگر، ریشه‌های معادله سرشتی آن هستند.

### β - تعیین ویژه بردارها

حال، یک ویژه مقدار  $\lambda_0$ ، یک جواب معادله سرشتی (D-۱۴)، را انتخاب می‌کنیم و به جستجوی ویژه بردارهای مربوط به آن می‌پردازیم. دو مورد را متمایز می‌کنیم:  
(۱) اول، فرض کنید که  $\lambda_0$  یک ریشه ساده معادله سرشتی باشد. در این صورت می‌توان نشان داد که، وقتی  $\lambda = \lambda_0$  باشد، دستگاه (D-۱۳) شامل (N-1) معادله مستقل است، معادله N ام از معادلات قبلی نتیجه شده است ولذا زائد است. اما N مجھول داریم بنابراین بینهایت جواب وجود دارد، ولی می‌توان تمام  $c_i$  ها را به طور یکتاً بر حسب یکی از آنها، مثلاً  $c_1$ ، تعیین کرد. اگر  $c_1$  را ثابت بگیریم، برای سایر  $c_i$  ها، که تعدادشان (N-1) است، یک دستگاه (N-1) معادله خطی ناهمگن ("طرف راست" هر معادله، جمله‌ای بر حسب  $c_1$  است). با دترمینان غیر صفر بدست می‌آوریم [این (N-1) معادله مستقل‌اند]. جواب این معادله به صورت زیر است:

$$c_j = \alpha_j^0 c_1 \quad (D-16)$$

زیرا دستگاه اولیه، (D-۱۳)، خطی و همگن است. البته،  $\alpha_1^0$  بنا به تعریف برابر ۱ است، و (N-1) ضریب  $\alpha_j^0$  برای  $j \neq 1$  از توسط عناصر ماتریسی  $A_{ij}$  و  $\lambda_0$  تعیین می‌شوند. ویژه بردارهای وابسته به  $\lambda_0$  فقط در مقدار انتخاب شده برای  $c_1$  با یکدیگر اختلاف دارند. از این‌رو همکنی آنها توسط رابطه:

$$|\psi_0(c_1)\rangle = \sum_j \alpha_j^0 |c_1| u_j \rangle = c_1 |\psi_0\rangle \quad (D-17)$$

با:

$$|\psi_0\rangle = \sum_j \alpha_j^0 |u_j\rangle \quad (D-18)$$

داده می‌شوند. بنابراین، وقتی  $\lambda_0$  یک ریشه ساده، معادله سرشتی باشد، فقط یک ویژه بردار با آن متناظر است (با تقریب یک ضریب ثابت):  $\lambda_0$  یک ویژه مقدار ناتبیه‌گن است.  
(۲) وقتی  $\lambda_0$  یک جواب چندگانه، معادله سرشتی با مرتبه ۱ > q باشد، دو امکان وجود دارد:

– عموماً "، وقتی  $\lambda_0 = \lambda$  است، معادله (D-۱۳) هنوز هم از  $(N - 1)$  معادله مستقل تشکیل می‌شود. در این صورت فقط یک ویژه بردار با ویژه مقدار  $\lambda_0$  متناظر است. در این مورد عملگر  $A$  نمی‌تواند قطری شود: ویژه بردارهای  $A$  آنقدر زیاد نیستند که بتوان بالانها به تنهائی یک پایهٔ فضای حالت تشکیل داد.

– با وجود این، وقتی  $\lambda_0 = \lambda$  است، ممکن است اتفاق بیفتد که دستگاه (D-۱۳) فقط  $(N - p)$  معادله مستقل داشته باشد (که در آن  $p$  بزرگتر از ۱ است ولی بزرگتر از  $q$  نیست). در این صورت با ویژه مقدار  $\lambda_0$  یک ویژه زیر فضای  $p$  بعدی متناظر است، و  $\lambda_0$  یک ویژه مقدار  $p$  مرتبهٔ تبیه‌گن است. حال، به عنوان مثال، فرض کنیم که، برای  $\lambda_0 = \lambda$  = (D-۱۳) از (2)  $(N - p)$  معادله مستقل خطی تشکیل شده است. این معادلات ما را قادر می‌سازند تا ضرائب  $c_j$  را بر حسب هر گروه دوتایی از آنها، مثلاً "  $c_1$  و  $c_2$  " محاسبه کنیم:

$$c_j = \beta_j^0 c_1 + \gamma_j^0 c_2 \quad (D-۱۹)$$

( واضح است که:  $\gamma_1^0 = \beta_2^0 = 0$  :  $\beta_1^0 = \gamma_2^0 = 1$  ) ، در این صورت تمام ویژه بردارهای وابسته به  $\lambda_0$  به صورت :

$$|\psi_0(c_1, c_2)\rangle = c_1 |\psi_0^1\rangle + c_2 |\psi_0^2\rangle \quad (D-۲۰)$$

$$\begin{aligned} |\psi_0^1\rangle &= \sum_j \beta_j^0 |u_j\rangle \\ |\psi_0^2\rangle &= \sum_j \gamma_j^0 |u_j\rangle \end{aligned} \quad (D-۲۱)$$

هستند در واقع بردارهای  $|\psi_0(c_1, c_2)\rangle$ ، یک فضای برداری دوبعدی تشکیل می‌دهند، این امر مشخصه ویژه مقداری است که دوبار تبیه‌گن است.

وقتی یک عملگر هرمیتی باشد، می‌توان نشان داد که درجه تبیه‌گنی  $p$  یک ویژه مقدار  $\lambda$  همیشه برابر است با چندگانگی  $q$  ای ریشه معادله سرشتی. چون در اغلب موارد، فقط عملگرهای هرمیتی را مطالعه خواهیم کرد، فقط احتیاج خواهیم داشت که چندگانگی هریک از ریشه‌های (D-۱۴) را بدانیم تا بتوانیم بلافاصله بعد ویژه زیر فضای متناظر را به دست آوریم. بنابراین، در یک فضای ابعاد محدود  $N$ ، یک عملگر هرمیتی همواره  $N$  ویژه بردار مستقل خطی دارد (بعداً " خواهیم دید که آنها را می‌توان طوری انتخاب کرد که راست هنجار باشند )؛ لذا، این عملگر می‌تواند قطری شود ( بخش b-۲-۶ ) .

## ۲ - مشاهده پذیرها

۶ - خواص ویژه مقدارها و ویژه بردارهای یک عملگر هر میتی

حال مورد بسیار مهمنی را که در آن عملگر  $A$  هرمیتی است در نظر می‌گیریم:

$$A^* = A \quad (D-21)$$

(۱) ویژه مقدارهای یک عملگر هرمیتی حقیقی‌اند

از حاصل ضرب نزدیک معادله ویژه مقداری (۱-۱) در  $\langle \psi | \psi | A | \psi \rangle$ ، خواهیم داشت:

$$\langle \psi | A | \psi \rangle = \lambda \langle \psi | \psi \rangle \quad (D-22)$$

ولی، همانطوری که از رابطه زیر می‌بینم، اگر  $A$  هرمیتی باشد،  $\langle \psi | A | \psi \rangle$  یک عدد حقیقی است:

$$\langle \psi | A | \psi \rangle^* = \langle \psi | A^* | \psi \rangle = \langle \psi | A | \psi \rangle \quad (D-23)$$

که در آن، معادله آخر از فرضیه (D-۲۲) نتیجه می‌شود. چون  $\langle \psi | A | \psi \rangle$  و  $\langle \psi | \psi \rangle$  حقیقی‌اند، معادله (D-۲۳) می‌رساند که  $\lambda$  نیز باید حقیقی باشد.

اگر  $\lambda$  هرمیتی باشد، می‌توانیم، در (D-۱)،  $A$  را توسط  $A^*$  و  $\lambda$  را توسط  $\lambda^*$  جایگزین کنیم، زیرا هم‌اکنون نشان دادیم که  $\lambda$  حقیقی است. بدین ترتیب بدست می‌آوریم:

$$\langle \psi | A | \psi \rangle = \lambda \langle \psi | \psi \rangle \quad (D-24)$$

که نشان می‌دهد  $|\varphi\rangle$  نیز یک ویژه برای  $A$  با ویژه مقدار حقیقی  $\lambda$  است. بنابراین، کت  $|\varphi\rangle$  هرچه باشد داریم:

$$\langle \psi | A | \varphi \rangle = \lambda \langle \psi | \varphi \rangle \quad (D-25)$$

می‌گوییم که عملگر هرمیتی  $A$ ، در (D-۲۵)، از طرف چپ عمل کرده است.

(۲) دو ویژه بردار یک عملگر هرمیتی متناظر با دو ویژه مقدار متفاوت متعامندند

دو ویژه بردار  $\langle \psi |$  و  $\langle \varphi |$  ای عملگر هرمیتی  $A$  را در نظر بگیرید:

$$A |\psi\rangle = \lambda |\psi\rangle \quad (D-27-a)$$

$$A|\phi\rangle = \mu|\phi\rangle \quad (D-27-b)$$

چون  $A$  هرمیتی است،  $(D-27-b)$  می‌تواند به صورت زیر نوشته شود:

$$\langle\phi|A = \mu\langle\phi| \quad (D-28)$$

سپس اگر  $(D-27-a)$  را از چپ در  $\langle\phi|$  و  $(D-28)$  را از راست در  $\langle\psi|$  ضرب کنیم نتیجه می‌شود:

$$\langle\phi|A|\psi\rangle = \lambda\langle\phi|\psi\rangle \quad (D-29-a)$$

$$\langle\phi|A|\psi\rangle = \mu\langle\phi|\psi\rangle \quad (D-29-b)$$

با کم کردن  $(D-29-b)$  از  $(D-29-a)$ ، نتیجه می‌گیریم:

$$(\lambda - \mu)\langle\phi|\psi\rangle = 0 \quad (D-30)$$

در نتیجه اگر  $0 \neq (\lambda - \mu)$  باشد،  $\langle\phi|$  و  $\langle\psi|$  متعامدند.

### b - تعریف یک مشاهده پذیر

اگر  $\psi$  دارای ابعاد محدودی باشد، دیدیم که (بخش b-1)، همواره می‌توان با ویژه بردارهای یک عملگر هرمیتی، یک پایه تشکیل داد. وقتی که  $\psi$  بینهایت بعدی باشد، دیگر لزوماً این چنین نیست. بقاین دلیل این است که وارد کردن یک مفهوم جدید، مفهوم یک مشاهده پذیر، مفید است.

یک عملگر هرمیتی  $A$  را در نظر بگیرید، برای سهولت، فرض خواهیم کرد که مجموعه ویژه مقادرهای آن یک طیف گستره تشکیل می‌دهند  $\{a_n; n = 1, 2, \dots\}$ ، و بعداً اصلاحاتی را که باید، وقتی تمام یا قسمی از این طیف پیوسته است، انجام دهیم، ذکر خواهیم کرد، درجه تبیهگنی ویژه مقدار  $a_n$  را با  $g_n$  نشان خواهیم داد (اگر  $a_n$  باشد،  $g_n$  ناخبیگن است).  $g_n$  بردار مستقل خطی انتخاب شده در ویژه زیر فضای  $\psi$  وابسته به  $a_n$  را با  $\langle\psi|$  ( $i = 1, 2, \dots, g_n$ ) نمایش خواهیم داد:

$$A|\psi^i\rangle = a_n|\psi^i\rangle; \quad i = 1, 2, \dots, g_n \quad (D-31)$$

در بالا نشان دادیم که هر بردار متعلق به  $\psi$ ، بر هر بردار از زیرفضای دیگر  $\psi$  وابسته به  $a_n \neq a_m$ ، عمود است، لذا:

$$\langle \psi_n^i | \psi_n^{i'} \rangle = 0 \quad (j, i, n \neq n') \quad (D-32)$$

در داخل هر زیر فضای  $\mathcal{E}_n$  ، کتهای  $\langle \psi_n^i |$  همواره می‌توانند راست هنجار انتخاب شوند، یعنی، به‌گونه‌ای که :

$$\langle \psi_n^i | \psi_n^{i'} \rangle = \delta_{ij} \quad (D-33)$$

اگر یک چنین انتخابی انجام گیرد، نتیجه عبارت است از یک دستگاه راست هنجار از ویژه بردارهای  $A$  :  $\langle \psi_n^i |$  ها در روابط :

$$\langle \psi_n^i | \psi_n^{i'} \rangle = \delta_{nn'} \delta_{ii'} \quad (D-34)$$

که از اجتماع (D-32) و (D-33) به دست آمد مانند، صدق می‌کنند .  
بنا به تعریف، عملگر هرمیتی  $A$  یک مشاهده‌پذیر است هرگاه این دستگاه بردارهای راست هنجار تشکیل یک پایه در فضای حالتها بدهند. این مطلب می‌تواند توسط رابطه بستاری زیر بیان شود :

$$\sum_{n=1}^{\infty} \sum_{i=1}^{g_n} |\psi_n^i\rangle \langle \psi_n^i| = \mathbb{I} \quad (D-35)$$

گوشزدها :

چون  $a_i$  بردار  $\langle \psi_n^i |$  ( $i = 1, 2, \dots, g_n$ ) ، که ویژه زیر فضای  $\mathcal{E}_n$  ، وابسته به  $a_n$  را بوجود دارد راست هنجار ند، تصویرگر  $P_n$  روی این زیر فضای  $\mathcal{E}_n$  ، می‌تواند به صورت زیر نوشته شود (رک بخش ۷-۳-۶-۲) :

$$P_n = \sum_{i=1}^{g_n} |\psi_n^i\rangle \langle \psi_n^i| \quad (D-36-a)$$

در این صورت مشاهده‌پذیر  $A$  توسط رابطه زیر داده می‌شود :

$$A = \sum_n a_n P_n \quad (D-36-b)$$

(به سادگی می‌توان ثابت کرد که عمل هردو طرف این معادله روی همه  $\langle \psi_n^i |$  ها نتیجه یکسانی خواهد داد).

رابطه (D-۳۵) را می‌توان، با بهکاربردن نتایج داده شده در جدول (۲-۳) تعیین داد تا مواردی را که طیف ویژه مقدارها پیوسته است در برگیرد. به عنوان مثال، یک عملگر هرمیتی را در نظر بگیرید که طیف آن از یک فسخ گستته  $a_n$  (درجه تسبیحی  $g_n$ ) و یک قسمت پیوسته  $a(v)$  (فرض می‌شود ناتبهمگن است) تشکیل شده باشد:

$$A |\psi_n^i\rangle = a_n |\psi_n^i\rangle; \quad n = 1, 2, \dots \quad (D-37-a)$$

$$i = 1, 2, \dots g_n$$

$$A |\psi_v\rangle = a(v) |\psi_v\rangle; \quad v_1 < v < v_2 \quad (D-37-b)$$

این بردارها می‌توانند طوری انتخاب شوند که تشکیل یک دستگاه "راست هنجار" بدهند:

$$\begin{aligned} \langle \psi_n^i | \psi_n^{i'} \rangle &= \delta_{nn'} \delta_{ii'} \\ \langle \psi_n^i | \psi_v \rangle &= \delta(v - v') \\ \langle \psi_n^i | \psi_v \rangle &= 0 \end{aligned} \quad (D-38)$$

هنگامی  $A$  یک مشاهده‌پذیر گفته می‌شود که این دستگاه یک پایه تشکیل دهد، یعنی، وقتی که داشته باشیم:

$$\sum_n \sum_{i=1}^{g_n} |\psi_n^i\rangle \langle \psi_n^i| + \int_{v_1}^{v_2} dv |\psi_v\rangle \langle \psi_v| = 1 \quad (D-39)$$

### ۳- مثال: تصویرگر $\psi$

حال نشان می‌دهیم که  $|\psi\rangle\langle\psi| = P_\psi = |\psi|\psi\rangle\langle\psi|$  یک مشاهده‌پذیر است. قبلاً (بخش ۴-۴) خاطرنشان ساختیم که این عملگر هرمیتی است، و اینکه ویژه مقدارها یک وصف هستند (بخش ۴-۱)، ویژه مقدار اول ساده (ویژه بردار وابسته:  $|\psi\rangle$ ، و دومی بینهایت تبهمگن است (ویژه بردارهای وابسته: تمام کتهای متعامد بر  $|\psi\rangle$ )).

یک کت دلخواه  $|\varphi\rangle$  در فضای حالتها را در نظر بگیریم. این کت همواره می‌تواند به صورت زیر نوشته شود:

$$|\varphi\rangle = P_\psi |\varphi\rangle + (1 - P_\psi) |\varphi\rangle \quad (D-40)$$

$$\therefore P_\psi^2 = P_\psi \quad \text{حال، چون } P_\psi(P_\psi |\varphi\rangle) = P_\psi^2 |\varphi\rangle = P_\psi |\varphi\rangle \quad (D-41)$$

همانطوری که از رابطه زیر دیده می‌شود،  $\langle \psi | \phi \rangle - P_\phi$  نیز یک ویژه کت است، ولی با ویژه مقدار صفر:

$$P_\phi (\mathbb{1} - P_\phi) |\phi\rangle = (P_\phi - P_\phi^2) |\phi\rangle = 0 \quad (D-42)$$

بدین ترتیب هرگت  $\langle \phi |$  می‌تواند برحسب این ویژه کتهای  $P_\phi$  بسط داده شود، لذا  $P_\phi$  یک مشاهده‌پذیر است.

در بخش ۲-۲ E، دومثال مهم دیگر از مشاهده‌پذیرها را خواهیم دید.

### ۳- مجموعه‌های مشاهده‌پذیرهای جابجایی‌پذیر

#### a- قضایای مهم

$\alpha$  - قضیه

اگر عملگرهای  $A$  و  $B$  جابجایی‌پذیر باشند، و اگر  $\langle \psi |$  یک ویژه بردار  $A$  باشد،  $\langle \psi | B$  نیز یک ویژه بردار  $A$ ، با همان ویژه مقدار خواهد بود.

می‌دانیم که اگر،  $\langle \psi |$  یک ویژه بردار  $A$  باشد، داریم:

$$A|\psi\rangle = a|\psi\rangle \quad (D-43)$$

با اعمال  $B$  به دو طرف این معادله، خواهیم داشت:

$$BA|\psi\rangle = aB|\psi\rangle \quad (D-44)$$

چون فرض کردیم که  $A$  و  $B$  جابجایی‌پذیر باشند، با جایگزین کردن  $BA$  در طرف چپ توسط  $AB$ ، داریم:

$$A(B|\psi\rangle) = a(B|\psi\rangle) \quad (D-45)$$

این معادله بیانگر این واقعیت است که  $\langle \psi | B$  یک ویژه بردار  $A$ ، با ویژه مقدار  $a$  است. بنابراین ترتیب قضیه اثبات شده است.

بنابراین، دومورد ممکن است پیش آید:

- (۱) اگر  $a$  یک ویژه مقدار نا تبعگن باشد، تمام ویژه بردارهای وابسته به آن، بنا به تعریف همخط هستند، و  $\langle \psi | B$  "لزوماً" با  $\langle \psi |$  مناسب است. از این‌رو  $\langle \psi |$  یک ویژه بردار  $B$  نیز هست.

(۲) اگر  $a$  یک ویژه مقدار تبھگن باشد، فقط می‌توان گفت که  $\langle \psi | B | \psi \rangle$  بمویژه زیر فضای  $\mathcal{E}_a$ ، متناظر با ویژه مقدار  $a$ ، تعلق دارد. در نتیجه، برای هر  $\psi \in \mathcal{E}_a$  داریم:

$$B|\psi\rangle \in \mathcal{E}_a \quad (D-46)$$

می‌گوئیم که  $\psi$ ، تحت عمل  $B$ ، کلا "تغییر ناپذیر" (یا پایدار) است. بنابراین، قضیه ۱ می‌تواند به صورت دیگری بیان شود:

قضیه ۱: اگردو اپراتور  $A$  و  $B$  جابجایی پذیر باشند، هر ویژه زیرفضای  $A$ ، تحت عمل  $B$ ، کلا "تغییر ناپذیر" است.

• قضیه ۲:

اگر دو مشاهده پذیر  $A$  و  $B$  جابجایی پذیر باشند، و اگر  $\langle \psi_1 | \psi_2 \rangle$  دو ویژه بردار  $A$  با ویژه مقدارهای متفاوت باشند، عنصر ماتریسی  $\langle \psi_1 | B | \psi_2 \rangle$  صفر است. اگر  $\langle \psi_1 | \psi_2 \rangle$  ویژه بردارهای  $A$  باشند، می‌توانیم بنویسیم:

$$\begin{aligned} A|\psi_1\rangle &= a_1|\psi_1\rangle \\ A|\psi_2\rangle &= a_2|\psi_2\rangle \end{aligned} \quad (D-47)$$

بنابر قضیه ۱، این واقعیت که  $A$  و  $B$  جابجایی پذیرند بدین معنی است که  $\langle \psi_2 | B | \psi_1 \rangle$  یک ویژه بردار  $A$ ، با ویژه مقدار  $a_2$ ، است. بنابراین (زک بخش ۲-۲)  $\langle \psi_2 | B | \psi_1 \rangle = \langle \psi_1 | B | \psi_2 \rangle$  (ویژه بردار ویژه مقدار  $a_1 \neq a_2$ ) متعامد است، که می‌تواند به صورت زیرنوشته شود:

$$\langle \psi_1 | B | \psi_2 \rangle = 0 \quad (D-48)$$

بنابراین قضیه ثابت شده است. یک اثبات دیگر، که به قضیه ۱ ارتباط پیدا نمی‌کند، می‌توان ارائه داد: چون عملکر صفر است، داریم:

$$\langle \psi_1 | (AB - BA) | \psi_2 \rangle = 0 \quad (D-49)$$

با استفاده از (D-۴۷) و هرمیتی بودن  $A$  [معادله (D-۲۵)]، خواهیم داشت:

$$\begin{aligned}\langle \psi_1 | AB | \psi_2 \rangle &= a_1 \langle \psi_1 | B | \psi_2 \rangle \\ \langle \psi_1 | BA | \psi_2 \rangle &= a_2 \langle \psi_1 | B | \psi_2 \rangle\end{aligned}\quad (D-50)$$

و (D-49) می‌تواند به صورت زیر نوشته شود .

$$(a_1 - a_2) \langle \psi_1 | B | \psi_2 \rangle = 0 \quad (D-51)$$

چون بنا به فرض  $(a_1 - a_2)$  غیر صفر است ، می‌توانیم (D-48) را از آن نتیجه بگیریم .

### ۷ . قضیه ۳ ( اساسی )

اگر دو مشاهده‌پذیر  $A$  و  $B$  جابجایی‌پذیر باشند ، می‌توان با ویژه بردارهای مشترک  $A$  و  $B$  یک پایه راست هنجار فضای حالتها ساخت .

دو مشاهده‌پذیر جابجایی‌پذیر  $A$  و  $B$  را در نظر بگیرید . برای اینکه نمادگذاری را ساده‌کنیم ، فرض خواهیم کرد که طیفهای آنها کلاً گسترش باشند . چون  $A$  یک مشاهده‌پذیر است ، حداقل یک دستگاه راست هنجار ازویژه بردارهای  $A$  وجود دارد که یک پایه در فضای حالتها  $\{u_n^i\}$  تشکیل می‌دهند . این بردارها را با  $\langle u_n^i |$  نشان خواهیم داد :

$$A | u_n^i \rangle = a_n | u_n^i \rangle ; \quad n = 1, 2, \dots \quad (D-52)$$

$$i = 1, 2, \dots, g_n$$

$g_n$  ، درجه تبهمگنی ویژه مقدار  $a_n$  ، یعنی ، بعد ویژه زیرفضای  $\{u_n^i\}$  مربوطه است . داریم :

$$\langle u_n^i | u_{n'}^{i'} \rangle = \delta_{nn'} \delta_{ii'} \quad (D-53)$$

ماتریسی که معرف  $B$  در پایه  $\{u_n^i\}$  است چه شکلی دارد ؟ می‌دانیم که (رك قضیه ۲) عناصر ماتریسی  $\langle u_n^i | B | u_{n'}^{i'} \rangle$  ، وقتی  $n' \neq n$  باشد ، صفر است (از طرف دیگر ، نمی‌توانیم در باره اینکه وقتی  $n = n'$  و  $i \neq i'$  باشد چه اتفاق می‌افتد ، از بیش چیزی به‌گوئیم) . بردارهای پایه  $\{u_n^i\}$  را به ترتیب زیر مرتب کنیم :

$$| u_1^1 \rangle, | u_1^2 \rangle, \dots, | u_1^{g_1} \rangle ; \quad | u_2^1 \rangle, \dots, | u_2^{g_2} \rangle ; \quad | u_3^1 \rangle, \dots$$

در این صورت برای  $B$  یک ماتریس "قطري قطعه‌ای" ، یعنی ، به صورت زیر ، به دست می‌آوریم :

	$\mathcal{E}_1$	$\mathcal{E}_2$	$\mathcal{E}_3$	...
$\mathcal{E}_1$	0	0	0	
$\mathcal{E}_2$	0	0	0	
$\mathcal{E}_3$	0	0	0	
:	0	0	0	

(D - ۵۴)

( فقط قسمتهای هاشور زده شده شامل عناصر ماتریسی غیر صفراند ) . این حقیقت که ویژه زیر فضاهای  $\mathcal{E}_i$  ، تحت عمل  $B$  کلا "تغییرناپذیر است ( رک بخش  $\alpha$  ) ازشکل این ماتریس آشکار است .

لذا دو مورد پیش می آید :

(۱) وقتی  $a_n$  یک ویژه مقدار ناتبهگن  $A$  باشد ، فقط یک ویژه بردار  $\langle u_n |$  ، با ویژه مقدار  $a_n$  ، برای  $A$  وجود دارد ( در این صورت شاخص  $i$  در  $\langle u_n |$  بی فایده است ) : بعد  $\mathcal{E}_i$  ، یعنی  $g_i$  ، برابر است با ۱ . بنابراین در ماتریس (D - ۵۴) ، "قطعه" متناظر ، بهیک ماتریس  $1 \times 1$  ، یعنی ، بهیک عدد ساده ، تقلیل می یابد . در ستون وابسته به  $\langle u_n |$  کلیه عناصر ماتریسی دیگر صفرند . این مطلب بیانگرایی واقعیت است که ( رک بخش  $i = \alpha$  ) یک ویژه بردار مشترک  $A$  و  $B$  است .

(۲) وقتی  $a_n$  ، یک ویژه مقدار ناتبهگن  $A$  باشد ( $1 > \langle g_n |$  ، "قطعه" ای که معرف  $B$  در  $\mathcal{E}_i$  است ، عموماً ، قطری نیست :  $\langle u_n |$  ها ، عموماً ، ویژه بردارهای  $B$  نیستند . با وجود این ، می توان دید که ، چون عمل  $A$  روی هریک از  $g_i$  بردار  $\langle u_n |$  بهیک ضرب ساده در  $a_n$  کاهش می یابد ، ماتریس معرف تحدید  $A$  به  $\mathcal{E}_i$  برابر است با  $a_n I$  ( که در آن  $I$  یک ماتریس یک  $\times g_i$  است ) . این مطلب بیان گر این واقعیت است که یک کت دلخواه از  $\mathcal{E}_i$  ، یک ویژه بردار  $A$  با ویژه مقدار  $a_n$  است . بنابراین انتخاب یک پایه نظیر  $\{ \langle u_n | ; i = 1, 2, \dots, g_n \}$  ، در  $\mathcal{E}_i$  ، اختیاری است . این پایه هرجه باشد ، ماتریس معرف  $A$  در  $\mathcal{E}_i$  همواره قطری بوده و برابر است با  $a_n I$  ، از این خاصیت برای بهدست آوردن یک پایه  $\mathcal{E}_i$  از بردارهای  $B$  نیز هستند ، استفاده خواهیم کرد . وقتی پایه انتخابی  $\{ \langle u_n | ; i = 1, 2, \dots, g_n \}$  باشد ، ماتریس معرف  $B$  در  $\mathcal{E}_i$  دارای عناصر زیر خواهد بود :

$$\beta_{ij}^{(n)} = \langle u_n^i | B | u_n^j \rangle \quad (D-55)$$

این ماتریس هرمیتی است ( $(\beta_{ji}^{(n)})^* = \beta_{ij}^{(n)}$ ) ، زیرا  $B$  یک عملگر هرمیتی است ، در نتیجه قطری پذیر است ، یعنی ، می‌توان در  $\mathcal{G}$  یک پایه جدید  $\{ |v_n^i\rangle ; i = 1, 2, \dots, g_n\}$  پیدا کرد که در آن  $B$  توسط یک ماتریس قطری نمایش داده شود .

$$\langle v_n^i | B | v_n^j \rangle = \beta_{ij}^{(n)} \delta_{ij} \quad (D-56)$$

این بدان معنا است که بردارهای پایه جدید در  $\mathcal{G}$  ، ویژه بردارهای  $B$  هستند :

$$B |v_n^i\rangle = \beta_i^{(n)} |v_n^i\rangle \quad (D-57)$$

همانطوری که در بالا دیدیم ، این بردارها خود بخود ویژه بردارهای  $A$  با ویژه مقدار  $a_n$  هستند ، زیرا به  $\mathcal{G}$  تعلق دارند . این حقیقت را مورد تأکید قرار می‌دهیم که ویژه بردارهای  $A$  وابسته به ویژه مقدارهای تبیکن لزوماً "ویژه بردارهای  $B$ " نیستند . آنچه اثبات کردیم این است که ، همواره می‌توان ، در هر ویژه زیر فضای  $A$  ، یک پایه از ویژه بردارهای مشترک  $A$  و  $B$  انتخاب کرد .

اگر این عمل را در تمام زیر فضاهای  $\mathcal{G}$  انجام دهیم ، پایه‌ای از  $\mathcal{G}$  بسدست می‌آوریم که توسط ویژه بردارهای مشترک  $A$  و  $B$  تشکیل یافته است . لذا قضیه ثابت شده است .

گوشزدها :

از این بعد ، ویژه بردارهای مشترک  $A$  و  $B$  را با  $|u_{n,p}^i\rangle$  نشان خواهیم داد . (i)

$$\begin{aligned} A |u_{n,p}^i\rangle &= a_p |u_{n,p}^i\rangle \\ B |u_{n,p}^i\rangle &= b_p |u_{n,p}^i\rangle \end{aligned} \quad (D-58)$$

نمادهای  $n$  و  $p$  که در  $|u_{n,p}^i\rangle$  ظاهر می‌شوند ما را قادر می‌سازند تا ویژه مقدارهای  $a_n$  و  $b_p$  ای عملگرهای  $A$  و  $B$  را مشخص سازیم . شاخص اضافی  $i$  "مالا" برای تمیز دادن بردارهای مختلف پایه ، که متناظر با همان ویژه بردارهای  $a_n$  و  $b_p$  می‌باشد به کار می‌رود . (رک بخش  $b$  ای زیر) .

عکس قضیه ۳ به آسانی اثبات می شود: اگر یک پایه<sup>i</sup> از ویژه بردارهای مشترک  $A$  و  $B$  وجود داشته باشد، این دو مشاهده پذیر جابجایی پذیرند.  
به سادگی می توان از (D-۵۸) نتیجه گیری کرد که:

$$\begin{aligned} AB|u_{n,p}^i\rangle &= b_p A|u_{n,p}^i\rangle = b_p a_n |u_{n,p}^i\rangle \\ BA|u_{n,p}^i\rangle &= a_n B|u_{n,p}^i\rangle = a_n b_p |u_{n,p}^i\rangle \end{aligned} \quad (D-۵۹)$$

و از کم کردن این دو معادله از یکدیگر داریم:

$$[A, B]|u_{n,p}^i\rangle = 0 \quad (D-۶۰)$$

این رابطه برای تمام  $n$  ها و  $p$  ها معتبر است. چون بنا به فرض، بردارهای  $|u_{n,p}^i\rangle$  یک پایه تشکیل می دهند، (D-۶۰) ایجاب می کند که  $[A, B] = 0$  باشد.

به مناسبتی، بعداً، مجبور خواهیم بود که معادله ویژه مقداری یک مشاهده پذیر به صورت  $C$  (iii)

$$C = A + B \quad \text{و} \quad [A, B] = 0 \quad (D-61)$$

را، که در آن  $A$  و  $B$  نیز مشاهده پذیرند، حل کنیم.

وقتی یک پایه  $|u_{n,p}^i\rangle$  از ویژه بردارهای مشترک  $A$  و  $B$  پیدا شد، مسئله حل شده است، زیرا بلافاصله می بینیم که  $|u_{n,p}^i\rangle$  یک پایه بردار  $C$ ، با ویژه مقدار  $a_n + b_p$ ، نیز هست. این واقعیت که  $|u_{n,p}^i\rangle$  یک پایه تشکیل می دهد آشکارا ضروری است: این مطلب به ما اجازه می دهد تا، به عنوان مثال، نشان دهیم که تمام ویژه مقدارهای  $C$  به شکل  $a_n + b_p$  هستند.

### ۶- مجموعه های کامل \* مشاهده پذیرهای جابجایی پذیر (م، گ، م، ج)

یک مشاهده پذیر  $A$  و یک پایه<sup>i</sup> از  $\mathcal{H}$  را که از ویژه بردارهای  $|u_n^i\rangle$  ای  $A$  تشکیل

« کلمه "کامل" در اینجا به مفهومی به کار رفته است که کاملاً" با آنها<sup>a</sup>ی که در پاورقی بخش ۲-۱۳۳ صفحه A مده است بی ارتباط است. این استفاده از کلمه "کامل" در مکانیک کوانتومی متداول است.

\*\*\* برای اینکه فهم خوبی از مفاهیم مهم وارد شده در این بخش حاصل شود، خواننده باید آنها را به یک مثال واقعی نظیر مثال بحث شده در مکمل  $H_0$  (تمرینات حل شده ۱۱ و ۱۲) اعمال کند.

یافته است، در نظر بگیرید. اگر هیچیک از ویژه مقدارهای  $A$  تبھگن نباشد، بردارهای پایه مختلف  $a_i$  می‌توانند توسط ویژه مقدار  $A$  مشخص شوند شاخص  $i$  در  $\langle \psi | A | \psi \rangle$  در این مورد، بی فایده است). در این صورت ویژه زیر فضاهای  $a_i$  یک بعدی هستند. بنابراین، با مشخص شدن ویژه مقدار، ویژه بردار متناظر به طریق یکتاوی (باتقریب یک ضریب ثابت) تعیین می‌شود. به عبارت دیگر، فقط یک پایه از  $a_i$  وجود دارد که توسط ویژه بردارهای  $A$  تشکیل می‌یابد (دراینجا، دو پایه را که بردارهای نشان متناسب با یکدیگر باشند، به عنوان دو پایه متمایز تلقی نخواهیم کرد). لذا گفته می‌شود که مشاهده پذیر  $A$ ، به تنهایی یک م. ک. م. ج. تشکیل می‌دهد.

اگر، از طرف دیگر، یک یا چند ویژه مقدار  $A$  تبھگن باشد، وضعیت فرق می‌کند. مشخص کردن  $a_i$ ، دیگر برای مشخص کردن یک بردار پایه همیشه کافی نخواهد بود، زیرا با ویژه مقدارهای تبھگن چند بردار مستقل متناظر خواهد بود. واضح است که در این مورد، پایه ویژه بردارهای  $B$  یکتا نیست. می‌توان هر پایه‌ای در داخل هریک از ویژه زیر فضاهای  $a_i$  با بعد بزرگتر از ۱، را انتخاب کرد.

سپس، یک مشاهده پذیر دیگر  $B$  که با  $A$  جایگائی پذیر است انتخاب می‌کنیم، و از ویژه بردارهای مشترک  $A$  و  $B$  یک پایه راست هنجار می‌سازیم. اگر این پایه (باتقریب یک ضریب فاز برای هریک از بردارهای پایه) یکتا باشد، یعنی، اگر به هریک از زوجهای ممکن از ویژه مقدارهای  $\{a_i, b_j\}$ ، فقط یک بردار پایه متناظر باشد،  $A$  و  $B$ ، بنامه تعریف یک م. ک. م. ج. تشکیل می‌دهند.

### گوشزد :

در بخش a، با حل معادله ویژه مقداری  $B$  در داخل هر ویژه زیر فضای  $a_i$ ، یک پایه از ویژه بردارهای مشترک  $A$  و  $B$  ساختیم، برای اینکه  $A$  و  $B$  یک م. ک. م. ج. تشکیل دهند، لازم و کافی است که، در داخل هریک از این زیر فضاهای  $a_i$  تمام ویژه مقدار  $B$  متمایز باشد، چون تمام بردارهای  $a_i$  با یک ویژه مقدار  $a_i$ ، مربوط به  $A$ ، متناظرند، در این صورت  $a_i$  بردار  $\langle \psi |$  می‌توانند توسط ویژه مقدار  $B$  که به آنها وابسته‌اند از هم متمایز شوند، توجه کنید که لازم نیست که تمام ویژه مقدارهای  $B$  ناتبھگن باشند، بردارهای  $\langle \psi |$  متعلق به دوزیرفضای متمایز  $a_i$  می‌توانند دارای ویژه مقدارهای یکسانی برای  $B$  باشند، بعلاوه، اگر تمام ویژه مقدارهای  $B$  ناتبھگن می‌بودند،  $B$  به تنهایی یک م. ک. م. ج. تشکیل می‌داد.

اگر، برای حداقل یکی از زوجهای ممکن  $\{a_p, b_p\}$  ، چند بردار مستقل وجود داشته باشد که ویژه بردارهای  $A$  و  $B$  ، با این ویژه مقدارها باشند، مجموعه  $\{A, B\}$  کامل نیست. حال بباید، یک مشاهده‌پذیر سوم  $C$  را کهم با  $A$  و هم با  $B$  جابجائی‌پذیر است به‌آن بیفزایم. در این صورت می‌توانیم همان استدلال بخش a) فوق را به‌کار برسیم و آن را بمطريق زیر تعمیم دهیم . وقتی با زوج  $\{a_p, b_p\}$  ، فقط یک بردار منتظر باشد، این بردار لزوماً "یک ویژه بردار  $C$  خواهد بود . اگر چند بردار وجود داشته باشد، این بردارها یک ویژه زیر فضای  $\mathbb{R}^n$  تشکیل می‌دهند که در آن می‌توان پایه‌ای انتخاب کرد که از بردارهای که ویژه بردارهای  $C$  نیز هستند تشکیل شده باشد . به‌این ترتیب می‌توان ، در فضای حالت، یک پایه راست هنجار، که از ویژه بردارهای  $A$  ،  $B$  و  $C$  تشکیل شده باشد . ساخت  $A$  ،  $B$  و  $C$  وقتی یک م.ک.م.ج. تشکیل می‌دهند که این پایه (با تقریب ضریب‌های) یکتا باشد . در این صورت ، معلوم بودن یک مجموعه<sup>۲</sup> ممکن از ویژه مقدارهای  $\{c_p, a_p, b_p\}$  مربوطه به  $C$  فقط یکی از بردارهای این پایه را مشخص می‌کند . اگرچنان‌نباشد، به  $A$  ،  $B$  ،  $C$  مشاهده‌پذیر دیگر  $D$  که با هریک ازین سه اپراتور جابجائی‌پذیر باشد افزوده خواهد شد ، والی آخر . به‌این ترتیب ، بهمراه زیر هدایت می‌شویم :

با بهتریف ، یک مجموعه از مشاهده‌پذیرهای  $A$  ،  $B$  ،  $C$  ... یک مجموعه کامل مشاهده‌پذیرهای جابجائی‌پذیر نامیده می‌شود اگر :

- (۱) تمام مشاهده‌پذیرهای  $A$  ،  $B$  ،  $C$  ... دو بهدو جابجائی‌پذیر باشند .
- (۲) مشخص کردن ویژه مقدارهای تمام اپراتورهای  $A$  ،  $B$  ،  $C$  .. برای تعیین یک ویژه بردار مشترک یکتا (با تقریب یک ضریب ضریبی) کافی است .

بیان معادل دیگر به صورت زیر است :

یک مجموعه از مشاهده‌پذیرهای  $A$  ،  $C$  ،  $B$  ... ، وقتی یک مجموعه کامل مشاهده‌پذیرهای جابجائی‌پذیر است که یک پایه راست هنجار یکتائی از ویژه بردارهای مشترک آنها (باتقریب ضرائب فاز) وجود داشته باشد .  
م.ک.م.ج. ها نقش مهمی در مکانیک کوانتومی ایفا می‌کنند . مثالهای بیشماری از آنها را خواهیم دید (رک، بخصوص به، بخش ۲-۲-B) .

### گوشزدها :

- (i) اگر  $\{A, B\}$  یک م.ک.م.ج. باشد ، با افزودن هر مشاهده‌پذیر  $C$  به‌آن یک م.ک.م.ج. دیگر می‌تواند بدست آید ، البته ، به شرط اینکه ، این مشاهده‌پذیر

با  $A$  و  $B$  جابجایی پذیر باشد. لیکن، عموماً، مناسب است که خود را به مجموعه های "می نیم" یعنی، به آنها ای که وقتی هر یک از مشاهده‌پذیرها را حذف کنیم دیگر کامل نیستند، محدود کنیم.

فرض کنید  $\{A, B, C\}$  یک مجموعه کامل مشاهده‌پذیرهای جابجایی پذیر باشد. چون مشخص کردن ویژه مقدارهای  $\dots, c, b, a$ ، یک کت از یا به مربطه را (باتقریب یک ضریب ثابت) تعیین می‌کنند، این کت را کاهی با  $\langle \dots, c, b, a |$  نمایش می‌دهیم.

برای یک سیستم فیزیکی معین، چند مجموعه کامل مشاهده‌پذیرهای جابجایی پذیر وجود دارد. یک مثال بخصوصی از آنرا در بخش E-۲ خواهیم دید.

### E . دو مثال مهم از نمایشها و مشاهده‌پذیرها

در این بخش، به فضای  $\mathbb{R}^3$  توابع موج یک ذره، یا به عبارت دقیقتری، به فضای  $\mathbb{R}^3$  می‌خواهیم ای که به آن وابسته است و ما آنرا به طریق زیر تعریف خواهیم کرد، باز می‌گردیم فرض کنید به هر تابع موج  $(\psi)$ ، یک کت  $\langle \psi |$  متعلق به  $\mathbb{R}^3$  مربوط باشد، این ارتباط خطی است. بعلاوه، حاصلضرب نرداری دو کت بر حاصلضرب نرداری توابعی که به آنها وابسته‌اند منطبق است:

$$\langle \varphi | \psi \rangle = \int d^3r \varphi^*(r) \psi(r) \quad (E-1)$$

بنابراین،  $\psi$  عبارت است از فضای حالت یک ذره (بدون اسپین). می‌خواهیم، در این فضا، دونمایش و دو عملگر را که از اهمیت خاصی برخوردارند تعریف و مطالعه کنیم. در فصل سوم، آنها را به مکان و تکانه ذره مورد بررسی، وابسته خواهیم کرد. بعلاوه، آنها مارا قادر خواهند ساخت تا مفاهیمی را که در بخش‌های گذشته وارد کردیم به کار ببرده و آنها را روشن کنیم.

#### ۱ - نمایش‌های $\langle r |$ و $\langle p |$

##### a - تعریف

در بخش‌های  $a$ -۳ و  $b$ -۳، "دوپایه" بخصوص از  $\mathbb{R}^3$  را معرفی کردیم:  $\{\psi_{p_0}(r)\}$  و  $\{\psi_{r_0}(p)\}$ . این پایه‌ها از توابع متعلق به  $\mathbb{R}^3$  تشکیل نشده‌اند:

$$\xi_{r_0}(r) = \delta(r - r_0) \quad (E-2-a)$$

$$v_{p_0}(r) = (2\pi\hbar)^{-3/2} e^{\frac{i}{\hbar} p_0 \cdot r} \quad (E-2-b)$$

لیکن، هر تابع مجدوراً "انتگرال پذیر و به حد کافی منظم" می‌تواند بر حسب یکی از این "پایه‌ها" بسط داده شود.

بنابراین، "نماش"  $\xi_{r_0}(r)$  را حذف کرده و به هر تابع ازین پایه‌ها، یک کت وابسته خواهیم کرد (وک بخش ۲-۲-B). کت وابسته به  $v_{p_0}(r)$  را با  $|r_0\rangle$  و کت وابسته به  $v_{p_0}(r)$  را با  $|p_0\rangle$  نمایش خواهیم داد:

$$\xi_{r_0}(r) \leftrightarrow |r_0\rangle \quad (E-3-a)$$

$$v_{p_0}(r) \leftrightarrow |p_0\rangle \quad (E-3-b)$$

بنابراین، با استفاده از پایه‌های  $|r_0\rangle$  و  $|p_0\rangle$  متعلق به  $\mathcal{H}$ ، دو نمایش در  $\mathcal{H}$  تعریف می‌کنیم: نمایش  $|r_0\rangle$  و نمایش  $|p_0\rangle$ . یک بردار پایه اولی توسط به "شاخص پیوسته"  $x_0, y_0$  و  $z_0$ ، که مختصات یک نقطه در فضای سه بعدی هستند، مشخص می‌شود، برای نمایش دوم نیز، سه شاخص مولفه‌های یک بردار معمولی هستند.

### b - روابط راست هنجاری و پستاری

حال  $\langle r'_0 | r_0 \rangle$  را محاسبه می‌کنیم. با استفاده از تعریف حاصلضرب برداری در  $\mathcal{H}$  داریم:

$$\langle r_0 | r'_0 \rangle = \int d^3r \xi_{r_0}^*(r) \xi_{r'_0}(r) = \delta(r_0 - r'_0) \quad (E-4-a)$$

که در آن، از رابطه (۵۵-A) استفاده شده است. بهمین طریق، با استفاده از (A-۴۷) داریم:

$$\langle p_0 | p'_0 \rangle = \int d^3r v_{p_0}^*(r) v_{p'_0}(r) = \delta(p_0 - p'_0) \quad (E-4-b)$$

بنابراین، پایه‌هایی که تعریف کردیم، به مفهوم گسترده، راست هنجارند. این واقعیت که مجموعه  $|r_0\rangle$  با مجموعه  $|p_0\rangle$  یک پایه در  $\mathcal{H}$  تشکیل می‌دهند توسط یک رابطه بستاری در  $\mathcal{H}$  بیان می‌شود. این رابطه به طریق مشابه با (۱۵-C) نوشته می‌شود، به شرطی که در اینجا به جای یک شاخص روی سه شاخص انتگرال‌گیری شود.

بنابراین روابط اساسی زیر را داریم:

$\langle \mathbf{r}_0   \mathbf{r}'_0 \rangle = \delta(\mathbf{r}_0 - \mathbf{r}'_0)$ (a)	$\langle \mathbf{p}_0   \mathbf{p}'_0 \rangle = \delta(\mathbf{p}_0 - \mathbf{p}'_0)$ (c)
$\int d^3 r_0   \mathbf{r}_0 \rangle \langle \mathbf{r}_0   = 1$ (b)	$\int d^3 p_0   \mathbf{p}_0 \rangle \langle \mathbf{p}_0   = 1$ (d)

( E-۵ )

۱- مولفه‌های یکه گت

یکت دلخواه  $\langle \psi |$  ، متناظر باتابع موج  $(\psi)$  ، را در نظر بگیرید . روابط بستاری فوق الذکر مارا قادر می‌سازند تا آن را بهمکی از دوشکل زیر بنویسیم :

$$| \psi \rangle = \int d^3 r_0 | \mathbf{r}_0 \rangle \langle \mathbf{r}_0 | \psi \rangle \quad ( E-۶-a )$$

$$| \psi \rangle = \int d^3 p_0 | \mathbf{p}_0 \rangle \langle \mathbf{p}_0 | \psi \rangle \quad ( E-۶-b )$$

ضرائب  $\langle \psi |$  و  $\langle \psi | \mathbf{p}_0 \rangle$  می‌توانند بااستفاده از فرمولهای زیر محاسبه شوند :

$$\langle \mathbf{r}_0 | \psi \rangle = \int d^3 r \ \xi_{\mathbf{r}_0}^*(\mathbf{r}) \ \psi(\mathbf{r}) \quad ( E-7-a )$$

$$\langle \mathbf{p}_0 | \psi \rangle = \int d^3 r \ v_{\mathbf{p}_0}^*(\mathbf{r}) \ \psi(\mathbf{r}) \quad ( E-7-b )$$

لذا نتیجه می‌گیریم :

$$\langle \mathbf{r}_0 | \psi \rangle = \psi(\mathbf{r}_0) \quad ( E-8-a )$$

$$\langle \mathbf{p}_0 | \psi \rangle = \bar{\psi}(\mathbf{p}_0) \quad ( E-8-b )$$

که در آن  $(\bar{\psi})$  تبدیل فوریه  $(\psi)$  است .

بدین ترتیب نشان دادیم که مقدار تابع موج در نقطه  $\mathbf{r}_0$  ، یعنی  $(\psi(\mathbf{r}_0))$  ، همان مولفه گت  $\langle \psi |$  روی بردار پایه  $\langle \mathbf{r}_0 |$  نمایش  $\{ \mathbf{r}_0 | \}$  است . "تابع موج در فضای تکانه "  $\bar{\psi}(\mathbf{p})$  ، می‌تواند به طریق مشابهی تعبیر شود . بنابراین ، امکان مشخص کردن  $\langle \psi |$  توسط  $\psi(\mathbf{r})$  ، بهطور ساده ، مورد خاصی از نتایج بخش ۳-۳-C است .

به عنوان مثال ، برای  $\langle \psi | \mathbf{p}_0 \rangle =$  فرمول ( E-8-a ) می‌دهد که :

$$\langle \mathbf{r}_0 | \mathbf{p}_0 \rangle = v_{\mathbf{p}_0}(\mathbf{r}_0) = (2\pi\hbar)^{-3/2} e^{\frac{i}{\hbar} \mathbf{p}_0 \cdot \mathbf{r}_0} \quad (E-9)$$

برای  $|\psi\rangle = |\mathbf{r}'_0\rangle$  ، این نتیجه ، در واقع ، برابر با راستهنجاری (E-5-a) موافق دارد :

$$\langle \mathbf{r}_0 | \mathbf{r}'_0 \rangle = \zeta_{\mathbf{r}'_0}(\mathbf{r}_0) = \delta(\mathbf{r}_0 - \mathbf{r}'_0) \quad (E-10)$$

حال که از تابع موج  $(\psi)$  و تبدیل فوریه آن  $(\bar{\psi})$  تغییر مجددی کردیم ، بودارهای پایه دو نمایشی را که در اینجا مطالعه می کنیم ، بهجای  $\langle \mathbf{r}_0 | \mathbf{p}_0 \rangle$  و  $\langle \mathbf{r}_0 | \psi \rangle$  و  $\langle \mathbf{p}_0 | \psi \rangle$  نشان خواهیم داد . در این صورت فرمولهای (E-4) می توانند بهصورت زیر نوشته شوند :

$$\langle \mathbf{r} | \psi \rangle = \psi(\mathbf{r}) \quad (E-4-a)$$

$$\langle \mathbf{p} | \psi \rangle = \bar{\psi}(\mathbf{p}) \quad (E-4-b)$$

و روابط راست هنجارش و بستاری (E-5) خواهند شد :

$$\langle \mathbf{r} | \mathbf{r}' \rangle = \delta(\mathbf{r} - \mathbf{r}') \quad (a)$$

$$\langle \mathbf{p} | \mathbf{p}' \rangle = \delta(\mathbf{p} - \mathbf{p}') \quad (c)$$

$$\int d^3r |\mathbf{r}\rangle \langle \mathbf{r}| = \mathbb{1} \quad (b)$$

$$\int d^3p |\mathbf{p}\rangle \langle \mathbf{p}| = \mathbb{1} \quad (d) \quad (E-5)$$

البته  $\mathbf{r}$  و  $\mathbf{p}$  به عنوان معرف دومجموعه از شاخصهای پیوسته ،  $\{x, y, z\}$  و  $\{p_x, p_y, p_z\}$  که به ترتیب کتهای پایه نمایشگاهی  $\{|\mathbf{r}\rangle$  و  $\{|\mathbf{p}\rangle$  را مشخص می کنند ، نیز در نظر گرفته می شوند .

حال فرض کنید  $\{|\mathbf{u}_i\rangle\}$  ، یک پایه راست هنجار از  $\mathcal{H}$  باشد . بهمراه  $|\mathbf{u}_i\rangle$  یک کت  $|\mathbf{u}_i\rangle$  از  $\mathcal{H}$  وابسته است . مجموعه  $\{|\mathbf{u}_i\rangle\}$  ، یک پایه راست هنجار در  $\mathcal{H}$  تشکیل می دهد ، بنابراین در رابطه بستاری زیر صدق می کند :

$$\sum_i |\mathbf{u}_i\rangle \langle \mathbf{u}_i| = \mathbb{1} \quad (E-11)$$

عنصر ماتریسی دوطرف (E-11) ، بین  $|\mathbf{r}\rangle$  و  $|\mathbf{r}'\rangle$  را برآورد می کنیم :

$$\sum_i \langle \mathbf{r} | \mathbf{u}_i \rangle \langle \mathbf{u}_i | \mathbf{r}' \rangle = \langle \mathbf{r} | \mathbb{1} | \mathbf{r}' \rangle = \langle \mathbf{r} | \mathbf{r}' \rangle \quad (E-12)$$

این رابطه ، بنابر (E-4-a) و (E-5-a) ، می تواند بهصورت زیر نوشته شود :

$$\sum_i u_i(r) u_i^*(r') = \delta(r - r') \quad (E-13)$$

بنابراین، رابطه بستاری در  $\{u_i(r)\}$  [ فرمول (A-۳۲) ] ، بیان همان رابطه بستاری برداری (E-۱۱) در نمایش  $\{r\}$  است.

#### ه - حاصلضرب نرداری دوپردار

حاصلضرب نرداری دوکت از  $\psi$  را بهاین صورت تعریف کردیم که برابراست با حاصلضرب نرداری توابع موج وابسته به آنها در  $\mathcal{H}$  [ معادله (E-۱) ]. در پرتو بحث بخش c. این تعریف، به عنوان یک مورد خاص از فرمول (C-۲۱) ظاهر می شود. در واقع  $(E-1)$  می تواند با قراردادن رابطه بستاری (b-۵)  $E$  بین  $|\varphi\rangle$  و  $|\psi\rangle$  :

$$\langle \varphi | \psi \rangle = \int d^3r \langle \varphi | r \rangle \langle r | \psi \rangle \quad (E-14)$$

و با تعبیر مؤلفه های  $\psi | r \rangle$  و  $\varphi | r \rangle$  به صورت (E-۴-a) بدست آید. اگر خود را در نمایش  $\{p\}$  قرار دهیم، یک خاصیت مشهور تبدیل فوریه ثابت می شود (پیوست I ، بخش c ) .

$$\begin{aligned} \langle \varphi | \psi \rangle &= \int d^3p \langle \varphi | p \rangle \langle p | \psi \rangle \\ &= \int d^3p \bar{\varphi}^*(p) \bar{\psi}(p) \end{aligned} \quad (E-15)$$

#### ه - تغییر از نمایش $\{p\}$ به نمایش $\{r\}$

این عمل با به کار بردن روش مذکور در بخش ۵-C انجام می شود، تنها اختلاف از این واقعیت ناشی می شود که در اینجا با دوپایه پیوسته سروکار داریم. تغییر از یک پایه به پایه دیگر، اعداد زیر را وارد می کند:

$$\langle r | p \rangle = \langle p | r \rangle^* = (2\pi\hbar)^{-3/2} e^{\frac{i}{\hbar}pr} \quad (E-16)$$

یک کت معین  $(r)\psi$  ، در نمایش  $\{r\}$  با  $\{ | r \rangle \psi \}$  با  $\langle r | \psi \rangle$  و در نمایش  $\{p\}$  با  $\langle \bar{\psi}(p) | \psi \rangle$  نشان داده می شود. می دانیم که [ فرمول (E-۷-b) ]  $\langle \psi | \psi(p) \rangle$  توسط یک تبدیل فوریه بهم مربوطند. این، در واقع همان چیزی است که

فرمولهای تغییر نمایش به دست می‌دهند:

$$\langle \mathbf{r} | \psi \rangle = \int d^3 p \langle \mathbf{r} | \mathbf{p} \rangle \langle \mathbf{p} | \psi \rangle$$

یعنی:

$$\psi(\mathbf{r}) = (2\pi\hbar)^{-3/2} \int d^3 p e^{\frac{i}{\hbar} \mathbf{p} \cdot \mathbf{r}} \bar{\psi}(\mathbf{p}) \quad (\text{E}-17)$$

بهطور معکوس:

$$\langle \mathbf{p} | \psi \rangle = \int d^3 r \langle \mathbf{p} | \mathbf{r} \rangle \langle \mathbf{r} | \psi \rangle$$

یعنی:

$$\bar{\psi}(\mathbf{p}) = (2\pi\hbar)^{-3/2} \int d^3 r e^{-\frac{i}{\hbar} \mathbf{p} \cdot \mathbf{r}} \psi(\mathbf{r}) \quad (\text{E}-18)$$

با استفاده از فرمول عمومی (C-۵۶) ، می‌توان به آسانی از عناصر ماتریسی یک عملگر  $A$  در نمایش  $\{|\mathbf{r}\rangle\}$  ، یعنی ، از  $\langle \mathbf{r}' | A | \mathbf{r} \rangle = A(\mathbf{r}', \mathbf{r})$  ، به عنصر ماتریسی همان عملگر در نمایش  $\{|\mathbf{p}\rangle\}$  ، یعنی ، به  $\langle \mathbf{p}' | A | \mathbf{p} \rangle = A(\mathbf{p}', \mathbf{p})$  ، رفت:

$$A(\mathbf{p}', \mathbf{p}) = (2\pi\hbar)^{-3} \int d^3 r \int d^3 r' e^{\frac{i}{\hbar} (\mathbf{p} \cdot \mathbf{r} - \mathbf{p}' \cdot \mathbf{r}')} A(\mathbf{r}', \mathbf{r}) \quad (\text{E}-19)$$

فرمول مشابهی ما را قادر می‌سازد تا  $A(\mathbf{r}', \mathbf{r})$  را از روی  $A(\mathbf{p}', \mathbf{p})$  محاسبه کنیم.

### ۳ - عملگرهای $\mathbf{R}$ و $\mathbf{p}$

a - تعریف:

فرض کنید  $\langle \mathbf{r} | \psi \rangle$  یک کت دلخواه از  $\mathcal{H}$  بوده و تابع موج مربوطه باشد. با استفاده از تعریف عملگر  $X$  ، کت:

$$|\psi'\rangle = X |\psi\rangle \quad (\text{E}-20)$$

در پایه  $\{|\mathbf{r}\rangle\}$  ، توسط تابع  $\langle \mathbf{r} | \psi' \rangle = \psi'(\mathbf{r}) \equiv \psi'(x, y, z)$  نمایش داده شود بهطوری که:

$$\psi'(x, y, z) = x \psi(x, y, z) \quad (\text{E}-21)$$

از این رو، در نمایش  $\{ | r \rangle \}$ ، عملگر  $X$  با عملگری که در  $x$  ضرب می‌کند منطبق است.  $X$ ، اگر چهار طبقی که توابع موج را تبدیل می‌کند مشخص می‌شود، عملگری است که در فضای حالت‌های  $| r \rangle$  عمل می‌کند. می‌توانیم بهمین ترتیب، دو عملگر دیگر،  $Y$  و  $Z$  را وارد کنیم. بنابراین،  $X$ ،  $Y$  و  $Z$  را توسط فرمولهای زیر تعریف می‌کنیم:

$$\langle r | X | \psi \rangle = x \langle r | \psi \rangle \quad (E-22-a)$$

$$\langle r | Y | \psi \rangle = y \langle r | \psi \rangle \quad (E-22-b)$$

$$\langle r | Z | \psi \rangle = z \langle r | \psi \rangle \quad (E-22-c)$$

که در آنها، اعداد  $x, y, z$  دقیقاً همان سه‌شachi هستند که کت  $| r \rangle$  را مشخص می‌کنند.  $X$ ،  $Y$  و  $Z$  را به عنوان "مولفه‌های" یک "عملگر برداری"  $R$  در نظر خواهیم گرفت: در حال حاضر، منظور، فقط بدکار بودن یک نمادگذاری فشرده است، که توسط این واقعیت  $x, y$  و  $z$  مولفه‌های بردار معمولی  $r$  هستند پیشنهاد می‌شود.

کار با عملگرهای  $X$ ،  $Y$ ،  $Z$  در نمایش  $\{ | r \rangle \}$  خیلی آسان است. به عنوان مثال برای محاسبه عنصر ماتریسی  $\langle \varphi | X | \psi \rangle$ ، کافی است رابطه بستاری (E-5-a) را بین  $| \varphi \rangle$  و  $| X \rangle$  قرار داده و از تعریف (E-22) استفاده کنیم:

$$\begin{aligned} \langle \varphi | X | \psi \rangle &= \int d^3r \langle \varphi | r \rangle \langle r | X | \psi \rangle \\ &= \int d^3r \varphi^*(r) x \psi(r) \end{aligned} \quad (E-23)$$

به طور مشابه، عملگر برداری  $P$  را توسط مولفه‌های  $p_x, p_y, p_z$  آن تعریف می‌کنیم، که عمل آن‌ها، در نمایش  $\{ | p \rangle \}$ ، توسط روابط زیر داده می‌شود:

$$\langle p | P_x | \psi \rangle = p_x \langle p | \psi \rangle \quad (E-24-a)$$

$$\langle p | P_y | \psi \rangle = p_y \langle p | \psi \rangle \quad (E-24-b)$$

$$\langle p | P_z | \psi \rangle = p_z \langle p | \psi \rangle \quad (E-24-c)$$

که در آنها،  $p_x, p_y, p_z$  سه‌شachi هستند که در کت  $| p \rangle$  ظاهر می‌شوند. حال معین کنیم که عملگر  $P$  در نمایش  $\{ | r \rangle \}$  چگونه عمل می‌کند. برای این منظور (رک بخش ۵-C)، از رابطه بستاری (E-5-d) و ماتریس تبدیل (E-16) استفاده می‌کنیم و نتیجه می‌گیریم:

$$\begin{aligned} \langle \mathbf{r} | P_x | \psi \rangle &= \int d^3 p \langle \mathbf{r} | \mathbf{p} \rangle \langle \mathbf{p} | P_x | \psi \rangle \\ &= (2\pi\hbar)^{-3/2} \int d^3 p e^{\frac{i}{\hbar} \mathbf{p} \cdot \mathbf{r}} p_x \bar{\psi}(\mathbf{p}) \end{aligned} \quad (\text{E}-25)$$

در (E-25)، تبدیل فوریه  $p_x \bar{\psi}(\mathbf{p})$ ، یعنی،  $\langle \mathbf{r} | \psi \rangle = \frac{\hbar}{i} \frac{\partial}{\partial \mathbf{r}}$  را می‌شناشیم [رک پیوست، رابطه (a-28)]. از این رو:

$$\langle \mathbf{r} | \mathbf{P} | \psi \rangle = \frac{\hbar}{i} \nabla \langle \mathbf{r} | \psi \rangle \quad (\text{E}-26)$$

در نمایش  $\langle \mathbf{r} | \psi \rangle$ ، عملگر  $\mathbf{P}$  بر عملگر دیفرانسیل  $\nabla$  که بر توابع موج اعمال می‌شود، منطبق است. بنابر این محاسبه یک عنصر ماتریسی نظیر  $\langle \psi | P_x | \phi \rangle$  در نمایش  $\langle \mathbf{r} | \psi \rangle$  بروش زیر انجام می‌شود:

$$\begin{aligned} \langle \phi | P_x | \psi \rangle &= \int d^3 r \langle \phi | \mathbf{r} \rangle \langle \mathbf{r} | P_x | \psi \rangle \\ &= \int d^3 r \phi^*(\mathbf{r}) \left[ \frac{\hbar}{i} \frac{\partial}{\partial \mathbf{r}} \right] \psi(\mathbf{r}) \end{aligned} \quad (\text{E}-27)$$

با قرار گرفتن در نمایش  $\langle \mathbf{r} | \psi \rangle$ ، می‌توانیم جابجاگرهای بین عملگرهای  $P_z, P_y, P_x, Z, Y, X$  را نیز محاسبه کنیم. به عنوان مثال:

$$\begin{aligned} \langle \mathbf{r} | [X, P_x] | \psi \rangle &= \langle \mathbf{r} | (XP_x - P_x X) | \psi \rangle \\ &= x \langle \mathbf{r} | P_x | \psi \rangle - \frac{\hbar}{i} \frac{\partial}{\partial x} \langle \mathbf{r} | X | \psi \rangle \\ &= \frac{\hbar}{i} x \frac{\partial}{\partial x} \langle \mathbf{r} | \psi \rangle - \frac{\hbar}{i} \frac{\partial}{\partial x} x \langle \mathbf{r} | \psi \rangle \\ &= i\hbar \langle \mathbf{r} | \psi \rangle \end{aligned} \quad (\text{E}-28)$$

این محاسبه برای تمام  $\langle \psi |$  ها و برای هرکت از یا به  $\langle \mathbf{r} |$  معتبر است. بدین ترتیب خواهیم داشت:

\* جابجاگر  $[X, P_x]$  یک عملگر است، و در واقع، باید به صورت  $[X, P_x] = i\hbar \mathbb{I}$  نوشته شود. ولی، غالباً "عملگر همانندی" را توسط عدد ۱ جایگزین خواهیم کرد، مگر وقتی که متمایز ساختن آن مهم باشد.

$$[X, P_x] = i\hbar \quad (E-29)$$

تمام جابجاگرهای دیگر بین موجفهای  $R$  و موجفهای  $P$  را با همین روش بدست می‌آوریم.  
نتیجه، می‌تواند به صورت زیر نوشته شود:

$$\boxed{\begin{array}{l} [R_i, R_j] = 0 \\ [P_i, P_j] = 0 \\ [R_i, P_j] = i\hbar\delta_{ij} \end{array}} \quad i, j = 1, 2, 3 \quad (E-30)$$

که در آنها،  $R_1, R_2, R_3$  و  $P_1, P_2, P_3$  به ترتیب  $X, Y, Z$  و  $P_x, P_y, P_z$  را مشخص می‌کنند.  
فرمولهای (E-30) روابط جابجائی پذیری بندادی نامیده می‌شوند.

$\psi$  و  $P$  هرمیتی‌اند

برای اینکه نشان دهیم که، به عنوان مثال،  $X$  یک عملگر هرمیتی است، می‌توانیم  
از فرمول (E-23) استفاده کنیم:

$$\begin{aligned} \langle \varphi | X | \psi \rangle &= \int d^3r \quad \varphi^*(\mathbf{r}) \times \psi(\mathbf{r}) \\ &= \left[ \int d^3r \quad \psi^*(\mathbf{r}) \times \varphi(\mathbf{r}) \right]^* \\ &= \langle \psi | X | \varphi \rangle^* \end{aligned} \quad (E-31)$$

از بخش e-B-۴-۱، می‌دانیم که معادله (E-31) مشخصه یک عملگر هرمیتی است.  
استدلالهای مشابه نشان می‌دهند که  $Y$  و  $Z$  نیز هرمیتی هستند. برای  $P_x, P_y$  و  $P_z$ ، می‌توان از نمایش  $\langle p | p \rangle$  استفاده کرد، و در این صورت محاسبات مشابه محاسبات فوق است.  
جالب توجه است که با استفاده از معادله (E-26)، که عمل  $P$  در نمایش  $\langle r | r \rangle$  را بدست می‌دهد، نشان دهیم که  $P$  هرمیتی است به عنوان مثال، فرمول (E-27) را در نظر گرفته و از آن بهروش جزو بجزء انتگرال می‌گیریم:

$$\begin{aligned} \langle \varphi | P_x | \psi \rangle &= \frac{\hbar}{i} \int dy \quad dz \int_{-\infty}^{+\infty} dx \quad \varphi^*(\mathbf{r}) \frac{\partial}{\partial x} \psi(\mathbf{r}) \\ &= \frac{\hbar}{i} \int dy \quad dz \left\{ \left[ \varphi^*(\mathbf{r}) \psi(\mathbf{r}) \right]_{x=-\infty}^{x=+\infty} - \int_{-\infty}^{+\infty} dx \quad \psi(\mathbf{r}) \frac{\partial}{\partial x} \varphi^*(\mathbf{r}) \right\} \quad (E-32) \end{aligned}$$

چون انتگرالی که حاصلضرب نرداری  $\langle \psi | \varphi \rangle$  را به دست می‌دهد، همگرا است، وقتی  $\pm \infty \rightarrow x$  ،  $\varphi^*(r) \psi(r)$  به سمت صفر میل می‌کند. بنابراین، اولین جمله طرف راست  $\therefore$  برابر صفر است، و :

$$\begin{aligned} \langle \varphi | P_x | \psi \rangle &= -\frac{\hbar}{i} \int d^3r \psi(r) \frac{\partial}{\partial x} \varphi^*(r) \\ &= \left[ \frac{\hbar}{i} \int d^3r \psi^*(r) \frac{\partial}{\partial x} \varphi(r) \right]^* \\ &= \langle \psi | P_x | \varphi \rangle^* \end{aligned} \quad (E-32)$$

می‌توان دید که حضور عدد موهومی  $i$  ضروری است. بعلت تغییر علامتی که متوسط انتگرال‌گیری جزء به جزء وارد می‌شود، عملگر دیفرانسیلی  $\frac{\partial}{\partial x}$  ، که روی توابع متعلق به  $\mathcal{H}$  عمل می‌کند، هرمیتی نیست. ولی  $\frac{\hbar}{i} \frac{\partial}{\partial x}$  هرمیتی هستند.

### c - ویژه بردارهای R و R'

عمل عملگر  $X$  روی کت  $\langle r_0 |$  را در نظر بگیرید، برطبق (a-E-22)، داریم:

$$\langle r | X | r_0 \rangle = x \langle r | r_0 \rangle = x \delta(r - r_0) = x_0 \delta(r - r_0) = x_0 \langle r | r_0 \rangle \quad (E-34)$$

این معادله بیان‌گر این واقعیت است که، در نمایش  $\{ | r \rangle \}$ ، مختصات کت  $\langle r_0 |$  را با  $X$  برابر است با مختصات کت  $\langle r_0 |$  ضربدر  $x_0$ . بنابراین، داریم:

$$X | r_0 \rangle = x_0 | r_0 \rangle \quad (E-35)$$

استدلال مشابهی نشان می‌دهد که کتهای  $\langle r_0 |$ ، ویژه بردارهای عملگرهای  $Y$  و  $Z$  نیز هستند. با حذف شاخص صفر، که دو این صورت غیر لازم است، می‌توانیم بنویسیم:

$X   r \rangle = x   r \rangle$
$Y   r \rangle = y   r \rangle$
$Z   r \rangle = z   r \rangle$

$$(E-36)$$

بنابراین کتهای  $\langle r |$ ، ویژه کتهای مشترک  $X$ ،  $Y$  و  $Z$  هستند، و بدین ترتیب نعادگذاری  $\langle r |$  که در بالا انتخاب کردیم، توجیه می‌شود؛ هر ویژه بردار توسط یک بردار  $r$ ، که مختصات  $x$ ،  $y$ ،  $z$  آن معرف سه‌شاخص پیوسته متناظر با ویژه مقدارهای  $X$ ،  $Y$  و  $Z$  هستند، مشخص می‌شود.

با قرار گرفتن در نمایش  $\{ | p \rangle \}$  استدلالهای مشابهی می‌توانند برای عملگر  $P$  ارائه شوند. در این صورت خواهیم داشت.

$$\boxed{\begin{aligned} P_x | p \rangle &= p_x | p \rangle \\ P_y | p \rangle &= p_y | p \rangle \\ P_z | p \rangle &= p_z | p \rangle \end{aligned}} \quad (E-37)$$

گوشزد:

این نتیجه می‌تواند از معادله (E-26) ، که عمل  $P$  در نمایش  $\{ | r \rangle \}$  را می‌دهد نیز بدست آید. با استفاده از (E-9) ، نتیجه می‌گیریم :

$$\begin{aligned} \langle r | P_x | p \rangle &= \frac{\hbar}{i} \frac{\partial}{\partial x} \langle r | p \rangle = \frac{\hbar}{i} \frac{\partial}{\partial x} (2\pi\hbar)^{-3/2} e^{\frac{i}{\hbar} p \cdot r} \\ &= p_x (2\pi\hbar)^{-3/2} e^{\frac{i}{\hbar} p \cdot r} = p_x \langle r | p \rangle \end{aligned} \quad (E-38)$$

تمام مولفه‌های کت  $| p \rangle$  در نمایش  $\{ | r \rangle \}$  ، می‌توانند از ضرب کردن مولفه‌های کت  $| p \rangle$  در ثابت  $p_x$  بدست آیند:  $| p \rangle$  یک ویژه کت  $p_x$  است با ویژه مقدار  $P_x$ .

$P$  و  $R - d$  مشاهده‌پذیرند

روابط (b) و (d) (E-5-d) بیانگر این واقعیتند که بردارهای  $\{ | r \rangle \}$  و بردارهای  $\{ | p \rangle \}$  پایه‌های در  $\mathbb{R}^3$  تشکیل می‌دهند. در نتیجه،  $R$  و  $P$  مشاهده‌پذیرند. بعلاوه، ویژه مقدارهای  $x_0, y_0, z_0$  متعلق به  $X, Y, Z$  ویژه بردار  $| r_0 \rangle$  مربوطه را بهطور یکتاوی، تعیین می‌کنند: در نمایش  $\{ | r \rangle \}$ ، مختصات آن عبارتند از:  $\delta(x - x_0)\delta(y - y_0)\delta(z - z_0)$ . بنابراین، مجموعه سه عملگر  $X, Y, Z$  یک م.ک.م.ج. در  $\mathbb{R}^3$  تشکیل می‌دهند.

بهمنین طریق می‌توان نشان داد که سه مولفه  $P$ ، یعنی  $P_x, P_y, P_z$  نیز یک م.ک.م.ج. در  $\mathbb{R}^3$  تشکیل می‌دهند.

توجه کنید که، در  $\mathbb{R}^3$ ،  $X$ ،  $Y$ ،  $Z$  بهنهایی یک م.ک.م.ج. تشکیل نمی‌دهد. برای یک مقدار از شاخص  $x_0$ ، شاخصهای  $y_0$  و  $z_0$  می‌توانند هر مقدار حقیقی ای بگیرند. بنابراین،

هر ویژه مقدار  $x_0$  بینهایت تبھگن است. از طرف دیگر در فضای حالت  $\psi$  وابسته به یک مسئله یک بعدی،  $X$  یک م. ک. م. ج. تشکیل می‌دهد؛ ویژه مقدار  $x_0$  بطور یکتاوی ویژه کت  $\langle x_0 |$  متناظر راتعیین می‌کند، مختصات آن، در نمایش  $\{ \langle x | \} \langle x | x_0 \}$  عبارت است از  $\delta(x - x_0)$ .

گوشزد :

تا اینجا دو م. ک. م. ج. در  $\psi$  پیدا کرده‌ایم،  $\{ P_x, P_y, P_z \}$  و  $\{ X, Y, Z \}$  . بعده با نمونه‌های دیگری مواجه خواهیم شد. به عنوان مثال، مجموعه  $\{ X, P_y, P_z \}$  را در نظر بگیرید:

این سه مشاهده‌پذیر جایگاهی پذیر نند [ معادلات (E-۳۵) ]، بعلاوه، اگر سه ویژه مقدار  $x_0$ ،  $p_{0y}$  و  $p_{0z}$  مشخص شوند، فقط یک کت با آنها متناظراست، که تابع موج وابسته به آن به صورت زیر نوشته می‌شود:

$$\Psi_{x_0, p_{0y}, p_{0z}}(x, y, z) = \delta(x - x_0) \frac{1}{2\pi\hbar} e^{\frac{i}{\hbar}(p_{0y}y + p_{0z}z)} \quad (E-39)$$

#### f. ضرب تانسوری فضاهای حالت\*

/ مقدمه

فضای حالت‌های یک سیستم فیزیکی را، در بالا، با استفاده از مفهوم تابع موج تک ذره‌ای معرفی کردیم. لیکن، استدلال ما گاهی توابع موج یک بعدی و گاهی توابع موج سه بعدی را در بر می‌گرفت واضح است که فضای توابع مجددرا "انتگرال‌پذیر، برای توابع یک متغیری  $(x)$ " و برای توابع سه متغیری  $(x, y, z)$  یکی نیست: بنابراین،  $\psi$  و  $\psi'$  فضاهای متفاوتی هستند. مع ذالک، بمنظر می‌رسد که در اصل تعمیم  $\psi$  باشد. آیا بسط دقیقتری بین این دو فضا وجود دارد؟

درین بخش، عمل ضرب تانسوری فضاهای برداری\*\* را تعریف و مطالعه کرده و آن را در مورد فضاهای حالتها به کار خواهیم برد. این امر، بخصوص، سوالی را که الان مطرح کردیم، پاسخ خواهد داد:  $\psi$  می‌تواند از  $\psi'$  و دوفضای دیگر  $\psi''$  و  $\psi'''$  که نسبت

\* این بخش برای فهم فصل سوم ضروری نیست، می‌توان آنرا بعداً، وقتی که بکار بردن ضرب تانسوری لازم شد ( مکمل  $D_{IV}$  یا فصل نهم )، مورد مطالعه قرار داد.

\*\* این عمل گاهی "ضرب کرونکری" نامیده می‌شود.

بعان هم ریخت هستند، ساخته شود ( بخش a - F - ۴ - در زیر ) .

بهمن طریق، بعداً " ( فصلهای ۴ و ۹ ) ، برای بعضی از ذرات، با وجودیک تکانه زاویه‌ای ذاتی یا اسپین سروکار پیدا خواهیم کرد. علاوه بر درجات آزادی خارجی ( مکان، تکانه )، که با استفاده از مشاهده‌پذیرهای  $R$  و  $P$  تعریف شده در  $\mathbb{R}^3$ ، بررسی می‌شوند، لازم خواهد بود که درجات آزادی داخلی را به حساب آوریم و مشاهده‌پذیرهای اسپینی را کمتر یک فضای حالت‌های اسپین  $\mathbb{R}^3$  عمل می‌کنند، وارد کنیم. در این صورت خواهیم دید که فضای حالت‌های  $\mathbb{R}^3$  یک ذره با اسپین عبارت است از حاصلضرب تانسوری  $\mathbb{R}^3 \times \mathbb{R}^3$  .

بالاخره، مفهوم ضرب تانسوری فضاهای حالتها بهما امکان خواهد داد تا مسئله زیر را حل کنیم، فرض کنید  $(S_1)$  و  $(S_2)$  دوسیستم فیزیکی منزوی باشد ( این دو سیستم، به عنوان مثال، آنقدر از هم دورند که برهم کنشهای آنها کاملاً " قابل اغماض است ) . فضاهای حالت متناظر با  $(S_1)$  و  $(S_2)$ ، به ترتیب، عبارتند از  $\mathbb{R}^3$  و  $\mathbb{R}^3$ . حال فرض کنیم که مجموعه این دوسیستم یک سیستم فیزیکی  $(S)$  تشکیل دهند ( که، وقتی که این دوسیستم آنقدر بهم نزدیک باشد که برهم کش کنند، این امر گریز ناپذیر است ) . در این صورت فضای حالت‌های  $\mathbb{R}^3$  می‌سیستم کل  $(S)$  چیست؟

ازین مثالها می‌توان دید که تعاریف و نتایج این بخش چهقدر در مکانیک کوانتومی مفیدند.

### ۳ - تعریف خواص ضرب تانسوری

فرض کنید  $\mathbb{R}^3$  و  $\mathbb{R}^3$  دوفضا \* باشد که ابعادشان به ترتیب عبارتند از  $N_1$  و  $N_2$  (  $N_1$  و  $N_2$  می‌توانند محدود یا بینهایت باشند ) . به بردارها و عملگرهای این فضاهای بسته باینکه متعلق به  $\mathbb{R}^3$  یا  $\mathbb{R}^3$  باشد یک شاخص ( ۱ ) یا ( ۲ ) نسبت خواهیم داد.

#### ۴ - فضای حاصلضرب تانسوری $\mathbb{R}^3$

##### a - تعریف

بنابر تعریف، فضای برداری  $\mathbb{R}^3$  هنگامی حاصلضرب تانسوری  $\mathbb{R}^3$  و  $\mathbb{R}^3$  نامیده می‌شود:

\* تعریفهای زیر می‌تواند به سادگی به ضرب تانسوری تعداد محدودی از فضاهای تعمیم داده شود.

$$\mathcal{E} = \mathcal{E}_1 \otimes \mathcal{E}_2 \quad (\text{F-1})$$

که به هر زوج بردار،  $\langle \varphi(1) |$  متعلق به  $\mathcal{E}_1$  و  $\langle \chi(2) |$  متعلق به  $\mathcal{E}_2$ ، یک بردار از  $\mathcal{E}$  که به صورت \*:

$$| \varphi(1) \rangle \otimes | \chi(2) \rangle \quad (\text{F-2})$$

نشان داده می شود و حاصلضرب تانسوری  $\langle (1) | \varphi(1) |$  و  $\langle (2) | \chi(2) |$  نامیده می شود، وابسته باشد.  
این ارتباط شرایط زیر را تأثیر می کند :

(1) نسبت به ضرب در اعداد مختلف خطی است :

$$\begin{aligned} [\lambda | \varphi(1) \rangle] \otimes | \chi(2) \rangle &= \lambda [ | \varphi(1) \rangle \otimes | \chi(2) \rangle] \\ |\varphi(1) \rangle \otimes [\mu | \chi(2) \rangle] &= \mu [ | \varphi(1) \rangle \otimes | \chi(2) \rangle] \end{aligned} \quad (\text{F-3})$$

(2) نسبت به مجموع برداری توزیعی است :

$$\begin{aligned} |\varphi(1) \rangle \otimes [| \chi_1(2) \rangle + | \chi_2(2) \rangle] &= |\varphi(1) \rangle \otimes | \chi_1(2) \rangle + |\varphi(1) \rangle \otimes | \chi_2(2) \rangle \\ [| \varphi_1(1) \rangle + | \varphi_2(1) \rangle] \otimes | \chi(2) \rangle &= | \varphi_1(1) \rangle \otimes | \chi(2) \rangle + | \varphi_2(1) \rangle \otimes | \chi(2) \rangle \end{aligned} \quad (\text{F-4})$$

(3) وقتی در هریک از فضاهای  $\mathcal{E}_1$  و  $\mathcal{E}_2$  یک پایه انتخاب شد،  $\{ | u_i(1) \rangle\}$  برای  $\mathcal{E}_1$  و  $\{ | v_i(2) \rangle\}$  برای  $\mathcal{E}_2$ ، مجموعه بردارهای  $| u_i(1) \rangle \otimes | v_i(2) \rangle$  یکپایه در  $\mathcal{E}$  تشکیل می دهند. اگر  $N_1$  و  $N_2$  محدود باشند، در نتیجه، بعد از برابراست با  $N_1 N_2$

– بردارهای  $\mathcal{E}$

(1) ابتدا یک بردار حاصلضرب تانسوری  $| \varphi(1) \rangle \otimes | \chi(2) \rangle$  را در نظر بگیریم.  $\langle (1) | \varphi(1) |$  و  $\langle (2) | \chi(2) |$  هرچه باشند، می توانند به ترتیب در پایه های  $\{ | u_i(1) \rangle\}$  و  $\{ | v_i(2) \rangle\}$  بسط داده شوند:

$$\begin{aligned} | \varphi(1) \rangle &= \sum_i a_i | u_i(1) \rangle \\ | \chi(2) \rangle &= \sum_l b_l | v_l(2) \rangle \end{aligned} \quad (\text{F-5})$$

با استفاده از خواص تشریح شده در بخش  $\alpha$ ، بسط بردار  $| \varphi(1) \rangle \otimes | \chi(2) \rangle$  در پایه

\* این بردار می تواند یا به صورت  $\langle \chi(2) | \otimes | \varphi(1) \rangle$  یا به صورت  $\langle \varphi(1) | \otimes | \chi(2) \rangle$  نوشته شود؛ ترتیب دو بردار هیچ اهمیتی ندارد.

، می‌تواند به صورت زیر نوشته شود :

$$|\varphi(1)\rangle \otimes |\chi(2)\rangle = \sum_{i,l} a_i b_l |u_i(1)\rangle \otimes |v_l(2)\rangle \quad (\text{F}-6)$$

بنابراین، مولفه‌های یک بردار حاصلضرب تانسوری دوبردار عبارتند از حاصلضرب‌های مولفه‌های آن دوبردار.

(۲) بردارهای در  $\mathcal{H}$  وجود دارند که حاصلضرب تانسوری یک بردار از  $\mathcal{H}$  در یک بردار از  $\mathcal{H}$  نیستند. چون  $\{ |u_i(1)\rangle \otimes |v_l(2)\rangle \}$  بنا به فرض یک پایه در  $\mathcal{H}$  تشکیل می‌دهد، عمومی‌ترین بردار  $\psi$  توسط رابطه زیر بیان می‌شود :

$$|\psi\rangle = \sum_{i,l} c_{i,l} |u_i(1)\rangle \otimes |v_l(2)\rangle \quad (\text{F}-7)$$

اگر  $N_1 N_2$  عدد مختلط‌داده شده باشد، همیشه نمی‌توان آنها را به صورت حاصلضرب‌های  $a_i b_l$ ، از  $N_1$  عدد  $a_i$  و  $N_2$  عدد  $b_l$  قرار داد. از این رو، "عموماً"، بردارهای  $|\varphi(1)\rangle$  و  $|\chi(2)\rangle$ ، که  $|\psi\rangle$  حاصلضرب تانسوری آنها باشد وجود ندارند. ولی، یک بردار دلخواه از  $\mathcal{H}$  همواره می‌تواند به یک ترکیب خطی از بردارهای حاصلضرب تانسوری، به صورتی که توسط فرمول (F-7) نشان داده شده است، تجزیه شود.

## ۷. حاصلضرب نرداری در $\mathcal{H}$

وجود حاصلضرب‌های نرداری در  $\mathcal{H}$  و  $\mathcal{H}$  به ماجازه می‌دهد تا در  $\mathcal{H}$  نیز یک حاصل ضرب نرداری تعریف کنیم. ابتدا حاصلضرب نرداری  $|\varphi(1)\rangle \otimes |\chi(2)\rangle = |\varphi(1)\chi(2)\rangle$  را به صورت زیر تعریف می‌کنیم :

$$\langle \varphi'(1) \chi'(2) | \varphi(1) \chi(2) \rangle = \langle \varphi'(1) | \varphi(1) \rangle \langle \chi'(2) | \chi(2) \rangle \quad (\text{F}-8)$$

برای دوبردار دلخواه از  $\mathcal{H}$ ، کافی است از خواص اساسی حاصلضرب نرداری [ معادلات (B-9)، (B-10) و (B-11) ] استفاده کنیم، زیرا هر یک ازین بردارها یک ترکیب خطی از بردارهای حاصلضرب تانسوری است.

خصوصیت توجه کنید که، پایه  $\{ |u_i(1)\rangle \otimes |v_l(2)\rangle \} = \{ |u_i(1)v_l(2)\rangle \}$  وقتی راست هنجار است که هر یک از پایه‌های  $\{ |u_i(1)\rangle \otimes |v_l(2)\rangle \}$  و  $\{ |v_l(2)\rangle \otimes |u_i(1)\rangle \}$  راست هنجار باشد :

$$\begin{aligned} \langle u_i(1) v_l(2) | u_i(1) v_l(2) \rangle &= \langle u_i(1) | u_i(1) \rangle \langle v_l(2) | v_l(2) \rangle \\ &= \delta_{ii'} \delta_{ll'} \end{aligned} \quad (\text{F}-9)$$

## ۶ - حاصلضرب تانسوری عملگرها

(۱) ابتدا، یک عملگر خطی  $A(1)$  را که در  $\mathcal{H}_1$  تعریف شده است، در نظر بگیرید بهاین عملگر، یک عملگر خطی  $\tilde{A}(1)$  وابسته می‌کنیم که در فضای  $\mathcal{H}$  عمل کند، و آنرا گسترش  $A(1)$  در  $\mathcal{H}$  می‌نامیم، و بدطريق زیر مشخص می‌شود؛ وقتی  $\tilde{A}(1)$  یک بردار حاصلضرب تانسوری  $\tilde{A}(1) \psi = \tilde{A}(1)[\varphi(1) \otimes \chi(2)]$  اعمال شود، بنابه تعریف، داریم:

$$\tilde{A}(1)[\varphi(1) \otimes \chi(2)] = [A(1)|\varphi(1)\rangle] \otimes |\chi(2)\rangle \quad (\text{F}-10)$$

بنابراین، فرض خطی بودن  $\tilde{A}(1)$  برای تعیین کامل آن، کافی است. یک بردار دلخواه  $\psi$  از  $\mathcal{H}$  می‌تواند به صورت  $\psi = A(1) \otimes B(2)$  نوشته شود، سپس تعریف (۱۰) عمل  $\tilde{A}(1) \psi$  را به دست می‌دهد:

$$\tilde{A}(1)|\psi\rangle = \sum_{i,l} c_{i,l} [A(1)|u_i(1)\rangle] \otimes |v_l(2)\rangle \quad (\text{F}-11)$$

بهروش مشابهی، گسترش  $B(2)$  یک عملگر  $\tilde{B}(2)$  را که از ابتدا در  $\mathcal{H}_2$  تعریف شده است، به دست می‌آوریم.

(۲) حال، فرض کنید  $A(1)$  و  $B(2)$  دو عملگر خطی باشد که به ترتیب در  $\mathcal{H}_1$  و  $\mathcal{H}_2$  عمل می‌کنند. حاصلضرب تانسوری آنها،  $A(1) \otimes B(2)$ ، یک عملگر خطی در  $\mathcal{H}$  است که توسط رابطه زیر، که عمل آن را روی بردارهای حاصلضرب تانسوری توصیف می‌کند، تعریف می‌شود:

$$[A(1) \otimes B(2)][|\varphi(1)\rangle \otimes |\chi(2)\rangle] = [A(1)|\varphi(1)\rangle] \otimes [B(2)|\chi(2)\rangle] \quad (\text{F}-12)$$

در اینجا نیز، این تعریف برای مشخص کردن  $A(1) \otimes B(2)$  کافی است.

گوشه زدها:

گسترشهای عملگرها موارد خاصی از حاصلضربهای تانسوری هستند: اگر  $\mathbb{1}(1)$  و  $\mathbb{1}(2)$  به ترتیب عملگرهای همانندی در  $\mathcal{H}_1$  و  $\mathcal{H}_2$  باشند،  $\tilde{A}(1)$  و  $\tilde{B}(2)$  می‌توانند به صورت زیر نوشته شوند:

$$\begin{aligned} \tilde{A}(1) &= A(1) \otimes \mathbb{1}(2) \\ \tilde{B}(2) &= \mathbb{1}(1) \otimes B(2) \end{aligned} \quad (\text{F}-13)$$

بر عکس، حاصلضرب تانسوری  $(2) \otimes B(1)$  بر حاصلضرب معمولی دو عملگر  $(1) \tilde{A}$  و  $(2) \tilde{B}$  از  $\mathcal{H}$  منطبق است:

$$A(1) \otimes B(2) = \tilde{A}(1)\tilde{B}(2) \quad (\text{F}-14)$$

به آسانی می‌توان نشان داد که دواپراتور نظیر  $(1) \tilde{A}$  و  $(2) \tilde{B}$  در  $\mathcal{H}$  جابجایی پذیرند: (ii)

$$[\tilde{A}(1), \tilde{B}(2)] = 0 \quad (\text{F}-15)$$

باید ثابت کنیم که  $(2) \tilde{A}(1)\tilde{B}(2)$  وقتی روی یک بردار دلخواه از پایه  $\{|u_i(1)\rangle \otimes |v_i(2)\rangle\}$  عمل کنند نتیجه یکسانی حاصل می‌شود:

$$\begin{aligned} \tilde{A}(1)\tilde{B}(2) |u_i(1)\rangle \otimes |v_i(2)\rangle &= \tilde{A}(1) |u_i(1)\rangle \otimes [B(2) |v_i(2)\rangle] \\ &= [A(1) |u_i(1)\rangle] \otimes [B(2) |v_i(2)\rangle] \end{aligned} \quad (\text{F}-16)$$

$$\begin{aligned} \tilde{B}(2)\tilde{A}(1) |u_i(1)\rangle \otimes |v_i(2)\rangle &= \tilde{B}(2) [A(1) |u_i(1)\rangle] \otimes |v_i(2)\rangle \\ &= [A(1) |u_i(1)\rangle] \otimes [B(2) |v_i(2)\rangle] \end{aligned} \quad (\text{F}-17)$$

تصویرگر روی بردار حاصلضرب تانسوری  $(iii)$   
که در  $\mathcal{H}$  عمل می‌کند، با ضرب تانسوری تصویرگرهای روی  $\langle \varphi(1)|$  و  $\langle \chi(2)|$  بدست می‌آید:

$$|\varphi(1)\chi(2)\rangle \langle \varphi(1)\chi(2)| = |\varphi(1)\rangle \langle \varphi(1)| \otimes |\chi(2)\rangle \langle \chi(2)| \quad (\text{F}-18)$$

این رابطه بلافاصله از تعریف ضرب برداری در  $\mathcal{H}$  نتیجه می‌شود.  
(iv) درست نظر بردارها، عملگرهای در  $\mathcal{H}$  وجود دارند که حاصلضربهای تانسوری  
یک عملگر از  $\mathcal{H}$  و یک عملگر از  $\mathcal{H}$  نیستند.

## ۲- نمادگذاری

در مکانیک کوانتومی، نمادگذاری‌ای که عموماً "بدهکار می‌رود، شکل ساده شده‌ای است از آنچه که در اینجا تعریف کردیم. این همان چیزی است که خواهیم پذیرفت، ولی اهمیت دارد که آنرا در پرتو بحث قبلی، به طور صحیح تعبییر کنیم.  
قبل از همه، نماد  $\otimes$  که نمایش دهنده حاصلضرب تانسوری است حذف شده، و بردارها و عملگرهایی که باید به طور تانسوری در هم ضرب شوند کنارهم گذاشته خواهند شد:

$$\text{بمعنای } |\varphi(1)\rangle \otimes |\chi(2)\rangle \text{ است} \quad (F-19)$$

$$\text{بمعنای } A(1) \otimes B(2) \text{ است} \quad (F-20)$$

علاوه گسترش، یک عملگر از  $\mathcal{H}_1$  یا  $\mathcal{H}_2$  در  $\mathcal{H}$  بهمان طریقی که خود این عملگر نوشته می‌شود، نوشته خواهد شد:

$$\text{بمعنای } A(1) \text{ است} \quad (F-21)$$

در مورد (F-19) هیچ اشتباہی پیش نخواهد آمد: تا به حال، هرگز دو کت را، مانند اینجا، یکی پس از دیگری ننوشته‌ایم، مخصوصاً "توجه کنید که عبارت  $\langle \psi | \varphi \rangle$ ، که در آن  $\langle \psi |$  و  $\langle \varphi |$  بهیک فضای  $\mathcal{H}$  تعلق دارند، درین فضا تعریف نشده است: این عبارت نشان دهنده یک بردار از فضایی است که حاصلضرب تانسوری  $\mathcal{H}$  در خودش می‌باشد.

از طرف دیگر، نمادگذاری در (F-20) و (F-21) قدری مبهم است، بخصوص در (F-21)، که در آن دو عملگر مختلف توسط یک نعاد، نمایش داده شده‌اند. لیکن، ممکن خواهد بود که آنها را در عمل، توسط برداری که این نماد برآن اعمال می‌شود، از یکدیگر تمیزدهیم: بهمفهوم دقیق، بسته به‌اینکه این بردار از  $\mathcal{H}_1$  باشد، با  $\tilde{A}(1)$  یا  $A(1)$  سروکارخواهیم داشت، اما فرمول (F-20)، وقتی  $\mathcal{H}_1$  و  $\mathcal{H}_2$  متفاوت باشند، هیچ مشکلی مطرح نمی‌سازد، زیرا، تاکنون، حاصلضربهای عملگرهایی را تعریف کرده‌ایم که در یک فضاعمل می‌کنند. بعلاوه، اگر  $(1) \otimes B(2)$  درواقع، به عنوان معرفهای  $\tilde{A}(1)$  و  $\tilde{B}(2)$  تعبیرشوند،  $A(1) \otimes B(2)$  را می‌توان یک حاصلضرب معمولی از عملگرهای  $\mathcal{H}$  در نظر گرفت [معادله (F-14)].

### ۳- معادلات ویژه مقداری در فضای حاصلضرب

بردارهایی از  $\mathcal{H}$  که حاصلضربهای تانسوری یک بردار از  $\mathcal{H}_1$  و یک بردار از  $\mathcal{H}_2$  می‌باشند، در بحث فوق نقش مهمی ایفا می‌کنند. خواهیم دید که برای گسترش‌های عملگرهای  $\mathcal{H}_1$  و  $\mathcal{H}_2$  نیز این چنین است.

ه - ویژه مقدارها و ویژه بردارهای عملگرهای گسترش یافته

$\alpha$  - معادله ویژه مقداری (F-۲۱)

یک عملگر  $A(1)$  در نظر بگیرید، که برای آن، در  $\mathcal{E}$ ، تمام ویژه حالتها و ویژه مقدارها را می‌دانیم. فرض خواهیم کرد که، به عنوان مثال، طیف  $A(1)$  تماماً "گستره باشد":

$$A(1)|\varphi_n^i(1)\rangle = a_n|\varphi_n^i(1)\rangle \quad ; \quad i = 1, 2, \dots, g_n \quad (\text{F-۲۲})$$

می‌خواهیم معادله ویژه مقداری گسترش  $A(1)$  در  $\mathcal{E}$  را حل کنیم:

$$A(1)|\psi\rangle = \lambda|\psi\rangle; \quad |\psi\rangle \in \mathcal{E} \quad (\text{F-۲۳})$$

می‌توان بلاfacله از (F-۲۱) دید که،  $|\chi(2)\rangle$  هرچه باشد، هر برداری به صورت  $|\varphi_n^i(1)\rangle$  یک ویژه بردار  $A(1)$  با ویژه مقدار  $a_n$  است، زیرا:

$$\begin{aligned} A(1)|\varphi_n^i(1)\rangle|\chi(2)\rangle &= [A(1)|\varphi_n^i(1)\rangle]|\chi(2)\rangle \\ &= a_n|\varphi_n^i(1)\rangle|\chi(2)\rangle \end{aligned} \quad (\text{F-۲۴})$$

حال نشان دهیم که وقتی  $A(1)$  یک مشاهده‌پذیر در  $\mathcal{E}$  باشد، تمام جوابهای (F-۲۴) می‌توانند به‌این طریق بدست آیند. در این صورت مجموعه  $\{|\varphi_n^i(1)\rangle\}$  یک پایه‌در  $\mathcal{E}$  تشکیل می‌دهد. در نتیجه، دستگاه بردارهای راست هنجار  $\langle v_i |$ ، به‌طوری که

$$|\psi_n^{i,i}\rangle = |\varphi_n^i(1)\rangle|v_i(2)\rangle \quad (\text{F-۲۵})$$

که در آن  $\{v_i(2)\}$  یک پایه از  $\mathcal{E}$  است، نیز یک پایه در  $\mathcal{E}$  تشکیل می‌دهد. بنابر این یک پایه راست هنجار متشکل از ویژه بردارهای  $A(1)$  در  $\mathcal{E}$ ،  $\{\langle v_i | \}$  داریم که بدین معنا است که معادله (F-۲۴) حل شده است.

نتایج زیر را می‌توان از آن استخراج کرد:

- اگر  $A(1)$  یک مشاهده‌پذیر در  $\mathcal{E}$  باشد، یک مشاهده‌پذیر در  $\mathcal{E}$  نیز خواهد بود.
- این مطلب از این واقعیت که گسترش  $A(1)$  هرمیتی است و اینکه  $\{\langle v_i | \}$  یک پایه در  $\mathcal{E}$  تشکیل می‌دهد، حاصل می‌شود.
- طیف  $A(1)$  در  $\mathcal{E}$  و در  $\mathcal{E}_1$  یکی است: همان ویژه‌مقدارهای  $a_n$  که در (F-۲۲) ظاهر می‌شوند در (F-۲۴) نیز ظاهر می‌شوند.

– مع ذالک، یک ویژه مقدار  $a_n$  که در  $\mathcal{E}_1$  بار تبیهگن است، در  $\mathcal{E}$  دارای درجه تبیهگن  $N_2 \times g_n$  است. می‌دانیم که ویژه زیر فضای وابسته به  $a_n$  در  $\mathcal{E}$  توسط کتهای  $i = 1, 2, \dots, g_n$  ثابت و  $n$  ثابت است. بنابراین، حتی اگر  $a_n$  در  $\mathcal{E}_1$  ساده باشد، در  $\mathcal{E}$   $N_2$  بار تبیهگن است.

تصویرگر روی ویژه زیر فضای متناظر با یک ویژه مقدار  $a_n$  در  $\mathcal{E}$  به صورت زیر نوشته می‌شود [روک (F-۱۸)]:

$$\begin{aligned} \sum_{i,l} |\psi_n^{i,l}\rangle \langle \psi_n^{i,l}| &= \sum_{i,l} |\phi_n^i(1)\rangle \langle \phi_n^i(1)| \otimes |\nu_l(2)\rangle \langle \nu_l(2)| \\ &= \sum_i |\phi_n^i(1)\rangle \langle \phi_n^i(1)| \otimes \mathbb{I}(2) \end{aligned} \quad (\text{F}-۲۶)$$

که در آن از رابطه بستاری نسبت به پایه  $\{\nu_l(2)\}$  در  $\mathcal{E}_2$  استفاده کردہ‌ایم. از این رو این تصویرگر گسترش تصویرگر  $P_n(1) = \sum_i |\phi_n^i(1)\rangle \langle \phi_n^i(1)|$  است که وابسته به  $a_n$  در  $\mathcal{E}_1$  می‌باشد.

$$\beta . \text{ معادله ویژه مقداری } A(1) + B(2) \quad (\text{F}-۲۷)$$

غالباً "احتیاج داریم که، در یک فضای حاصلضرب تانسوری نظیر  $\mathcal{H}$ ، معادلات ویژه مقداری را برای عملگرهایی به شکل زیر حل کنیم:

$$C = A(1) + B(2) \quad (\text{F}-۲۷)$$

که در آن  $A(1)$  و  $B(2)$  مشاهده‌پذیرهایی هستند که ویژه مقدارها و ویژه بردارهایشان را بهتر ترتیب در  $\mathcal{E}_1$  و  $\mathcal{E}_2$  می‌دانیم:

$$\begin{aligned} A(1) |\phi_n(1)\rangle &= a_n |\phi_n(1)\rangle \\ B(2) |\chi_p(2)\rangle &= b_p |\chi_p(2)\rangle \end{aligned} \quad (\text{F}-۲۸)$$

برای ساده‌کردن نمادگذاری، فرض می‌کنیم که طیفهای  $A(1)$  و  $B(2)$  در  $\mathcal{E}_1$  و  $\mathcal{E}_2$  گستته و ناتبیهگن هستند [۱].

$A(1)$  و  $B(2)$  جایگائی‌پذیرند [فرمولهای F-۱۶] و [F-۱۷] که در  $\mathcal{E}$  یک‌پایه تشکیل می‌دهند، ویژه بردارهای مشترک  $A(1)$  و  $B(2)$  می‌باشند:

$$\begin{aligned} A(1) |\varphi_n(1)\rangle |\chi_p(2)\rangle &= a_n |\varphi_n(1)\rangle |\chi_p(2)\rangle \\ B(2) |\varphi_n(1)\rangle |\chi_p(2)\rangle &= b_p |\varphi_n(1)\rangle |\chi_p(2)\rangle \end{aligned} \quad (\text{F}-۲۹)$$

این بردارها، ویژه بردارهای  $C$  نیز هستند:

$$C |\varphi_n(1)\rangle |\chi_p(2)\rangle = (a_n + b_p) |\varphi_n(1)\rangle |\chi_p(2)\rangle \quad (\text{F}-۳۰)$$

این رابطه مستقیماً جواب معادله ویژه مقداری  $C$  را بهما می‌دهند.  
بنابراین، ویژه مقدارهای  $(2)$   $C = A(1) + B(2)$  مجموع یک ویژه مقدار  $A(1)$  و یک  
ویژه مقدار  $B(2)$  است. می‌توان یکپایه از ویژه بردارهای  $C$  پیدا کرد که حاصلضربهای  
تansوری یک ویژه بردار  $(1)$   $A$  و یک ویژه بردار  $(2)$   $B$  باشند.

گوشزد:

معادله  $(\text{F}-۳۰)$  نشان می‌دهد که ویژه مقدارهای  $C$  همگی به صورت  $c_{np} = a_n + b_p$  می‌باشد، اگر دو زوج متفاوت از مقادیر  $n$  و  $p$  که برای  $c_{np}$  یک مقدار مساوی  
به‌دهند وجود نداشته باشد،  $c_{np}$  غیر تبیهگن است (به خاطر آن‌که فرض کرده‌ایم  
 $a_n$  و  $b_p$  به ترتیب در  $\psi_1$  و  $\psi_2$  تابیهگن هستند). در این مورد ویژه بردار  $C$   
لزوماً عبارت است از حاصلضرب تansوری  $\langle \chi_p(2) | \varphi_n(1) \rangle$ . اگر، از طرف دیگر  
ویژه مقدار  $c_{np}$ ، به عنوان مثال، دوبار تبیهگن باشد (یک  $m$  و یک  $q$  وجود داشته  
باشد به طوری که  $c_{mq} = c_{np}$ )، آنچه می‌توان ادعا کرد این است که هر ویژه بردار  
 $C$  متناظر با این ویژه مقدار، به صورت زیر نوشته می‌شود:

$$\lambda |\varphi_n(1)\rangle |\chi_p(2)\rangle + \mu |\varphi_m(1)\rangle |\chi_q(2)\rangle \quad (\text{F}-۳۱)$$

که در آن  $\lambda$  و  $\mu$  اعداد مختلط دلخواهی هستند. بنابراین، در این مورد دو ویژه  
بردارهای از  $C$  وجود دارند که حاصلضربهای تansوری نیستند.

b - مجموعه‌های کامل مشاهده‌پذیرهای جایجایی پذیر در  $\mathcal{H}$ .

بالاخره می‌خواهیم نشان دهیم که اگر در هر دو فضای  $\psi_1$  و  $\psi_2$  یک، م، ک، م، ج.  
انتخاب شده باشد، به دست آوردن یک م. ک. م. ج در  $\mathcal{H}$  ساده و فوری است.

به عنوان یک مثال، موردی را در نظر بگیرید که  $A(1)$  به تنهایی یک م. ک. م. ج در  $\mathcal{E}_1$  تشکیل دهد، و م. ک. م. ج در  $\mathcal{E}_2$  از دو مشاهده پذیر  $B(2)$  و  $C(2)$  تشکیل شده باشد. این مطلب بدان معناست که (رک ببخش ۳-۳) تمام ویژه مقدارهای  $A(1)$ ،  $a_n$  در  $\mathcal{E}_1$  ناتبیه‌گن‌اند:

$$A(1) |\varphi_n(1)\rangle = a_n |\varphi_n(1)\rangle \quad (\text{F}-۳۲)$$

که در آن کت  $\langle \varphi_n(1)|$ ، با تقریب یک ضریب ثابت، یکتا است. از طرف دیگر، در  $\mathcal{E}_2$  بعضی از ویژه مقدارهای  $B(2)$ ، یعنی  $b_p$ ، و همینطور بعضی از ویژه مقدارهای  $C(2)$ ، یعنی  $c_r$ ، تبیه‌گن هستند. با وجود این، پایه ویژه بردارهای مشترک  $B(2)$  و  $C(2)$ ، در  $\mathcal{E}_2$  یکتا است، زیرا تنها یکت است (باتقریب یک ضریب ثابت) وجود دارد که ویژه بردار  $B(2)$  و  $C(2)$  با ویژه مقدارهای تعیین شده  $b_p$  و  $c_r$  باشد:

$$\begin{cases} B(2) |\chi_{pr}(2)\rangle = b_p |\chi_{pr}(2)\rangle \\ C(2) |\chi_{pr}(2)\rangle = c_r |\chi_{pr}(2)\rangle \\ |\chi_{pr}(2)\rangle \end{cases} \quad (\text{F}-۳۳)$$

باتقریب یک ضریب ثابت یکتا است

در  $\mathcal{E}$ ، هر یک از ویژه مقدارهای  $a_n$ ،  $N_2$  بارتیه‌گن هستند (رک بخش a F-۲-۲). بنابراین  $A(1)$  دیگر به تنهایی یک م. ک. م. ج تشکیل می‌دهد. همینطور، کت مستقل خطی وجود دارند که ویژه بردارهای  $B(2)$  و  $C(2)$  با ویژه مقدارهای بهتر ترتیب  $b_p$  و  $c_r$  هستند و مجموعه  $\{B(2), C(2)\}$  نیز کامل نیست. اما در بخش a F-۳-۳ دیدیم که ویژه بردارهای که بین سه مشاهده پذیر  $(A(1), B(2), C(2))$  مشترک ند عبارتند از  $|\varphi_n(1)\rangle |\chi_{pr}(2)\rangle = |\varphi_n(1)\rangle |\chi_{pr}(2)\rangle$

$$\begin{cases} A(1) |\varphi_n(1)\rangle |\chi_{pr}(2)\rangle = a_n |\varphi_n(1)\rangle |\chi_{pr}(2)\rangle \\ B(2) |\varphi_n(1)\rangle |\chi_{pr}(2)\rangle = b_p |\varphi_n(1)\rangle |\chi_{pr}(2)\rangle \\ C(2) |\varphi_n(1)\rangle |\chi_{pr}(2)\rangle = c_r |\varphi_n(1)\rangle |\chi_{pr}(2)\rangle \end{cases} \quad (\text{F}-۳۴)$$

دستگاه  $\{|\varphi_n(1)\rangle |\chi_{pr}(2)\rangle\}$  یک پایه در  $\mathcal{E}$  تشکیل می‌دهد، زیرا  $\langle|\varphi_n(1)\rangle |\chi_{pr}(2)\rangle$  و  $\langle|\chi_{pr}(2)\rangle |\varphi_n(1)\rangle$  یک پایه تشکیل می‌دهند. بعلاوه، اگر یک مجموعه از سه ویژه مقدار بهتر ترتیب در  $\mathcal{E}_1$  و  $\mathcal{E}_2$  یک پایه تشکیل می‌دهند، با آن متناظر است. از این رو  $\{a_n, b_p, c_r\}$  انتخاب شود، فقط یک بردار  $\langle|\varphi_n(1)\rangle |\chi_{pr}(2)\rangle$  با آن متناظر است. از این رو  $\langle|\varphi_n(1)\rangle |\chi_{pr}(2)\rangle = \langle|\varphi_n(1)\rangle |\chi_{pr}(2)\rangle$  و  $\langle|\chi_{pr}(2)\rangle |\varphi_n(1)\rangle = \langle|\chi_{pr}(2)\rangle |\varphi_n(1)\rangle$ .

استدلال قبلی می‌تواند بدون هیچ مشکلی تعمیم داده شود: با ملحق کردن دو مجموعه از مشاهده‌پذیرهای جا بجاشی پذیری که بهتر ترتیب در  $\mathcal{E}_1$  و  $\mathcal{E}_2$  کامل هستند، می‌توان

یک مجموعه کامل از مشاهده‌پذیرهای جابجایی‌پذیر در  $\mathcal{C}$  به دست آورد.

### ۴ - گاربردها

#### ۱ - حالت‌های ذره در یک و سه بعد

#### ۲ - فضاهای حالت

باردیگر، با توجه به بحث قبلی، سؤال مطرح شده در مقدمه (بخش ۱- F) را در نظر بگیرید:  $\mathcal{C}_x$  و  $\mathcal{C}_y$  چگونه به یکدیگر مربوط می‌شوند؟

$\mathcal{C}_z$  عبارت است از فضای حالت‌های یک ذره در یک بعد، یعنی، فضای حالت‌های وابسته به متوابع موج  $\varphi(x)$ . در  $\mathcal{C}_z$ ، مشاهده‌پذیر  $X$  که در بخش ۲- E مطالعه شد، به تنها یک م. ک. م. ج. تشکیل می‌دهد (بخش ۲- E)، ویژه بردارهای آن کتهای پایه نمایش  $\{ |x\rangle\}$  هستند. یک بردار  $\langle \varphi |$  از  $\mathcal{C}_y$ ، دراین نمایش، توسط متوابع موج  $\varphi(x) = \langle x | \varphi \rangle$  مشخص می‌شود، بخصوص کت پایه  $\langle x_0 |$  متناظراست با  $x_0(x) = \delta(x - x_0)$  و  $\omega(z) = \langle z | \varphi \rangle$  به معنی طبق، می‌توان فضاهای  $\mathcal{C}_x$  و  $\mathcal{C}_y$  و باسته به متوابع موج  $\langle y | \chi \rangle$  و  $\langle y | \omega \rangle$  را وارد کرد. مشاهده‌پذیر  $Y$  یک م. ک. م. ج. در  $\mathcal{C}_y$  تشکیل می‌دهد، همینطور  $Z$  در  $\mathcal{C}_z$ . ویژه بردارهای متناظر به ترتیب عبارتند از کتهای پایه نمایش‌های  $\{ |y\rangle\}$  و  $\{ |z\rangle\}$  در  $\mathcal{C}_y$  و  $\mathcal{C}_z$  یک بردار  $\langle \chi |$  از  $\mathcal{C}_z$  (یا  $\langle \omega |$  از  $\mathcal{C}_y$ ) در نمایش  $\{ |y\rangle\}$  (با  $y$ )  $\{ |z\rangle\}$  (با  $z$ ) توسط متوابع  $\langle \chi | \omega \rangle = \langle z | \omega \rangle$  مشخص می‌شود، تابعی که به کت  $\langle y_0 |$  (یا  $|y_0\rangle$ ) مربوط می‌شود عبارت است از  $\delta(y - y_0)$  (یا  $\delta(z - z_0)$ ). اکنون ضرب تانسوری زیر را تشکیل دهیم:

$$\mathcal{E}_{xyz} = \mathcal{E}_x \otimes \mathcal{E}_y \otimes \mathcal{E}_z \quad (F-35)$$

از ضرب تانسوری پایه‌های  $\{ |x\rangle\}$ ،  $\{ |y\rangle\}$  و  $\{ |z\rangle\}$ ، یک پایه در  $\mathcal{E}_{xyz}$  به دست می‌آید. این پایه را توسط  $\{ |x, y, z\rangle\}$  نمایش خواهیم داد که در آن:

$$|x, y, z\rangle = |x\rangle |y\rangle |z\rangle \quad (F-36)$$

کتهای پایه عبارتند از ویژه بردارهای مشترک عملگرهای  $X$ ،  $Y$  و  $Z$  که به  $\mathcal{E}_{xyz}$  گسترش داده شده باشند:

$$\begin{aligned} X|x, y, z\rangle &= x|x, y, z\rangle \\ Y|x, y, z\rangle &= y|x, y, z\rangle \\ Z|x, y, z\rangle &= z|x, y, z\rangle \end{aligned} \quad (\text{F}-۳۷)$$

از این رو،  $\mathcal{E}_{xyz}$  به  $\mathcal{E}$ ، فضای حالت‌های یک ذره سمبعدی،  $|x, y, z\rangle$  بور را منطبق است:

$$|x, y, z\rangle \equiv |\mathbf{r}\rangle = |x\rangle |y\rangle |z\rangle \quad (\text{F}-۳۸)$$

که در آن  $x, y, z$  دقیقاً "همان مختصات دکارتی  $\mathbf{r}$ " هستند.

در  $\mathcal{E}$ ، کتهای مانند  $|\omega\rangle = |\varphi\rangle |\chi\rangle |\omega\rangle = |\varphi\chi\omega\rangle$  وجود دارند که حاصل ضرب تانسوری سه‌گشت، یکی از  $\mathcal{E}$ ، دیگری از  $\mathcal{E}_x$  و سومی از  $\mathcal{E}_y$ ، می‌باشند. در این صورت مولفه‌های آنها در نمایش  $|\mathbf{r}\rangle$  عبارتند از رک فرمول (F-۴) :

$$\langle \mathbf{r} | \varphi \chi \omega \rangle = \langle x | \varphi \rangle \langle y | \chi \rangle \langle z | \omega \rangle \quad (\text{F}-۳۹)$$

بنابراین، توابع موج وابسته، به صورت حاصل ضرب  $\varphi(x)\chi(y)\omega(z)$  نوشته می‌شوند. برای خود بردارهای پایه نیز این چنین است :

$$\langle \mathbf{r} | \mathbf{r}_0 \rangle = \delta(\mathbf{r} - \mathbf{r}_0) = \delta(x - x_0) \delta(y - y_0) \delta(z - z_0) \quad (\text{F}-۴۰)$$

توجه کنید که عمومی ترین حالت  $\psi$  بمانی شکل نیست بلکه به صورت زیر نوشته می‌شود :

$$|\psi\rangle = \int dx dy dz \psi(x, y, z) |x, y, z\rangle \quad (\text{F}-۴۱)$$

در  $\langle \psi | \psi \rangle = \langle x, y, z | \psi \rangle$ ، بستگی‌های به  $x, y$  و  $z$  نمی‌توانند، عموماً، به صورت حاصل ضرب توابع یک متغیری نوشته شوند؛ هریک از توابع موج وابسته به کتهای  $\mathcal{E}$ ، یک تابع موج با سه متغیر است.

بدین ترتیب، نتایج بخش F-۳ مارا قادر می‌سازد تا بفهمیم چرا  $X$ ، که به تنهایی در  $\mathcal{E}_x$  یک م. ک. م. ج. تشکیل می‌دهد، دیگر این خاصیت را در  $\mathcal{E}$  ندارد (رک بخش E-۲-۴)؛ ویژه مقدارهای گسترش آن در  $\mathcal{E}_x$  با ویژه مقدارهای آن در  $\mathcal{E}_y$  یکی هستند، ولی بینهایت تبیهگان می‌شوند ذیرا  $\mathcal{E}_x$  و  $\mathcal{E}_y$  بینهایت بعدی هستند.

با شروع از یک م. ک. م. ج در  $\mathcal{E}_x$ ،  $\mathcal{E}_y$  و  $\mathcal{E}_z$ ، یک م. ک. م. ج، برای  $\mathcal{E}$  می‌سازیم: برای مثال  $\{X, Y, Z\}$ ، اما همچنین  $\{P_x, Y, Z\}$ ، چون  $P_x$  تشکیل یک م. ک. م. ج. در  $\mathcal{E}_x$  می‌دهد، یا  $\{P_x, P_y, Z\}$  و غیره.

## β - یک کاربرد مهم

حال سعی کنیم در  $\mathcal{E}_x$  معادله ویژه مقداری یک عملگر  $H$  : بهصورت

$$H = H_x + H_y + H_z \quad (F-42)$$

را حل کنیم ، که در آن  $H_x$  ،  $H_y$  و  $H_z$  گسترش‌های مشاهده‌پذیرهای هستند که به ترتیب در  $\mathcal{E}_x$  ،  $\mathcal{E}_y$  و  $\mathcal{E}_z$  عمل می‌کنند . در عمل ، تشخیص می‌دهیم که به عنوان مثال ،  $H_x$  گسترش یک مشاهده‌پذیر از  $\mathcal{E}_x$  است زیرا فقط با استفاده از عملگرهای  $X$  و  $P_x$  ساخته شده است . با استفاده از استدلال بخش  $F-3-a-\beta$  ابتدا ویژه مقدارها و ویژه بردارهای  $H_x$  در  $\mathcal{E}_x$  در  $\mathcal{E}_y$  و  $\mathcal{E}_z$  را جستجو می‌کنیم :

$$\begin{aligned} H_x |\varphi_n\rangle &= E_x^n |\varphi_n\rangle \\ H_y |\chi_p\rangle &= E_y^p |\chi_p\rangle \\ H_z |\omega_r\rangle &= E_z^r |\omega_r\rangle \end{aligned} \quad (F-43)$$

بنابراین ، ویژه مقدارهای  $H$  همگی بهصورت :

$$E^{n,p,r} = E_x^n + E_y^p + E_z^r \quad (F-44)$$

هستند و یک ویژه بردار متناظر با  $E^{n,p,r}$  عبارت است از حاصلضرب ترانسوری  $|\varphi_n\rangle |\chi_p\rangle |\omega_r\rangle$  ، تابع موج وابسته به این بردار برابر است با حاصلضرب :

$$\varphi_n(x) \chi_p(y) \omega_r(z) = \langle x | \varphi_n \rangle \langle y | \chi_p \rangle \langle z | \omega_r \rangle$$

این از نوع وضعیتی است که در مکل  $F$  ( بخش ۲ ) برای توجیه بررسی مدل‌های یک بعدی در نظر گرفته شد . در آنجا ، با عملگرهای دیفرانسیلی ای سروکار داشتیم که روی توابع موج عمل می‌کردند :

$$H = -\frac{\hbar^2}{2m} \Delta + V(r) \quad (F-45)$$

در مورد خاصی که پتانسیل بتواند بهصورت :

$$V(r) = V_1(x) + V_2(y) + V_3(z) \quad (F-46)$$

نوشته شود ، این معادله می‌تواند مانند  $F-42$  ( تجزیه شود .

## ۶ - حالت‌های یک سیستم دو ذره‌ای

یک سیستم فیزیکی در نظر بگیرید که از دو ذره (بدون اسپین) تشکیل شده باشد. با شماره‌گذاری آنها بصورت (۱) و (۲)، آنها را از یکدیگر متمایز خواهیم ساخت. بواسی تشریح سیستم از نظر مکانیک کوانتومی، می‌توانیم مفهوم یکتابع موج را که برای مورد یک ذره وارد شد، تعمیم دهیم. حالت سیستم می‌تواند، در یک زمان معین، توسط یکتابع از شش متغیر فضائی،  $\psi(r_1, r_2) = \psi(x_1, y_1, z_1; x_2, y_2, z_2)$ ، مشخص شود. تعییس احتمالاتی یک چنین تابع موج دو ذره‌ای بین شرح است: احتمال  $d\mathcal{P}(r_1, r_2)$ ، برای یافتن ذره (۱) در حجم  $d^3r_1 = dx_1 dy_1 dz_1$  واقع در نقطه  $r_1$ ، و ذره (۲) در حجم  $d^3r_2 = dx_2 dy_2 dz_2$  در حوالی  $r_2$ ، در یک زمان معین، برابراست با:

$$d\mathcal{P}(r_1, r_2) = C |\psi(r_1, r_2)|^2 d^3r_1 d^3r_2 \quad (F-47)$$

ثابت بهنجارش  $C$  با اعمال این شرط که احتمال کل باید برابر یک باشد (بقاء تعداد ذرات، رک بخش ۲-B از فصل اول)، بددست می‌آید:

$$\frac{1}{C} = \int d^3r_1 d^3r_2 |\psi(r_1, r_2)|^2 \quad (F-48)$$

و مشاهده‌پذیرهای  $X_1$ ،  $Y_1$ ،  $Z_1$  می‌توانند در  $\mathcal{E}_{r_1}$  تعریف شوند. بهطور مشابه، در فضای حالت‌های  $r_2$  می‌ذره (۲)، نمایش  $\{ |r_2\rangle\}$  و مشاهده‌پذیرهای  $X_2$ ،  $Y_2$ ،  $Z_2$  را اواردمی‌کنیم حاصل ضرب تانسوری:

$$\mathcal{E}_{r_1, r_2} = \mathcal{E}_{r_1} \otimes \mathcal{E}_{r_2} \quad (F-49)$$

را در نظر بگیرید. مجموعه بردارهای:

$$|r_1, r_2\rangle = |r_1\rangle |r_2\rangle \quad (F-50)$$

یک پایه در  $\mathcal{E}_{r_1, r_2}$  تشکیل می‌دهند. درنتیجه، هرکت  $|\psi\rangle$  ازین فضا می‌تواند به صورت زیر نوشته شود:

$$|\psi\rangle = \int d^3r_1 d^3r_2 \psi(r_1, r_2) |r_1, r_2\rangle \quad (F-51)$$

که در آن:

$$\psi(r_1, r_2) = \langle r_1, r_2 | \psi \rangle \quad (F-52)$$

علاوه، مجدور هنگار  $\langle \psi | \psi \rangle$  برابر است با :

$$\langle \psi | \psi \rangle = \int d^3r_1 d^3r_2 |\psi(r_1, r_2)|^2 \quad (F-53)$$

برای اینکه این مقدار محدود باشد، باید  $\langle r_1, r_2 | \psi \rangle$  مجدوراً "انتگرال پذیر باشد. بنابراین بهره‌کت از  $\psi_{r_1, r_2}$ . یک تابع موج  $\psi(r_1, r_2)$  وابسته است: فضای حالت‌های یک سیستم دوذره‌ای عبارت است از حاصلضرب تansوری فضاها متناظر با هریک از ذرات. یک م.ک  $Z_2$  ج. در  $\psi_{r_1, r_2}$ ، به عنوان مثال، از بهم پیوستن  $X_1, Y_1, Z_1$  و  $X_2, Y_2, Z_2$  به دست می‌آید.

فرض کنید که حالت سیستم توسط یک کت حاصلضرب تansوری :

$$|\psi\rangle = |\psi_1\rangle |\psi_2\rangle \quad (F-54)$$

توصیف شده باشد، در این صورت تابع موج متناظر می‌تواند به صورت زیر نوشته شود:

$$\psi(r_1, r_2) = \langle r_1, r_2 | \psi \rangle = \langle r_1 | \psi_1 \rangle \langle r_2 | \psi_2 \rangle = \psi_1(r_1) \psi_2(r_2) \quad (F-55)$$

در این مورد، می‌گوئیم که بین دو ذره همبستگی وجود ندارد، بعداً (در مکمل  $D_{III}$ ) بی‌آمدی‌ای فیزیکی یک چنین وضعیتی را تجزیه و تحلیل خواهیم کرد.

مطلوب فوق می‌تواند تعمیم داده شود: وقتی یک سیستم فیزیکی از مجتمع دو یا چند سیستم ساده تر تشکیل شده باشد، فضای حالت‌های آن عبارت است از حاصلضرب تansوری فضاها متناظر با هریک از سیستم‌های تشکیل‌دهنده.

مراجع و پیشنهادات برای مطالعه بیشتر:

بخش ۱۰ کتاب‌شناسی شامل تعدادی متون ریاضی است که بر حسب موضوع دسته‌بندی شده‌اند. زیر هر سرفصل، ناحدام امکان این موضوعها به ترتیب درجه مشکلی فهرست‌بندی شده‌اند. همچنین متون مکانیک کوانتومی (بخش‌های ۱ و ۲ کتاب‌شناسی را که به مسائل ریاضی در سطوح مختلف پرداخته است، ملاحظه کنید. این متون شامل مراجع دیگری نیز هستند، برای دسترسی آسان به مفاهیم اساسی ریاضی مورد نیاز در فهم فصل دوم (فضاهای برداری، عملگرها، قطربی کردن ماتریسها وغیره)، خواهند می‌تواند، به عنوان مثال، به کتابهای Arfken (10.4), chap. 4; Bak and Lichtenberg (10.3), chap. 1; Bass (10.1), زیر مراجعه کند: vol. I, chap. II to V. کاربرد صریح‌تری در مکانیک کوانتومی را می‌توان در Jackson (10.5) (see, in particular, chap. 5), Butkov (10.8), chap. 10 (finite-dimensional linear spaces) and chap. 11 (infinite-dimensional vector spaces, spaces of functions). پیدا کرد. همچنین Meijer and Bauer (2.18), chap. 1 به ویژه جدول انتهای این فصل را ببینید.

## مکمل‌های فصل دوم

$A_{II}$  : مروری بر چند تعریف و نتایج ریاضی مفید (در سطح مقدماتی) که برای خوانندگانی که با این مفاهیم آشنا نیستند آمده است، بعدها "به عنوان یک مرجع (مخصوصاً  $B_{II}$ ) مورد استفاده قرار خواهد گرفت.

$a_{II}$  : نامساوی شوارتز  
 $b_{II}$  : مروری بر بعضی از خواص مفید عملگرهای خطی  
 $c_{II}$  : عملگرهای یکانی

$D_{II}$  : بررسی مفصل تر نمایشهای  $E_{II}$  و  $D_{II}$  در همان سطح فصل دوم بوده و می‌تواند بلا فاصله بعد از آن خوانده شود.  
 $E_{II}$  : چند خاصیت عمومی دو مشاهده‌پذیر  $E_{II}$  و  $m$ ، که جایجاگرآنها برابر است می‌پذیرد. مخصوصاً، عملگرانانتقال را وارد می‌کند. می‌توان آن را برای مطالعه بعدی گذاشت.

$D_{II}$  : بررسی مفصل تر نمایشهای  $E_{II}$  و  $D_{II}$  در همان سطح فصل دوم بوده و می‌تواند بلا فاصله بعد از آن خوانده شود.  
 $E_{II}$  : چند خاصیت عمومی دو مشاهده‌پذیر  $E_{II}$  و  $m$ ، که جایجاگرآنها برابر است با  $m$ .

$F_{II}$  : عملگر پاریتی را که در مکانیک کوانتومی از اهمیت خاصی برخوردار است مورد بحث قرار می‌دهد، به طور ساده‌ای مفاهیم فصل دوم را روشن می‌کند، به این دلیل توصیه می‌شود.

$F_{II}$  : عملگر پاریتی

$G_{II}$  : یک کاربرد ساده‌ای از حاصل ضرب تانسوری (بخش F از فصل دوم) است، می‌تواند به عنوان یک تعریف حل شده تلقی شود.

$G_{II}$  : کاربردی از خواص حاصل ضرب  
 تانسوری : چاه دوبعدی نامحدود

$H_{II}$  : حل تمرینهای ۱۱ و ۱۲ اداده شده است، هدف آن این است که خواننده را با خواص مشاهده‌پذیرهای جایجاگی پذیر و مفهوم م.ک.م.ج، در یک مورد خاص می‌سیار ساده، آشنا سازد. توصیه می‌شود که این تمرینات در خلال خواندن بخش ۳- D از فصل دوم، حل شوند.

$H_{II}$  : تمرینات

مکمل A<sub>II</sub>

## نامساوی شوارتز

برای هر کت  $|\psi\rangle$  متعلق به فضای حالت‌های  $\mathcal{H}$ ، داریم:

$$0 \geq \text{حقیقی} \langle \psi | \psi \rangle \quad (1)$$

$\langle \psi | \psi \rangle$  وقتی برابر صفر است که  $|\psi\rangle$  بردار صفر باشد [رک معادله (۱۲-B)] از فصل دوم] . با استفاده از نامساوی (۱)، نامساوی شوارتز را به دست خواهیم آورد، که بیان می‌کند، اگر  $\langle \varphi_1 | \varphi_2 \rangle$  او  $\langle \varphi_2 | \varphi_1 \rangle$  دلخواهی از  $\mathcal{H}$  باشد، داریم:

$$|\langle \varphi_1 | \varphi_2 \rangle|^2 \leq \langle \varphi_1 | \varphi_1 \rangle \langle \varphi_2 | \varphi_2 \rangle \quad (2)$$

تساوی وقتی حاصل می‌شود که اگر و فقط اگر  $\langle \varphi_1 | \varphi_2 \rangle$  و  $\langle \varphi_2 | \varphi_1 \rangle$  متناسب با یکدیگر باشند. کت  $|\psi\rangle$  را به صورت:

$$|\psi\rangle = |\varphi_1\rangle + \lambda |\varphi_2\rangle \quad (3)$$

که در آن  $\langle \varphi_1 | \varphi_2 \rangle$  او  $\langle \varphi_2 | \varphi_1 \rangle$  دلخواه و یک فراسنج اختیاری است، در نظر بگیرید.  $\lambda$  هرچه باشد داریم:

$$\begin{aligned} \langle \psi | \psi \rangle \\ = \langle \varphi_1 | \varphi_1 \rangle + \lambda \langle \varphi_1 | \varphi_2 \rangle + \lambda^* \langle \varphi_2 | \varphi_1 \rangle + \lambda\lambda^* \langle \varphi_2 | \varphi_2 \rangle \geq 0 \end{aligned} \quad (4)$$

حال، برای  $\lambda$  مقدار زیر را انتخاب کنیم:

$$\lambda = -\frac{\langle \varphi_2 | \varphi_1 \rangle}{\langle \varphi_2 | \varphi_2 \rangle} \quad (5)$$

در این صورت، در طرف راست، جملات دوم و سوم با یکدیگر برابر بوده و با جمله چهارم مساوی و مختلف العلامتند، بنابراین (۴) به صورت زیر در می‌آید:

$$\langle \varphi_1 | \varphi_1 \rangle - \frac{\langle \varphi_1 | \varphi_2 \rangle \langle \varphi_2 | \varphi_1 \rangle}{\langle \varphi_2 | \varphi_2 \rangle} \geq 0 \quad (6)$$

چون  $\langle \varphi_2 | \varphi_2 \rangle$  مثبت است، می‌توانیم طرفین نامساوی بالا را در  $\langle \varphi_2 | \varphi_2 \rangle$  ضرب کنیم، و نتیجه بگیریم:

$$\langle \varphi_1 | \varphi_1 \rangle \langle \varphi_2 | \varphi_2 \rangle \geq \langle \varphi_1 | \varphi_2 \rangle \langle \varphi_2 | \varphi_1 \rangle \quad (7)$$

که دقیقاً همان (۲) است. دو (۷)، تساوی فقط وقتی حاصل می‌شود که  $\langle \psi | \psi \rangle = 0$  باشد، یعنی، بروطیق (۳)،  $\langle \varphi_1 | \varphi_2 \rangle = -\lambda$  باشد. در این صورت کتهای  $\langle \varphi_1 |$  و  $\langle \varphi_2 |$  ابایکدیگر متناسبند.

مراجع:

Bass I (10.1), § 5-3; Arfken (10.4), § 9-4.

مکمل  $B_{II}$ 

## مروری بر بعضی از خواص مفید عملگرهای خطی

### ۱- رد یک عملگر

- a - تعریف
- b - رد تغییر ناپذیر است
- c - خواص مهم

### ۲- جبر جابجاگرها

- a - تعریف
- b - خواص

### ۳- تحدید یک عملگر به یک زیر فضا

### ۴- توابع عملگرها

- a - تعریف، خواص ساده
- b - یک مثال مهم : عملگر پتانسیل
- c - جابجاگرها که شامل توابعی از عملگرها هستند.

### ۵- مشتق گیری از عملگرها

- a - تعریف
- b - قواعد مشتق گیری
- c - مثالها
- d - یک کاربرد : یک فرمول مفید

هدف این مکمل عبارت است از مروری بر شعدهای از تعاریف و خواص مفید عملگرهای خطی .

### / - رد یک عملگر

#### a - تعریف

رد یک عملگر  $A$  ، که بصورت  $\text{Tr } A$  نوشته می شود ، برابر است با حاصل جمع عناصر قطر اصلی ماتریس وابسته به آن .  
وقتی یک پایه راست هنجارگشته ،  $\{ | u_i \rangle\}$  ، برای فضای  $\mathcal{H}$  انتخاب شود ، بنا

به تعریف، داریم:

$$\text{Tr } A = \sum_i \langle u_i | A | u_i \rangle \quad (1)$$

برای مورد یک پایه راست هنچار پیوسته  $\{ | w_\alpha \rangle \}$ ، داریم:

$$\text{Tr } A = \int d\alpha \langle w_\alpha | A | w_\alpha \rangle \quad (2)$$

وقتی  $\mathcal{H}$  یک فضای بینهایت بعدی باشد، رد عملگر  $A$  فقط وقتی تعریف می‌شود که عبارات  $(1)$  و  $(2)$  همگرا باشند.

b - رد تغییر ناپذیر است

مجموع عناصر قطری ماتریسی که معرف عملگر  $A$  در یک پایه دلخواه است به آن پایه بستگی ندارد. حال، این خاصیت را برای مورد تغییر از یک پایه راست هنچارگسته  $\{ | u_i \rangle \}$  به یک پایه راست هنچارگسته  $\{ | t_k \rangle \}$  به دست می‌آوریم. داریم:

$$\sum_i \langle u_i | A | u_i \rangle = \sum_i \langle u_i | \left[ \sum_k | t_k \rangle \langle t_k | \right] A | u_i \rangle \quad (3)$$

(که در آن از رابطه بستاری برای حالت‌های  $| t_k \rangle$  استفاده کردی‌ایم). طرف راست  $(3)$  برابر است با:

$$\sum_{i,k} \langle u_i | t_k \rangle \langle t_k | A | u_i \rangle = \sum_{i,k} \langle t_k | A | u_i \rangle \langle u_i | t_k \rangle \quad (4)$$

(زیرا می‌توان ترتیب دو عدد را در یک حاصلضرب عوض کرد). سپس می‌توانیم، در  $(4)$ ،  $\sum_i | u_i \rangle \langle u_i |$  را توسط  $\mathbb{I}$  جایگزین کنیم (رابطه بستاری برای حالت‌های  $| u_i \rangle$ )، و بالاخره به دست می‌آوریم:

$$\sum_i \langle u_i | A | u_i \rangle = \sum_k \langle t_k | A | t_k \rangle \quad (5)$$

این برابری به خوبی خاصیت مورد نظر را، در مورد ویژه انتخاب شده، بیان می‌کند.

### گوشزد :

بنابراین اگر عملگر  $A$  یک مشاهده‌پذیر باشد،  $\text{Tr } A$  می‌تواند در یک پایه از ویژه بردارهای  $A$  محاسبه شود. در این صورت عناصر قطری، ماتریس هماون ویژه مقدارهای  $A$ ، یعنی  $a_n$ ، (درجه تبیهگشی  $g_n$ ) هستند و رد می‌تواند به صورت زیر نوشته شود:

$$\text{Tr } A = \sum_n g_n a_n \quad (6)$$

### ۶ - خواص مهم

$$\text{Tr } AB = \text{Tr } BA \quad (7-a)$$

$$\text{Tr } ABC = \text{Tr } BCA = \text{Tr } CAB \quad (7-b)$$

"عموماً، رده حاصل ضرب هر تعدادی از عملگرهای، وقتی یک جایگشت دورهای روی آن عملگرهای انجام شود، تغییر ناپذیر است.

به عنوان مثال، رابطه (a - ۷) را ثابت کنیم:

$$\begin{aligned} \text{Tr } AB &= \sum_i \langle u_i | AB | u_i \rangle = \sum_{i,j} \langle u_i | A | u_j \rangle \langle u_j | B | u_i \rangle \\ &= \sum_{i,j} \langle u_j | B | u_i \rangle \langle u_i | A | u_j \rangle = \sum_j \langle u_j | BA | u_j \rangle = \text{Tr } BA \end{aligned} \quad (8)$$

(با دوبار استفاده از رابطه بستاری روی پایه  $\{ | u_i \rangle\}$ ). بدین ترتیب رابطه (a - ۷) ثابت شد، اثبات تعمیم آن، (b - ۷)، هیچ اشکالی ایجاد نمی‌کند.

### ۷ - جبر جابجاگرها

#### ۱ - تعریف

جابجاگر  $[A, B]$  دو عملگر، بنا به تعریف، عبارت است از:

$$[A, B] = AB - BA \quad (9)$$

## ۶ - خواص

$$[A, B] = - [B, A] \quad (10)$$

$$[A, (B + C)] = [A, B] + [A, C] \quad (11)$$

$$[A, BC] = [A, B]C + B[A, C] \quad (12)$$

$$[A, [B, C]] + [B, [C, A]] + [C, [A, B]] = 0 \quad (13)$$

$$[A, B]^t = [B^t, A^t] \quad (14)$$

استخراج این خواص، ساده است: کافی است پس از اینکه دوطرف هر معادله را به‌طور صریح نوشتیم، آنها را باهم مقایسه کنیم.

## ۷ - تحدید یک عملگر به‌یک زیرفضا

فرض کنید  $P_q$  تصویرگر روی زیرفضای  $q$  بعدی  $\mathcal{E}_q$  باشد که توسط  $q$  بردار راست هنجار  $|\varphi_i\rangle$  بموارد آمده است:

$$P_q = \sum_{i=1}^q |\varphi_i\rangle \langle \varphi_i| \quad (15)$$

با معرفی، تحدید  $\hat{A}_q$  ای عملگر  $A$  به‌زیرفضای  $\mathcal{E}_q$  عبارت است از:

$$\hat{A}_q = P_q A P_q \quad (16)$$

اگر  $|\psi\rangle$  یک کت دلخواه باشد. ازین تعریف نتیجه می‌شود که:

$$\hat{A}_q |\psi\rangle = P_q A |\hat{\psi}_q\rangle \quad (17)$$

که در آن:

$$|\hat{\psi}_q\rangle = P_q |\psi\rangle \quad (18)$$

عبارت است از تصویر عمودی  $|\psi\rangle$  در  $\mathcal{E}_q$ . در نتیجه، برای اینکه  $\hat{A}_q$  را روی یک کت دلخواه  $|\psi\rangle$  عمل دهیم، باید ابتدا این کت را روی  $\mathcal{E}_q$  تصویر کنیم، سپس عملگر  $A$  را روی این تصویر اعمال کنیم، در حالیکه فقط تصویر کت حاصله در  $\mathcal{E}$  را نگه می‌داریم. بنابراین، عملگر  $\hat{A}_q$ ، که هر کت از  $\mathcal{E}_q$  را به‌یک کت دیگر متعلق به‌همین زیرفضا، تبدیل می‌کند عملگری است که عمل آن به  $\mathcal{E}_q$  محدود شده است.

در باره ماتریسی که معرف  $\hat{A}_q$  است، چه می‌توان گفت؟ یک پایه  $\{u_k\}$  انتخاب کنیم که  $q$  بردار اول آن به  $\mathcal{E}_q$  (به عنوان مثال، آنها را به  $|\varphi_i\rangle$  نشان می‌دهیم) و

بقيه بمزير فضای مکمل تعلق داشته باشند . داريم :

$$\langle u_i | \hat{A}_q | u_j \rangle = \langle u_i | P_q A P_q | u_j \rangle \quad (19)$$

يعني :

$$\langle u_i | \hat{A}_q | u_j \rangle = \begin{cases} \langle u_i | A | u_j \rangle & i, j \leq q \\ 0 & \text{بزرگتر از } q \end{cases} \quad (20)$$

بنابراین ، مانند این است که ماتریس معرف  $\hat{A}_q$  بهگونه‌ای از ماتریس معرف  $A$  ، " بیرون آورده شده باشد ". فقط آن عناصر ماتریسی  $A$  را که بهبردارهای پایه  $\langle u_i |$  و  $| u_j \rangle$  ، که هردو متعلق به  $\mathcal{C}$  هستند ، وابسته‌اند حفظ کرده و بهجای بقيه عناصر ماتریسی صفر قرار می‌دهیم .

#### ۴ - توابع عملگرها

##### a - تعریف ، خواص ساده

یک عملگر خطی دلخواه  $A$  در نظر بگیرید . تعریف عملگر  $A^n$  مشکل نیست :  
عملگری است که متناظر است با اعمال  $n$  مرتبه متوالی عملگر  $A$  . تعریف عملگر  $A^{-1}$  ، معکوس  $A$  ، نیز کاملاً " شناخته شده است :  $A^{-1}$  عملگری است که (اگر وجود داشته باشد ) دو روابط زیر صدق کند :

$$A^{-1}A = AA^{-1} = \mathbb{I} \quad (21)$$

حال ، چگونه می‌توانیم ، بهگونه‌ای عام‌تر ، یک تابع دلخواه از یک عملگر را تعریف کنیم ؟ برای این منظور ، یک تابع  $F$  از متغیر  $z$  را در نظر بگیرید . فرض کنید که ، در یک ناحیه معینی ،  $F$  بتواند بهصورت یک سری از توانهای  $z$  بسط داده شود :

$$F(z) = \sum_{n=0}^{\infty} f_n z^n \quad (22)$$

بنابراین ، تابع متناظر از عملگر  $A$  عملگری است مانند  $(F(A))$  که توسط یک سری که دارای همان ضرائب  $f_n$  است تعریف شده باشد :

$$F(A) = \sum_{n=0}^{\infty} f_n A^n \quad (23)$$

به عنوان مثال ، عملگر  $e^A$  بهصورت زیر تعریف می‌شود :

$$e^A = \sum_{n=0}^{\infty} \frac{A^n}{n!} = 1 + A + A^2/2! + \dots + A^n/n! + \dots \quad (24)$$

مسائل مربوط به همگرائي سري (۲۲) را، که بهويزه مقدارهاي  $A$  و بهشاع همگرائي سري (۲۲) بستگي دارند، در نظر نخواهيم گرفت.

توجه کنيد که اگر  $F(z)$  يك تابع حقيقي باشد، ضرائب  $f_n$  حقيقي هستند. بعلاوه، اگر  $A$  هرميتی باشد، از (۲۳) ملاحظه می کنيم که  $F(A)$  هرميتی است.

فرض کنيد  $\langle \varphi_a |$  يك ويژه بردار  $A$  با ويژه مقدار  $a$  باشد:

$$A |\varphi_a\rangle = a |\varphi_a\rangle \quad (25)$$

با اعمال  $n$  مرتبه متوالی اين عملگر، خواهيم یافت:

$$A^n |\varphi_a\rangle = a^n |\varphi_a\rangle \quad (26)$$

حال، سري (۲۳) را به  $\varphi_a$  اعمال کنيم، نتيجه می شود:

$$F(A) |\varphi_a\rangle = \sum_{n=0}^{\infty} f_n a^n |\varphi_a\rangle = F(a) |\varphi_a\rangle \quad (27)$$

اين امر، بمقانون زير منجر می شود: وقتی  $\langle \varphi_a |$  يك ويژه بردار  $A$  با ويژه مقدار  $a$  باشد، ويژه بردار  $F(A)$  با ويژه مقدار  $F(a)$  نيز خواهد بود.

اين خاصيت به يك تعريف دومي از تابع يك عملگر منتهي می شود.  
يک عملگر قطري پذير  $A$  در نظر بگيريد (اگر  $A$  يك مشاهده پذير باشد، هميشه اين چنین خواهد بود) و پايه اي انتخاب کنيد که در آن ماتريس وابسته به  $A$ ، در الواقع، قطري باشد (در اين صورت عناصر آن ويژه مقدارهاي  $a_i$  يك عملگر  $A$  هستند).  
بنما يد تعريف عملگري است که، در همين پایه، توسط يك ماتريس قطري که عنانوش  $F(a_i)$  هستند، نمايش داده می شود.

بعنوان مثال، اگر  $\sigma_z$  ماتريس:

$$\sigma_z = \begin{pmatrix} 1 & 0 \\ 0 & -1 \end{pmatrix} \quad (28)$$

باشد، مستقيما "نتيجه می شود:

$$e^{\sigma_z} = \begin{pmatrix} e & 0 \\ 0 & 1/e \end{pmatrix} \quad (29)$$

## گوشزد :

وقتی توابع عملگرها مورد استفاده قرار می‌گیرند، باید نسبت به ترتیب عملگرها دقت بعمل آید، به عنوان مثال، وقتی  $A$  و  $B$  عدد نسبوده و عملگر باشند، عملگرهای  $e^A e^B$  و  $e^{A+B}$  در حالت کلی، برابر نیستند. عملگرهای زیر را در نظر بگیرید:

$$e^A e^B = \sum_p \frac{A^p}{p!} \sum_q \frac{B^q}{q!} = \sum_{p,q} \frac{A^p B^q}{p! q!} \quad (30)$$

$$e^B e^A = \sum_q \frac{B^q}{q!} \sum_p \frac{A^p}{p!} = \sum_{p,q} \frac{B^q A^p}{p! q!} \quad (31)$$

$$e^{A+B} = \sum_p \frac{(A+B)^p}{p!} \quad (32)$$

وقتی  $A$  و  $B$  دلخواه باشند، دلیلی ندارد که طرفهای راست (۳۰)، (۳۱) و (۳۲) برابر باشند (رگ تمرین ۷ از مکمل  $H_{II}$ ). ولی، وقتی  $A$  و  $B$  جابجایی پذیر باشند، داریم:

$$[A, B] = 0 \implies e^A e^B = e^B e^A = e^{A+B} \quad (33)$$

(رابطه‌ای که، اگر ماتریس‌های قطری معرف  $e^A$  و  $e^B$  در پایه‌ای از ویژه‌بردارهای مشترک  $A$  و  $B$  در نظر گرفته شوند، آشکار است).

## ۶ - یک مثال مهم: عملگر پتانسیلی

در مسائل یک بعدی، اغلب مجبوریم که عملگرهاي "پتانسیلی"  $V(X)$  که بمعلت اینکه با انرژی پتانسیل کلاسیکی  $V(x)$  یک ذره در یک میدان نیرو متناظرنده، بمانی نام موسوند را در نظر بگیریم، که در آن  $V(X)$  تابعی از عملگر مکانی  $X$  است. از مطالب بخش گذشته نتیجه می‌شود که ویژه‌بردارهای  $V(X)$ ، همان ویژه‌بردارهای  $X$ ، یعنی  $\langle x |$ ، هستند، و داریم:

$$V(X) |x\rangle = V(x) |x\rangle \quad (34)$$

بنابراین، عناصر ماتریسی  $V(X)$  در نمایش  $\{ |x\rangle \}$  عبارتند از:  
 $\langle x | V(X) |x'\rangle = V(x)\delta(x - x')$  (35)

با بکاربردن (۳۴) و استفاده ازین واقعیت که  $V(X)$  هرمیتی است (تابع  $V(x)$  حقیقی است)، نتیجه می‌گیریم:

$$\langle x | V(X) | \psi \rangle = V(x) \langle x | \psi \rangle = V(x)\psi(x) \quad (36)$$

این معادله نشان می‌دهد که در نمایش  $\{x\}$ ، عمل عملگر  $(X)V$  عبارت است از ضرب در  $\cdot V(x)$

تعییم (۳۴)، (۳۵) و (۳۶) به مسائل سه بعدی می‌تواند بدون هیچ اشکالی انجام شود، در این مورد، خواهیم داشت:

$$V(\mathbf{R}) | \mathbf{r} \rangle = V(\mathbf{r}) | \mathbf{r} \rangle \quad (37)$$

$$\langle \mathbf{r} | V(\mathbf{R}) | \mathbf{r}' \rangle = V(\mathbf{r})\delta(\mathbf{r} - \mathbf{r}') \quad (38)$$

$$\langle \mathbf{r} | V(\mathbf{R}) | \psi \rangle = V(\mathbf{r})\psi(\mathbf{r}) \quad (39)$$

۰ - جابجاگرهاشی که شامل توابعی از عملگرها هستند.

تعریف (۲۳) نشان می‌دهد که  $A$  با هر تابعی از  $A$  جابجائی پذیر است:

$$[A, F(A)] = 0 \quad (40)$$

به طور مشابه، اگر  $A$  و  $B$  جابجائی پذیر باشند،  $F(A)$  و  $F(B)$  نیز جابجائی پذیر خواهند بود:

$$[B, A] = 0 \implies [B, F(A)] = 0 \quad (41)$$

جابجاگر یک عملگر با تابعی از یک عملگر دیگر که با آن جابجائی پذیر نیست چگونه خواهد بود؟ در اینجا خود را به مورد عملگرهای  $X$  و  $P$ ، که جابجاگر آنها برابر:

$$[X, P] = i\hbar \quad (42)$$

است، محدود خواهیم کرد.

با استفاده از رابطه (۱۲)، می‌توانیم محاسبه زیر را انجام دهیم:

$$[X, P^2] = [X, PP] = [X, P]P + P[X, P] = 2i\hbar P \quad (43)$$

به طور کلی تر، نشان دهیم که:

$$[X, P^n] = i\hbar n P^{n-1} \quad (44)$$

اگر این معادله را ثابت شده فرض کنیم ، خواهیم یافت :

$$[X, P^{n+1}] = [X, PP^n] = [X, P]P^n + P[X, P^n] \\ = i\hbar P^n + i\hbar n PP^{n-1} = i\hbar(n+1)P^n \quad (45)$$

بدین ترتیب ، رابطه (۴۴) به طریق استقراء ثابت می شود .  
حال ، جابجاگر  $[X, F(P)]$  را محاسبه کنیم :

$$[X, F(P)] = \sum_n [X, f_n P^n] = \sum_n i\hbar n f_n P^{n-1} \quad (46)$$

اگر  $F'(z)$  نشان دهد که مشتق تابع  $F(z)$  باشد ، در (۴۶) تعریف عملگر  $F'(P)$  را می یابیم .  
بنابراین :

$$\boxed{[X, F(P)] = i\hbar F'(P)} \quad (47)$$

استدلال مشابهی ، ما را قادر خواهد ساخت تا رابطه متقارن زیر را بدست آوریم :

$$\boxed{[P, G(X)] = -i\hbar G'(X)} \quad (48)$$

گوشزده :

استدلال قبل براین واقعیت استوار است که  $F(P)$  (یا  $G(X)$ ) فقط به  $P$  (یا به  $X$ ) بستگی دارد . محاسبه جابجاگری نظیر  $[X, \Phi(X, P)]$  ، که در آن  $\Phi(X, P)$  عملگری است که هم به  $X$  و هم به  $P$  بستگی دارد ، مشکل شر است : مشکلات از اینجا ناشی می شوند که  $X$  و  $P$  جابجاشی پذیر نیستند . (i)

معادلات (۴۷) و (۴۸) می توانند به مورد دو عملگر  $A$  و  $B$  که هردو با جابجاگری شان جابجاشی پذیرند تعمیم داده شود . استدلالی براساس استدلال قبلی نشان می دهد که اگر داشته باشیم :

$$[A, C] = [B, C] = 0 \quad (49)$$

با :

$$C = [A, B] \quad (50)$$

خواهیم داشت :

$$[A, F(B)] = [A, B]F'(B) \quad (51)$$

## ۵ - مشتق گیری از یک عملگر

## ۶ - تعریف a

فرض کنید  $A(t)$  عملگری باشد که بهیک متغیر دلخواه  $t$  بستگی داشته باشد. بنا به تعریف، مشتق  $A(t)$  نسبت به  $t$ ، یعنی  $\frac{dA}{dt}$  (اگر وجود داشته باشد) توسط حد زیرداده می‌شود:

$$\frac{dA}{dt} = \lim_{\Delta t \rightarrow 0} \frac{A(t + \Delta t) - A(t)}{\Delta t} \quad (52)$$

عناصر ماتریسی  $A(t)$  دریک پایه دلخواه از بردارهای  $\langle u_i |$ ، مستقل از  $t$ ، توابعی از  $t$  هستند:

$$\langle u_i | A | u_j \rangle = A_{ij}(t) \quad (53)$$

را عنصر ماتریسی  $\frac{dA}{dt}$  می‌نامیم. به آسانی می‌توان تحقیق کرد که:

$$\left( \frac{dA}{dt} \right)_{ij} = \frac{d}{dt} A_{ij} \quad (54)$$

به این ترتیب، یک قاعده بسیار ساده به دست می‌آوریم: برای به دست آوردن عناصر ماتریسی معرف  $\frac{dA}{dt}$ ، کافی است ماتریس معرف  $A$  را در نظر گرفته و از هریک از عناصر آن مشتق مشتق بگیریم (بدون اینکه جای آنها را تغییر دهیم).

## ۷ - قواعد مشتق گیری

این قواعد مشابه قواعد مشتق گیری از توابع معمولی هستند:

$$\frac{d}{dt} (F + G) = \frac{dF}{dt} + \frac{dG}{dt} \quad (55)$$

$$\frac{d}{dt} (FG) = \frac{dF}{dt} G + F \frac{dG}{dt} \quad (56)$$

معذالک باید دقت شود که ترتیب عملگرها در فرمول (۵۶) تغییر داده نشود .  
بیایند ، برای مثال ، معادله دوم را ثابت کنیم . عناصر ماتریسی  $FG$  عبارتند از :

$$\langle u_i | FG | u_j \rangle = \sum_k \langle u_i | F | u_k \rangle \langle u_k | G | u_j \rangle \quad (57)$$

قبلماً دیدیم که عناصر ماتریسی  $d(FG)/dt$  مشتقهای عناصر ماتریسی ( $FG$ ) نسبت به  $t$  هستند . بنابراین ، با مشتقگیری از طرف راست (۵۷) ، داریم :

$$\begin{aligned} \langle u_i | \frac{d}{dt} (FG) | u_j \rangle &= \sum_k \left[ \langle u_i | \frac{dF}{dt} | u_k \rangle \langle u_k | G | u_j \rangle + \right. \\ &\quad \left. + \langle u_i | F | u_k \rangle \langle u_k | \frac{dG}{dt} | u_j \rangle \right] \quad (58) \\ &= \langle u_i | \frac{dF}{dt} G + F \frac{dG}{dt} | u_j \rangle \end{aligned}$$

این معادله برای هر  $i$  و هر  $j$  معتبر است . بدین ترتیب فرمول (۵۶) ثابت می شود .

### ۳ - مثالها

حال ، مشتق عملگر  $e^{At}$  را محاسبه کنیم . بنا به تعریف ، داریم :

$$e^{At} = \sum_{n=0}^{\infty} \frac{(At)^n}{n!} \quad (59)$$

با مشتقگیری از جمله به جمله این سری ، داریم :

$$\begin{aligned} \frac{d}{dt} e^{At} &= \sum_{n=0}^{\infty} n \frac{t^{n-1} A^n}{n!} \\ &= A \sum_{n=1}^{\infty} \frac{(At)^{n-1}}{(n-1)!} \\ &= \left[ \sum_{n=1}^{\infty} \frac{(At)^{n-1}}{(n-1)!} \right] A \quad (60) \end{aligned}$$

مشخص است که سری داخل کوشیده (با قرار دادن  $1 - p = n - 1$  به عنوان شاخص جمع بندی ) برابر است با  $e^{At}$  . بنابراین نتیجه عبارت است از :

$$\frac{d}{dt} e^{At} = A e^{At} = e^{At} A \quad (61)$$

در این مورد ساده که فقط شامل یک عملگر است، لازم نیست که به ترتیب عوامل توجه شود؛  $e^{At}$  و  $A$  جابجایی پذیرند.

اگر بخواهیم از عملگری نظیر  $e^{A+B}e$  مشتق بگیریم این طور نیست. با یه کاربردن (۶۱) و (۵۵)، به دست می‌آوریم:

$$\frac{d}{dt}(e^{At}e^{Bt}) = Ae^{At}e^{Bt} + e^{At}Be^{Bt} \quad (62)$$

طرف راست این معادله می‌تواند، به عنوان مثال، به  $e^{At}Ae^{Bt} + e^{At}Be^{Bt}$  یابه  $e^{At}Ae^{Bt} + e^{At}Be^{Bt}$  تبدیل شود. ولی هرگز نمی‌توانیم (البته، مگر اینکه  $A$ ،  $B$  جابجایی پذیر باشند) عبارتی نظیر  $(A+B)e^{At}e^{Bt}$  به دست آوریم. لذا، درین مورد ترتیب عملگرها مهم است.

گوشزد:

حتی اگر تابع شامل فقط یک عملگر باشد، مشتق‌گیری همیشه نمی‌تواند بر طبق قواعدی که برای توابع معمولی معتبر است، انجام شود. به عنوان مثال، وقتی  $A(t)$  بستگی زمانی دلخواهی داشته باشد، مشتق  $\frac{d}{dt}e^{A(t)}$  عموماً "برابر با  $\frac{dA}{dt}e^{A(t)}$ " نیست. با بسط  $e^{A(t)}$  بر حسب توانهای  $(i)$   $A$  می‌توان دید که برای اینکه این برابری برقرار باشد باید  $\frac{dA}{dt}$  و  $\frac{d}{dt}e^{A(t)}$  جابجایی پذیر باشند.

۹ - یک کاربرد: یک فرمول مفید

دو عملگر  $A$  و  $B$  در نظر بگیرید که، بنا به فرض، هر دو با جابجاگر شان جابجایی پذیر باشند. در این مورد، رابطه زیر را به دست خواهیم آورد:

$$e^A e^B = e^{A+B} e^{\frac{1}{2}[A,B]} \quad (63)$$

فرمول گلاببر).

عملگر  $(t)$ ، تابعی از متغیر حقیقی  $t$ ، را توسط رابطه:

$$F(t) = e^{At}e^{Bt} \quad (64)$$

تعریف می‌کنیم، داریم:

$$\frac{dF}{dt} = Ae^{At}e^{Bt} + e^{At}Be^{Bt} = (A + e^{At}Be^{-At})F(t) \quad (65)$$

چون  $A$  و  $B$  با جابجاگر شان جابجائی پذیرند، فرمول (۵۱) می‌تواند برای محاسبه:

$$[e^{At}, B] = t[A, B]e^{At} \quad (66)$$

بهکار رود. بنابراین:

$$e^{At}B = Be^{At} + t[A, B]e^{At} \quad (67)$$

دو طرف این معادله را از طرف راست در  $e^{-At}$  ضرب کنید. با جایگزین کردن رابطه به دست آمده در (۶۵)، خواهم یافت:

$$\frac{dF}{dt} = (A + B + t[A, B])F(t) \quad (68)$$

عملگرهای  $A + B$  و  $[A, B]$ ، بنا به فرض، جابجائی پذیرند. بنابراین می‌توانیم از معادله دیفرانسیل (۶۸) طوری انتگرال گیری کنیم. که گوئی  $A + B$  و  $[A, B]$  عدد هستند. نتیجه می‌شود:

$$F(t) = e^{(A+B)t + \frac{1}{2}[A, B]t^2} \quad (69)$$

با قرار دادن  $t = 0$ ، ملاحظه می‌کنیم که  $F(0) = 1$ ، و:

$$F(t) = F(0)e^{(A+B)t + \frac{1}{2}[A, B]t^2} \quad (70)$$

سپس با قرار دادن  $t = 1$  معادله (۶۳) را به دست می‌آوریم، که بقاین ترتیب ثابت می‌شود.

گوشزد:

وقتی عملگرهای  $A$  و  $B$  دلخواه باشند، معادله (۶۳) در حالت کلی معتبر نیست: لازم است که هم  $A$  و هم  $B$  هردو با  $[A, B]$  جابجائی پذیر باشند. این شرط ممکن است خیلی محدود کننده به نظر برسد، در واقع، در مکانیک کوانتومی غالباً "با

عملگرهای مواجهیم که جابجاگرشان یک عدد است: به عنوان مثال،  $X$  و  $P$ ، یا عملگرهای  $a$  و  $a^*$  در نوسان کننده هارمونیک (رک فصل پنجم).

مراجع:

زیربخش‌های "کتابهای عمومی" و "جبر خطی - فضاهای هیلبرت" از بخش ده کتاب شناسی را بهبینید.

متحل  $C_{11}$ 

## عملگرهای یکانی

۱ - خواص عمومی عملگرهای یکانی

۲ - تعریف، خواص ساده

۳ - عملگرهای یکانی و تغییر پایه‌ها

۴ - ماتریس‌های یکانی

۵ - ویژه مقدارها و ویژه بردارهای یک عملگر یکانی

۶ - تبدیلات یکانی عملگرها

۷ - عملگر یکانی بینهایت کوچک

۸ - خواص عمومی عملگرهای یکانی

۹ - تعریف، خواص ساده

بنا به تعریف، یک عملگر  $U$  یکانی است اگر معکوس آن،  $U^{-1}$ ، با الحاقی آن، $U^*$ ، برابر باشد:

$$U^*U = UU^* = \mathbb{1} \quad (1)$$

دو بردار دلخواه  $|\tilde{\psi}_1\rangle$  و  $|\tilde{\psi}_2\rangle$  از  $\mathcal{H}$ ، و تبدیلات  $|\tilde{\psi}_1\rangle$  و  $|\tilde{\psi}_2\rangle$  آن تحت عمل  $U$  را در نظر بگیرید:

$$\begin{aligned} |\tilde{\psi}_1\rangle &= U|\psi_1\rangle \\ |\tilde{\psi}_2\rangle &= U|\psi_2\rangle \end{aligned} \quad (2)$$

اکنون، حاصلضرب نرداری  $\langle\tilde{\psi}_2|\tilde{\psi}_1\rangle$  را محاسبه کنیم، خواهیم یافت:

$$\langle\tilde{\psi}_1|\tilde{\psi}_2\rangle = \langle\psi_1|U^*U|\psi_2\rangle = \langle\psi_1|\psi_2\rangle \quad (3)$$

بنابراین، تبدیل یکانی وابسته به عملگر  $U$ ، حاصلضرب نرداری (و در نتیجه، هنجار) را در  $\mathcal{H}$  تغییر نمی‌دهد. بعلاوه، اگر بعد  $\mathcal{H}$  محدود باشد، این خاصیت مشخصه یک عملگر یکانی است.

## گوشزدها :

اگر  $A$  یک عملگر هرمیتی باشد، عملگر  $T = e^{iA}$  یکانی است، زیرا: (i)

$$T^\dagger = e^{-iA^\dagger} = e^{-iA} \quad (4)$$

و بنابراین

$$\begin{aligned} T^\dagger T &= e^{-iA} e^{iA} = \mathbb{1} \\ TT^\dagger &= e^{iA} e^{-iA} = \mathbb{1} \end{aligned} \quad (5)$$

(بوضوح،  $iA$  با  $iA$  جابجایی پذیر است).

حاصلضرب دو عملگر یکانی نیز یکانی است. اگر  $U$  و  $V$  یکانی باشند، داریم: (ii)

$$\begin{aligned} U^\dagger U &= UU^\dagger = \mathbb{1} \\ V^\dagger V &= VV^\dagger = \mathbb{1} \end{aligned} \quad (6)$$

حال محاسبات زیر را انجام دهیم:

$$\begin{aligned} (UV)^\dagger (UV) &= V^\dagger U^\dagger UV = V^\dagger V = \mathbb{1} \\ (UV)(UV)^\dagger &= U V V^\dagger U^\dagger = UU^\dagger = \mathbb{1} \end{aligned} \quad (7)$$

این معادلات در واقع نشان می‌دهند که عملگر حاصلضرب  $UV$  یکانی است. به علاوه، این خاصیت قابل پیش‌بینی بود: وقتی دو تبدیل، حاصلضرب نردداری را ثابت نگه دارند، اعمال متوالی این دو تبدیل نیز همین کار را خواهد کرد. در فضای سه بعدی معمولی بردارهای حقیقی، با عملگرهایی که هنجار و حاصلضرب را ثابت نگه می‌دارند آشنا هستیم: دورانها، تقارن‌ها نسبت به یک نقطه، یک صفحه وغیره. در این مورد که فضا حقیقی است، گفته می‌شود که این عملگرهای متعامدند. عملگرهای یکانی، تعمیم عملگرهای متعامد به فضاهای مختلط (با تعداد دلخواهی بعد) هستند. (iii)

## ۶ - عملگرهای یکانی و تغییر پایه‌ها

$\alpha$ . فرض کنید  $\{ |v_i \rangle \}$  یک پایه راست‌هنجار از فضای حالت  $\mathcal{H}$  باشد، که فرض

می شود گسته است . تبدیل بردار  $|v_i\rangle$  تحت عمل اپراتور  $U$  را با  $|\tilde{v}_i\rangle$  نمایش می دهیم :

$$|\tilde{v}_i\rangle = U|v_i\rangle \quad (8)$$

چون اپراتور  $U$  یکانی است ، داریم :

$$\langle\tilde{v}_i|\tilde{v}_j\rangle = \langle v_i|v_j\rangle = \delta_{ij} \quad (9)$$

در نتیجه ، بردارهای  $|\tilde{v}_i\rangle$  راست هنجارند ، حال ، نشان دهیم که این بردارها یک پایه در  $\mathcal{H}$  تشکیل می دهند . برای این منظور ، یک بردار دلخواه  $|\psi\rangle$  از  $\mathcal{H}$  را در نظر بگیریم . چون مجموعه  $\{|v_i\rangle\}$  تشکیل یک پایه می دهند ، بردار  $|\psi\rangle$  می تواند روی  $|v_i\rangle$  بسط داده شود :

$$U^*|\psi\rangle = \sum_i c_i |v_i\rangle \quad (10)$$

با اعمال عملگر  $U$  بمقایسه معادله ، خواهم یافت :

$$UU^*|\psi\rangle = \sum_i c_i U|v_i\rangle \quad (11)$$

یا :

$$|\psi\rangle = \sum_i c_i |\tilde{v}_i\rangle \quad (12)$$

این معادله ، بیانگر این واقعیت است که هر بردار  $|\psi\rangle$  می تواند روی بردارهای  $|\tilde{v}_i\rangle$  بسط داده شود ، و در نتیجه  $|\tilde{v}_i\rangle$  ها یک پایه تشکیل می دهند . بدین ترتیب می توانیم نتیجه زیر را بیان کنیم : یک شرط لازم برای اینکه عملگر  $U$  یکانی باشد این است که وقتی بردارهای یک پایه راست هنجار از  $\mathcal{H}$  توسط  $U$  تبدیل شوند ، یک پایه راست هنجار دیگر تشکیل دهند .

$\beta$  - از طرف دیگر ، نشان دهیم که این شرط کافی است ، بنا به فرض داریم :

$$\begin{aligned} |\tilde{v}_i\rangle &= U|v_i\rangle \\ \langle\tilde{v}_i|\tilde{v}_j\rangle &= \delta_{ij} \\ \sum_i \langle\tilde{v}_i|\tilde{v}_i\rangle &= 1 \end{aligned} \quad (13)$$

واز این رو :

$$\langle v_j|U^\dagger = \langle\tilde{v}_j| \quad (14)$$

محاسبه زیر را انجام دهیم :

$$\begin{aligned}
 U^\dagger U |v_i\rangle &= U^\dagger |\tilde{v}_i\rangle = \sum_j |v_j\rangle \langle v_j| U^\dagger |\tilde{v}_i\rangle \\
 &= \sum_j |v_j\rangle \langle \tilde{v}_j| \tilde{v}_i\rangle = \sum_j |v_j\rangle \delta_{ij} \\
 &= |v_i\rangle
 \end{aligned} \tag{15}$$

رابطه (15)، که برای تمام  $v$ ‌ها معتبر است، این واقعیت را بیان می‌کند که عملگر  $U^\dagger U$  عملگر همانندی است. حال، بهمین طریق نشان دهیم که  $\mathbb{1} = UU^\dagger$ . برای این منظور، عمل  $U$  روی یک بردار  $|v_i\rangle$  را در نظر بگیرید.

$$\begin{aligned}
 U^\dagger |v_i\rangle &= \sum_j |v_j\rangle \langle v_j| U^\dagger |v_i\rangle \\
 &= \sum_j |v_j\rangle \langle \tilde{v}_j| v_i\rangle
 \end{aligned} \tag{16}$$

سپس، داریم:

$$\begin{aligned}
 UU^\dagger |v_i\rangle &= \sum_j U |v_j\rangle \langle \tilde{v}_j| v_i\rangle \\
 &= \sum_j |v_j\rangle \langle \tilde{v}_j| v_i\rangle \\
 &= |v_i\rangle
 \end{aligned} \tag{17}$$

از این رابطه نتیجه می‌گیریم که  $\mathbb{1} = UU^\dagger$ : بنابراین عملگر  $U$  یکانی است.

### ۳ - ماتریس‌های یکانی

فرض کنید:

$$U_{ij} = \langle v_i | U | v_j \rangle \tag{18}$$

عناصر ماتریسی  $U$  باشند. چگونه می‌توان از روی ماتریس معرف  $U$  دید که آیا این عملگر یکانی است یا خیر؟

رابطه (1) می‌دهد:

$$\langle v_i | U^\dagger U | v_j \rangle = \sum_k \langle v_i | U^\dagger | v_k \rangle \langle v_k | U | v_j \rangle \tag{19}$$

یعنی:

$$\sum_k U_{ki}^* U_{kj} = \delta_{ij} \tag{20}$$

وقتی یک ماتریس یکانی است، مجموع حاصلضربهای عنصریک ستون در مزدوجهای مختلف عناصر ستون دیگر:

– صفر است اگر دوستون مختلف باشند.

– برابر است با ۱ اگر مختلف نباشند.

حال چند مثال ارائه دهیم که در آنها این قاعده می‌تواند بسادگی نشان داده شود.

مثالها:

(۱) ماتریسی معرف یک دوران  $\theta$  حول  $Oz$  در فضای سه بعدی معمولی عبارت

است از:

$$R(\theta) = \begin{pmatrix} \cos \theta & -\sin \theta & 0 \\ \sin \theta & \cos \theta & 0 \\ 0 & 0 & 1 \end{pmatrix} \quad (21)$$

(۲) ماتریس دوران یک ذره با اسپین  $\frac{1}{2}$  در فضای حالتها (فصل نهم را بهبینید)

عبارت است از:

$$R^{(1/2)}(\alpha, \beta, \gamma) = \begin{pmatrix} e^{-\frac{i}{2}(\alpha+\gamma)} \cos \frac{\beta}{2} & -e^{\frac{i}{2}(\gamma-\alpha)} \sin \frac{\beta}{2} \\ e^{\frac{i}{2}(\alpha-\gamma)} \sin \frac{\beta}{2} & e^{\frac{i}{2}(\alpha+\gamma)} \cos \frac{\beta}{2} \end{pmatrix} \quad (22)$$

۴ – ویژه مقدارها و ویژه بردارهای یک عملگر یکانی

فرض کنید  $|\psi_u\rangle$  یک ویژه بردار بهنجار شده عملگر یکانی  $U$  با ویژه مقدار  $u$

باشد:

$$U |\psi_u\rangle = u |\psi_u\rangle \quad (23)$$

مجذور هنجار بردار  $|\psi_u\rangle$   $U$  برابر است با:

$$\langle \psi_u | U^\dagger U | \psi_u \rangle = u^* u \langle \psi_u | \psi_u \rangle = u^* u \quad (24)$$

چون علگر یکانی هنگار را پایسته نگه می‌دارد، لزوماً "داریم  $u^*u = 1$ " . بنابراین ویژه مقدارهای یک علگر یکانی باید اعداد مختلط با قدر مطلق ۱ باشند:

$$u \in \mathbb{C}^{q_u} \text{ حقیقی است} \quad (25)$$

دو ویژه بودار  $U$ ،  $\langle \psi_u | \psi_v \rangle$ ، را در نظر بگیرید، دراین صورت داریم:

$$\begin{aligned} \langle \psi_u | U^\dagger U | \psi_u \rangle &= \langle \psi_u | U^\dagger U | \psi_u \rangle = u^* u \langle \psi_u | \psi_u \rangle \\ &= e^{i(\varphi_u - \varphi_u)} \langle \psi_u | \psi_u \rangle \end{aligned} \quad (26)$$

از (۲۶) ملاحظه می‌کنیم که، وقتی ویژه مقدارهای  $u$  و  $v$  متفاوت باشند، حاصلضرب نرداری  $\langle \psi_u | \psi_v \rangle$  صفر است: دو ویژه بودار یک علگر یکانی که متناظر با دو ویژه مقدار مختلف هستند متعامدند.

### ۳- تبدیلات یکانی روی عملگرها

در بخش ۱-۱ دیدیم که عملگر یکانی  $U$  امکان می‌دهد تا، با شروع از یکپایه راست هنگار  $\{v_i\}$  از  $\mathbb{C}^q$ ، یک پایه دیگر،  $\{\tilde{v}_i\}$ ، بسازیم. دراین بخش تبدیلی را تعریف خواهیم کرد که، نه روی بودارها، بلکه روی عملگرها عمل می‌کند. بنا به تعریف، تبدیل  $\tilde{A}$  ای عملگر  $A$  عملگری است که در پایه  $\{\tilde{v}_i\}$ ، دارای همان عناصر ماتریسی عملگر  $A$  در پایه  $\{v_i\}$  است:

$$\langle \tilde{v}_i | \tilde{A} | \tilde{v}_j \rangle = \langle v_i | A | v_j \rangle \quad (27)$$

با قرار دادن (۲۷) دراین معادله، خواهیم یافت:

$$\langle v_i | U^\dagger \tilde{A} U | v_j \rangle = \langle v_i | A | v_j \rangle \quad (28)$$

چون  $U$  و  $\tilde{A}$  دلخواه هستند، داریم:

$$U^\dagger \tilde{A} U = A \quad (29)$$

یا، با ضرب کردن این معادله از طرف چپ در  $U$  و از طرف راست در  $U^\dagger$ :

$$\tilde{A} = U A U^\dagger \quad (30)$$

معادله (۳۰) را می‌توان به عنوان تعریف تبدیل  $\tilde{A}$  ای عملگر  $A$  توسط تبدیل یکانی  $U$  در نظر گرفت. در مکانیک کوانتومی، چنین تبدیلاتی غالباً "به کار برده می‌شود": اولین مثال در مکمل  $F$  همین فصل (بخش a - ۲) داده شده است.

حال بهبینیم ویژه بردارهای  $\tilde{A}$  را چگونه می‌توان از ویژه بردارهای  $A$  بدست آورد. یک ویژه بردار  $\varphi_a$  از  $A$  با ویژه مقدار  $a$  را در نظر بگیرید:

$$A |\varphi_a\rangle = a |\varphi_a\rangle \quad (۳۱)$$

فرض کنید  $|\tilde{\varphi}_a\rangle$  تبدیل  $|\varphi_a\rangle$  بوسیله عملگر  $U$  باشد:  $|\tilde{\varphi}_a\rangle = U |\varphi_a\rangle$ . در این صورت داریم:

$$\begin{aligned} \tilde{A} |\tilde{\varphi}_a\rangle &= (UAU^\dagger)U |\varphi_a\rangle = UA(U^\dagger U) |\varphi_a\rangle \\ &= UA |\varphi_a\rangle = aU |\varphi_a\rangle \\ &= a |\tilde{\varphi}_a\rangle \end{aligned} \quad (۳۲)$$

بنابراین،  $|\tilde{\varphi}_a\rangle$  یک ویژه بردار  $\tilde{A}$ ، با ویژه مقدار  $a$ ، است. این مطلب می‌تواند به قاعده زیر تعمیم داده شود: ویژه بردارهای تبدیل  $\tilde{A}$  ای عملگر  $A$ ، عبارتند از تبدیلهای  $|\tilde{\varphi}_a\rangle$  ای ویژه بردارهای  $|\varphi_a\rangle$  ای  $A$ ; ویژه مقدارها بدون تغییر می‌مانند.

گوشزدها:

الحاقی تبدیل  $\tilde{A}$  ای عملگر  $A$ ، توسط  $U$ ، برابر است با تبدیل  $A^\dagger$  بوسیله  $U$ : (i)

$$(\tilde{A})^\dagger = (UAU^\dagger)^\dagger = U A^\dagger U^\dagger = \tilde{A}^\dagger \quad (۳۳)$$

بخصوص، ازین معادله نتیجه می‌شود که، اگر  $A$  هرمیتی باشد،  $\tilde{A}$  نیز هرمیتی است.

به طور مشابه داریم: (ii)

$$(\tilde{A})^2 = UAU^\dagger UAU^\dagger = UAAU^\dagger = \tilde{A}^2$$

و به طور کلی:

$$(\tilde{A})^n = \tilde{A}^n \quad (۳۴)$$

با استفاده از تعریف (۲۳) از مکمل  $B_n$ ، به سادگی می‌توانیم نشان دهیم:

$$\tilde{F}(A) = F(\tilde{A}) \quad (25)$$

که در آن  $F(A)$  تابعی از عملگر  $A$  است.

### ۳- اپراتور یکانی بینهایت کوچک

فرض کنید  $U(\varepsilon)$  یک اپراتور یکانی باشد که فقط به یک کمیت حقیقی بینهایت کوچک  $\varepsilon$  بستگی داشته باشد، بنا به فرض، وقتی  $\varepsilon$  به سمت صفر میل کند،  $\mathbb{1} \rightarrow U(\varepsilon)$  را بر حسب توانهای  $\varepsilon$  بسط دهیم:

$$U(\varepsilon) = \mathbb{1} + \varepsilon G + \dots \quad (26)$$

بنابراین داریم:

$$U^\dagger(\varepsilon) = \mathbb{1} + \varepsilon G^\dagger + \dots \quad (27)$$

و:

$$U(\varepsilon) U^\dagger(\varepsilon) = U^\dagger(\varepsilon) U(\varepsilon) = \mathbb{1} + \varepsilon(G + G^\dagger) + \dots \quad (28)$$

چون  $U(\varepsilon)$  یکانی است، جملات مرتبه اول نسبت به  $\varepsilon$ ، در طرف راست (۲۸) صفرند، بنابراین داریم:

$$G + G^\dagger = 0 \quad (29)$$

این معادله بیان می‌کند که  $G$  پاد هرمیتی است، بهتر است قرار دهیم:

$$F = iG \quad (40)$$

تا معادله:

$$F - F^\dagger = 0 \quad (41)$$

را بعدست آوریم، که بیان می‌کند  $F$  هرمیتی است. بنابراین، یک عملگر یکانی بینهایت کوچک می‌تواند به صورت:

$$U(\varepsilon) = \mathbb{1} - i\varepsilon F \quad (42)$$

نوشته شود ، که در آن  $F$  یک عملگر هرمیتی است .  
با قراردادن (۴۲) در (۳۰) نتیجه می شود :

$$\tilde{A} = (\mathbb{1} - ieF)A(\mathbb{1} + ieF^\dagger) = (\mathbb{1} - ieF)A(\mathbb{1} + ieF) \quad (43)$$

و ، لذا :

$$\tilde{A} - A = - ie[F, A] \quad (44)$$

تغییرات عملگر  $A$  تحت تبدیل  $U$  ، تا مرتبه اول نسبت به  $\epsilon$  ، متناسب است با جابجاگر  $[F, A]$

مکمل  $D_{II}$ مطالعه مفصل‌تر نمایش‌های  $\langle r | p \rangle$  و  $\langle p | r \rangle$ ۱ - نمایش  $\langle r | p \rangle$ a - عملگر  $R$  و توابع  $R$ b - عملگر  $P$  و توابع  $P$ c - معادله شرودینگر در نمایش  $\langle r | p \rangle$ ۲ - نمایش  $\langle p | r \rangle$ a - عملگر  $P$  و توابع  $P$ b - عملگر  $R$  و توابع  $R$ c - معادله شرودینگر در نمایش  $\langle p | r \rangle$ ۱ - نمایش  $\langle r | r \rangle$ a - عملگر  $R$  و توابع  $R$ 

عنصر ماتریسی عملگرهای  $X, Y, Z$  در نمایش  $\langle r | r \rangle$  را محاسبه کنیم. با استفاده از فرمول (E-۳۶) از فصل دوم و روابط تعامل دکتهای  $\langle r | r \rangle$ ، بلاfacله بمدست می‌آوریم:

$$\begin{aligned} \langle r | X | r' \rangle &= x\delta(r - r') \\ \langle r | Y | r' \rangle &= y\delta(r - r') \\ \langle r | Z | r' \rangle &= z\delta(r - r') \end{aligned} \quad (1)$$

این سه معادله می‌توانند در یک معادله گنجانده شوند:

$$\langle r | R | r' \rangle = r\delta(r - r') \quad (2)$$

عنصر ماتریسی یک تابع  $F(R)$  در نمایش  $\langle r | r \rangle$ ، نیز بسیار ساده است: [ رک معادله (۲۷) از مکمل ]

$$\langle r | F(R) | r' \rangle = F(r)\delta(r - r') \quad (3)$$

۶ - عملگر  $P$  و توابع  $P$ 

عنصر ماتریسی  $\langle \mathbf{r} | P_x | \mathbf{r}' \rangle$  را محاسبه کنیم:

$$\begin{aligned}
 \langle \mathbf{r} | P_x | \mathbf{r}' \rangle &= \int d^3 p \langle \mathbf{r} | P_x | \mathbf{p} \rangle \langle \mathbf{p} | \mathbf{r}' \rangle \\
 &= \int d^3 p p_x \langle \mathbf{r} | \mathbf{p} \rangle \langle \mathbf{p} | \mathbf{r}' \rangle \\
 &= (2\pi\hbar)^{-3} \int d^3 p p_x e^{\frac{i}{\hbar} \mathbf{p} \cdot (\mathbf{r} - \mathbf{r}')} \\
 &= \left[ \frac{1}{2\pi\hbar} \int_{-\infty}^{+\infty} dp_x p_x e^{\frac{i}{\hbar} p_x (x - x')} \right] \times \\
 &\quad \times \left[ \frac{1}{2\pi\hbar} \int_{-\infty}^{+\infty} dp_y p_y e^{\frac{i}{\hbar} p_y (y - y')} \right] \times \\
 &\quad \times \left[ \frac{1}{2\pi\hbar} \int_{-\infty}^{+\infty} dp_z p_z e^{\frac{i}{\hbar} p_z (z - z')} \right]
 \end{aligned} \tag{4}$$

از این رابطه، با استفاده از شکل انتگرالی "تابع دلتا" و مشتق آن [ رک پیوست II ، معادلات (۳۴) و (۵۳) ]، نتیجه می‌شود:

$$\langle \mathbf{r} | P_x | \mathbf{r}' \rangle = \frac{\hbar}{i} \delta'(x - x') \delta(y - y') \delta(z - z') \tag{5}$$

عناصر ماتریسی سایر مؤلفه‌های  $P$  می‌توانند بهروش مشابهی به دست آیند.

حال، ثابت کنیم که عملگر  $P$  در نمایش  $\{ | \mathbf{r} \rangle \}$  در واقع می‌تواند از فرمول (۵) نتیجه شود. برای این منظور انتگرال زیر را محاسبه کنیم:

$$\langle \mathbf{r} | P_x | \psi \rangle = \int d^3 r' \langle \mathbf{r} | P_x | \mathbf{r}' \rangle \langle \mathbf{r}' | \psi \rangle \tag{6}$$

از (۵) داریم:

$$\langle \mathbf{r} | P_x | \psi \rangle = \frac{\hbar}{i} \int \delta'(x - x') dx' \int \delta(y - y') dy' \int \delta(z - z') \psi(x', y', z') dz' \tag{7}$$

با استفاده از رابطه:

$$\int \delta'(-u) f(u) du = - \int \delta'(u) f(u) du = f'(0) \tag{8}$$

و قرار دادن  $u = x' - x$ ، خواهیم داشت:

$$\langle \mathbf{r} | P_x | \psi \rangle = \frac{\hbar}{i} \frac{\partial}{\partial x} \psi(x, y, z) \quad (9)$$

که در واقع همان معادله (۲۶) از فصل دوم است.

مقدار عنصر ماتریسی  $\langle \mathbf{r} | G(\mathbf{P}) | \mathbf{r}' \rangle$  وابسته به یک تابع  $G(\mathbf{P})$  از عملگر  $\mathbf{P}$  چقدر است؟ محاسبه مشابهی بهما می‌دهد:

$$\begin{aligned} \langle \mathbf{r} | G(\mathbf{P}) | \mathbf{r}' \rangle &= \int d^3 p \langle \mathbf{r} | G(\mathbf{P}) | \mathbf{p} \rangle \langle \mathbf{p} | \mathbf{r}' \rangle \\ &= (2\pi\hbar)^{-3} \int d^3 p G(\mathbf{p}) e^{\frac{i}{\hbar} \mathbf{p} \cdot (\mathbf{r} - \mathbf{r}')} \\ &= (2\pi\hbar)^{-3/2} \tilde{G}(\mathbf{r} - \mathbf{r}') \end{aligned} \quad (10)$$

که در آن  $\tilde{G}(\mathbf{r})$  تبدیل فوریه معکوس تابع  $G(\mathbf{p})$  است:

$$\tilde{G}(\mathbf{r}) = (2\pi\hbar)^{-3/2} \int d^3 p e^{\frac{i}{\hbar} \mathbf{p} \cdot \mathbf{r}} G(\mathbf{p}) \quad (11)$$

– معادله شرودینگر در نمایش  $\{ | \mathbf{r} \rangle\}$  :

در فصل سوم، معادله شرودینگر را، که در مکانیک کوانتومی از اهمیتی اساسی برخوردار است، وارد خواهیم کرد:

$$i\hbar \frac{d}{dt} | \psi(t) \rangle = H | \psi(t) \rangle \quad (12)$$

که در آن،  $H$  عملگر هامیلتونی است، که آنرا در همانجا تعریف خواهیم کرد. برای یک ذره (بدون اسپین) در پتانسیل نوداری  $V(\mathbf{r})$  [ رک معادله (۴۲) – B ] از فصل سوم ] داریم:

$$H = \frac{1}{2m} \mathbf{P}^2 + V(\mathbf{R}) \quad (13)$$

اکنون بمبینیم که این معادله را چگونه در نمایش  $\{ | \mathbf{r} \rangle\}$ ، یعنی، با استفاده اوتابع موج  $\psi(\mathbf{r}, t)$ ، که به صورت:

$$\psi(\mathbf{r}, t) = \langle \mathbf{r} | \psi(t) \rangle \quad (14)$$

تعریف شده است، می‌نویسیم. با تصویر کردن (۱۳) روی  $\langle \mathbf{r} |$ ، در موردی که  $H$  توسط فرمول (۱۳) داده شده است، بدست می‌آوریم:

$$i\hbar \frac{\partial}{\partial t} \langle \mathbf{r} | \psi(t) \rangle = \frac{1}{2m} \langle \mathbf{r} | \mathbf{P}^2 | \psi(t) \rangle + \langle \mathbf{r} | V(\mathbf{R}) | \psi(t) \rangle \quad (15)$$

کمیتهای وارد در این معادله می‌توانند برحسب  $\langle \mathbf{r}, t | \psi \rangle$  بیان شوند، در واقع داریم:

$$\frac{\partial}{\partial t} \langle \mathbf{r} | \psi(t) \rangle = \frac{\partial}{\partial t} \psi(\mathbf{r}, t) \quad (16)$$

$$\langle \mathbf{r} | V(\mathbf{R}) | \psi(t) \rangle = V(\mathbf{r}) \psi(\mathbf{r}, t) \quad (17)$$

عنصر ماتریسی  $\langle \psi | \mathbf{P}^2 | \mathbf{r} \rangle$  را می‌توان با استفاده از این واقعیت که  $\mathbf{P}$  در نمایش  $\{ | \mathbf{r} \rangle\}$ ،

مانند  $\nabla - \frac{\hbar}{i}$  عمل می‌کند، محاسبه کرد:

$$\begin{aligned} \langle \mathbf{r} | \mathbf{P}^2 | \psi(t) \rangle &= \langle \mathbf{r} | (P_x^2 + P_y^2 + P_z^2) | \psi(t) \rangle \\ &= -\hbar^2 \left( \frac{\partial^2}{\partial x^2} + \frac{\partial^2}{\partial y^2} + \frac{\partial^2}{\partial z^2} \right) \psi(x, y, z, t) \\ &= -\hbar^2 \Delta \psi(\mathbf{r}, t) \end{aligned} \quad (18)$$

در این صورت معادله شرودینگر به صورت زیر در می‌آید:

$$i\hbar \frac{\partial}{\partial t} \psi(\mathbf{r}, t) = \left[ -\frac{\hbar^2}{2m} \Delta + V(\mathbf{r}) \right] \psi(\mathbf{r}, t) \quad (19)$$

این، در واقع، همان معادله معرفی شده در فصل اول (بخش ۲ - B) است.

### ۳ - نمایش $\{ | \mathbf{p} \rangle\}$

#### a - عملگر $\mathbf{P}$ و توابع $\mathbf{p}$

بدون هیچ اشکالی فرمولهای مشابه با (۲) و (۳) بدست می‌آوریم:

$$\langle \mathbf{p} | \mathbf{P} | \mathbf{p}' \rangle = \mathbf{p} \delta(\mathbf{p} - \mathbf{p}') \quad (20)$$

$$\langle \mathbf{p} | G(\mathbf{P}) | \mathbf{p}' \rangle = G(\mathbf{p}) \delta(\mathbf{p} - \mathbf{p}') \quad (21)$$

#### b - عملگر $R$ و توابع $R$

استدلالهای مشابه با استدلالهای بخش ۱ فرمولهای متناظر با (۵) و (۱۰) به ما

می‌دهند:

$$\langle \mathbf{p} | X | \mathbf{p}' \rangle = i\hbar \delta(p_x - p'_x) \delta(p_y - p'_y) \delta(p_z - p'_z) \quad (22)$$

و :

$$\langle \mathbf{p} | F(\mathbf{R}) | \mathbf{p}' \rangle = (2\pi\hbar)^{-3/2} \bar{F}(\mathbf{p} - \mathbf{p}') \quad (23)$$

با :

$$\bar{F}(\mathbf{p}) = (2\pi\hbar)^{-3/2} \int d^3r e^{-\frac{i}{\hbar} \mathbf{p} \cdot \mathbf{r}} F(\mathbf{r}) \quad (24)$$

۳ - معادله شرودینگر در نمایش  $\{ |\mathbf{p}\rangle\}$

حال، "تابع موج در نمایش  $\{ |\mathbf{p}\rangle\}$ " را به صورت زیر وارد کنیم:

$$\bar{\psi}(\mathbf{p}, t) = \langle \mathbf{p} | \psi(t) \rangle \quad (25)$$

و با استفاده از (۱۲)، معادلهای پیدا کنیم که تحول زمانی  $\langle \mathbf{p} | \psi(t) \rangle$  را بهما بدهد. با تصویر کردن (۱۲) روی کت  $|\mathbf{p}\rangle$ ، خواهیم یافت:

$$i\hbar \frac{\partial}{\partial t} \langle \mathbf{p} | \psi(t) \rangle = \frac{1}{2m} \langle \mathbf{p} | \mathbf{P}^2 | \psi(t) \rangle + \langle \mathbf{p} | V(\mathbf{R}) | \psi(t) \rangle \quad (26)$$

اکنون داریم:

$$\frac{\partial}{\partial t} \langle \mathbf{p} | \psi(t) \rangle = \frac{\partial}{\partial t} \bar{\psi}(\mathbf{p}, t) \quad (27)$$

$$\langle \mathbf{p} | \mathbf{P}^2 | \psi(t) \rangle = \mathbf{p}^2 \bar{\psi}(\mathbf{p}, t) \quad (28)$$

کهیتی که باید محاسبه کنیم عبارت است از:

$$\langle \mathbf{p} | V(\mathbf{R}) | \psi(t) \rangle = \int d^3p' \langle \mathbf{p} | V(\mathbf{R}) | \mathbf{p}' \rangle \langle \mathbf{p}' | \psi(t) \rangle \quad (29)$$

با استفاده از (۲۳)، نتیجه می‌گیریم:

$$\langle \mathbf{p} | V(\mathbf{R}) | \psi(t) \rangle = (2\pi\hbar)^{-3/2} \int d^3p' \bar{V}(\mathbf{p} - \mathbf{p}') \bar{\psi}(\mathbf{p}', t) \quad (30)$$

که در آن  $\bar{V}(\mathbf{p})$  تبدیل فوریه  $V(\mathbf{r})$  است:

$$\bar{V}(\mathbf{p}) = (2\pi\hbar)^{-3/2} \int d^3r e^{-\frac{i}{\hbar}\mathbf{p} \cdot \mathbf{r}} V(\mathbf{r}) \quad (31)$$

بنابراین، معادله شرودینگر در نمایش  $\langle \mathbf{p} | \psi \rangle$  به صورت زیر نوشته می‌شود:

$$i\hbar \frac{\partial}{\partial t} \bar{\psi}(\mathbf{p}, t) = \frac{\mathbf{p}^2}{2m} \bar{\psi}(\mathbf{p}, t) + (2\pi\hbar)^{-3/2} \int d^3p' \bar{V}(\mathbf{p} - \mathbf{p}') \bar{\psi}(\mathbf{p}', t) \quad (32)$$

گوشزد:

جون  $(\bar{\psi}(\mathbf{p}, t))$  تبدیل فوریه  $(\psi(\mathbf{r}, t))$  است [رک فرمول (۱۸) از فصل دوم] و می‌توانستیم، معادله (۳۲) را باگرفتن تبدیلات فوریه، دو طرف معادله (۱۹) به دست آوریم.

$E_{II}$  مکمل

چند خاصیت عمومی دو مشاهده‌پذیر  $Q$  و  $P$  که جابجاگر آنها برابر با  $i\hbar$  است.

۱ - عملگر  $S(\lambda)$  : تعریف، خواص

۲ - ویژه مقدارها و ویژه بردارهای  $Q$

۳ - طیف  $Q$  a

b - درجه تبیهگنی

c - ویژه بردارها

۴ - نمایش  $\{ |q\rangle \}$

a - عمل  $Q$  در نمایش  $\{ |q\rangle \}$

b - عمل  $S(\lambda)$  در نمایش  $\{ |q\rangle \}$ ، عملگر انتقال

c - عمل  $P$  در نمایش  $\{ |q\rangle \}$

۵ - نمایش  $\{ |p\rangle \}$  تقارن بین مشاهده‌پذیرهای  $P$  و  $Q$

در مکانیک کوانتومی، غالباً "به عملگرهای برحورد می‌کنیم که جابجاگر آنها برابر  $i\hbar$  است. یک مورد وقتی است که به عنوان مثال، این دو عملگر متناظر با دو کمیت کلاسیکی همیوغ  $q_i$  و  $p_i$  ( مختصه  $q_i$  در یک دستگاه محورهای راست هنجار، و تکانه همیوغ  $p_i$  ) باشد. در مکانیک کوانتومی، به  $q_i$  و  $p_i$  عملگرهای  $Q_i$  و  $P_i$  را که در رابطه

$$[Q_i, P_i] = i\hbar \quad (1)$$

صدق می‌کنند و باسته می‌کنیم.

در بخش E از فصل دوم، با چنین عملگرهایی مواجه شده‌ایم:  $X$  و  $P_x$ . در این مکمل، یک دیدگاه عامتری را انتخاب خواهیم کرد و نشان خواهیم داد که می‌توان مجموعه کاملی از خواص مهم مربوط به دو مشاهده‌پذیر  $P$  و  $Q$  را که جابجاگر شان برابر  $i\hbar$  است، برقرار ساخت. تمام این خواص، نتایج رابطه جابجائی (1) هستند.

۱ - عملگر  $S(\lambda)$  : تعریف، خواص

دو مشاهده‌پذیر  $P$  و  $Q$  در نظر خواهیم گرفت که در رابطه زیر صدق کنند:

$$[Q, P] = i\hbar \quad (2)$$

و عملگر  $S(\lambda)$  را ، که به فراسنجه حقیقی  $\lambda$  بستگی دارد ، توسط رابطه زیر تعریف می‌کنیم :

$$S(\lambda) = e^{-i\lambda P/\hbar} \quad (3)$$

این عملگر یکانی است ، به سادگی می‌توان روابط زیر را ثابت کرد :

$$S^t(\lambda) = S^{-1}(\lambda) = S(-\lambda) \quad (4)$$

حال ، جابجاگر  $[Q, S(\lambda)]$  را محاسبه کنیم . می‌توانیم فرمول (۵) از مکمل  $B_{II}$  را به کار ببریم ، زیرا  $[Q, P] = i\hbar$  و  $[Q, S(\lambda)]$  با  $P$  جابجائی پذیر است :

$$[Q, S(\lambda)] = i\hbar \left( -\frac{i\lambda}{\hbar} \right) e^{-i\lambda P/\hbar} = \lambda S(\lambda) \quad (5)$$

این رابطه به صورت زیر نیز می‌تواند نوشته شود :

$$QS(\lambda) = S(\lambda)[Q + \lambda] \quad (6)$$

بالاخره توجه کنید که :

$$S(\lambda)S(\mu) = S(\lambda + \mu) \quad (7)$$

۳ - ویژه مقدارها و ویژه بردارهای  $Q$

۴ - طیف  $Q$

فرض کنید که  $Q$  یک ویژه بردار غیر صفر  $|q\rangle$  ، با ویژه مقدار  $q$  ، داشته باشد :

$$Q|q\rangle = q|q\rangle \quad (8)$$

معادله (۶) را به بردار  $|q\rangle$  اعمال کنید ، نتیجه می‌شود :

$$\begin{aligned} Q S(\lambda)|q\rangle &= S(\lambda)(Q + \lambda)|q\rangle \\ &= S(\lambda)(q + \lambda)|q\rangle = (q + \lambda)S(\lambda)|q\rangle \end{aligned} \quad (9)$$

این معادله بیان می‌کند که  $|q\rangle$  یک ویژه بردار غیر صفر دیگر  $Q$  ، با یک ویژه مقدار  $(q + \lambda)S(\lambda)$  است (  $|q\rangle$  غیر صفر است زیرا  $S(\lambda)$  یکانی است ) .

بدين ترتيب، باشروع از يك ويژه بردار  $Q$  ، می توان ، با اعمال  $S(\lambda)$  ، يك ويژه بردار ديجر  $Q$  با هر ويژه مقدار حقيقی، را ساخت ( در حقیقت  $\lambda$  می تواند هر مقدار حقيقی اي را بگيرد). بنابراین ، طيف  $Q$  طيف پيوسته اي است، که از تمام مقادير ممکن روی محور حقيقی تشکيل يافته است . \*

#### ۶ - درجه تابعه‌گشتنی

ازين به بعد، برای سهولت ، فرض خواهيم کرد که ويژه مقدار  $q$  ي عملگر  $Q$  ناتبهاگن است (نتایجي که به دست خواهيم آورد می توانند به موردي که  $q$  تبهاگن است تعیيم داده شوند) . اکنون نشان دهيم که اگر  $q$  ناتبهاگن باشد ، تمام ويژه مقدارهاي ديجر  $Q$  نيز تابهاگن اند . به عنوان مثال ، فرض مي کنيم که ويژه مقدار  $\lambda + q$  دوبار تابهاگن است، و نشان خواهيم داد که به يك تناقض مي رسیم . در این صورت دو ويژه بردار متعامد  $\langle \alpha + \beta, \alpha + \beta | q + \lambda, \beta |$  و  $\langle \alpha + \beta, \beta | q + \lambda, \alpha |$  ، متناظر با ويژه مقدار  $q + \lambda$  وجود خواهد داشت :

$$\langle q + \lambda, \beta | q + \lambda, \alpha \rangle = 0 \quad (10)$$

دو بردار  $\langle q + \lambda, \beta | q + \lambda, \alpha \rangle$  و  $\langle S(-\lambda) | q + \lambda, \beta \rangle$  را در نظر بگيريد . اين دو بردار بروطيق (۹) ، دو ويژه بردار  $Q$  . يك ويژه مقدار  $q + \lambda - \lambda = q$  هستند . اين دو بردار همخط نيسند ، زيرا متعامدند ، با توجه به اين واقعیت که  $(S(\lambda))$  يکانی است ، حاصل ضرب بردار آنها می تواند به صورت زير نوشته شود :

$$\langle q + \lambda, \beta | S'(-\lambda) S(-\lambda) | q + \lambda, \alpha \rangle = \langle q + \lambda, \beta | q + \lambda, \alpha \rangle = 0 \quad (11)$$

\* اين مطلب نشان مي دهد که در يك فضاي  $\mathcal{H}$  با بعد محدود  $N$  ، مشاهده‌پذيرهاي  $Q$  و  $P$  اي که جابجاگر شان برابر  $m$  باشد وجود ندارند . تعداد ويژه مقدارهاي  $Q$  نمي تواند ، بطور همزمان هم کوچکتر یا مساوي با  $N$  بوده و هم بعيشه باشد .  
بعلاوه ، اين نتيجه مي تواند مستقيما "با گرفتن رد رابطه (۲)" يعني .  
 $\text{Tr } QP - \text{Tr } PQ = \text{Tr } ih$  اثبات شود . وقتی  $N$  محدود باشد ، ردهای طرف چپ اين معادله وجود دارند : اعدادي محدود و مساوي هستند [ رک مکمل  $B_{ii}$  ، فرمول (۷-۲) ] . بنابراین معادله مي شود :  $\text{Tr } ih = Nih = 0$  که غير ممکن است .

بهاین نتیجه می‌رسیم که  $q$  لاقل دوبار تبیهگن است، که بافرض اولیه تناقض دارد، درنتیجه تمام ویژه مقدارهای  $Q$  باید دارای درجه تبیهگنی یکسانی باشند.

### ۳ - ویژه بردارها

فازهای نسبی ویژه بردارهای مختلف  $Q$  نسبت به ویژه بردار  $|0\rangle$ ، با ویژه مقدار صفر، را با قراردادن:

$$|q\rangle = S(q)|0\rangle \quad (12)$$

مشخص می‌کنیم.

با اعمال  $(\lambda)S$  به مردم طرف (۱۲) و بكاربردن (۷)، نتیجه می‌گیریم:

$$S(\lambda)|q\rangle = S(\lambda)S(q)|0\rangle = S(\lambda + q)|0\rangle = |q + \lambda\rangle \quad (13)$$

عبارت الحقیقی (۱۳) به صورت:

$$\langle q|S'(\lambda) = \langle q + \lambda| \quad (14)$$

یا، با استفاده از (۴) و جایگزین کردن  $\lambda$  توسط  $-\lambda$ ، به صورت:

$$\langle q|S(\lambda) = \langle q - \lambda| \quad (15)$$

نوشته می‌شود.

### ۴ - نمایش $\{|\psi\rangle\}$

چون  $Q$  یک مشاهده‌پذیر است، مجموعه ویژه بردارهای آن،  $\{|\psi\rangle\}$ ، یکپایه در  $Q$  تشکیل می‌دهند. می‌توان هر کتاب را توسط "تابع موج آن در نمایش  $\{|\psi\rangle\}$  مشخص کرد":

$$\psi(q) = \langle q|\psi\rangle \quad (16)$$

۵ - عمل  $Q$  در نمایش  $\{|\psi\rangle\}$

حال، تابع موج وابسته به کتاب  $|\psi\rangle$  را در نمایش  $\{|\psi\rangle\}$  [با استفاده از (۸) و

این واقعیت که  $Q$  هرمیتی است ] محاسبه می‌کنیم :

$$\langle q | Q | \psi \rangle = q \langle q | \psi \rangle = q\psi(q) \quad (17)$$

بنابراین عمل  $Q$  در نمایش  $\{q\}$  فقط یک ضرب در  $p$  است.

۶ - عمل  $(\lambda)$  در نمایش  $\{q\}$ ، عملگر انتقال

تابع موج وابسته به کت  $\langle \psi | S(\lambda) | q \rangle$  به صورت زیر نوشته می‌شود

: فرمول (۱۵)

$$\langle q | S(\lambda) | \psi \rangle = \langle q - \lambda | \psi \rangle = \psi(q - \lambda) \quad (18)$$

بنابراین، عمل عملگر  $S(\lambda)$  در نمایش  $\{q\}$  عبارت است از یک انتقال تابع موج بماندازه  $\lambda$  به موازات محور  $q$  ها\*. باید دلیل،  $S(\lambda)$  عملگر انتقال نامیده می‌شود.

۷ - عمل  $P$  در نمایش  $\{q\}$

وقتی  $\varepsilon$  کمیت بینهایت کوچکی باشد، داریم :

$$S(-\varepsilon) = e^{i\varepsilon P/\hbar} = \hat{1} + i\frac{\varepsilon}{\hbar}P + O(\varepsilon^2) \quad (19)$$

در نتیجه:

$$\langle q | S(-\varepsilon) | \psi \rangle = \psi(q) + i\frac{\varepsilon}{\hbar} \langle q | P | \psi \rangle + O(\varepsilon^2) \quad (20)$$

از طرف دیگر، معادله (۱۸) می‌دهد:

$$\langle q | S(-\varepsilon) | \psi \rangle = \psi(q + \varepsilon) \quad (21)$$

مقایسه (۲۰) و (۲۱) نشان می‌دهد:

$$\psi(q + \varepsilon) = \psi(q) + i\frac{\varepsilon}{\hbar} \langle q | P | \psi \rangle + O(\varepsilon^2) \quad (22)$$

\* تابع  $f(x - a)$  تابعی است که در نقطه  $a$ ،  $x = x_0 + a$ ، مقدار  $f(x_0)$  را می‌گیرد، بنابراین، تابعی است که از  $f(x)$  توسط یک انتقال  $a$  به دست آمده است.

لذا نتیجه می‌شود:

$$\begin{aligned} \langle q | P | \psi \rangle &= \frac{\hbar}{i} \lim_{\epsilon \rightarrow 0} \frac{\psi(q + \epsilon) - \psi(q)}{\epsilon} \\ &= \frac{\hbar}{i} \frac{d}{dq} \psi(q) \end{aligned} \quad (23)$$

بنابراین، عمل  $P$  در نمایش  $\{ |q\rangle \}$  همان عمل  $\frac{\hbar}{i} \frac{d}{dq}$  است. بدین ترتیب، معادله (E-۲۶) از فصل دوم را تعمیم می‌دهیم.

#### ۴- نمایش $\{ |p\rangle \}$

تقارن بین مشاهد پیغیرهاي  $P$  و  $Q$

رابطه (۲۳) ما را قادر می‌سازد تا، در نمایش  $\{ |q\rangle \}$ ، به سادگی تابع موج  $v_p(q)$  وابسته به ویژه بردار  $|p\rangle$  عملگر  $P$  با ویژه مقدار  $p$  را به دست آوریم:

$$v_p(q) = \langle q | p \rangle = (2\pi\hbar)^{-1/2} e^{\frac{i}{\hbar} pq} \quad (24)$$

در نتیجه می‌توان نوشت:

$$|p\rangle = (2\pi\hbar)^{-1/2} \int_{-\infty}^{+\infty} dq e^{\frac{i}{\hbar} pq} |q\rangle \quad (25)$$

یک کث  $\langle \psi |$  می‌تواند توسط "تابع موجش در نمایش  $\{ |p\rangle \}$ " تعریف شود:

$$\bar{\psi}(p) = \langle p | \psi \rangle \quad (26)$$

با استفاده از الحقی رابطه (۲۵)، خواهیم داشت:

$$\bar{\psi}(p) = (2\pi\hbar)^{-1/2} \int_{-\infty}^{+\infty} dq e^{-\frac{i}{\hbar} pq} \psi(q) \quad (27)$$

بنابراین،  $(\bar{\psi}(p))$  تبدیل فوریه  $(\psi(q))$  است.

عمل عملگر  $P$  در نمایش  $\{ |p\rangle \}$  متناظر است با ضرب در  $p$ ، عمل عملگر  $Q$  همانطوری که می‌تواند با استفاده از (۲۷) نشان داده شود، متناظر است با عمل  $i\hbar \frac{d}{dp}$ .

بدین ترتیب در نمایشهای  $\{ |q\rangle \}$  و  $\{ |p\rangle \}$  نتایج متقارنی به دست می‌آوریم . این امر عجیب نیست : در فرضهایمان ، می‌توان  $P$  و  $Q$  را تعویض کرد به شرطی که علامت جابجاگر (۲) را عوض کنیم . بنابراین به جای عملگر  $S(\lambda)$  ، می‌توانستیم  $T(\lambda')$  را که به صورت :

$$T(\lambda') = e^{i\lambda' Q/\hbar} \quad (28)$$

تعریف شده است در نظر بگیریم ، و با جایگزین کردن  $P$  توسط  $Q$  و  $i$  توسط  $i$  - در همه جا همان استدلالها را بنماییم .

مراجع :

Messiah (1.17), Vol. I, § VIII-6; Dirac (1.13), §25; Merzbacher (1.16), chap. 14, § 7.

$F_{II}$  مکمل

## عملگر پاریته

۱ - عملگر پاریته

a - تعریف

b - خواص ساده  $\Pi$ c - ویژه زیرفضاهای  $\Pi$ 

۲ - عملگرهای زوج و فرد

a - تعاریف

b - قواعد گرینش

c - مثالها

d - توابع عملگرها

۳ - ویژه حالت‌های یک مشاهده‌پذیر زوج  $B_+$ 

۴ - کاربرد در یک مورد خاص مهم

۱ - عملگر پاریته

a - تعریف

یک سیستم فیزیکی که فضای حالت آن  $\mathcal{H}$  است در نظر بگیرید . عملگر پاریته  $\Pi$  توسط عمل آن روی بردارهای  $|r\rangle$  ، بردارهای پایه  $|r'\rangle$  تعریف می‌شود \* :

$$\Pi |r\rangle = | - r \rangle \quad (1)$$

بنابراین ، عناصر ماتریسی  $\Pi$  در نمایش  $\{|r\rangle\}$  عبارتند از :

$$\langle r | \Pi | r' \rangle = \langle r | - r' \rangle = \delta(r + r') \quad (2)$$

\* باید دقت شود که  $|r_0 - r\rangle$  با  $|r_0\rangle$  - اشتباہ نشود . اولی یک ویژه بردار  $R$  با ویژه مقدار  $r_0$  - و تابع موج  $\xi_{r_0}(r) = \delta(r + r_0)$  ، و دومی یک ویژه بردار  $R$  با ویژه مقدار  $r_0$  - و تابع موج  $\xi_{r_0}(r) = -\delta(r - r_0)$  - است .

یک بودار دلخواه  $\langle \psi | \psi \rangle$  در نظر بگیرید:

$$|\psi\rangle = \int d^3r \psi(r) |r\rangle \quad (3)$$

اگر تغییر متغیر  $r' = r$  انجام شود،  $\langle \psi | \psi \rangle$  می‌تواند به صورت زیر نوشته شود:

$$|\psi\rangle = \int d^3r' \psi(-r') |-r'\rangle \quad (4)$$

حال،  $\langle \psi | \Pi | \psi \rangle$  را محاسبه کنیم، به دست می‌آوریم:

$$\Pi |\psi\rangle = \int d^3r' \psi(-r') |r'\rangle \quad (5)$$

مقایسه (۳) و (۵) نشان می‌دهد که عمل  $\Pi$  در نمایش  $\langle r | \psi \rangle$  عبارت است از تبدیل  $r$  به  $-r$ :

$$\langle r | \Pi | \psi \rangle = \psi(-r) \quad (6)$$

حال یک سیستم فیزیکی  $\psi$  در نظر بگیرید که بودار حالت آن  $\langle \psi | \psi \rangle$  باشد، سیستم فیزیکی ای را تشریح می‌کند که از  $\psi$  توسط انعکاس نسبت به مبدأ محورها به دست آمده باشد،

b - خواص ساده  $\Pi$

عملگر  $\Pi^2$ ، اپراتور همانندی است. از (۱) داریم:

$$\Pi^2 |r\rangle = \Pi(\Pi |r\rangle) = \Pi |-r\rangle = |r\rangle \quad (7)$$

یعنی، چون کتهای  $|r\rangle$  یک پایه در  $\mathcal{H}$  تشکیل می‌دهند:

$$\Pi^2 = 1 \quad (\lambda-a)$$

$$\Pi^{-1} = \Pi \quad (\lambda-b)$$

به آسانی می‌توان توسط استقراء نشان داد که عملگر  $\Pi$  برابر است با :

- ۱) وقتی  $n$  زوج باشد

- ۲) وقتی  $n$  فرد باشد

می‌توانیم (۶) را به صورت زیر بنویسیم :

$$\langle \mathbf{r} | \Pi | \psi \rangle = \langle -\mathbf{r} | \psi \rangle \quad (9)$$

چون این معادله برای تمام  $|\psi\rangle$  ها معتبر است، می‌توان نتیجه گرفت :

$$\langle \mathbf{r} | \Pi = \langle -\mathbf{r} | \quad (10)$$

علاوه، همیوغ هرمیتی (۱) به صورت زیر نوشته می‌شود :

$$\langle \mathbf{r} | \Pi^\dagger = \langle -\mathbf{r} | \quad (11)$$

چون کتهای  $|\mathbf{r}\rangle$  یک پایه تشکیل می‌دهند، از (۱۰) و (۱۱) نتیجه می‌شود که  $\Pi$  هرمیتی است :

$$\Pi^\dagger = \Pi \quad (12)$$

از ترکیب این معادله با  $(b - \lambda)$ ، به دست می‌آوریم :

$$\Pi^{-1} = \Pi^\dagger \quad (13)$$

بنابراین  $\Pi$  یکانی نیز هست.

۳- ویژه زیر فضاهای  $\Pi$

فرض کنید  $|\varphi_\pi\rangle$  یک ویژه بردار  $\Pi$ ، با ویژه مقدار  $p$ ، باشد. با عمال  $(\lambda - a)$  خواهیم داشت :

$$|\varphi_\pi\rangle = \Pi^2 |\varphi_\pi\rangle = p^2 |\varphi_\pi\rangle \quad (14)$$

لذا داریم  $p_\pi^2 = 1$  : ویژه مقدارهای  $\Pi$  نمی‌توانند بجز ۱ و -۱ باشند. چون فضای  $\mathcal{H}$  بی‌نهایت بعدی است، بلا فاصله ملاحظه می‌کنیم که این ویژه مقدارها تبیکنند. یک ویژه بردار  $\Pi$  با ویژه مقدار ۱+ را زوج و یک ویژه بردار با ویژه مقدار ۱- را فرد گوئیم. دو عملگر  $P_+$  و  $P_-$  را که به صورت :

$$\begin{aligned} P_+ &= \frac{1}{2}(\mathbb{1} + \Pi) \\ P_- &= \frac{1}{2}(\mathbb{1} - \Pi) \end{aligned} \quad (15)$$

تعریف شده‌اند در نظر بگیرید. این عملگرها هرمیتی‌اند، با استفاده از  $(\lambda - a)$ ، به سادگی می‌توان نشان داد که:

$$\begin{aligned} P_+^2 &= P_+ \\ P_-^2 &= P_- \end{aligned} \quad (16)$$

بنابراین  $P_+$  و  $P_-$  عبارتند از تصویرگرهای روی دو زیرفضای  $\mathcal{E}_+$  و  $\mathcal{E}_-$ ، که آنها را  $\mathcal{E}_+$  و  $\mathcal{E}_-$  خواهیم نامید. حال حاصلضربهای  $P_-P_+$  و  $P_+P_-$  را محاسبه کنیم، بدست می‌آوریم:

$$\begin{aligned} P_+P_- &= \frac{1}{4}(\mathbb{1} + \Pi - \Pi - \Pi^2) = 0 \\ P_-P_+ &= \frac{1}{4}(\mathbb{1} - \Pi + \Pi - \Pi^2) = 0 \end{aligned} \quad (17)$$

بنابراین، دوزیرفضای  $\mathcal{E}_+$  و  $\mathcal{E}_-$  متعامدند. حال نشان دهیم که مکمل نیز هستند. از تعریف  $(15)$  بلافاصله مشاهده می‌کنیم که:

$$P_+ + P_- = \mathbb{1} \quad (18)$$

لذا برای هر  $\psi \in \mathcal{E}$  داریم:

$$|\psi\rangle = (P_+ + P_-)|\psi\rangle = |\psi_+\rangle + |\psi_-\rangle \quad (19)$$

با:

$$\begin{aligned} |\psi_+\rangle &= P_+ |\psi\rangle \\ |\psi_-\rangle &= P_- |\psi\rangle \end{aligned} \quad (20)$$

اکنون حاصلضربهای  $P_+$  و  $P_-$  را محاسبه کنیم، خواهیم داشت:

$$\begin{aligned} PP_+ &= \frac{1}{2}\Pi(\mathbb{1} + \Pi) = \frac{1}{2}(\Pi + \mathbb{1}) = P_+ \\ PP_- &= \frac{1}{2}\Pi(\mathbb{1} - \Pi) = \frac{1}{2}(\Pi - \mathbb{1}) = -P_- \end{aligned} \quad (21)$$

این معادلات ما را قادر می‌سازند تا نشان دهیم که بردارهای  $\langle \psi_+ |$  و  $\langle \psi_- |$  که در (۲۰) آمدند بهترتیب زوج و فرد هستند:

$$\begin{aligned} P |\psi_+\rangle &= P P_+ |\psi\rangle = P_+ |\psi\rangle = |\psi_+\rangle \\ P |\psi_-\rangle &= P P_- |\psi\rangle = -P_- |\psi\rangle = -|\psi_-\rangle \end{aligned} \quad (۲۲)$$

بنابراین، فضاهای  $\psi_+$  و  $\psi_-$  عبارتند از ویژه زیرفضاهای  $P$ ، با ویژه مقدارهای  $+1$  و  $-1$ . معادلات (۲۲)، در نمایش  $\{ |r\rangle \}$ ، می‌توانند بهصورت زیر نوشته شوند:

$$\begin{aligned} \langle r | \psi_+ \rangle &= \psi_+(r) = \langle r | P | \psi_+ \rangle = \psi_+(-r) \\ \langle r | \psi_- \rangle &= \psi_-(r) = -\langle r | P | \psi_- \rangle = -\psi_-(-r) \end{aligned} \quad (۲۳)$$

تابع موج  $(\psi_+ | \psi_-)$  و  $(\psi_- | \psi_+)$  بهترتیب زوج و فرد هستند.

بنابراین، رابطه (۱۹) این واقعیت را بیان می‌کند که هرکت  $\langle \psi |$  از  $\psi$  می‌تواند بهمجموعی از دو ویژهبردار  $P$ ،  $\langle \psi_+ |$  و  $\langle \psi_- |$ ، که بهترتیب به زیرفضای زوج  $\psi_+$  و زیرفضای فرد  $\psi_-$  تعلق دارند، تجزیه شود. لذا،  $P$  یک مشاهدهپذیر است.

### ۳ - عملگرهای زوج و فرد

#### ۴ - تعاریف

در بخش ۲ از مکمل  $C_{II}$ ، مفهوم تبدیل یکانی عملگرها را تعریف کردیم. درمورد  $P$  که در واقع یکانی است، رک (۱۲) [ ]، عملگر تبدیل یافته یک عملگر دلخواه  $B$  بصورت:

$$\tilde{B} = PBP \quad (۲۴)$$

نوشته می‌شود و در رابطه:

$$\langle r | \tilde{B} | r' \rangle = \langle -r | B | -r' \rangle \quad (۲۵)$$

صدق می‌کند [ رک معادله (۲۷) از مکمل  $C_{II}$ ]، عملگر  $\tilde{B}$  تبدیل پاریتمای  $B$  نامیده می‌شود. بخصوص، اگر  $B = +\tilde{B}$  باشد، عملگر  $B$  زوج نامیده می‌شود. اگر  $B = -\tilde{B}$  باشد، عملگر  $B$  فرد نامیده می‌شود. بنابراین، یک عملگرزوج

$B_+$  در رابطه زیر صدق می‌کند:

$$B_+ = \Pi B_+ \Pi \quad (26)$$

یا، با ضرب کردن این معادله از چپ در  $\Pi$  و استفاده از (۸ - a) :

$$\Pi B_+ = B_+ \Pi \quad (27)$$

$$[\Pi, B_+] = 0 \quad (28)$$

بنابراین، یک عملگر زوج عملگری است که با  $\Pi$  جابجایی پذیر است. به طور مشابه، می‌توان دید که یک عملگر فرد  $B_-$  عملگری است که با  $\Pi$  پاد جابجایی پذیر است:

$$\Pi B_- + B_- \Pi = 0 \quad (29)$$

### b - قواعد گزینش

فرض کنید  $B_+$  یک عملگر زوج باشد. حال عنصر ماتریسی  $\langle \psi | B_+ | \varphi \rangle$  را محاسبه کنیم، بنا به فرض داریم:

$$\langle \varphi | B_+ | \psi \rangle = \langle \varphi | \Pi B_+ \Pi | \psi \rangle = \langle \varphi' | B_+ | \psi' \rangle \quad (30)$$

که در آن:

$$\begin{aligned} |\varphi'\rangle &= \Pi |\varphi\rangle \\ |\psi'\rangle &= \Pi |\psi\rangle \end{aligned} \quad (31)$$

اگریکی از دوکت  $|\varphi\rangle$  و  $|\psi\rangle$  ازوج و دیگری فرد باشد ( $|\psi'\rangle = \mp |\psi\rangle$ ،  $|\varphi'\rangle = \pm |\varphi\rangle$ ) رابطه (۳۰) می‌دهد:

$$\langle \varphi | B_+ | \psi \rangle = - \langle \varphi | B_+ | \psi \rangle = 0 \quad (32)$$

لذا بقاعدۀ زیر می‌رسیم: عناصر ماتریسی یک عملگر زوج بین بردارهای با پاریته مخالف صفرند.

حال اگر  $B_-$  فرد باشد، رابطه (۳۰) می‌شود:

$$\langle \varphi | B_- | \psi \rangle = - \langle \varphi' | B_- | \psi' \rangle \quad (33)$$

که اگر  $\langle \varphi | \psi \rangle$  هردو یا زوج یا فرد باشد، صفر است. بنابراین قاعده زیر را داریم: عناصر ماتریسی یک عملگر فرد بین بردارهای با پاریته یکسان صفرند. بخصوص، عناصر ماتریسی قطری  $\langle \psi | B_- | \psi \rangle$  (مقدار متوسط  $B_-$  در حالت  $|\psi\rangle$ )، رک فصل سوم، بخش ۴-۴) صفرند اگر  $|\psi\rangle$  دارای یک پاریته معین باشد.

## ۳- مثالهای

 $\alpha$ - عملگرهای  $X$ ،  $Y$ ،  $Z$ 

دراین مورد داریم:

$$\begin{aligned} \Pi X |\mathbf{r}\rangle &= \Pi X |x, y, z\rangle = x \Pi |x, y, z\rangle \\ &= x | -x, -y, -z\rangle = x | -\mathbf{r}\rangle \end{aligned} \quad (34)$$

و:

$$\begin{aligned} X\Pi |\mathbf{r}\rangle &= X | -\mathbf{r}\rangle = X | -x, -y, -z\rangle \\ &= -x | -x, -y, -z\rangle = -x | -\mathbf{r}\rangle \end{aligned} \quad (35)$$

با جمع کردن این دو معادله، بدست می‌آوریم:

$$(\Pi X + X\Pi) |\mathbf{r}\rangle = 0 \quad (36)$$

یا، چون بردارهای  $|\mathbf{r}\rangle$  یک پایه تشکیل می‌دهند:

$$\Pi X + X\Pi = 0 \quad (37)$$

لذا  $X$  فرد است.

استدلالهای مربوط به  $Y$  و  $Z$  با استدلال فوق یکسان هستند، لذا  $R$  یک عملگر فرد است.

 $\beta$ - عملگرهای  $P_x$ ،  $P_y$  و  $P_z$ حال کت  $\langle p | \Pi | p \rangle$  را محاسبه کنیم، خواهیم داشت:

$$\begin{aligned}
 \Pi |\mathbf{p}\rangle &= (2\pi\hbar)^{-3/2} \int d^3r e^{i\mathbf{p}\cdot\mathbf{r}/\hbar} \Pi |\mathbf{r}\rangle \\
 &= (2\pi\hbar)^{-3/2} \int d^3r e^{i\mathbf{p}\cdot\mathbf{r}/\hbar} |-\mathbf{r}\rangle \\
 &= (2\pi\hbar)^{-3/2} \int d^3r' e^{-i\mathbf{p}\cdot\mathbf{r}'/\hbar} |r'\rangle \\
 &= |-\mathbf{p}\rangle
 \end{aligned} \tag{۳۸}$$

سپس، با بکاربردن استدلالی مشابه با استدلال پخش  $\alpha$ ، داریم:

$$\begin{aligned}
 \Pi P_x |\mathbf{p}\rangle &= p_x |-\mathbf{p}\rangle \\
 P_x \Pi |\mathbf{p}\rangle &= -p_x |-\mathbf{p}\rangle
 \end{aligned} \tag{۳۹}$$

و

$$\Pi P_x + P_x \Pi = 0 \tag{۴۰}$$

عملگر  $P$  فرد است.

۷. عملگر پاریته

بوضوح  $\Pi$  با خودش جابجایی پذیر است، بنابراین یک عملگر زوج است.

۸. توابع عملگرهای

فرض کنید  $B_+$  یک عملگر زوج باشد. با استفاده از رابطه  $(\lambda - a)$ ، خواهیم داشت:

$$\underbrace{\Pi B_+^\eta \Pi}_{\text{عامل } n} = (\Pi B_+ \Pi) (\Pi B_+ \Pi) \dots (\Pi B_+ \Pi) = B_+^\eta \tag{۴۱}$$

یک عملگر فردی که بتوان  $n$  ام برسد در صورتی زوج است که  $n$  زوج باشد. هر عملگر  $(B_+)$  را که زوج باشد در نظر می‌گیریم.

فرض کنید  $B_-$  یک عملگر فرد باشد. حال عملگر  $\Pi B_-^\eta \Pi$  را محاسبه می‌کنیم:

$$\underbrace{\Pi B_-^\eta \Pi}_{\text{عامل } n} = (\Pi B_- \Pi) (\Pi B_- \Pi) \dots (\Pi B_- \Pi) = (-1)^n (B_-)^\eta \tag{۴۲}$$

یک عملگر فردی که بتوان  $n$  ام برسد در صورتی زوج است که  $n$  زوج باشد، و فرد است اگر  $n$  فرد باشد. هر عملگر  $(B_-)$  را در نظر می‌گیریم، این عملگر زوج است در صورتی که نابع متناظر  $F(B_-)$  زوج باشد، و فرد است اگر فرد باشد، عموماً،  $(F(B_-))$  دارای پاریتم مشخصی نیست.

۳- ویژه حالتهای یک مشاهده‌پذیر زوج  $B_+$ 

حال، یک مشاهده‌پذیر زوج دلخواه  $B$  و یک ویژه‌بردار  $\langle \varphi_b | \varphi_b \rangle$  با ویژه مقدار  $b$  را در نظر بگیرید. چون  $B_+$  زوج است، با  $\Pi$  جابجایی‌پذیر است. با بدکاربردن قضایای بخش a-۳-۴ از فصل دوم، نتایج زیر را بدست می‌آوریم:

a- اگر  $b$  یک ویژه مقدارنا تبعه‌گن باشد،  $\langle \varphi_b | \varphi_b \rangle$  لزوماً "یک ویژه بردار  $\Pi$ " است، بنابراین، یا یک بردار زوج است یا یک بردار فرد. لذا، مقدار متوسط  $\langle \varphi_b | B_- | \varphi_b \rangle$  هر مشاهده‌پذیر فرد  $B_-$ ، نظیر  $R$  و غیره، صفر است.

$\beta$ - اگر  $b$  یک ویژه مقدار تبعه‌گن متناظر با ویژه زیر فضای  $\mathcal{H}$  باشد، بردارهای لزوماً "همگی دارای یک پاریته مشخص نیستند".  $\langle \varphi_b | \varphi_b \rangle \neq 0$  ممکن است برداری باشد که با  $\langle \varphi_b | \varphi_b \rangle$  غیر هم خط است، مع ذالک برداری است که دارای همان ویژه مقدار  $b$  است. بعلاوه می‌توان در هر زیرفضای  $\mathcal{H}$ ، یک پایه از ویژه بردارهای مشترک  $\Pi$  و  $B_+$  پیدا کرد.

## ۴- گاربرد در یک مورد خاص مهم

اغلب احتیاج داریم که ویژه حالتهای یک عملگر هامیلتونی  $H$  را که به صورت:

$$H = \frac{\mathbf{P}^2}{2m} + V(\mathbf{R}) \quad (43)$$

است و در  $\mathcal{H}$  عمل می‌کند، پیدا کنیم.

چون عملگر  $P$  فرد است، عملگر  $P^2$  زوج است. اگر، علاوه براین، تابع  $(r) V$  زوج باشد ( $V(r) = V(-r)$ )، عملگر  $H$  زوج است. برطبق آنچه که در بala دیدیم، می‌توان ویژه حالتهای  $H$  را بین حالتهای زوج یا فرد جستجو کرد. این امر، غالباً محاسبه را بسطور قابل ملاحظه‌ای ساده می‌کند.

قبل‌ا" ممکن است در آنها هامیلتونی  $H$  زوج است، نظیر: چاه مریعی، چاه نامحدود (رک مکل  $H_1$ ) برخورد کردیم. موارد دیگررا، نظیر: نوسان‌کننده هارمونیک، اتم هیدروژن و غیره، مورد مطالعه قرار خواهیم داد. به آسانی می‌توان در تمام این موارد خاص خواصی را که بدست آورده‌ایم تحقیق کرد.

## گوشزد :

اگر  $H$  زوج باشد، و اگر یکی از ویژه حالت‌های  $\langle \varphi_h | \varphi_h \rangle$  آن که دارای پاریته مشخصی نیست ( $\Pi | \varphi_h \rangle \neq |\varphi_h \rangle \Pi$ ) غیر همخط با  $\langle \varphi_h | \varphi_h \rangle$  پیدا شده باشد، می‌توان ادعا کرد که ویژه مقدار متناظر به گن است: چون  $\Pi$  با  $H$  جایجایی‌پذیر است،  $\langle \varphi_h | \varphi_h \rangle \Pi$  ویژه برداری از  $H$  است که ویژه مقدار مربوط به آن ویژه مقدار مربوط به  $\langle \varphi_h | \varphi_h \rangle$  است.

## مراجع و پیشنهادات برای مطالعه بیشتر:

Schiff (1.18), §29; Roman (2.3), §§5-3 d; Feynman I (6.3), chap. 52; Sakurai (2.7), chap. 3; articles by Morrison (2.28), Feinberg and Goldhaber (2.29), Wigner (2.30).

$G_{11}$ 

## کاربرد خواص حاصلضرب تالسودی:

## چاه نامحدود دوبعدی

- ۱ - تعریف، ویژه حالتها
- ۲ - مطالعه ترازهای انرژی
- a - حالت پایه
- b - اولین حالت‌های برانگیخته
- c - تبیهگنی‌های منظم و تصادفی

قبل "در مکمل  $H_1$  (بخش ۲-۲)، در یک مساله یک بعدی، حالت‌های مانای ذره‌ای را که در یک چاه پتانسیل نامحدود قراردارد مطالعه کردیم. با استفاده از مفهوم حاصلضرب تالسودی (رک فصل دوم، بخش F، قادر خواهیم بود تا این بحث را بهمورد چاه نامحدود دوبعدی تعمیم دهیم (واردکردن یک بعد سوم هیچگونه مشکل نظری اضافی‌ای را ایجاد نخواهد کرد).

## ۱ - تعریف، ویژه حالتها

ذره‌ای به جرم  $m$  در نظر گیرید که در صفحه  $Oxy$  در داخل یک "جعبه مربعی" بمضلع  $a$  محدود شده باشد: انرژی پتانسیل  $V(x, y)$  آن، وقتی یکی از مختصات  $x$  یا  $y$  از بازه  $[0, a]$  خارج شود، بینهایت می‌شود:

$$V(x, y) = V_\infty(x) + V_\infty(y) \quad (1)$$

که در آن:

$$\begin{aligned} V_\infty(u) &= 0 && \text{اگر } 0 \leq u \leq a \\ &= +\infty && \text{اگر } u < 0 \text{ یا } u > a \end{aligned} \quad (2)$$

در این صورت هامیلتونی ذره کوانتومی عبارت است از (فصل سوم، بخش ۵-B):

$$H = \frac{1}{2m}(P_x^2 + P_y^2) + V_\infty(X) + V_\infty(Y) \quad (3)$$

که می‌توان آنرا به صورت:

$$H = H_x + H_y \quad (4)$$

نوشت که در آن:

$$\begin{aligned} H_x &= \frac{1}{2m} P_x^2 + V_\infty(X) \\ H_y &= \frac{1}{2m} P_y^2 + V_\infty(Y) \end{aligned} \quad (5)$$

بدین ترتیب در مورد خاص مهمنی که در فصل دوم (بخش  $\beta - 4 a - F$ ) ذکر کردیم قرار داریم، و می‌توانیم ویژه حالت‌های  $H$  را به صورت:

$$|\Phi\rangle = |\varphi\rangle_x |\varphi\rangle_y \quad (6)$$

با:

$$\begin{aligned} H_x |\varphi\rangle_x &= E_x |\varphi\rangle_x; \quad |\varphi\rangle_x \in \mathcal{E}_x \\ H_y |\varphi\rangle_y &= E_y |\varphi\rangle_y; \quad |\varphi\rangle_y \in \mathcal{E}_y \end{aligned}$$

در نظر بگیریم. لذا:

$$H |\Phi\rangle = E |\Phi\rangle \quad (7)$$

با:

$$E = E_x + E_y \quad (8)$$

بنابراین مسئله دو بعدی را بهیک مساله یک بعدی که، بعلاوه، آنرا قبلاً "حل کرد" هایم (دک مکمل  $H_1$ ) کاهش داده‌ایم. دز نتیجه با بهکار بودن نتایج این مکمل، و فرمولهای (۷) و (۸) ملاحظه می‌کنیم که:

ویژه مقادیر  $H$  به صورت:

$$E_{n,p} = \frac{1}{2ma^2} (n^2 + p^2) \pi^2 \hbar^2 \quad (9)$$

هستند که در آن  $n$  و  $p$  اعداد صحیح مثبتی می‌باشد.

- بهای انرژیها، ویژه حالت‌های  $|\Phi_{n,p}\rangle$  مربوط می‌شوند، که می‌توانند به صورت حاصلضربهای تansوری:

$$|\Phi_{n,p}\rangle = |\varphi_n\rangle_x |\varphi_p\rangle_y \quad (10)$$

نوشته شوند، که تابع موج بهنجار شده‌آنها عبارت است از:

$$\begin{aligned}\Phi_{n,p}(x, y) &= \varphi_n(x) \varphi_p(y) \\ &= \frac{2}{a} \sin \frac{n\pi x}{a} \sin \frac{p\pi y}{a}\end{aligned}\quad (11)$$

به سادگی می‌توان نشان داد که این توابع موج در لبه‌های "جعبه‌مربعی" (  $x$  یا  $y$  برابر صفر یا  $a$  )، جائی که انرژی پتانسیل بینهایت می‌شود، صفر است.

### ۳ - مطالعه ترازهای انرژی

#### a - حالت پایه

$n$  و  $p$  اعدادی هستند صریحاً "صحیح و مشبّت". بنابراین حالت پایه به ازاء  $p = 1$ ،  $n = 1$  بدست می‌آید. انرژی آن برابر است با:

$$E_{1,1} = \frac{\pi^2 \hbar^2}{ma^2} \quad (12)$$

این مقدار فقط برای  $n = p = 1$  بدست می‌آید. لذا حالت پایه غیر تبیهگن است.

#### b - اولین حالت‌های برانگیخته

اولین حالت برانگیخته یا به ازاء  $n = 1$  و  $p = 2$ ، یا به ازاء  $n = 2$  و  $p = 1$  بدست می‌آید. انرژی آن برابر است با:

$$E_{1,2} = E_{2,1} = \frac{5\pi^2 \hbar^2}{2ma^2} \quad (13)$$

این حالت دوبار تبیهگن است، زیرا  $\langle \Phi_{1,2} | \Phi_{2,1} \rangle$  مستقل از یکدیگرند. دومین حالت برانگیخته متناظر است با  $n = p = 2$ ، این حالت تبیهگن نیست و انرژی آن برابر است با:

$$E_{2,2} = 4 \frac{\pi^2 \hbar^2}{ma^2} \quad (14)$$

\* مقادیر  $n = 0$  یا  $p = 0$  که برای آنها تابع موج متحدد با صفر است ( بنابراین غیر ممکن است که بهنجار شوند ) طرد می‌شوند.

سومین حالت برانگیخته متناظر است با  $n = 1, n = 3 \text{ و } p = 1, n = 3 \text{ و } p = 3$  وغیره.

### ۶- تبھگنی‌های منظم و تصادفی

بهطورکلی می‌توان ملاحظه کرد که تمام ترازهایی که برای آنها  $p \neq n$  است تبھگن هستند، زیرا:

$$E_{n,p} = E_{p,n} \quad (15)$$

این تبھگنی بهیک تقارن مسئله مربوط می‌شود. چاه مربعی مورد نظر مانسبت به نیمساز اول صفحه  $xOy$  متقارن است. این مطلب توسط این واقعیت بیان می‌شود که هامیلتونی  $H$  تحت تعویض :

$$\begin{array}{ccc} X & \leftrightarrow & Y \\ P_x & \leftrightarrow & P_y \end{array} \quad (16)$$

تفییر ناپذیر است ( در فضای حالت ، می‌توان عملگری تعریف کرد که متناظر با یک انعکاس نسبت به نیمساز اول باشد . در این صورت می‌توان نشان داد که ، در این مورد ، این عملگر با  $H$  جابجایی پذیر است ) . اگر یک ویژه حالت  $H$  که تابع موج آن  $\Phi(x, y) = \Phi(y, x)$  است معلوم باشد ، حالت متناظر با  $\Phi(y, x) = \Phi(x, y)$  نیز یک ویژه حالت  $H$  ، با همان ویژه مقدار است . درنتیجه ، اگر تابع  $\Phi(x, y)$  نسبت به  $x$  و  $y$  متقارن نباشد ، ویژه مقدار وابسته به آن لزوماً تبھگن است . این مطلب ، منشأ تبھگنی (15) است : برای  $p \neq n$  ، تابع  $\Phi_{n,p}(x, y) = \Phi_{p,n}(y, x)$  نسبت به  $x$  و  $y$  متقارن نیست [ فرمول (11) ] . این تعبیر توسط این واقعیت تأیید می‌شود که اگر با انتخاب چاهی که پهنهای آن در امتداد  $Ox$  با پهنهای آن در امتداد  $Oy$  متفاوت باشد ( بترتیب آنها را برابر  $a$  و  $b$  بگیریم ) ، تقارن را برهم زنیم ، تبھگنی مربوطه برطرف می‌شود ، و در این صورت فرمول (9) می‌شود :

$$E_{n,p} = \frac{\pi^2 \hbar^2}{2m} \left( \frac{n^2}{a^2} + \frac{p^2}{b^2} \right) \quad (12)$$

که می‌رساند :

$$E_{p,n} \neq E_{n,p} \quad (18)$$

یک چنین تبھگنی‌هایی که منشأ آنها در یک تقارنی از مسئله قرار دارد، تبھگنی‌های منظم نامیده می‌شوند.

گوشزد :

سایر تقارن‌های چاه مربعی دو بعدی تبھگنی‌های منظم ایجاد نمی‌کنند زیرا تمام ویژه  
حالتهای  $H$  نسبت به آنها تغییرناپذیرند. به عنوان مثال، برای  $n$  و  $p$  دلخواه  
اگر  $x$  توسط  $(x - a)$  و  $y$  توسط  $(y - a)$  جایگزین شوند (تقارن نسبت به مرکز چاه)،  
 $\Phi_{n,p}(x, y)$  فقط در یک ضریب فاز ضرب می‌شود.

ممکن است تبھگنی‌هایی نیز بروز کنند که مستقیماً "متقارن مسئله" مربوط نیستند.  
این تبھگنی‌ها، تبھگنی‌های تصادفی نامیده می‌شوند. به عنوان مثال، در موردی که بحث  
کردیم، داریم:

$$\cdot \quad E_{7,4} = E_{8,1} \quad \text{و} \quad E_{5,5} = E_{7,1}$$

مکمل  $H_{11}$ 

## تمرینات

نمادگذاری دیراگ، جابجاگرها، ویژه بردارها و ویژه مقدارها

۱-  $\langle \varphi_n |$  ها ویژه حالت‌های یک عملگر هرمیتی  $H$  هستند ( $H$ ، به عنوان مثال، هامیلتونی یک سیستم فیزیکی دلخواه است). فرض کنید  $\langle \varphi_n |$  ها یک پایه راست هنجار گستته تشکیل دهند. عملگر  $U(m, n)$  بصورت زیر تعریف می‌شود:

$$U(m, n) = |\varphi_m\rangle\langle\varphi_n|$$

- $U(m, n) - a$   $\langle U(m, n) |$  را محاسبه کنید.
- $b$  - جابجاگر  $[H, U(m, n)]$  را محاسبه کنید.
- $c$  - رابطه زیر را ثابت کنید:

$$U(m, n)U^*(p, q) = \delta_{nq} U(m, p)$$

$d$  - رد عملگر  $U(m, n)$ ، یعنی  $\{U(m, n)\}_{m,n}$  را محاسبه کنید.  
 $e$  - فرض کنید  $A$  یک عملگر با عناصر ماتریسی  $A_{mn} = \langle \varphi_m | A | \varphi_n \rangle$  باشد. رابطه زیر را ثابت کنید:

$$A = \sum_{m,n} A_{mn} U(m, n)$$

$f$  - نشان دهید که  $A_{pq} = \text{Tr}\{AU^*(p, q)\}$   
 $g$  - در یک فضای برداری دو بعدی، عملگری را در نظر بگیرید که ماتریس آن، در یک پایه راست هنجار  $\{|1\rangle, |2\rangle\}$ ، بصورت زیر نوشته شده است:

$$\sigma_y = \begin{pmatrix} 0 & -i \\ i & 0 \end{pmatrix}$$

$a$  - آیا  $\sigma_y$  هرمیتی است؟ ویژه مقدارها و ویژه بردارهای آنرا (با دادن بسط بهنجار شده آنها برحسب پایه  $\{|1\rangle, |2\rangle\}$ ) محاسبه کنید.  
 $b$  - ماتریس‌هایی را که معرف تصویرگرها روی این ویژه بردارها هستند، محاسبه

کنید. سپس ثابت کنید که در روابط تعامد و بستاری صدق می‌کنند.

c – بهمین سوالات در مورد ماتریسهای:

$$M = \begin{pmatrix} 2 & i\sqrt{2} \\ -i\sqrt{2} & 3 \end{pmatrix}$$

و، دریک فضای سه بعدی:

$$L_y = \frac{\hbar}{2i} \begin{pmatrix} 0 & \sqrt{2} & 0 \\ -\sqrt{2} & 0 & \sqrt{2} \\ 0 & -\sqrt{2} & 0 \end{pmatrix}$$

پاسخ دهید.

۳- فضای حالت یک سیستم فیزیکی معین، سه بعدی است فرض کنید  
 { $|u_1\rangle, |u_2\rangle, |u_3\rangle$ } یک پایه راست هنجار این فضا باشد. کتهای  $|\psi_0\rangle$  و  $|\psi_1\rangle$  به صورت زیر تعریف شده‌اند:

$$|\psi_0\rangle = \frac{1}{\sqrt{2}}|u_1\rangle + \frac{i}{2}|u_2\rangle + \frac{1}{2}|u_3\rangle$$

$$|\psi_1\rangle = \frac{1}{\sqrt{3}}|u_1\rangle + \frac{i}{\sqrt{3}}|u_3\rangle$$

a – آیا این کتها بهنجار شده‌اند؟

b – ماتریسهای  $m_0$  و  $m_1$  را که، در پایه { $|u_1\rangle, |u_2\rangle, |u_3\rangle$ }، معرف عملگرهای تصویرگر روی حالت  $|\psi_0\rangle$  و روی حالت  $|\psi_1\rangle$  هستند، محاسبه کنید. نشان دهید که این ماتریسها هرمیتی‌اند.

۴- فرض کنید  $K$  عملگری باشد که به صورت  $|\psi\rangle\langle\varphi| = K$  تعریف شده است. که در آن  $|\varphi\rangle$  و  $|\psi\rangle$  ادوات از فضای حالت هستند.

a – تحت چه شرایطی  $K$  هرمیتی است؟

b –  $K^2$  را محاسبه کنید. تحت چه شرایطی  $K$  یک تصویرگر است؟

c – نشان دهید که  $K$  می‌تواند همواره به صورت  $K = \lambda P_1 P_2$  نوشته شود که در آن  $\lambda$  یک ثابت است که باید محاسبه کنید و  $P_1$  و  $P_2$  تصویرگر هستند.

۵- فرض کنید  $P_1$  تصویرگر قائم روی زیر فضای  $\mathcal{E}_1$  و  $P_2$  تصویرگر قائم روی زیر فضای  $\mathcal{E}_2$  باشد. نشان دهید که برای اینکه حاصل ضرب  $P_1 P_2$  نیز یک تصویرگر قائم باشد

لازم و کافی است که  $P_1$  و  $P_2$  جابجایی پذیر باشند. در این مورد، زیرفضایی که  $P_1 P_2$  روی آن تصویر می‌کند، کدام است؟

۶- ماتریس  $\sigma_x$  به صورت زیر تعریف شده است:

$$\sigma_x = \begin{pmatrix} 0 & 1 \\ 1 & 0 \end{pmatrix}$$

رابطه:

$$e^{i\alpha\sigma_x} = I \cos \alpha + i\sigma_x \sin \alpha$$

را که در آن  $I$  ماتریس یک  $2 \times 2$  است، ثابت کنید.

۷- برای ماتریس  $\sigma_z$  که در تمرین ۲ داده شده است، رابطه مشابهی با آنچه در تمرین قبلی برای  $\sigma_x$  ثابت شد، برقرار سازید. این مطلب را برای تمام ماتریسهای از نوع:

$$\sigma_z = \lambda \sigma_x + \mu \sigma_y$$

با شرط:

$$\lambda^2 + \mu^2 = 1$$

تعیین دهید.

ماتریسهای معرف  $e^{i(\sigma_x + \sigma_y)} e^{2i\sigma_x}$  و  $e^{i(\sigma_x + \sigma_y)^2}$  را محاسبه کنید. آیا  $e^{2i\sigma_x}$  با  $(e^{i\sigma_x})^2$  با  $e^{i\sigma_y}$  برابرند؟

۸- هامیلتونی  $H$  یک ذره در یک مسئله یک بعدی را که به صورت:

$$H = \frac{1}{2m} P^2 + V(X)$$

تعريف شده است در نظر بگیرید.  $X$  و  $P$  عملگرهایی هستند که در بخش E از فصل دوم تعریف شدند و در رابطه  $i\hbar = [X, P]$  صدق می‌کنند. ویژه بردارهای  $H$  توسط  $\langle \varphi_n |$  نشان داده می‌شوند:  $\langle H | \varphi_n \rangle = E_n \langle \varphi_n |$  یک شاخص گستته است.

a- نشان دهید که:

$$\langle \varphi_n | P | \varphi_{n'} \rangle = \alpha \langle \varphi_n | X | \varphi_{n'} \rangle$$

که در آن  $\alpha$  ضریبی است که بین اختلاف بین  $E_n$  و  $E_{n'}$  بستگی دارد .  $\alpha$  را محاسبه کنید  
(راهنمایی : جابجاگر  $[X, H]$  را در نظر بگیرید )

*b* - از آنجا ، با استفاده از رابطه بستاری ، معادله زیر را نتیجه گیری کنید :

$$\sum_n (E_n - E_{n'})^2 |\langle \varphi_n | X | \varphi_{n'} \rangle|^2 = \frac{\hbar^2}{m^2} \langle \varphi_n | P^2 | \varphi_n \rangle$$

۹ - فرض کنید  $H$  عملگر هامیلتونی یک سیستم فیزیکی باشد . ویژه بردارهای  $H$  ، با ویژه مقادرهای  $E_n$  ، را به  $\langle \varphi_n |$  نمایش می دهیم .

$$H | \varphi_n \rangle = E_n | \varphi_n \rangle$$

*a* - برای یک عملگر دلخواه  $A$  ، رابطه زیر را ثابت کنید :

$$\langle \varphi_n | [A, H] | \varphi_n \rangle = 0$$

*b* - یک مسئله یک بعدی در نظر بگیرید ، که در آن سیستم عبارت است از ذرهای به جرم  $m$  و انرژی پتانسیل  $V(X)$  . در این مورد ،  $H$  به صورت زیرنوشته می شود :

$$H = \frac{1}{2m} P^2 + V(X)$$

*a* - جابجاگرهای  $[H, P]$  ،  $[H, X]$  و  $[H, XP]$  را برحسب  $P$  ،  $X$  و

$$V(X) \text{ بیاپید .}$$

*β* - نشان دهید که عنصر ماتریسی  $\langle \varphi_n | P | \varphi_n \rangle$  ( که در فصل سوم آنرا به عنوان مقدار متوسط تکانه در حالت  $\langle \varphi_n |$  تعبیر خواهیم کرد ) صفر است .

*γ* - رابطه ای بین  $E_k = \langle \varphi_n | \frac{P^2}{2m} | \varphi_n \rangle$  ( مقدار متوسط انرژی جنبشی در حالت  $\langle \varphi_n |$  ) و  $\langle \varphi_n | X \frac{dV}{dX} | \varphi_n \rangle$  بروقار سازید . چون مقدار متوسط انرژی پتانسیل در حالت  $\langle \varphi_n |$  برابر با  $\langle \varphi_n | V(x) | \varphi_n \rangle$  است ، این مقدار وقتی داشته باشیم :

$$V(X) = V_0 X^\lambda$$

چگونه به مقدار متوسط انرژی جنبشی مربوط می شود ? ( $\lambda = 2, 4, 6 \dots ; V_0 > 0$ )

۱۰ - با استفاده از رابطه  $\langle x | p \rangle = (2\pi\hbar)^{-1/2} e^{ipx/\hbar}$  ، عبارتهای  $\psi$

و  $\langle \psi | P X | x \rangle$  را بحسب  $(x)$  بدست آورد، آیا این نتایج می‌توانند مستقیماً با استفاده از این واقعیت که در نمایش  $\{ | x \rangle\}$ ،  $P$  مانند  $\frac{\hbar}{i} \frac{d}{dx}$  عمل می‌کنند، بدست آیند؟

مجموعه‌های مشاهده‌پذیرهای جابجایی پذیر و م.ک.م.ج. ها

۱۱- یک سیستم فیزیکی در نظر بگیرید که فضای حالت سه بعدی آن به مولیه پایه راست هنجاری که از سه کت  $| u_1 \rangle, | u_2 \rangle, | u_3 \rangle$  تشکیل شده است، بوجود آمد باشد. در این پایه، که بردارهای آن به همین ترتیب در نظر گرفته شده‌اند، دو عملگر  $H$  و  $B$  به صورت:

$$H = \hbar \omega_0 \begin{pmatrix} 1 & 0 & 0 \\ 0 & -1 & 0 \\ 0 & 0 & -1 \end{pmatrix} \quad B = b \begin{pmatrix} 1 & 0 & 0 \\ 0 & 0 & 1 \\ 0 & 1 & 0 \end{pmatrix}$$

تعريف می‌شوند که در آن  $\omega_0$  و  $b$  ثابت‌های حقیقی‌اند.

$T$  یا  $H - a$  و  $B$  هرمیتی‌اند؟

b- نشان دهید که  $H$  و  $B$  جابجایی پذیرند. یک پایه از ویژه بردارهای مشترک  $H$  و  $B$  را تعیین کنید.

c- کدام یک از مجموعه‌های عملگرهای  $\{ H, B \}, \{ B \}, \{ H \}$  یا  $\{ H^2, B \}$  یک م.ک.م.ج. تشکیل می‌دهند؟

۱۲- در همان فضای حالتی تعریف‌قبل، دو عملگر  $L_z$  و  $S$  که به صورت زیر تعریف شده‌اند، در نظر بگیرید:

$$\begin{array}{lll} L_z | u_1 \rangle = | u_1 \rangle & L_z | u_2 \rangle = 0 & L_z | u_3 \rangle = - | u_3 \rangle \\ S | u_1 \rangle = | u_3 \rangle & S | u_2 \rangle = | u_2 \rangle & S | u_3 \rangle = | u_1 \rangle \end{array}$$

a- ماتریس‌های معرف عملگرهای  $S^2$ ،  $S$ ،  $L_z^2$ ،  $L_z$  را در پایه  $\{ | u_1 \rangle, | u_2 \rangle, | u_3 \rangle \}$  بنویسید. آیا این عملگرها مشاهده‌پذیرند؟

b- شکل عمومی ترین ماتریس معرف عملگری را که با  $L_z$  جابجایی پذیر است، بنویسید به همین سؤال در مورد  $L_z^2$  و سپس در مورد  $S^2$  پاسخ دهید.

c-  $T$  یا  $L_z^2$  و  $S$  یک م.ک.م.ج. تشکیل می‌دهند؟ یک پایه از ویژه بردارهای مشترک را تعیین کنید.

## حل تمرین ۱۱

$a$  و  $BH$  هرمیتی‌اند زیرا ماتریس‌هایی که با آنها متناظرنند متقارن و حقیقی‌اند.  
 $|u_1\rangle - b$  | یک ویژه‌دار مشترک  $H$  و  $B$  است، بنابراین، بهطور آشکار، داریم  
 $HB|u_1\rangle = BH|u_1\rangle$ . دراین صورت ملاحظه می‌کنیم که برای اینکه  $H$  و  $B$   
 جابجایی‌پذیر باشد، کافی است که تحدیدهای این عملگرها به زیرفضای  $\mathcal{G}_2$ ، که توسط  
 $|u_2\rangle$  و  $|u_3\rangle$  به وجود آمده است، جابجایی‌پذیر باشد. دراین زیرفضا، ماتریس معرف  $H$   
 برابراست با  $b\hbar\omega_0$  (که  $I$  ماتریس یکه  $2 \times 2$  است)، که با تمام ماتریس‌های  $2 \times 2$  جابجایی‌پذیر  
 می‌باشد. بنابراین  $H$  و  $B$  جابجایی‌پذیرند (البته، این نتیجه می‌توانست مستقیماً "با  
 محاسبه ماتریس‌های  $HB$  و  $BH$  به دست آید"). تحدید  $B$  به  $\mathcal{G}_2$  به صورت زیر نوشته می‌شود:

$$P_{\mathcal{G}_2}BP_{\mathcal{G}_2} = b \begin{pmatrix} 0 & 1 \\ 1 & 0 \end{pmatrix}$$

ویژه‌دارهای بهنجارشده، این ماتریس  $2 \times 2$  به‌سانی بحث می‌آیند، و عبارتند از:

$$|p_2\rangle = \frac{1}{\sqrt{2}} [ |u_2\rangle + |u_3\rangle ] \quad (\text{ویژه مقدار } b+)$$

$$|p_3\rangle = \frac{1}{\sqrt{2}} [ |u_2\rangle - |u_3\rangle ] \quad (\text{ویژه مقدار } b-)$$

این بردارها خود بخود ویژه بردارهای  $H$  هستند، زیرا  $\mathcal{G}_2$  ویژه زیرفضای  $H$  متناظر با ویژه  
 مقدارهای  $\hbar\omega$  است، بهطور خلاصه، ویژه بردارهای مشترک  $H$  و  $B$  به صورت زیرداده می‌شوند.

	ویژه مقدار $H$	ویژه مقدار $B$
$ p_1\rangle =  u_1\rangle$	$\hbar\omega_0$	$b$
$ p_2\rangle = \frac{1}{\sqrt{2}} [  u_2\rangle +  u_3\rangle ]$	$-\hbar\omega_0$	$b$
$ p_3\rangle = \frac{1}{\sqrt{2}} [  u_2\rangle -  u_3\rangle ]$	$-\hbar\omega_0$	$-b$

این بردارها (البته با تقریب یک ضریب فاز) تنها ویژه بردارهای مشترک  $H$  و  $B$  هستند.  
 $c$  - می‌توان از جدول دید که  $H$  یک ویژه مقدار دوباره‌گن دارد، بنابراین یک  
 م.ک.م.ج. نیست: همین طور،  $B$  نیز دارای یک ویژه مقدار دوباره‌گن است ولذا یک  
 م.ک.م.ج. نیست: به عنوان مثال، یک ویژه بردار  $B$  با ویژه مقدار  $b$  می‌تواند  $|p_1\rangle$  یا

دو عملگر  $H$  و  $B$  یک م. ک. م. ج. تشکیل می‌دهند. از جدول بالا مشاهده می‌کنیم که هیچ دو بردار  $|p_j\rangle$  ای وجود ندارند که برای  $H$  و  $B$  یک ویژه مقدار داشته باشند. بهاین دلیل است که، همان طوری که قبلاً اشاره شد، دستگاه ویژه بردارهای بهنجار شده مشترک  $H$  و  $B$ . (باتقریب ضرائب فاز) یکتا است. توجه کنید که در محدوده ویژه زیر فضای  $\mathcal{H}$  و واپسنه به ویژه مقدار  $\hbar\omega_0$ ، ویژه مقدارهای  $B$  متمايزند ( $b$  و  $b^*$ ). به طور مشابه، در ویژه زیر فضای  $B$  که توسط  $|p_1\rangle$  و  $|p_2\rangle$  بموجود آمده است، ویژه مقدارهای  $H$  متمايزند ( $\hbar\omega_0$  و  $-\hbar\omega_0$ ).

ویژه بردارهای  $H^2$ ، با ویژه مقدار  $\hbar^2\omega_0^2$ ، عبارتنداز  $|p_1\rangle$  و  $|p_3\rangle$  ای و  $|p_2\rangle$  به سادگی می‌توان دید که  $H^2$  و  $B$  یک م. ک. م. ج. تشکیل نمی‌دهند، زیرا بهزوج ویژه مقدارهای  $\{\hbar^2\omega_0^2, b\}$ ، دو ویژه بردار مستقل خطی  $|p_1\rangle$  و  $|p_2\rangle$  مربوط می‌شوند.

## حل تمرین ۱۲

a - از قاعده ساختن ماتریس یک عملگر استفاده کنیم: "درستون  $n$  ام ماتریس، مولفه‌های تبدیل بردار پایه  $n$  ام را بنویسیم". به آسانی نتیجه می‌گیریم:

$$L_z = \begin{pmatrix} 1 & 0 & 0 \\ 0 & 0 & 0 \\ 0 & 0 & -1 \end{pmatrix} \quad S = \begin{pmatrix} 0 & 0 & 1 \\ 0 & 1 & 0 \\ 1 & 0 & 0 \end{pmatrix}$$

$$L_z^2 = \begin{pmatrix} 1 & 0 & 0 \\ 0 & 0 & 0 \\ 0 & 0 & 1 \end{pmatrix} \quad S^2 = \begin{pmatrix} 1 & 0 & 0 \\ 0 & 1 & 0 \\ 0 & 0 & 1 \end{pmatrix}$$

این ماتریس‌ها متقارن و حقیقی، ولذا هرمیتی هستند. چون فضا دارای بعد محدودی است می‌توانند قطری شده و در نتیجه معرف مشاهده‌پذیرهایی باشند.

b - فرض کنید  $M$  عملگری باشد که با  $L_z$  جابجایی پذیر باشد.  $M$  نمی‌تواند (دک فصل دوم، بخش a - ۳ - D) هیچ عنصر ماتریسی ای بین  $|u_1\rangle$  و  $|u_2\rangle$ ، یا بین  $|u_1\rangle$  و  $|u_3\rangle$  یا بین  $|u_1\rangle$  و  $|u_2\rangle$  (ویژه بردارهای  $L_z$  با ویژه مقدارهای متفاوت) داشته باشد. بنابراین معرف  $M$ ، لزوماً "قطري" است، یعنی، به صورت زیر است:

$$[M, L_z] = 0 \iff M = \begin{pmatrix} m_{11} & 0 & 0 \\ 0 & m_{22} & 0 \\ 0 & 0 & m_{33} \end{pmatrix}$$

فرض کنید  $N$  عملگری باشد که با  $L_z^2$  جایجایی پذیراست، ماتریس معروف  $N$  می‌تواند بین  $\langle u_1 |$  و  $\langle u_3 |$  (ویژه بردارهای  $L_z^2$  یا ویژه‌مقدار یکسان) عناصری داشته باشد، ولی بین  $\langle u_1 |$  و  $\langle u_3 |$  یا  $\langle u_2 |$  نمی‌تواند، بنابراین،  $N$  به صورت زیر نوشته می‌شود:

$$[N, L_z^2] = 0 \iff N = \begin{pmatrix} n_{11} & 0 & n_{13} \\ 0 & n_{22} & 0 \\ n_{31} & 0 & n_{33} \end{pmatrix}$$

بنابراین، تحمیل این شرط که یک عملگر با  $L_z^2$  جایجایی پذیر است، محدودیت کمتری ایجاد می‌کند تا با  $L_z^2$  "لزوماً" یک ماتریس قطری نیست. تنها می‌توان گفت که  $N$  بردارهای زیر فضای  $L_z^2$  را که توسط  $\langle u_1 |$  و  $\langle u_3 |$  بوجود آمده است، با بردارهای زیر فضای یک بعدی که توسط  $\langle u_2 |$  بوجود آمده است، در هم نمی‌بیند. بعلاوه، اگر ماتریس  $N$  را که معرف عملگر  $N$  است در پایه  $\{ |u_1\rangle, |u_3\rangle, |u_2\rangle \}$  (با تغییر دادن بردارهای پایه) بنویسیم، این خاصیت به طور بسیار واضحی ظاهر می‌شود:

$$N' = \begin{pmatrix} n_{11} & n_{13} & 0 \\ n_{31} & n_{33} & 0 \\ 0 & 0 & n_{22} \end{pmatrix}$$

بالاخره، چون  $S^2$  عملگر همانندی است، هر ماتریس  $3 \times 3$  با  $S^2$  جایجایی پذیر است و عمومی‌ترین شکل آن عبارت است از:

$$[P, S^2] = 0 \iff P = \begin{pmatrix} p_{11} & p_{12} & p_{13} \\ p_{21} & p_{22} & p_{23} \\ p_{31} & p_{32} & p_{33} \end{pmatrix}.$$

یک ویژه بردار مشترک  $L_z^2$  و  $S^2$  است، در زیر فضای  $L_z^2$  بوجود آمده توسط  $\langle u_2 |$  و  $\langle u_3 |$  و  $\langle u_1 |$  به صورت زیر نوشته می‌شوند:

$$P_{\mathcal{F}_2} L_z^2 P_{\mathcal{F}_2} = \begin{pmatrix} 1 & 0 \\ 0 & 1 \end{pmatrix}$$

$$P_{\mathcal{F}_2} S P_{\mathcal{F}_2} = \begin{pmatrix} 0 & 1 \\ 1 & 0 \end{pmatrix}$$

ویژه بردارهای ماتریس اخیر عبارتند از:

$$|q_2\rangle = \frac{1}{\sqrt{2}}[|u_1\rangle + |u_3\rangle]$$

$$|q_3\rangle = \frac{1}{\sqrt{2}}[|u_1\rangle - |u_3\rangle]$$

و پایه، ویژه بردارهای مشترک  $L_z^2$  و  $S$  عبارت است از :

بردار	ویژه مقدار $L_z^2$	ویژه مقدار $S$
$ q_1\rangle =  u_2\rangle$	0	1
$ q_2\rangle = \frac{1}{\sqrt{2}}[ u_1\rangle +  u_3\rangle]$	1	1
$ q_3\rangle = \frac{1}{\sqrt{2}}[ u_1\rangle -  u_3\rangle]$	1	-1

در جدول ویژه مقدارهای  $L_z^2$  و  $S$  هیچ دوسترهی یکسان نیستند : بنابراین این دو عملگر یک م.ک.م.ج. تشکیل می‌دهند ( ولی ، برای هریک از آنها بمنهائی این طور نیست ) .

فصل سوم

# اصل موضوع مکانیک کوانتومی

## خلاصه مطالب فصل سوم

۱- مقدمه

## ۸- بیان اصول موضوع

- ۱- توصیف حالت یک سیستم
- ۲- توصیف کمیتهای فیزیکی
- ۳- اندازه‌گیری کمیتهای فیزیکی
  - ۱- نتایج ممکن
  - ۲- اصل تجزیه طیفی
  - ۳- تقلیل بسته موج
- ۴- تحول زمانی سیستم
- ۵- قواعد کوانتش
  - ۱- گزاره
  - ۲- مثالهای مهم

## ۹- تعبیر فیزیکی اصول موضوع

مربوط به مشاهده‌پذیرها  
و اندازه‌گیری آنها

- ۱- قواعد کوانتش با تعبیر احتمالاتی تابع  
موج سازگارند.
- ۲- کوانتش بعضی از کمیتهای فیزیکی  
فرایند اندازه‌گیری
- ۳- مقدار میانگین یک مشاهده‌پذیر در یک  
حالت داده شده.
- ۴- انحراف ریشه میانگین مربعی.
- ۵- سازگاربودن مشاهده‌پذیرها  
با سازگاربودن و قواعد جامعه
- ۶- فراهم آوردن یک حالت

## ۱۰- مفاهیم فیزیکی معادله شرودینگر

- ۱- خواص عمومی معادله شرودینگر
  - ۱- قطعیت در تحول دستگاههای فیزیکی
  - ۲- اصل برهم نهش
  - ۳- پایستگی احتمال

- a* - تحول مقدار متوسط یک مشاهده پذیر؛  
 رابطه با مکانیک کلاسیک .
- b* - مورد دستگاههای پایستار
- c* - حل معادله شرودینگر
- d* - حالت‌های مانا
- e* - پایاهاي حرکت
- f* - فرکانسهاي بوهر بک دستگاه
- g* - قواعد گزینش
- h* - رابطه عدم قطعیت زمان - انرژی

- a* - اصل برهم نهش و پیش‌بینی‌های فیزیکی
- b* - دامنه‌های احتمال و آثار تداخلی
- c* - معنای فیزیکی برهم نهش خطی حالتها
- d* - جمع‌بندی روی حالت‌های واسط
- e* - نتیجه: اهمیت مفهوم دامنه احتمال
- f* - موردی که در آن چندین حالت می‌توانند به یک نتیجه اندازه‌گیری وابسته باشند .
- g* - ویژه مقدارهای تبهگن
- h* - وسائل اندازه‌گیری باگزینندگی ناکافی
- i* - خلاصه: آیا باید دامنه‌ها را جمیع کرد  
 یا احتمالها را؟
- j* - کاربرد در بررسی طیفهای پیوسته .

## A . مقدمه

در مکانیک کلاسیک ، اگر مکان  $(x, y, z)$  و سرعت  $v(\dot{x}, \dot{y}, \dot{z})$  هریک از نقاط یک دستگاه را به صورت تابعی از زمان بدانیم ، حرکت آن تعیین شده است . بمطور کلی (پیوست ۳) برای توصیف چنین دستگاهی . مختصات تعییم یافته  $(q_i(t), i = 1, 2, \dots, N)$  را وارد می کنیم . که مشتق آنها نسبت به زمان ،  $(\dot{q}_i(t))$  ، همان سرعتهای تعییم یافته اند ، مختص کردن  $(q_i(t), \dot{q}_i(t))$  ما را قادر می سازد تا ، در هر لحظه معین ، مکان و سرعت هر نقطه از دستگاه را محاسبه کنیم . با استفاده از لاگرانژی  $L(q_i, \dot{q}_i, t)$  ، تکانه همیوگ  $p_i$  هریک از مختصات تعییم یافته  $q_i$  را تعریف می کنیم :

$$p_i = \frac{\partial \mathcal{L}}{\partial \dot{q}_i} \quad (A-1)$$

$p_i$  و  $q_i(t)$  ( $i = 1, 2, \dots, N$ ) متغیرهای دینامیکی بنیادی نامیده می شوند . تمام کمیتهای فیزیکی وابسته به دستگاه (انرژی ، تکانه زاویه ای وغیره) می توانند بر حسب متغیرهای دینامیکی بنیادی بیان شوند . به عنوان مثال ، انرژی کل دستگاه توسط هامیلتونی کلاسیکی  $(q_i, p_i, t)$  داده می شود . حرکت دستگاه می تواند یا با استفاده از معادلات لاگرانژ یا با استفاده از معادلات بندادی هامیلتون - زاکوبی که به صورت :

$$\frac{dq_i}{dt} = \frac{\partial \mathcal{H}}{\partial p_i} \quad (A-2-a)$$

$$\frac{dp_i}{dt} = - \frac{\partial \mathcal{H}}{\partial q_i} \quad (A-2-b)$$

نوشته می شوند مطالعه شوند .

در مورد خاص دستگاهی که از یک نقطه فیزیکی تنها به جرم  $m$  تشکیل شده است ،  $q_i$  ها همان سه مختصه این نقطه ، و  $\dot{q}_i$  ها مولفه های سرعت  $v$  می آن هستند . اگر نیروهای وارد براین ذره بتوانند از یک پتانسیل نرده ای  $V(r, t)$  مشتق شوند ، سه تکانه همیوگ مکان  $x$  آن (یعنی ، مولفه های تکانه خطی  $p_i$  می آن) برابرند با مولفه های تکانه مکانیکی  $mv$  ذره . در این صورت انرژی کل به صورت زیر نوشته می شود :

$$E = \frac{p^2}{2m} + V(r, t) \quad (A-3)$$

و تکانه زاویه ای نسبت به مبدأ عبارت است از :

$$\mathcal{L} = \mathbf{r} \times \mathbf{p} \quad (A-4)$$

چون داریم  $\mathcal{H}(\mathbf{r}, \mathbf{p}, t) = \frac{\mathbf{p}^2}{2m} + V(\mathbf{r}, t)$  ، معادلات هامیلتون - ژاکوبی (A-2) در اینجا شکل شناخته شده زیر را می‌گیرند:

$$\frac{d\mathbf{r}}{dt} = \frac{\mathbf{p}}{m} \quad (A-5-a)$$

$$\frac{d\mathbf{p}}{dt} = -\nabla V \quad (A-5-b)$$

بنابراین توصیف کلاسیکی یک دستگاه فیزیکی می‌تواند به صورت زیر خلاصه شود :

(۱) حالت دستگاه در یک زمان مشخص  $t_0$  با مشخص کردن  $N$  مختصه تعیین یافته  $q_i(t_0), p_i(t_0)$  و  $N$  تکانه همیوغ  $(t_0)$  آنها تعیین می‌شود .

(۲) وقتی حالت دستگاه در یک زمان معین ، معلوم باشد ، مقدار کمیتهای فیزیکی مختلف ، در آن زمان ، کاملاً "علوم خواهد بود : با دانستن حالت دستگاه ، می‌توان با قطعیت نتیجه هراندازه‌گیری در زمان  $t$  را ، پیش‌بینی کرد .

(۳) تحول زمانی حالت دستگاه توسط معادلات هامیلتون - ژاکوبی داده می‌شود . چون این معادلات ، معادلات دیفرانسیل مرتبه اول هستند ، اگر مقدار جوابهای این معادلات در زمان معین  $t_0$  ،  $\{q_i(t_0), p_i(t_0)\}$  مشخص باشد ، جواب  $\{q_i(t), p_i(t)\}$  ی آنها یکتا خواهد بود . اگر حالت اولیه دستگاه معلوم باشد ، حالت آن برای تمام زمانها معلوم است . در این فصل اصول موضوعی را که توصیف کوانتومی دستگاههای فیزیکی برآ نهابنا شده است ، مطالعه خواهیم کرد . قبلاً "آنها را در فصل اول به طور کیفی و جزئی معرفی کردیم . در اینجا ، آنها را در چارچوب فرمول بندی ارائه شده در فصل دوم ، به طور صحیح مورد بحث قرار خواهیم داد . این اصول موضوع پاسخ سوالات زیر را ( که متناظرند با سه نکته‌ای که در بالا برای توصیف کلاسیکی برشمردیم ) فراهم می‌آورند :

(۱) حالت یک دستگاه کوانتومی در یک زمان معین چگونه بطور ریاضی تشریح می‌شود ؟

(۲) با داشتن این حالت ، چگونه می‌توانیم نتایج اندازه‌گیری کمیتهای فیزیکی مختلف را پیش‌بینی کنیم ؟

(۳) وقتی که حالت دستگاه در زمان  $t_0$  معلوم باشد ، چگونه می‌توان حالت آنرا در زمان دلخواه  $t$  پیدا کرد ؟

ابتدا ( در بخش B ) اصول موضوع مکانیک کوانتومی را بیان خواهیم کرد . سپس ( در بخش‌های C ، D ) محتواهای فیزیکی آنها را تجزیه و تحلیل کرده و پیامدهای آنها

را مورد بحث قرار خواهیم داد.

## B . بیان اصول موضوع

### ۱ - توصیف حالت یک دستگاه

در فصل اول، مفهوم حالت کوانتومی یک ذره را معرفی کردیم. ابتدا، این حالت را در زمان معین، توسط یکتابع موج مجدوراً "انتگرال پذیر مشخص کردیم. سپس، در فصل دوم، به هرتابع موج یک کت از فضای حالت، وابسته کردیم: انتخاب  $\psi_1$  ای متعلق به  $\psi$  معادل است با انتخاب تابع موج متناظر  $\psi_1 = \langle \psi | \psi \rangle$ . بنابراین، حالت کوانتومی یک ذره در یک زمان مشخص توسط یک کت از فضای  $\psi$  مشخص می‌شود. در این شکل، مفهوم حالت می‌تواند بهر دستگاه فیزیکی تعیین داده شود.

اصل موضوع اول: در یک زمان مشخص  $t_0$ ، حالت یک دستگاه فیزیکی با مشخص کردن یک کت  $\langle \psi(t_0) |$  متعلق به فضای حالت  $\psi$  تعیین می‌شود.

توجه به این مطلب حائز اهمیت است، که چون  $\psi$  یک فضای برداری است، این اصل موضوع اول دلالت بر یک اصل برهمنهش دارد: یک ترکیب خطی از بردارهای حالت، یک بردار حالت است. این نکته اساسی و رابطه آن با سایر اصول موضوع را در بخش E مورد بحث قرار خواهیم داد.

### ۲ - توصیف کمیتها فیزیکی

"قبل‌ا" در بخش ۱-D از فصل اول، یک عملگر دیفرانسیل  $H$  به کار بردهیم که بمانرژی کل یک ذره در یک پتانسیل نرداری، مربوط می‌شد. این مطلب یک مورد خاص از اصل موضوع دوم است.

اصل موضوع دوم: هر کمیت فیزیکی قابل اندازه‌گیری  $\hat{A}$  توسط یک عملگر که در  $\psi$  عمل می‌کند توصیف می‌شود، این عملگر یک مشاهد پذیراست.

## گوشزدها :

(i) در بخش ۳ زیرخواهیم دید که این واقعیت که  $A$  یک مشاهده‌پذیر است (رک به فصل دوم، بخش ۲ - D) ضروری است.

(ii) مکانیک کوانتومی حالت یک دستگاه و کمیتهای فیزیکی وابسته به آن را به روی اساساً "متغیر با مکانیک کلاسیک (رک بخش A)" تشریح می‌کند: یک حالت توسط یک بردار و یک کمیت فیزیکی توسط یک عملگر نمایش داده می‌شود.

## ۳- اندازه‌گیری کمیتهای فیزیکی

## ۶- نتایج ممکن

ارتباط بین عملگر  $H$  و انرژی کل ذره در بخش ۱ - D از فصل اول به صورت زیر تجلی کرد: تنها انرژیهای ممکن، ویژه مقدارهای عملگر  $H$  هستند. در اینجا هم، این ارتباط می‌تواند به تمام کمیتهای فیزیکی تعمیم داده شود.

اصل موضوع سوم: تنها نتیجهٔ ممکن اندازه‌گیری یک کمیت فیزیکی  $A$  یکی از ویژه مقدارهای مشاهده‌پذیر  $A$  می‌باشد.

## گوشزدها :

(i) یک اندازه‌گیری  $A$  همواره یک مقدار حقیقی به دست می‌دهد، زیرا  $A$  بنایه‌تعریف هر میتی است.

(ii) اگر طیف  $A$  گسته باشد، نتایجی که می‌توانند با اندازه‌گیری  $A$  به دست آیند کوانتومی هستند (بخش ۲ - C).

## ۶ - اصل تجزیه طیفی

می خواهیم نتایج بخش ۳ - A از فصل اول را که از تجزیه و تحلیل آزمایش ساده‌ای بر روی فوتونهای قطبی شده به دست آمدند تعمیم داده و مفصل‌تر مورد بحث قرار دهیم . دستگاهی را در نظر بگیرید که حالت آن در یک زمان معین ، توسط کت  $\langle \psi |$  ، که فرض می شود بهنجار شده به واحد است ، مشخص شده باشد :

$$\langle \psi | \psi \rangle = 1 \quad (B-1)$$

می خواهیم نتیجه اندازه‌گیری کمیت فیزیکی  $a$  را بسته به مشاهده پذیر A ، در این زمان را پیش‌بینی کنیم . این پیش‌بینی ، همان‌طوری که از قبل می‌دانیم ، از نوع احتمالاتی است . اکنون می خواهیم قواعدی را بدھیم که بهما امکان دهد احتمال به دست آوردن هر ویژه‌مقدار معین A را محاسبه کنیم .

۱ . مورد یک طیف گستته

ابتدا ، فرض کنیم که طیف A "کلا" گستته است . اگر تمام ویژه مقدارهای A ، یعنی همه  $a_n$  ها ناتبیهگن باشند ، به‌هرکدام از آنها یک ویژه بردار یکتا  $\langle u_n |$  (باتقریب یک ضریب ثابت) وابسته است :

$$A | u_n \rangle = a_n | u_n \rangle \quad (B-2)$$

چون A یک مشاهده‌پذیر است ، مجموعه  $\{u_n\}$  ، که ما آنها را بهنجار شده در نظر خواهیم گرفت ، یک پایه در  $\mathcal{H}$  تشکیل می‌دهند ، و بردار حالت  $\langle \psi |$  می‌تواند به صورت زیر نوشته شود :

$$|\psi\rangle = \sum_n c_n |u_n\rangle \quad (B-3)$$

به عنوان اصل موضوع می‌پذیریم که احتمال  $P(a_n)$  برای یافتن  $a_n$  وقتی که اندازه‌گیری می‌شود برابر است با :

$$P(a_n) = |c_n|^2 = |\langle u_n | \psi \rangle|^2 \quad (B-4)$$

اصل موضوع چهارم ( موردیک طیف‌گستته ناتبھگن ) : وقتی کمیت فیزیکی  $\psi$  دستگاهی که در حالت بهنجار شده  $\langle \psi |$  قراردارد ، اندازه‌گیری می‌شود احتمال  $(P(a_n))$  برای بددست آوردن ویژه‌مقدار ناتبھگن  $a_n$  مشاهده پذیر  $A$  می‌باشد . متناظر برایراست با :

$$P(a_n) = |\langle u_n | \psi \rangle|^2$$

که در آن  $\langle u_n |$  عبارت است از ویژه بردار بهنجار شده  $A$  وابسته به ویژه مقدار  $a_n$  .

حال ، اگر بعضی از ویژه مقدارهای  $a_n$  تبھگن باشد ، چند ویژه بردار راست هنجار با آن متناظر است :

$$A | u_n^i \rangle = a_n | u_n^i \rangle ; \quad i = 1, 2, \dots g_n \quad (B-5)$$

$\psi$  باز هم می‌تواند در پایه راست هنجار  $\{ | u_n^i \rangle \}$  بسط داده شود :

$$|\psi\rangle = \sum_n \sum_{i=1}^{g_n} c_n^i |u_n^i\rangle \quad (B-6)$$

در این مورد ، احتمال  $(P(a_n))$  به صورت زیر خواهد بود :

$$P(a_n) = \sum_{i=1}^{g_n} |c_n^i|^2 = \sum_{i=1}^{g_n} |\langle u_n^i | \psi \rangle|^2 \quad (B-7)$$

ملاحظه می‌شود که ( ۷ - B ) مورد خاصی از ( ۴ - B ) ، که می‌توانیم آنرا به عنوان فرمول عمومی در نظر بگیریم ، می‌باشد .

اصل موضوع چهارم ( مورد یک طیف گستته ) : وقتی کمیت فیزیکی  $\hat{A}$  را دستگاهی که در حالت بهنجار شده  $|\psi\rangle$  قرار دارد . اندازه‌گیری می‌شود ، احتمال  $P(a_n)$  برای بهدست آوردن ویژه‌مقدار  $a_n$  مشاهده‌پذیری  $A$  را متناظر برابر است با :

$$P(a_n) = \sum_{i=1}^{g_n} |\langle u_n^i | \psi \rangle|^2$$

که در آن  $g_n$  درجه تبیهگذاری  $a_n$  و  $\{ |u_n^i\rangle\}$  ( $i = 1, 2, \dots, g_n$ ) مجموعه بردارهای راست هنجاری هستند که در ویژه زیر فضای  $\mathcal{H}$  وابسته به ویژه مقدار  $a_n$  عطیگر  $A$  ، تشکیل یک پایه می‌دهند .

برای اینکه این اصل موضوع معنی داشته باشد ، مسلماً لازم است که ، اگر ویژه مقدار  $a_n$  تبیهگذار باشد ، احتمال  $(a_n) P$  مستقل از انتخاب پایه  $\{ |u_n^i\rangle\}$  در  $\mathcal{H}$  باشد . برای اثبات این مطلب ، بردار زیر را در نظر بگیرید :

$$|\psi_n\rangle = \sum_{i=1}^{g_n} c_n^i |u_n^i\rangle \quad (B-8)$$

ضرائب  $c_n^i$  همان ضرائبی هستند که در بسط  $(6-B)$  بردار  $|\psi\rangle$  ظاهر شده‌اند :

$$c_n^i = \langle u_n^i | \psi \rangle \quad (B-9)$$

$|\psi\rangle$  قسمتی از  $|\psi\rangle$  است که متعلق به  $\mathcal{H}$  است ، یعنی عبارت است از تصویر  $|\psi\rangle$  روی  $\mathcal{H}$  بعلاوه ، این همان چیزی است که وقتی  $(9-B)$  را در  $(6-B)$  جایگزین کنیم بهدست می‌آید :

$$\begin{aligned} |\psi_n\rangle &= \sum_{i=1}^{g_n} |u_n^i\rangle \langle u_n^i | \psi \rangle \\ &= P_n |\psi\rangle \end{aligned} \quad (B-10)$$

که در آن :

$$P_n = \sum_{i=1}^{g_n} |u_n^i\rangle \langle u_n^i | \quad (B-11)$$

تصویرگر روی  $\mathcal{H}$  است ( بخش b-3-B از فصل دوم ) . حال مجذور هنجار  $|\psi\rangle$  را محاسبه کنیم . از  $(B-8)$  داریم :

$$\langle \psi_n | \psi_n \rangle = \sum_{i=1}^{n_0} |c_i|^2 \quad (B-12)$$

بنابراین،  $\mathcal{P}(a_n)$  عبارت است از محدود هنجار  $\langle \psi | P_n | \psi \rangle$ ، تصویر  $\langle \psi |$  روی  $P_n$ . ازین مطلب روش می شود که تغییر پایه دو گذشتی بر  $\mathcal{P}(a_n)$  ندارد. این احتمال به صورت:

$$\mathcal{P}(a_n) = \langle \psi | P_n^t P_n | \psi \rangle \quad (B-13)$$

یا، با استفاده ازین واقعیت که  $P_n^t = P_n$  هرمیتی ( $P_n^2 = P_n$ ) و یک تصویرگر است:

$$\mathcal{P}(a_n) = \langle \psi | P_n | \psi \rangle \quad (B-14)$$

نوشته می شود.

$\beta$  - مورد یک طیف پیوسته

حال فرض کنید که طیف  $A$  پیوسته و، برای سهولت، ناتبهمکن باشد. دستگاه ویژه بردارهای  $|v_\alpha\rangle$  متعلق به عملکر  $A$ :

$$A |v_\alpha\rangle = \alpha |v_\alpha\rangle \quad (B-15)$$

که به معفهوم وسیع تر راست هنجار هستند، در فضای گذشتی تشکیل یک پایه پیوسته می دهند و  $\langle \psi |$  می تواند بر حسب آنها بسط داده شود:

$$|\psi\rangle = \int d\alpha c(\alpha) |v_\alpha\rangle \quad (B-16)$$

چون نتایج ممکن یک اندازه گیری  $\mathcal{P}$  یک مجموعه پیوسته تشکیل می دهند، باید درست همان طوری که برای تعبیر تابع موج یک ذره، یک چگالی احتمال تعریف کردیم (بخش ۲ - B از فصل اول) در اینجا نیز یک چگالی احتمال تعریف کنیم. احتمال  $(\alpha) d\mathcal{P}$  برای یافتن مقداری بین  $\alpha$  و  $\alpha + d\alpha$  توسط را بظه:

$$d\mathcal{P}(\alpha) = \rho(\alpha) d\alpha$$

داده می شود که در آن :

$$\rho(\alpha) = |c(\alpha)|^2 = |\langle v_\alpha | \psi \rangle|^2 \quad (B - 17)$$

اصل موضوع چهارم ( نورد یک طیف پیوسته، ناتبهمگن ) : وقتی کمیت فیزیکی  $\psi$  دستگاهی که در حالت بهنجارشده  $\langle \psi | \psi \rangle$  قرار دارد، اندازه گیری می شود احتمال  $d\mathcal{P}(\alpha)$  برای یافتن نتیجه ای بین  $\alpha$  و  $d\alpha$  برابر است با :

$$d\mathcal{P}(\alpha) = |\langle v_\alpha | \psi \rangle|^2 d\alpha$$

که در آن  $\langle v_\alpha | \psi \rangle$  عبارت است از ویژه بردار متناظر با ویژه مقدار  $\alpha$  متعلق به مشاهده پذیر  $A$  وابسته به  $\psi$ .

گوشزدگا :

(i) می توان در هر یک از موارد فوق، صریحا "تشان دادکه احتمال کل برابر است با ۱، به عنوان مثال، با شروع از فرمول (۷ - B)، خواهیم داشت :

$$\sum_n \mathcal{P}(a_n) = \sum_n \sum_{i=1}^{g_n} |c_n^i|^2 = \langle \psi | \psi \rangle = 1 \quad (B - 18)$$

زیرا  $\langle \psi | \psi \rangle$  بهنجارشده است. بنابراین برای اینکه بیانه ای کارانه کردیم همانگ باشند بشرط آخر لازم است. مع ذالک، این شرط ضروری نیست: اگر برآورده نشود کافی است که (۷ - B) و (۱۷ - B) را به ترتیب توسط :

$$\mathcal{P}(a_n) = \frac{1}{\langle \psi | \psi \rangle} \sum_{i=1}^{g_n} |c_n^i|^2 \quad (B - 19)$$

$$\rho(\alpha) = \frac{1}{\langle \psi | \psi \rangle} |c(\alpha)|^2 \quad (B - 20)$$

جا گزین کنیم،

(ii) برای اینکه اصل موضوع چهارم منسجم باشد، لازم است که عملگر  $A$  وابسته به هر کمیت فیزیکی یک مشاهده پذیر باشد: باید بتوان هر حالت را روی ویژه بردارهای

A بسط داد.

اصل موضوع چهارم را به کلی ترین شکلش ارائه نداده‌ایم. با شروع از بحث در مواردی که بررسی کردیم، به آسانی می‌توان اصل تجزیه طیقی را بهر وضیعتی (طیف پیوسته تبهگن، طیقی که بخشی از آن پیوسته و بخشی گسسته است و غیره) بسط داد.

در بخش E و بعداً در فصل چهارم، این اصل موضوع چهارم را در مورد چند نمونه به کار خواهیم بست، و چند بی‌آمد اصل برهم نهش مذکور در بخش ۱-B را اثبات خواهیم کرد.

۷ - یک نتیجه مهم

دوقت  $\langle \psi' |$  و  $\langle' \psi |$  که رابطه آنها به صورت :

$$\langle \psi' | = e^{i\theta} |\psi\rangle \quad (B-21)$$

و در آن  $\theta$  یک عدد حقیقی است در نظر بگیرید. اگر  $|\psi\rangle$  بهنگارشده باشد،  $\langle' \psi |$  نیز بهنگارشده خواهد بود:

$$\langle' \psi | = \langle \psi | e^{-i\theta} e^{i\theta} |\psi\rangle = \langle \psi | \psi' \rangle \quad (B-22)$$

احتمالهای پیش بینی شده برای یک اندازه‌گیری معین، برای  $\langle \psi |$  و  $\langle' \psi |$  یکسان است زیرا، برای هر  $|u_n^i\rangle$  داریم:

$$|\langle u_n^i | \psi' \rangle|^2 = |e^{i\theta} \langle u_n^i | \psi \rangle|^2 = |\langle u_n^i | \psi \rangle|^2 \quad (B-23)$$

همینطور، می‌توانیم  $\langle \psi |$  را توسط :

$$\langle'' \psi | = \alpha e^{i\theta} |\psi\rangle \quad (B-24)$$

جایگزین کنیم بدون اینکه هیچ یک از نتایج فیزیکی تغییر گند: هم در صورت وهم در مخرج (B-19) و (B-20) سازهای  $|\alpha|^2$  ظاهری شود که یکدیگر را حذف می‌کنند بنابراین، دو بردار حالت که با یکدیگر متناسب باشد نشان دهنده یک حالت فیزیکی‌اند. باید دقت به عمل آید که این نتیجه به طور صحیح تعبیر شود، به عنوان مثال، فرض کنید:

$$|\psi\rangle = \lambda_1 |\psi_1\rangle + \lambda_2 |\psi_2\rangle \quad (B-25)$$

که در آن  $\lambda_1$  و  $\lambda_2$  اعداد مختلطی هستند. درست است که  $|\psi_2\rangle e^{i\theta_2}$  برای تمام  $\theta_1$  های حقیقی، همان حالت  $|\psi_1\rangle$ ، و  $|\psi_1\rangle e^{i\theta_1}$  همان حالت  $|\psi_2\rangle$  را نشان می‌دهد، اما عموماً:

$$|\varphi\rangle = \lambda_1 e^{i\theta_2} |\psi_1\rangle + \lambda_2 e^{i\theta_1} |\psi_2\rangle \quad (B-26)$$

همان حالت وابسته به  $|\psi\rangle$  را توصیف نمی‌کند (در بخش E خواهیم دید که فازهای نسبی ضرایب بسط بردار حالت نقش مهمی ایفا می‌کنند). این امر برای مورد خاصی که در آن  $\theta_1 = 2n\pi - \theta_2$  باشد، معنی برای:

$$|\varphi\rangle = e^{i\theta_1} [\lambda_1 |\psi_1\rangle + \lambda_2 |\psi_2\rangle] = e^{i\theta_1} |\psi\rangle \quad (B-27)$$

صادق نیست.

بعارت دیگر: یک عامل فاز کلی تأثیری در پیش‌بینی‌های فیزیکی نمی‌گذارد، اما فازهای نسبی ضرایب یک بسط‌دارای معنا هستند.

### ۶- تقلیل بسته موج

این مفهوم را قبلاً، وقتی که از اندازه‌گیری قطبش فوتونها در آزمایشی که در بخش ۳-A از فصل اول توصیف شد، صحبت نمودیم، معرفی کردیم. در اینجا می‌خواهیم با وجود اینکه خود را بهمورد یک طیف‌گستته محدود می‌سازیم (در بخش E بهمورد یک طیف پیوسته خواهیم پرداخت) این مفهوم را تعمیم دهیم.

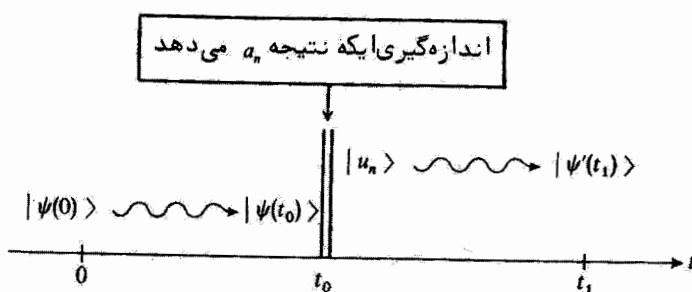
فرض کنید می‌خواهیم در یک زمان معین، کمیت فیزیکی  $\psi$  را اندازه‌گیری کنیم اگر که  $|\psi\rangle$ ، که معرف حالت دستگاه بلاfacله قبل از اندازه‌گیری است، معلوم باشد، اصل موضوع چهارم بهما امکان می‌دهد تا احتمالهای یافتن نتایج ممکن مختلف را پیش‌بینی کنیم. اما وقتی اندازه‌گیری "علا" انجام شد، واضح است که فقط یکی ازین نتایج ممکن بدست آمده است. بلاfacله بعد از این اندازه‌گیری، نمی‌توانیم از اینکه با چه احتمالی این یا آن مقدار را بدست آورده‌ایم صحبت کنیم؛ می‌دانیم که در واقع کدام یک بهدست آمده است. بنابراین اطلاعات زیادتری داریم، و قابل فهم است که حالت دستگاه بعد از اندازه‌گیری، که بایستی این اطلاعات اضافی را بمعا بدهد، باید با  $|\psi\rangle$  متفاوت باشد. ابتدا موردی را در نظر بگیریم که در آن، اندازه‌گیری کمیت فیزیکی  $\psi$  منجر به یک ویژه مقدار ساده  $\psi_0$  وابسته به مشاهده‌پذیر A شود. در این صورت بعضوان اصل موضوع می‌پذیریم که حالت دستگاه بلاfacله بعد از این اندازه‌گیری عبارت است از ویژه‌بردار  $\langle \psi_0 |$

وابسته به  $a_n$  :

$$|\psi\rangle \xrightarrow{a_n} |u_n\rangle \quad (B-28)$$

گوشیده :

(i) تا اینجا در باره حالت‌های "بلافاصله قبل" از اندازه‌گیری ( $|\psi\rangle$ ) و حالت‌های "بلافاصله بعد" از اندازه‌گیری ( $|u_n\rangle$ ) صحبت کرده‌ایم، مفهوم دقیق این عبارت بشرح زیر است: فرض کنید که اندازه‌گیری در زمان  $t_0 > 0$  انجام شود، و حالت  $|\psi(t_0)\rangle$  دستگاه در زمان  $t_0 = t$  را می‌دانیم. اصل موضوع ششم (رک بخش ۴) تحول دستگاه با زمان را توصیف می‌کند، یعنی، ما را قادر می‌سازد تا از  $|\psi(t_0)\rangle$ ، حالت "بلافاصله قبل" از اندازه‌گیری،  $|\psi(0)\rangle$  را محاسبه کنیم. اگر اندازه‌گیری به ویژه مقدار ناتبیگن  $a_n$  منجر شود، حالت  $|\psi(t_1)\rangle$  در زمان  $t_1 > t_0$  باید از  $|\psi(t_0)\rangle = |u_n\rangle$ ، حالت "بلافاصله بعد" از اندازه‌گیری، با استفاده از اصل موضوع ششم برای تعیین تحول بردار حالت بین زمان‌های  $t_0$  و  $t_1$  (شکل ۱)، محاسبه شود.



شکل ۱.

وقتی اندازه‌گیری مشاهده‌پذیر  $a$  در زمان  $t_0$  نتیجه  $a$  را بدهد، بردار حالت دستگاه یک تغییر ناگهانی پیدا می‌کند و به  $|u_n\rangle$  تبدیل می‌شود. سپس این حالت اولیه جدید تحول می‌پارد.

(ii) اگر بلافاصله پس از اندازه‌گیری اول (یعنی، قبل از آن که دستگاه مجال تحول پیدا کند)، یک اندازه‌گیری دیگر از  $a$  انجام دهیم، همواره همان نتیجه  $a$  را به دست خواهیم آورد، زیرا حالت دستگاه بلافاصله قبل از اندازه‌گیری دوم، دیگر

$\langle \psi | u_n \rangle$  نیست بلکه  $\langle u_n | \psi \rangle$  است.

وقتی ویژه مقدار  $a_n$  که توسط اندازه‌گیری بدست می‌آید تبیه‌گن باشد، اصل موضوع (B-۲۸) می‌تواند بهصورت زیر تعمیم داده شود. اگر بسط حالت  $\langle \psi |$  بلافاصله قبل از اندازه‌گیری، با همان نمادگذاری بخش b بهصورت:

$$|\psi\rangle = \sum_n \sum_{i=1}^{\theta_n} c_n^i |u_n^i\rangle \quad (B-29)$$

نوشته شده باشد، تغییر بردار حالت ناشی از اندازه‌گیری بهصورت زیر نوشته می‌شود:

$$|\psi\rangle \xrightarrow{(a_n)} \frac{1}{\sqrt{\sum_{i=1}^{\theta_n} |c_n^i|^2}} \sum_{i=1}^{\theta_n} c_n^i |u_n^i\rangle \quad (B-30)$$

همان بردار  $\langle \psi |$  است که در بالا [فرمول (B-۸)] تعریف شد، یعنی، تصویر  $\langle \psi |$  روی ویژه زیر فضای وابسته به  $a_n$  در (B-۳۰)، این بردار را بهتجارکردایم زیرا همیشه مناسبتر است که از بردارهای حالت با هنجار استفاده کنیم [گوشزد (i) از بخش b بالا]. بنابراین، با نمادگذاری (B-۱۰) و (B-۱۱) می‌توانیم (B-۳۰) را بهصورت زیر بنویسیم:

$$|\psi\rangle \xrightarrow{(a_n)} \frac{P_n |\psi\rangle}{\sqrt{\langle \psi | P_n | \psi \rangle}} \quad (B-31)$$

اصل موضوع پنجم: اگر اندازه‌گیری کمیت فیزیکی  $A$  روی دستگاهی که در حالت  $\langle \psi |$  است نتیجه  $a_n$  را بدهد، حالت دستگاه بلافاصله بعد از

اندازه‌گیری عبارت است از  $\frac{P_n |\psi\rangle}{\sqrt{\langle \psi | P_n | \psi \rangle}}$ ، یعنی، تصویر بهتجار شده  $\langle \psi |$  روی ویژه زیر فضای وابسته به  $a_n$ .

بنابراین، حالت دستگاه بلافاصله بعد از اندازه‌گیری همواره یک ویژه بردار  $A$  با ویژه مقدار  $a_n$  است. معذالک این واقعیت را مورد تأکید قرار می‌دهیم که این حالت یک کت دلخواه از زیر فضای  $\mathcal{H}$  نیست، بلکه قسمتی از  $\langle \psi |$  است که به  $\mathcal{H}$  تعلق دارد (که برای راحتی بطور مناسی بهتجار شده است). در پرتو بخش ۷-۳-۶ فوق، ملاحظه

می شود که معادله  $(B - 28)$  یک مورد خاص از  $(B - 30)$  است . وقتی  $g = 1$  باشد ، جمع بندی روی  $\langle \cdot \cdot \cdot \rangle$  از  $(B - 30)$  برداشته می شود ، که در این صورت خواهد شد :

$$\frac{1}{|c_n|} c_n |u_n\rangle = e^{i\arg c_n} |u_n\rangle \quad (B - 32)$$

این کت مسلم " همان حالت فیزیکی  $\langle \cdot \cdot \cdot | \cdot \cdot \cdot \rangle$  را توصیف می کند .

#### ۴ - تحول زمانی دستگاهها

قبل " در بخش ۲-B از فصل اول ، معادله شرودینگر برای یک ذره را رائه دادیم ، در اینجا ، این معادله را در مورد عام می نویسیم .

اصل موضوع ششم : تحول زمانی بردار حالت  $\langle \psi(t) | \psi(t) \rangle$  از معادله شرودینگر :

$$i\hbar \frac{d}{dt} |\psi(t)\rangle = H(t) |\psi(t)\rangle$$

پیروی می کند ، که در آن  $H(t)$  مشاهده پذیر وابسته به انرژی کل دستگاه است .

$H(t)$  عملگر های میلتونی دستگاه نامیده می شود ، زیرا از های میلتونی کلاسیکی بدست آمده است ( پیوست ۳ و بخش ۵ زیر ) .

#### ۵ - قواعد کوانتش

بالاخره ، می خواهیم در این مورد بحث کنیم که چگونه ، برای یک کمیت فیزیکی  $A$  که از قبل در مکانیک کلاسیک تعریف شده است ، عملگر  $A$  را که توصیف کننده آن کمیت در مکانیک کوانتومی است ، بسازیم .

#### ۶ - گزاره

ابتدا یک دستگاه مرکب از یک ذره بدون اسپین را که تحت تأثیر یک پتانسیل نرداری است در نظر بگیرید . در این مورد :

بعملان  $r(x, y, z)$  ذره مشاهده‌پذیر  $R(X, Y, Z)$  و بمانداره حرکت  $P(P_x, P_y, P_z)$  ای آن مشاهده‌پذیر  $p(p_x, p_y, p_z)$  وابسته است.

یادآور می‌شویم که مولفهای  $R$  و  $P$  در روابط جابجایی پذیری زیرصدق می‌کند  
فصل دوم، معادلات (E - ۳۰) :

$$\begin{aligned} [R_i, R_j] &= [P_i, P_j] = 0 \\ [R_i, P_j] &= i\hbar \delta_{ij} \end{aligned} \quad (B - ۳۲)$$

هرگیت فیزیکی  $\mathcal{A}$  مربوط به این ذره بر حسب متغیرهای دینامیکی بنیادی  $r$  و  $p$  بیان می‌شود:  $\mathcal{A}(r, p, t)$ . برای بدست آوردن مشاهده‌پذیر متناظر  $A$ ، کافی است در عبارت مربوط به  $\mathcal{A}(r, p, t)$ ، متغیرهای  $r$  و  $p$  را توسط مشاهده‌پذیرهای  $R$  و  $P$  جایگزین کنیم \*:

$$A(t) = \mathcal{A}(R, P, t) \quad (B - ۳۴)$$

لیکن، این روش عمل، معمولاً، مبهم است. به عنوان مثال فرض کنید که در  $\mathcal{A}(r, p, t)$  جمله‌ای به صورت زیر وجود داشته باشد:

$$r \cdot p = xp_x + yp_y + zp_z \quad (B - ۳۵)$$

در مکانیک کلاسیک حاصل ضرب نداری  $r \cdot p$  جابجایی پذیر است، به صورت:

$$p \cdot r = p_x x + p_y y + p_z z \quad (B - ۳۶)$$

نیز می‌تواند نوشته شود. اما وقتی  $r$  و  $p$  را توسط مشاهده‌پذیرهای  $R$  و  $P$  مربوط جایگزین کنیم، عملگرهای که از (B - ۳۵) و (B - ۳۶) بدست می‌آیند یکسان نیستند. رک روابط :

$$R \cdot P \neq P \cdot R \quad (B - ۳۷)$$

علاوه بر  $R$  و  $P$  هیچ‌کدام هرمیتی نیستند:

\* رک تعریف تابعی از یک عملگر، در مکمل  $B_{II}$

$$(\mathbf{R} \cdot \mathbf{P})^{\dagger} = (XP_x + YP_y + ZP_z)^{\dagger} = \mathbf{P} \cdot \mathbf{R} \quad (B-38)$$

از این رو، باید به اصول موضوع قبل یک قاعده متقارن سازی افزوده شود. به عنوان مثال، مشاهده پذیر وابسته به  $p$ ،  $r$  خواهد بود:

$$\frac{1}{2}(\mathbf{R} \cdot \mathbf{P} + \mathbf{P} \cdot \mathbf{R}) \quad (B-39)$$

که درواقع، هرمتی است. برای مشاهده پذیری که از  $\mathbf{P} \cdot \mathbf{R}$  پیچیده‌تر است متقارن سازی مشابهی باید انجام شود.

مشاهده پذیر  $A$  وابسته به یک کمیت فیزیکی  $\alpha$  که از نظر کلاسیکی تعریف شده است، با جایگزین کردن  $\mathbf{r}$  و  $\mathbf{p}$ ، در عبارتی که به طور متناسبی برای  $\alpha$  شده است، به ترتیب توسط مشاهده پذیرهای  $\mathbf{R}$  و  $\mathbf{P}$  به دست می‌آید.

ولی خواهیم دید که کمیتهای فیزیکی کوانتومی‌ای وجود دارد که هیچ معادل کلاسیکی ندارند و ازینرو مستقیماً "توسط مشاهده پذیرهای مربوطه‌شان" تعریف می‌شوند [۷] به عنوان مثال، اسپین ذره یکی ازین موارد است.

### گوشزد:

قواعد اخیر، و بخصوص قواعد جایجایی پذیری (B-33)، فقط در مختصات دکارتی معتبرند. می‌توان آنها را به سایر دستگاههای مختصات تعمیم داد، اما، دیگر آن شکل ساده فوق را ندارند.

### ۶- مثالهای مهم

#### ۶- هامیلتونی یک ذره در یک پتانسیل نرداری

یک ذره (بدون اسپین) با بار  $q$  و جرم  $m$  را که در یک میدان الکترویکی مشتق از یک پتانسیل نرداری ( $U$ ) قرار دارد، درنظر بگیرید. بنابراین انرژی پتانسیل ذره برابر  $V(r) = qU(r)$  است، و هامیلتونی کلاسیکی مربوط به صورت:

$$\mathcal{H}(r, p) = \frac{p^2}{2m} + V(r) \quad (B-40)$$

با :

$$p = m \frac{dr}{dt} = mv \quad (B-41)$$

نوشته می شود که در آن  $v$  سرعت ذره است  $\vec{r}$  پیوست ۳، فرمول (۲۹) [۷] :

درساختن عملگر کوانتومی  $H$  متناظر با هیچ اشکالی بیش نمی آید. به هیچگونه مقارن سازی ای احتیاج نیست، زیرا هیچ یک از عملگرهای  $P_x^2 + P_y^2 + P_z^2$  و  $V(R)$  شامل حاصلضربهای از عملگرهای جابجاشی ناپذیر نیستند. بنابراین داریم:

$$H = \frac{P^2}{2m} + V(R) \quad (B-42)$$

$V(R)$  عملگری است که از جایگزین کردن  $r$  توسط  $R$  در  $V(r)$  بدست آمده است

( رک مکمل  $B_{II}$  ، بخش ۴ ) .

در این مورد بخصوص، معادله شرودینگر، که در اصل موضوع ششم داده شده است، به صورت زیر در می آید :

$$i\hbar \frac{d}{dt} |\psi(t)\rangle = \left[ \frac{P^2}{2m} + V(R) \right] |\psi(t)\rangle \quad (B-43)$$

$\beta$  - هامیلتونی یک ذره در یک پتانسیل برداری

حال اگر ذره را در یک میدان الکترومغناطیسی دلخواه قرار دهیم، هامیلتونی کلاسیکی به صورت زیر در می آید [ پیوست ۳، رابطه (۶۶) ] :

$$\mathcal{H}(r, p) = \frac{1}{2m} [p - qA(r, t)]^2 + qU(r, t) \quad (B-44)$$

که در آن  $U(r, t)$  و  $A(r, t)$  پتانسیلهای نرداری و برداری ای هستند که میدان الکترومغناطیسی را توصیف می کنند و  $p$  با رابطه زیر داده می شود :

$$p = m \frac{dr}{dt} + qA(r, t) = mv + qA(r, t) \quad (B-45)$$

در اینجا نیز، چون  $A(r, t)$  فقط به  $r$  و فراستنج  $t$  ( و نه به  $p$  ) بستگی دارد،

ساختن عملگر کوانتومی متناظر با  $A(R, t)$  مشکلی ایجاد نمی‌کند، در این صورت عملگر هامیلتونی  $H$  به صورت زیر داده می‌شود:

$$H(t) = \frac{1}{2m} [P - qA(R, t)]^2 + V(R, t) \quad (B-46)$$

که در آن:

$$V(R, t) = q U(R, t) \quad (B-47)$$

و معادله شرودینگر به صورت زیر نوشته می‌شود:

$$i\hbar \frac{d}{dt} |\psi(t)\rangle = \left\{ \frac{1}{2m} [P - qA(R, t)]^2 + V(R, t) \right\} |\psi(t)\rangle \quad (B-48)$$

گوشزد:

باید دقت شود تا  $P$  (تکانه ذره، که تکانه همیوغ  $\mathbf{r}$  نیز نامیده می‌شود) یا (تکانه مکانیکی ذره) اشتباہ نشود؛ تفاوت بین این دوگمیت بوضوح در (B-45) ظاهر می‌شود، البته، در مکانیک کوانتومی برای سرعت ذره عملگری وجود دارد که در اینجا به صورت زیر نوشته می‌شود:

$$\mathcal{V} = \frac{1}{m} (P - qA) \quad (B-49)$$

در این صورت  $H$  توسط رابطه زیر داده می‌شود:

$$H(t) = \frac{1}{2} m \mathcal{V}^2 + V(R, t) \quad (B-50)$$

برابر با مجموع دو جمله است، یکی مربوط به انرژی جنبشی ذره و دیگری مربوط به انرژی پتانسیل آن.

لیکن، این تکانه همیوغ  $P$  است و نه تکانه مکانیکی  $m\mathcal{V}$  که در مکانیک کوانتومی به عملگر  $P$  که ذر روابط جایجایی پذیری بددادی (B-32) صدق می‌کند، تبدیل می‌شود.

C. تعبیر فیزیکی اصول موضوع مربوط به مشاهده‌پذیرها و اندازه‌گیری آنها

ا - قواعد کوانتش با تعبیر احتمالاتی تابع موج سازگار است.

طبیعی است که مشاهده‌پذیرهای  $R$  و  $P$  را، که عمل آنها در بخش E از فصل دوم تعریف شد، بهمکان و تکانه یک ذره وابسته کنیم. قبل از هرچیز، هریک از مشاهده‌پذیرهای  $X$ ،  $Y$ ،  $Z$ ،  $p_x$ ،  $p_y$ ،  $p_z$  دارای یک طیف پیوسته‌اند، و درواقع، تجربه نشان می‌دهد که برای شش متغیر مکان و تکانه تمام مقادیر حقیقی امکان پذیر هستند. علاوه بر این، خواهیم دید که اعمال اصل موضوع چهارم بهمورد این متغیرها مرا قادر می‌سازد تا تعبیر احتمالاتی تابع موج و هم‌چنین تعبیر احتمالاتی تبدیل فوریه آن را از نو بدست آوریم (رک بخش‌های C-۲ و B-۲ از فصل اول).

برای سهولت، مسأله یک بعدی را در نظر بگیریم. اگر ذره در حالت بهنجارشده باشد، احتمال اینکه یک اندازه‌گیری از مکان آن نتیجه‌ای بین  $x$  و  $x + dx$  بدهد برابر است با [فرمول (B-۱۲)] :

$$d\mathcal{P}(x) = |\langle x | \psi \rangle|^2 dx \quad (C-1)$$

که در آن  $\langle x |$  عبارت است از ویژه کت  $x$  با ویژه مقدار  $x$ . بازدیگر ملاحظه می‌کنیم که قدر مطلق تابع موج  $|\psi(x)\rangle$  عبارت است از چگالی احتمال مکان ذره، حال، با ویژه بودار  $\langle p |$  مشاهده‌پذیر  $p$  موج تخت :

$$\langle x | p \rangle = \frac{1}{\sqrt{2\pi\hbar}} e^{\frac{ipx}{\hbar}} \quad (C-2)$$

منتظر است و قبلاً "در بخش C-۲ از فصل اول" دیدیم که روابط دوبروی بین موج یک تکانه‌کامل "معین که دقیقاً" برابر  $p$  است، وابسته می‌کنند. بعلاوه، برای یک ذره در حالت  $|\psi\rangle$ ، احتمال یافتن تکانه‌ای بین  $p$  و  $p + dp$  برابر است با :

$$d\mathcal{P}(p) = |\langle p | \psi \rangle|^2 dp = |\psi(p)|^2 dp \quad (C-3)$$

این، در واقع همان چیزی است که در بخش C-۲ از فصل اول بدست آور迪م.

## ۳- کوانتش بعضی از کمیتها فیزیکی

همان طوری که قبلاً "خاطرنشان کردیم، اصل موضوع سوم ما را قادر می‌سازد تا کوانتش مشاهده شده برای بعضی از کمیتها، نظری انرژی آنها، را تشریح کنیم. اما این مطلب بدان معنی نیست که تمام کمیتها کوانتومی هستند، زیرا مشاهده پذیرهای وجود دارند که طیف آنها پیوسته است. بنابراین، پیش‌بینی‌های فیزیکی ای که براساس اصل موضوع سوم بنا شده‌اند، هرگز از پیش مسلم نیستند. به عنوان مثال، وقتی اتم هیدروژن را مطالعه می‌کنیم (فصل هفتم)، از انرژی کل الکترون در پتانسیل کولمی بروتون، که از آن عملکرها می‌توانیم را استنتاج می‌کنیم، شروع خواهیم کرد. با حل معادله ویژه مقادیر آن، خواهیم دید که حالت‌های مقید دستگاه فقط می‌توانند متناظر با چند انرژی گستره، که بعداً محاسبه خواهیم کرد، باشند. بهاین ترتیب نه تنها کوانتش ترازهای اتم هیدروژن را تشریح خواهیم کرد، بلکه مقادیر ممکن انرژی را که می‌توان بطور تجربی اندازه‌گیری کرد پیش‌بینی خواهیم کرد. این مطلب را مورد تأکید قرار می‌دهیم که این نتایج با استفاده از همان قانون بنیادی برهم‌کنش که در مکانیک کلاسیک درگستره ماقروسکوپی بـهـکارـمـی روـد بمدست خواهد آمد.

## ۴- غراییند اندازه‌گیری

اصول موضوع چهارم و پنجم چند مساله اساسی مطرح می‌کند که ما آنها را در اینجا بررسی خواهیم کرد. از آن جمله است، مساله اختشاش "بنیادی" که در مشاهده یک دستگاه کوانتومی (ر ک فصل اول، بخش‌های ۲-A و ۳-A) وارد می‌شود. منشاء این مسائل در این واقعیت نهفته است که دستگاه مورد بررسی مستقل از وسیله اندازه‌گیری در نظر گرفته می‌شود، حال آنکه بر هم کنش این وسایل در فرایند مشاهده مهم است. در واقع باید دستگاه و وسیله اندازه‌گیری را با هم یکجا در نظر بگیریم. این امر، مسائل حساسی را در رابطه با جزئیات فرایند اندازه‌گیری پیش می‌آورد.

بماشیات این مطلب که فرمول بندی غیرجبری اصول موضوع چهارم و پنجم به مسائلی که در بالا مطرح کردیم، مربوط می‌شود، بسنده می‌کنیم. به عنوان مثال، تغییر ناگهانی از یک سردار حالت پذیردار حالت دیگر که از اندازه‌گیری ناشی می‌شود، متناظر است با اختشاش بنیادی ای که در بارها صحبت کردیم. اما غیر ممکن است پیش‌بینی کنیم که این اختشاش چه خواهد بود، زیرا به نتیجه اندازه‌گیری بستگی دارد و ما آنرا از

قبل با قطعیت نمی‌دانیم\*.

در اینجا فقط اندازه‌گیریهای ایده‌آل را در نظر خواهیم گرفت. برای درک این مفهوم، به عنوان مثال، بمحضه<sup>۳</sup> بخش ۳-A از فصل اول درباره فوتونهای قطبی شده برمی‌گردیم. واضح است که وقتی می‌پذیریم که تمام فوتونهایی که در یک جهت معین قطبی شده‌اند از تجزیه‌گر غیور می‌کنند، تجزیه‌گر را کامل فرض می‌کنیم، در عمل مسلماً، این تجزیه‌گر بعضی از فوتونهایی را که باید از خود غبور دهد نیز جذب می‌کند. از این رو، در مورد عام فرض خواهیم کرد که وسائل اندازه‌گیری به کار رفته کامل هستند: این بدان معنی است که فرض کنیم که اغتشاشی که ایجاد می‌کنند فقط ناشی از جنبه‌های مکانیک کوانتمومی اندازه‌گیری است، البته، وسائلی که عمل<sup>۴</sup> می‌توان ساخت همیشه نواقصی دارند که در اندازه‌گیری و در دستگاههایی که آنها را متواالیاً اصلاح کرد و به این ترتیب به حد ایده‌آل تعریف شده توسط اصول موضوعی که بیان کردیم رسید.

#### ۴- مقدار متوسط یک مشاهده‌پذیر در یک حالت معین

پیش‌بینی‌های حاصل از اصل موضوع چهارم بر حسب احتمالات بیان شده‌اند. برای اثبات آنها، لازم است که آزمایش‌های زیادی در شرایط یکسان انجام دهیم. یعنی، باید یک کمیت را در تعداد زیادی از دستگاههایی که همگی در یک حالت کوانتمومی قرار دارند اندازه‌گیری کنیم. اگر این پیش‌بینی‌ها درست باشد، بایستی درصدی از  $N$  آزمایش یکسانی که به یک نتیجه معین منجر می‌شوند، وقتی  $\infty \rightarrow N$ ، بهست احتمال  $\mathcal{P}_i$  این نتیجه که توسط تئوری پیش‌بینی شده است، میل کند. یک چنین تحقیقی فقط می‌تواند در حدی که  $\infty \rightarrow N$  انجام شود، مسلماً در عمل  $N$  محدود است، و باید برای تعبیر نتایج از روش‌های آماری استفاده کرد.

مقدار متوسط مشاهده‌پذیر<sup>۵</sup> را در حالت  $\langle \psi |$ ، که آنرا با  $\langle A |$ ، یا به طور ساده‌تر، با  $\langle A \rangle$  نشان خواهیم داد، به مرور می‌انگیزیم نتایج به دست آمده، وقتی که تعداد زیادی اندازه‌گیری از این مشاهده‌پذیر روی دستگاههایی که همگی در حالت  $\langle \psi |$

\* "مسلسلما" بجز در مردمی که مطمئن هستیم چه نتیجه‌ای به دست خواهد آمد (احتمال برابر ۱: اندازه‌گیری حالت سیستم را تغییر نمی‌دهد).

\*\* ازین به بعد کلمه "مشاهده‌پذیر" را هم برای کمیت فیزیکی و هم برای عملگر وابسته به آن به کار خواهیم برد.

قرار دارند انجام شود ، تعریف می‌کنیم . وقتی  $\langle \psi | A | \psi \rangle$  معلوم باشد ، احتمالهای یافتن همه نتایج ممکن معلوم است . بنابراین مقدار متوسط  $\langle A \rangle$  می‌تواند پیش‌بینی شود . نشان خواهیم داد که اگر  $\langle \psi | \text{بهنجار شده باشد} , \langle A \rangle$  توسط فرمول زیر داده می‌شود :

$$\langle A \rangle_{\psi} = \langle \psi | A | \psi \rangle \quad (C-4)$$

ابتدا موردی را در نظر بگیرید که در آن تمام طیف  $A$  گستته باشد . از میان  $N$  اندازه‌گیری  $A$  (در هر اندازه‌گیری ، دستگاه در حالت  $\langle \psi |$  است ) ،  $\mathcal{N}(a_n)$  مرتبه ویژه مقدار  $a_n$  به دست می‌آید ، بمطوری که :

$$\frac{\mathcal{N}(a_n)}{N} \xrightarrow{n \rightarrow \infty} \mathcal{P}(a_n) \quad (C-5)$$

و

$$\sum_n \mathcal{N}(a_n) = N \quad (C-6)$$

مقدار متوسط نتایج این  $N$  آزمایش برابر است با جمع مقادیر پیدا شده تقسیم بر  $N$  ( وقتی  $\mathcal{N}$  آزمایش یک نتیجه را بدشت ، مسلماً "این نتیجه" بر با در جمع ظاهر می‌شود ) . و بنابراین برابر است با :

$$\frac{1}{N} \sum_n a_n \mathcal{N}(a_n) \quad (C-7)$$

با استفاده از (C-5) ، ملاحظه می‌کنیم که وقتی  $\infty \rightarrow N$  ، این مقدار متوسط به سمت مقدار زیر میل می‌کند .

$$\langle A \rangle_{\psi} = \sum_n a_n \mathcal{P}(a_n) \quad (C-8)$$

حال ، به جای  $(a_n)$  عبارت (C-7) را قرار دهیم :

$$\langle A \rangle_{\psi} = \sum_n a_n \sum_{i=1}^{g_n} \langle \psi | u_n^i \rangle \langle u_n^i | \psi \rangle \quad (C-9)$$

چون داریم :

$$A | u_n^i \rangle = a_n | u_n^i \rangle \quad (C-10)$$

رابطه (C-9) را می‌توان به صورت زیر نوشت :

$$\begin{aligned}\langle A \rangle_{\psi} &= \sum_n \sum_{i=1}^{g_n} \langle \psi | A | u_n^i \rangle \langle u_n^i | \psi \rangle \\ &= \langle \psi | A \left[ \sum_n \sum_{i=1}^{g_n} | u_n^i \rangle \langle u_n^i | \right] | \psi \rangle\end{aligned}\quad (C-11)$$

چون  $\{|u_n^i\rangle\}$  در فضای  $\mathcal{H}$  یک پایه راست هنجار تشکیل می‌دهند، عبارت داخل کروشه برابر است با عملگر همانندی (رابطه بستاری)، و بدین ترتیب فرمول (C-4) به دست می‌آید.

برای موردی که طیف  $A$  پیوسته باشد (برای سهولت، باز هم فرض می‌کنیم که ناتبیهگن باشد) استدلال کاملاً مشابه است.  $N$  آزمایش یکسان در نظر بگیرید، و تعداد آزمایش‌های را که نتیجه‌ای بین  $\alpha$  و  $d\alpha + d\alpha'$  می‌دهند،  $d\mathcal{N}(\alpha)$  بنامید. بطور مشابه، داریم:

$$\frac{d\mathcal{N}(\alpha)}{N} \xrightarrow[N \rightarrow \infty]{} d\mathcal{P}(\alpha) \quad (C-12)$$

مقدار متوسط نتایج بدست آمده برابر است با  $\frac{1}{N} \int \alpha d\mathcal{N}(\alpha)$ ، که وقتی  $N \rightarrow \infty$ ، به سمت مقدار زیر میل می‌کند.

$$\langle A \rangle_{\psi} = \int \alpha d\mathcal{P}(\alpha) \quad (C-13)$$

در (C-13) به جای  $d\mathcal{P}(\alpha)$  مقدار آن را از (B-17) می‌گذاریم:

$$\langle A \rangle_{\psi} = \int \alpha \langle \psi | v_{\alpha} \rangle \langle v_{\alpha} | \psi \rangle d\alpha \quad (C-14)$$

می‌توانیم از معادله

$$A |v_{\alpha}\rangle = \alpha |v_{\alpha}\rangle \quad (C-15)$$

استفاده کنیم و (C-14) را به صورت زیر بتویسیم:

$$\begin{aligned}\langle A \rangle_{\psi} &= \int \langle \psi | A | v_{\alpha} \rangle \langle v_{\alpha} | \psi \rangle d\alpha \\ &= \langle \psi | A \left[ \int d\alpha |v_{\alpha}\rangle \langle v_{\alpha}| \right] | \psi \rangle\end{aligned}\quad (C-16)$$

با استفاده از رابطه بستاری که برای حالت  $|v_{\alpha}\rangle$  برقرار است، بار دیگر فرمول (C-4) بدست می‌آید.

## گوشدها :

(i)  $\langle A \rangle_\psi = \frac{\langle \psi | A | \psi \rangle}{\langle \psi | \psi \rangle}$  ، میانگین روی یک دسته آزمایشات یکسان، نبایستی با میانگین‌های زمانی که گاهی، وقتی با پدیده‌های وابسته به زمان سروکار داریم، گرفته می‌شود، اشتباه شود.

(ii) اگر کت  $\langle \psi |$  که معرف حالت دستگاه است بهنجار شده نباشد، فرمول (C-۴) به صورت زیر نوشته می‌شود [ رک گوشزد (i) از بخش b - ۳ - B ] :

$$\langle A \rangle_\psi = \frac{\langle \psi | A | \psi \rangle}{\langle \psi | \psi \rangle} \quad (C-17)$$

(iii) در عمل، برای محاسبه ضریح  $\langle A \rangle$ ، غالباً "از یک نمایش بخصوص استفاده می‌کنیم به عنوان مثال، با استفاده از تعریف عملگر  $X$  [ رک فصل دوم، روابط E-۲۲ ] داریم :

$$\begin{aligned} \langle X \rangle_\psi &= \langle \psi | X | \psi \rangle \\ &= \int d^3r \langle \psi | r \rangle \langle r | X | \psi \rangle \\ &= \int d^3r \psi^*(r) x \psi(r) \end{aligned} \quad (C-18)$$

همین طور:

$$\begin{aligned} \langle P_x \rangle_\psi &= \langle \psi | P_x | \psi \rangle \\ &= \int d^3p \bar{\psi}^*(p) p_x \bar{\psi}(p) \end{aligned} \quad (C-19)$$

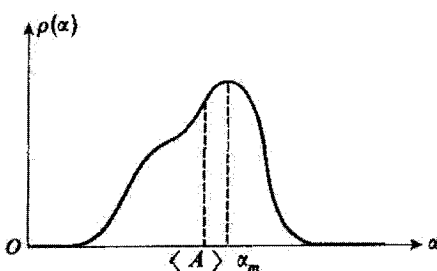
یا، با بکاربردن نمایش  $\{ |r \rangle \}$  :

$$\begin{aligned} \langle P_x \rangle_\psi &= \int d^3r \langle \psi | r \rangle \langle r | P_x | \psi \rangle \\ &= \int d^3r \psi^*(r) \left[ \frac{\hbar}{i} \frac{\partial}{\partial x} \psi(r) \right] \end{aligned} \quad (C-20)$$

زیرا در این صورت  $P$  توسط  $\nabla \frac{\hbar}{i}$  نمایش داده می‌شود [ فرمول (E-۲۶) از فصل دوم ] .

## ۵- ریشه میانگین مربعی انحراف

$\langle A \rangle$  مرتبه بزرگی مقادیر مشاهده پذیر  $A$  را وقتی دستگاه در حالت  $|\psi\rangle$  باشد، نشان می‌دهد. اما، این مقدار متوسط هیچ ایده‌ای از پاشیدگی‌ای که در اندازه‌گیری  $A$  انتظار داریم بهم نمی‌دهد. به عنوان مثال، فرض کنید که طیف  $A$  پیوسته باشد و برای یک حالت معین  $|\psi\rangle$ ، منحنی تغییرات چالی احتمال  $|\psi\rangle$   $\rho(\alpha) = |\langle \psi | v_\alpha | \psi \rangle|^2$  نسبت به  $\alpha$ ، بهصورت شکل ۲ باشد. برای یک دستگاه در حالت  $|\psi\rangle$ ، تقریباً تمام مقادیری که می‌توانند در اندازه‌گیری  $A$  بدست آیند در بازه‌ای بهمراه  $\delta A$  که شامل  $\langle A \rangle$  است قرار دارند، که کمیت  $A$  پهنانی منحنی را مشخص می‌کند: هرچه  $\delta A$  کوچکتر باشد، نتایج اندازه‌گیری بیشتر حول  $\langle A \rangle$  متصرک خواهد بود.



شکل ۲

تغییرات چالی احتمال  $\rho(\alpha)$  نسبت به  $\alpha$ . مقدار متوسط  $\langle A \rangle$  عبارت است از طول گرانیگاه سطح زیر منحنی (که لزوماً "بر طول" مانگزیسم تابع منطبق نیست).

چگونه می‌توانیم، به طریقی عام، کمیتی تعریف کنیم که پاشیدگی نتایج اندازه‌گیری را حول  $\langle A \rangle$  مشخص کند؟ ممکن است روش زیر را مورد بررسی قرار دهیم: برای هر اندازه‌گیری اختلاف بین مقدار بدست آمده و  $\langle A \rangle$  را محاسبه می‌کنیم، سپس با جمع کردن این مقادیر و تقسیم آنها بر  $N$ ، میانگین این انحرافات را محاسبه کنیم. اما، بفاسانی می‌توان دید که نتیجه بدست آمده صفر خواهد بود، آشکارا داریم:

$$\langle A - \langle A \rangle \rangle = \langle A \rangle - \langle A \rangle = 0 \quad (C-21)$$

بنا به تعریف  $\langle A \rangle$ ، میانگین انحرافات منفی دقیقاً با میانگین انحرافات مثبت برابر می‌کند.

برای اجتناب از این برابری، کافی است  $\Delta A$  را طوری تعریف کنیم که  $(\Delta A)^2$  متوسط مربع انحرافات باشد:

$$(\Delta A)^2 = \langle (A - \langle A \rangle)^2 \rangle \quad (C-22)$$

بنابراین، ریشه میانگین مربعی انحراف  $\Delta A$  را بصورت زیر تعریف می‌کنیم:

$$\Delta A = \sqrt{\langle (A - \langle A \rangle)^2 \rangle} \quad (C-23)$$

در این صورت، با استفاده از مقدار متوسط داده شده در (C-۴)، داریم:

$$\Delta A = \sqrt{\langle \psi | (A - \langle A \rangle)^2 | \psi \rangle} \quad (C-24)$$

این رابطه می‌تواند با اندک تفاوتی به صورت دیگر نیز نوشته شود:

$$\begin{aligned} \langle (A - \langle A \rangle)^2 \rangle &= \langle (A^2 - 2\langle A \rangle A + \langle A \rangle^2) \rangle \\ &= \langle A^2 \rangle - 2\langle A \rangle^2 + \langle A \rangle^2 \\ &= \langle A^2 \rangle - \langle A \rangle^2 \end{aligned} \quad (C-25)$$

به این ترتیب ریشه میانگین مربعی انحراف توسط رابطه زیر نیز داده می‌شود:

$$\Delta A = \sqrt{\langle A^2 \rangle - \langle A \rangle^2} \quad (C-26)$$

به عنوان مثال، در مورد طیف پیوسته مشاهده پذیر  $A$  که در بالا در نظر گرفتیم، به صورت زیر داده می‌شود.

$$\begin{aligned} (\Delta A)^2 &= \int_{-\infty}^{+\infty} [\alpha - \langle A \rangle]^2 \rho(\alpha) d\alpha \\ &= \int_{-\infty}^{+\infty} \alpha^2 \rho(\alpha) d\alpha - \left[ \int_{-\infty}^{+\infty} \alpha \rho(\alpha) d\alpha \right]^2 \end{aligned} \quad (C-27)$$

اگر تعریف (C-۲۳) به مشاهده‌پذیرهای  $R$  و  $P$  اعمال شود، می‌توان با استفاده از روابط جابجایی آنها، نشان داد (مکمل  $C_{III}$ ) که برای هر حالت  $\langle \psi |$ ، داریم:

$$\begin{cases} \Delta X \cdot \Delta P_x \geq \hbar/2 \\ \Delta Y \cdot \Delta P_y \geq \hbar/2 \\ \Delta Z \cdot \Delta P_z \geq \hbar/2 \end{cases} \quad (C-28)$$

به عبارت دیگر، مجدداً "روابط عدم قطعیت هایزنترگ" را به دست می‌آوریم، اما با حد پائین دقیق، که از تعریف دقیق عدم قطعیت‌ها ناشی می‌شود،

## ۶ - سازگاری مشاهده‌پذیرها

a - سازگاری و قواعد جابجایی پذیری

دو مشاهده‌پذیر جابجایی پذیر  $A$  و  $B$  در نظر بگیرید :

$$[A, B] = 0 \quad (C-29)$$

برای سهولت فرض خواهیم کرد که طیفهای هردو گستته باشند. برطبق قضیه‌ای که دربخش a-۳ از فصل دوم ثابت کردیم، پایهای از فضای حالت وجود دارد که از ویژه کتهای مشترک  $A$  و  $B$  تشکیل شده است، و ما آنرا با  $|a_n, b_p, i\rangle$  نمایش خواهیم داد:

$$\begin{aligned} A |a_n, b_p, i\rangle &= a_n |a_n, b_p, i\rangle \\ B |a_n, b_p, i\rangle &= b_p |a_n, b_p, i\rangle \end{aligned} \quad (C-30)$$

(نماد) بهما امکان می‌دهد تا، درصورت لزوم، بردارهای مختلف متناظر با یک زوج ویژه مقدار را از یکدیگر تمایز سازیم. بنابراین، برای هر  $a_n$  و  $b_p$  (که بهترتبیب در طیفهای  $A$  و  $B$  انتخاب شده‌اند)، حداقل یک حالت  $|a_n, b_p, i\rangle$  وجود دارد، که در آن اندازه‌گیری  $A$  همواره  $a_n$  و اندازه‌گیری  $B$  همواره  $b_p$  را بدست می‌دهد. یک چنین دو مشاهده‌پذیر  $A$  و  $B$  را که می‌توانند بهطور همزمان تعیین شوند، سازگار می‌گوئیم.

از طرف دیگر، اگر  $A$  و  $B$  جابجایی پذیر نباشد، یک حالت عموماً "نمی‌تواند" یک ویژه بردار همزمان این دو مشاهده‌پذیر باشد. این دو مشاهده‌پذیر را ناسازگار می‌گوئیم.

اگرورا اندازه‌گیری دو مشاهده‌پذیر سازگار را روی دستگاهی که ابتدا در یک حالت دلخواه (بهنجارشده)  $|\psi\rangle$  قرار دارد، دقیق‌تر بررسی کنیم. این حالت همواره می‌تواند بهصورت زیر نوشته شود:

$$|\psi\rangle = \sum_{n,p,i} c_{n,p,i} |a_n, b_p, i\rangle \quad (C-31)$$

فرض کنید که اول  $A$  را اندازه‌بگیریم و سپس بلافارسله  $B$  را (قبل از اینکه دستگاه مجال تحول داشته باشد). حال احتمال  $\mathcal{P}(a_n, b_p)$  ی یافتن  $a_n$  در اندازه‌گیری اول و  $b_p$

\* ممکن است بعضی از کتهای بهطور همزمان ویژه بردارهای  $A$  و  $B$  باشند، اما تعداد آنها آنقدر تکاهد بود که، مثل موردی که  $A$  و  $B$  جابجایی پذیر هستند، یک پایه تشکیل دهند.

در اندازه‌گیری دوم را محاسبه کنیم، ابتدا  $A$  را در حالت  $\psi$  | اندازه‌گیری می‌کنیم، بنابراین احتمال یافتن  $a_n$  برابر است با:

$$\mathcal{P}(a_n) = \sum_{p,i} |c_{n,p,i}|^2 \quad (C-32)$$

وقتی پس از آن  $B$  را اندازه‌گیری کنیم، دستگاه دیگر در حالت  $\psi$  نیست بلکه، اگرنتیجه  $a_n$  را به دست آورده باشیم، در حالت  $\psi'$  خواهد بود:

$$|\psi'_n\rangle = \frac{1}{\sqrt{\sum_{p,i} |c_{n,p,i}|^2}} \sum_{p,i} c_{n,p,i} |a_n, b_p, i\rangle \quad (C-33)$$

از این رو احتمال یافتن  $b_p$ ، وقتی بدانیم که اندازه‌گیری اول  $a_n$  را داده است، برابر است با:

$$\mathcal{P}_n(b_p) = \frac{1}{\sum_{p,i} |c_{n,p,i}|^2} \sum_i |c_{n,p,i}|^2 \quad (C-34)$$

احتمال  $\mathcal{P}(a_n, b_p)$  متناظر است با یک "واقعه مرکب": برای اینکه در مورد مساعدی قرار داشته باشیم، باید ابتدا  $a_n$  را به دست آوریم و سپس، با ارضاء کردن این شرط اول،  $b_p$  را پیدا کنیم. در نتیجه:

$$\mathcal{P}(a_n, b_p) = \mathcal{P}(a_n) \times \mathcal{P}_n(b_p) \quad (C-35)$$

با قرار دادن عبارتها (C-32) و (C-34) در این رابطه، خواهیم یافت:

$$\mathcal{P}(a_n, b_p) = \sum_i |c_{n,p,i}|^2 \quad (C-36)$$

علاوه، حالت دستگاه، بلا فاصله پس از اندازه‌گیری دوم، به شکل زیر درمی‌آید:

$$|\psi''_{n,p}\rangle = \frac{1}{\sqrt{\sum_i |c_{n,p,i}|^2}} \sum_i c_{n,p,i} |a_n, b_p, i\rangle \quad (C-37)$$

بنابراین اگر بخواهیم مجدداً  $A$  یا  $B$  را اندازه‌گیری کنیم نتیجه اندازه‌گیری برای  $a_n$  یا  $b_p$  ما مسلم است:  $\langle \psi''_{n,p} |$  یک ویژه بودار مشترک  $A$  و  $B$  با ویژه مقدارهای  $a_n$  و  $b_p$  است.

حال به دستگاه در حالت  $\psi$  بروگردیم، و این دو مشاهده‌پذیر را به ترتیب عکس

اندازه‌گیری کنیم (ابتدا  $B$  و سپس  $A$ ) . احتمال  $\mathcal{P}(b_p, a_n)$  برای یافتن همان نتایج قبلی چقدر است؟ استدلال یکسان است، دراینجا داریم:

$$\mathcal{P}(b_p, a_n) = \mathcal{P}(b_p) \times \mathcal{P}_{b_p}(a_n) \quad (C-38)$$

از (C-31) مشاهده می‌کنیم که:

$$\mathcal{P}(b_p) = \sum_{n,i} |c_{n,p,i}|^2 \quad (C-39)$$

و بعد از یک اندازه‌گیری  $B$  که  $b_p$  را می‌دهد، حالت دستگاه می‌شود:

$$|\psi'_p\rangle = \frac{1}{\sqrt{\sum_{n,i} |c_{n,p,i}|^2}} \sum_{n,i} c_{n,p,i} |a_n, b_p, i\rangle \quad (C-40)$$

بنابراین:

$$\mathcal{P}_{b_p}(a_n) = \frac{1}{\sum_{n,i} |c_{n,p,i}|^2} \sum_i |c_{n,p,i}|^2 \quad (C-41)$$

و بالاخره:

$$\mathcal{P}(b_p, a_n) = \sum_i |c_{n,p,i}|^2 \quad (C-42)$$

اگر در واقع اول  $b_p$  و سپس  $a_n$  را به دست آورده باشیم، دستگاه به حالت زیر رفته است:

$$|\psi''_{p,n}\rangle = \frac{1}{\sqrt{\sum_i |c_{n,p,i}|^2}} \sum_i c_{n,p,i} |a_n, b_p, i\rangle \quad (C-43)$$

وقتی دو مشاهده‌پذیر سازگار باشد، پیش‌بینی‌های فیزیکی به ترتیب انجام این دو اندازه‌گیری بستگی ندارند (به شرط اینکه فاصله زمانی بین آن دو به قدر کافی کوچک باشد) . احتمال‌های یافتن نخست  $a_n$  و سپس  $b_p$  یا نخست  $b_p$  و سپس  $a_n$  یکسان است:

$$\mathcal{P}(a_n, b_p) = \mathcal{P}(b_p, a_n) = \sum_i |c_{n,p,i}|^2 = \sum_i |\langle a_n, b_p, i | \psi \rangle|^2 \quad (C-44)$$

علاوه، حالت دستگاه بلا فاصله بعد از این دو اندازه‌گیری (اگر نتایج برای  $A$  و  $B$  به ترتیب  $b_p$  و  $a_n$  باشند) در هر دو مورد عبارت است از:

$$|\psi''_{n,p}\rangle = |\varphi''_{n,p}\rangle = \frac{1}{\sqrt{\sum_i |c_{n,p,i}|^2}} \sum_i c_{n,p,i} |a_n, b_p, i\rangle \quad (C-45)$$

اندازه‌گیری‌های جدید  $A$  یا  $B$  باز هم، بدون چون و چرا، بهمان مقادیر منجر خواهند شد. بعاین ترتیب، بحث تبای بهنتیجه زیر منجر می‌شود: وقتی دومشاهده پذیر  $A$  و  $B$  سازگار باشد، اندازه‌گیری  $B$  باعث کم شدن اطلاعاتی که قبلاً "می‌توانست از اندازه‌گیری  $A$  بدست آید (و بر عکس) نمی‌شود بلکه، بر عکس، به آن می‌افزاید. بنابراین، ترتیب اندازه‌گیری این دومشاهده‌پذیر  $A$  و  $B$  اهمیتی ندارد. نکته اخیر، بعلاوه، ما را قادر می‌سازد تا به اندازه‌گیری همزمان  $A$  و  $B$  بپردازیم. همان طورکه می‌توان از فرمولهای (C-44) و (C-45) دید، اصول موضوع چهارم و پنجم را می‌توان بهمورد یک چنین اندازه‌گیری همزمانی تعمیم داد. با نتیجه،  $\{a_n, b_p\}$ ، ویژه‌بردارهای راست هنجار  $|a_n, b_p, i\rangle$  متناظرند. از این مطلب ملاحظه می‌شود که (C-44) و (C-45) کاربرد هائی از اصول موضوع (B-7) و (B-20) هستند.

از طرف دیگر، اگر  $A$  و  $B$  جابجایی‌پذیر نباشند، استدلالهای قبلی دیگر معتبر نیستند. برای فهم این مطلب به روی ساده، تصور کنید که فضای حالت  $\mathcal{H}$  توسط فضای دو بعدی بردارهای حقیقی جایگزین شده باشد. در شکل ۳، بردارهای  $|u_1\rangle$  و  $|u_2\rangle$  ویژه بردارهای  $A$  با ویژه مقدارهای  $a_1$  و  $a_2$ ،  $|v_1\rangle$  و  $|v_2\rangle$  ویژه بردارهای  $B$  با ویژه مقدارهای  $b_1$  و  $b_2$  هستند. هر کدام از دو مجموعه  $\{|u_1\rangle, |u_2\rangle\}$  و  $\{|v_1\rangle, |v_2\rangle\}$  یک پایه راست هنجار در  $\mathcal{H}$  تشکیل می‌دهند. ازین رو، آنها را در شکل ۳ بوسیله دوزوج برداریکه متعامد نشان می‌دهیم، این واقعیت که  $A$  و  $B$  جابجایی‌پذیر نیستند. می‌رساند که این دوزوج بریکدیگر منطبق نیستند. دستگاه فیزیکی موردنظر ابتدا در حالت بهنجار شده  $|\psi\rangle$ ، که در شکل توسط یک برداریکه دلخواه نشان داده شده است، قرار دارد.  $A$  را اندازه‌گیری می‌کنیم و، به عنوان مثال،  $a_1$  به دست می‌آید، حالت دستگاه به حالت  $|u_1\rangle$  می‌رود. سپس  $B$  را اندازه‌گیری می‌کنیم و، مثلاً،  $b_2$  به دست می‌آید، حالت دستگاه  $|v_2\rangle$  می‌شود:

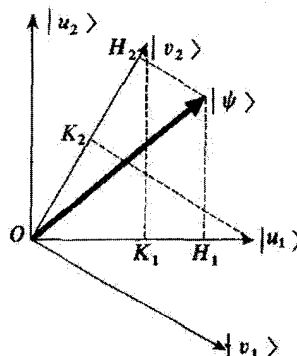
$$|\psi\rangle \xrightarrow{(a_1)} |u_1\rangle \xrightarrow{(b_2)} |v_2\rangle \quad (C-46)$$

اگر، از طرف دیگر، اندازه‌گیرها را به ترتیب عکس انجام دهیم، و همان نتایج به دست آید:

$$|\psi\rangle \xrightarrow{(b_2)} |v_2\rangle \xrightarrow{(a_1)} |u_1\rangle \quad (C-47)$$

حالت نهایی دستگاه در هردو مورد یکسان نیست. همچنین از شکل ۳ می‌بینیم که :

$$\begin{aligned}\mathcal{P}(a_1, b_2) &= |OH_1|^2 \times |OK_2|^2 \\ \mathcal{P}(b_2, a_1) &= |OH_2|^2 \times |OK_1|^2\end{aligned}\quad (C-48)$$



شکل ۳

نمودار وابسته به اندازه‌گیری‌های متواالی دو مشاهده‌پذیر ناسازگار  $A$  و  $B$  بردار حالت سیستم  $\langle \psi |$  است، ویژه بردارهای  $A$  عبارتند از  $|u_1\rangle$  و  $|u_2\rangle$  باویژه مقدارهای  $a_1$  و  $a_2$  (که باویژه بردارهای  $B$ ،  $|v_1\rangle$  و  $|v_2\rangle$  باویژه مقدارهای  $b_1$  و  $b_2$  متفاوتند).

هرچند  $|OH_1| \neq |OH_2|$  و  $|OK_1| = |OK_2|$  و :

$$\mathcal{P}(b_2, a_1) \neq \mathcal{P}(a_1, b_2) \quad (C-49)$$

بنابراین: دو مشاهده‌پذیر ناسازگار نمی‌توانند به طور همزمان اندازه‌گیری شوند. از (C-46) و (C-47) می‌توان دید که اندازه‌گیری دوم باعث می‌شود که اطلاعات فراهم آمده توسط اندازه‌گیری اول از بین برود. اگر، بعنوان مثال، براساس دنباله نشان داده شده در (C-46)،  $A$  را مجدداً اندازه‌گیری کنیم، دیگر نمی‌توانیم از نتیجه اندازه‌گیری مطمئن باشیم زیرا  $|v_2\rangle$  ویژه بردار نیست، بدین ترتیب تمام آنچه که توسط اولین اندازه‌گیری  $A$  بدست آمده بود از بین می‌رود.

۶ - فراهم آوردن یک حالت :

یک دستگاه فیزیکی در حالت  $\langle \psi |$  در نظر بگیریم و مشاهده‌پذیر  $A$  را (که فرض

می‌کنیم طیف آن گسته باشد) اندازه‌گیری کنیم.

اگر این اندازه‌گیری یک ویژه مقدار ناتبهگن  $a_n$  را بدهد، حالت دستگاه بلا فاصله بعد از این اندازه‌گیری ویژه بردار متناظر  $|u_n\rangle$  خواهد بود. دراین مورد، کافی است نتیجه این اندازه‌گیری را بدانیم تا بتوانیم بدون ابهام حالت دستگاه را بعد از این اندازه‌گیری تعیین کنیم، زیرا این حالت به کث اولیه بستگی ندارد. همان طور که قبلاً، در آن خوبخش C - ۳ - B، تذکر دادیم، این امر ناشی از این حقیقت است که  $|u_n\rangle = \frac{c_n}{|c_n|}$  و خود  $|u_n\rangle$  معرف یک حالت فیزیکی هستند.

اگر ویژه مقدار  $a_n$  که در اندازه‌گیری به دست می‌آید تبھگن باشد، این چنین نیست، در گفت:

$$|\psi'_n\rangle = \frac{1}{\sqrt{\sum_i |c_{ni}|^2}} \sum_{i=1}^{g_n} c_{ni}^i |u_i\rangle \quad (C-50)$$

قدر مطلق های ضرائب  $c_{ni}^i$  و فاصلهای نسبی آنها با معنا هستند (بخش ۷ - ۳ - b - B). وقتی حالت اولیه  $|\psi\rangle$  مشخص باشد ضرائب  $c_{ni}^i$  معلوم هستند، بنابراین حالت  $|\psi'\rangle$  بعد از اندازه‌گیری به  $|\psi\rangle$  بستگی دارد.

اما، در بخش a دیدیم که دو مشاهده پذیر سازگار A و B می‌توانند به طور همزمان اندازه‌گیری شوند، اگر نتیجه  $(a_n, b_p)$ . این اندازه‌گیری مرکب فقط با یک ویژه بردار  $|a_n\rangle$  مشترک بین A و B متناظر باشد، در فرمول (C - ۳۷) جمع بندی روی  $\langle$  وجود ندارد و به صورت زیر در می‌آید:

$$|\psi''_{n,p}\rangle = \frac{c_{n,p}}{|c_{n,p}|} |a_n, b_p\rangle \quad (C-51)$$

این حالت از نظر فیزیکی معادل با  $\langle a_n, b_p |$  است. در اینجا نیز، مشخص کردن نتیجه اندازه‌گیری به طور یکتاوی حالت نهایی دستگاه را تعیین می‌کند، که بنابر این، مستقل از کت اولیه  $|\psi\rangle$  است.

اگر به  $(a_n, b_p)$  چندین ویژه بردار  $i$  از A و B وابسته باشد، می‌توانیم، با همان استدلال، در همان زمانی که A و B را اندازه‌گیری می‌کنیم، یک مشاهده پذیر سوم C که با هردوی آنها سازگار است اندازه‌گیری کنیم. بنابراین به نتیجه زیر می‌رسیم: برای اینکه حالت دستگاه بعد از یک اندازه‌گیری به طور یکتاوی توسط نتیجه بدست آمده کاملاً مشخص شود، این اندازه‌گیری باید روی یک مجموعه کامل از مشاهده پذیرهای جابجایی پذیر

انجام گیرد (بخش b-۳-D از فصل دوم) . این خاصیتی است که وارد کردن مفهوم یک م.ک.م.ج. را بهطور فیزیکی توجیه می‌کند.

روشهایی که می‌توان برای فراهم آوردن یک دستگاه در یک حالت کوانتمومی کامل "معین بدکار برد، در اصل، مشابه روشهایی است که برای بهدست آوردن سورقطبی شده بدکارمی روند. وقتی یک قطبی کننده را در سر راه یک باریکه<sup>۱</sup> نور قرار دهیم، نور خروجی در راستایی که مشخصه قطبی کننده است قطبی می‌شود و بنابراین مستقل از حالت قطبش سورورودی است. همین طور می‌توانیم، بهمنظور فراهم آوردن یک دستگاه کوانتمومی، وسائلی بسازیم که فقط عبور یک حالت، متناظر با یک ویژه مقدار بخصوص هریک از مشاهده پذیرهای مجموعه کامل انتخاب شده، را اجازه دهد. در فصل چهارم (بخش ۱-B) مثال محسوسی از فراهم آوردن یک دستگاه کوانتمومی را بررسی خواهیم کرد.

گوشزد :

اندازه‌گیری یک م.ک.م.ج. ما را قادر می‌سازد تا فقط یکی از حالت‌های پایه، وابسته به‌این م.ک.م.ج را فراهم سازیم. لیکن واضح است که تغییر مجموعه مشاهده‌پذیرها به‌ما امکان می‌دهد تا سایر حالت‌های دستگاه را بهدست آوریم. در یک مثال محسوس در بخش ۱-B از فصل چهارم، خواهیم دید که می‌توان بدین طریق هر حالت از فضای  $\mathcal{H}$  را فراهم ساخت.

#### D. مفاهیم فیزیکی معادله شرودینگر

معادله شرودینگر یک نقش اساسی در مکانیک کوانتمومی ایفا می‌کند زیرا این معادله طبق اصل موضوع ششم بیان شده در بالا، معادله‌ای است که حاکم بر تحول زمانی دستگاه فیزیکی است. در این بخش مهمترین خواص این معادله را بهطور مفصل مطالعه خواهیم کرد.

## ۱- خواص عمومی معادله شرودینگر

۲- قطعیت در تحول دستگاههای فیزیکی

معادله شرودینگر :

$$i\hbar \frac{d}{dt} |\psi(t)\rangle = H(t) |\psi(t)\rangle \quad (D-1)$$

یک معادله مرتبه اول نسبت به زمان است، از اینجا نتیجه می‌شود که، اگر حالت اولیه  $|\psi(t_0)\rangle$  معلوم باشد، حالت  $|\psi(t)\rangle$  در هر لحظه بعدی / تعیین می‌شود. هیچ عدم قطعیتی در تحول زمانی یک دستگاه کوانتومی وجود ندارد. عدم قطعیت فقط وقتی ظاهر می‌شود که یک کمیت فیزیکی اندازه‌گیری می‌شود، در این صورت در بردار حالت یک تغییر غیر قابل پیش‌بینی ایجاد می‌شود (ر ک اصل موضوع پنجم). اما، بین دو اندازه‌گیری، بردار حالت بمطريقي کاملاً "قطعی" ، طبق معادله (D-1) تحول پیدا می‌کند.

## ۳- اصل برهم نهش

معادله (D-1) خطی و همگن است. نتیجه می‌شود که جوابهای آن به‌طور خطی برهمنهش پذیر هستند.

فرض کنید  $|\psi_1(t)\rangle$  و  $|\psi_2(t)\rangle$  دو جواب (D-1) باشند. اگر حالت اولیه دستگاه هستند، حالت متناظر با آن در زمان  $t$  عبارتست از  $|\psi(t)\rangle = \lambda_1 |\psi_1(t)\rangle + \lambda_2 |\psi_2(t)\rangle$  هستند، بنابراین ارتباط بین  $|\psi(t_0)\rangle$  و  $|\psi(t)\rangle$  خطی است. بعده "در مکمل  $F_{III}$ " خواص عملگر خطی  $U(t, t_0)$  که  $|\psi(t)\rangle = U(t, t_0) |\psi(t_0)\rangle$  را به  $|\psi(t)\rangle$  تبدیل می‌کند:

$$|\psi(t)\rangle = U(t, t_0) |\psi(t_0)\rangle \quad (D-2)$$

مطالعه خواهیم کرد.

## ه - پایستگی احتمال

ه - هنچار بردار حالت ثابت می‌ماند

چون عملگر هامیلتونی ( $H(t)$ ) که در (D-1) آمده است هرمیتی است، مجدور هنچار بردار حالت،  $\langle \psi(t) | \psi(t) \rangle$ ، همانطور که در زیر نشان می‌دهیم، به  $t$  بستگی ندارد:

$$\frac{d}{dt} \langle \psi(t) | \psi(t) \rangle = \left[ \frac{d}{dt} \langle \psi(t) | \right] \langle \psi(t) \rangle + \langle \psi(t) | \left[ \frac{d}{dt} | \psi(t) \rangle \right] \quad (D-3)$$

بنابر (D-1) می‌توانیم بنویسیم:

$$\frac{d}{dt} |\psi(t)\rangle = \frac{1}{i\hbar} H(t) |\psi(t)\rangle \quad (D-4)$$

هر دو طرف (D-4) را همیوغ هرمیتی می‌کنیم، خواهیم یافت:

$$\frac{d}{dt} \langle \psi(t) | = -\frac{1}{i\hbar} \langle \psi(t) | H'(t) = -\frac{1}{i\hbar} \langle \psi(t) | H(t) \quad (D-5)$$

زیرا  $H(t)$  هرمیتی است (یک مشاهده‌پذیر است). با جایگزینی (D-4) و (D-5) در (D-3)، بدست می‌آید:

$$\begin{aligned} \frac{d}{dt} \langle \psi(t) | \psi(t) \rangle &= -\frac{1}{i\hbar} \langle \psi(t) | H(t) | \psi(t) \rangle + \frac{1}{i\hbar} \langle \psi(t) | H(t) | \psi(t) \rangle \quad (D-6) \\ &= 0 \end{aligned}$$

خاصیت پایستگی هنچار در مکانیک کوانتومی بسیار مفید است. برای مثال، وقتی مجدور قدر مطلق  $|\psi(r, t)|^2$  تابع موج یک ذره بدون اسپین را به عنوان چکالی احتمال مکان تغییر می‌کنیم، ضروری می‌شود. به هنچار بودن حالت  $\langle r_0 | \psi | r_0 \rangle$  ذره در زمان  $t_0$  توسط رابطه:

$$\langle \psi(r_0) | \psi(r_0) \rangle = \int d^3r |\psi(r, t_0)|^2 = 1 \quad (D-7)$$

بیان می‌شود که در آن  $\langle r | \psi | r_0 \rangle = \langle r | \psi | r_0 \rangle$  تابع موج وابسته به  $\langle r_0 | \psi | r_0 \rangle$  است. معنی معادله (D-7) این است که احتمال کل یافتن ذره در تمام فضا برابر ۱ است. خاصیت پایستگی هنچار که در بالا ثابت شد توسط معادله زیر بیان می‌شود:

$$\langle \psi(r) | \psi(r, t) \rangle = \int d^3r |\psi(r, t)|^2 = \langle \psi(t_0) | \psi(t_0) \rangle = 1 \quad (D-8)$$

که در آن  $\langle \psi | \psi \rangle$  عبارت است از جواب (D-1) که متناظر است با حالت اولیه  $\langle \psi(t_0) | \psi \rangle$  بدهعبارت دیگر، تحول زمانی در احتمال کل یافتن ذره در تمام فضا، که همواره برابر ۱ است تغییری نمی‌دهد. بنابراین  $|\psi(r, t)|^2$  می‌تواند به عنوان چگالی احتمال تعبیر شود.

β . پایستگی موضعی احتمال. چگالی‌های احتمال و جریان‌های احتمال

در این بخش، خود را بهمورد یک دستگاه فیزیکی که فقط از یک ذره (بدون اسپین) تشکیل شده است محدود خواهیم کرد.

در این مورد، اگر  $(\psi(r, t))$  بهنجار شده باشد،

$$\rho(r, t) = |\psi(r, t)|^2 \quad (D-9)$$

یک چگالی احتمال است: احتمال  $(\psi(r, t))^2$  برای یافتن ذره، در زمان  $t$ ، در حجم بیشایت کوچک  $d^3r$  حول نقطه  $r$  برابر است با:

$$d\rho(r, t) = \rho(r, t) d^3r \quad (D-10)$$

اخیراً نشان دادیم که انتگرال  $(\psi(r, t))^2$  روی تمام فضا برای تمام زمانها مقدار ثابتی است (و اگر  $\psi$  بهنجار شده باشد برابر است با ۱). این بدان معنی نیست که در الکترومغناطیس با آن هر نقطه  $r$  مستقل از  $\psi$  باشد. این وضعیت مشابه وضعیتی است که در الکترومغناطیس با آن مواجه می‌شویم. اگر، در یک دستگاه فیزیکی متزوی، باری با چگالی حجمی  $(\psi(r, t))^2$  در فضا توزیع شده باشد، باز کل [انتگرال  $(\psi(r, t))^2$  روی تمام فضا] نسبت به زمان پایسته است. لیکن، در داخل دستگاه، توزیع فضایی این بار ممکن است تغییر کند، و منجر به جریان‌های الکتریکی شود.

در واقع، این تشابه می‌تواند فراتر رود. پایستگی کلی بار الکتریکی بروباشتگی موضعی آن استوار است. اگر بار  $Q$  موجود در داخل یک حجم ثابت  $V$  با زمان تغییر کند، باید از سطح بسته  $S$  که  $V$  را احاطه کرده است یک جریان الکتریکی عبور کرده باشد. بدهعبارت دقیق‌تر، تغییر  $Q$  بار موجود در  $V$ ، در مدت  $dt$  برابر است با  $-J dr$ ، که در آن  $J$  شدت جریانی است که از  $S$  عبور کرده است، یعنی، شار بودار چگالی جریان  $(J(r, t))$  است که از  $S$  عبور می‌کند. با استفاده از آنالیز برداری کلاسیکی، می‌توانیم

پایستگی موضعی بار الکتریکی را به صورت زیر بیان کنیم :

$$\frac{\partial}{\partial t} \rho(\mathbf{r}, t) + \operatorname{div} \mathbf{J}(\mathbf{r}, t) = 0 \quad (\text{D-11})$$

در اینجا می‌خواهیم نشان دهیم که می‌توان یک بودار  $J(\mathbf{r}, t)$  یک چگالی جریان، یافت که در معادله‌ای همانند (D-11) صدق کند؛ لذا پایستگی موضعی احتمال وجود دارد. بنابراین، مانند این است که با یک "سیال احتمال" که چگالی و حرکت آن توسط  $\rho(\mathbf{r}, t)$  و  $\mathbf{J}(\mathbf{r}, t)$  تشریح شده است، سروکار داشته باشیم. اگر احتمال یافتن ذره در حجم (ثابت)  $d^3 r$  حول  $\mathbf{r}$  با زمان تغییر کند، بدین معنی است که شار جریان احتمال از سطحی که این عنصر حجم را محدود می‌سازد، غیر صفر است.

ابتدا، فرض کنید که ذره مورد نظر تحت تأثیر یک پتانسیل نرداری  $V(\mathbf{r}, t)$  قرار دارد. در این صورت هامیلتونی آن عبارت است از :

$$H = \frac{\mathbf{P}^2}{2m} + V(\mathbf{R}, t) \quad (\text{D-12})$$

و معادله شرودینگر در نمایش  $\langle \{ | \mathbf{r} | \} \rangle$  (وک مکمل  $D_{II}$ )، به صورت زیر نوشته می‌شود:

$$i\hbar \frac{\partial}{\partial t} \psi(\mathbf{r}, t) = -\frac{\hbar^2}{2m} \Delta \psi(\mathbf{r}, t) + V(\mathbf{r}, t) \psi(\mathbf{r}, t) \quad (\text{D-13})$$

برای اینکه  $H$  هرمیتی باشد باید  $V(\mathbf{r}, t)$  حقیقی باشد. بنابراین همیوغ هرمیتی معادله (D-13) عبارت است از :

$$-i\hbar \frac{\partial}{\partial t} \psi^*(\mathbf{r}, t) = -\frac{\hbar^2}{2m} \Delta \psi^*(\mathbf{r}, t) + V(\mathbf{r}, t) \psi^*(\mathbf{r}, t) \quad (\text{D-14})$$

دو طرف (D-13) را در  $\psi^*(\mathbf{r}, t)$  و دوطرف (D-14) را در  $\psi(\mathbf{r}, t)$  ضرب کنید و دو معادله به دست آمده را باهم جمع کنید. نتیجه می‌شود :

$$i\hbar \frac{\partial}{\partial t} [\psi^*(\mathbf{r}, t) \psi(\mathbf{r}, t)] = -\frac{\hbar^2}{2m} [\psi^* \Delta \psi - \psi \Delta \psi^*] \quad (\text{D-15})$$

یعنی :

$$\frac{\partial}{\partial t} \rho(\mathbf{r}, t) + \frac{\hbar}{2mi} [\psi^*(\mathbf{r}, t) \Delta \psi(\mathbf{r}, t) - \psi(\mathbf{r}, t) \Delta \psi^*(\mathbf{r}, t)] = 0 \quad (\text{D-16})$$

اگر قرار دهیم :

$$\begin{aligned} \mathbf{J}(\mathbf{r}, t) &= \frac{\hbar}{2mi} [\psi^* \nabla \psi - \psi \nabla \psi^*] \\ &= \frac{1}{m} \operatorname{Re} \left[ \psi^* \left( \frac{\hbar}{i} \nabla \psi \right) \right] \end{aligned} \quad (D-17)$$

معادله (D-16) می‌تواند به شکل (D-11) نوشته شود زیرا :

$$\begin{aligned} \operatorname{div} \mathbf{J}(\mathbf{r}, t) &= \nabla \cdot \mathbf{J} \\ &= \frac{\hbar}{2mi} [(\nabla \psi^*) \cdot (\nabla \psi) + \psi^* (\nabla^2 \psi) - (\nabla \psi) \cdot (\nabla \psi^*) - \psi (\nabla^2 \psi^*)] \\ &= \frac{\hbar}{2mi} [\psi^* \Delta \psi - \psi \Delta \psi^*] \end{aligned} \quad (D-18)$$

بدین ترتیب معادله پایستگی موضعی احتمال را ثابت کرده و عبارتی برای جریان احتمال بر حسب تابع موج بهنجار شده  $\langle \mathbf{r}, t | \psi \rangle$  بدست آورده‌ایم.

گوشزد :

شکل جریان احتمال (D-17) می‌تواند به صورت زیر تعبیر شود .  $\langle \mathbf{r}, t | \mathbf{J}(\mathbf{r}, t) | \psi \rangle$  به عنوان مقدار متوسط یک عملگر  $\mathbf{K}(\mathbf{r})$  به صورت :

$$\mathbf{K}(\mathbf{r}) = \frac{1}{2m} [|\mathbf{r}\rangle \langle \mathbf{r}| \mathbf{P} + \mathbf{P} |\mathbf{r}\rangle \langle \mathbf{r}|] \quad (D-19)$$

در حالت  $\langle \psi | \psi \rangle$  ، ظاهر می‌شود . اما مقدار متوسط عملگر  $|\mathbf{r}\rangle \langle \mathbf{r}|$  عبارت است از  $\langle \psi | \psi \rangle$  ، یعنی ، چگالی احتمال  $\langle \psi | \psi \rangle$  و  $\frac{\mathbf{P}}{m}$  عبارت است از سرعت . بنابراین ،  $\mathbf{K}$  عبارتست از عملگر کوانتومی ای ، که با یک مقارن سازی مناسب از حاصل ضرب چگالی احتمال و سرعت ذره ساخته شده است . این عملگر در واقع متناظر است با بردار چگالی جریان یک سیال کلاسیکی (به عنوان مثال ، می‌دانیم که چگالی جریان الکتریکی وابسته به یک سیال از ذرات باردار برابر است با حاصل ضرب چگالی حجمی بار در سرعت ذرات ) .

اگر ذره در یک میدان الکترومغناطیسی که توسط پتانسیل‌های  $U(\mathbf{r}, t)$  و  $A(\mathbf{r}, t)$  مشخص می‌شود قرار گیرد . می‌توانیم ، با شروع از هامیلتونی (B-46) ، استدلال قبل را به کار ببریم . لذا ، در این مورد داریم :

$$J(r, t) = \frac{1}{m} \operatorname{Re} \left\{ \psi^* \left[ \frac{\hbar}{i} \nabla - qA \right] \psi \right\} \quad (D-20)$$

ملاحظه می‌کنیم که این عبارت می‌تواند، با استفاده از همان قواعدی که برای هامیلتونی بکار برده‌یم، یعنی با جایگزین کردن  $P - qA$  توسط  $P$ ، از (D-۱۷) بدست آید. مثال یک موج تخت، یک تابع موج به صورت زیر در نظر بگیرید:

$$\psi(r, t) = A e^{i(kr - \omega t)} \quad (D-21)$$

که در آن:  $\hbar\omega$  چگالی احتمال متناظر:

$$\rho(r, t) = |\psi(r, t)|^2 = |A|^2 \quad (D-22)$$

در تمام فضا پکتواخت است و به زمان بستگی ندارد. محاسبه (D-۱۷) از  $J(r, t)$  مشکل نیست و به مقدار زیر منجر می‌شود:

$$J(r, t) = |A|^2 \frac{\hbar k}{m} = \rho(r, t) v_G \quad (D-23)$$

که در آن  $v_G = \frac{\hbar k}{m}$  سرعت گروه وابسته به اندازه حرکت  $\hbar k$  است (فصل اول بخش ۴). ملاحظه می‌کنیم که جریان احتمال در واقع برابر است با حاصلضرب چگالی احتمال در سرعت گروه ذره. در این مورد  $r$  و  $\omega$  مستقل از زمانند: جریان احتمال وابسته به یک موج تخت در یک موقعیت حالت پایدار قرار دارد (چون  $r$  و  $\omega$  نیز بستگی ندارند، این حالت همگن و پکتواخت نیز هست).

ه - تحول مقدار متوسط یک مشاهده پذیر، ارتباط با مکانیک کلاسیک

فرض کنید  $A$  یک مشاهده پذیر باشد. اگر حالت  $\langle \psi | \psi \rangle$  دستگاه بهنجار شده باشد (واخیراً) بدیم که این بهنجارش برای تمام  $A$ ها پایسته است. مقدار متوسط مشاهده پذیر  $A$  در لحظه  $t$  برابر است با \*:

$$\langle A \rangle(t) = \langle \psi(t) | A | \psi(t) \rangle. \quad (D-24)$$

---

\* معنی نماد  $\langle A \rangle$  این است که مقدار متوسط  $A$ ، یعنی  $\langle A \rangle$ ، عددی است که به بستگی دارد.

می بینیم که  $\langle t | A \rangle$  از طریق  $\langle t | \psi \rangle$  [ و  $\langle t | \psi \rangle$ ] ، که برطبق معادله شرودینگر (D-۴) [ و (D-۵)] با زمان تحول می یابند ، به بستگی دارد . علاوه بر این ، ممکن است مشاهده‌پذیر A "بزمان بستگی داشته باشد ، که موجب دیگری برای تغییر  $\langle A \rangle$  نسبت به t وارد می کند .  
می خواهیم ، در این بخش ، تحول  $\langle t | A \rangle$  را مطالعه کنیم و نشان دهیم که چگونه این امر ما را قادر می سازد تا مکانیک کلاسیک را به مکانیک کوانتومی مربوط سازیم .

### ۱۰. فرمول عام

با مشتق گیری از (D-۲۴) نسبت به t ، خواهیم داشت :

$$\frac{d}{dt} \langle \psi(t) | A(t) | \psi(t) \rangle = \left[ \frac{d}{dt} \langle \psi(t) | \right] A(t) | \psi(t) \rangle + \langle \psi(t) | A(t) \left[ \frac{d}{dt} | \psi(t) \rangle \right] \\ + \langle \psi(t) | \frac{\partial A}{\partial t} | \psi(t) \rangle \quad (D-25)$$

با بکار بردن (D-۴) و (D-۵) برای  $\frac{d}{dt} \langle \psi(t) |$  و  $\frac{d}{dt} | \psi(t) \rangle$  ، به دست می آوریم :

$$\frac{d}{dt} \langle \psi(t) | A(t) | \psi(t) \rangle = \frac{1}{i\hbar} \langle \psi(t) | [A(t) H(t) - H(t) A(t)] | \psi(t) \rangle \\ + \langle \psi(t) | \frac{\partial A}{\partial t} | \psi(t) \rangle \quad (D-26)$$

یعنی :

$$\boxed{\frac{d}{dt} \langle A \rangle = \frac{1}{i\hbar} \langle [A, H(t)] \rangle + \langle \frac{\partial A}{\partial t} \rangle} \quad (D-27)$$

### کوشید :

مقدار متوسط  $\langle A \rangle$  عددی است که فقط به t بستگی دارد . فهم این مطلب که این بستگی چگونه ایجاد می شود مهم است . به عنوان مثال ، مورد پذیره بدون اسپین را در نظر بگیرید . فرض کنید  $A$  یک کمیت کلاسیکی باشد . در مکانیک کلاسیک ، r و p بزمان بستگی دارند ( برطبق معادلات هامیلتون تحول می یابند ) بنابراین  $\langle r, p | A | r, p \rangle$  بطور صریح ، و از طریق r و p بطور ضمنی ، بزمان بستگی دارد . با کمیت کلاسیکی  $\langle r, p | A | r, p \rangle$  عملگر هر میتی  $(R, P, t) A = A$  متناظراست که

از جایگزین کردن  $r$  و  $p$  ، در  $\mathcal{H}$  ، به میله عملگرهای  $R$  و  $P$  به دست آمده است (رک قواعد کوانتش، بخش ۵ - B) . ویژه خالتها و ویژه مقدارهای  $R$  و  $P$  و در نتیجه، خود این مشاهده‌پذیرها، دیگر به  $\psi$  بستگی ندارند . بستگی زمانی  $r$  و  $p$  ، که مشخص کننده تحول زمانی حالت کلاسیکی است، دیگر در  $R$  و  $P$  ظاهر نمی‌شود ، بلکه در بردار حالت کوانتومی  $\langle t | \psi \rangle$  ، وابسته به متتابع موج  $\langle t | \psi \rangle = \langle r(t), p(t) | \psi \rangle$  در نمایش  $\{ |r\rangle\}$  ، ظاهر می‌شود . در این نمایش مقدار متوسط  $A$  به صورت زیر نوشته می‌شود :

$$\langle A \rangle = \int d^3r \psi^*(r, t) \mathcal{A} \left( r, \frac{\hbar}{i} \nabla, t \right) \psi(r, t) \quad (D-28)$$

واضح است که انتگرال گیری روی  $r$  منجر به عددی می‌شود که فقط به  $\psi$  بستگی دارد .

در مکانیک کلاسیک، این عدد است  $\left[ \text{ونه عملگر} (t) \psi(r, t) \right]$  که باید با مقداری که کمیت کلاسیکی  $(r, p, t)$  در زمان  $t$  می‌گیرد مقایسه شود (رک بخش ۷ ای زیر) .

### $\beta$ - اعمال به مشاهده‌پذیرهای $R$ و $P$ ( قضیه اهرنفست )

اکنون فرمول عمومی (D-۲۷) را به مشاهده‌پذیرهای  $R$  و  $P$  اعمال کنیم . برای سهولت ، مورد یک ذره بدون اسپین در یک پتانسیل نرداری مانع  $V(r)$  را در نظر می‌گیریم . در این صورت داریم :

$$H = \frac{P^2}{2m} + V(R) \quad (D-29)$$

بنابراین می‌توانیم بنویسیم :

$$\frac{d}{dt} \langle R \rangle = \frac{1}{i\hbar} \langle [R, H] \rangle = \frac{1}{i\hbar} \langle \left[ R, \frac{P^2}{2m} \right] \rangle \quad (D-30)$$

$$\frac{d}{dt} \langle P \rangle = \frac{1}{i\hbar} \langle [P, H] \rangle = \frac{1}{i\hbar} \langle [P, V(R)] \rangle \quad (D-31)$$

جایجاگری که در (D-۳۰) ظاهر می‌شود می‌تواند بسادگی از روابط جایجاگی بندادی محاسبه شود ، داریم :

$$\left[ R, \frac{P^2}{2m} \right] = \frac{i\hbar}{m} P \quad (D-32)$$

برای جابجاگر فرمول (D-۳۱) ، تعمیم زیر از فرمول (B-۳۳) باید به کار برده شود [رک مکمل  $B_{II}$ ] :

$$[P, V(R)] = -i\hbar \nabla V(R) \quad (D-33)$$

که در آن  $\nabla V(R)$  معرف مجموعه سمعکری است که از جایگزین کردن  $r$  توسط  $R$  در سه مولفه گرادیان تابع  $V(R)$  بدست آمده است . از این رو :

$$\frac{d}{dt} \langle R \rangle = \frac{1}{m} \langle P \rangle \quad (D-34)$$

$$\frac{d}{dt} \langle P \rangle = - \langle \nabla V(R) \rangle \quad (D-35)$$

این دو معادله قضیه اهرنفست را بیان می کنند . شکل آنها معادلات هامیلتون - ژاکوبی کلاسیکی برای یک ذره را به خاطر می آورد ( پیوست ۳ ، بخش ۳ ) :

$$\frac{d}{dt} r = \frac{1}{m} p \quad (D-36-a)$$

$$\frac{d}{dt} p = - \nabla V(r) \quad (D-36-b)$$

که ، در این مورد ساده ، به معادله مشهور نیوتن :

$$\frac{dp}{dt} = m \frac{d^2r}{dt^2} = - \nabla V(r) \quad (D-37)$$

تقلیل می یابد .

۲ . بحث درباره قضیه اهرنفست ، حد کلاسیکی

اکنون معنای فیزیکی قضیه اهرنفست ، یعنی ، معادلات (D-34) و (D-35) را تحلیل کنیم . فرض می کنیم که تابع موج  $(t, r) \psi$  که حالت ذره را توصیف می کنده است نظری بسته موج هایی که در فصل اول بررسی کردیم . در این صورت  $\langle R \rangle$  معرف مجموعه سمعدد مستقل از زمان  $\{ \langle X \rangle, \langle Y \rangle, \langle Z \rangle \}$  است . نقطه  $(t) R$  را مرکز بسته موج \*

---

\* " عموماً " ، مرکز و مأکریم یک بسته موج از یکدیگر متمایزند . ولی اگر بسته موج شکل متفاوتی داشته باشد این دو بر یکدیگر منطبق اند ( بخش ۵ - C شکل ۲ ) .

در لحظه، خواهیم نامید. مجموعه نقاط متناظر با مقادیر مختلف، مسیر طی شده توسط مرکز بسته، موج را تشکیل می‌دهند.

لیکن یادآور می‌شویم که هرگز نمی‌توان دقیقاً از مسیر خود ذره، که حالت آن توسط تمام بسته موج، که لزوماً "دارای گستردنگی فضائی معینی است، تشریح می‌شود، صحبت کرد. مع ذالک می‌بینیم که اگر گستردنگی آن خیلی کوچکتر از سایر فواصل دخیل در مسئله باشد، می‌توانیم بسته موج را بطور تقریب با مرکزان یکی بگیریم. در این مورد حدی، اختلاف قابل ملاحظه‌ای بین توصیفهای کوانتومی و کلاسیکی ذره وجود ندارد.

بنابر این مهم است که پاسخ سؤال زیر را بدانیم: آیا حرکت مرکز بسته موج از قوانین مکانیک کلاسیک تبعیت می‌کنند؟ این جواب توسط قضیه اهرنفست فراهم می‌آید. معادله (D-۳۴) این واقعیت را بیان می‌کند که سرعت مرکز بسته موج برابراست با میانگین اندازه حرکت این بسته موج تقسیم بر  $m$ . درنتیجه، طرف چپ (D-۳۵) می‌تواند به صورت  $m \frac{d^2}{dt^2} \langle R \rangle$  نوشته شود، بنابراین جواب سؤال قبلی وقتی مثبت است که طرف راست

(D-۳۵) برابر نیروی کلاسیکی  $F$  در نقطه‌ای که مرکز بسته موج واقع است، باشد:

$$\mathbf{F}_c = [-\nabla V(\mathbf{r})]_{\mathbf{r}=\langle \mathbf{R} \rangle} \quad (D-38)$$

در واقع طرف راست (D-۳۵) برابر است با میانگین نیرو روی تمام بسته موج، و بطور کلی:

$$\langle \nabla V(\mathbf{R}) \rangle \neq [\nabla V(\mathbf{r})]_{\mathbf{r}=\langle \mathbf{R} \rangle} \quad (D-39)$$

(به عبارت دیگر، مقدار متوسط یکتابع با مقدار آن بهاء مقدار متوسط متغیر برابر نیست). از این دو اگر دقیق باشیم، پاسخ سؤالی که مطرح کردیم منفی است.

گوشه زده:

به آسانی می‌توانیم با بررسی یک مثال واقعی خود را در باره (D-۳۹) مقاعده سازیم. برای سهولت یک مدل یک بعدی انتخاب می‌کنیم، وفرض می‌کنیم:

$$V(x) = \lambda x^n \quad (D-40)$$

که در آن  $\lambda$  یک ثابت حقیقی و  $n$ ، یک عدد صحیح مثبت است. از این عبارت عملگر وابسته به  $V(x)$  را به صورت زیر می‌نویسیم:

$$V(X) = \lambda X^n \quad (D-41)$$

طرف چپ (D-۳۹) را می‌توان (با جایگزین کردن  $\Delta$  توسط  $\frac{d}{dx}$ ) به صورت  $\langle X^{n-1} \rangle$  نوشت. اما طرف راست برابر است با:

$$\left[ \frac{dV}{dx} \right]_{x=\langle X \rangle} = [\lambda n X^{n-1}]_{x=\langle X \rangle} = \lambda n \langle X \rangle^{n-1} \quad (D-42)$$

حال، می‌دانیم که عوماً  $\langle X^{n-1} \rangle \neq \langle X \rangle^{n-1}$ ، به عنوان مثال، برای  $n=3$  داریم  $\langle X^2 \rangle \neq \langle X \rangle^2$  (زیرا اختلاف بین این دوکمیت در محاسبه ریشه میانگین مربعی انحراف  $\Delta X$  وارد می‌شود).

توجه کنید که برای  $n=1$  یا  $n=2$  داریم:  $\langle X^{n-1} \rangle = \langle X \rangle^{n-1}$ .

در این صورت دوطرف (D-۳۹) با یکدیگر برابرند. بعلاوه، همین مطلب، برای  $n=0$  صادق است، که در این مورد هر دوطرف برابر صفر هستند. بنابراین، برای یک ذره آزاد ( $n=0$ ) یا یک ذره واقع در یک میدان نیروی یکواخت ( $n=1$ ) یا چاه پتانسیل سهمی شکل ( $n=2$ )، مورد یک توسان‌کننده هارمونیک (حرکت مرکز بسته موج دقیقاً از قوانین مکانیک کلاسیک تبعیت می‌کند. از این گذشته، این نتیجه را قبلاً "برای ذره آزاد ( $n=0$ ) اثبات کردیم (رک فصل اول، بخش C). با وجودی که دوطرف (D-۳۹) عوماً برابر نیستند، وضعیت‌هایی (که نیمه کلاسیکی نامیده می‌شوند) وجود دارد که در آنها اختلاف بین این دوکمیت قابل اغماض است: از آن جمله است وقتی که بسته موج به حد کافی جایگزیده باشد. برای مشاهده این مطلب، طرف چپ این معادله را، در نمایش  $\langle \nabla V(\mathbf{r}) \rangle$ ، بهطور صریح می‌نویسیم:

$$\begin{aligned} \langle \nabla V(\mathbf{r}) \rangle &= \int d^3r \psi^*(\mathbf{r}, t) [\nabla V(\mathbf{r})] \psi(\mathbf{r}, t) \\ &= \int d^3r |\psi(\mathbf{r}, t)|^2 \nabla V(\mathbf{r}) \end{aligned} \quad (D-43)$$

فرض کنید بسته موج شدید "جایگزیده باشد": به عبارت دقیق‌تر،  $|\psi(\mathbf{r}, t)|^2$  فقط در داخل محدوده‌ای که ابعاد آن از فواصلی که  $V(\mathbf{r})$  روی آنها بهطور قابل ملاحظه‌ای تغییر می‌کند، مقادیر غیر قابل اغماضی داشته باشد. در این صورت، در داخل این محدوده، متوجه در حول  $\langle R \rangle$ ،  $\langle \nabla V(\mathbf{r}) \rangle$  عملاً ثابت است. لذا، می‌توان در (D-۴۳)،  $\nabla V(\mathbf{r})$  را توسط مقدار آن بهزاره  $\langle R \rangle = \text{جایگزین کرد}$  و از انتگرال خارج نمود، در این صورت مقدار

انتگرال برابر است با ۱، زیرا  $\langle r \rangle$  بهنجار شده است، بدین ترتیب برای بسته موج‌های بهحد کافی جایگزیده، خواهیم داشت:

$$\langle \nabla V(R) \rangle \simeq [\nabla V(r)]_{r=\langle R \rangle} \quad (D-44)$$

در حد ماکروسکوپیکی (که طول موج‌های دوبروی از فواصلی که روی آنها پتانسیل تغییرمی‌کند، خیلی کوچکترند\*)، می‌توان بسته موج‌ها را آنقدر کوچک کرد تا در (D-44) صدق کند و در در عین حال، درجه خوبی برای تعیین اندازه حرکت حفظ شود. در این صورت حرکت بسته موج عملاً همان حرکت یک ذره کلاسیکی به جرم  $m$  واقع در پتانسیل  $V(r)$  است. نتیجه‌ای که بهاین ترتیب بدست آورده‌یم بسیار مهم است زیرا ما را قادر می‌سازد تا نشان دهیم که معادلات مکانیک کلاسیک در شرایط حدی معینی، که بخصوص تسویه اغلب دستگاه‌های ماکروسکوپیکی، ارضاء می‌شوند از معادله شرودینگر حاصل می‌شوند.

### ۳- مورد دستگاه‌های پایستار

وقتی هامیلتونی یک دستگاه فیزیکی به‌طور صریح به‌زمان بستگی نداشته باشد، دستگاه را پایستار می‌نامیم. در مکانیک کلاسیک، مهمترین نتیجهٔ یک‌چنین وضعیتی عبارت است از پایستگی انرژی در طول زمان. هم‌چنین می‌توان گفت کامنرژی کل دستگاه یک پایایی حرکت است. در این بخش خواهیم دید که در مکانیک کوانتومی نیز، دستگاه‌های پایستار، علاوه بر خواص عمومی بخش گذشته، دارای خواص ویژه مهمی هستند.

#### ۴. حل معادله شرودینگر

ابتدا، معادله ویژه مقداری  $H$  را در نظر بگیرید.

$$H | \phi_{n,\ell} \rangle = E_n | \phi_{n,\ell} \rangle \quad (D-45)$$

برای سهولت فرض می‌کنیم که طیف  $H$  گستته باشد. ۲. معرف مجموعه شاخصه‌ای غیر از  $n$  است که برای مشخص کردن یک بردار یکتاوی  $\langle \varphi_{n,\ell} |$  لازمند (عموماً)، این شاخص‌ها ویژه مقدارهای عملگرهایی را مشخص می‌کنند که با  $H$  یک م.ک.م. ج. تشکیل، می‌دهند. چون بنا

\* رک مرتبه بزرگی طول موج‌های وابسته به یک دستگاه ماکروسکوپیکی در مکمل A.

بهفرض،  $H$  صریحاً بعزمان بستگی ندارد، نه ویژه مقدار  $E_n$  به؛ بستگی دارد و نه ویژه کت  $\langle \varphi_{n,r} |$ .

ابتدا نشان خواهیم داد که با داشتن  $E_n$  و  $\langle \varphi_{n,r} |$  حل معادله شرودینگر، یعنی، تعیین تحول زمانی هر حالت بسیار ساده است. چون  $\langle \varphi_{n,r} |$  ها یک پایه تشکیل می‌دهند ( $H$  یک مشاهده‌پذیر است)، همواره می‌توان، برای هر مقدار  $t$ ، هر حالت  $\langle t | \psi |$  را درستگاه را بر حسب  $\langle \varphi_{n,r} |$  بسط داد:

$$|\psi(t)\rangle = \sum_{n,r} c_{n,r}(t) |\varphi_{n,r}\rangle \quad (D-46)$$

که در آن:

$$c_{n,r}(t) = \langle \varphi_{n,r} | \psi(t) \rangle \quad (D-47)$$

چون  $\langle \varphi_{n,r} |$  بعزمان بستگی ندارد، تمام وا بستگی زمانی  $\langle t | \psi |$  در  $c_{n,r}(t)$  نهفته است. برای محاسبه  $c_{n,r}(t)$ ، معادله شرودینگر را روی هر یک از حالت‌های  $\langle \varphi_{n,r} |$  تصویر می‌کنیم. خواهیم داشت:

$$i\hbar \frac{d}{dt} \langle \varphi_{n,r} | \psi(t) \rangle = \langle \varphi_{n,r} | H | \psi(t) \rangle \quad (D-48)$$

چون  $H$  هرمیتی است، می‌توان از (D-45) نتیجه گرفت:

$$\langle \varphi_{n,r} | H = E_n \langle \varphi_{n,r} | \quad (D-49)$$

بنابراین (D-48) می‌تواند به صورت زیر نوشته شود:

---

\* در (D-48)، می‌توان  $\langle \varphi_{n,r} |$  را در سمت راست  $\frac{d}{dt}$  قرار داد، زیرا  $\langle \varphi_{n,r} |$  به زمان بستگی ندارد.

$$i\hbar \frac{d}{dt} c_{n,\epsilon}(t) = E_n c_{n,\epsilon}(t) \quad (D-50)$$

این معادله می‌تواند فوراً حل شود، حاصل برابر است با:

$$c_{n,\epsilon}(t) = c_{n,\epsilon}(t_0) e^{-iE_n(t-t_0)/\hbar} \quad (D-51)$$

اگر  $H$  صریحاً بزمان بستگی نداشته باشد، برای یافتن  $|\psi(t)\rangle$ ، وقتی  $|\psi(t_0)\rangle$  معلوم باشد، به طریق زیر عمل می‌کنیم:  
 $(1) |\psi(t_0)\rangle$  را بحسب یک پایه از ویژه حالت‌های  $H$  بسط می‌دهیم:

$$|\psi(t_0)\rangle = \sum_n \sum_{\epsilon} c_{n,\epsilon}(t_0) |\varphi_{n,\epsilon}\rangle \quad (D-52)$$

توسط فرمول زیر داده می‌شود:

$$c_{n,\epsilon}(t_0) = \langle \varphi_{n,\epsilon} | \psi(t_0) \rangle \quad (D-53)$$

(۲) حال، برای به دست آوردن  $|\psi(t)\rangle$  بسازاء  $t$  دلخواه هر ضریب  $c_{n,\epsilon}(t_0)$  از بسط (D-52) را در  $e^{-iE_n(t-t_0)/\hbar}$  ضرب می‌کنیم که  $E_n$  ویژه مقدار  $H$  وابسته به حالت  $|\varphi_{n,\epsilon}\rangle$  است:

$$|\psi(t)\rangle = \sum_n \sum_{\epsilon} c_{n,\epsilon}(t_0) e^{-iE_n(t-t_0)/\hbar} |\varphi_{n,\epsilon}\rangle \quad (D-54)$$

استدلال فوق می‌تواند به آسانی به مروری که طیف  $H$  بیوسته است تعمیم داده شود، در این صورت فرمول (D-54)، با نمادگذاری معمول، می‌شود:

$$|\psi(t)\rangle = \sum_i \int dE c_i(E, t_0) e^{-iE(t-t_0)/\hbar} |\varphi_{E,i}\rangle \quad (D-55)$$

### ۶ - حالت‌های مانا

یک مورد خاص مهم موردنی است که در آن خود  $|\psi(t_0)\rangle$  یک ویژه حالت  $H$  باشد. در این صورت بسط (D-52) ی  $|\psi(t_0)\rangle$  فقط ویژه حالت‌های  $H$  متناظر با یک ویژه مقدار (به عنوان مثال،  $E_i$ ) را در بر می‌گیرد:

$$|\psi(t_0)\rangle = \sum_i c_{n,i}(t_0) |\varphi_{n,i}\rangle \quad (D-56)$$

در فرمول (D-56)، جمع بندی روی  $n$  وجود ندارد، و عبور از  $|\psi(t_0)\rangle$  به  $|\psi(t)\rangle$  فقط یک عامل  $e^{-iE_n(t-t_0)/\hbar}$  را وارد می‌کند، که می‌تواند از زیر علامت جمع بندی روی  $n$  بیرون آورد شود:

$$\begin{aligned} |\psi(t)\rangle &= \sum_i c_{n,i}(t_0) e^{-iE_n(t-t_0)/\hbar} |\varphi_{n,i}\rangle \\ &= e^{-iE_n(t-t_0)/\hbar} \sum_i c_{n,i}(t_0) |\varphi_{n,i}\rangle \\ &= e^{-iE_n(t-t_0)/\hbar} |\psi(t_0)\rangle \end{aligned} \quad (D-57)$$

بنابراین  $|\psi(t)\rangle$  و  $|\psi(t_0)\rangle$  فقط در عامل فاز کلی  $e^{-iE_n(t-t_0)/\hbar}$  با یکدیگر اختلاف دارند.

این دو حالت از نظر فیزیکی تمیز ناپذیرند (وک بحث آمده در بخش γ - b - 3 - B). از اینجا نتیجه می‌گیریم که هیچیکی از خواص فیزیکی دستگاهی که در یک ویژه حالت  $H$  قرار دارد، با زمان تغییر نمی‌کند، بهاین دلیل، ویژه حالت‌های  $H$ ، حالت‌های مانا نامیده می‌شوند.

همچنین حالب توجه است که بعینیم باستگی انرژی در یک دستگاه پایستار به‌چه صورت در مکانیک کوانتومی ظاهر می‌شود. فرض کنید که، در زمان  $t_0$ ، انرژی یک چنین دستگاهی را اندازه‌گیری کنیم و مثلاً "نتیجه"  $E_k$  را بدست آوریم. بلافضله پس از اندازه‌گیری، دستگاه در یک ویژه حالت  $H$ ، با یک ویژه مقدار  $E_k$ ، قراردارد (اصل موضوع تقلیل بسته موج). الان دیدیم که ویژه حالت‌های  $H$  مانا هستند. لذا، حالت دستگاه پس از اولین اندازه‌گیری دیگر تحول نخواهد یافت و همواره یک ویژه حالت  $H$  با ویژه مقدار  $E_k$  باقی خواهد ماند. نتیجه می‌شود که اندازه‌گیری دوم انرژی دستگاه، در هر زمان بعدی  $t$ ، همواره همان نتیجه  $E_k$  اولین اندازه‌گیری را بدست خواهد داد.

گوشزد:

می‌توان با ضرب کردن هر ضریب  $c_{n,i}(t_0)$  از (D-52) در  $e^{-iE_n(t-t_0)/\hbar}$  از (D-52) به (D-54) رسید. این واقعیت که  $e^{-iE_n(t-t_0)/\hbar}$  یک عامل فازی است نباید ما را بهاین باور رهنمون شود که  $|\psi(t)\rangle$  و  $|\psi(t_0)\rangle$  همواره از نظر فیزیکی تمیز ناپذیرند. در واقع، بسط (D-52)، "عموماً" شامل چندین ویژه حالت  $H$  با ویژه مقدارهای متفاوت است. بهاین مقادیر مختلف ممکن  $E_n$  عامل فازهای

مختلفی مربوط می‌شوند. این امر، فازهای نسبی ضرائب بسط بردار حالت را تغییر می‌دهد و در نتیجه، بدیک حالت  $\langle \psi |$  که از نظر فیزیکی از  $\langle \psi_0 |$  متمايز است منتهی می‌شود.

فقط در مردی که تنها یک مقدار از  $a$  وارد  $(D-52)$  می‌شود [مردی که  $\langle \psi_0 |$  ویژه حالت  $H$  است] تحول زمانی تشریح شده توسط یک عامل فاز، که در این صورت یک عامل فاز کلی است، هیچ اهمیت فیزیکی ندارد. به عبارت دیگر، فقط وقتی تحول فیزیکی نسبت به زمان وجود دارد که انرژی حالت اولیه با قطعیت معلوم نباشد، بعداً "برابر با" بین تحول زمانی و عدم قطعیت انرژی برخواهیم گشت (رک بخش ۴-۲- $D$ ).

### ۳- پایهای حرکت

بنا به تعریف، یک پایای حرکت مشاهده‌پذیری مانند  $A$  است که صریحاً به زمان بستگی نداشته و با  $H$  جایگاهی پذیر باشد:

$$\begin{cases} \frac{\partial A}{\partial t} = 0 \\ [A, H] = 0 \end{cases} \quad (D-58)$$

بدین ترتیب، برای یک دستگاه پایستار، خود  $H$  یک پایای حرکت است. پایاهای حرکت دارای خواص مهمی هستند که اینکه می‌خواهیم آنها را به دست آوریم. (۱) اگر  $(D-58)$  را در فرمول عمومی  $(D-27)$  جایگزین کنیم خواهیم داشت:

$$\frac{d}{dt} \langle A \rangle = \frac{d}{dt} \langle \psi(t) | A | \psi(t) \rangle = 0 \quad (D-59)$$

حالت  $\langle \psi |$  دستگاه فیزیکی هرچه باشد، مقدار متوسط  $A$  در این حالت با زمان تغییر نمی‌کند (بدین جهت عبارت "پایای حرکت" را بدکار می‌بریم).

(۲) چون  $H$  دو مشاهده‌پذیر شد که باید گرایج جایگاهی پذیر هستند هم‌واره می‌توانیم برای آنها یک دستگاه ویژه بردارهای مشترک، که آنها را با  $\langle \varphi_{n,p,\tau} |$  نسایش خواهیم داد، پیدا کنیم:

$$\begin{aligned} H | \varphi_{n,p,\tau} \rangle &= E_n | \varphi_{n,p,\tau} \rangle \\ A | \varphi_{n,p,\tau} \rangle &= a_p | \varphi_{n,p,\tau} \rangle \end{aligned} \quad (D-60)$$

برای سهولت فرض خواهیم کرد که طیف‌های  $H$  و  $A$  گستته باشند. شاخص  $\tau$  ویژه‌مقدارهای مشاهده‌پذیرهایی را مشخص می‌کند که با  $H$  و  $A$  تشکیل یک م. ک. م. ج می‌دهند. چون  $\langle \varphi_{n,p,\tau} | \psi(t) \rangle$  اولیه حالت‌های  $H$  هستند، مانا هستند. از این‌رو اگر دستگاه در لحظه  $t_0$  اولیه در حالت  $\langle \varphi_{n,p,\tau} | a_p \rangle$  باشد، همیشه در همان حالت (با تقریب یک عامل فاز کلی خواهد ماند. اما حالت  $\langle \varphi_{n,p,\tau} | \psi(t) \rangle$  نیز هست. لذا، وقتی  $A$  یک پایای حرکت باشد، حالت‌های مانایی از دستگاه فیزیکی وجود دارند (حالت‌های  $\langle \varphi_{n,p,\tau} | a_p \rangle$ ) که همواره، بسازه تمام  $a_p$  ها، ویژه‌حالات  $A$  باهمان ویژه‌مقدار  $\langle a_p | \psi(t) \rangle$  باقی می‌مانند. بهاین دلیل ویژه‌مقدارهای  $A$ ، اعداد کوانتومی خوب، نامیده می‌شوند.

(۳) بالاخره، نشان دهیم که برای یک حالت دلخواه  $\langle \psi(t) |$ ، احتمال یافتن ویژه مقدار  $a_p$ ، وقتی پایای حرکت  $A$  اندازه‌گیری می‌شود، به زمان وابسته نیست.  $\langle \psi(t_0) | a_p \rangle$  همیشه می‌تواند برحسب پایای  $\{ \varphi_{n,p,\tau} \}$  که در بالا معرفی شد، بسط داده شود:

$$|\psi(t_0)\rangle = \sum_n \sum_p \sum_\tau c_{n,p,\tau}(t_0) |\varphi_{n,p,\tau}\rangle \quad (D-61)$$

از اینجا مستقیماً نتیجه می‌گیریم:

$$|\psi(t)\rangle = \sum_n \sum_p \sum_\tau c_{n,p,\tau}(t) |\varphi_{n,p,\tau}\rangle \quad (D-62)$$

که در آن:

$$c_{n,p,\tau}(t) = c_{n,p,\tau}(t_0) e^{-i(E_n(t-t_0)/\hbar)} \quad (D-63)$$

بر طبق اصل موضوع تجزیه طیفی، احتمال  $\mathcal{P}(a_p, t_0)$  برای یافتن  $a_p$  وقتی  $A$  در زمان  $t_0$ ، که دستگاه در حالت  $\langle \psi(t_0) |$  است، اندازه‌گیری می‌شود برابر است با:

$$\mathcal{P}(a_p, t_0) = \sum_n \sum_\tau |c_{n,p,\tau}(t_0)|^2 \quad (D-64)$$

همین طور:

$$\mathcal{P}(a_p, t) = \sum_n \sum_\tau |c_{n,p,\tau}(t)|^2 \quad (D-65)$$

از (D-63) ملاحظه می‌کنیم که  $c_{n,p,\tau}(t)$  و  $(t_0)$   $c_{n,p,\tau}$  دارای یک مدول هستند. لذا  $\mathcal{P}(a_p, t) = \mathcal{P}(a_p, t_0)$ ، که خاصیت ذکر شده در بالا را اثبات می‌کند.

گوشزد :

اگر همه احتمالات  $\langle a_p, t_0 | \varphi \rangle$  بجز یکی از آنها صفر باشند [ به عنوان مثال ،  $\langle a_k, t_0 | \varphi \rangle$  را غیر صفر و ، علاوه براین ، لزوماً " مساوی انتخاب کنید ] ، دستگاه فیزیکی در زمان  $t_0$  در یک ویژه حالت  $A$  با ویژه مقدار  $a_p$  قرار دارد . چون  $\langle a_p, t_0 | \varphi \rangle$  به  $t_0$  بستگی ندارد ، حالت دستگاه در زمان  $t$  یک ویژه حالت  $A$  با ویژه مقدار  $a_k$  باقی می‌ماند .

۹ - فرکانس‌های بوهر یک دستگاه . قواعد گزینش

فرض کنید  $B$  یک مشاهده‌پذیر دلخواه ( الزاماً با  $H$  جابحائی پذیر نیست ) از دستگاه مورد نظر باشد . فرمول ( D-۲۷ ) ما را قادر می‌سازد تامثیق مقدار متوسط  $B$  ،  $\langle B \rangle$  را محاسبه کنیم :

$$\frac{d}{dt} \langle B \rangle = \frac{1}{i\hbar} \langle [B, H] \rangle + \langle \frac{\partial B}{\partial t} \rangle \quad (D-66)$$

برای یک دستگاه پاتسیار ، شکل عمومی  $\langle \psi(t) | \psi(t) \rangle$  ، ( D-۵۴ ) ، را می‌دانیم . بنابراین می‌توانیم ، درین مورد  $\langle \psi(t) | \psi(t) \rangle$  ( و نه صرفاً  $\langle B \rangle$  ) را محاسبه کنیم . همیوغ هرمیتی عبارت ( D-۵۴ ) ( با عوض کردن شاخصهای جمع‌بندی ) به صورت زیر نوشته می‌شود :

$$|\psi(t)\rangle = \sum_{n',r'} c_{n',r'}^*(t_0) e^{iE_{n',r'}(t-t_0)/\hbar} |\varphi_{n',r'}\rangle \quad (D-67)$$

سپس می‌توانیم در  $\langle \psi(t) | B | \psi(t) \rangle$  ،  $\langle \psi(t) | \psi(t) \rangle$  و  $|\psi(t)\rangle$  را به ترتیب توسط بسط‌های ( D-۵۴ ) و ( D-۶۷ ) جایگزین کنیم . بدین ترتیب خواهیم داشت :

$$\begin{aligned} \langle \psi(t) | B | \psi(t) \rangle &= \langle B \rangle (t) \\ &= \sum_{n',r',n,r} c_{n',r'}^*(t_0) c_{n,r}(t_0) \langle \varphi_{n',r'} | B | \varphi_{n,r} \rangle e^{i(E_{n',r'} - E_{n,r})(t-t_0)/\hbar} \end{aligned} \quad (D-68)$$

از این پس بعد ، فرض خواهیم کرد که  $B$  صریحاً " به زمان بستگی نداشته باشد " : بنابراین عناصر ماتریسی  $\langle \varphi_{n',r'} | B | \varphi_{n,r} \rangle$  ثابت‌اند . درینصورت فرمول ( D-۶۸ ) نشان می‌دهد که تحول  $\langle B \rangle$  توسط یک سری جملات نوسانی تشریح می‌شود فرکانس‌های

$\frac{1}{2\pi} \frac{|E_{n'} - E_n|}{\hbar} = \left| \frac{E_{n'} - E_n}{\hbar} \right| = v_{n'n}$  آنها مشخصه دستگاه مورد نظر بوده و مستقل از  $B$  و  
حالت اولیه دستگاه هستند. فرکانس‌های  $v_{n'n}$  فرکانس‌های بوهر دستگاه نامیده می‌شوند.  
بنابراین، برای یک اتم، مقادیر متوسط تمام کمیت‌های اتمی (عناصری دوقطبی الکتریکی و  
و مغناطیسی و غیره) با فرکانس‌های بوهر مختلف اتم نوسان می‌کنند. معقول بمنظور  
می‌رسد که تصور کنیم فقط این فرکانس‌ها می‌توانند توسط اتم گسیل یا جذب شوند. این  
مطلوب بهما امکان می‌دهد تا بطور حسی رابطه بوهر بین فرکانس‌های طیفی گسیل شده یا  
جذب شده و فاصله‌های انرژی‌های اتمی را بفهمیم.

هم چنین می‌توان از  $(D-68)$  ملاحظه کرد که، در عین حالی که فرکانس‌های  
دخیل در حرکت  $\langle B \rangle$  مستقل از  $B$  هستند، این مطلب برای وزن‌های این فرکانس‌ها  
در تغییرات  $\langle B \rangle$  صادق نیست. اهمیت هر فرکانس  $v_{n'n}$  به عنصر ماتریسی  $c_{n'n}$   
مقادیر معینی از  $n$  و  $n'$  صفر باشد. خالص اولیه دستگاه هرچه باشد، فرکانس‌های متناظر  
 $v_{n'n}$  در بسط  $\langle B \rangle$  حضور ندارند. این در منشأ قواعدگریش است که معین می‌کند،  
تحت شرایط معین، کدام فرکانس‌ها می‌توانند گسیل یا جذب شوند. برای برقرار کردن این  
قواعد، باید عناصر ماتریسی غیر قطعی ( $n \neq n'$ ) عملگرهای مختلف اتمی نظیر دوقطبی‌های  
الکتریکی و مغناطیسی و غیره را مطالعه کنیم.

بالاخره، وزنهای فرکانس‌های مختلف بوهر، از طریق  $c_{n'n}(t_0)c_{n'n}^*(t_0)$ ،  
به حالت اولیه نیز بستگی دارند. بخصوص، اگر حالت اولیه یک حالت مانا با انرژی  $E_k$   
باشد، بسط  $\langle t_0 |$  فقط شامل یک مقدار از  $n$  ( $n = k$ ) است و  $\langle t_0 | c_{n'n}(t_0)c_{n'n}^*(t_0) |$  می‌تواند  
 فقط بازه  $n = n' = k$  غیر صفر باشد. در این مورد،  $\langle B \rangle$  به زمان بستگی ندارد.

### گوشزد:

می‌توان مستقیماً، با به کار بردن  $(D-68)$ ، تحقیق کرد که مقدار متوسط یک پایایی  
حرکت همواره مستقل از زمان است. ملاحظه می‌کنیم که اگر  $B$  با  $H$  جا به جایی پذیر  
باشد، عناصر ماتریسی  $B$  بین دو ویژه حالت  $H$  متناظر با ویژه مقدارهای متفاوت،  
صفرنده (رک فصل دوم، بخش a  $D-3$ ). نتیجه می‌شود که  $\langle \varphi_{n'n} | B | \varphi_{n'n} \rangle$   
بهازه  $n \neq n'$  صفر است. بنابراین تنها جملات غیر صفر  $B$  ثابت هستند.

## ه) رابطه عدم قطعیت زمان - انرژی

اگنون خواهیم دید که برای یک دستگاه پایستار هرچه عدم قطعیت انرژی بزرگتر باشد، زمان تحول سریعتر است. به عبارت دقیق‌تر، اگر  $\Delta t$  بازه زمانی‌ای باشد که در پایان آن دستگاه بماندازه قابل ملاحظه‌ای تحول یافته است، و اگر  $\Delta E$  معروف عدم قطعیت انرژی باشد  $\Delta t$  و  $\Delta E$  در رابطه زیر صدق می‌کنند:

$$\boxed{\Delta t \cdot \Delta E \gtrsim h} \quad (\text{D}-69)$$

ابتدا، اگر دستگاه در یک ویژه حالت  $H$  باشد، انرژی آن کاملاً "معین" است:  $\Delta E = 0$ . اما دیدیم که یک چنین حالتی مانا است، یعنی، تحول پیدا نمی‌کند. می‌توان گفت که، درین مورد، زمان  $\Delta t$  ای تحول، بهیک معنا، بینهایت است [ رابطه (D-69) نشان می‌دهد که وقتی  $\Delta E = 0$  باشد،  $\Delta t$  باید بینهایت باشد ].

حال، فرض کنید که  $|\psi(t_0)\rangle$  یک برهمنهش خطی از دو ویژه حالت  $H$ ،  $|\varphi_1\rangle$  و  $|\varphi_2\rangle$ ، با ویژه مقدارهای مختلف  $E_1$  و  $E_2$  باشد:

$$|\psi(t_0)\rangle = c_1 |\varphi_1\rangle + c_2 |\varphi_2\rangle \quad (\text{D}-70)$$

در این صورت:

$$|\psi(t)\rangle = c_1 e^{-iE_1(t-t_0)/\hbar} |\varphi_1\rangle + c_2 e^{-iE_2(t-t_0)/\hbar} |\varphi_2\rangle \quad (\text{D}-71)$$

اگر انرژی را اندازه‌گیری کنیم، یا  $E_1$  به دست می‌آید یا  $E_2$ . بنابراین، عدم قطعیت  $E$  از مرتبه:

$$\Delta E \simeq |E_2 - E_1| \quad (\text{D}-72)$$

است. حال یک مشاهده‌پذیر دلخواه  $B$  را که با  $H$  جابجایی‌پذیر نیست در نظر بگیرید. احتمال یافتن ویژه مقدار  $b_m$  وابسته به ویژه بودار  $|\psi(t)\rangle$  در یک اندازه‌گیری  $B$  در زمان  $t$ ، توسط رابطه زیر داده می‌شود:

$$\mathcal{P}(b_m, t) = |\langle u_m | \psi(t) \rangle|^2 = |c_1|^2 |\langle u_m | \varphi_1 \rangle|^2 + |c_2|^2 |\langle u_m | \varphi_2 \rangle|^2 + 2 \operatorname{Re} [c_2^* c_1 e^{i(E_2 - E_1)(t-t_0)/\hbar} \langle u_m | \varphi_2 \rangle^* \langle u_m | \varphi_1 \rangle] \quad (\text{D}-73)$$

این معادله نشان می‌دهد که  $\mathcal{P}(b_m, t)$  بین دو مقدار حدی، با فرکانس بوهر

نوسان می‌کند. بنابراین زمان مشخصه تحول دستگاه عبارت است از:

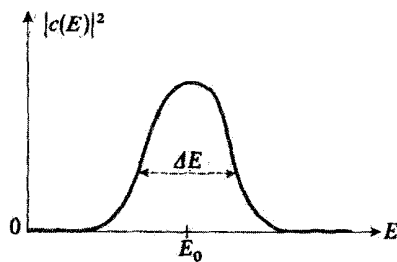
$$\Delta t \approx \frac{h}{|E_2 - E_1|} \quad (D-74)$$

و مقایسه این رابطه با (D-72) نشان می‌دهد که  $\Delta E \cdot \Delta t \approx h$  : حال فرض کنید که طیف  $H$  پیوسته (ناتبهگن) باشد، عمومی ترین حالت  $|\psi(t_0)\rangle$  می‌تواند به صورت زیر نوشته شود :

$$|\psi(t_0)\rangle = \int dE c(E) |\varphi_E\rangle \quad (D-75)$$

که در آن  $|\varphi_E\rangle$  عبارت است از ویژه حالت  $H$  با ویژه مقدار  $E$ . فرض کنید که  $|c(E)|^2$  فقط در محدوده‌ای بهینه‌ای  $\Delta E$  حول  $E_0$  مقادیر غیر قابل اغماضی داشته باشد (شکل ۴). در این صورت  $\Delta E$  معرف عدم قطعیت انرژی دستگاه است.  $|\psi(t)\rangle$  با استفاده از (D-55) به صورت زیر بدست می‌آید :

$$|\psi(t)\rangle = \int dE c(E) e^{-iE(t-t_0)/\hbar} |\varphi_E\rangle \quad (D-76)$$



شکل ۴.

با برهم نهش حالت‌های مانای  $|\varphi_E\rangle$  با ضرایب  $c(E)$ ، یک حالت  $|\psi\rangle$  دستگاه بدست می‌آید که انرژی آن کاملاً "معین نیست". عدم قطعیت  $\Delta E$  متناظر توسط بهینه‌ای منحنی نمایش  $|c(E)|^2$  داده می‌شود. سرتطبق چهارمین رابطه عدم قطعیت، تحول حالت  $|\psi(t)\rangle$  بعد از یک زمان  $\Delta t$ ، که در شرط  $\Delta E \cdot \Delta t \gtrsim \hbar$  صدق کند، قابل ملاحظه است.

گمیت  $(b_m, t)$  معروفی شده در بالا، که نمایانگر احتمال یافتن ویژه مقدار  $b_m$ ، وقتی که روی دستگاهی که در حالت  $|\psi(t)\rangle$  است اندازه‌گیری می‌شود، در اینجا برابر است با:

$$\mathcal{P}(b_m, t) = |\langle u_m | \psi(t) \rangle|^2 = \left| \int dE c(E) e^{-iE(t-t_0)/\hbar} \langle u_m | \varphi_E \rangle \right|^2 \quad (D-77)$$

عموماً، وقتی  $E$  در حوالی  $E_0$  تغییر کند،  $\langle u_m | \varphi_E \rangle$  تغییر سریعی نسبت به  $E$  ندارد. اگر  $\Delta E$  بحد کافی کوچک باشد، می‌توان در انتگرال (D-77) از تغییرات  $\langle u_m | \varphi_E \rangle$  در مقابل تغییرات  $c(E)$  صرفظیر کرد. در این صورت می‌توان  $\langle u_m | \varphi_E \rangle$  را توسط  $\langle u_m | \varphi_{E_0} \rangle$  جایگزین کرد و این کمیت را از انتگرال (D-77) بیرون آورد:

$$\mathcal{P}(b_m, t) \simeq |\langle u_m | \varphi_{E_0} \rangle|^2 \left| \int dE c(E) e^{-iE(t-t_0)/\hbar} \right|^2 \quad (D-78)$$

بدین ترتیب ملاحظه می‌کنیم که اگر این تقریب معتبر باشد،  $\mathcal{P}(b_m, t)$ ، با تقریب یک ضربی عبارت است از مدول تبدیل فوریه  $(E) c(E)$ . لذا برطبق خواص تبدیل فوریه (رک پیوست I، بخش b-۲)، پهنهای منحنی  $\mathcal{P}(b_m, t)$  نسبت به زمان، یعنی  $\Delta t$  توسط رابطه (D-69) به پهنهای  $\Delta E$  مربوط می‌شود.

گوشزد:

(D-69) می‌تواند مستقیماً برای یک بسته موج آزاد یک بعدی اثبات شود.

می‌توان به عدم قطعیت  $\Delta p$  ای تکانه این بسته موج یک عدم قطعیت انرژی

$$\frac{dE}{dp} = \frac{d\omega}{dk} = v_G \quad \text{و} \quad \Delta E = \frac{dE}{dp} \Delta p \quad (D-79)$$

که در آن  $v_G$  سرعت گروه بسته موج است (فصل اول، بخش ۴-C). درنتیجه:

$$\Delta E = v_G \Delta p \quad (D-79)$$

اما زمان تحول مشخصه  $\Delta t$  عبارت از زمانی است که طول می‌کشد تا این بسته موج،

که با سرعت  $v_G$  حرکت می‌کند، از یک نقطه از فضا "عبور" کند. لذا اگر  $\Delta x$  گسترده‌گی فضایی بسته موج باشد، داریم:

$$\Delta t \simeq \frac{\Delta x}{v_G} \quad (D-80)$$

از اینجا، با ترکیب (D-79) و (D-80)، داریم:

$$\Delta E \cdot \Delta t \simeq \Delta x \cdot \Delta p \gtrsim \hbar \quad (D-81)$$

رابطه (D-۶۹) غالباً چهارمین رابطه عدم قطعیت هایزنبیرگ نامیده می شود . لیکن ، این رابطه آشکارا با سوابعه دیگر عدم قطعیت که به سه مؤلفه  $R$  و  $P$  مربوط است [ فرمولهای (۱۴) از مکمل  $F$  ] متفاوت است . در (D-۶۹) ، فقط انحرافی ، مانند  $R$  و  $P$  یک کمیت فیزیکی است ، از طرف دیگر ، یک فراسنج است که به آن هیچ عملگر مکانیک کوانتومی وابسته نیست .

### E اصل برهمنهش و پیش‌بینی‌های فیزیکی

معنای فیزیکی اصل موضوع اول باید مورد رسیدگی قرار گیرد . برطبق این اصل موضوع ، حالت‌های یک دستگاه فیزیکی بهیک فضای برداری تعلق دارند و ، درنتیجه ، به طور خطی قابل برهمنهش هستند .

یکی از نتایج مهم اصل موضوع اول ، وقتی با اصول موضوع دیگر ترکیب شود ، ظهور آثار تداخلی نظیر آنهایی است که ما را به دوگانگی موجی- ذرهای رهنمون شد (فصل اول) . درک ما از این پدیدهای بر مفهوم دامنهای احتمال استوار است ، که در اینجا آنها را به کمک چند مثال ساده مورد بررسی قرار خواهیم داد .

#### ۱- دامنهای احتمال و آثار تداخلی

#### ۲- معنای فیزیکی برهمنهش خطی جالت‌ها

۳- اختلاف بین یک برهمنهش خطی و یک اختلاط آماری

فرض کنید  $|\psi_1\rangle$  و  $|\psi_2\rangle$  دو حالت بهنجارشده متعادل باشند :

$$\begin{aligned} \langle\psi_1|\psi_1\rangle &= \langle\psi_2|\psi_2\rangle = 1 \\ \langle\psi_1|\psi_2\rangle &= 0 \end{aligned} \quad (E-1)$$

$(|\psi_1\rangle$  و  $|\psi_2\rangle$  می‌توانند ، به عنوان مثال ، دو ویژه حالت یک مشاهده‌پذیر  $B$  ، وابسته به دو ویژه مقدار متفاوت  $b_1$  و  $b_2$  باشند) .

اگر دستگاه در حالت  $|\psi_1\rangle$  باشد ، می‌توانیم تمام احتمالهای مربوط به نتایج اندازه‌گیری یک مشاهده‌پذیر معین  $A$  را محاسبه کنیم . به عنوان مثال ، اگر  $\langle\psi_1|a\rangle$  یک ویژه بردار (بهنجارشده)  $A$  متناظر با ویژه مقدار  $a$  (که فرض می‌شود ناتبهمگن است) باشد ،

احتمال  $\mathcal{P}_1(a_n)$  برای یافتن  $a_n$  در اندازه‌گیری  $A$ ، وقتی که دستگاه در حالت  $\langle \psi_1 |$  است عبارت است از:

$$\mathcal{P}_1(a_n) = |\langle u_n | \psi_1 \rangle|^2 \quad (\text{E}-2)$$

یک کمیت مشابه،  $\mathcal{P}_2(a_n)$ ، برای حالت  $\langle \psi_2 |$  می‌تواند تعریف شود:

$$\mathcal{P}_2(a_n) = |\langle u_n | \psi_2 \rangle|^2 \quad (\text{E}-3)$$

اکنون یک حالت بهنجارشده  $\langle \psi |$  را که یک برهمنهش خطی از  $\langle \psi_1 |$  و  $\langle \psi_2 |$  است در نظر بگیرید:

$$\begin{aligned} |\psi\rangle &= \lambda_1 |\psi_1\rangle + \lambda_2 |\psi_2\rangle \\ |\lambda_1|^2 + |\lambda_2|^2 &= 1 \end{aligned} \quad (\text{E}-4)$$

" غالباً " گفته می‌شود که، وقتی دستگاه در حالت  $\langle \psi |$  است، احتمال یافتن دستگاه در حالت  $\langle \psi_1 |$  برابر با  $|\lambda_1|^2$  و احتمال یافتن آن در حالت  $\langle \psi_2 |$  برابر با  $|\lambda_2|^2$  است. معنای دقیق این مطلب بهصورت زیر است: اگر  $\langle \psi_1 |$  و  $\langle \psi_2 |$  دو ویژه‌بردار (کدراینجا بهنجار شده فرض می‌شوند) مشاهده پذیر  $B$  متناظر با ویژه مقدارهای متفاوت  $b_1$  و  $b_2$  باشند، احتمال اینکه وقتی  $B$  اندازه‌گیری می‌شود مقدار  $b_1$  بدست آید برابر با  $|\lambda_1|^2$  و احتمال اینکه  $b_2$  بدست آید برابر با  $|\lambda_2|^2$  است.

این مطلب می‌تواند ما را (همانطوری که خواهیم دید، بهغلط) بمانی باورهمنمoven شود که حالتی نظیر (E-4) یک اختلاط آماری از حالت‌های  $\langle \psi_1 |$  و  $\langle \psi_2 |$  با وزن‌های  $|\lambda_1|^2$  و  $|\lambda_2|^2$  است. به عبارت دیگر، اگر تعداد زیادی  $N$  دستگاه یکسان که همگی در حالت (E-4) قرار دارند، در نظر بگیریم، ممکن است تصور کنیم که این مجموعه  $N$  دستگاه در حالت  $\langle \psi |$  کاملاً معادل است با مجموعه دیگری که در آن  $N|\lambda_1|^2$  دستگاه در حالت  $\langle \psi_1 |$  و  $N|\lambda_2|^2$  دستگاه در حالت  $\langle \psi_2 |$  قرار دارند. چنین تعبیری از حالت  $\langle \psi |$  غلط است و همانطوری که خواهیم دید منجر به پیش‌بینی‌های فیزیکی ناصحیحی می‌شود.

فرض کنید می‌خواهیم در واقع احتمال  $(a_n)$  برای یافتن ویژه مقدار  $a_n$  را در اندازه‌گیری مشاهده‌پذیر  $B$ ، وقتی که دستگاه در حالت  $\langle \psi |$  داده شده توسط (E-4) باشد، محاسبه کنیم. اگر حالت  $\langle \psi |$  را بدعنوای یک اختلاط آماری از حالت‌های  $\langle \psi_1 |$  و  $\langle \psi_2 |$  با وزن‌های  $|\lambda_1|^2$  و  $|\lambda_2|^2$  تعبیر کنیم، می‌توانیم با جمع توزین شده احتمال‌های

$\mathcal{P}(a_n)$  و  $\mathcal{P}_2(a_n)$  که در بالا محاسبه شد [فرمول های (۲-۲) و (۳-۳) (E-۲) و (E-۳)] را به دست آوریم:

$$\mathcal{P}(a_n) \stackrel{?}{=} |\lambda_1|^2 \mathcal{P}_1(a_n) + |\lambda_2|^2 \mathcal{P}_2(a_n) \quad (\text{E-5})$$

در واقع، اصول موضع مکانیک کوانتومی به طور واضح و بدون ابهام معین می‌کند که چگونه  $\mathcal{P}(a_n)$  را محاسبه کنیم. عبارت صحیح این احتمال عبارت است از:

$$\mathcal{P}(a_n) = |\langle u_n | \psi \rangle|^2 \quad (\text{E-6})$$

بنابراین  $\mathcal{P}(a_n)$  عبارت است از محدود مدول دامنه احتمال  $\langle u_n | \psi \rangle$  از (۴-۴) می‌بینیم که این دامنه مجموع دو جمله است:

$$\langle u_n | \psi \rangle = \lambda_1 \langle u_n | \psi_1 \rangle + \lambda_2 \langle u_n | \psi_2 \rangle \quad (\text{E-7})$$

بدین ترتیب خواهیم داشت:

$$\begin{aligned} \mathcal{P}(a_n) &= |\lambda_1 \langle u_n | \psi_1 \rangle + \lambda_2 \langle u_n | \psi_2 \rangle|^2 \\ &= |\lambda_1|^2 |\langle u_n | \psi_1 \rangle|^2 + |\lambda_2|^2 |\langle u_n | \psi_2 \rangle|^2 \\ &\quad + 2 \operatorname{Re} \{ \lambda_1 \lambda_2^* \langle u_n | \psi_1 \rangle \langle u_n | \psi_2 \rangle^* \} \end{aligned} \quad (\text{E-8})$$

لذا با در نظر گرفتن (۲-۲) و (۳-۳) (E-۲) و (E-۳)، عبارت صحیح  $\mathcal{P}(a_n)$  به صورت زیر نوشته می‌شود:

$$\mathcal{P}(a_n) = |\lambda_1|^2 \mathcal{P}_1(a_n) + |\lambda_2|^2 \mathcal{P}_2(a_n) + 2 \operatorname{Re} \{ \lambda_1 \lambda_2^* \langle u_n | \psi_1 \rangle \langle u_n | \psi_2 \rangle^* \} \quad (\text{E-9})$$

این نتیجه با فرمول (۵-۵) متفاوت است.

بنابراین در نظر گرفتن  $\langle \psi |$  به عنوان یک اختلاط آماری حالتها نادرست است. چنین تعییری تمام آثار تداخلی موجود در ضرب دوتایی فونول (E-۹) را حذف می‌کند. ملاحظه می‌کنیم که تنها مدول های  $\lambda_1$  و  $\lambda_2$  نیستند که دارای نقش هستند، فاز نسبی  $\lambda_1$  و  $\lambda_2$  به همان اندازه مهم است\*. زیرا از طریق  $\lambda_1 \lambda_2^*$ ، صریحاً وارد پیش بینی های

\* ضرب  $\langle \psi |$  در یک عامل فازی کلی  $e^{i\theta}$  معادل است با تغییر  $\lambda_1$  و  $\lambda_2$  به  $\lambda_1 e^{i\theta}$  و  $\lambda_2 e^{i\theta}$ . می‌توان از (۹-۹) ثابت کرد که چنین عملی آن پیش بینی های فیزیکی را، که فقط به  $|\lambda_1|^2$ ،  $|\lambda_2|^2$  و  $\lambda_1 \lambda_2^*$  بستگی دارند، تغییر نمی‌دهد.

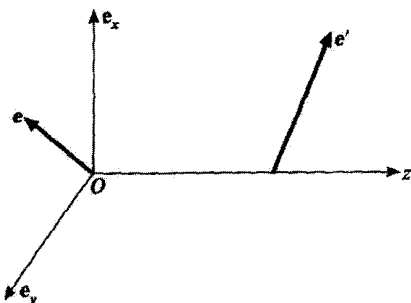
فیزیکی می شود .

### β - یک مثال واقعی

فوتون های در نظر بگیرید که در امتداد  $Oz$  انتشار می یابند و حالت قطبش آنها توسط بردار یکه زیر نشان داده شده است (شکل ۵) .

$$\mathbf{e} = \frac{1}{\sqrt{2}} (\mathbf{e}_x + \mathbf{e}_y) \quad (E-10)$$

این حالت برهم نهشی است خطی از دو حالت قطبی متعامد  $\mathbf{e}_x$  و  $\mathbf{e}_y$  . این حالت معروف نوری است که تحت زاویه  $45^\circ$  نسبت به  $\mathbf{e}_x$  و  $\mathbf{e}_y$  بمطور خطی قطبی شده است .



شکل ۵

یک آزمایش ساده که اختلاف بین یک برهم نهش خطی و یک اختلاط آماری حالتها را نشان می دهد . اگر تمام فوتونهای فرودی در حالت قطبش :

$$\mathbf{e} = \frac{1}{\sqrt{2}} (\mathbf{e}_x + \mathbf{e}_y)$$

باشد هیچکدام از آنها از تجزیه گری که محور  $e$  عمود بر  $e$  است نخواهند گذشت . اگر بر عکس، یک اختلاط آماری از فوتونهای می داشتیم کدر امتداد  $\mathbf{e}_x$  یا  $\mathbf{e}_y$  قطبی شده بودند (به نسبت مساوی، یعنی نور طبیعی) ، نیمی از آنها از تجزیه گری گذشتند .

فرض اینکه  $N$  فوتون در حالت  $\mathbf{e}$  معادل است با  $N \times \left| \frac{1}{\sqrt{2}} \right|^2 = \frac{N}{2}$  فوتون در حالت  $\mathbf{e}_x$  و  $N \times \left| \frac{1}{\sqrt{2}} \right|^2 = \frac{N}{2}$  فوتون در حالت  $\mathbf{e}_y$  بی معنی است . می دانیم که اگر در مسیر یاریکه

یک تجزیه‌گر طوری قرار دهیم که محور  $e_z$  آن عمود بر  $e_x$  باشد، هیچکدام از  $N$  فوتونی که در حالت  $e$  قراردارند از تجزیه‌گر عبور خواهدند کرد. اما برای اختلاط آماری  $\frac{N}{2}$  فوتون در حالت  $e_x$  و  $\frac{N}{2}$  فوتون در حالت  $e_y$ ، نیمی از فوتونها از تجزیه‌گر عبور خواهدند کرد. در این مثال واقعی، واضح است که یک برهمنهش خطی نظری (E-۱۰)، وابسته بهنوری که تحت زاویه  $45^\circ$  نسبت به  $e_x$  و  $e_y$  قطبی شده است، از نظر فیزیکی با یک اختلاط آماری با نسبت‌های مساوی از حالت‌های  $e_x$  و  $e_y$ ، وابسته بهنور طبیعی (یکباریکه غیر قطبی)، متفاوت است. می‌توانیم هم چنین، با درنظرگرفتن چهار حالت:

$$e_1 = \frac{1}{\sqrt{2}}(e_x + e_y) \quad (\text{E-11})$$

$$e_2 = \frac{1}{\sqrt{2}}(e_x - e_y) \quad (\text{E-12})$$

$$e_3 = \frac{1}{\sqrt{2}}(e_x + ie_y) \quad (\text{E-13})$$

$$e_4 = \frac{1}{\sqrt{2}}(e_x - ie_y) \quad (\text{E-14})$$

که اختلافشان فقط در فازنسی ضرائب است (این فاز، بهترتبیب برابراست با  $0, \pi, \frac{\pi}{2} +$  و  $\frac{\pi}{2} -$ ) بههمیت فاز نسبی ضرائب بسطبردار حالت بی ببریم. این چهار حالت از نظر فیزیکی کاملاً "متفاوتند": دو حالت اول معرف نوری هستند که به‌طورخطی در امتداد نمیسازهای ( $e_x, e_y$ ) قطبی شده‌اند، و دو حالت دومشان دهنده نوری هستند که به‌طور دایره‌ای (بهترتبیب راست و چپ) قطبی شده‌اند.

#### b - جمع بندی روی حالت‌های واسط

a - پیش‌بینی نتایج اندازه‌گیری در دو آزمایش ساده

(1) آزمایش ۱ فرض کنید، در یک زمان معین، مشاهده‌پذیر  $A$  روی یک دستگاه فیزیکی اندازه‌گیری شده و ویژه مقدار ناتبیهگن  $a$  بدست آمده باشد، اگر  $\langle a \rangle_{\text{ویژه}} |$  ویژه‌بدار وابسته به  $a$  باشد، دستگاه فیزیکی، بلا فاصله پس از اندازه‌گیری در حالت  $|a\rangle$  است.

قبل از آنکه دستگاه وقت کافی برای تحول داشته باشد، یک مشاهده‌پذیردیگر  $C$  را که با  $A$  جابحائی‌پذیر نیست اندازه‌گیری می‌کنیم. با بکاربردن نعادگذاری معرفی شده در بخش ۲-ع<sub>c</sub>، احتمال این را که این اندازه‌گیری دوم نتیجهٔ  $c$  را بدهد، با  $\langle c | u_a \rangle$  نمایش می‌دهیم. بلافتله قبل از اندازه‌گیری  $C$ ، دستگاه در حالت  $\langle u_a |$  است. بنابراین اگر  $\langle v_c |$  ویژه‌بردار  $C$  وابسته به‌ویژهٔ مقدار  $c$  (که فرض می‌کنیم ناتبهگن است) باشد، اصول موضوع مکانیک کوانتومی منجر به مقدار زیر می‌شود:

$$\mathcal{P}_c(c) = |\langle v_c | u_a \rangle|^2 \quad (E-15)$$

(۲) آزمایش ۲. حال آزمایش دیگری تصور کنیم، که در آن سه مشاهده‌پذیر  $A$ ،  $B$ ،  $C$ ، که با یکدیگر جابحائی‌پذیر نیستند، پشت سرهم و خیلی سریع اندازه‌گیری می‌شوند (فاصله زمانی بین دو اندازه‌گیری آنقدر کوتاه است که دستگاه تحول پیدا نمی‌کند). احتمال این را که اگر نتیجهٔ اولین اندازه‌گیری  $a$  باشد و نتایج دومین و سومین اندازه‌گیری بترتیب  $b$  و  $c$  باشد با  $\mathcal{P}_a(b, c)$  نمایش می‌دهیم.  $\mathcal{P}_a(b, c)$  برابر است با حاصلضرب  $\mathcal{P}_a(b) \mathcal{P}_b(c)$  (احتمال اینکه اندازه‌گیری  $A$  مقدار  $a$  و اندازه‌گیری  $B$  مقدار  $b$  را بدهد) و  $\mathcal{P}_a(b, c)$  (احتمال اینکه اندازه‌گیری  $B$  مقدار  $b$  و اندازه‌گیری  $C$  مقدار  $c$  را بدهد):

$$\mathcal{P}_a(b, c) = \mathcal{P}_a(b) \mathcal{P}_b(c) \quad (E-16)$$

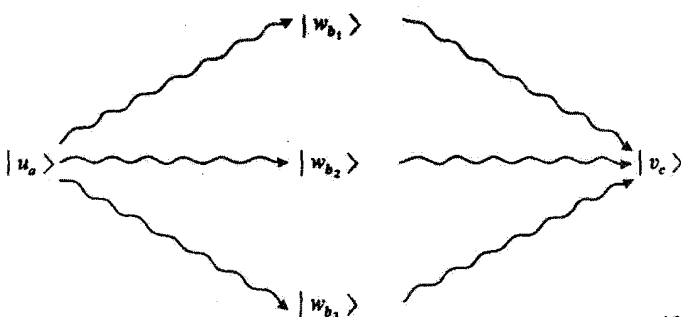
اگر تمام ویژهٔ مقدارهای  $B$  ناتبهگن فرض شوند و اگر  $\langle w_b |$  معرف ویژه‌بردارهای متناظر باشند، نتیجهٔ می‌شود [با استفاده از فرمول‌های مشابه (۱۵-۱۶) برای  $\mathcal{P}_a(b)$  و  $\mathcal{P}_b(c)$ ]:

$$\mathcal{P}_a(b, c) = |\langle v_c | w_b \rangle|^2 |\langle w_b | u_a \rangle|^2 \quad (E-17)$$

### β . اختلاف اساسی این دو آزمایش

در هردوی این آزمایش‌ها، حالت دستگاه بعد از اندازه‌گیری مشاهده‌پذیر  $A$ ،  $\langle u_a |$  است (نشان این اندازه‌گیری این است که این حالت اولیه را تعیین کند)، بعداز آخرين اندازه‌گيری، يعني اندازه‌گيری مشاهده‌پذير  $C$ ، حالت آن  $\langle v_c |$  می‌شود (به همین دليل  $\langle v_c |$  را "حالت نهائی" خواهیم نامید). می‌توانیم در هر دو مورد، حالت دستگاه، درست قبل از اندازه‌گیری  $C$ ، را بمحاسبه ویژه‌بردارهای  $B$ ،  $\langle w_b |$ ، تجزیه کنیم، و بگوئیم که دستگاه می‌تواند بین حالت  $\langle u_a |$  و حالت  $\langle v_c |$  از چندین "حالت میانی"

مختلف  $|w_1\rangle$  "عبور کند" هریک از این حالت‌های میانی، یک "مسیر" ممکن بین حالت اولیه  $|u_a\rangle$  و حالت نهایی  $|v_c\rangle$  تعیین می‌کند (شکل ۶).



شکل ۶.

"مسیرهای" ممکن مختلف بردار حالت دستگاه وقتی که به آن اجازه دهیم تا آزادانه (بدون انجام هیچ اندازه‌گیری) بین حالت اولیه  $|u_a\rangle$  و حالت نهایی  $|v_c\rangle$  تحول پیداکند در این مورد، باید دامنه‌های احتمال وابسته به این مسیرهای مختلف را به یکدیگر بیفزاییم، و نه احتمالات را.

اختلاف بین دو آزمایش تشریح شده در بالا به شرح زیر است: در آزمایش اول، مسیری که دستگاه بین حالت  $|u_a\rangle$  و حالت  $|v_c\rangle$  طی کرده است به طور تجربی تعیین نمی‌شود [ فقط احتمال  $\mathcal{P}_{(c)}(a)$  برای اینکه با شروع از  $|u_a\rangle$ ، به  $|v_c\rangle$  برسیم اندازه‌گیری می‌شود ]، از طرف دیگر، در آزمایش دوم، این مسیر توسط اندازه‌گیری مشاهده‌پذیر  $B$ ، تعیین می‌شود [ لذا ما را قادر می‌سازد تا احتمال  $\mathcal{P}_{(b), (c)}(a)$  را برای اینکه دستگاه با شروع از  $|u_a\rangle$ ، از یک حالت میانی معین  $|w_b\rangle$  بگذرد و بالاخره به حالت  $|v_c\rangle$  برسد، به دست آوریم ].

سپس ممکن است وسوشه‌شویم، تابراک ربط دادن  $(c) = \mathcal{P}_{(b), (c)}$  به  $(b, c)$ ، از استدلال زیر استفاده کنیم: در آزمایش ۱، دستگاه "آزاد است" که از تمام حالت‌های میانی  $|w_b\rangle$  "عبور کند"، بنابراین به نظر می‌رسد که احتمال کل  $(c) = \mathcal{P}_{(c)}$  باید برابر باشد با مجموع تمام احتمالهای  $(b, c) = \mathcal{P}_{(b), (c)}$  وابسته به هر "مسیر" ممکن. در اینصورت آیا نمی‌توانیم بنویسیم:

$$\mathcal{P}_a(c) \stackrel{?}{=} \sum_b \mathcal{P}_a(b, c) \quad (E-18)$$

همانطوری که خواهیم دید، این فرمول غلط است، به فرمول دقیق (E-15) برای  $\mathcal{P}_a(c)$  برمی‌گردیم، این فرمول، دامنه احتمال  $|u_a\rangle$  و  $|v_c\rangle$  را کمی توانیم، با استفاده از

رابطه بستاری برای حالت‌های  $\langle w_b |$  ، به صورت زیر بنویسیم وارد می‌کند:

$$\langle v_c | u_a \rangle = \sum_b \langle v_c | w_b \rangle \langle w_b | u_a \rangle \quad (E-19)$$

با جایگزین کردن این عبارت در (E-۱۸) خواهیم داشت:

$$\begin{aligned} \mathcal{P}_a(c) &= \left| \sum_b \langle v_c | w_b \rangle \langle w_b | u_a \rangle \right|^2 \\ &= \sum_b |\langle v_c | w_b \rangle|^2 |\langle w_b | u_a \rangle|^2 + \\ &\quad + \sum_b \sum_{b' \neq b} \langle v_c | w_b \rangle \langle w_b | u_a \rangle \langle v_c | w_{b'} \rangle^* \langle w_{b'} | u_a \rangle^* \end{aligned} \quad (E-20)$$

لذا ، با استفاده از (E-۱۷) ، داریم :

$$\mathcal{P}_a(c) = \sum_b \mathcal{P}_a(b, c) + \sum_b \sum_{b' \neq b} \langle v_c | w_b \rangle \langle w_b | u_a \rangle \langle v_c | w_{b'} \rangle^* \langle w_{b'} | u_a \rangle^* \quad (E-21)$$

این معادله ما را قادر می‌سازد تا بفهمیم چرا فرمول (E-۱۸) غلط است: تمام "جملات ضربدری" که در محدوده مدول جمع (E-۱۹) ظاهر می‌شوند ، در (E-۱۸) حذف شده‌اند . بدین ترتیب تمام آثار تداخلی بین مسیرهای مختلف ممکن در (E-۱۸) حذف شده‌اند . بنابراین ، ملاحظه می‌کنیم که اگر بخواهیم رابطه‌ای بین این دو آزمایش برقرار سازیم لازم است که براساس دامنه‌های احتمال استدلال کنیم . وقتی حالت‌های میانی دستگاه به طور تجربی تعیین نشده‌اند ، دامنه‌های احتمال است که باید جمع شوند ، و احتمالها .

بعلاوه ، اگر اصل موضوع پنجم (تقلیل بسته‌موج) را به‌حاطر بیاوریم ، خطایی استدلالی که منجر برابطه (E-۱۸) شد ، روشن می‌شود . در آزمایش دوم ، اندازه‌گیری مشاهده‌پذیر  $B$  باید ، در واقع ، اغتشاشی در دستگاه تحت بررسی وارد کند : در حین اندازه‌گیری ، بردار حالت آن دچار تغییر سریعی می‌شود (روی یکی از حالت‌های  $\langle w_b |$  تصویر می‌شود) . همین اغتشاش غیر قابل اجتناب است که مسئول حذف آثار تداخلی است . از طرف دیگر ، در آزمایش اول ، ناصحیح است که گفته شود دستگاه فیزیکی "از یکی از حالت‌های  $\langle w_b |$  می‌گذرد" ، درست‌تر این است که یک‌گوئیم دستگاه از تمام حالت‌های  $\langle w_b |$  می‌گذرد .

کوشیده :

(i) بحث اخیر از هرینظر با بحث بخش A-۲-۲ از فصل اول در رابطه با آزمایش دوشکاف یانگ شیاهت دارد . برای تعیین احتمال اینکه یک فوتون صادر شده از

چشممه به یک نقطه<sup>e</sup> معین  $M$  از پرده خواهد رسید، باید ابتدا میدان الکتریکی کل در  $M$ /را محاسبه کنیم. در این مسأله، میدان الکتریکی نقش یک دامنه احتمال را بازی می‌کند. وقتی نمی‌خواهیم تعیین کنیم که فوتون از داخل کدام شکاف می‌گذرد، میدانهای الکتریکی تشبع شده توسط دوشکاف است، و نهادت‌های آنها، که باید با هم جمع شوند تا میدان کل در  $M$  را (که محدود آن احتمال مورد نظر را می‌دهد) بدست دهد. به عبارت دیگر، میدان تابش شده توسط یکی از شکافها در نقطه<sup>e</sup>  $M$  نشان دهنده دامنه احتمال فوتونی است که پس از صدور از چشممه و قبل از رسیدن به  $M$  از این شکاف گذشته است.

(ii) لازم نیست این فرض را که اندازه‌گیری‌های  $A$ ،  $B$ ،  $C$  در آزمایش ۱ و آزمایش ۲ از نظر زمانی خیلی نزدیک به یکدیگر انجام می‌شوند، نگه داریم. اگر دستگاه در بین دو تا از این اندازه‌گیری‌ها مجال تحول داشته باشد، می‌توانیم برای تعیین تغییر حالت دستگاه (ناشی از این تعلق) از معادله شرودینگر استفاده کنیم [رک مکمل  $F_{III}$ ، گوشزد (iii)] از بخش ۲.

## ۶. نتیجه: اهمیت مفهوم دامنه‌های احتمال

دومثالی که در بخش‌های ۴ و ۵ مطالعه شدند اهمیت مفهوم دامنه‌های احتمال را نشان می‌دهند. فرمول‌های (۵-E) و (۱۸-E) و همین طور استدلالهایی که منجر به آنها شد، نادرستند، زیرا نشان دهنده تلاشی هستند که برای محاسبه مستقیم یک احتمال بدون اینکه ابتدا دامنه احتمال مربوطه را در نظر بگیرند، انجام گرفته است. در هر دو مورد عبارت صحیح (۸-E) یا (۲۰-E) به صورت مجدول یک مجموع (به طور دقیقت)، محدود مدول‌های این جمع) است، در حالی که فرمول‌های نادرست (۵-E) یا (۱۸-E) فقط شامل مجموع محدودهای هستند ( تمام جملات ضربیدری، که مسئول آثار تداخلی هستند، حذف شده‌اند).

بنابراین، از بحث اخیر، ایده‌های زیر را نگه می‌داریم:

(۱) پیش‌بینی‌های احتمالاتی نظریه کوانتومی همواره با محدود کردن مدول یک دامنه احتمال به دست می‌آیند.

(۲) وقتی، در یک آزمایش بخصوص، هیچ اندازه‌گیری‌ای در یک مرحله میانی انجام نمی‌شود، هرگز نباید بمحاسبه احتمالهای نتایج مختلفی که ممکن بود در یک چنین اندازه‌گیری‌هایی به دست آید استدلال کرد، بلکه باید بمحاسبه دامنه‌های احتمال آنها

استدلال شود.

(۳) این واقعیت که حالت‌های یک دستگاه فیزیکی بهطور خطی قابل برهم نهش هستند می‌رساند که یک دامنهٔ احتمال غالباً "بهصورت مجموعی از دامنه‌های جزئی ظاهر می‌شود. لذا احتمال مربوطه برابر با مجذور مدول مجموعی از جملات است، و دامنه‌های جزئی مختلف با یکدیگر تداخل می‌کنند.

### ۲- موردی که در آن چندین حالت می‌توانند وابسته بعیک نتیجه اندازه‌گیری باشند

در بخش گذشته، این واقعیت را مورد تأکید قراردادیم و روشن ساختیم که، در موارد معینی، احتمال یک واقعهٔ توسط اصول موضوع مکانیک کوانتومی به‌شکل مجذور یک مجموع از جملات ( بهعبارت دقیق‌تر، مجذور مدول یک چنین مجموعی ) داده می‌شود. اما بیان اصل موضوع چهارم [ فرمول ( ۷-B ) ]، مجموع مجذورات ( مجموع مجذورات مدول‌ها ) را وقتی که نتیجهٔ اندازه‌گیری‌ای که احتمال آن را جستجو می‌کنیم، وابسته به‌یک ویژهٔ مقدار تبیهگن باشد، وارد می‌کند. فهم این مطلب که این دو قاعدهٔ متناقض یکدیگر نیستند، بلکه بر عکس، مکمل یکدیگرند، مهم است: هر جملهٔ از مجموع مجذورات ( ۷-B ) خود می‌تواند مجذوریک مجموع باشد. این اولین نکته‌ای است که در این بخش توجه خود را به‌آن معطوف خواهیم ساخت. بعلاوه، این بحث ما را قادر خواهد ساخت تا بیان اصول موضوع را کامل سازیم: وسائل اندازه‌گیری‌ای را در نظر خواهیم گرفت که دقت آنها محدود باشد ( آنچنانکه، همیشه هست ) و خواهیم دید که چگونه بطور نظری نتایج ممکن را پیش‌بینی کنیم. بالاخره، اصل موضوع پنجم در مورد تقلیل بسته موج را به‌مورد طیف‌های پیوسته تعمیم خواهیم داد.

### ۳- ویژهٔ مقدارهای تبیهگن

"هر مثال‌هایی که در بخش ۱- ۲ بررسی کردیم، همواره فرض شد که نتایج اندازه‌گیری‌های مورد نظر ساده باشند، مثلًا" ، ویژهٔ مقدارهای ناتبیهگن مشاهده‌پذیرهای منتظر، باشند. این فرض بدین منظور بود که این مثال‌ها را ساده کند به‌طوری که منشاء آثار تداخلی تا حد ممکن واضح باشد. حال، یک ویژهٔ مقدار تبیهگن  $a$ ، از یک مشاهده‌پذیر  $b$  در نظر بگیرید. ویژهٔ حالت‌های وابسته به  $a$  یک زیرفضای برداری با بعد  $g$ ، که در آن می‌توان یک پایه‌راست

هنچار }  $g_n$ ،  $u_n^i$ ;  $i = 1, 2, \dots, g_n$  { انتخاب کرد ، تشکیل می دهند .  
 بحث بخش a-ع-۱ نشان می دهد که دانستن اینکه یک اندازهگیری از  $A$  مقدار  $a_n$  را داده است برای تعیین حالت دستگاه بعد از این اندازهگیری کافی نیست . می گوئیم که چندین حالت نهایی می توانند به یک نتیجه  $a_n$  وابسته باشند : اگر حالت اولیه (حالت قبل از اندازهگیری) معلوم باشد ، حالت نهایی دستگاه پس از اندازهگیری کاملاً "معین است ، اما اگر حالت اولیه تغییر کند ، حالت نهایی ، (برای همان نتیجه  $a_n$  اندازهگیری  $a_n$ ) . عصومنا " ، فرق می کند . تمام حالت های نهایی وابسته به  $a_n$  ترکیبات خطی  $g_n$  بودار راست هنچار  $\langle u_n^i |$  ، با  $g_n$  ...  $, g_1$  ،  $i = 1, 2, \dots, g_n$  هستند .

فرمول (۱-۱-۲) بدون ابهام نشان می دهد که به چه طریق احتمال  $(a_n)$  را سرای اینکه اندازهگیری  $A$  روی دستگاهی که در حالت  $\langle \psi |$  است نتیجه  $a_n$  را بددهد ، پیدا کنیم . یک پایه راست هنچار ، به عنوان مثال  $\{ |u_n^i\rangle; i = 1, 2, \dots, g_n\}$  در ویژه زیرفضای متناظر با  $a_n$  انتخاب می کنیم ، احتمال  $|\psi| u_n^i\rangle|^2$  برای یافتن دستگاه در هر یک از حالت های این پایه را محاسبه می کنیم ، در این صورت  $(a_n)$  مجموع این  $g_n$  احتمال است ، لیکن نباید فراموش شود که هر احتمال  $|\psi| u_n^i\rangle|^2$  می توان مجذور مدول یک مجموع از جملات باشد . به عنوان مثال ، مورد بررسی شده در بخش a-۱-E-۱ را در نظر بگیرید و فرض کنید که ویژه مقدار  $a_n$  مشاهده پذیر  $A$  ، که احتمال  $(a_n)$  آن باید محاسبه شود ، اکنون  $g_n$  بار تبیه کن باشد . در این صورت فرمول (۱-۱-E) توسط رابطه زیر جایگزین می شود :

$$\mathcal{P}(a_n) = \sum_{i=1}^{g_n} |\langle u_n^i | \psi \rangle|^2 \quad (E-۱-۲)$$

که در آن :

$$\langle u_n^i | \psi \rangle = \lambda_1 \langle u_n^i | \psi_1 \rangle + \lambda_2 \langle u_n^i | \psi_2 \rangle \quad (E-۱-۲)$$

بحث بخش a-۱-E برای هر یک از جملات فرمول (۱-۱-۲) معتبر می ماند :  
 $|\psi| u_n^i\rangle|^2$  که از (۱-۱-E) بدست آمده است ، مجذور یک مجموع است ، بنابراین  $\mathcal{P}(a_n)$  مجموع این مجذورات است . به طریق مشابهی بخش a-۱-E می تواند به موردی که ویژه مقدارهای مشاهده پذیرهای اندازهگیری شده تبیه کن باشند تعمیم داده شود . قبل از خلاصه کردن بحث های قبل ، می خواهیم یک وضعیت مهم دیگر را که در آن چندین حالت نهایی به یک نتیجه اندازهگیری وابسته اند مطالعه کنیم .

## ۶ - وسائل اندازه‌گیری‌ای که به حدگاهی حساس نیستند

## ۷ - تعریف

فرض کنید که، برای اندازه‌گیری مشاهده‌پذیر<sup>۱</sup> در یک دستگاه فیزیکی معین، وسیله‌ای که در اختیار داریم بمطریق زیر کار می‌کند:

(۱) این وسیله می‌تواند فقط جواب مختلف بدهد<sup>\*</sup>، که برای سهولت آنها را با "آری" و "نه" مشخص می‌کنیم.

(۲) اگر دستگاه در یک ویژه حالت<sup>۲</sup> که ویژه مقدار آن در داخل یک بازه معین<sup>۳</sup> از محور حقیقی است قرار داشته باشد، جواب همواره "آری" است، وقتی حالت دستگاه هر ترکیب خطی از ویژه حالت‌های<sup>۴</sup> وابسته به ویژه مقدارهایی که همگی در داخل بازه<sup>۵</sup> هستند باشد، نیز جواب "آری" است.

(۳) اگر حالت دستگاه ویژه حالتی از<sup>۶</sup> که ویژه مقدار آن در خارج<sup>۷</sup> قرار گیرد، یا هر ترکیب خطی از چنین ویژه حالت‌هایی، باشد جواب همواره "نه" است.

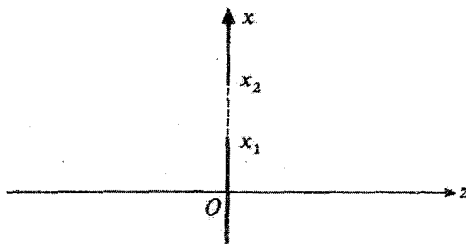
بنابراین،<sup>۸</sup> قدرت تفکیک وسیله‌اندازه‌گیری مورد نظر را مشخص می‌کند. اگر در فاصله<sup>۹</sup> فقط یک ویژه مقدار<sup>۱۰</sup> متعلق به<sup>۱۱</sup> وجود داشته باشد، قدرت تفکیک بینهایت است: وقتی دستگاه در یک حالت دلخواه باشد، احتمال (آری)<sup>۱۲</sup> برای یافتن جواب "آری" برابر است با احتمال یافتن<sup>۱۳</sup> در یک اندازه‌گیری<sup>۱۴</sup>، مسلمًا "احتمال (نه)"<sup>۱۵</sup> برای یافتن "نه" برابر است با (آری)<sup>۱۶</sup>. از طرف دیگر، اگر<sup>۱۷</sup> شامل چندین ویژه مقدار<sup>۱۸</sup> باشد، وسیله مزبور دارای قابلیت تفکیک کافی، برای تصریح این ویژه مقدارهای مختلف از یکدیگر، نیست: می‌گوئیم که این وسیله گزینشگر نیست. خواهیم دید که چگونه (آری)<sup>۱۹</sup> و (نه)<sup>۲۰</sup> را در این مورد محاسبه می‌کنیم.

برای اینکه قادر باشیم اغتشاشی را که یک چنین اندازه‌گیری در حالت دستگاه ایجاد می‌کند مطالعه کنیم. فرضیه زیر را اضافه می‌کنیم: وسیله اندازه‌گیری، ویژه حالت‌های<sup>۲۱</sup> وابسته به ویژه مقدارهای واقع در فاصله<sup>۲۲</sup> (و همین‌طور هر ترکیب خطی این حالت‌ها) را بدون اغتشاش منتقل می‌کند، در حالی که، "مانع" عبور ویژه حالت‌های<sup>۲۳</sup> وابسته به ویژه مقدارهای خارج از<sup>۲۴</sup> (و همین‌طور تمام ترکیبات خطی آنها) می‌شود. بدین ترتیب، این وسیله مانند یک صافی کامل برای تمام حالت‌های وابسته به<sup>۲۵</sup> عمل می‌کند.

\* استدلال‌های بعدی می‌توانند به آسانی به مواردی که در آنها وسیله می‌تواند چندین جواب مختلف با مشخصات مشابه با آنهاهایی که در (۲) و (۳) آمده‌اند، بدهد، تعمیم داده شوند.

## β - مثال

اغلب وسایل اندازهگیری که در عمل به کاربرده می‌شوند به حد کافی گزینش‌گرنیستند. به عنوان مثال، برای اندازهگیری مختصه (طول) یک الکترون که به موازات محور  $Oz$  انتشار می‌یابد، می‌توانیم (شکل ۷) در صفحه  $xOy$  (برصفحه شکل عمود است) صفحه‌ای با یک شکاف که محور آن با  $Oy$  موازی است قرار دهیم، طول‌های لبه‌های شکاف  $x_1$  و  $x_2$  هستند. در این صورت می‌توان دید که هر بسته موجی که "کاملاً" بین صفحات  $x_1 = x$  و  $x_2 = x$  قرار داشته باشد (یک‌برهم نیش از ویژه‌حالات‌های  $X$  که ویژه مقدارهای  $x$  آنها در فاصله  $[x_1, x_2]$  واقع است) وارد ناحیه راست شکاف خواهد شد (جواب "آری")، در این مورد، بسته موج دچار هیچ تغییری نخواهد شد. از طرف دیگر، هر بسته موج واقع در زیر صفحه  $x = x_1$  یا در بالای صفحه  $x = x_2$  توسط صفحه سد خواهد شد و به سمت راست عبور نخواهد کرد (جواب "نه").



شکل ۷

طرح واره، یک وسیله برای اندازهگیری مختصه طول یک ذره، چون فاصله  $\{x_1, x_2\}$  لزوماً غیر صفر است، چنین وسیله‌ای همواره به حد کافی گزینش‌گرنیست.

## ۷ . توصیف کوانتومی

برای یک وسیله که به حد کافی گزینش‌گرنیست، بعد از اندازهگیری‌ای که جواب آری را به دست دهد، چندین حالت نهایی، به عنوان مثال، ویژه‌حالات‌های مختلف  $A$  که با ویژه مقدارهای بازه  $A$  متناظرند، امکان پذیر است، مسئله فیزیکی‌ای که در باره چنین وسایلی مطرح می‌شود، و ما می‌خواهیم اکنون بررسی کنیم، پیش‌بینی جوابی است که وقتی دستگاه در یک حالت دلخواه وارد وسیله شود،

به دست خواهد آمد . به عنوان مثال ، برای وسیله شکل ۷ ، وقتی با بسته موجی مواجه شویم که نه کلا " بین صفحات  $x = x_1$  و  $x = x_2$  واقع باشد ( که در آن صورت جواب مسلم " آری است ) و نه کلا " در خارج این ناحیه ( که در آن صورت جواب مسلم " نه " است ) ، چه اتفاق می افتد ؟ خواهیم دید که این وضعیت معادل است با اندازهگیری مشاهده‌پذیری که طیف آن تبھگن است .

زیر فضای  $\mathcal{H}$  را که توسط تمام ویژه حالت‌های  $\psi$  که ویژه مقدارهای  $a$  آنها در داخل بازه  $\Delta$  است ، به وجود آمده است در نظر بگیرید . تصویرگر  $P$  روی این زیر فضای به صورت زیر نوشته می شود ( رک بخش ۷ - ۶ - ۳ - B از فصل دوم ) :

$$P_A = \sum_{a_n \in A} \sum_{i=1}^{\infty} |u_n^i\rangle \langle u_n^i| \quad (E-24)$$

( شاخص اضافی ) برای این است که ویژه مقدارهای  $a$  بازه  $\Delta$  می توانند تبھگن باشند ، بردار  $|u_n\rangle$  راست هنجار فرض می شود . زیر فضایی است که متوسط تمام حالت‌های ممکن دستگاه بعداز اندازهگیری ای که نتیجه آری داده است تشکیل شده است .

با مراجعه به تعریف وسیله " اندازهگیری " ، ملاحظه می کنیم که پاسخ برای هر حالت متعلق به  $\psi$  ، یعنی ، برای هر ویژه حالت  $\psi$  با ویژه مقدار  $a$  ، محقق " آری است . برای هر حالت متعلق به مکمل  $\psi$  ، یعنی ، برای هر ویژه حالت  $\psi$  با ویژه مقدار  $a$  ، پاسخ محقق " نه است . بنابراین جوابهای آری و نه که توسط وسیله اندازهگیری حاصل می شوند متناظرند با ویژه مقدارهای  $a+0$  برای مشاهده پذیر  $P$  : می توان گفت که وسیله ، در واقع ، بجای A مشاهده‌پذیر  $P$  را اندازهگیری می کند .

در پرتو این تعبیر ، مورد یک وسیله " اندازهگیری " که به حد کافی گزینش گر نباشد می تواند در چارچوب اصول موضوعی که بیان کرده ایم برسی شود . احتمال ( آری )  $\mathcal{P}$  برای به دست آوردن جواب آری برابر است با احتمال یافتن ویژه مقدار ( تبھگن )  $a+1$  برای  $P$  . حال ، یک پایه راست هنجار در ویژه زیر فضای متناظر وجود دارد که توسط مجموعه حالت‌های  $|u_n\rangle$  که ویژه حالت‌های  $a$  با ویژه مقدارهای واقع در بازه  $\Delta$  هستند ، ساخته می شود ، لذا ، با اعمال فرمول ( ۷ - B ) به ویژه مقدار  $a+1$  برای مشاهده‌پذیر  $P$  ( برای یک دستگاه در حالت  $\psi$  ) خواهیم داشت :

$$\mathcal{P}(\text{آری}) = \sum_{a_n \in A} \sum_{i=1}^{\infty} |\langle u_n^i | \psi \rangle|^2 \quad (E-25)$$

چون فقط دو جواب ممکن وجود دارد ، داریم :

$$\mathcal{P}(\text{آری}) - 1 = \mathcal{P}(\text{نه}) \quad (E-26)$$

تصویرگر روی ویژه زیر فضای وابسته به ویژه مقدار  $P_A$  مشاهده‌پذیر  $P_A$ ، خود  $P_A$  است، بنابراین، فرمول (E-۱۴) در اینجا می‌دهد:

$$\mathcal{D} = \langle \psi | P_A | \psi \rangle \quad (E-27)$$

[ این فرمول معادل (E-۲۵) است ] .

بمطور مشابه، چون وسیله حالت‌های متعلق به  $\psi$  را مفتوش نمی‌کند و حالت‌های متعلق به مکمل  $\psi$  را سد می‌کند، در می‌باییم که حالت دستگاه بعد از اندازه‌گیری‌ای که نتیجه آری داده است عبارت است از :

$$|\psi'\rangle = \frac{1}{\sqrt{\sum_{a_n \in A} \sum_{i=1}^{g_n} |\langle u_n^i | \psi \rangle|^2}} \sum_{a_n \in A} \sum_{i=1}^{g_n} |u_n^i\rangle \langle u_n^i | \psi \rangle \quad (E-28)$$

یعنی :

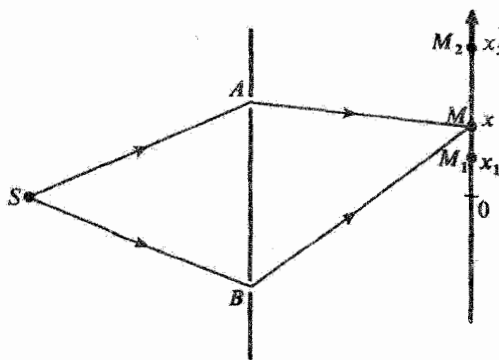
$$|\psi'\rangle = \frac{1}{\sqrt{\langle \psi | P_A | \psi \rangle}} P_A |\psi \rangle \quad (E-29)$$

وقتی  $P_A$  فقط یک ویژه مقدار  $a_n$  را در برگیرد،  $P_A$  به  $P_a$  کاهش می‌باید؛ در این صورت ملاحظه می‌کنیم که فرمول‌های (E-۱۴) و (E-۳۱) موارد خاصی از فرمول‌های (E-۲۷) و (E-۲۹) هستند.

c - خلاصه : آیا باید دامنه‌ها را باهم جمع کنیم یا احتمال‌ها را؟

بنابراین مواردی وجود دارد (بخش ۱-E) که در آنها، بروای محاسبه یک احتمال محدود یک مجموع را می‌گیریم، زیرا چندین دامنه احتمال باید بهم افزوده شوند. در موارد دیگر (بخش ۲-E)، مجموع محدودهای را می‌گیریم، زیرا چندین احتمال باید بهم افزوده شوند. مهم است که این دو مورد متفاوت را با هم اشتباه نکنیم و بدایم که، در یک وضعیت معین، آیا دامنه‌های احتمال هستند که باید با هم جمع شوند یا خود احتمال‌ها، آزمایش دوشکاف یانگ بازهم بروای ما مثال فیزیکی بسیار مناسی فراهم می‌آورده که مارا قادر می‌سازد تا بحث‌های اخیر را روشن و خلاصه کنیم. فرض کنید می‌خواهیم احتمال این را که یک فوتون بخصوص بین دونقطه  $M_1$  و  $M_2$  به طولهای  $x_1$  و  $x_2$  به پرده برخورد کند محاسبه کنیم (شکل ۸). این احتمال مناسب است باشد کل نور دریافت شده توسط این قسمت از صفحه، و در نتیجه، برابر است با یک "مجموع از محدودهای"، به عبارت دقیق‌تر،

برابر است با انتگرال شدت  $I(x)$  بین  $x_1$  و  $x_2$ . اما هر جمله  $I(x)$  از این مجموع با مجدد کردن میدان الکتریکی  $\mathcal{E}(x)$  در  $x$ ، که برابر است با مجموع میدان‌های الکتریکی  $\mathcal{E}_A(x)$  و  $\mathcal{E}_B(x)$  در  $M$  که به‌وسیله شکاف‌های  $A$  و  $B$  تابیده شده‌اند به دست می‌آید. بنابراین،  $I(x)$  با  $|\mathcal{E}_A(x) + \mathcal{E}_B(x)|^2$ ، یعنی، با مجدد یک مجموع، متناسب است.  $(\mathcal{E}_A(x) + \mathcal{E}_B(x))^2$  عبارتند از دامنه‌های وابسته به دو مسیر ممکن  $SBM$  و  $SAM$  که به‌یک نقطه  $M$  ختم می‌شوند، برای به دست آوردن دامنه در  $M$  این دو را باهم جمع می‌کنیم زیرا نمی‌خواهیم تعیین کنیم که فوتون از داخل کدام شکاف می‌گذرد. بنابراین، برای محاسبه شدت کل نوری که توسط بازه  $M_1M_2$  دریافت می‌شود، شدت‌هایی را که به نقاط مختلف این بازه می‌رسد باهم جمع می‌کنیم.



شکل ۸.

آزمایش دو شکاف یانگ، برای محاسبه چگالی احتمال آشکارسازی یک فوتون در نقطه  $M$ ، لازم است که میدان‌های الکتریکی تابش شده توسط شکاف‌های  $A$  و  $B$  را با هم جمیع و سپس میدانی را که به‌این ترتیب به دست آمده است مجدد کنیم ("مجدور مجموع"). احتمال یافتن یک فوتون در بازه  $[x_1, x_2]$  با جمع کردن این چگالی احتمال بین  $x_1$  و  $x_2$  به دست می‌آید ("مجموع مجدورات").

بهطور خلاصه، ایده‌های اساسی ای که باید از بحث‌های این بخش به‌خاطر بسیاریم می‌تواند بهطور طرحوار به صورت زیر بیان شود:

نخست دامنه‌های متناظر با یک حالت نهائی را باهم جمع می‌کنیم، سپس احتمال‌های متناظر با حالت‌های نهائی متعامد را.

## ۴ - گاربرد در بررسی طیف‌های پیوسته

وقتی مشاهده‌پذیری را که می‌خواهیم اندازه‌گیری کنیم دارای طیف پیوسته‌ای باشد فقط وسائلی که بحد کافی گزینش‌گر باشند می‌توانند مورد استفاده قرار گیرند؛ تصور یک وسیله فیزیکی که بتواند یک ویژه مقدار منفرد متعلق به یک مجموعه پیوسته را جدا کند غیر ممکن است. در اینجا خواهیم دید که چگونه مطالعه بخش ۳-۲-۳ ما را قادر می‌سازد تا در بررسی مشاهده‌پذیرهای با طیف‌های پیوسته دقیق‌تر و کامل‌تر باشیم.

## ۵ - مثال: اندازه‌گیری مکان یک ذره

فرض کنید  $\langle \psi | r | \psi \rangle$  تابع موج یک ذره (بدون اسپین) باشد. احتمال یافتن مختصه طول این ذره در داخل بازه  $[x_1, x_2]$  از محور  $x$ ها، با بهکارگرفتن، مثلث، یک وسیله اندازه‌گیری نظیر وسیله شکل ۷، چقدر است؟

زیر فضای  $\mathbb{R}^3$  وابسته به این نتیجه اندازه‌گیری فضائی است که بوسیله کت‌های  $|x, y, z\rangle = |x\rangle |y\rangle |z\rangle$  که در آنها:  $x_1 < x < x_2$  پیدید آمد هاست. چون این کتها، به‌مفهوم گسترده، راست‌هنجار هستند، اعمال قاعده بیان شده در بخش ۳-۱ بالا می‌دهد:

$$\begin{aligned} P(x_1 \leq x \leq x_2) &= \int_{x_1}^{x_2} dx \int_{-\infty}^{+\infty} dy \int_{-\infty}^{+\infty} dz |\langle x, y, z | \psi \rangle|^2 \\ &= \int_{x_1}^{x_2} dx \int_{-\infty}^{+\infty} dy \int_{-\infty}^{+\infty} dz |\psi(r)|^2 \end{aligned} \quad (E-30)$$

فرمول (E-۲۷) آشکارا بهمین نتیجه منتهی می‌شود، زیرا تصویرگر  $P$  در اینجا به صورت زیر نوشته می‌شود:

$$P_A = \int_{x_1}^{x_2} dx \int_{-\infty}^{+\infty} dy \int_{-\infty}^{+\infty} dz |x, y, z\rangle \langle x, y, z| \quad (E-31)$$

و بنابراین داریم:

$$\begin{aligned} P(x_1 \leq x \leq x_2) &= \langle \psi | P_A | \psi \rangle \\ &= \int_{x_1}^{x_2} dx \int_{-\infty}^{+\infty} dy \int_{-\infty}^{+\infty} dz \langle \psi | x, y, z \rangle \langle x, y, z | \psi \rangle \end{aligned} \quad (E-32)$$

برای دانستن حالت  $\langle \psi | \psi \rangle$  ذره بعداز یک چنین اندازه‌گیری، که نتیجه آری داده است، کافی است فرمول (E-۲۹) را بمکار بویم:

$$\begin{aligned} |\psi'\rangle &= \frac{1}{N} P_A |\psi\rangle \\ &= \frac{1}{N} \int_{x_1}^{x_2} dx' \int_{-\infty}^{+\infty} dy' \int_{-\infty}^{+\infty} dz' |x', y', z'\rangle \langle x', y', z'| \psi\rangle \end{aligned} \quad (E-33)$$

که در آن عامل بهنگارش  $N = \sqrt{\langle\langle \psi | P | \psi \rangle \rangle}$  معلوم است [ فرمول (E-32) ]. حال تابع  $\langle r | \psi' \rangle = \langle r | \psi \rangle$  را محاسبه کنیم :

$$\langle r | \psi' \rangle = \frac{1}{N} \int_{x_1}^{x_2} dx' \int_{-\infty}^{+\infty} dy' \int_{-\infty}^{+\infty} dz' \langle r | r' \rangle \psi(r') \quad (E-34)$$

اما  $\langle r | r' \rangle = \delta(r - r') = \delta(x - x') \delta(y - y') \delta(z - z')$  . لذا انتگرال‌های روی  $y$  و  $z$  را می‌توان بلافارصله محاسبه کرد : این عمل با جایگزینی  $y'$  و  $z'$  توسط  $y$  و  $z$  در تابعی که باید از آن انتگرال‌گیری شود انجام می‌گیرد . بدین ترتیب معادله (E-34) می‌شود :

$$\psi'(x, y, z) = \frac{1}{N} \int_{x_1}^{x_2} dx' \delta(x - x') \psi(x', y, z) \quad (E-35)$$

اگر نقطه  $x'$  در داخل بازه انتگرال‌گیری  $[x_1, x_2]$  واقع باشد ، نتیجه همانست که انتگرال‌گیری از  $-\infty$  تا  $\infty$  به دست می‌داد :

$$\psi'(x, y, z) = \frac{1}{N} \psi(x, y, z) \quad x_1 \leq x \leq x_2 \quad (E-36)$$

از طرف دیگر ، اگر  $x'$  در خارج بازه انتگرال‌گیری قرارداشته باشد  $(x' - x) \delta(x' - x)$  بهزاء تمام مقادیر  $x'$  واقع در این بازه صفر است ، و داریم :

$$\psi'(x, y, z) = 0 \quad x > x_2 \quad \text{و} \quad x < x_1 \quad (E-37)$$

بنابراین ، قسمتی از  $(r)\psi$  که متناظر با بازه قبول شده توسط وسیله اندازه‌گیری است ، بلافارصله بعد از اندازه‌گیری ، بدون تغییر باقی می‌ماند [ عامل  $1/N$  فقط بهنگار ماندن  $(r)\psi$  را تأمین می‌کند ] ، بقیه قسمت‌ها توسط اندازه‌گیری حذف می‌شوند . " سروته " بسته موج  $(r)\psi$  که معرف حالت اولیه ذره است بمنوعی توسط لمبه‌های شکاف " زده است .

### گوشزدها :

- (i) این مثال ، بوضوح معنی واقعی " تقلیل بسته موج " را آشکار می‌سازد .
- (ii) اگر تعداد زیادی از ذرات ، که همگی در یک حالت  $(\psi)$  قرار دارند ، متواالیاً وارد وسیله‌شوند ، جواب‌گاهی آری و گاهی نه [ با احتمال‌های آری (۰) و نه (۱) ]

خواهد بود. اگر نتیجه آری باشد، ذره، باحالت "سروتهزده"  $\langle \psi |$ ، به راهش ادامه خواهد داد، اگر نه باشد، ذره توسط پرده جذب خواهد شد.

در مثالی که در اینجا بررسی می‌کنیم، هرچه  $x_1 - x_2$  کوچک‌تر باشد و سیله‌ماندازه‌گیری گزینش گرت می‌شود. لیکن، ملاحظه می‌کنیم که غیرممکن است بتوانیم آنرا کاملاً "گزینش‌گرو" کنیم زیرا طیف  $X$  پیوسته است: شکاف هراندازه هم باریک باشد، بازه  $[x_1, x_2]$  ای را که تعیین می‌کند همیشه شامل بی‌نهایت ویژه مقدار است. با وجود این، در مورد حدی یک شکاف با پهنهای بی‌نهایت کوچک  $\Delta x$ ، معادل فرمول (B-۱۷) را، که بیان ریاضی اصل موضوع چهارم در مورد یک طیف پیوسته بود به دست، می‌آوریم. حال  $x_1 = x_0 - \frac{\Delta x}{2}$  و  $x_2 = x_0 + \frac{\Delta x}{2}$  (یک شکاف به پهنهای  $\Delta x$  بمرکز  $x_0$ ) انتخاب کنید و فرض کنید که تابع  $(\psi(r))$  در بازه  $\Delta x$  خیلی کم تغییر کند. در این صورت، می‌توانیم در (E-۳۵) تابع  $|\psi(x_0, y, z)|^2$  را توسط  $|\psi(x_0, y, z)|^2$  جایگزین، و روی  $x$  انتگرال‌گیری کنیم:

$$\mathcal{P}\left(x_0 - \frac{\Delta x}{2} \leq x \leq x_0 + \frac{\Delta x}{2}\right) \simeq \Delta x \int_{-\infty}^{+\infty} dy \int_{-\infty}^{+\infty} dz |\psi(x_0, y, z)|^2 \quad (E-38)$$

در واقع احتمالی به دست می‌آوریم که برابرست با حاصل ضرب  $\Delta x$  در یک کیت مثبتی که نقش چگالی احتمال در نقطه  $x_0$  را ایفا می‌کند. تفاوت این فرمول با فرمول (B-۱۷) در این واقعیت نهفته است که فرمول (B-۱۷) به مورد یک طیف پیوسته ولی ناتبهگن اعمال می‌شود، در حالی که در اینجا ویژه مقدارهای  $X$  در  $\psi$  بی‌نهایت تبهگن‌اند، این منشاء انتگرالهای روی  $y$  و  $z$  است که در (E-۳۸) ظاهر می‌شود (جمع بندی روی شاخصهای وابسته به تبهگنی).

### β. اصل موضع تقلیل بسته موج‌ها در مورد یک طیف پیوسته

در بخش c-B، در بیان اصل موضع پنجم، خود را به مورد یک طیف‌گستته محدود ساختیم. فرمول (E-۳۳) و بحث همراه آن مارا قادر می‌سازد تا شکلی را که این اصل موضع، وقتی که یک طیف پیوسته را بررسی می‌کنیم اختیار می‌کند بفهمیم: کافی است نتایج بخش b-E در رابطه با وسائلی را که به حد کافی گزینش گر نیستند بدکاربریم. فرض کنید A یک مشاهده‌پذیر با یک طیف پیوسته (که برای سهولت، نا تبهگن فرض می‌شود) باشد، نمادگذاری با نمادگذاری بخش β-b-B یکسان است.

اگر اندازه‌گیری  $A$  روی دستگاهی در حالت  $\langle \psi | \psi \rangle$  منجر به نتیجه  $\alpha_0$  با تقریب  $\Delta\alpha$  شده باشد، حالت دستگاه بلا فاصله پس از این اندازه‌گیری با کث زیر توصیف می‌شود:

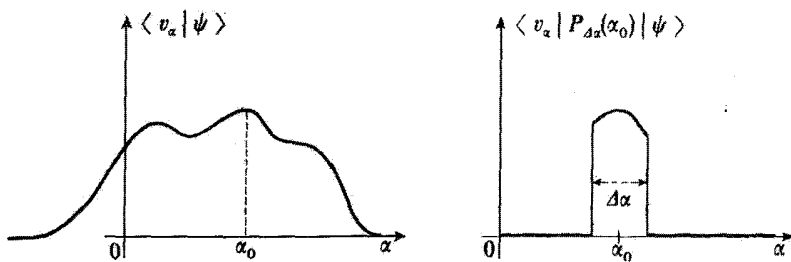
$$|\psi' \rangle = \frac{1}{\sqrt{\langle \psi | P_{\Delta\alpha}(\alpha_0) | \psi \rangle}} P_{\Delta\alpha}(\alpha_0) |\psi \rangle \quad (E-39)$$

که در آن

$$P_{\Delta\alpha}(\alpha_0) = \int_{\alpha_0 - \frac{\Delta\alpha}{2}}^{\alpha_0 + \frac{\Delta\alpha}{2}} d\alpha |v_\alpha \rangle \langle v_\alpha| \quad (E-40)$$

شکل های a و b - ۹ - ۹ این بیان را متجلی می‌کنند. اگر تابع  $\langle \psi | v_\alpha \rangle$  که معرف در پایه  $\{ |v_\alpha\rangle\}$  است، به صورتی که در شکل a - ۹ نشان داده است باشد، حالت این دستگاه بلا فاصله بعد از اندازه‌گیری، با تقریب یک عامل بهنجارش، توسط تابع شکل b - ۹ نشان داده می‌شود [ محاسبه از هر لحظه مشابه با محاسبهای است که (E-۳۶) و (E-۳۷) را از (E-۳۳) بدست می‌آورد ] .

ملاحظه می‌کنیم که، حتی اگر  $\Delta\alpha$  بسیار کوچک باشد، هرگز نمی‌توانیم واقعاً دستگاه را در حالت  $\langle \psi | v_\alpha \rangle$  که، در پایه  $\{ |v_\alpha\rangle\}$ ، توسط  $\delta(\alpha - \alpha_0) |v_{\alpha_0}\rangle = \delta(\alpha - \alpha_0) \langle v_{\alpha_0} | v_\alpha \rangle$  نشان داده می‌شود، بیاوریم. فقط می‌توانیم یک تابع باریک که در  $\alpha_0$  متعرک است بدست آوریم، زیرا  $\Delta\alpha$  هرگز صفر نمی‌شود.



شکل ۹.

نمایش اصل موضع تقلیل بسته موج‌ها در مورد یک طیف پیوسته: مشاهده‌پذیر A، با ویژه‌بردارهای  $\{ |v_\alpha\rangle\}$  و ویژه قدرارهای  $\{ v_\alpha \}$  را، اندازه‌گیری می‌کنیم، و سیله اندازه‌گیری دارای قدرت گزینش  $\Delta\alpha$  است، اگر مقدار بدست آمده، با تقریب  $\Delta\alpha$  برابر  $\alpha_0$  باشد، اثر اندازه‌گیری روی تابع موج  $\langle \psi | v_\alpha \rangle$  اینستکه سروته آنرا در حوالی مقدار  $\alpha_0$  قطع کند ( برای بهنجارکردن تابع موج جدید، آشکارا لازم است که آنرا در ضربی بزرگتر از ۱ ضرب کنیم ) .

## مراجع و پیشنهادات برای مطالعه بیشتر:

- Jammer (4.8) توسعه مفاهیم مکانیک کوانتومی: مراجع بخش ۴ کتاب شناسی، بخصوص
- بحث درباره تعبیر اصول موضوع: مراجع بخش ۵ کتاب شناسی،  
Von Neumann (10.10), chaps. V and VI; Feynman III (1.2), §2.6, chap. 3. and §8.3
- قواعد کوانتش با استفاده از کروشهای پواسن: §24 Dirac (1.13), §21; Schiff (1.18).
- احتمال و آمار: رک زیر بخش مربوطه از بخش ۱۰ کتاب شناسی.

## مکملهای فصل سوم

$A_{III}$  : کاربردهای مستقیم فصل سوم به موارد ساده، تأکید بر بحث فیزیکی نتایج (در سطح مقدماتی) است.

$A_{III}$  : ذره در یکچاه پتانسیل نامحدود  
 $B_{III}$  : مطالعه جریان احتمال در چند مورد خاص

$C_{III}$  : کمی صوری‌تر با اثبات عمومی روابط عدم قطعیت های یزنبرگ، در قرائت مرتبه "اول" می‌توان از آن گذشت.

$c_{III}$  : انحرافهای ریشه‌های میانگین مربعی دومشاهده‌پذیر همیوغ

$D_{III}$  : بحث اندازه‌گیریهای انجام شده فقط روی یک قسمت از دستگاه، کاربرد نسبتاً "سان ولی تاحدی" صوری فصل سوم، در قرائت اول می‌توان از آن گذشت.

$D_{III}$  : اندازه‌گیریهایی که فقط روی یک قسمت از دستگاه فیزیکی انجام می‌شود.

$E_{III}$  : مکملهای مقدمه دوره‌های پیشرفته‌تر مکانیک کوانتومی بجز  $F_{III}$ ، که ساده‌است، بقیه در سطحی بالاتر از سطح بقیه کتاب است، اما اگر فصل سوم "قبلًا" خوانده شده‌باشد، قابل فهم‌اند. برای مطالعه بعدی گذاشته شود.

$E_{III}$  : تعریف و خواص عملگر چگالی که در توصیف کوانتومی دستگاههایی که حالت آنها به طور ناکامل معلوم است ( $\Delta$  میزه آماری حالتها) به کار می‌رود، ابزار اساسی مکانیک آماری کوانتومی.

$F_{III}$  : معرفی عملگر تحول، که حالت کوانتومی یک دستگاه در لحظه دلخواه، را بر حسب حالت آن در لحظه  $t_0$  به دست می‌دهد.

$G_{III}$  : توصیف تحول یک دستگاه کوانتومی

$E_{III}$  : عملگر چگالی

$F_{III}$  : عملگر تحول

$G_{III}$  : دیدگاههای شرودینگروها یزنبرگ

$H_{III}$  : تغییرناپذیری پیمانهای

$I_{III}$  : انتشار دهنده معادله شرودینگر

با دیدگاهی متفاوت ولی معادل با دیدگاه فصل سوم ، در این دیدگاه بستگی زمانی در مشاهده‌پذیرها ظاهر می‌شود و نه در حالت دستگاه .

$H_{III}$  : بحث صورت‌بندی کوانتومی در سوردی که دستگاه تحت تأثیر یک میدان الکترومغناطیسی قرار دارد . با وجودی که توصیف دستگاه پتانسیلهای الکترومغناطیسی را وارد می‌کند ، خواص فیزیکی فقط به مقادیر میدانهای الکتریکی و مغناطیسی بستگی دارد ، وقتی پتانسیلهای توصیف‌کننده ، میدان الکترومغناطیسی را تغییر دهیم ، تغییر ناپذیر باقی می‌ماند .

$J_{III}$  : مقدمه‌ای بر روش دیگر برای بررسی مکانیک کوانتومی که بر اصلی مشابه با اصل هویگنس در اپتیک موجی کلاسیکی بنا شده است .

$K_{III}$  : بحث ساده مفاهیم فیزیکی مهم ناپایدار و طول عمر آسان است ولی برای مطالب بعدی ضروری نیست .

$L_{III}$  : حالت‌های ناپایدار . طول عمر

$M_{III}$  : تمرینات

$O_{III}$  ،  $N_{III}$  ،  $M_{III}$  : بازگشت به بررسی مسائل یک بعدی ، بادیدگاهی عمومی تر از دیدگاه‌های فصل اول و مکمل‌های آن در این مورد .

$M_{III}$  : تعمیم نتایج اصلی به دست آمده در بخش ۲ - ۲ از مکمل  $H_I$  به یک چاه پتانسیل دلخواه ، توصیه می‌شود ، زیرا هم آسان است و هم از نظر فیزیکی مهم .

$N_{III}$  : مطالعه حالت‌های مانای نامقید در یک

$M_{III}$  : حالت‌های مقید یک ذره در یک "چاه پتانسیل" با شکل دلخواه

$N_{III}$  : حالت‌های نا مقید یک ذره در حضور یک چاه یا سد پتانسیل با شکل دلخواه

$O_{III}$  : خواص کوانتومی یک ذره در یک ساختار تناوبی یک بعدی

پتانسیل دلخواه، قدری صوری‌تر، تعاریف و نتایج این مکمل برای مطالعه مکمل  $O_{\text{III}}$  ضروری است.

$O_{\text{III}}$  : وارد کردن مفهوم نوارهای اثرزی (که برای فیزیک حالت جامد اساسی است) در یک پتانسیل ساختار تنابی (این مفهوم بهطور متفاوتی در مکمل  $F_{x_1}$  بررسی خواهد شد)، "نسبتاً" مشکل است و می‌تواند برای مطالعه گذاشته شود.

---

## مکمل III

## ذره دریک چاه پتانسیل مریبی

- ۱ - توزیع مقادیر تکانه در یک حالت مانا
- a - محاسبهٔ تابع  $\langle P \rangle$  و  $\langle \bar{P} \rangle$
- b - بحث فیزیکی
- ۲ - تحول نابع موج ذره
  - a - تابع موج در لحظهٔ  $t$
  - b - تحول شکل بسته موج
  - c - حرکت مرکز بسته موج
- ۳ - اغتشاش ایجاد شده توسط اندازه‌گیری مکان

در مکمل  $H_1$  (بخش ۲-۳) حالتهای مانای یک ذره در یک چاه پتانسیل نامحدود یکبعدی را مورد مطالعه قراردادیم. در اینجا قصد داریم این مطالعه را با دیدگاه فیزیکی تری از سریگیریم. این امر بهما اجازه خواهد داد تابعی از اصول موضوع فصل سوم را بهیک مورد واقعی اعمال کنیم. بویژه توجه خود را بهنتایجی که اندازه‌گیری مکان یا تکانه ذره می‌تواند به دست دهد معطوف خواهیم داشت.

## ۱ - توزیع مقادیر تکانه در یک حالت مانا

a - محاسبهٔ تابع  $\langle P \rangle$  و  $\langle \bar{P} \rangle$

قبلًا " دیدیم که حالتهای مانای ذره با انرژیهای \*:

$$E_n = \frac{n^2 \pi^2 \hbar^2}{2ma^2} \quad (1)$$

و توابع موج:

$$\varphi_n(x) = \sqrt{\frac{2}{a}} \sin\left(\frac{n\pi x}{a}\right) \quad (2)$$

---

\* نمادگذاری‌ها همانهای هستند که در مکمل  $H_1$  مورد استفاده قرار گرفته بودند.

( که در آن  $a$  پهنه‌ای چاه و  $n$  یک عدد درست مثبت دلخواه است ) متناظرند .  
یک ذره را در حالت  $\langle \varphi_n | , \text{ بالانرژی } E_n , \text{ در نظر بگیرید . احتمال اینکه یک  
اندازه‌گیری تکانه } P \text{ ی ذره نتیجماً بین } p \text{ و } p + dp \text{ بدهد برابر است با :}$

$$\bar{\mathcal{P}}_n(p) dp = |\bar{\varphi}_n(p)|^2 dp \quad (3)$$

که در آن

$$\bar{\varphi}_n(p) = \frac{1}{\sqrt{2\pi\hbar}} \int_0^a \sqrt{\frac{2}{a}} \sin\left(\frac{n\pi x}{a}\right) e^{-ipx/\hbar} dx \quad (4)$$

این انتگرال را می‌توان بسادگی محاسبه کرد ، مقدار آن برابر است با :

$$\begin{aligned} \bar{\varphi}_n(p) &= \frac{1}{2i\sqrt{\pi\hbar a}} \int_0^a \left[ e^{i\left(\frac{n\pi}{a} - \frac{p}{\hbar}\right)x} - e^{-i\left(\frac{n\pi}{a} + \frac{p}{\hbar}\right)x} \right] dx \\ &= \frac{1}{2i\sqrt{\pi\hbar a}} \left[ \frac{e^{i\left(\frac{n\pi}{a} - \frac{p}{\hbar}\right)a} - 1}{i\left(\frac{n\pi}{a} - \frac{p}{\hbar}\right)} - \frac{e^{-i\left(\frac{n\pi}{a} + \frac{p}{\hbar}\right)a} - 1}{-i\left(\frac{n\pi}{a} + \frac{p}{\hbar}\right)} \right] \end{aligned} \quad (5)$$

یعنی :

$$\bar{\varphi}_n(p) = \frac{1}{2i} \sqrt{\frac{a}{\pi\hbar}} e^{i\left(\frac{n\pi}{2} - \frac{pa}{2\hbar}\right)} \left[ F\left(p - \frac{n\pi\hbar}{a}\right) + (-1)^{n+1} F\left(p + \frac{n\pi\hbar}{a}\right) \right] \quad (6)$$

که دز آن :

$$F(p) = \frac{\sin(pa/2\hbar)}{pa/2\hbar} \quad (7)$$

تابع  $\bar{\varphi}_n(p)$  ، با تقریب یک ضریب تناسب ، مجموع ( یاتفاضل ) دو "تابع پراش "  $F\left(p \pm \frac{n\pi\hbar}{a}\right)$  ، مرکز در  $p = \mp \frac{n\pi\hbar}{a}$  است . " پهنه‌ای " این توابع ( فاصله بین دو صفر اول ، که نسبت به مقدار مرکزی متقاضاند ) به  $n$  بستگی ندارد و برابر است با  $\frac{4\pi\hbar}{a}$  " دامنه " آنها نیز به  $n$  بستگی ندارد .

تابع داخل کروشه در رابطه ( ۶ ) ، در صورتی که  $n$  فرد باشد ، زوج و در صورتی که  $n$  زوج باشد فرد است . از این رو ، چگالی احتمال  $\bar{\mathcal{P}}_n(p)$  داده شده توسط ( ۳ ) در تمام موارد تابع زوجی از  $p$  است ، بنابراین :

$$\langle P \rangle_n = \int_{-\infty}^{+\infty} \bar{\mathcal{P}}_n(p) p dp = 0 \quad (8)$$

یعنی، مقدار متوسط تکانه ذره در حالت انرژی  $E_n$  صفر است. هم‌چنین، مقدار متوسط مجذور تکانه،  $\langle P^2 \rangle_n$  را محاسبه کنیم. با استفاده ازین واقعیت که در نطايش  $\{ |x\rangle\}$ ،  $P$  مانند  $\frac{\hbar}{i} \frac{d}{dx}$  عمل می‌کند، و با انتگرال‌گیری بعروس

جزء بجزء، به دست می‌آوریم\*:

$$\begin{aligned}\langle P^2 \rangle_n &= \hbar^2 \int_0^a \left| \frac{d\phi_n}{dx} \right|^2 dx \\ &= \hbar^2 \int_0^a \frac{2}{a} \left( \frac{n\pi}{a} \right)^2 \cos^2 \left( \frac{n\pi x}{a} \right) dx \\ &= \left( \frac{n\pi\hbar}{a} \right)^2\end{aligned}\quad (9)$$

از (۸) و (۹) خواهیم یافت:

$$\Delta P_n = \sqrt{\langle P^2 \rangle_n - \langle P \rangle_n^2} = \frac{n\pi\hbar}{a} \quad (10)$$

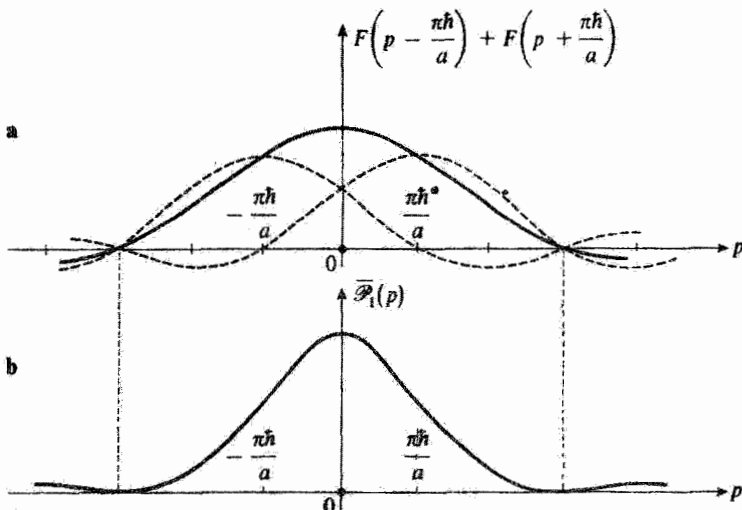
بنابراین، ریشه میانگین مربعی انحراف بطور خطی با  $n$  افزایش می‌یابد.

#### ۶. بحث فیزیکی

منحنی‌هایی را که چگالی احتمال  $(p) \mathcal{P}_n$  را می‌دهند، برای مقادیر مختلف  $n$ ، رسم کنیم. برای این کار، ابتدا به مطالعه تابع داخل کروشه در رابطه (۶) بپردازیم. برای حالت پایه ( $n=1$ )، این تابع مجموع دوتابع  $F$ ، دوتابع پراشی که مرکز آنها به فاصله نصف پهنایشان از یکدیگر قرار دارند (شکل a-۱)، می‌باشد. برای اولین تراز برانگیخته ( $n=2$ )، فاصله بین این مرکز دوباره زیادتر است، و بعلاوه، در این مورد، باید اختلاف دوتابع  $F$  منظور شود (شکل a-۲). بالاخره، برای یک تراز برانگیخته متناظر با یک مقدار بزرگ  $n$ ، فاصله مرکز دومنحنی پراشی خیلی بیشتر از پهنایه‌ای آنهاست.

\* نتیجه (۹) را می‌توانستیم با محاسبه انتگرال  $\langle P^2 \rangle_n = \int_{-\infty}^{+\infty} |\phi_n(p)|^2 p^2 dp$  از رابطه (۶)

نیز بدست آوریم. معذلك این محاسبه، که اشکال عده‌ای پیش نمی‌آورد، به سراستی محاسبه‌ای که در اینجا داده شده است، نیست.



شکل ۱

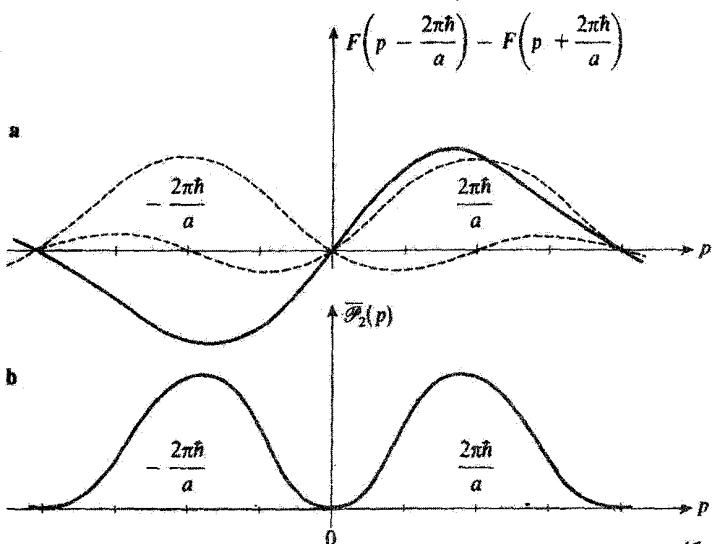
تابع موج  $\psi_1(p)$ ، وابسته به حالت پایه<sup>۰</sup> یک ذره در یک چاه پتانسیل نامحدود در تعاملش  $(\langle \psi | p | \psi \rangle)$ ، از افزودن دو تابع پراشی  $F$  (منحنی های خط چین در شکل a) به دست می آید. چون مرکز این دو تابع  $F$  به فاصله نصف پهنای ایشان از یکدیگر واقع شده، مجموع آنها دارای روندی است که توسط منحنی خط پر در شکل a نشان داده شده است. با مجدور کردن این مجموع، چکالی احتمال  $P_n(p)$  وابسته به یک اندازه گیری تکانه ذره به دست می آید (شکل b).

با مجدور کردن این توابع، چکالی احتمال  $P_n(p)$  به دست می آید (روک شکل b-۱ و b-۲). توجه کنید که برای  $n$  های بزرگ جمله<sup>۰</sup> تداخلی بین  $F\left(p - \frac{n\pi\hbar}{a}\right)$  و  $F\left(p + \frac{n\pi\hbar}{a}\right)$  قابل اغماض است (به خاطر جدایی مرکزهای دو منحنی) :

$$\begin{aligned} \bar{P}_n(p) &= \frac{a}{4\pi\hbar} \left[ F\left(p - \frac{n\pi\hbar}{a}\right) + (-1)^{n+1} F\left(p + \frac{n\pi\hbar}{a}\right) \right]^2 \\ &\approx \frac{a}{4\pi\hbar} \left[ F^2\left(p - \frac{n\pi\hbar}{a}\right) + F^2\left(p + \frac{n\pi\hbar}{a}\right) \right] \end{aligned} \quad (11)$$

در این صورت تابع  $(p)\bar{P}_n$  به صورت نشان داده شده در شکل ۳ است. ملاحظه می شود که وقتی  $n$  بزرگ باشد، چکالی احتمال دارای دو قله<sup>۰</sup> متقارن، به پهنای  $\frac{4\pi\hbar}{a}$  و به مرکزهای  $p = \pm \frac{n\pi\hbar}{a}$  است. در این صورت می توان تقریباً با قطعیت

کامل نتایج اندازهگیری تکانه ذره در حالت  $\langle \varphi_n |$  را پیش بینی کرد:



شکل ۲

برای اولین تراز برانگیخته، تابع  $\langle p | \varphi_1 | p \rangle$  از تفاضل دوتابع  $F$ ، با همان پهنهای شکل a - ۱ ولی با فاصله بیشتر از یکدیگر (منحنی خط پر در شکل a) بدست می‌آید. منحنی بدست آمده، با خط پر در شکل a نمایش داده شده است. در این صورت چگالی احتمال  $\langle p | \varphi_1 | p \rangle$  دارای دو ماگزیم واقع در نزدیکی  $p = \pm n\pi\hbar/a$  است (شکل b).

\* مقدار بدست آمده تقریباً برابر  $\frac{n\pi\hbar}{a} + \frac{n\pi\hbar}{a}$  خواهد بود، دقیق نسبی با افزایش  $n$  بیشتر می‌شود (دومقدار متقابل  $\frac{n\pi\hbar}{a} \pm \frac{n\pi\hbar}{a}$  متساوی الاحتمالند). این امر بهسادگی قابل فهم است. درواقع، برای  $n$  های بزرگ، تابع  $\langle x | \varphi_n | x \rangle$ ، که به صورت سینوسی تغییر می‌کند، نوسانات بیشماری در داخل چاه انجام می‌دهد، در این صورت می‌توان علاوه بر صورت دوموج پیش رو نده متناظر با تکانه‌های متقابل  $p = \pm \frac{n\pi\hbar}{a}$  در نظر گرفت. آنرا وقتی  $n$  کاهش می‌یابد، دقیق نسبی که می‌توان با آن مقادیر ممکن تکانه را پیش بینی کرد کم می‌شود. به عنوان مثال، در شکل b - ۲، می‌بینیم که وقتی  $n = 2$  است، تابع  $\langle p | \varphi_2 | p \rangle$  دارای دو قله است که پهنهای ایشان در حدود فاصله آنها تا مبدأ است. در این مورد، تابع

\* دقیق مطلق مستقل از  $n$  است، زیرا پهنهای منحنی‌ها همواره  $\frac{4\pi\hbar}{a}$  می‌باشد.

موج فقط یک نوسان در داخل چاه انجام می‌دهد و غیرمنتظره نیست که، برای این تابع سینوسی که در  $x = 0$  و  $x = a$  "قطع شده است"، طول موج (و در نتیجه، تکانه ذره) خوب معین نباشد. بالاخره، برای حالت پایه، تابع موج توسط نصف یک کمان سینوسی نشان داده شده است: در این صورت مقادیر نسبی طول موج و تکانه ذره معین نیستند.

(شکل b - ۱)

### گوشزدھا:

(i) اکنون تکانه، یک ذره کلاسیکی با انرژی  $E_n$  را که توسط (۱) داده شده است محاسبه کنیم، داریم:

$$\frac{p_{cl}^2}{2m} = \frac{n^2\pi^2\hbar^2}{2ma^2} \quad (12)$$

یعنی:

$$p_{cl} = \pm \frac{n\pi\hbar}{a} \quad (13)$$

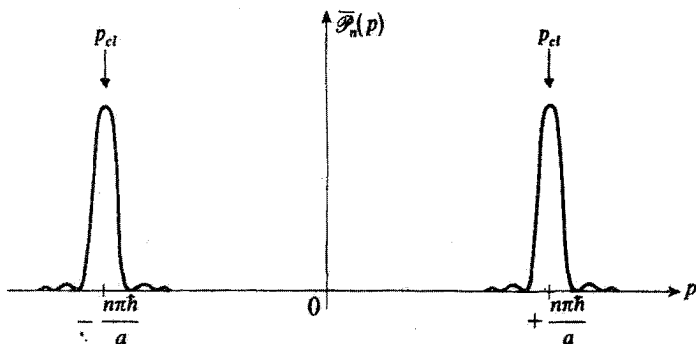
از این رو، وقتی  $n$  بزرگ باشد، دوقله  $(p)$  بخوبی با مقادیر کلاسیکی تکانه متناظرند.

(ii) ملاحظه می‌کنیم که، برای  $n$  های بزرگ، با وجودی که مقدار نسبی تکانه کاملاً معین است، علامت آن چندین نیست، به این دلیل است که  $\Delta P_n$  بزرگ است: برای توزیعهای احتمال باد و مأگریم نظیر شکل ۳، ریشه میانگین مربعی انحراف منعکس‌کننده، فاصله بین دوقله است و دیگر به پهناهایشان ارتباط ندارد.

### ۲ - تحول تابع موج ذره

حالتهای  $|\varphi_n\rangle$ ، با تابع موج  $(x)\varphi_n$ ، حالتهای مانایی هستند که به هیچ‌گونه تحول زمانی منجر نمی‌شوند. تحول زمانی تنها هنگامی ظاهر می‌شود که بردار حالت یک ترکیب خطی از چندین کت  $|\varphi_n\rangle$  باشد. در اینجا مورد بسیار ساده‌ای را بررسی می‌کنیم که برای آن، در زمان  $t = 0$ ، بردار حالت  $|\psi(0)\rangle$  امبار است با:

$$|\psi(0)\rangle = \frac{1}{\sqrt{2}} [|\varphi_1\rangle + |\varphi_2\rangle] \quad (14)$$



شکل ۳.

وقتی  $n$  بزرگ است (تراز بسیار برانگیخته)، چگالی احتمال دارای دو قله بارز، به مرکزهای  $p = \pm n\pi\hbar/a$  است، که تکانه‌های وابسته به حرکت کلاسیکی با همان انرژی هستند.

## ۶ - نتایج موج در لحظه :

با بکاربردن فرمول (۵۴-۵) از فصل سوم، بلاfaciale بدست می‌وریم:

$$|\psi(t)\rangle = \frac{1}{\sqrt{2}} [e^{-i\frac{\pi^2\hbar}{2ma^2}t} |\varphi_1\rangle + e^{-i\frac{\pi^2\hbar}{ma^2}t} |\varphi_2\rangle] \quad (15)$$

یا، با حذف یک ضریب فاز کلی از  $|\psi(t)\rangle$  :

$$|\psi(t)\rangle \propto \frac{1}{\sqrt{2}} [|\varphi_1\rangle + e^{-i\omega_{21}t} |\varphi_2\rangle] \quad (16)$$

که در آن:

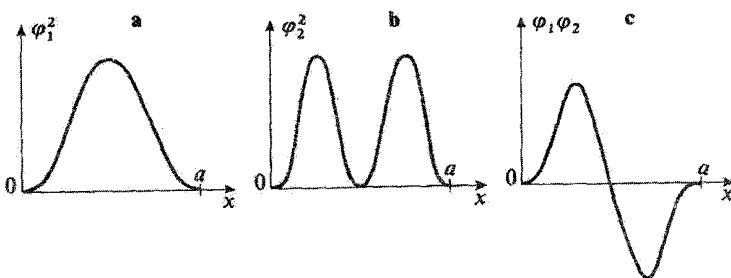
$$\omega_{21} = \frac{E_2 - E_1}{\hbar} = \frac{3\pi^2\hbar}{2ma^2} \quad (17)$$

## ۷ - تحول شکل بسته موج

شکل بسته موج توسط چگالی احتمال:

$$|\psi(x, t)|^2 = \frac{1}{2} \varphi_1^2(x) + \frac{1}{2} \varphi_2^2(x) + \varphi_1(x) \varphi_2(x) \cos \omega_{21}t \quad (18)$$

داده می‌شود. ملاحظه می‌کنیم که تغییرات زمانی چگالی احتمال از جمله تداخلی  $\varphi_1\varphi_2$  ناشی می‌شود. فقط یک فرکانس بوهر  $v_{21} = (E_2 - E_1)/h$  ظاهر می‌شود زیرا حالت اولیه (۱۴) فقط از دو حالت  $\langle \varphi_1 |$  و  $\langle \varphi_2 |$  تشکیل شده است. منحنی‌های متناظر با تغییرات توابع  $\varphi_1^2$ ،  $\varphi_2^2$  و  $\varphi_1\varphi_2$  در شکل‌های a، b و c رسم شده‌اند.



شکل ۴

نمایش نموداری توابع  $\varphi_i^2$  (چگالی احتمال ذره در حالت پایه)،  $\varphi_2^2$  (چگالی احتمال ذره در اولین حالت بوانگیخته) و  $\varphi_1\varphi_2$  (جمله حاصلضربی مسئول تحول شکل بسته موج).

به آسانی می‌توان به‌کمک این شکلها و رابطه (۱۸)، تغییر شکل بسته موج نسبت به زمان را بطور نموداری نشان داد (رگ شکل ۵)؛ مشاهده می‌کنیم که بسته موج بین دو دیواره چاه نوسان می‌کند.

۵ — حرکت مرکز بسته موج :

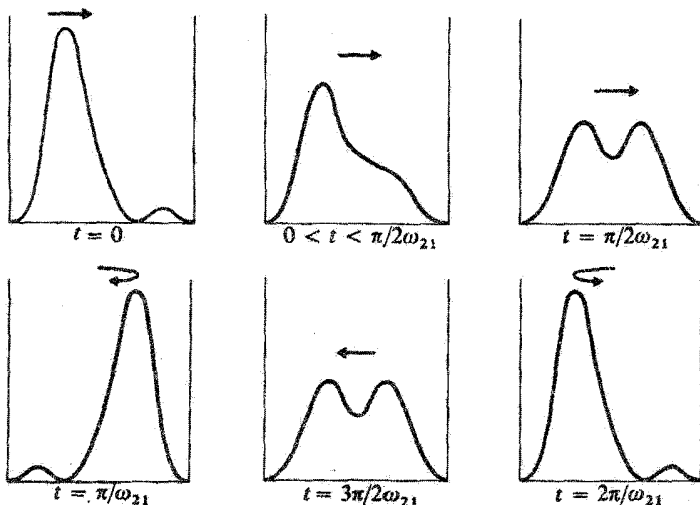
حال مقدار متوسط  $\langle X \rangle$  مکان ذره در زمان  $t$  را محاسبه کنیم. برای این کار راحت‌تر است قرار دهیم:

$$X' = X - a/2 \quad (19)$$

زیرا، بدليل تقارن، عناصر قطر اصلی ماتریس  $X$  صفرند:

$$\langle \varphi_1 | X' | \varphi_1 \rangle \propto \int_0^a \left( x - \frac{a}{2} \right) \sin^2 \left( \frac{\pi x}{a} \right) dx = 0 \quad (20)$$

$$\langle \varphi_2 | X' | \varphi_2 \rangle \propto \int_0^a \left( x - \frac{a}{2} \right) \sin^2 \left( \frac{2\pi x}{a} \right) dx = 0$$



شکل ۵.

حرکت دوره‌ای یک بسته موج که از برهمنهش حالت پایه و اولین حالت بر انگیخته یک ذره در یک چاه تامحدود به دست آمده است. فرکانس حرکت همان فرکانس بوهر  $\omega_{21}/2\pi$  است.

در این صورت داریم:

$$\langle X' \rangle(t) = \operatorname{Re} \{ e^{-i\omega_{21}t} \langle \varphi_1 | X' | \varphi_2 \rangle \} \quad (21)$$

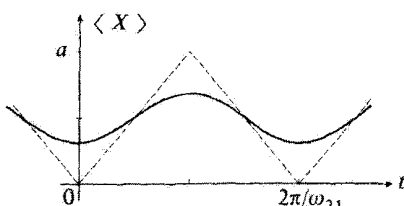
$$\begin{aligned} \langle \varphi_1 | X' | \varphi_2 \rangle &= \langle \varphi_1 | X | \varphi_2 \rangle - \frac{a}{2} \langle \varphi_1 | \varphi_2 \rangle \\ &= \frac{2}{a} \int_0^a x \sin \frac{\pi x}{a} \sin \frac{2\pi x}{a} dx \\ &= -\frac{16a}{9\pi^2} \end{aligned} \quad (22)$$

بنابراین:

$$\langle X \rangle(t) = \frac{a}{2} - \frac{16a}{9\pi^2} \cos \omega_{21}t \quad (23)$$

مکانیک کوانتومی پیش‌بینی می‌کند که مرکز بسته‌موج قبل از رسیدن بددیواره برگشت خواهد کرد. این امر بهوسیله عمل پتانسیل روی "لبه" بسته موج تشریح می‌شود.

تغییرات  $\langle X \rangle$  در شکل ۶ نشان داده شده است. منحنی های خط چین، تغییرات مکان یک ذره کلاسیکی، برای ذره ای که با فرکانس زاویه ای  $\omega_{21}$  در چاه حرکت رفت و آمد انجام می دهد، نمایش می دهد ( چون بجز در محل دیواره ها نیرویی به ذره وارد نمی شود ، مکان ذره بین ۰ و  $a$  در هر نیم دوره بطور خطی با  $t$  تغییر می کند ) .



شکل ۶

تغییرات زمانی مقدار متوسط  $\langle X \rangle$  مربوط به بسته موج شکل ۵، خط چین ها مشخص کننده مکان یک ذره کلاسیکی هستند که با همان زمان متناوب حرکت می کند .

بلافاصله متوجه یک تفاوت بسیار واضح بین این دونوع حرکت ، کلاسیکی و کوانتومی می شویم . مرکز بسته موج کوانتومی ، بجای اینکه از دیواره های چاه بازگشت کند ، دامنه حرکت آن ضعیفتر شده و قبل از رسیدن به ناحیه هایی که پتانسیل آنها صفر نیست بازگشت می کند . در اینجا نتیجه بخش ۲-D از فصل اول را باز می یابیم : چون پتانسیل در  $x = 0$  و  $x = a$  بی نهایت سریع تغییر می کند ، تغییرات آن در محدوده ای از مرتبه ابعاد بسته موج قابل اغماض نیست ، و حرکت مرکز بسته موج از قوانین مکانیک کلاسیک تعیین نمی کند ( فصل سوم ، بخش ۲ - D - ۱ - d را نیز بهبینید ) . توضیح فیزیکی این پدیده بشرح زیر است : قبل از اینکه مرکز بسته موج به دیواره برسد ، عمل پتانسیل روی " لمبه های " این بسته موج به آن اندازه هست که آن را به عقب برگرداند .

گوشزد :

مقدار متوسط انرژی ذره در حالت  $\langle H \rangle$  ( که در ( ۱۵ ) محاسبه شده است به آسانی به صورت زیر بدست می آید ) :

$$\langle H \rangle = \frac{1}{2} E_1 + \frac{1}{2} E_2 = \frac{5}{2} E_1 \quad ( ۲۴ )$$

هم‌چنین خواهیم یافت:

$$\langle H^2 \rangle = \frac{1}{2} E_1^2 + \frac{1}{2} E_2^2 = \frac{17}{2} E_1^2 \quad (25)$$

که از آنها نتیجه می‌شود:

$$\Delta H = \frac{3}{2} E_1 \quad (26)$$

مخصوصاً "توجه کنید که  $\langle H \rangle$ ،  $\langle H^2 \rangle$  و  $\Delta H$  وابسته به زمان نیستند، این امر طبیعی است، چون  $H$  یک ثابت حرکت است. بعلاوه، از بحث قبل ملاحظه می‌کنیم که بسته‌سوج در مدت زمانی از مرتبه:

$$\Delta t \simeq \frac{1}{\omega_{21}} \quad (27)$$

بطور قابل ملاحظه‌ای تحول می‌یابد.

با استفاده از (26) و (27) داریم:

$$\Delta H \cdot \Delta t \simeq \frac{3}{2} E_1 \times \frac{\hbar}{3E_1} = \frac{\hbar}{2} \quad (28)$$

در اینجا بار دیگر رابطه عدم قطعیت زمان - انرژی را می‌یابیم.

### ۳- اختشاش/ ایجاده شده توسط اندازه‌گیری مکان

ذره‌ای را در حالت  $\langle \varphi_1 |$  در نظر بگیرید. فرض کنید مکان ذره در زمان  $t = 0$ ، اندازه‌گیری شده باشد و نتیجه  $x = a/2$  به دست آمده باشد. احتمال نتایج مختلفی که می‌تواند در یک اندازه‌گیری انرژی، که بلاغاً صله بعد از اولین اندازه‌گیری انجام شده است، به دست آید چقدر است؟

با استی مواظب استدلال غلط‌زیر بود: بعد از اندازه‌گیری، ذره در ویژه حالت  $X$  متناظر با نتیجه به دست آمده است، ولذا تابع موج آن با  $(x - a/2)\delta(x - a/2)$  متناسب است اگر در این هنگام یک اندازه‌گیری انرژی انجام شود، مقادیر مختلف  $E_n$ ، با احتمال‌های متناسب با:

$$\left| \int_0^a dx \delta\left(x - \frac{a}{2}\right) \varphi_n^*(x) \right|^2 = \left| \varphi_n\left(\frac{a}{2}\right) \right|^2 = \begin{cases} 2/a & \text{اگر } n \text{ فرد باشد} \\ 0 & \text{اگر } n \text{ زوج باشد} \end{cases} \quad (29)$$

می‌توانند به دست آیند. با این استدلال نادرست، احتمال یافتن تمام مقادیر  $E_n$  متناظر

با  $n$  های فرد باهم برابر می‌شوند، که بی‌معنی است ( زیرا در این صورت مجموع این احتمالات بی‌نهایت خواهد شد ) .

این خطای این واقعیت ناشی می‌شود که ما هنجار تابع موج را به حساب نیاورده‌ایم . برای اعمال صحیح اصل موضوع چهارم از فصل سوم ، لازم است که تابع موج بلافاصله بعد از اولین اندازه‌گیری را بهنجار شده بنویسیم . لیکن نمی‌توان تابع موج  $(x - a/2)^{\delta}$  را بهنجار کرد \* . بنابراین ، مسئله مطرح شده در بالا باید دقیق بیان شود .

همانطوری که در بخش ۲-۱-E از فصل سوم دیدیم آزمایشی که در آن اندازه‌گیری یک مشاهده‌پذیر با طیف پیوسته انجام شود هرگز نتیجه‌های بادقت کامل نمی‌دهد . برای موردی که مورد نظر ماست ، فقط می‌توانیم بگوئیم که :

$$\frac{a}{2} - \frac{\varepsilon}{2} \leq x \leq \frac{a}{2} + \frac{\varepsilon}{2} \quad (30)$$

که در آن  $\varepsilon$  بوسیله " اندازه‌گیری بکاررفته بستگی دارد ولی هرگز صفر نیست .

اگر فرض کنیم که  $\varepsilon$  خیلی کوچکتر از گستردگی تابع موج قبل از اندازه‌گیری ( در اینجا  $a$  ) باشد ، تابع موج بعد از اندازه‌گیری علاوه بر  $\sqrt{\varepsilon} \delta^{(n)}\left(x - \frac{a}{2}\right)$  خواهد بود [  $(x - a)^{\delta}$  در تمام جاها ، بجز در فاصله تعریف شده در ( ۳۰ ) ] ، که مقدار  $1/\varepsilon$  را می‌گیرد : صفر است ، رک پیوست ۲ ، بخش ۱-۱ . این تابع موج محققانه " بهنجارشده است ، زیرا :

$$\int dx \left| \sqrt{\varepsilon} \delta^{(n)}\left(x - \frac{a}{2}\right) \right|^2 = 1 \quad (31)$$

حال اگر انرژی اندازه‌گیری شود چه اتفاق می‌افتد ؟ هر مقدار  $E_n$  می‌تواند با احتمال :

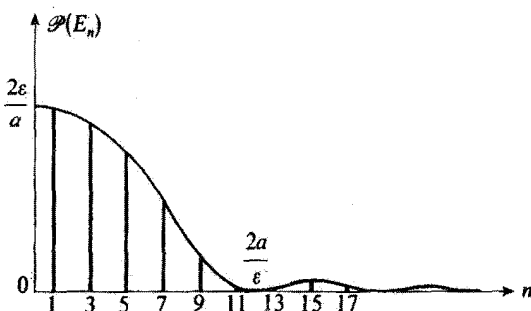
$$\begin{aligned} \mathcal{P}(E_n) &= \left| \int \varphi_n^*(x) \sqrt{\varepsilon} \delta^{(n)}\left(x - \frac{a}{2}\right) dx \right|^2 \\ &= \begin{cases} \frac{8a}{\varepsilon} \left(\frac{1}{n\pi}\right)^2 \sin^2\left(\frac{n\pi\varepsilon}{2a}\right) & \text{اگر } n \text{ فرد باشد} \\ 0 & \text{اگر } n \text{ زوج باشد} \end{cases} \end{aligned} \quad (32)$$

بمدست آید .

تفییرات  $\mathcal{P}(E_n)$  نسبت به  $n$  ، برای  $\varepsilon$  ثابت و  $n$  فرد ، در شکل ۷ نشان داده شده است . این شکل نشان می‌دهد که وقتی  $n$  خیلی بزرگتر از  $a/\varepsilon$  باشد احتمال  $\mathcal{P}(E_n)$  قابل

\* در این مثال علاوه بر ملاحظه می‌کنیم که تابع  $\delta$  نمی‌تواند معروف یک حالت فیزیکی واقعی باشد .

اغراض می‌شود. لذا، هرقدر هم  $\varepsilon$  کوچک باشد، توزیع احتمالات  $P(E_n)$  قویاً "به  $\varepsilon$  بستگی دارد و بهمین دلیل است که در استدلال اول که از ابتدا  $= 0$  قرار دادیم، نتوانستیم نتیجه صحیح را بدست آوریم. هم‌چنین از شکل ملاحظه می‌کنیم که، هرچه  $\varepsilon$  کوچکتر باشد، منحنی بیشتر به سمت مقادیر بزرگ  $n$  کشیده‌می‌شود. تعبیر این نتیجه بصورت زیر است: بنابر روابط عدم قطیعت هایزنبرگ (دک فصل اول، بخش ۳-۲)، اگر مکان ذره را با دقت زیادی اندازه‌گیری کنیم، تکانه آنرا بهشت تغییر می‌دهیم. بنابر این یک انرژی جنبشی بهذره منتقل می‌کنیم، که هرچه  $\varepsilon$  کوچکتر باشد مقدار آن بیشتر است.



شکل ۷

تغییرات احتمال  $P(E_n)$  برای یافتن انرژی  $E_n$  بعد از یک اندازه‌گیری مکان ذره که مقدار  $a/2$  را با دقت  $\varepsilon$  داده است، نسبت به  $n$ . هرچه  $\varepsilon$  کوچکتر باشد، احتمال یافتن مقادیر بالای انرژی بیشتر است.

مکمل  $B_{III}$ 

### مطالعه جریان احتمال در چند مورد خاص

- ۱ - عبارت جریان در نواحی پتانسیل ثابت
- ۲ - کاربرد به مسائل سدهای پتانسیل

$$E > V_0 \quad \text{مورد a}$$

$$E < V_0 \quad \text{مورد b}$$

- ۳ - جریان احتمال امواج فرودی و میرا، در مورد بازتاب از یک پله پتانسیل دو بعدی.

جریان احتمال وابسته به ذرهای باتابع ( $r, t$ )<sup>۱</sup> ، در فصل سوم توسط رابطه زیر تعریف شد:

$$J(r, t) = \frac{\hbar}{2mi} [\psi^*(r, t) \nabla \psi(r, t) - c.c.] \quad (1)$$

(که در آن c.c. مخفف همیوغ مختلف است). در این مکمل، این جریان احتمال را در چند مورد خاص: پتانسیلهای "مربعی" یک و دو بعدی، بطور دقیقترا مطالعه خواهیم کرد.

- ۱ - عبارت جریان در نواحی پتانسیل ثابت

در یک مسئله یک بعدی، ذرهای را با انرژی  $E$  در نظر بگیریم که در یک پتانسیل ثابت  $V_0$  قرار داده شده است. در مکمل  $H_1$ ، چند مورد را از هم متفاوت ساختیم.

(۱) وقتی  $E > V_0$  باشد، تابع موج به صورت زیر نوشته می شود:

$$\psi(x) = A e^{ikx} + A' e^{-ikx} \quad (2)$$

که در آن:

$$E - V_0 = \frac{\hbar^2 k^2}{2m} \quad (3)$$

با جایگزین کردن (۲) در (۱)، خواهیم یافت:

$$J_x = \frac{\hbar k}{m} [ |A|^2 - |A'|^2 ] \quad (4)$$

تعییر این نتیجه آسان است: تابع موج داده شده در (۲) متناظر است با دو موج تخت با تکانهای متقابل  $k = \pm \hbar p$  و با چگالیهای احتمال  $|A|^2$  و  $|A'|^2$ .

(۲) وقتی  $E < V_0$  باشد، داریم:

$$\psi(x) = B e^{\rho x} + B' e^{-\rho x} \quad (5)$$

که در آن:

$$V_0 - E = \frac{\hbar^2 \rho^2}{2m} \quad (6)$$

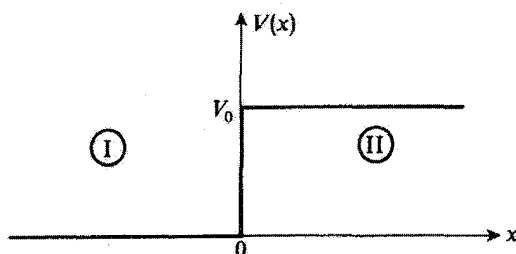
با جایگزین کردن (۵) در (۱) خواهیم یافت:

$$J_x = \frac{\hbar \rho}{m} [i B^* B' + c.c.] \quad (7)$$

در این مورد ملاحظه می‌کنیم که برای اینکه جریان احتمال مخالف صفر باشد بایستی داموج نمایی هردو لزوماً "ضرائب غیر صفر داشته باشند.

### ۳- کاربرد بهمسائل سدهای پتانسیل

حال این نتایج را بهمسائل سدهای پتانسیل که در مکملهای  $H_1$  و  $J_1$  بررسی شد اعمال کنیم. برای این کار ذرهای بجرم  $m$  و انرژی  $E$  را که در راستای  $Ox$  حرکت می‌کند و در  $x = 0$  بهیک پله پتانسیل به ارتفاع  $V_0$  می‌رسد، در نظر می‌گیریم (شکل ۱).



شکل ۱

پله پتانسیل به ارتفاع  $V_0$

$E > V_0$  — مورد

فرمول (۴) را به توابع موج (۱۱) و (۱۲) از مکمل  $H_1$  اعمال کنیم و مانند آنجا

قرار دهیم:

$$A'_2 = 0$$

(۸)

در ناحیه I ، جریان احتمال عبارت است از :

$$J_1 = \frac{\hbar k_1}{m} [ |A_1|^2 - |A'_1|^2 ] \quad (9)$$

و در ناحیه II :

$$J_{II} = \frac{\hbar k_2}{m} |A_2|^2 \quad (10)$$

J<sub>I</sub> تفاضل دو جمله است ، جمله اول متناظر است با جریان فرودی و جمله دوم با جریان بازنگشتنی ، نسبت این دو جریان ضریب بازنگشتن R سد را به دست می دهد :

$$R = \left| \frac{A'_1}{A_1} \right|^2 \quad (11)$$

که دقیقاً " فرمول (15) از مکمل H<sub>I</sub> است .

همینطور ، ضریب عبور T ای سد نسبت جریان عبوری J<sub>II</sub> به جریان فرودی است ، بنابراین داریم :

$$T = \frac{k_2}{k_1} \left| \frac{A_2}{A_1} \right|^2 \quad (12)$$

و باز رابطه (16) از مکمل H<sub>I</sub> را به دست آوردهیم .

b - مورد E < V<sub>0</sub>

چون تابع موج  $\varphi_1(x)$  با همان رابطه بخش a داده می شود ، رابطه (9) باز هم معتبر است بر عکس ، در ناحیه II ، تابع موج عبارت است از :

$$\varphi_{II}(x) = B'_2 e^{-\rho_2 x} \quad (13)$$

[ زیرا ، در معادله (20) از مکمل H<sub>I</sub>  $B_2 = 0$  است ] . با به کار بردن (7) ، خواهیم یافت :

$$J_{II} = 0 \quad (14)$$

شار عبوری صفر است ، که با رابطه (24) از مکمل H<sub>I</sub> متناظر است .

چگونه این واقعیت را که ، در ناحیه II ، جریان احتمال صفر است حال آنکه احتمال یافتن ذره در این ناحیه غیر صفر می باشد ، تعبیر کنیم ؟ برای این منظور به نتایج به دست آمده در بخش 1 از مکمل I<sub>I</sub> بازگردیم . در آنجا دیدیم که قسمتی از بسته موج فرودی به ناحیه II ، که از نظر کلاسیکی ممنوع است وارد می شود و سپس بازگشت کرده و به طرف

جهت منفی محور  $x$  ها عزیمت می‌کند (این نفوذ به ناحیه II مسئول تأثیر در بازنتاب است). بنابراین، در حالت پایدار، دوجریان احتمال در ناحیه II خواهیم داشت: یک جریان مثبت متناظر با ورود قسمتی از بسته‌موج فروودی به‌این ناحیه، یک جریان منفی متناظر با برگشت این قسمت از بسته‌موج به‌سمت ناحیه I. این دوجریان دقیقاً "باهم برابرند، بنابراین نتیجهٔ کلی صفر است.

در مورد مسئلهٔ یک بعدی ساختار جریان احتمال موج میرا بوسیله این واقعیت که دوجریان متقابل یکدیگر را خنثی می‌کنند پوشانده می‌شود. بدین جهت است که می‌خواهیم یک مسئلهٔ دو بعدی، در مورد بازنتاب مایل، را بررسی کنیم، این امر به‌ما امکان می‌دهد تا یک جریان غیر صفر به‌دست آوریم و به‌تعبیر ساختار آن بپردازیم.

### ۳- جریان احتمال امواج فروودی و میرا ، در مورد بازنتاب از یک پتانسیل پلماً دو بعدی

مسئلهٔ دو بعدی زیر را در نظر بگیریم: ذره‌ای به‌جرم  $m$ ، که در صفحهٔ  $xOy$  حرکت می‌کند، دارای یک انرژی پتانسیل  $V(x, y)$  است که مستقل از  $y$  بوده و توسط رابطهٔ زیر داده می‌شود:

$$\begin{aligned} V(x, y) &= 0 & x < 0 \\ V(x, y) &= V_0 & x > 0 \end{aligned} \quad (15)$$

این مورد متناظراست با موردی که در بخش ۲ از مکمل ۱ بررسی شد:

انرژی پتانسیل  $V(x, y)$  برای راست با مجموع یکتابع  $V_1(x)$  (انرژی پتانسیل یک پلهٔ یک بعدی) و یکتابع  $V_2(y)$ ، که در اینجا صفر است، بنابراین، می‌توانیم برای معادلهٔ ویژهٔ مقداری هامیلتونی، جوابی به‌صورت یک حاصل ضرب:

$$\varphi(x, y) = \varphi_1(x) \varphi_2(y) \quad (16)$$

جستجو کنیم. توابع  $\varphi_1(x)$  و  $\varphi_2(y)$  در معادلات ویژهٔ مقداری یک بعدی‌ای که به‌ترتیب با  $V_1(x)$  و  $V_2(y)$  انرژی‌های  $E_1$  و  $E_2$  متناظرند و در آن:

$$E_1 + E_2 = E \quad (\text{انرژی کل ذره}) \quad (17)$$

صدق می‌کنند.

فرض می‌کنیم  $V_0 < E_1$  باشد: بنابراین معادلمای  $(x)$   $\varphi_1$  را می‌دهد متناظر با یک بازنتاب کلی در مسئلهٔ یک بعدی است، و می‌توانیم فرمولهای (۱۱) و (۲۰) از مکمل ۱ را

بکار بردیم . اما راجع به تابع  $\varphi_2(y)$  ، این تابع می‌تواند بلافاصله به دست آید ، زیرا متناظر است با مورد یک ذره‌ای زاد ( $V_2 = 0$ ) : این تابع یک موج تخت است . از این رو ، در ناحیه I ( $x < 0$ ) داریم :

$$\varphi_1(x, y) = A e^{i(k_x x + k_y y)} + A' e^{i(-k_x x + k_y y)} \quad (18)$$

که در آن :

$$k_x = \sqrt{\frac{2mE_1}{\hbar^2}} \quad k_y = \sqrt{\frac{2mE_2}{\hbar^2}} \quad (19)$$

و در ناحیه II ( $x > 0$ ) :

$$\varphi_{II}(x, y) = B e^{-\rho_x x} e^{ik_y y} \quad (20)$$

که در آن :

$$\rho_x = \sqrt{\frac{2m(V_0 - E_1)}{\hbar^2}} \quad (21)$$

معادلات (۲۲) و (۲۳) از  $H_1$  ، نسبتهاي  $A'/A$  و  $B/A$  را به دست می‌دهند . با وارد کردن فراستنج  $\theta$  که به صورت :

$$\tan \theta = \frac{\rho_x}{k_x} = \sqrt{\frac{V_0 - E_1}{E_1}} ; \quad 0 \leq \theta \leq \frac{\pi}{2} \quad (22)$$

تعريف می‌شود ، داریم :

$$\frac{A'}{A} = \frac{k_x - i\rho_x}{k_x + i\rho_x} = e^{-2i\theta} \quad (23)$$

و :

$$\frac{B}{A} = \frac{2k_x}{k_x + i\rho_x} = 2 \cos \theta e^{-i\theta} \quad (24)$$

حال رابطه (۱) را ، که جریان احتمال را تعريف می‌کند بکار بندیم . در ناحیه I خواهیم یافت :

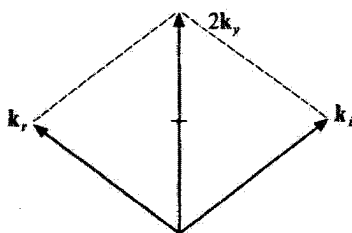
$$\begin{aligned} J_1 \left[ (J_1)_x = \frac{\hbar k_x}{m} [ |A|^2 - |A'|^2 ] = 0 \right. \\ \left. (J_1)_y = \frac{\hbar k_y}{m} |A e^{ik_x x} + A' e^{-ik_x x}|^2 \right. \\ = \frac{\hbar k_y}{m} |A|^2 [ 2 + 2 \cos (2k_x x + 2\theta) ] \end{aligned} \quad (25)$$

و در ناحیه II ، :

$$\mathbf{J}_{II} \begin{cases} (J_{II})_x = 0 \\ (J_{II})_y = \frac{\hbar k_x}{m} |B|^2 e^{-2\rho_{xx}} = \frac{\hbar k_x}{m} 4 |A|^2 \cos^2 \theta e^{-2\rho_{xx}} \end{cases} \quad (26)$$

در ناحیه I ، فقط مولفه  $(J_I)$  جریان احتمال غیر صفر است، این مولفه مجموع دو جمله است:

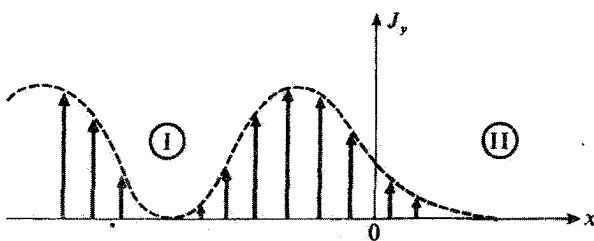
- جمله متناسب با  $2|A|^2$  که از مجموع جریانهای امواج فرودی و بازنابی ناشی می‌شود (رک شکل ۲) .



شکل ۲

مجموع جریانهای احتمال وابسته به امواج فرودی و بازنابی یک جریان احتمال موازی با  $Oy$  بدست می‌دهد .

- جمله شامل  $\cos(2k_y x + 2\theta)$  ، که بیانگر یک اثر تداخلی بین دو موج است ، این جمله مسئول تغییرات نوسانی جریان احتمال نسبت به  $x$  است (رک شکل ۳) .

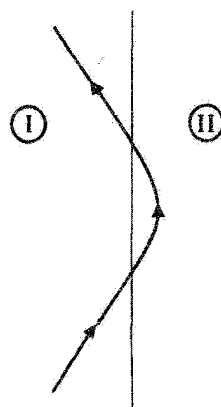


شکل ۳

به‌خاطر تداخل بین امواج فرودی و بازنابی ، جریان احتمال در ناحیه I یک تابع نوسانی از  $x$  است ، و در ناحیه II ، بطور نمایی کاهش می‌یابد (موج میرا)

در ناحیه II ، جریان احتمال بازهم موازی با  $Oy$  است و بطور نمایی کاهش می‌یابد که با کاهش موج میراست . این جریان احتمال از ورود بسته‌های موج به ناحیه دوم ناشی

می‌شوند (رک شکل ۴) که، قبل از برگشت، برای مدت زمانی از موتبه ناء خیره در بازتاب، در جهت  $Oy$  حرکت می‌کنند [رک مکمل  $I$ ، معادله (۸)] . این جریان هم چنین به جایجایی عرضی بسته موج بهنگام بازتاب نیز مربوط است (رک شکل ۴).



شکل ۴

امکان ورود ذره به ناحیه II به وسیله یک جایجایی عرضی بهنگام بازتاب بیان می‌شود.

مکمل C<sub>III</sub>

## انحرافهای ریشه‌های میانگین مربعی دو مشاهده‌پذیر همیوغ

- ۱ - رابطهٔ عدم قطعیت برای  $P$  و  $Q$   
 ۲ - بسته موج " می‌نیم "

دو مشاهده‌پذیر همیوغ  $P$  و  $Q$  دو مشاهده‌پذیری هستند که رابطهٔ جابجایی  $[Q, P]$  ای آنها برابر  $i\hbar$  باشد. در این مکمل نشان خواهیم داد که ریشه‌های میانگین مربعی (رک بخش ۵ - ۵ از فصل سوم)  $\Delta P$  و  $\Delta Q$ ، برای هر بردار حالت دستگاه مورد مطالعه، در رابطهٔ زیر صدق می‌کنند:

$$\Delta P \cdot \Delta Q \geq \frac{\hbar}{2} \quad (1)$$

سپس نشان خواهیم داد که، اگر دستگاه در حالتی باشد که برای آن حاصلضرب  $\Delta P \cdot \Delta Q$  دقیقاً برابر  $2/\hbar$  باشد، تابع موج و بسته به‌این حالت در نمایش  $\{ |q\rangle, |p\rangle \}$ ، یک بسته موج گوسی است (همین‌طور تابع موج در نمایش  $\{ |q\rangle, |p\rangle \}$ ).

۱ - رابطهٔ عدم قطعیت برای  $P$  و  $Q$ 

کت:

$$|\varphi\rangle = (Q + i\lambda P)|\psi\rangle \quad (2)$$

را که در آن نیز یک فراسنج حقیقی دلخواه است در نظر بگیرید. محدود هنچار  $\langle \varphi | \varphi \rangle$  برای تمام مقادیر  $\lambda$  مثبت است، لذا داریم:

$$\begin{aligned} \langle \varphi | \varphi \rangle &= \langle \psi | (Q - i\lambda P)(Q + i\lambda P) | \psi \rangle \\ &= \langle \psi | Q^2 | \psi \rangle + \langle \psi | (i\lambda QP - i\lambda PQ) | \psi \rangle + \langle \psi | \lambda^2 P^2 | \psi \rangle \quad (3) \\ &= \langle Q^2 \rangle + i\lambda \langle [Q, P] \rangle + \lambda^2 \langle P^2 \rangle \\ &= \langle Q^2 \rangle - \lambda\hbar + \lambda^2 \langle P^2 \rangle \geq 0 \end{aligned}$$

بنابراین، مفسر این سه جمله‌ای برحسب  $\lambda$ ، منفی یا صفر است

$$\hbar^2 - 4 \langle P^2 \rangle \langle Q^2 \rangle \leq 0 \quad (4)$$

و داریم:

$$\langle P^2 \rangle \langle Q^2 \rangle \geq \frac{\hbar^2}{4} \quad (5)$$

حال، با فرض اینکه  $\langle \psi | \psi \rangle$  معلوم باشد، دوم مشاهده پذیر جدید  $P'$  و  $Q'$  را که بصورت:

$$\begin{aligned} P' &= P - \langle P \rangle = P - \langle \psi | P | \psi \rangle \\ Q' &= Q - \langle Q \rangle = Q - \langle \psi | Q | \psi \rangle \end{aligned} \quad (6)$$

تعریف می‌شوند، وارد می‌کنیم.  $P'$  و  $Q'$  مشاهده پذیرهای همیوغ نیز هستند، زیرا داریم:

$$[Q', P'] = [Q, P] = i\hbar \quad (7)$$

از این‌رو، نتیجه (۵)، که در بالابرای  $P$  و  $Q$  بدست آمد، برای  $P'$  و  $Q'$  نیز معتبر است:

$$\langle P'^2 \rangle \langle Q'^2 \rangle \geq \frac{\hbar^2}{4} \quad (8)$$

از طرف دیگر، با مراجعه به تعریف (۲۳-۲۴) (فصل سوم) برای ریشه میانگین مربعی، و با بکاربردن (۶)، ملاحظه می‌کنیم که:

$$\begin{aligned} \Delta P &= \sqrt{\langle P'^2 \rangle} \\ \Delta Q &= \sqrt{\langle Q'^2 \rangle} \end{aligned} \quad (9)$$

لذا رابطه (۸) می‌تواند به صورت زیر نیز نوشته شود:

$$\boxed{\Delta P \cdot \Delta Q \geq \frac{\hbar}{2}} \quad (10)$$

بدین ترتیب، اگر دو مشاهده پذیر همیوغ باشند (مانند موردی که متناظر با یک مکان کلاسیکی  $x_i$  و تکانه همیوغ  $p_i$  (ی آن باشند)، یک حد پائین دقیقی برای حاصل ضرب  $\Delta P \cdot \Delta Q$  ای آنها وجود دارد. بدین ترتیب رابطه عدم قطعیت هایزنسبرگ تعمیم داده می‌شود.

گوشزد:

این استدلال به آسانی به دو مشاهده پذیر دلخواه  $A$  و  $B$  تعمیم داده می‌شود، و خواهیم یافت:

$$\Delta A \cdot \Delta B \geq \frac{1}{2} |\langle [A, B] \rangle| \quad (11)$$

## ۳ - بسته موج "می‌نیم"

وقتی می‌نیم مقدار حاصلضرب  $\Delta P \cdot \Delta Q$  حاصل شد:

$$\Delta P \cdot \Delta Q = \frac{\hbar}{2} \quad (12)$$

گوئیم که بردار حالت  $|\psi\rangle$  متناظر است با یک بسته موج می‌نیم برای مشاهده پذیرهای  $Q$  و  $P$

بنابر استدلال اخیر، رابطه (۱۲) ایجاب می‌کند که محدود هنجار کت:

$$|\varphi'\rangle = (Q' + i\lambda P') |\psi\rangle \quad (13)$$

که یک چند جمله‌ای درجه دوم نسبت به  $\lambda$  است، دارای یک ریشه مضاعف  $\lambda_0$ ، باشد. از این رو، وقتی  $\lambda = \lambda_0$  باشد، کت  $|\varphi'\rangle$  صفر است:

$$(Q' + i\lambda_0 P') |\psi\rangle = [Q - \langle Q \rangle + i\lambda_0(P - \langle P \rangle)] |\psi\rangle = 0 \quad (14)$$

برعکس، اگر  $\hbar/2 \Delta P \cdot \Delta Q > |\psi\rangle$  باشد، چند جمله‌ای که  $|\varphi'\rangle$  را به دست می‌دهد هرگز نمی‌تواند برابر صفر شود (برای تمام  $\lambda$  ها مثبت است).

از این رو، شرط لازم و کافی برای اینکه حاصلضرب  $\Delta P \cdot \Delta Q$  مقدار می‌نیم خود یعنی  $\hbar/2$ ، را داشته باشد این است که کتهای  $|\psi\rangle$  و  $|\varphi'\rangle$  را  $(Q - \langle Q \rangle)$  و  $(P - \langle P \rangle)$  با یکدیگر متناسب باشند. ضریب تناسب  $i\lambda_0$  - بسادگی می‌تواند محاسبه شود. وقتی  $\Delta Q \cdot \Delta P = \hbar/2$ ، ریشه مضاعف معادله:

$$\langle \varphi' | \varphi' \rangle = \lambda^2 (\Delta P)^2 - \lambda \hbar + (\Delta Q)^2 = 0 \quad (15)$$

برابر است با:

$$\lambda_0 = \frac{\hbar}{2(\Delta P)^2} = \frac{2(\Delta Q)^2}{\hbar} \quad (16)$$

حال رابطه (۱۴) را در نمایش  $\{q\}$  بنویسیم (برای سهولت، فرض می‌کنیم که ویژه مقدارهای  $Q$ ، یعنی  $q$ ، ناتبهگن باشند). با استفاده از این واقعیت (وک مکمل  $\hbar \frac{d}{dq}$ ) گه، در این نمایش،  $P$  مانند  $\frac{1}{i} \frac{dq}{dq}$  عمل می‌کند، خواهیم یافت:

$$\left[ q + \hbar \lambda_0 \frac{d}{dq} - \langle Q \rangle - i\lambda_0 \langle P \rangle \right] \psi(q) = 0 \quad (17)$$

که در آن :

$$\psi(q) = \langle q | \psi \rangle \quad (18)$$

برای حل معادله (۱۷)، بهتر است تابع  $\theta(q)\theta$  را که توسط :

$$\psi(q) = e^{i\langle P \rangle q/\hbar} \theta(q - \langle Q \rangle) \quad (19)$$

تعریف می شود، وارد کنیم. با جایگزین کردن (۱۹) در (۱۷)، معادله ساده تر:

$$\left[ q + \lambda_0 \hbar \frac{d}{dq} \right] \theta(q) = 0 \quad (20)$$

را به دست می آوریم که جواب آن عبارت است از :

$$\theta(q) = C e^{-q^2/2\lambda_0 \hbar} \quad (21)$$

(که در آن  $C$  یک ثابت مختلط دلخواه است)، با قراردادن (۱۶) و (۲۱) در (۱۹) خواهیم یافت:

$$\psi(q) = C e^{i\langle P \rangle q/\hbar} e^{-\left[\frac{q-\langle Q \rangle}{2\lambda_0 \hbar}\right]^2} \quad (22)$$

این تابع می تواند با قراردادن:

$$C = [2\pi(\Delta Q)^2]^{-1/4} \quad (23)$$

بهنجار شود.

بدین ترتیب بهنتیجه، زیر می رسم: وقتی حاصلضرب  $\Delta P \cdot \Delta Q$  مقدار می نیمیش یعنی  $\hbar/2$ ، را بگیرد، تابع موج در نمایش  $\{ | q \rangle \}$  یک بسته موج گوسی است که بوسیله تبدیل (۱۹) از تابع گوسی  $\theta(q)\theta$  به دست آمده است (که معادل است با دو تغییر مبدأ، یکی روی محور  $q$  ها و یکی روی محور  $p$  ها).

گوشزد:

استدلالی که در نمایش  $\{ | q \rangle \}$  شد می تواند در نمایش  $\{ | p \rangle \}$  تکرار شود. در این صورت که تابع موج  $(p)|\psi\rangle$  که توسط رابطه:

$$\bar{\psi}(p) = \langle p | \psi \rangle = \frac{1}{\sqrt{2\pi\hbar}} \int_{-\infty}^{+\infty} dq e^{-ipq/\hbar} \psi(q) \quad (24)$$

تعریف می شود نیز یک تابع گوسی است که به صورت زیر داده می شود:

$$\bar{\psi}(p) = [2\pi(\Delta P)^2]^{-1/4} e^{-i\langle Q \rangle p/\hbar} e^{-\left[\frac{p-\langle P \rangle}{2\Delta P}\right]^2} \quad (25)$$

اندازه‌گیریهایی که فقط روی یک قسمت از دستگاه فیزیکی انجام می‌شود

- ۱ - محاسبه پیش‌بینی‌های فیزیکی
- ۲ - مفهوم فیزیکی یک حالت حاصلضرب تانسوری
- ۳ - مفهوم فیزیکی حالتی که یک حاصلضرب تانسوری نیست

مفهوم یک حاصلضرب تانسوری، که در بخش F از فصل دوم وارد شد، ما را قادر می‌سازد تا بهبینیم که چگونه، با شروع از فضاهای حالت‌های دو زیردستگاه، فضای حالت‌های دستگاه کلی ای را که از آنها بدست می‌آید، بسازیم. در اینجا قصد داریم، با استفاده از اصول موضوع فصل سوم، این بررسی را دنبال کنیم، تا بهبینیم که، وقتی حالت دستگاه کلی معلوم باشد، چه نتایجی می‌توان از اندازه‌گیریهایی که فقط روی یک زیر دستگاه انجام می‌شود، بدست آورد.

#### / - محاسبه پیش‌بینی‌طای فیزیکی

یک دستگاه فیزیکی را که از دو قسمت (۱) و (۲) تشکیل شده است (بعنوان مثال یک دستگاه دوالکترونی) در نظر بگیرید. اگر (۱)<sup>g</sup> و (۲)<sup>g</sup> فضاهای حالت‌های قسمت‌های (۱) و (۲) باشند، فضای حالت‌های دستگاه کلی (۲)+(۱) حاصلضرب تانسوری (۲)<sup>g</sup>⊗(۱)<sup>g</sup> خواهد بود. بعنوان مثال، حالت یک دستگاه دوالکترونی توسط یکتابع موج شش متغیری (x<sub>1</sub>, y<sub>1</sub>, z<sub>1</sub>; x<sub>2</sub>, y<sub>2</sub>, z<sub>2</sub>)<sup>g</sup> وابسته به یک کت از فضای (۲)<sup>g</sup>⊗(۱)<sup>g</sup> تشریح می‌شود. (رک فصل دوم، بخش b - ۴ - F ) .

می‌توان اندازه‌گیریهایی را تصور کرد که فقط روی یکی از دو قسمت [ مثلاً ]، قسمت (۱) ] دستگاه کلی انجام شود. مشاهده‌پذیرهای A(1) آمنتاظر با این اندازه‌گیریها در (۲)<sup>g</sup>⊗(۱)<sup>g</sup> با گسترش مشاهده‌پذیرهای A(1) که فقط در (۱)<sup>g</sup>\* عمل می‌کنند تعریف می‌شوند (رک فصل دوم بخش b - ۲ - F ) :

$$A(1) \implies \tilde{A}(1) = A(1) \otimes \mathbb{I}(2) \quad (1)$$

\* برای روشن شدن مطلب، در این مکمل برای A(1) و گسترش آن (۱) آ منتاظر، نمادگذاریهای متفاوتی بکار خواهیم برد.

که در آن  $(2) \otimes (2)$  اپراتور همانندی در  $(2) \otimes (2)$  است.

طیف  $A(1) \otimes A(2)$  در  $(2) \otimes (2)$  همان طیف  $A(1) \otimes A(2)$  در  $(1) \otimes (1)$  است. از طرف دیگر دیدیم که تمام ویژه مقدارهای  $A(1) \otimes A(2)$  در  $(1) \otimes (1)$  تبیهگانند، حتی اگر هیچکدام از ویژه مقدارهای  $A(1)$  در  $(1) \otimes (1)$  تبیهگان نباشند [البته، به شرط اینکه ابعاد  $(2) \otimes (2)$  از ۱ بیشتر باشد]. بنابراین، وقتی یک اندازه‌گیری روی تنها دستگاه  $(1)$  انجام شد، نتیجه هرچه باشد، دستگاه کلی ممکن است بعد از اندازه‌گیری در چندین حالت متفاوت باشد (حالت بعد از اندازه‌گیری نه تنها به نتیجه اندازه‌گیری بلکه به حالت قبل از اندازه‌گیری نیز بستگی دارد). از دیدگاه فیزیکی، این چند گانگی حالتها به درجات آزادی دستگاه  $(2)$  مربوط می‌شود که در این اندازه‌گیری هیچ اطلاعاتی در باره آنها کسب نشده است.

فرض کنید  $P_n(1)$ ، تصویرگر روی ویژه زیر فضای مربوط به ویژه مقدار  $a_n$  متعلق به  $A(1) \otimes (1)$ ، در فضای  $A(1) \otimes (1)$  باشد:

$$P_n(1) = \sum_{i=1}^{g_n} |u_n^i(1)\rangle \langle u_n^i(1)| \quad (2)$$

که در آن کتهای  $|u_n^i(1)\rangle$  عبارتند از  $a_n$  ویژه بردار راست هنجار وابسته به  $a_n$ . فرض کنید  $\tilde{P}_n(1)$  تصویرگر روی ویژه زیر فضای مربوط به همان ویژه مقدار  $a_n$  متعلق به  $A(1) \otimes A(2)$  در فضای  $(2) \otimes (1)$  باشد.  $\tilde{P}_n(1) = P_n(1) \otimes \mathbb{I}(2)$  به دست می‌آید.

$$\tilde{P}_n(1) = P_n(1) \otimes \mathbb{I}(2) \quad (3)$$

برای نوشتן عملگر همانندی  $(2) \otimes (2)$  فضای  $(2) \otimes (2)$ ، از اbathe بستاری برای یک پایه راست هنجار دلخواه  $\{v_k(2)\}$  در  $(2) \otimes (2)$  استفاده می‌کنیم:

$$\mathbb{I}(2) = \sum_k |v_k(2)\rangle \langle v_k(2)| \quad (4)$$

با جایگزین کردن  $(4)$  در  $(3)$  واستفاده از  $(2)$ ، خواهیم یافت:

$$\tilde{P}_n(1) = \sum_{i=1}^{g_n} \sum_k |u_n^i(1)v_k(2)\rangle \langle u_n^i(1)v_k(2)| \quad (5)$$

بنابراین، اگر حالت  $|\psi\rangle$  دستگاه کلی را (که فرض می‌شود نسبت به ۱ هنجار شده است) بدانیم، می‌توانیم احتمال  $\mathcal{P}^{(1)}(a_n)$  را برای اینکه در یک اندازه‌گیری  $A(1)$  روی قسمت  $(1)$  این دستگاه، نتیجه  $a_n$  به دست آید، محاسبه کنیم. با به کار بردن فرمول عمومی  $(B-14)$  از فصل سوم، که در اینجا به صورت:

$$\mathcal{P}^{(1)}(a_n) = \langle \psi | \tilde{P}_n(1) | \psi \rangle \quad (6)$$

در می‌آید، خواهیم یافت:

$$\mathcal{P}^{(1)}(a_n) = \sum_{i=1}^{g_n} \sum_k |\langle u_n^i(1) v_k(2) | \psi \rangle|^2 \quad (7)$$

بطور مشابه، می‌توان حالت  $\langle \psi |$  دستگاه بعداز اندازه‌گیری را محاسبه کرد، این حالت برطبق فرمول (۳-۱-۲) از فصل سوم، توسط رابطه زیر داده می‌شود:

$$|\psi' \rangle = \frac{\tilde{P}_n(1) |\psi\rangle}{\sqrt{\langle \psi | \tilde{P}_n(1) | \psi \rangle}} \quad (8)$$

یعنی، با استفاده از (۵)،

$$|\psi' \rangle = \frac{\sum_{i=1}^{g_n} \sum_k \langle u_n^i(1) v_k(2) \rangle \langle u_n^i(1) v_k(2) | \psi \rangle}{\sqrt{\sum_{i=1}^{g_n} \sum_k |\langle u_n^i(1) v_k(2) | \psi \rangle|^2}} \quad (9)$$

گوشزدها:

(i) انتخاب یک پایه، راست هنجار،  $\{ |v_k(2)\rangle \}$ ، در (۲) ۶ اختیاری است. از روابط (۳)، (۶) و (۸) مشاهده می‌کنیم که پیش‌بینی‌های مربوط به زیر دستگاه (۱) با این انتخاب بستگی ندارند. از نظر فیزیکی، واضح است که اگر هیچ اندازه‌گیری‌ای روی دستگاه (۲) انجام نشود، هیچ حالت با دسته حالتی از این دستگاه نمی‌تواند نقش بارزی داشته باشد.

(ii) اگر حالت  $\langle \psi |$  قبل از اندازه‌گیری یک حاصلضرب تاتسوری باشد:

$$|\psi\rangle = |\varphi(1)\rangle \otimes |\chi(2)\rangle \quad (10)$$

که در آن  $\langle (1) \varphi |$  و  $\langle (2) \chi |$  دو حالت بهینه شده از (۱) ۶ و (۲) ۶ هستند، به آسانی می‌توان، با استفاده از (۳) و (۸)، دید که حالت  $\langle \psi |$  نیز یک حاصلضرب تاتسوری است:

$$|\psi'\rangle = |\varphi'(1)\rangle \otimes |\chi(2)\rangle \quad (11)$$

که در آن :

$$|\varphi'(1)\rangle = \frac{P_n(1)|\varphi(1)\rangle}{\sqrt{\langle\varphi(1)|P_n(1)|\varphi(1)\rangle}} \quad (12)$$

بنابراین، حالت دستگاه (۱) تغییرکرده است، ولی حالت دستگاه (۲) خیر.  
 اگر ویژه مقدار  $a_n$  متعلق به (۱) در (۱) ناتبیگن باشد – یا، بطور کلی تر،  
 اگر (۱)  $A$  در واقع معرف یک مجموعه کامل از مشاهده‌ذیرهای جابجایی پذیر  
 (۱) باشد – شاخص  $\chi$  در فرمول (۲) و فرمولهایی که بعد از آن آمدند دیگر  
 ضروری نیست. حالت دستگاه بعداز اندازه‌گیری ای که نتیجه  $a_n$  را داده است  
 همواره می‌تواند به صورت حاصلضرب دو بردار نوشته شود. این مطلب را می‌توان  
 با نوشتن رابطه (۹) به صورت زیر، روشن کرد:

$$|\psi'\rangle = |u_n(1)\rangle \otimes |\chi'(2)\rangle \quad (13)$$

که در آن بردار بهنجارشده  $|u_n(1)\rangle$  متعلق به (۲) و توسط رابطه زیر داده  
 می‌شود:

$$|\chi'(2)\rangle = \frac{\sum_k |v_k(2)\rangle \langle u_n(1)v_k(2)|\psi\rangle}{\sqrt{\sum_k |\langle u_n(1)v_k(2)|\psi\rangle|^2}} \quad (14)$$

بنابراین، حالت  $|\psi'\rangle$  دستگاه کلی قبل از اندازه‌گیری هرچه باشد، حالت  
 دستگاه بعد از یک اندازه‌گیری که تنها روی قسمت (۱) انجام می‌شود همواره یک  
 حاصلضرب تانسوری است به شرطی که این اندازه‌گیری نسبت به قسمت (۱) کامل  
 باشد [اگر چه نسبت به دستگاه کلی (۱)+(۲) جزئی در نظر گرفته می‌شود].

### ۳ - مفهوم فیزیکی حالت حاصلضرب تانسوری

برای اینکه بهبینیم یک حالت حاصلضربی از نظر فیزیکی معرف چیست، نتایج  
 پاراگراف قبلی را بهمورد خاصی که حالت اولیه دستگاه کلی بصورت (۱۰) است اعمال کنیم.  
 با بکاربردن (۶) و (۳)، بلا فاصله به دست می‌آید:

$$\mathcal{P}^{(1)}(a_n) = \langle \varphi(1) \chi(2) | P_n(1) \otimes \mathbb{I}(2) | \varphi(1) \chi(2) \rangle \quad (15)$$

سپس خود تعریف حاصلضرب تانسوری  $\langle \mathbb{I} | P_n(1) \otimes P_n(2) | \chi(2) \rangle$  و این واقعیت که است بهم‌آ امکان می‌دهد تا بنویسیم :

$$\begin{aligned}\mathcal{D}^{(1)}(a_n) &= \langle \varphi(1) | P_n(1) | \varphi(1) \rangle \langle \chi(2) | \mathbb{I}(2) | \chi(2) \rangle \\ &= \langle \varphi(1) | P_n(1) | \varphi(1) \rangle\end{aligned}\quad (16)$$

$\mathcal{D}^{(1)}(a_n)$  به  $\langle \chi(2) |$  بستگی ندارد و تنها به  $\langle \varphi(1) |$  بستگی دارد. بنابراین، وقتی حالت دستگاه‌کلی به شکل (۱۵) باشد، هر پیش‌بینی فیزیکی مربوط به فقط یکی از دو دستگاه بدحالت دستگاه دیگر بستگی ندارد و، بسته به اینکه دستگاه (۱) به تنها یی [یا دستگاه (۲) به تنها یی] مورد مشاهده باشد، کلا" بر حسب  $\langle \varphi(1) | \chi(2) |$  [یا  $\langle \chi(2) | \varphi(1) |$ ] بیان می‌شود. بنابراین، یک حالت حاصلضربی  $\langle \chi(2) | \varphi(1) | \otimes \langle \varphi(1) | \chi(2) |$  را می‌توان بعنوان معرف دو دستگاه مجاور در نظر گرفت که یکی در حالت  $\langle \varphi(1) |$  باشد و دیگری در حالت  $\langle \chi(2) |$ . در یک چنین حالتی، دو دستگاه را غیر همبسته می‌گوییم (بطور دقیق‌تر، نتایج دو نوع اندازه‌گیری، که روی یکی از دو دستگاه انجام می‌شوند، متناظرند با متغیرهای کتره‌ای مستقل). یک چنین وضعیتی وقتی تحقق می‌یابد که دو دستگاه بطور جداگانه در حالت‌های  $\langle \varphi(1) |$  و  $\langle \chi(2) |$  آورده شده باشند و سپس بدون اینکه برهمنش کنند آنها را یکی کرده باشند.

### ۳- مفهوم فیزیکی حالتی که حاصلضرب تانسوری نیست

حال موردی را در نظر بگیرید که در آن حالت دستگاه کلی یک حاصلضرب تانسوری نباشد، یعنی، موردی که در آن  $\langle \psi |$  را نتوان به صورت  $\langle \varphi(1) | \chi(2) | \otimes \langle \varphi(1) | \chi(2) |$  نوشت. در این صورت، دیگر نمی‌توان پیش‌بینی‌های نتایج اندازه‌گیری انجام شده روی یکی از دو دستگاه را بر حسب یک کت  $\langle \varphi(1) | \chi(2) |$  [یا  $\langle \chi(2) | \varphi(1) |$ ] که دستگاه (۱) [یا (۲)] در آن یافته می‌شود، بیان کرد. در این مورد، باید برای یافتن احتمالات نتایج مختلف ممکن فرمولهای عمومی (۶) و (۷) را بکار برد. در اینجا بدون اثبات می‌پذیریم که یک چنین وضعیتی "عموماً" منعکس کننده وجود همبستگی‌هایی بین دستگاه‌های (۱) و (۲) است [نتایج اندازه‌گیری‌های انجام شده روی هر کدام از دو دستگاه (۱) یا (۲) متناظر با متغیرهای کتره‌ای بی‌هستند که مستقل از یکدیگر نیستند ولذا می‌توانند همبسته باشند]. می‌توان، بعنوان مثال، نشان داد که یک برهمنش بین دو دستگاه حالت اولیمای را که یک حاصلضرب است به‌حالاتی که دیگر یک حاصلضرب نیست تبدیل می‌کند: بنابراین، بطور کلی هر برهمنش بین دو دستگاه همبستگی‌هایی بین آنها ایجاد می‌کند.

هم چنین می‌توان از خود پرسید وقتی حالت دستگاه کلی یک حاصل‌ضرب  $\otimes$   $(\chi(1)\varphi)$  نباشد، چگونه می‌توان هر دستگاه جزیی (۱) یا (۲) را مشخص کرد، زیرا دیگر نمی‌توان کت  $(\varphi\chi(1))$  یا  $(\chi\varphi(2))$  را به آن وابسته کرد؟ این سؤال بسیار مهم است زیرا، عموماً، هر دستگاه فیزیکی (حتی اگر در لحظه‌ای که مورد مطالعه قرار می‌گیرد منزوی باشد) درگذشته با سایر دستگاهها برهم کنش داشته است. بنابراین، حالت دستگاه کلی: { دستگاه (۱) + دستگاه‌های (۲) که درگذشته با آنها برهم کنش داشته است } عموماً "یک حالت حاصل‌ضربی نیست و نمی‌توان یک بردار حالت  $(\varphi\chi(1))$  به تنها دستگاه (۱) وابسته کرد. برای برطرف کردن این اشکالات، باید دستگاه (۱) را نه توسط یک بردار حالت بلکه بوسیله یک عملگر، که عملگر چگالی نامیده می‌شود، توصیف کرد. مختصروی از فرمول‌بندی مربوطه، که در مکانیک آماری کوانتوموی اساسی است، در مکمل E<sub>III</sub> (بخش ۵ - ۵) آمده است.

لیکن، دستگاه (۱) را همواره می‌توان، وقتی که یک مجموعه کامل اندازه‌گیری روی آن انجام شده باشد، توسط یک بردار حالت توصیف کرد. دیدیم که حالت دستگاه کلی (۲) + (۱) قبل از اندازه‌گیری هرچه باشد، یک اندازه‌گیری کامل روی دستگاه (۱) دستگاه کلی را در یک حالت حاصل‌ضربی قرار می‌دهد [ رک فرمولهای (۱۲) و (۱۴) ] . بردار وابسته به (۱) ویژه بردار یکتای (باتقریب یک سازه ضربی) وابسته به نتایج مجموعه کامل اندازه‌گیری انجام شده روی آن می‌باشد. بنابراین، این اندازه‌گیریها تمام همبستگی‌های حاصل از برهم‌کنش‌های قبلی بین دو دستگاه را از بین می‌برد. بدین ترتیب، اگر، در لحظه اندازه‌گیری، دستگاه (۲) دور باشد و بادستگاه (۱) برهم‌کنش نداشته باشد، می‌توان کاملاً آنرا نادیده گرفت.

گوشزد:

بسادگی می‌توان از (۱۴) استنتاج کرد که، وقتی حالت  $\psi(\chi)$  قبل از اندازه‌گیری یک حالت حاصل‌ضربی نباشد، بردار حالت  $\psi(\chi(2))$  وابسته به دستگاه (۲) بعد از اندازه‌گیری به نتیجه مجموعه کامل اندازه‌گیری‌ها انجام شده روی دستگاه (۱) بستگی دارد [ یادآور می‌شویم که وقتی  $\psi(\chi)$  یک حالت حاصل‌ضربی باشد، این چنین نیست، رک گوشزد (ii) از بخش ۱ ]. این نتیجه ممکن است از پیش عجیب به نظر رسد؛ حالت دستگاه (۲) بعد از اینکه یک دسته اندازه‌گیری روی دستگاه (۱) انجام شد به نتیجه این اندازه‌گیری‌ها بستگی دارد، حتی اگر سیستم (۲)،

در لحظه، اندازه‌گیری، خیلی دور از دستگاه (۱) باشد و دیگر با آن برهم کنش نداشته باشد. با این "پارادوکس"، که مفصلًاً توسط بعضی فیزیکدانها مطالعه شده است، نامهای اینشتین، پادولسکی و رزن همراه است.

### مراجع و پیشنهادات برای مطالعه بیشتر

پارادوکس اینشتین - پادولسکی - رُزن : زیر بخش "متغیرهای نهفته و پارادوکسها" ای بخش ۵ کتاب شناسی را بهبینید، و :

Bohm (5.1), §§22.15 to 22.19; d'Espagnat (5.3), chap. 7.

فوتونهای تولید شده در استحالة پوزیترونیوم :

Feynman III (1.2), § 18.3; Dicke and Wittke (1.14), chap. 7.

مکمل E<sub>m</sub>

## عملکر چگالی

- ۱ - خلاصه مسئله
- ۲ - مفهوم آمیزه آماری حالتها
- ۳ - مورد خالص، واردشدن عملکر چگالی
- ۴ - توصیف بهوسیله بردار حالت
- ۵ - توصیف بهوسیله عملکر چگالی
- ۶ - خواص عملکر چگالی در مورد خالص
- ۷ - اختلاط آماری حالتها (مورد ناخالص)
- ۸ - تعريف عملکر چگالی
- ۹ - خواص عمومی عملکر چگالی
- ۱۰ - جمعیتها، همدوسي ها
- ۱۱ - مثالهای از کاربرد عملکر چگالی
- ۱۲ - دستگاه در تعادل ترمودینامیکی
- ۱۳ - توصیف جدایگانه یک قسمت از دستگاه فیزیکی . مفهوم "رد" جزئی

## / - خلاصه مسئله

تا اینجا، دستگاههای را در نظر گرفتیم که حالت آنها کاملاً معلوم بود. نشان دادیم که چگونه می‌توانیم تحول زمانی آنها و نتایج اندازه‌گیریهای مختلفی را که روی آنها انجام می‌شود پیش بینی کنیم. برای تعیین حالت یک دستگاه در یک لحظه معین، کافی است یک مجموعه اندازه‌گیریهای متناظر با یک م.ک.م.ج. روی آن انجام دهیم. به عنوان مثال، در آزمایش مطالعه شده در بخش ۳-۸ از فصل اول، قطبش فوتونها، وقتی باریکه نور از قطبی‌کننده گذشته باشد، کاملاً معلوم است.

اما، در عمل، حالت دستگاه غالباً کاملاً معین نیست. این امر، به عنوان مثال، در مورد قطبش فوتونها یعنی که از یک منبع نور طبیعی (غیر قطبی) صادر می‌شوند و همچنین برای اتمهای باریکه‌ای که از یک کوره در دمای  $T$  صادر شده است و انرژی جنبشی آنها فقط بهطور آماری معلوم است، صادق است. مسئله مطرح شده بهوسیله توصیف کوانتومی یک

چنین دستگاههایی بهاین شرح است: چگونه اطلاعات ناکاملی را که در بارهٔ حالت دستگاه داریم وارد صورت‌بندی کنیم تا بتوانیم پیش‌بینی‌هایی که بیشترین اتكا را بهاین اطلاعات جزیی دارند بکنیم؟ برای این منظور، در اینجا یک وسیلهٔ ریاضی بسیار مفید، عملگر چگالی، وارد خواهیم کرد که کاربرد همزمان اصول موضوع مکانیک کوانتومی و نتایج محاسبات احتمالات را تسهیل می‌کند.

### ۳- مفهوم آمیزه آماری حالتها

وقتی اطلاعات ناقصی در بارهٔ یک دستگاه داشته باشیم، به‌مفهوم احتمال متول می‌شویم. به عنوان مثال، می‌دانیم که فوتون صادرشده از یک منبع نور طبیعی می‌تواند هر قطبی را با احتمال مساوی داشته باشد. هم‌چنین، یک دستگاه در حال تعادل ترمودینامیکی در دمای  $T$ ، با احتمالی مناسب با  $e^{-E_n/kT}$  در حالتی بالانزی  $E_n$  قراردارد. به‌طور کلی‌تر، اطلاعات ناکاملی که در بارهٔ دستگاه داریم، "عمولاً" در مکانیک کوانتومی، به‌صورت زیر خود را نشان می‌دهد: این دستگاه می‌تواند با در حالت  $|\psi_1\rangle$  با احتمال  $p_1$ ، یا در حالت  $|\psi_2\rangle$  با احتمال  $p_2$ ، وغیره باشد. مسلماً "داریم":

$$p_1 + p_2 + \dots = \sum_k p_k = 1 \quad (1)$$

در این صورت می‌گوئیم که با یک آمیزه آماری از حالت‌های  $|\psi_1\rangle$ ،  $|\psi_2\rangle$ ، ... با احتمالات  $p_1$ ،  $p_2$ ، ... سروکارداریم.

حال به‌بینیم برای پیش‌بینی‌های مربوط به نتایج اندازه‌گیری‌های انجام شده روی این دستگاه چه اتفاق می‌افتد. اگر حالت دستگاه  $|k\rangle$  می‌بود، می‌توانستیم با استفاده از اصول موضوع بیان شده در فصل سوم احتمال یافتن نتیجهٔ اندازه‌گیری را تعیین کنیم. چون یک‌چنین امکانی (حالت  $|\psi\rangle$ ) دارای احتمال  $p_k$  است، واضح است که نتایج به‌دست آمده باید ابتدا توسط  $p_k$  توزین شوند و سپس روی مقادیر مختلف  $k$ ، یعنی، روی تمام حالت‌های آمیزه آماری، جمع‌بندی شوند.

گوشزدها:

- (i) حالت‌های مختلف  $|\psi_1\rangle$ ،  $|\psi_2\rangle$ ، ... "الرااما" متعامد نیستند. اما همواره می‌توانند به‌نگارشده انتخاب شوند، در این مکمل فرض خواهیم کرد که این‌طور است.

باید توجه شود که در مورد حاضر، احتمالات دردوسطح متفاوت دخالت می‌کنند.  
- ابتدا، در اطلاعات اولیه از دستگاه (تاینجا، احتمالات را تا این مرحله وارد نکرده‌ایم، بردار حالت را کاملاً "علوم در نظر گرفتیم، که در این مورد تمام احتمالات  $p_k$ ، بجز یکی که برابر ۱ است، صفراند).

- سپس، به هنگام اعمال اصول موضوع مربوط به اندازه‌گیری (که، حتی اگر حالت اولیه "دستگاه کاملاً" معلوم باشد، منجر به پیش‌بینی‌های احتمالاتی می‌شود). بنابراین، دو دلیل کاملاً متفاوت وارد کردن احتمالات در این دو سطح را ایجاد می‌کنند: طبیعت ناکامل اطلاعات اولیه درباره حالت دستگاه (با چنین وضعیت‌هایی در مکانیک آماری کلاسیک نیز مواجه می‌شویم)، و عدم قطعیت (مشخصاً "کوانتومی") مربوط به فرایند اندازه‌گیری.

(iii) نباید دستگاهی را که توسط یک آمیزه آماری حالتها (با احتمال  $p_k$  برای اینکه بردار حالت  $|k\rangle$  باشد) توصیف می‌شود بادستگاهی که حالت  $|k\rangle$  ای آن یک برهم‌نهش خطی از حالت‌هاست، یعنی:

$$(2) \quad |k\rangle = \sum_k c_k |\psi_k\rangle$$

اشتباه کرد. در مکانیک کوانتومی، وقتی بردار حالت کت  $\langle k|$  که توسط رابطه  $(2)$  داده می‌شود باشد، می‌گوئیم که "دستگاه بالاحتمال  $|c_k|^2$  در حالت  $\langle k|\psi_k\rangle$  است". دقیقاً منظور این است که اگر اندازه‌گیری‌های متناظر با یک م.ک.م.ج. که  $\langle k|\psi_k\rangle$  ویژه‌بردار آنها است انجام دهیم، احتمال یافتن مجموعه ویژه‌مقادرهای وابسته به  $\langle k|\psi_k\rangle$  برابر با  $|c_k|^2$  است. اما، در بخش E-۱ از فصل سوم این واقعیت را مورد تأکید قرار دادیم که یک دستگاه در حالت  $\langle k|\psi_k\rangle$  که توسط  $(2)$  داده شده است معادل با دستگاهی که بالاحتمال  $|c_1|^2$  در حالت  $\langle 1|\psi_1\rangle$ ، و بالاحتمال  $|c_2|^2$  در حالت  $\langle 2|\psi_2\rangle$ ... باشد نیست. در واقع، برای یک ترکیب خطی  $\langle k|\psi_k\rangle$  ها، عموماً، آثار تداخلی بین این حالت‌ها (ناشی از جملات ضربدری از نوع  $c_k c_{k'}$ ، که در محدوده کردن قدر مطلق دامنه‌های احتمال به دست می‌آیند) به وجود می‌آید که در مکانیک کوانتومی بسیار مهم‌اند.

به‌این ترتیب ملاحظه می‌کنیم که، عموماً، غیرممکن است بتوانیم یک آمیزه آماری را توسط یک "بردار حالت میانگین"، که برهم‌نهشی از حالت‌های  $\langle k|\psi_k\rangle$  باشد، توصیف کنیم. همان‌طوری که قبلاً اشاره کردیم، وقتی یک جمع توزین شده احتمالات انجام می‌دهیم، هرگز نمی‌توانیم بین حالت‌های مختلف  $\langle k|\psi_k\rangle$  یک آمیزه آماری جملات تداخلی به دست

آوریم.

### ۳ - مورد خالص، وارد کردن عملگر چگالی

برای مطالعه رفتار آمیزه آماری حالتها، یکروش را در بالا بررسی کردیم: محسبه پیش‌بینی‌های فیزیکی متناظر با یک حالت ممکن  $\langle u_n |$ ، توزین نتایج به دست آمده توسط احتمال  $p_n$  وابسته به این حالت، و جمع بندی روی  $k$ . با وجودی که این روش از نظر اصولی صحیح است غالباً منجر به محاسبات مشکلی می‌شود. سپس [در گوشزد(iii)] نشان دادیم که نمی‌توان دستگاه یک "بردار حالت میانگین" وابسته کرد. در واقع، این یک عملگر میانگین است و نه یک "بردار میانگین" که توصیف ساده آمیزه آماری حالتها را ممکن می‌کند، و آن عملگر چگالی است.

قبل از مطالعه این مورد عام، ابتدا، مورد ساده‌ای را که حالت دستگاه کاملاً معلوم است ( تمام احتمالات  $p_n$  بجز یکی صفراند) "مجدداً" مورد بررسی قرار می‌دهیم. در این صورت گوئیم که دستگاه در یک حالت خالص است. نشان خواهیم داد که مشخص کردن دستگاه توسط بردار حالت کاملاً معادل است با مشخص کردن آن توسط یک عملگر معین که در فضای حالت عمل می‌کند، عملگر چگالی. سودمندی این عملگر در بخش ۴ روش خواهد شد: در واقع نشان خواهیم داد که تقریباً تمام فرمولهایی که در آنها این عملگر وارد می‌شود (و برای مورد خالص آنها را ثابت خواهیم کرد) برای توصیف یک آمیزه آماری حالتها معتبر خواهند ماند.

### ۴ - توصیف توسط یک بردار حالت

دستگاهی را در نظر بگیرید که بردار حالت آن در لحظه  $t$  :

$$|\psi(t)\rangle = \sum_n c_n(t) |u_n\rangle \quad (3)$$

باشد، که در آن  $\{ |u_n\rangle \}$  یک پایه راست‌هنجار از فضای حالتها، که فرض می‌شود گستته باشد، تشکیل می‌دهد (تعییم به مورد یک پایه، پیوسته مشکلی ایجاد نمی‌کند). ضوابط  $c_n(t)$  رابطه:

$$\sum_n |c_n(t)|^2 = 1 \quad (4)$$

را که بیان کننده این واقعیت است که  $\langle \psi | A | \psi(t) \rangle$  بهنجارشده است، برآورده می‌کنند. اگر  $A$  یک مشاهده‌پذیر، عناصر ماتریسی باشد، مقدار متوسط  $A$  در لحظه  $t$  برابر است با:

$$\langle u_n | A | u_p \rangle = A_{np} \quad (5)$$

باشد. مقدار متوسط  $A$  در لحظه  $t$  برابر است با:

$$\langle A \rangle(t) = \langle \psi(t) | A | \psi(t) \rangle = \sum_{n,p} c_n^*(t) c_p(t) A_{np} \quad (6)$$

بالاخره، تحول  $\langle \psi |$  توسط معادله شرودینگر:

$$i\hbar \frac{d}{dt} |\psi(t)\rangle = H(t) |\psi(t)\rangle \quad (7)$$

توصیف می‌شود، که در آن  $H(t)$  هامیلتونی دستگاه است.

#### ۶- توصیف توسط عملگر چگالی

وابطه (۶) نشان می‌دهد که ضرائب  $c_n(t)$  از طریق عبارتهای مربعی از نوع  $c_n^*(t)c_p(t)$  وارد مقادیر متوسط شده‌اند. این عبارتها همان عناصر ماتریسی عملگر  $\rho(t)$  هستند (رک فصل دوم بخش ۳-۳):

$$\langle u_p | \psi(t) \rangle \langle \psi(t) | u_n \rangle = c_n^*(t) c_p(t) \quad (8)$$

بنابراین طبیعی است که عملگر چگالی  $\rho(t)$  را به صورت زیر وارد کنیم:

$$\rho(t) = |\psi(t)\rangle \langle \psi(t)| \quad (9)$$

عملگر چگالی در پایه  $\{u_n\}$  توسط یک ماتریس به نام ماتریس چگالی که عناصر آن عبارتند از:

$$\rho_{pn}(t) = \langle u_p | \rho(t) | u_n \rangle = c_n^*(t) c_p(t) \quad (10)$$

نشان داده می‌شود.

می‌خواهیم نشان دهیم که معلوم بودن  $\rho(t)$  برای مشخص نمودن حالت کوانتومی دستگاه کافی است، یعنی، این امر ما را قادر می‌سازد ناتمام پیش‌بینی‌های فیزیکی را که می‌توان از  $\langle \psi |$  محاسبه کرد. به دست آوریم، برای این منظور، فرمولهای (۴)، (۶) و

(۷) را بر حسب عملگر  $\rho$  می‌نویسیم. بنابر (۱۰)، رابطه (۴) نشان می‌دهد که مجموع عناصر قطری ماتریس چکالی برابر ۱ است:

$$\sum_n |\psi_n(t)|^2 = \sum_n \rho_{nn}(t) = \text{Tr } \rho(t) = 1 \quad (11)$$

علاوه، با استفاده از (۵) و (۱۰)، فرمول (۶) به صورت زیر در می‌آید:

$$\begin{aligned} \langle A \rangle(t) &= \sum_{n,p} \langle u_p | \rho(t) | u_n \rangle \langle u_n | A | u_p \rangle \\ &= \sum_p \langle u_p | \rho(t) A | u_p \rangle \\ &= \text{Tr} \{ \rho(t) A \} \end{aligned} \quad (12)$$

بالاخره تحول زمانی عملگر  $\rho(t)$  می‌تواند از معادله شرودینگر (۷) استنتاج شود:

$$\begin{aligned} \frac{d}{dt} \rho(t) &= \left( \frac{d}{dt} |\psi(t)\rangle \langle \psi(t)| + |\psi(t)\rangle \left( \frac{d}{dt} \langle \psi(t)| \right) \right) \\ &= \frac{1}{i\hbar} H(t) |\psi(t)\rangle \langle \psi(t)| + \frac{1}{(-i\hbar)} |\psi(t)\rangle \langle \psi(t)| H(t) \\ &= \frac{1}{i\hbar} [H(t), \rho(t)] \end{aligned} \quad (13)$$

بنابراین، بقاء احتمال، بر حسب عملگر چکالی، به صورت زیر بیان می‌شود:

$$\text{Tr } \rho(t) = 1 \quad (14)$$

مقدار متوسط یک مشاهده‌پذیر  $A$  با استفاده از فرمول:

$$\langle A \rangle(t) = \text{Tr} \{ A \rho(t) \} = \text{Tr} \{ \rho(t) A \} \quad (15)$$

محاسبه می‌شود و تحول زمانی از معادله:

$$i\hbar \frac{d}{dt} \rho(t) = [H(t), \rho(t)] \quad (16)$$

تبیعت می‌کند، برای کامل شدن مطلب، باید هم چنین نشان دهیم که چگونه از (۱۶) احتمال‌های  $P(a_n)$  برای نتایج مختلف  $a_n$  را که می‌تواند در اندازه‌گیری یک مشاهده‌پذیر  $A$  در زمان  $t$  بدست آیند، محاسبه کنیم. در واقع می‌توان برای این منظور از فرمول (۱۵) استفاده کرد. می‌دانیم که [معادله  $(14 - B)$ ] از فصل سوم را ببینید]  $P(a_n)$  می‌تواند به صورت یک مقدار متوسط، تصویرگر  $P$  روی ویژه زیرفضای وابسته به  $a_n$ ، توضیح شود:

$$\mathcal{P}(a_n) = \langle \psi(t) | P_n | \psi(t) \rangle \quad (17)$$

بنابراین با استفاده از (۱۵) به دست می‌آوریم:

$$\mathcal{P}(a_n) = \text{Tr} \{ P_n \rho(t) \} \quad (18)$$

۳ - خواص عملگر چگالی در یک مورد خالص

در یک مورد خالص، یک دستگاه می‌تواند هم توسط یک بردار حالت توصیف شود و هم به وسیله یک عملگر چگالی. لیکن عملگر چگالی دارای چند مزیت است.

اولاً) از (۹) ملاحظه می‌کنیم که دو بردار حالت  $\langle t|\psi|$  و  $\langle t|\psi|^*$  (کمتر آن یک عدد حقیقی است) که یک حالت فیزیکی را توصیف می‌کنند با یک عملگر چگالی متناظرند. لذا استفاده از این عملگر معاوی مربوط بموارد یک ضریب فازکلی برای بردار حالت را برطرف می‌کند. بعلاوه، از (۱۴)، (۱۵) و (۱۸) مشاهده می‌کنیم که فرمولهایی که در آنها از عملگر چگالی استفاده شده است نسبت به آن خطی‌اند، در حالی که روابط (۶) و (۱۷) نسبت به  $\langle t|\psi|$  مربعی‌اند. این یک خاصیت مهمی است که بعداً "مفید واقع خواهد شد. بالاخره، چند خاصیت (۱۸) را که می‌توان "فوراً" از تعریف آن، رابطه (۹)، تنتیجه‌گیری کرد، ذکر می‌کنیم:

$$\rho^\dagger(t) = \rho(t) \quad (19)$$

(عملگر چگالی هرمیتی است)

$$\rho^2(t) = \rho(t) \quad (20)$$

$$\text{Tr } \rho^2(t) = 1 \quad (21)$$

این دورابطه آخر، که ازین واقعیت که (۱۸) یک تصویرگر است ناشی شده‌اند، تنها در مورد خالص برقرارند. بعداً "خواهیم دید که این روابط برای یک آمیزه‌آماری حالتها معتبر نیستند.

۴- ۷ میزه ۷ ماری حالتها [مورد غیر غالی]

## ۸- تعریف عملگر چگالی

حال بهمورد عام تشریح شده دربخش ۱ برمی‌گردیم و دستگاهی را درنظرمی‌گیریم که (در یک زمان معین) برای آن احتمالهای مختلف  $p_1, p_2, \dots, p_k, \dots$  دلخواهاند، با این شرط که در روابط زیر صدق کنند:

$$\begin{cases} 0 \leq p_1, p_2, \dots, p_k, \dots \leq 1 \\ \sum_k p_k = 1 \end{cases} \quad (22)$$

تحت این شرایط، چگونه احتمال  $\mathcal{P}(a_n)$  برای اینکه یک اندازه‌گیری مشاهده‌پذیر  $A$  نتیجه  $a_n$  را بدهد محاسبه می‌شود؟ فرض کنید که:

$$\mathcal{P}_k(a_n) = \langle \psi_k | P_n | \psi_k \rangle \quad (23)$$

احتمالی باشد که اگر بردار حالت  $|\psi_k\rangle$  می‌بود، نتیجه  $a_n$  به دست می‌آمد. برای به دست آوردن احتمال  $\mathcal{P}(a_n)$  باید، همان‌گونه که قبلاً بیان کردیم،  $\mathcal{P}_k(a_n)$  را توسط  $p_k$  توزین کنیم و سپس روی  $k$  جمع بندی کنیم:

$$\mathcal{P}(a_n) = \sum_k p_k \mathcal{P}_k(a_n) \quad (24)$$

از (۲۴)، داریم:

$$\mathcal{P}_k(a_n) = \text{Tr} \{ \rho_k P_n \} \quad (25)$$

که در آن:

$$\rho_k = |\psi_k\rangle \langle \psi_k| \quad (26)$$

عملگر چگالی متناظر با حالت  $|\psi_k\rangle$  است. با بردن (۲۵) در (۲۴)، داریم:

$$\begin{aligned} \mathcal{P}(a_n) &= \sum_k p_k \text{Tr} \{ \rho_k P_n \} \\ &= \text{Tr} \{ \sum_k p_k \rho_k P_n \} = \text{Tr} \{ \rho P_n \} \end{aligned} \quad (27)$$

که در آن قرار داده ایم :

$$\rho = \sum_k p_k \rho_k \quad (28)$$

بنابراین ملاحظه می کنیم که خطی بودن فرمولهایی که در آنها عملگر چگالی بکار رفته است مارا قادر می سازد تمام پیش‌بینی‌های فیزیکی را بر حسب  $\rho$  ، میانگین عملگرهای چگالی  $p_k$  ، بیان کنیم ،  $\rho$  بنا به تعریف عملگر چگالی دستگاه است .

#### ۶ - خواص عمومی عملگر چگالی

چون ضرائب  $p_k$  حقیقی‌اند ، واضح است که  $\rho$  مانند هریک از  $\rho_k$ ‌ها یک عملگر هرمیتی است ، رد  $\rho$  را محاسبه می کنیم ، برابر است با :

$$\text{Tr } \rho = \sum_k p_k \text{Tr } \rho_k \quad (29)$$

اما ، همان‌طوری که در بخش ۳-۳ دیدیم ، رد  $\rho_k$  همواره برابر ۱ است ، در نتیجه :

$$\text{Tr } \rho = \sum_k p_k = 1 \quad (30)$$

بنابراین رابطه (۱۴) در مورد عمومی معتبر است .  
قبل‌ا" ، در (۲۲) ، رابطه‌ای دادیم که بهما امکان می دهد تا احتمال  $\mathcal{P}(a_n)$  را بر حسب  $\rho$  محاسبه کنیم . با استفاده از این رابطه ، به آسانی می‌توانیم فرمول (۱۵) را به آمیزه‌های آماری تعیین دهیم :

$$\begin{aligned} \langle A \rangle &= \sum_n a_n \mathcal{P}(a_n) = \text{Tr} \left\{ \rho \sum_n a_n P_n \right\} \\ &= \text{Tr} \left\{ \rho A \right\} \end{aligned} \quad (21)$$

[ از فرمول (۲۱-۳-۶) از فصل دوم استفاده کردہ‌ایم ] .

حال تحول زمانی عملگر چگالی را محاسبه کنیم . برای این منظور ، فرض خواهیم کرد که ، برخلاف حالت دستگاه ، هامیلتونی  $H(t)$  آن کاملاً " معلوم باشد . در این صورت می‌توان به آسانی نشان داد که اگر دستگاه در زمان  $t_0$  با احتمال  $p_k$  در حالت  $\langle \psi_k |$  باشد ، در زمان بعدی  $t$  ، با همان احتمال  $p_k$  در حالت  $\langle \psi_k(t) |$  است که توسط روابط زیر داده می‌شود :

$$\begin{cases} i\hbar \frac{d}{dt} |\psi_k(t)\rangle = H(t) |\psi_k(t)\rangle \\ |\psi_k(t_0)\rangle = |\psi_k\rangle \end{cases} \quad (۴۲)$$

در این صورت عملگر چگالی در لحظه  $t$  برابر خواهد بود با:

$$\rho(t) = \sum_k p_k \rho_k(t) \quad (۴۳)$$

که در آن،

$$\rho_k(t) = |\psi_k(t)\rangle \langle \psi_k(t)| \quad (۴۴)$$

بر طبق (۱۶)،  $\rho_k(t)$  از معادله تحول زیر تبعیت می‌کند:

$$i\hbar \frac{d}{dt} \rho_k(t) = [H(t), \rho_k(t)] \quad (۴۵)$$

از خطی بودن فرمولهای (۳۳) و (۴۵) نسبت به  $\rho_k(t)$  نتیجه می‌شود،

$$i\hbar \frac{d}{dt} \rho(t) = [H(t), \rho(t)] \quad (۴۶)$$

از این رو می‌توانیم تمام معادلات بخش ۳ به استثنای معادلات (۲۰) و (۲۱) را به یک آمیزه‌آماری حالتها تعمیم دهیم. مشاهده می‌کنیم که چون  $\rho$  دیگر یک تصویرگیرگیرنیست "عموماً" داریم\*:

$$\rho^2 \neq \rho \quad (۴۷)$$

و در نتیجه:

$$\text{Tr } \rho^2 \leqslant 1 \quad (۴۸)$$

بعلاوه، کافی است فقط یکی از معادلات (۲۰) یا (۲۱) برقرار باشد تا مطمئن شویم با یک

\* فرض کنید، به عنوان مثال، حالتهای  $|\psi_k\rangle$  متعامد باشند. در یک پایه، راست هنجار شامل  $\langle \psi_k | \rho | \psi_k \rangle$  است و عناصر آن  $p_k$  هستند. برای بدست آوردن  $\rho^2$ ، کافی است  $p_k^2$  را جایگزین  $p_k$  کنیم. در این صورت روابط (۳۷) و (۳۸) از این واقعیت نتیجه می‌شوند که  $p_k$ ‌ها همواره کوچکتر از ۱ هستند (جز در مورد خاصی که فقط یکی از آنها غیر صفر است؛ مورد خالص).

حالت خالص سروکار داریم.

بالاخره، از تعریف (۲۸) می بینم که برای هرکت  $\langle u | u \rangle$  داریم:

$$\begin{aligned} \langle u | \rho | u \rangle &= \sum_k p_k \langle u | \rho_k | u \rangle \\ &= \sum_k p_k |\langle u | \psi_k \rangle|^2 \end{aligned} \quad (۳۹)$$

و در نتیجه:

$$\langle u | \rho | u \rangle \geq 0 \quad (۴۰)$$

لذا  $\rho$  یک عملگر مثبت است.

۳. جمعیتها، همدوسی‌ها.

معنای فیزیکی عناصر ماتریسی  $\rho_{np}$  وابسته به  $\rho$  در پایه  $\{ |u_n\rangle\}$  چیست؟

ابتدا عنصر قطری  $\rho_{nn}$  را در نظر می‌گیریم. بنابر (۲۸) داریم:

$$\rho_{nn} = \sum_k p_k [\rho_k]_{nn} \quad (۴۱)$$

یعنی، با استفاده از (۲۶) و وارد کردن مؤلفه‌های  $\langle \psi_k | u_n \rangle$  در پایه  $\{ |u_n\rangle\}$ ، یعنی:

$$c_n^{(k)} = \langle u_n | \psi_k \rangle \quad (۴۲)$$

داریم:

$$\rho_{nn} = \sum_k p_k |c_n^{(k)}|^2 \quad (۴۳)$$

$|c_n^{(k)}|^2$  یک عدد حقیقی مثبت است، که تعبیر فیزیکی آن به شرح زیراست: اگر حالت دستگاه  $\langle \psi_k |$  باشد، این عدد عبارت است از احتمال یافتن دستگاه، در یک اندازه‌گیری، در حالت  $|n\rangle$ ، بنابر (۴۱)، با توجه به عدم قطعیت دستگاه قبل از اندازه‌گیری،  $\rho_{nn}$  معرف احتمال میانگین یافتن دستگاه در حالت  $|u_n\rangle$  است. به این دلیل،  $\rho_{nn}$  جمعیت حالت  $|u_n\rangle$  نامیده می‌شود: اگر تعداد بسیار زیاد  $N$  اندازه‌گیری با شرایط اولیه یکسان انجام شود،  $N\rho_{nn}$  دستگاه در حالت  $|u_n\rangle$  یافت خواهد شد. از (۴۳) واضح است که  $\rho_{nn}$  یک عدد حقیقی مثبت است، که تنها زمانی برابر صفر است که تمام  $|c_n^{(k)}|^2$  ها صفر باشند.

محاسبه‌ای مشابه با محاسبه قبل عبارت زیر را برای عنصر غیر قطعی  $\rho_{np}$  به دست

می‌دهد:

$$\rho_{np} = \sum_k p_k c_n^{(k)} c_p^{(k)*} \quad (44)$$

یک جمله ضربدری از همان نوع مطالعه شده در بخش ۱-۱ E از فصل سوم است. این جمله بیانگر آثار تداخلی بین حالت‌های  $|u_n\rangle$  و  $|u_p\rangle$  است که وقتی حالت  $|\psi_k\rangle$  یک برهم‌نهش خطی همدوس از این حالتها باشد، ظاهر می‌شود. برطبق (۴۴)،  $\rho_{np}$  میانگین این جملات ضربدری است که روی تمام حالت‌های ممکن آمیزه آماری گرفته شده است. بخلاف جمعیتها،  $\rho_{np}$  می‌تواند، حتی اگر هیچ‌کدام از حاصلضربهای  $c_n^{(k)} c_p^{(k)*}$  صفر نباشد، برابر صفر باشد؛ در حالی که  $\rho_{nn}$  مجموع اعداد صحیح مثبت (یا صفر) است،  $\rho_{np}$  مجموع اعداد مختلف است. وقتی  $\rho_{np}$  صفر است، بدین معنی است که میانگین (۴۴) هرگونه تداخل بین  $|u_n\rangle$  و  $|u_p\rangle$  را از بین برده است. بر عکس، اگر  $\rho_{np}$  مخالف صفر باشد، نوعی همدوسی بین این حالتها برقرار است. بما ان دلیل است که عناصر غیر قطعی  $\rho$  اغلب همدوسی‌ها نامیده می‌شوند.

گوشزدها:

(i) تمایز بین جمعیتها و همدوسی‌ها به طور آشکار به پایه  $\{ |u_n\rangle\}$  انتخاب شده در فضای حالتها بستگی دارد. چون  $\rho$  هرمیتی است، همواره می‌توان یکپایه راست‌هنگار  $\{ |\chi_1\rangle\}$  پیدا کرد که در آن  $\rho$  قطعی باشد. در این صورت  $\rho$  می‌تواند به صورت زیر نوشته شود:

$$\rho = \sum_i \pi_i |\chi_i\rangle \langle \chi_i| \quad (45)$$

$$\text{چون } \rho \text{ مثبت است و } \text{چون } \text{Tr } \rho = 1 \text{ ، داریم:} \quad . \quad \begin{cases} 0 \leq \pi_i \leq 1 \\ \sum_i \pi_i = 1 \end{cases} \quad (46)$$

(ii) بدین ترتیب می‌توان  $\rho$  را به عنوان توصیف‌کننده یک آمیزه آماری از حالت‌های  $|\chi_i\rangle$  با احتمالهای  $\pi_i$  در نظر گرفت (بین حالت‌های  $\{ |\chi_i\rangle\}$  همدوسی وجود ندارد). اگر کتهای  $|u_n\rangle$  ویژه بردارهای هامیلتونی  $H$ ، که مستقل از زمان فرض می‌شود، باشند:

$$H |u_n\rangle = E_n |u_n\rangle \quad (47)$$

مستقیماً از (۳۶) به دست می‌آوریم :

$$\begin{cases} i\hbar \frac{d}{dt} \rho_{nn}(t) = 0 \\ i\hbar \frac{d}{dt} \rho_{np}(t) = (E_n - E_p) \rho_{np} \end{cases} \quad (48)$$

یعنی :

$$\begin{cases} \rho_{nn}(t) = \text{constant} \\ \rho_{np}(t) = e^{\frac{i}{\hbar}(E_p - E_n)t} \rho_{np}(0) \end{cases} \quad (49)$$

جمعیت‌ها ثابت‌اند و همدوسی‌ها با فرکانس‌های بوهر دستگاه نوسان می‌کنند.

می‌توان، با استفاده از (۴۰) نامساوی زیر را ثابت کرد : (iii)

$$\rho_{nn} \rho_{pp} \geq |\rho_{np}|^2 \quad (50)$$

از این نامساوی، به عنوان مثال، نتیجه می‌شود که  $\rho$  می‌تواند فقط بین حالتها بیکار باشد.

#### ۴- گاربردهای عملگر چگالی

##### ۵- دستگاه در تعادل ترمودینامیکی

اولین مثالی که بررسی می‌کنیم از مکانیک آماری کوانتومی گرفته شده است. دستگاهی در نظر بگیریم که با یک چشم‌گرمایی در دمای مطلق  $T$  در حال تعادل است. می‌توان نشان داد که در این صورت عملگر چگالی عبارت است از :

$$\rho = Z^{-1} e^{-H/kT} \quad (51)$$

که در آن  $H$  هامیلتونی دستگاه،  $k$  ثابت بولتزمن و  $Z$  یک ضریب بهنجارش است که طوری انتخاب شده است که رد  $\rho$  برابر ۱ شود :

$$Z = \text{Tr} \{ e^{-H/kT} \} \quad (52)$$

( $Z$ ) "تابع افزار" نامیده می‌شود

در پایه  $\{ |u_n\rangle\}$  ، متشكل از ویژه‌بردارهای  $H$  ، داریم (رک. مکمل  $B_{II}$ )

: بخش a (۴-)

$$\begin{aligned}\rho_{nn} &= Z^{-1} \langle u_n | e^{-H/kT} | u_n \rangle \\ &= Z^{-1} e^{-E_n/kT}\end{aligned}\quad (53)$$

و

$$\begin{aligned}\rho_{np} &= Z^{-1} \langle u_n | e^{-H/kT} | u_p \rangle \\ &= Z^{-1} e^{-E_p/kT} \langle u_n | u_p \rangle \\ &= 0\end{aligned}\quad (54)$$

در تعادل ترمودینامیکی ، جمعیت‌های حالت‌های مانا توابعی نمایی و نزولی از انرژی‌اند (هرچه دمای  $T$  پائین‌تر باشد ، این نزول سریعتر است) ، و همدوسي‌ها بین حالت‌های مانا صفر است .

b - توصیف جدالگانه یک قسمت از دستگاه فیزیکی . مفهوم رد جزئی .

اکنون به مساله ذکر شده در بخش ۳ از مکمل  $D_{III}$  برمی‌گردیم . دستگاه متفاوت (۱) و (۲) و دستگاه کلی (۲)+(۱) را که فضای حالت‌های آن حاصل ضرب تانسوری :

$$\mathcal{E} = \mathcal{E}(1) \otimes \mathcal{E}(2) \quad (55)$$

است ، در نظریه‌گیریم . فرض کنیم  $\langle |u_n(1)\rangle$  یک پایه (۱)  $\mathcal{E}$  و  $\langle |v_p(2)\rangle$  یک پایه (۲)  $\mathcal{E}$  باشد ، کتهای  $\langle |v_p(2)|u_n(1)\rangle$  یک پایه  $\mathcal{E}$  را تشکیل می‌دهند .

عملگر چگالی  $\rho$  ای دستگاه کلی عملگری است که در  $\mathcal{E}$  عمل می‌کند . در فصل دوم (رک. بخش b - ۲-۲) دیدیم که چگونه می‌توان عملگری را که فقط در (۱)  $\mathcal{E}$  [ یا (۲)  $\mathcal{E}$  ] عمل می‌کند به  $\mathcal{E}$  گسترش داد . در اینجا می‌خواهیم نشان دهیم که چگونه عمل عکس را انجام دهیم : از  $\rho$  یک عملگر  $(1)\rho$  [ یا  $(2)\rho$  ] بسازیم که فقط در (۱)  $\mathcal{E}$  [ یا (۲)  $\mathcal{E}$  ] عمل کند و تمام پیش‌بینی‌های فیزیکی در باره اندازه‌گیریهای را که فقط روی دستگاه (۱) [ یا دستگاه (۲) ] انجام می‌شود ممکن سازد . این عمل ، رد جزیی نسبت به (۲). [ یا (۱) ] نامیده می‌شود .

عملگر  $(1)\rho$  را که عناصر ماتریسی آن :

$$\langle u_n(1) | \rho(1) | u_n(1) \rangle = \sum_p (\langle u_n(1) | \langle v_p(2) \rangle) \rho (\langle u_n(1) | v_p(2) \rangle) \quad (56)$$

هستند، وارد می‌کنیم.

بنا به تعریف، (۱) از  $\rho$  توسط انجام یک رد جزئی روی (۲) بدست آمده است:

$$\rho(1) = \text{Tr}_2 \rho \quad (۵۷)$$

بهطور مشابه، عملگر:

$$\rho(2) = \text{Tr}_1 \rho \quad (۵۸)$$

دارای عناصر ماتریسی زیر است:

$$\langle v_p(2) | \rho(2) | v_{p'}(2) \rangle = \sum_n (\langle u_n(1) | \langle v_p(2) |) \rho (| u_n(1) \rangle | v_{p'}(2) \rangle) \quad (۵۹)$$

واضح است که چرا این عملها رد جزئی نامیده می‌شوند. می‌دانیم که رد (کل)  $\rho$  برابر است با:

$$\text{Tr} \rho = \sum_n \sum_p (\langle u_n(1) | \langle v_p(2) |) \rho (| u_n(1) \rangle | v_p(2) \rangle) \quad (۶۰)$$

اختلاف بین (۶۰) و (۵۶) [یا (۵۹)] بهصورت زیر است: برای رد های جزئی، لازم نیست که شاخصهای  $n$  و  $n'$  (یا  $p$  و  $p'$ ) برابر باشند و جمع بندی فقط روی  $p$  (یا  $n$ ) انجام می‌شود، بعلاوه داریم:

$$\text{Tr} \rho = \text{Tr}_1(\text{Tr}_2 \rho) = \text{Tr}_2(\text{Tr}_1 \rho) \quad (۶۱)$$

بنابراین (۱)  $\rho$  و (۲)  $\rho$  مانند  $\rho$ ، عملگرهایی هستند که رد آنها برابر ۱ است. می‌توان از روی تعریف آنها ثابت کرد که هرمیتی می‌باشد و عموماً "تمام خواص یک عملگر چکالی را دارا می‌باشد".

حال فرض کنید (۱)  $A$  یک عملگر باشد که در (۱) عمل می‌کند و (۲)  $A(1) = A(1) \otimes \mathbb{1}(2)$  تعمیم آن در (۲)، با استفاده از (۳۱)، تعریف رد، و رابطه بستاری روی پایه:

$$\begin{aligned} \langle \tilde{A}(1) \rangle &= \text{Tr} \{ \rho \tilde{A}(1) \} \\ &= \sum_{n,p} \sum_{n',p'} (\langle u_n(1) | \langle v_p(2) |) \rho (| u_n(1) \rangle | v_{p'}(2) \rangle) \\ &\quad \times (\langle u_{n'}(1) | \langle v_{p'}(2) |) A(1) \otimes \mathbb{1}(2) (| u_n(1) \rangle | v_p(2) \rangle) \\ &= \sum_{n,p,n',p'} (\langle u_n(1) | \langle v_p(2) |) \rho (| u_n(1) \rangle | v_{p'}(2) \rangle) \\ &\quad \times \langle u_n(1) | A(1) | u_n(1) \rangle \langle v_{p'}(2) | v_p(2) \rangle \end{aligned} \quad (۶۲)$$

حال :

$$\langle v_p(2) | v_p(2) \rangle = \delta_{pp'} \quad (63)$$

از اینرو می‌توان (۶۲) را بصورت زیر نوشت :

$$\langle \tilde{A}(1) \rangle = \sum_{n,n'} \left[ \sum_p \langle u_n(1) v_p(2) | \rho | u_{n'}(1) v_p(2) \rangle \right] \langle u_{n'}(1) | A(1) | u_n(1) \rangle \quad (64)$$

در داخل پرانتز در طرف راست همان عنصر ماتریسی (۱)  $\rho$  که در (۵۶) تعریف شد می‌باشد.  
بنابراین ، داریم :

$$\begin{aligned} \langle \tilde{A}(1) \rangle &= \sum_{n,n'} \langle u_n(1) | \rho(1) | u_{n'}(1) \rangle \langle u_{n'}(1) | A(1) | u_n(1) \rangle \\ &= \sum_n \langle u_n(1) | \rho(1) A(1) | u_n(1) \rangle \\ &= \text{Tr} \{ \rho(1) A(1) \} \end{aligned} \quad (65)$$

حال این نتیجه را با (۳۱) مقایسه کنیم . می‌بینیم که رد جزی (۱)  $\rho$  ما را قادر می‌سازد تا تمام مقادیر متوسط  $\langle \tilde{A}(1) \rangle$  را طوری محاسبه کنیم که گویی دستگاه (۱) منزوی بوده و عملگر چگالی آن (۱)  $\rho$  بوده است . با یادآوری همان نکاتی که در مورد فرمول (۱۷) گوشزد کردیم ، ملاحظه می‌کنیم که (۱)  $\rho$  هم چنین مارا قادر می‌سازد تا احتمالهای تمام نتایج اندازه‌گیریهایی را که تنها روی دستگاه (۱) انجام می‌شوند به دست آوریم .

### گوشزدها

در مکمل  $D_{III}$  دیدیم که وقتی حالت دستگاه کلی  $(1)+(2)$  یک حالت حاصل‌ضریب تباشد غیرممکن است بدستگاه (۱) [ یا (۲) ] یک بردار حالت نسبت داد . اکنون می‌بینیم که عملگر چگالی ابزار بسیار ساده‌تری از بردار حالت است . در تمام موارد (چه دستگاه کلی در یک حالت حاصل‌ضریبی باشد و چه نباشد ، چه با یک مورد خالص متناظر باشد و چه با یک آمیزه آماری ) همواره می‌توان ، بخاطر عملرد جزئی یک عملگر چگالی به‌زیر دستگاه (۱) [ یا (۲) ] منتبه کرد . این امر به‌ما امکان می‌دهد تا تمام پیش‌بینی‌های فیزیکی درباره « این زیر دستگاه را محاسبه کنیم . حتی اگر ۱ م یک حالت خالص را توصیف کند  $(\text{Tr} \{ \rho^2 \} = 1)$  ، « عموماً » برای عملگرهای چگالی (۱)  $\rho$  و (۲)  $\rho$  که به‌وسیله رد جزئی از م بددست آمد هماند چنین نیست . می‌توان از (۵۶) [ یا (۵۹) ] نشان داد که  $\{ (\text{Tr} \{ \rho^2 \})^2 \} = \text{Tr} \{ \rho^2 \}^2$  [ یا  $\{ \text{Tr} \{ \rho^2 \} \}^2 = \text{Tr} \{ \rho^4 \}$  ] « عموماً » برابر ۱ نیست . بدین ترتیب به‌طریق دیگری در می‌یابیم که « عموماً » ممکن نیست یک بردار

حالت به (۱) [ یا (۲) ] منتبه کرد ، البته بجز وقتی که حالت دستگاه کلی یک حالت حاصلضربی است .

اگر دستگاه کلی در یک حالت حاصلضربی : (iii)

$$|\psi\rangle = |\varphi(1)\rangle |\chi(2)\rangle \quad (66)$$

باشد ، می توانیم مستقیماً نشان دهیم که عملگر چگالی متناظر به صورت زیر نوشته می شود :

$$\rho = \sigma(1) \otimes \tau(2) \quad (67)$$

$$\begin{aligned} \sigma(1) &= |\varphi(1)\rangle \langle \varphi(1)| \\ \tau(2) &= |\chi(2)\rangle \langle \chi(2)| \end{aligned} \quad (68)$$

بطور عمومی تر ، می توانیم حالتها را از دستگاه کلی را در نظر بگیریم که برای آنها ، عملگر چگالی  $\rho$  بتواند مانند (۶۷) به صورت حاصلضرب درآید [  $\sigma(1)\sigma(2)$  و  $\tau(1)\tau(2)$  ] . در این می توانند هم با آمیزه های آماری و هم با موردهای خالص متناظر باشند [ . در این صورت عمل رد جزیی می دهد ] :

$$\begin{aligned} \text{Tr}_2 \{ \sigma(1) \otimes \tau(2) \} &= \sigma(1) \\ \text{Tr}_1 \{ \sigma(1) \otimes \tau(2) \} &= \tau(2) \end{aligned} \quad (69)$$

بنابراین ، عبارتی نظیر (۶۷) معرف پهلوی هم گذاری ماده یک دستگاه (۱) که توسط عملگر چگالی  $\sigma(1)$  توصیف می شود و یک دستگاه (۲) که توسط عملگر چگالی  $\tau(2)$  توصیف می شود ، می باشد .

حال ، با شروع از یک عملگر چگالی دلخواه  $\rho$  [ که نمی تواند مانند (۶۷) به صورت حاصلضرب درآید ]  $\text{Tr}_1 \rho = \text{Tr}_2 \rho$  و  $\rho(1) = \rho(2)$  را محاسبه کنیم و سپس حاصلضرب

$$\rho' = \rho(1) \otimes \rho(2) \quad (70)$$

را تشکیل دهیم . برخلاف مورد بررسی شده در گوشزد (iii) ،  $\rho'$  عموماً با  $\rho$  متفاوت است . بنابراین وقتی عملگر چگالی نتواند مانند (۶۷) به صورت حاصلضرب درآید نوعی "همبستگی" بین دستگاه های (۱) و (۲) وجود دارد که دیگر در عملگر  $\rho'$  در فرمول (۷۰) وجود ندارد .

اگر تحول دستگاه کلی توسط معادله  $(36)$  توصیف شود ، عموماً غیر ممکن است بتوان یک عملگر ها میلتونی مربوط به تنهای دستگاه (۱) یافت که ما را قادر سازد تا

معادله مشابهی برای  $\rho(1)$  بنویسیم . با وجودی که ، در هر لحظه ، تعریف  $\rho(1)$  بر حسب  $\rho$  ساده است ، تشریح تحول  $\rho(1)$  بسیار مشکلتر است .

**مراجع و پیشنهادات برای مطالعه بیشتر :**

Articles by Fano (2.31) and Ter Haar (2.32). Using the density operator to study relaxation phenomena : Abragam (14.1), chap. VIII; Slichter (14.2), chap. 5; Sargent, Scully and Lamb (15.5), chap. VII.

مکمل  $F_{III}$ 

## عملگر تحول

- ۱ - خواص عمومی
- ۲ - مورد دستگاههای پایستار

در بخش b - ۱ - D از فصل سوم دیدیم که تبدیل  $\langle t_0 | \psi |$  (بردار حالت در لحظه اولیه  $t_0$ ) به  $\langle t | \psi |$  (بردار حالت در یک لحظه دلخواه) خطی است. لذا یک عملگر خطی  $U(t, t_0)$  وجود دارد بطوری که :

$$|\psi(t)\rangle = U(t, t_0) |\psi(t_0)\rangle \quad (1)$$

در این مکمل می خواهیم خواص اصلی  $U(t, t_0)$  را که بنا به تعریف عملگر تحول دستگاه است مورد مطالعه قرار دهیم.

## ۱ - خواص عمومی

چون کت  $\langle t_0 | \psi |$  دلخواه است، از رابطه (۱) دیده می شود که:

$$U(t_0, t_0) = \mathbb{1} \quad (2)$$

از طرف دیگر، با قراردادن (۱) در معادله شرودینگر، خواهیم یافت:

$$i\hbar \frac{\partial}{\partial t} U(t, t_0) |\psi(t_0)\rangle = H(t) U(t, t_0) |\psi(t_0)\rangle \quad (3)$$

که از آن، بهمان دلایل بالا، نتیجه خواهد شد.

$$i\hbar \frac{\partial}{\partial t} U(t, t_0) = H(t) U(t, t_0) \quad (4)$$

که با در نظر گرفتن شرط اولیه (۲)، معادله دیفرانسیل مرتبه اول (۴) عملگر  $U(t, t_0)$  را بطور کامل تعیین می کند.

بعلاوه، توجه کنیم که می توان (۲) و (۴) را در یک معادله انتگرالی تک گنجانید:

$$U(t, t_0) = \mathbb{1} - \frac{i}{\hbar} \int_{t_0}^t H(t') U(t', t_0) dt' \quad (5)$$

حال فراسنجه را که در  $(t, t_0)U$  ظاهر می‌شود به عنوان یک متغیر  $t'$ ، هم‌تراز با  $t$ ، در نظر بگیریم. در این صورت (۱) را به صورت زیر می‌نویسیم:

$$|\psi(t)\rangle = U(t, t') |\psi(t')\rangle \quad (6)$$

اما  $|\psi(t')\rangle$  خود می‌تواند از فرمولی از همان نوع به دست آید:

$$|\psi(t')\rangle = U(t', t'') |\psi(t'')\rangle \quad (7)$$

(۷) را در (۶) قرار دهیم:

$$|\psi(t)\rangle = U(t, t') U(t', t'') |\psi(t'')\rangle \quad (8)$$

بعلاوه، چون  $|\psi(t'')\rangle = U(t, t'') |\psi(t)\rangle$  اختیاری است) نتیجه می‌گیریم:

$$U(t, t'') = U(t, t') U(t', t'') \quad (9)$$

به آسانی می‌توان این روش را تعمیم داد و به دست آورد:

$$U(t_n, t_1) = U(t_n, t_{n-1}) \dots U(t_3, t_2) U(t_2, t_1) \quad (10)$$

که در آن  $t_1 < t_2 < t_3 < \dots < t_n$  دلخواه‌اند. اگر فرض کنیم که باشد، فرمول (۱۰) را به آسانی می‌توان تعبیر کرد: برای رفتن از  $t_1$  به  $t_n$ ، دستگاه‌نخست از  $t_1$  به  $t_2$  پیشرفت می‌کند، سپس از  $t_2$  به  $t_3$ ، ...، و بالاخره از  $t_{n-1}$  به  $t_n$  با قراردادن  $t'' = t$  در (۹) و منظور نمودن (۲)، به دست می‌آوریم:

$$\mathbb{1} = U(t, t') U(t', t) \quad (11)$$

یا، با عوض کردن نقشهای  $t$  و  $t'$ :

$$\mathbb{1} = U(t', t) U(t, t') \quad (12)$$

لذا داریم:

$$U(t', t) = U^{-1}(t, t') \quad (13)$$

حال عملگر تحول بین دولحظه به فاصله  $dt$  را محاسبه کنیم. برای این منظور،

معادله شرودینگر را به صورت زیر می‌نویسیم:

$$\begin{aligned} d|\psi(t)\rangle &= |\psi(t+dt)\rangle - |\psi(t)\rangle \\ &= -\frac{i}{\hbar} H(t) |\psi(t)\rangle dt \end{aligned} \quad (14)$$

یعنی:

$$|\psi(t+dt)\rangle = \left[ \mathbb{1} - \frac{i}{\hbar} H(t) dt \right] |\psi(t)\rangle \quad (5)$$

بنابراین با استفاده از تعریف  $U(t+dt, t)$ ، به دست می‌آوریم:

$$U(t+dt, t) = \mathbb{1} - \frac{i}{\hbar} H(t) dt \quad (16)$$

$U(t+dt, t)$  را عملگر تحول بی‌نهایت کوچک می‌نامیم. چون  $H(t)$  هرمیتی است،  $U(t+dt, t)$  یکانی است (رک مکمل  $C_{II}$ ، بخش ۳). نتیجه می‌شود که  $U(t, t')$  نیز یکانی است زیرا بازه  $[t, t']$  می‌تواند به تعداد بسیار زیادی بازه‌های بی‌نهایت کوچک تقسیم شود. در این صورت فرمول (۱۶) نشان می‌دهد که  $U(t, t')$  حاصلضربی از عملگرهای یکانی است، و بنابراین خود یک عملگر یکانی است. در نتیجه می‌توان (۱۳) را به صورت زیرنوشت:

$$U'(t, t') = U^{-1}(t, t') = U(t', t) \quad (17)$$

یکانی بودن تبدیل  $U(t, t')$ ، یعنی اینکه هنجار بردارهای را که روی آنها عمل می‌کند پایا نگه میدارد، عجیب نیست. در فصل سوم (رک بخش ۱-۱-D) دیدیم که هنجار بردار حالت با زمان تغییر نمی‌کند.

### ۲- مورد دستگاههای پایستار

وقتی عملگر  $H$  به زمان بستگی نداشته باشد، معادله (۴) به سادگی انتگرال‌گیری می‌شود، با در نظر گرفتن شرط اولیه (۲)، خواهیم یافت:

$$U(t, t_0) = e^{-iH(t-t_0)/\hbar} \quad (18)$$

می‌توان مستقیماً از این فرمول تمام خواص عملگر تحول را که در بخش ۱ ذکر شد ثابت کرد. با استفاده از فرمول ۱۸، بطور بسیار ساده‌ای می‌توان از فرمول (D-۵۲) به فرمول

(D-۵۴) فصل سوم رسید، کافی است عملگر  $U(t, t_0)$  را، با درنظر گرفتن اینکه  $|\varphi_{n,\tau}\rangle$  یک ویژه بردار  $H$  با ویژه مقدار  $E_n$  است، به دو طرف (D-۵۲) اعمال کنیم:

$$\begin{aligned} U(t, t_0) |\varphi_{n,\tau}\rangle &= e^{-iH(t-t_0)/\hbar} |\varphi_{n,\tau}\rangle \\ &= e^{-iE_n(t-t_0)/\hbar} |\varphi_{n,\tau}\rangle \end{aligned} \quad (19)$$

## گوشزدها:

(i) وقتی  $H$  وابسته به زمان باشد، ممکن است، با مشابهت با فرمول (۱۸)، گمان کنیم که عملگر تحول با عملگر  $V(t, t_0)$  که به صورت:

$$V(t, t_0) = e^{-\frac{i}{\hbar} \int_{t_0}^t H(t') dt'} \quad (20)$$

تعريف می‌شود، برابراست. در واقع این‌طور نیست، زیرا مشتق یک عملگر به شکل  $e^{F(t)} V(t, t_0) e^{F(t)}$  نیست (رک. مکمل  $B_{II}$ ، بخش c-۵):

$$i\hbar \frac{d}{dt} V(t, t_0) \neq H(t)V(t, t_0) \quad (21)$$

بار دیگر آزمایشات تشریح شده در بخش b-۱-E از فصل سوم را در نظر بگیریم. همان‌طوری که قبلاً "شاره کردیم [ گوشزد (ii) ] از بخش b- $\beta$ -۱- [ E-۱- b- $\beta$ -۱- ] لازم نیست فرض شود که اندازه‌گیریهای مشاهده‌پذیرهای مختلف  $A$ ،  $B$  و  $C$  از نظر زمانی خیلی نزدیک بهم انجام شده‌اند. وقتی دستگاه بین دو اندازه‌گیری متوالی فرست تحول داشته باشد، تغییرات بردار حالت می‌تواند به سادگی با استفاده از عملگر تحول در نظر گرفته شود.

اگر  $t_1$ ،  $t_2$  و  $t_0$  به ترتیب لحظه‌هایی باشند که اندازه‌گیریهای  $A$ ،  $B$  و  $C$  انجام شده‌اند، فرمول:

$$\mathcal{P}_a(c) = |\langle v_c | U(t_2, t_0) | u_a \rangle|^2 \quad (22)$$

را جانشین (E-۱۵) و فرمول:

$$\mathcal{P}_a(b, c) = |\langle v_c | U(t_2, t_1) | w_b \rangle|^2 |\langle w_b | U(t_1, t_0) | u_a \rangle|^2 \quad (23)$$

را جانشین (۱۲ - E) می‌کنیم . در این صورت ، با استفاده از (۹) ، داریم :

$$\begin{aligned} \langle v_c | U(t_2, t_0) | u_a \rangle &= \langle v_c | U(t_2, t_1) U(t_1, t_0) | u_a \rangle \\ &= \sum_b \langle v_c | U(t_2, t_1) | w_b \rangle \langle w_b | U(t_1, t_0) | u_a \rangle \end{aligned} \quad (24)$$

با بردن (۲۴) در (۲۲) ، ملاحظه می‌کنیم که ، مانند (E - ۲۱) ،  $\mathcal{P}_a(c)$  با  $\sum_b \mathcal{P}_a(b, c)$  برابر نیست .

مراجع و پیشنهادات برای مطالعه بیشتر :

عملگر تحویل در تئوری برخورد (مراجع فصل هشتم را بهبینید) و تئوری انتشار وابسته به زمان (مراجع فصل سیزدهم را بهبینید) دارای اهمیت اساسی است .

مکمل  $G_{III}$ 

### دیدگاه‌های شرودینگر و هایزنبرگ

در صورت بندی ارائه شده در فصل سوم ، عملگرهای متناظر با مشاهده پذیرهای دستگاه (رک فصل سوم ، بخش ۵ - ۱ - D) ، عنوان مثال ، عملگرهای مکان ، تکانه و انرژی جنبشی یک ذره به زمان بستگی ندارند . تحول دستگاه کاملاً "در تحول بردار حالت  $\langle \psi(t) |$  [ که به دلایلی که بعداً می‌آید ، در اینجا به صورت  $\langle \psi(t_0) |$  نوشته می‌شود ] نهفته است و این تحول از معادله شرودینگر به دست می‌آید . بماین جهت این دیدگاه را دیدگاه شرودینگر می‌نامیم .

با وجود این ، می‌دانیم که تمام پیش‌بینی‌های مکانیک کوانتومی ( احتمالات مقادیر متوسط ) بر حسب حاصلضربهای یک برا و یک کت یا عناصر ماتریسی عملگرها بیان می‌شود . همان‌طوری که در مکمل  $C_{II}$  دیدیم ، این کمیتها ، وقتی روی کتها و عملگرها یک تبدیل یکانی انجام شود ، تغییرناپذیر هستند . این تبدیل را می‌توان طوری انتخاب کرد که تبدیل یافته  $\langle \psi(t) |$  یک کت مستقل از زمان بشود . مسلماً ، در این صورت تبدیل یافته مشاهده‌پذیرهای بالا به زمان بستگی دارند . با این ترتیب دیدگاه هایزنبرگ به دست می‌آید .

برای اجتناب از اشتباه ، در این مکمل ، یک شاخص  $S$  به کتها و عملگرهای دیدگاه شرودینگر و یک شاخص  $H$  به کتها و عملگرهای دیدگاه هایزنبرگ نسبت خواهیم داد . چون دیدگاه اخیر ( هایزنبرگ ) فقط در این مکمل مورد استفاده قرار می‌گیرد ، شاخص  $S$  در سایر مکملها و فضول بطور تلویحی در نظر گرفته خواهد شد .

بردار حالت  $\langle \psi_S(t) |$  در لحظه  $t$  بر حسب  $\langle \psi_S(t_0) |$  توسط رابطه :

$$(1) \quad |\psi_S(t)\rangle = U(t, t_0) |\psi_S(t_0)\rangle$$

بیان می‌شود ، که در آن  $U(t, t_0)$  عملگر تحول است ( رک . مکمل  $F_{III}$  ) . چون این عملگر یکانی است ، برای بدست آوردن بردار تبدیل یافته ثابت  $\langle \psi_H(t) |$  کافی است تبدیل یکانی وابسته به عملگر  $(U(t, t_0))^\dagger$  را انجام دهیم :

$$(2) \quad |\psi_H\rangle = U^\dagger(t, t_0) |\psi_S(t)\rangle = U^\dagger(t, t_0) U(t, t_0) |\psi_S(t_0)\rangle = |\psi_S(t_0)\rangle$$

بنابراین، بردار حالت دیدگاه های زنیرگ، که ثابت است، برابر است با  $\langle (t) | \psi_S(t) | \text{درزمان}_0 \rangle$  (رک مکمل  $C_{II}$  بخش ۲) :

$$A_H(t) = U^*(t, t_0) A_S(t) U(t, t_0) \quad (۳)$$

همانطوری که قبلاً دیده ایم،  $A_H(t)$  عموماً بزمان بستگی دارد حتی اگر  $A_S$  بزمان بستگی نداشته باشد.

مع ذالک، یک مورد خاص جالب وجود دارد که در آن، اگر  $A_S$  مستقل از زمان باشد،  $A_H$  هم مستقل از زمان است: این موردی است که دستگاه پایستار ( $H_S$  بزمان بستگی نداشته باشد) و  $A_S$  با  $H_S$  جابجایی پذیر باشد (در این صورت  $A_S$  یک ثابت حرکت است، رک فصل سوم بخش c - ۲ - c) در این مورد داریم:

$$U(t, t_0) = e^{-iH_S(t-t_0)/\hbar} \quad (۴)$$

اگر عملگر  $A_S$  با  $H_S$  جابجایی پذیر باشد، با  $U(t, t_0)$  نیز جابجایی پذیر است (رک مکمل  $B_{II}$  بخش c - ۴) بنابراین:

$$A_H(t) = U^*(t, t_0) U(t, t_0) A_S = A_S \quad (۵)$$

بنابراین عملگرهای  $A_S$  و  $A_H$  در این مورد بایکدیگر برابرند (به صورت،  $H_S = H_H$  و در واقع شاخصهای  $S$  و  $H$  برای هامیلتونین غیر ضروری است). چون این عملگرها مستقل از زمانند، در می باییم که با یک ثابت حرکت متناظرونند.

حال تحول عملگر  $(t) A_H(t)$  را، وقتی که  $(t) A_S(t)$  دلخواه است، محاسبه کنیم. با استفاده از رابطه (۴) از مکمل  $F_{III}$  و همیوغ آن، به دست می آوریم:

$$\begin{aligned} \frac{d}{dt} A_H(t) &= -\frac{1}{i\hbar} U^*(t, t_0) H_S(t) A_S(t) U(t, t_0) + U^*(t, t_0) \frac{dA_S(t)}{dt} U(t, t_0) \\ &\quad + \frac{1}{i\hbar} U^*(t, t_0) A_S(t) H_S(t) U(t, t_0) \end{aligned} \quad (۶)$$

در جملات اول و آخر این عبارت، بین  $A_S$  و  $H_S$  حاصل ضرب ( $U(t, t_0) U^*(t, t_0)$ ) را، که برابر با عملگر همانندی است، قرار می دهیم [فرمول (۱۷)] از مکمل  $[F_{III}]$

$$\begin{aligned} \frac{d}{dt} A_H(t) &= -\frac{1}{i\hbar} U^*(t, t_0) H_S(t) U(t, t_0) U^*(t, t_0) A_S(t) U(t, t_0) \\ &\quad + U^*(t, t_0) \frac{dA_S(t)}{dt} U(t, t_0) \\ &\quad + \frac{1}{i\hbar} U^*(t, t_0) A_S(t) U(t, t_0) U^*(t, t_0) H_S(t) U(t, t_0) \end{aligned} \quad (۷)$$

برطبق تعریف (۳)، سرانجام بددست می‌آوریم:

$$i\hbar \frac{d}{dt} A_H(t) = [A_H(t), H_H(t)] + i\hbar \left( \frac{d}{dt} A_S(t) \right)_H \quad (8)$$

### گوشزدها

(i) از نظر تاریخی، دیدگاه اول توسط شرودینگر توسعه داده شد و وی را به معادله‌ای رهنمون شد که به نام خود وی اسم گذاری شد، و دیدگاه دوم، توسط هایزنبیرگ [ که تحول ماتریسی معرف عملگرهای مختلف  $(t)$   $A_H$ ] را محاسبه کرد و از این رو به "مکانیک ماتریسی" مرسوم گردید توسعه یافت. هم ارزی این دو دیدگاه بعداً ثابت شد.

(ii) با استفاده از (۸)، همان‌طوری که الان نشان می‌دهیم، معادله  $(D-27)$  از فصل سوم فوراً بددست می‌آید. در دیدگاه هایزنبیرگ، تحول مقدار متوسط:

$$\langle A \rangle(t) = \langle \psi_S(t) | A_S(t) | \psi_S(t) \rangle$$

را می‌توان محاسبه کرد، زیرا داریم:

$$\langle A \rangle(t) = \langle \psi_H | A_H(t) | \psi_H \rangle \quad (9)$$

در طرف راست (۹)، تنها  $(t)$   $A_H$  به زمان بستگی دارد، بنابراین می‌توان مستقیماً با مشتق‌گیری  $(D-27)$  را به دست آورد. با وجود این، توجه کنید که معادله  $(D-27)$  از (۸) کلی‌تر است زیرا، بجای بیان تساوی دو مقدار متوسط (یعنی، دو عنصر ماتریسی عملگرها)، تساوی دو عملگر را بیان می‌کند.

(iii) وقتی دستگاه مورد نظر ذره‌ای به جرم  $m$  باشد که تحت تاثیر یک پتانسیل قرار دارد، معادله (۸) بسیار آسان می‌شود. در این صورت داریم (خود را بهیک بعد محدود ساخته‌ایم):

$$H_S(t) = \frac{P_S^2}{2m} + V(X_S, t) \quad (10)$$

ولذا [ رک فرمول (۳۵) از مکمل  $C_{II}$  ] :

$$H_H(t) = \frac{P_H^2}{2m} + V(X_H, t) \quad (11)$$

با بردن (۱۱) در (۸) و استفاده از  $[X_H, P_H] = [X_S, P_S] = i\hbar$  با استدلالی مشابه استدلال بخش D-۱ از فصل سوم به دست می آوریم:

$$\begin{aligned} \frac{d}{dt} X_H(t) &= \frac{1}{m} P_H(t) \\ \frac{d}{dt} \hat{\phi}_H(t) &= -\frac{\hat{e}V}{\hbar X}(X_H, t) \end{aligned} \quad (12)$$

این معادلات قصیه اهرنفست [ رک فصل سوم ، روابط (D-۳۴) و (D-۳۵) را تعمیم می دهند . این معادلات مشابه معادلاتی هستند که تحول کمیتهای کلاسیکی  $\alpha$  و  $p$  را به دست می دهند [ رک فصل سوم ، روابط (a-D-۳۶) و (b-D-۳۶) . لذا یک مزیت دیدگاه هایزنبرگ این است که منجر به معادلاتی می شود که از نظر ظاهری مشابه معادلات مکانیک کلاسیک است .

مراجع و پیشنهادات برای مطالعه بیشتر :

دیدگاه برهم کنش :

Messiah (1.17), chap. VIII §14; Schiff (1.18), §24; Merzbacher (1.16), chap. 18, §7.

## مکمل III

## تفییر ناپذیری پیمانه‌ای

- ۱- شرح مسأله: پتانسیلهای نرده‌ای و برداری وابسته به یک میدان الکترومغناطیسی با مفهوم پیمانه
- ۲- تغییر ناپذیری پیمانه‌ای در مکانیک کلاسیک
  - a- معادلات نیوتون
  - b- صورت‌بندی های میلتونی
  - c- متغیرهای دینامیکی دستگاه و تحول آنها
  - d- "کمیتهای واقعاً فیزیکی" و "کمیتهای غیر فیزیکی"
- ۳- تغییر ناپذیری پیمانه‌ای در مکانیک کوانتومی
  - a- قواعد کوانتش
  - b- تبدیل یکانی بردار حالت، تغییر ناپذیری صوری معادله شرودینگر.
  - c- عملگر یکانی ( $T_x(t)$ )
  - d- تحول زمانی بردار حالت
  - e- تغییر ناپذیری پیش‌بینی‌های فیزیکی در یک تبدیل پیمانه‌ای
  - f- رفتار مشاهده‌پذیرها
  - g- احتمالهای نتایج مختلف ممکن یک اندازه‌گیری از یک کمیت واقعاً فیزیکی
  - h- چگالی و جریان احتمال
- ۴- شرح مسأله: پتانسیلهای نرده‌ای و برداری وابسته به یک میدان الکترومغناطیسی با مفهوم پیمانه

یک میدان الکترومغناطیسی را، که توسط مقادیر  $E(r; t)$  و  $B(r; t)$  میدان الکتریکی و میدان مغناطیسی در هر لحظه از زمان و در تمام نقاط فضا مشخص شده است، بگیریم:  $E(r; t)$  و  $B(r; t)$  مستقل از یکدیگر نیستند زیرا در معادلات ماسکول صدق می‌کنند. می‌توان بجای مشخص کردن این دو میدان برداری، یک پتانسیل نرده‌ای  $U(r; t)$  و یک پتانسیل برداری  $A(r; t)$  وارد کرد بهطوری که:

$$\begin{cases} \mathbf{E}(\mathbf{r}; t) = -\nabla U(\mathbf{r}; t) - \frac{\partial}{\partial t} \mathbf{A}(\mathbf{r}; t) \\ \mathbf{B}(\mathbf{r}; t) = -\nabla \times \mathbf{A}(\mathbf{r}; t) \end{cases} \quad (1)$$

می‌توان از معادلات ماکسول نشان داد که (رک پیوست III، بخش ۴-۶) همواره توابعی مانند  $U(\mathbf{r}; t)$  و  $\mathbf{A}(\mathbf{r}; t)$  وجود دارند که بتوان  $E(\mathbf{r}; t)$  و  $B(\mathbf{r}; t)$  را بدستور (1) بر حسب آنها بیان کرد. بنابراین تمام میدانهای الکترومغناطیسی را می‌توان توسط پتانسیلهای نرده‌ای و برداری توصیف کرد. لیکن، وقتی  $E(\mathbf{r}; t)$  و  $B(\mathbf{r}; t)$  معلوم باشند،  $U(\mathbf{r}; t)$  و  $A(\mathbf{r}; t)$  به طور یکتا تعیین نمی‌شوند. می‌توان به سادگی ثابت کرد که اگر یک مجموعه از مقادیر ممکن برای  $U(\mathbf{r}; t)$  و  $A(\mathbf{r}; t)$  داشته باشیم، با تبدیل:

$$\begin{aligned} U'(\mathbf{r}; t) &= U(\mathbf{r}; t) - \frac{\partial}{\partial t} \chi(\mathbf{r}; t) \\ A'(\mathbf{r}; t) &= A(\mathbf{r}; t) + \nabla \chi(\mathbf{r}; t) \end{aligned} \quad (2)$$

که در آن  $(\chi(\mathbf{r}; t))$  یک تابع دلخواهی از  $\mathbf{r}$  و  $t$  است، پتانسیلهای دیگری مانند  $(U'(\mathbf{r}; t)$  و  $A'(\mathbf{r}; t))$  به دست می‌آوریم که همان میدان الکترومغناطیسی را توصیف می‌کنند. این مطلب را می‌توان با جایگزین کردن  $(U(\mathbf{r}; t))$  و  $(A(\mathbf{r}; t))$  توسط  $(U'(\mathbf{r}; t))$  و  $(A'(\mathbf{r}; t))$  در (1) و نشان دادن اینکه  $E(\mathbf{r}; t)$  و  $B(\mathbf{r}; t)$  تغییر نمی‌کنند، ثابت کرد. بعلاوه، می‌توان نشان داد که روابط (2) تمام پتانسیلهای نرده‌ای و برداری ممکن وابسته به یک میدان الکترومغناطیسی معین را به دست می‌دهند.

وقتی یک مجموعه خاص از پتانسیلها برای توصیف یک میدان الکترومغناطیسی انتخاب کرده باشیم، می‌گوئیم که یک پیمانه انتخاب کرده‌ایم. همانطوری که در بالا اشاره شد، می‌توان برای یک میدان معین، که توسط  $E(\mathbf{r}; t)$  و  $B(\mathbf{r}; t)$  مشخص شده است، تعداد بینهایت پیمانه مختلف به کار برد. وقتی از یک پیمانه به پیمانه دیگر برویم، می‌گوئیم که یک تغییر پیمانه انجام داده‌ایم.

در فیزیک اغلب اتفاق می‌افتد که معادلات حرکت یک دستگاه بجای میدانهای  $E(\mathbf{r}; t)$  و  $B(\mathbf{r}; t)$  پتانسیلهای  $(U(\mathbf{r}; t))$  و  $(A(\mathbf{r}; t))$  را وارد کرده باشند. مثالی ازین مورد را در بخش ۶-۵ از فصل سوم، وقتی که معادله شرودینگر را برای ذرهای با بار  $q$  واقع در یک میدان الکترومغناطیسی می‌نوشیم دیدیم [رک رابطه (۴۸) از آن فصل]. در این صورت می‌توان سوال زیر را مطرح ساخت: آیا نتایج فیزیکی پیش بینی شده توسط تئوری فقط به مقادیر میدانهای  $E(\mathbf{r}; t)$  و  $B(\mathbf{r}; t)$  در تمام نقاط فضا بستگی دارند، یا اینکه به پیمانه‌ای که برای نوشتن معادلات به کار رفته است نیز بستگی دارد؟ در مورد اخیر، برای

اینکه تئوری معنی داشته باشد، آشکارا باید مشخص کنیم که معادلات در کدام پیمانه معتبرند.

هدف این مکمل پاسخ به این سؤال است. خواهیم دید که در مکانیک کلاسیک (بخش ۲)، همانند مکانیک کوانتومی (بخش ۳)، نتایج فیزیکی با تغییر پیمانه تغییر نمی‌کنند. لذا چنین بهنظر می‌آید که پتانسیلهای نرده‌ای و برداری واسطه‌های محاسبه‌ای هستند، در واقع آنچه مورد نظر است مقادیر میدانهای الکتریکی و مغناطیسی در تمام نقاط فضاست. این نتیجه را با این گفته که مکانیک کلاسیک و مکانیک کوانتومی دارای خاصیت تغییرناپذیری پیمانه‌ای هستند، بیان می‌کنیم.

### ۳- تغییرناپذیری پیمانه‌ای در مکانیک کلاسیک

#### ۱- معادلات نیوتون

در مکانیک کلاسیک، حرکت یک ذره<sup>\*</sup> با بار  $q$  و جرم  $m$  در یک میدان الکترومغناطیسی را می‌توان از روی نیروی  $\mathbf{f}$  وارد برآن محاسبه کرد. این نیرو توسط قانون لورنتس داده می‌شود:

$$\mathbf{f} = q[\mathbf{E}(\mathbf{r}; t) + \mathbf{v} \times \mathbf{B}(\mathbf{r}; t)] \quad (۳)$$

که در آن  $\mathbf{v}$  سرعت ذره است. برای بدست آوردن معادلات حرکت، که محاسبه مکانیک ذره در هر لحظه<sup>۱</sup> را ممکن می‌سازد، این معادله را در معادله اساسی دینامیک (قانون نیوتون) :

$$m \frac{d^2}{dt^2} \mathbf{r}(t) = \mathbf{f}$$

قرار می‌دهیم. در این دیدگاه، فقط مقادیر میدانهای الکتریکی و مغناطیسی وارد محاسبات می‌شوند، لذا مسأله تغییرناپذیری پیمانه‌ای مطرح نمی‌شود.

\* برای سهولت، در این مکمل فرض می‌کنیم که دستگاه مورد نظر از یک ذره یکتا تشکیل شده است. تعمیم به دستگاه‌های پیچیده‌تر مت Shank از چندین ذره واقع در یک میدان الکترومغناطیسی، مشکلی ایجاد نمی‌کند.

## ۶ - صورت‌بندی هامیلتونی

می‌توان بجای دیدگاه بخش‌گذشته، از دیگر معادلات حرکت، معادلات هامیلتون - ژاکوبی، استفاده کرد. به آسانی می‌توان نشان داد (رك پیوست III) "که معادلات اخیر کاملاً" هم ارز معادلات نیوتون هستند. اما، چون در فصل سوم برای کوانتش یک دستگاه فیزیکی از صورت‌بندی هامیلتونی استفاده کردیم، مفید خواهد بود که بمبینیم در این صورت‌بندی تغییر پیمانه به‌جهه‌صورت ظاهر می‌شود. با وجودی که پتانسیلهای سردهای و برداری در معادلات نیوتون وارد نمی‌شوند، برای نوشتن معادلات هامیلتون ضروری‌اند. بنابراین، خاصیت تغییرناپذیری پیمانه‌ای در این دیدگاه دوم کمتر مشهود است.

## ۷ - متغیرهای دینامیکی دستگاه و تحول آنها

برای تعیین حرکت یک ذره تحت تأثیر نیروی لورنتس، که به صورت (۳) نوشته می‌شود، می‌توان از لاغرانژی\*:

$$\mathcal{L}(\mathbf{r}, \mathbf{v}; t) = \frac{1}{2} m\mathbf{v}^2 - q[U(\mathbf{r}; t) - \mathbf{v} \cdot \mathbf{A}(\mathbf{r}; t)] \quad (5)$$

استفاده کرد. از این رابطه می‌توان تکانه  $\mathbf{p}$ ، را که به صورت:

$$\mathbf{p} = \nabla_{\mathbf{v}} \mathcal{L}(\mathbf{r}, \mathbf{v}; t) = m\mathbf{v} + q\mathbf{A}(\mathbf{r}; t) \quad (6)$$

نوشته می‌شود، محاسبه کرد. سپس می‌توان هامیلتونی کلاسیکی:

$$\mathcal{H}(\mathbf{r}, \mathbf{p}; t) = \frac{1}{2m} [\mathbf{p} - q\mathbf{A}(\mathbf{r}; t)]^2 + qU(\mathbf{r}; t) \quad (7)$$

را وارد کرد. حالت ذره در یک زمان معین، در صورت‌بندی هامیلتونی، دیگر مانند بخش ای بالا (و دیدگاه لاغرانژ) توسط مکان و سرعت آن مشخص نمی‌شود، بلکه توسط مکان  $\mathbf{r}$  و تکانه  $\mathbf{p}$  ای آن، که ما آنها را متغیرهای دینامیکی اساسی خواهیم نامید، تعیین می‌شود. تکانه  $\mathbf{p}$  (مان همیوغ مکان  $\mathbf{r}$ ) (نیاید با تکانه  $\pi$  به صورت:

$$\pi = m\mathbf{v} \quad (8)$$

\* چند نتیجه از مکانیک تحلیلی را که در پیوست III اثبات کردہ‌ایم، در اینجا بدون اثبات ذکر می‌کیم.

اشتباه شود . این دو بایکدیگر متفاوتند ، زیرا برطبق (۶) :

$$\pi = p - qA(r; t) \quad (9)$$

این رابطه بهما امکان می‌دهد تاهرگاه مقادیر  $r$  و  $p$  را بدانیم ، تکانه مکانیکی (وازانگ سرعت) را محاسبه کنیم . همینطور ، تمام کمیت‌های دیگر وابسته به ذره (انرژی جنبشی ، تکانه زاویه‌ای و غیره) در صورت‌بندی هامیلتونی به صورت توابعی از متغیرهای دینامیکی اساسی  $r$  و  $p$  (و در صورت لزوم ، زمان) بیان می‌شوند .

تحول دستگاه توسط معادلات هامیلتون :

$$\begin{cases} \frac{d}{dt} r(t) = \nabla_p \mathcal{H}[r(t), p(t); t] \\ \frac{d}{dt} p(t) = -\nabla_r \mathcal{H}[r(t), p(t); t] \end{cases} \quad (10)$$

تعیین می‌شود ، که در آن  $\mathcal{H}$  تابعی از  $r$  و  $p$  به صورت (۷) است . اگر مقادیر متغیرهای دینامیکی اساسی در لحظه اولیه معلوم باشد ، این معادلات مقادیر آنها در تمام زمانها را به دست می‌دهند .

برای نوشتن معادلات (۱۰) ، لازم است که یک پیمانه  $\mathcal{L}$  ، یعنی یک زوج پتانسیل  $\{U(r; t), A(r; t)\}$  که میدان الکترومغناطیسی را توصیف می‌کنند ، انتخاب کنیم . حال اگر بجای این پیمانه  $\mathcal{L}$  ، پیمانه دیگر  $\mathcal{L}'$  را که با پتانسیلهای متفاوت  $\{U'(r; t), A'(r; t)\}$  مشخص می‌شود ، ولی همان میدانهای  $E(r; t)$  و  $B(r; t)$  را توصیف می‌کند ، انتخاب کنیم چه اتفاق می‌افتد؟ مقادیر متغیرهای دینامیکی وابسته به حرکت ذره را وقتی که پیمانه انتخاب شده  $\mathcal{L}'$  باشد ، با پریم مشخص خواهیم کرد . همانطوری که در بخش a خاطرنشان ساختیم ، معادلات نیوتن نشان می‌دهند که مکان  $r$  و سرعت  $v$  در هر لحظه مقادیری می‌گیرند که مستقل از پیمانه است . در نتیجه داریم :

$$\begin{cases} r'(t) = r(t) \\ \pi'(t) = \pi(t) \end{cases} \quad (11-a) \quad (11-b)$$

حال از (۹) داریم :

$$\begin{aligned} \pi(t) &= p(t) - qA[r(t); t] \\ \pi'(t) &= p'(t) - qA'[r'(t); t] \end{aligned} \quad (12)$$

بنابراین، مقادیر  $(r(t), p(t))$  ای تکانه در پیمانه‌های  $\chi$  و  $\psi$  متفاوتند، و باید در رابطهٔ زیر صدق می‌کنند:

$$p'(t) = qA[r'(t); t] = p(t) - qA[r(t); t] \quad (13)$$

اگر  $(r(t), p(t))$  همان تابعی باشد که در (۲) ظاهر شده است و تغییر پیمانه از  $\chi$  به  $\psi$  را فراهم می‌آورد، مقادیر متغیرهای دینامیکی اساسی بر طبق فرمولهای زیر تبدیل می‌شوند:

$$\begin{cases} r'(t) = r(t) \\ p'(t) = p(t) + q\nabla\chi[r(t); t] \end{cases} \quad (14-a) \quad (14-b)$$

در صورت‌بندی هامیلتونی، مقدار لحظه‌ای متغیرهای دینامیکی که یک حرکت معین را توصیف می‌کنند به پیمانهٔ انتخابی بستگی دارند. بعلاوه، یک چنین نتیجه‌ای عجیب نیست زیرا، در (۱۰) و (۱۵)، پتانسیلهای ترددی و برداری به‌طور صریح در معادلات تحول مکان تکانه ظاهر می‌شوند.

β - "کمیتهای واقعاً فیزیکی" و "کمیتهای غیر فیزیکی"

### (۱) تعاریف

دیدیم که، بعنوان مثال در روابط (۱۴)، می‌توان بین دونوع کمیت وابسته به ذره فرق قائل شد: آنهایی که مانند  $r$  و  $p$  در تمام زمانها در دو پیمانه مختلف مقادیریکسانی دارند و آنهایی که مانند  $\chi$ ، مقادیرشان به پیمانه انتخابی بستگی دارد. بدین ترتیب به تعریف عام زیر رهنمون می‌شویم:

- یک کمیت واقعاً فیزیکی وابسته به دستگاه مورد بررسی، کمیتی است که مقدارش در هر لحظه (برای یک حرکت معین دستگاه) به پیمانه  $\chi$  بستگی دارد. کار رفته برای توصیف میدان الکترومغناطیسی بستگی نداشته باشد.

- یک کمیت غیر فیزیکی، بر عکس، کمیتی است که مقدارش با تغییر پیمانه تغییر می‌کند، لذا این کمیت، مانند پتانسیلهای ترددی و برداری، بیشتر یک واسطه محاسبه‌ای است تا یک کمیت مشاهده‌پذیر واقعی.

در این صورت سوالی که مطرح می‌شود این است: در صورت‌بندی هامیلتونی، تمام کمیتهای وابسته به دستگاه به صورت توابعی از متغیرهای دینامیکی اساسی  $r$  و  $p$  ظاهر می‌شوند، چگونه می‌توانیم بفهمیم که آیا یک چنین تابعی متناظر است با یک کمیت واقعاً فیزیکی یا خیر؟

## (۲) رابطه مشخصه کمیتهای واقعاً فیزیکی

ابتدا فرض کنیم که یک کمیت وابسته به ذره، در پیمانه  $\mathcal{F}$ ، توسط یکتابع از  $r$  و  $p$  (احتمالاً) وابسته به زمان ( $t$ ) که آنرا به صورت  $\mathcal{G}_r(r, p; t)$  نمایش می‌دهیم توصیف شده باشد. اگر، در پیمانه دیگر  $\mathcal{F}'$ ، همانتابع  $\mathcal{G}'_r(r', p'; t)$  با این کمیت متناظر باشد، مسلماً این یک کمیت واقعاً فیزیکی نیست [ بجز در مورد خاصی که تابع  $\mathcal{F}$  فقط به  $r$  بستگی داشته باشد و به  $p$  بستگی نداشته باشد ، معادلات (۱۴) را بهبینید ] . چون مقادیر تکانه در دو پیمانه  $\mathcal{F}$  و  $\mathcal{F}'$  متفاوت است، مسلماً برای مقادیر تابع  $\mathcal{F}$  نیز چنین است.

بنابراین بواز به دست آوردن کمیتهای واقعاً فیزیکی وابسته به دستگاه باید توابع  $\mathcal{G}_r(r, p; t)$  و  $\mathcal{G}'_r(r', p'; t)$  را در نظر بگیریم که شکل آنها به پیمانه انتخاب شده بستگی داشته باشد (به مین دلیل است که این توابع را بایک شاخص  $\mathcal{F}$  مشخص می‌کنیم). ماقبل "نمونهای از یک چنین تابعی را دیده‌ایم: تکانه مکانیکی  $\pi$  از طریق پتانسیل برداری  $A$  تابعی از  $r$  و  $p$  است [ رک (۹) ]. در این مورد تابعی داریم که در دو پیمانه  $\mathcal{F}$  و  $\mathcal{F}'$  متفاوت است، یعنی، به صورت  $\mathcal{G}_r(r, p; t)$  و  $\mathcal{G}'_r(r', p'; t)$  است. بنابراین تعریف داده شده در (۱) می‌رساند که تابع  $\mathcal{G}_r(r, p; t)$  بشرطی یک کمیت واقعاً فیزیکی را توصیف می‌کند. که داشته باشیم:

$$\mathcal{G}_r[r(t), p(t); t] = \mathcal{G}'_r[r'(t), p'(t); t] \quad (15)$$

که در آن  $r(t)$  و  $p(t)$  مقادیر مکان و تکانه در پیمانه  $\mathcal{F}$  و  $r'(t)$  و  $p'(t)$  مقادیر آنها در پیمانه  $\mathcal{F}'$  هستند. اگر رابطه (۱۵) را در (۱۵) جایگزین کنیم، به دست می‌آوریم:

$$\mathcal{G}_r[r(t), p(t); t] = \mathcal{G}_r[r(t), p(t) + q\nabla\chi(r(t); t); t] \quad (16)$$

این رابطه باید در هر لحظه  $t$  و برای تمام حرکتهای ممکن دستگاه برقرار باشد. چون، وقتی  $\pi$  ثابت باشد، مقادیر مکان و تکانه می‌توانند مستقل از یکدیگر انتخاب شوند، هردو طرف (۱۶) باید در واقع یک تابع از  $r$  و  $p$  باشند، که ما آنرا بصورت زیر می‌نویسیم:

$$\mathcal{G}_r[r, p; t] = \mathcal{G}_r[r, p + q\nabla\chi(r; t); t] \quad (17)$$

این رابطه مشخصه توابع  $\mathcal{G}_r[r, p; t]$  وابسته به کمیتهای واقعاً فیزیکی است. بنابراین، اگر تابع  $\mathcal{G}_r[r, p; t]$  را برای پیمانه  $\mathcal{F}$  در نظر بگیریم، و اگر  $p$  را با  $p + q\nabla\chi(r; t)$  جایگزین کنیم [ که  $\chi(r; t)$ ، بنابر (۲)، تغییر پیمانه از  $\mathcal{F}$  به  $\mathcal{F}'$  را تعریف می‌کند ] ، یک تابع جدید از  $r$  و  $p$  بدست می‌آوریم که باید با  $\mathcal{G}'_r[r, p; t]$

یکسان باشد. اگر این چنین نباشد، تابع مورد نظر متناظر با یک کمیت غیر فیزیکی است.  
 (۲) مثالها

حال چند مثال از توابع  $[r; p]$  که کمیتهای واقعاً فیزیکی را توصیف می‌کنند ذکر کنیم. قبلًا با دو نمونه از اینها مواجه شدیم: آنهایی که با مکان متناظرند و آنهایی که با تکانهٔ مکانیکی متناظر می‌باشند، اولی برابر است با  $r$  و دومی با:

$$\pi_{\text{غ}}(r, p; t) = p - qA(r; t) \quad (18)$$

چون روابط (۱۱) می‌بین این واقعیتند که  $r$  و  $\pi$  کمیتهای واقعاً فیزیکی‌اند از قبل می‌دانیم که تابع متناظر در رابطه (۱۷) صدق می‌کنند.

اما برای اینکه با کاربرد این رابطه آشنا شویم این مطلب را مستقیماً اثبات می‌کنیم. تا آنجا که به  $r$  مربوط است، با تابعی مواجهیم که تابع  $p$  نیست و شکل آن به پیمانه بستگی ندارد، این امر بلافاصله بدرابطه (۱۷) منجر می‌شود. در بارهٔ  $\pi$ ، رابطه (۱۸) می‌دهد:

$$\pi_{\text{غ}}(r, p; t) = p - qA'(r; t) \quad (19)$$

در این تابع بجای  $p$  مقدار  $p + q\nabla\chi(r; t)$  را قرار می‌دهیم، به دست می‌آوریم:

$$p + q\nabla\chi(r; t) - qA'(r; t) = p - qA(r; t) \quad (20)$$

که چیزی جز  $(r; p; t)$  نیست، بنابراین رابطه (۱۷) برقرار است.  
 از دیگر کمیتهای واقعاً فیزیکی عبارتند از انرژی جنبشی:

$$\gamma_{\text{غ}}(r, p; t) = \frac{1}{2m} [p - qA(r; t)]^2 \quad (21)$$

و گشتاور، نسبت به میداء، تکانهٔ مکانیکی:

$$\lambda_{\text{غ}}(r, p; t) = r \times [p - qA(r; t)] \quad (22)$$

بهطور کلی ملاحظه می‌کنیم که با ساختن تابعی از  $r$  و  $p$  به شکل:

$$\mathcal{G}_{\text{غ}}(r, p; t) = F[r, p - qA(r; t)] \quad (23)$$

که در آن  $F$  تابعی است که شکل آن مستقل از پیمانه انتخاب شده‌اند است) یک کمیت

\* به سادگی می‌توان ثابت کرد که، عموماً، هر تابع  $(r, p)$  که فقط به  $r$  (واحتمالاً بزمان) بستگی دارد و شکل آن در هر پیمانهٔ  $\psi$  یکسان است، یک کمیت واقعاً فیزیکی را توصیف می‌کند.

"واقعاً" فیزیکی \* بددست آورده‌ایم. این نتیجه از نظر فیزیکی منطقی است زیرا (۲۳) بیان کنندهٔ این واقعیت است که در واقع مقادیری که کمیت مورد نظر می‌گیرد از مقادیر  $r$  و  $\pi$  که می‌دانیم مستقل از پیمانه‌اند، بددست آمدۀ‌اند.

حال چند مثال از توابعی که توصیف کنندهٔ کمیتهای غیر فیزیکی‌اند بیاوریم. علاوه بر تکانهٔ  $p$ ، می‌توان تابع:

$$\mathcal{C}(p) = \frac{p^2}{2m} \quad (24)$$

را ذکر کرد، این تابع نباید با انرژی جنبشی نوشته شده در (۲۱) و به طور کلی، با هر تابعی از فقط  $p$  (واحتمالاً از زمان) اشتباه شود. همین‌طور، تکانهٔ زاویه‌ای:

$$\mathcal{L}(r, p) = r \times p \quad (25)$$

نمی‌تواند به عنوان یک کمیت "واقعاً" فیزیکی در نظر گرفته شود. بالاخره، هامیلتونی کلاسیک را ذکر کنیم که بنابر (۲) مجموع انرژی جنبشی ( $E$ ;  $r, p$ )  $\mathcal{L}$ ، که یک کمیت "واقعاً" فیزیکی است، و انرژی پتانسیل  $U$  است. اما، کمیت اخیر [که دقیقاً] باید به صورت یک تابع ( $E; r, p$ ) وابسته به پیمانه نوشته شود [یک کمیت "واقعاً" فیزیکی نیست زیرا، در هر نقطه از فضا، مقدارش با تغییر پیمانه تغییر می‌کند].

### ۳- تغییرناپذیری پیمانه‌ای در مکانیک کوانتومی

در فصل سوم، اصول موضوعهٔ مکانیک کوانتومی را با شروع از صورت‌بندی هامیلتونی مکانیک کلاسیک وارد کردیم. بدین ترتیب به‌این سؤال رهمنمون می‌شویم که آیا مسائل تغییرناپذیری پیمانه‌ای، که در مکانیک کلاسیک به‌خاطر وجود معادلات نیوتون به‌سادگی بر طرف می‌شود، در چارچوب مکانیک کوانتومی پیچیده‌تر است. سپس سؤال زیر مطرح می‌شود: آیا اصول موضوعهٔ بیان شده در فصل سوم برای هر پیمانهٔ اختیاری  $\mathcal{L}$  معتبراند یا فقط برای یک پیمانهٔ بخصوص؟

در پاسخ به‌این سؤال، از نتایج بددست آمده در پاراگراف قبلی کمک می‌گیریم. با

\* می‌توان توابعی وابسته به کمیت‌های "واقعاً" فیزیکی‌ای ساخت که در آن پتانسیل‌ها به صورت پیچیده‌تری از (۲۳) در آن دخالت داشته باشد (به عنوان مثال حاصل ضرب نرده‌ای سرعت ذره و میدان الکتریکی در محل ذره).

ادامه همان نوع استدلال، خواهیم دید که تشابه نزدیکی بین نتایج یک تبدیل پیمانه‌ای در صورتی‌بندی هامیلتونی کلاسیکی و صورتی‌بندی مکانیک کوانتومی وجود دارد. بدین ترتیب تغییرناپذیری پیمانه‌ای در مکانیک کوانتومی را برقرار خواهیم کرد.

برای این منظور، ابتدا (بخش ۲) به بررسی نتایج بدست آمده وقتی که قواعد کوانتش را بهطور یکسان در دو پیمانه مختلف اعمال کنیم می‌پردازیم. سپس خواهیم دید (بخش ۳) که مانند مکانیک کلاسیک، که در آن مقادیر متغیرهای دینامیکی عموماً با تغییر پیمانه تغییر می‌کنند، یک دستگاه فیزیکی معین باقیستی توسط یک بردار حالت ریاضی  $\psi$  که به پیمانه بستگی دارد، مشخص شود. انتقال از یک بردار حالت متناظر با پیمانه  $\psi$  به بردار حالت متناظر با پیمانه  $\psi'$  توسط یک تبدیل یکانی انجام می‌شود. لیکن شکل معادله شروdingر همواره یکی باقی می‌ماند (همانطوری که معادلات هامیلتون در مکانیک کلاسیک همواره یکسان می‌مانند). بالاخره، رفتار مشاهده‌پذیرهای وابسته به دستگاه در یک پیمانه را بررسی خواهیم کرد (بخش ۴). سپس خواهیم دید که تغییر همزمان بردار حالت و مشاهده‌پذیرها طوری است که محتوای فیزیکی مکانیک کوانتومی به پیمانه انتخاب شده بستگی ندارد. این مطلب را، بعلاوه، با انشان دادن اینکه مقادیر چگالی و جریان احتمال تغییرناپذیر پیمانه‌ای هستند ثابت خواهیم کرد.

### ۲- قواعد کوانتش

فضای حالت‌های یک ذره (بدون اسپین) همواره  $\mathbb{C}$  است. ولی با توجه به نتایج بخش ۲ در بالا انتظار داریم که عملگر وابسته به یک کمیت معین ممکن است در دو پیمانه مختلف، متفاوت باشد. از این‌رو این عملگرها را با یک شاخص  $\sigma$  مشخص خواهیم کرد.

قواعد کوانتش به مکان  $x$  و تکانه  $p$  ذره، عملگرهای  $R$  و  $P$  را که در  $\mathbb{C}$  عمل می‌کند وابسته می‌کند بهطوری که:

$$[X, P_x] = [Y, P_y] = [Z, P_z] = i\hbar \quad (26)$$

(سایر روابط جابجایی بین مؤلفه‌های  $R$  و  $P$  صفراند). در نمایش  $\{ |r\rangle \}$ ، عملگر  $R$  مانند ضرب کردن در  $r$  عمل می‌کند و  $P$  مانند عملگر دیفرانسیلی  $\frac{\partial}{\partial r}$ . این قواعد در تمام پیمانه‌ها یکسان است. ازین‌رو می‌توانیم بنویسیم.

$$\begin{cases} R_{\sigma'} = R_{\sigma} \\ P_{\sigma'} = P_{\sigma} \end{cases} \quad (27-a) \quad (27-b)$$

درواقع، این معادلات ما را قادر می‌سازند تا شاخص  $\psi$  را برای مشاهده‌پذیرهای  $R$  و  $P$  حذف کنیم، و از این به بعد ما همین کار را خواهیم کرد.

کوانتش سایر کمیت‌های وابسته به ذره به صورت زیر به دست می‌آیند: در یک پیمانه<sup>\*</sup> معین، تابعی از  $\psi$  و  $p$  را که کمیت کلاسیکی را می‌دهد اختیار می‌کنیم و (اگر لازم باشد پس از مقارن سازی) بجای  $\psi$  عملگر  $R$  و بجای  $p$  عملگر  $P$  را قرار می‌دهیم. بدین ترتیب عملگری را به دست می‌آوریم که، در پیمانه<sup>\*</sup> انتخاب شده، این کمیت را توصیف می‌کند. به چندمثال توجه کنید:

- عملگر تکانه<sup>\*</sup> زاویه‌ای که از  $p \times R$  به دست می‌آید، در تمام پیمانه‌ها یکسان است.

$$L_{\psi} = L_{\psi'} \quad (28)$$

- بر عکس، عملگر وابسته به تکانه<sup>\*</sup> مکانیکی، به پیمانه<sup>\*</sup> انتخاب شده بستگی دارد.

این عملگر در پیمانه<sup>\*</sup>  $\psi$  به صورت زیر داده می‌شود:

$$\Pi_{\psi} = P - qA(R; t) \quad (29)$$

اگر پیمانه تغییر کند، به صورت:

$$\Pi_{\psi'} = P - qA'(R; t) \quad (30)$$

در می‌آید که عمل آن در  $\psi'$  با عمل  $\Pi_{\psi}$  متفاوت است:

$$\Pi_{\psi'} = \Pi_{\psi} - q\nabla\chi(R; t) \quad (31)$$

- همین طور، عملگر<sup>\*</sup>:

$$\Lambda_{\psi} = R \times \Pi_{\psi} = R \times [P - qA(R; t)] \quad (32)$$

که گشتاور تکانه<sup>\*</sup> مکانیکی را توصیف می‌کند، صریحاً شامل پتانسیل برداری انتخاب شده است.

- بالاخره، عملگر هامیلتونی که از فرمول (۲) به دست آمده است:

$$H_{\psi} = \frac{1}{2m} [P - qA(R; t)]^2 + qU(R; t) \quad (33)$$

\* با استفاده از روابط جابجایی  $R$  و  $\Pi_{\psi}$  می‌توان نشان داد که ضرورتی ندارد عبارت  $(22)$  را مقارن سازیم.

واضح است که این عملگر در پیمانه دیگر یک عملگر دیگری خواهد شد، زیرا:

$$H_{\mathcal{P}'} = \frac{1}{2m} [\mathbf{P} - q\mathbf{A}'(\mathbf{R}; t)]^2 + qU'(\mathbf{R}; t) \neq H_{\mathcal{P}} \quad (34)$$

b - تبدیل یکانی بردار حالت، تغییرناظیری صوری معادله شرودینگر

$\alpha$  ، عملگر یکانی ( $T_x(t)$ )

در مکانیک کلاسیک مقادیر متغیرهای دینامیکی اساسی مشخص‌کننده حالت ذره در دوپیمانه مختلف  $\psi$  و  $\psi'$  را با  $\{r(t), p(t)\}$  و  $\{r'(t), p'(t)\}$  نشان دادیم. از این رو در مکانیک کوانتومی بردارهای حالت نسبت به این دوپیمانه را با  $\langle \psi(t) | \psi'(t) \rangle$  و  $\langle \psi'(t) | \psi(t) \rangle$  نشان خواهیم داد و بدین ترتیب مشابه روابط (۱۴) توسط روابط بین مقادیر متوسط داده خواهد شد:

$$\langle \psi'(t) | \mathbf{R}_{\mathcal{P}'} | \psi'(t) \rangle = \langle \psi(t) | \mathbf{R}_{\mathcal{P}} | \psi(t) \rangle \quad (35-a)$$

$$\langle \psi'(t) | \mathbf{P}_{\mathcal{P}'} | \psi'(t) \rangle = \langle \psi(t) | \mathbf{P}_{\mathcal{P}} + q\nabla\chi(\mathbf{R}; t) | \psi(t) \rangle \quad (35-b)$$

با استفاده از (۲۷) مشاهده می‌کنیم که این تنها وقتی ممکن است که  $\langle \psi(t) | \psi'(t) \rangle$  و  $\langle \psi'(t) | \psi(t) \rangle$  باستفاده از (۲۷) مشاهده می‌کنیم که این تنها وقتی ممکن است که  $\langle \psi(t) | \psi'(t) \rangle$  و  $\langle \psi'(t) | \psi(t) \rangle$  باشند. بنابراین یک تبدیل یکانی ( $T_x(t)$ ) جستجو می‌کنیم که بهما امکان دهد تا از  $\langle \psi(t) | \psi'(t) \rangle$  به  $\langle \psi(t) | \psi(t) \rangle$  برویم:

$$|\psi(t)\rangle = T_x(t)|\psi(t)\rangle \quad (36-a)$$

$$T_x^\dagger(t) T_x(t) = T_x(t) T_x^\dagger(t) = \mathbb{I} \quad (36-b)$$

با در نظر گرفتن (۲۷)، ملاحظه می‌کنیم که معادلات (۳۵) برای هر  $\langle \psi(t) | \psi'(t) \rangle$  ای برقرارند به شرط آنکه داشته باشیم:

$$\begin{cases} T_x^\dagger(t) \mathbf{R} T_x(t) = \mathbf{R} \\ T_x^\dagger(t) \mathbf{P} T_x(t) = \mathbf{P} + q\nabla\chi(\mathbf{R}; t) \end{cases} \quad (37-a) \quad (37-b)$$

$$\begin{aligned} & \text{رابطه (۳۷-a) را از چپ در } T_x(t) \text{ ضرب کنیم، به دست می‌آوریم:} \\ & \mathbf{R} T_x(t) = T_x(t) \mathbf{R} \end{aligned} \quad (38)$$

عملگر یکانی مورد جستجو با سد مؤلفه  $\mathbf{R}$  جابجایی‌پذیر است، بنابراین می‌توان آن را

بهصورت زیر نوشته:

$$T_x(t) = e^{iF(\mathbf{R}, t)} \quad (41)$$

که در آن  $F(\mathbf{R}; t)$  یک عملگر هرمتی است. در این صورت رابطه (۴۱) از مکمل  $B_{\text{II}}$  بهما امکان می‌دهد تا بنویسیم:

$$[\mathbf{P}, T_x(t)] = \hbar \nabla \{ F(\mathbf{R}; t) \} T_x(t) \quad (42)$$

اگر این معادله را از جب در  $T_x(t)$  خوب کنیم و آن را در (۴۲ - ۴۷) قرار دهیم، بدآسانی رابطه زیر بهدست می‌آید:

$$\hbar \nabla \{ F(\mathbf{R}; t) \} = q \nabla \chi(\mathbf{R}; t) \quad (43)$$

که وقتی برقرار است که داشته باشیم:

$$F(\mathbf{R}; t) = F_0(t) + \frac{q}{\hbar} \chi(\mathbf{R}; t) \quad (44)$$

با حذف ضریب  $F_0(t)$  که برای بردار حالت  $\langle \psi | \psi \rangle$  متناظر است با یک عامل فاز کلی که هیچ اهمیت فیزیکی ندارد، عملگر (۴۲) بهدست می‌آید:

$$T_x(t) = e^{i \frac{q}{\hbar} \chi(\mathbf{R}; t)} \quad (45)$$

اگر، در (۴۵)،  $T_x(t)$  همین عملگر باشد، روابط (۴۲ - ۴۶) بخودی خود آورده می‌شود.

گوشزدگا:

روابط (۴۶ - ۴۸) و (۴۹)، در نمایش  $\langle \psi | \psi \rangle$  می‌رسانند که توابع موج  $\psi(r, t) = \langle r | \psi(t) \rangle$  و  $\psi'(r, t) = \langle r | \psi'(t) \rangle$  توسط رابطه زیر بهم مربوط می‌شوند.

$$\psi'(r, t) = e^{i \frac{q}{\hbar} \chi(r, t)} \psi(r, t) \quad (46)$$

برای تابع موج، تغییر پیمانه متناظر است با یک تغییر فاز که از نقطه‌ای بمنطقه دیگر تغییر می‌کند، و از این روز متناظر با یک عامل فاز کلی نیست. بنابراین، تغییر ناپذیری پیمانه‌ای پیش‌بینی‌های فیزیکی بهدست آمده از توابع موج  $\psi$  و  $\psi'$  از قبل روشن نیست.

اگر دستگاه مورد مطالعه از چندین ذره با مکانهای  $r_1, r_2, \dots$  و بارهای  $q_1, q_2, \dots$  تشکیل شده باشد (۴۳) باید توسط رابطه زیر جایگزین شود:

$$\begin{aligned} T_x(t) &= T_x^{(1)}(t) T_x^{(2)}(t) \dots \\ &= e^{\frac{i}{\hbar} [q_1 \chi(\mathbf{R}_1, t) + q_2 \chi(\mathbf{R}_2, t) + \dots]} \end{aligned} \quad (45)$$

β . تحول زمانی بردار حالت

حال نشان دهیم که اگر تحول کت  $\langle t | \psi | t \rangle$  در پیمانه گر، از معادله

شروع بینگر:

$$i\hbar \frac{d}{dt} |\psi(t)\rangle = H_J(t) |\psi(t)\rangle \quad (46)$$

تبغیت کند، بردار حالت  $\langle t | \psi | t \rangle$  که توسط (۳۶) داده می‌شود در معادلهای به همان شکل در پیمانه گر صدق می‌کند:

$$i\hbar \frac{d}{dt} |\psi'(t)\rangle = H_J(t) |\psi'(t)\rangle \quad (47)$$

که در آن  $\langle t | H_J | t \rangle$  توسط (۳۴) داده می‌شود.  
برای این منظور، طرف چپ (۴۷) را محاسبه کنیم:

$$i\hbar \frac{d}{dt} |\psi(t)\rangle = i\hbar \frac{d}{dt} \{ T_x(t) |\psi(t)\rangle \} \quad (48)$$

$$= i\hbar \left\{ \frac{d}{dt} T_x(t) \right\} |\psi(t)\rangle + i\hbar T_x(t) \frac{d}{dt} |\psi(t)\rangle$$

یعنی، بنابر (۴۳) و (۴۶) :

$$\begin{aligned} i\hbar \frac{d}{dt} |\psi(t)\rangle &= -q \left\{ \frac{\partial}{\partial t} \chi(\mathbf{R}; t) \right\} T_x(t) |\psi(t)\rangle + T_x(t) H_J(t) |\psi(t)\rangle \\ &= \left\{ -q \frac{\partial}{\partial t} \chi(\mathbf{R}; t) + \tilde{H}_J(t) \right\} |\psi(t)\rangle \end{aligned} \quad (49)$$

\* تابع  $\chi$  به  $\mathbf{R}$  بستگی دارد و مستقل از  $P$  است، در نتیجه  $\chi(\mathbf{R}, t)$  با  $\chi(\mathbf{R}; t)$  جایگایی پذیر است. بهمین دلیل است که می‌توان طوری از  $T_x(t)$  مشتق گرفت که گوشی  $\chi(\mathbf{R}, t)$  یک تابع معمولی از زمان است و نه یک عملگر (رک مکمل  $B_{II}$ ، گوشزد  $c - 5$ ) .

که در آن  $\tilde{H}_f(t)$  نماینده تبدیل یافته  $H_f(t)$  توسط عملگر یکانی  $T_\chi(t)$  است:

$$\tilde{H}_f(t) = T_\chi(t) H_f(t) T_\chi^\dagger(t) \quad (50)$$

بنابراین معادله (۴۷) در صورتی برقرار است که داشته باشیم:

$$H_{f'}(t) = \tilde{H}_f(t) - q \frac{\partial}{\partial t} \chi(\mathbf{R}; t) \quad (51)$$

توسط رابطه  $\tilde{H}_f(t)$ :

$$\tilde{H}_f(t) = \frac{1}{2m} [\tilde{\mathbf{P}} - q\mathbf{A}(\tilde{\mathbf{R}}; t)]^2 + qU(\tilde{\mathbf{R}}; t) \quad (52)$$

داده می‌شود که در آن  $\tilde{\mathbf{R}}$  و  $\tilde{\mathbf{p}}$  معرف تبدیل یافته‌های  $\mathbf{R}$  و  $\mathbf{p}$  توسط عملگر یکانی  $T_\chi(t)$  هستند. بنابر (۳۷) :

$$\begin{cases} \tilde{\mathbf{R}} = T_\chi(t) \mathbf{R} T_\chi^\dagger(t) = \mathbf{R} \\ \tilde{\mathbf{P}} = T_\chi(t) \mathbf{P} T_\chi^\dagger(t) = \mathbf{P} - q\nabla\chi(\mathbf{R}; t) \end{cases} \quad (53-a)$$

$$(53-b)$$

وقتی این روابط را در (۵۲) قرار دهیم، خواهیم یافت:

$$\tilde{H}_f(t) = \frac{1}{2m} [\mathbf{P} - q\mathbf{A}(\mathbf{R}; t) - q\nabla\chi(\mathbf{R}; t)]^2 + qU(\mathbf{R}; t) \quad (54)$$

سپس با استفاده از روابط (۲) برای جایگزین کردن پتانسیلها نسبت به پیمانه  $\chi$  توسط پتانسیلها نسبت به پیمانه  $\chi'$ ، و با توجه به (۳۶) رابطه (۵۱) را بدست می‌آوریم. بنابراین معادله شرودینگر می‌تواند در همه پیمانه‌ها به یک شکل نوشته شود.

۳- تغییر ثابت‌پذیری پیش‌بینی‌های فیزیکی در یک تبدیل پیمانه‌ای

۴- رفتار مشاهده‌پذیرها.

هر مشاهده‌پذیر  $K$ ، تحت تأثیر تبدیل یکانی  $T_\chi(t)$ ، تبدیل به:

$$\tilde{K} = T_\chi(t) K T_\chi^\dagger(t) \quad (55)$$

می‌شود. قبلاً در (۵۳) دیدیم که هرچند  $\tilde{\mathbf{R}}$  برابر با  $\mathbf{R}$  است،  $\tilde{\mathbf{p}}$  برابر با  $\mathbf{p}$  نیست. همین‌طور،  $\tilde{\Pi}_f$  با  $\Pi_f$  متفاوت است زیرا:

$$\begin{aligned} \tilde{\Pi}_f &= \tilde{\mathbf{P}} - q\mathbf{A}(\tilde{\mathbf{R}}; t) \\ &= \mathbf{P} - q\nabla\chi(\mathbf{R}; t) - q\mathbf{A}(\mathbf{R}; t) \\ &= \Pi_f - q\nabla\chi(\mathbf{R}; t) \end{aligned} \quad (56)$$

با درنظر گرفتن  $a - ۲۷$  و  $a - ۳۱$  ملاحظه می‌کنیم که روابط  $a - ۵۳$  و  $a - ۵۶$  ایجاب می‌کند که مشاهده‌بازیرهای  $R$  و  $P$ ، وابسته به کیتیهای "اقعه" فیزیکی مکان و تکانه مکانیکی، طوری باشد که برای آنها داشته باشیم:

$$\begin{cases} \tilde{R}_\mu = R_\mu, \\ \tilde{P}_\mu = P_\mu. \end{cases} \quad (۵۷)$$

از طرف دیگر، تکانه  $P$  (که یک کمیت "اقعه" فیزیکی نیست) در رابطه مشابهی صدق می‌کند، زیرا از  $b - ۲۷$  و  $b - ۵۳$  داریم:

$$\tilde{P}_\mu \neq P_\mu. \quad (۵۸)$$

خواهیم دید که این نتیجه عام است: در مکانیک کوانتومی، برای هر کمیت "اقعه" فیزیکی یک علکر  $G$  وجود دارد که در رابطه زیر صدق می‌کند:

$$\tilde{G}_\mu(t) = G_\mu(t) \quad (۵۹)$$

این رابطه مشابه رابطه کلاسیکی  $(۱۶)$  است. این رابطه نشان می‌دهد که بجز برای مورد خاص  $R$  یا تابعی که فقط به  $R$  بستگی دارد، عملگر متناظر با یک کمیت "اقعه" فیزیکی به پیمانه "غیر بستگی دارد. قبلاً" در  $(۲۹)$  و  $(۳۲)$  مثالهایی از این موردن را دیده‌ایم. برای اثبات  $(۵۹)$  کافی است قواعد کوانتش بیان شده در فصل سوم را به تابع  $\psi$  اعمال کنیم و رابطه  $(۱۷)$  را، که مشخصه کیتیهای کلاسیکی "اقعه" فیزیکی است، مورد استفاده قرار دهیم. بنابراین بجای  $\psi$  و  $p$ ، عملگرهای  $R$  و  $p$  را قرار می‌دهیم و (درصورت لزوم، پس از متقارن‌سازی نسبت به این عملگرهای  $G$ ) علکر  $G$  را به دست می‌آوریم. اگر شکل تابع  $\psi$  به پیمانه انتخاب شده بستگی داشته باشد، عملگر  $G$  نیز به  $\psi$  بستگی خواهد داشت. وقتی کمیت واپسیت به  $\psi$  یک کمیت "اقعه" فیزیکی باشد، بنابر  $(۱۷)$  داریم:

$$\mathcal{G}_\mu[R, P; t] = \mathcal{G}_{\mu'}[R, P + q\nabla\chi(R; t); t] \quad (۶۰)$$

با اعمال تبدیل یکانی  $T_{\mu'}$  به این رابطه، به دست می‌آوریم:

$$\begin{aligned} \mathcal{G}_\mu[R, P; t] &= \mathcal{G}_{\mu'}[R, P + q\nabla\chi(R; t); t] \\ &= \mathcal{G}_{\mu'}[\tilde{R}, \tilde{P} + q\nabla\chi(\tilde{R}; t); t] \end{aligned} \quad (۶۱)$$

یعنی، با درنظر گرفتن (۵۳) :

$$\tilde{g}_{\mu}[\mathbf{R}, \mathbf{P}; t] = g_{\mu}[\mathbf{R}, \mathbf{P}; t] \quad (62)$$

پس از مقارن سازی هردو طرف این رابطه، اگر ضروری باشد، همان (۵۹) بدست می‌آید. حال بذکر چند مثال از مشاهده‌پذیرهای واقعه "فیزیکی می‌بردازیم. می‌توان، علاوه بر  $R$  و  $\Pi$ ، از گشتاور  $\Lambda$  ی تکانه مکانیکی [رد (۲۲)] یا انرژی جنبشی:

$$G_{\mu} = \frac{\Pi_j^2}{2m} = \frac{1}{2m} [\mathbf{P} - q\mathbf{A}(\mathbf{R}; t)]^2 \quad (63)$$

نام برد. از طرف دیگر  $P$  و  $L$  کمیتهای واقعه "فیزیکی نیستند، هامیلتونی نیز یک کمیت واقعه "فیزیکی نیست، زیرا رابطه (۵۱) عموماً می‌رساند که:

$$\tilde{H}_{\mu}(t) \neq H_{\mu}(t) \quad (64)$$

گوشزد:

در مکانیک کلاسیک، می‌دانیم که انرژی کل ذره‌ای که در یک میدان الکترومغناطیسی مستقل از زمان حرکت می‌کند یک ثابت حرکت است. مسلماً "می‌توان در این مورد خود را به پتانسیلهای محدود کرد که آنها نیز مستقل از زمان باشند. از (۵۱) می‌سینیم که در این صورت داریم:

$$\tilde{H}_{\mu} = H_{\mu} \quad (65)$$

در این مورد بخصوص،  $H_{\mu}$  محققانه "یک مشاهده‌پذیر واقعه" فیزیکی است که از این رو می‌توان آنرا به عنوان انرژی کل ذره تعبیر کرد.

β - احتمالهای نتایج ممکن مختلف اندازه‌گیری یک کمیت واقعه "فیزیکی.

فرض کنیم می‌خواهیم در زمان  $t$ ، یک کمیت واقعه "فیزیکی را اندازه‌گیری کنیم در پیمانه  $\psi$ ، حالت دستگاه در این لحظه توسط کت  $* \langle \psi |$ ، و کمیت فیزیکی توسط

\* بستگی به زمان را ننوشته‌ایم زیرا تمام کمیتها باید در زمان  $t$  که اندازه‌گیری نجات می‌شود، در نظر گرفته شوند.

مشاهده‌پذیر  $G$  توصیف می‌شوند. فرض کنید  $\langle \varphi_n |$  یک ویژه‌بردار  $G$  با ویژه مقدار  $g_n$  (که برای سهولت ناتبهگن فرض می‌شود) باشد:

$$G\varphi_n = g_n \varphi_n \quad (66)$$

احتمال بددست آوردن  $g_n$  در این اندازه‌گیری، بربایه اصول موضوعه مکانیک کوانتومی، در پیمانه هر محاسبه شده است برابر است با:

$$\mathcal{P}_n = |\langle \varphi_n | \psi \rangle|^2 \quad (67)$$

حال، اگر پیمانه را عوض کنیم چه برس این پیش‌بینی می‌آید؟ بروطیق (۵۹)، کت:

$$|\varphi'_n\rangle = T_\chi |\varphi_n\rangle \quad (68)$$

می‌تواند یک ویژه‌بردار عملگر  $G$  وابسته به کمیت مورد نظر، در پیمانه هر، با همان ویژه مقدار  $g_n$  معادله (۶۶) باشد. یعنی:

$$\begin{aligned} G\varphi'_n &= T_\chi G\varphi_n T_\chi^\dagger \varphi_n \\ &= T_\chi g_n \varphi_n = g_n \varphi'_n \end{aligned} \quad (69)$$

بنابراین  $g_n$  در پیمانه هر هم به عنوان یک نتیجه ممکن اندازه‌گیری ظاهر می‌شود. بعلاوه، محاسبه احتمال مربوطه همان مقدار محاسبه شده در پیمانه هر را بددست می‌دهد. زیرا بروطیق (۳۶) و (۶۸) داریم:

$$\langle \varphi'_n | \psi \rangle = \langle \varphi_n | T_\chi^\dagger T_\chi | \psi \rangle = \langle \varphi_n | \psi \rangle \quad (70)$$

بدین ترتیب ثابت می‌شود که اصول موضوعه مکانیک کوانتومی به پیش‌بینی‌های فیزیکی مستقل از پیمانه منجر می‌شوند: نتایج ممکن هر اندازه‌گیری و احتمالات وابسته به آن تحت تبدیل پیمانه‌ای تغییرناپذیرند.

## ۷ - چکالی و جریان احتمال

با استفاده از فرمولهای (۹ - D) و (۲۰ - D) از فصل سوم، چکالی احتمال  $\rho(r, t)$  و جریان احتمال  $(r, t)$  را در دو پیمانه متفاوت هر و هر محاسبه کنیم. برای پیمانه اول داریم:

$$\rho(r, t) = |\psi(r, t)|^2 \quad (71)$$

$$\mathbf{J}(\mathbf{r}, t) = \frac{1}{m} \operatorname{Re} \left\{ \psi^*(\mathbf{r}, t) \left[ \frac{\hbar}{i} \nabla - q\mathbf{A}(\mathbf{r}; t) \right] \psi(\mathbf{r}, t) \right\} \quad (72)$$

از رابطه (۴۴) فوراً نتیجه می‌شود:

$$\rho'(\mathbf{r}, t) = |\psi(\mathbf{r}, t)|^2 = \rho(\mathbf{r}, t) \quad (73)$$

و همچنین:

$$\begin{aligned} \mathbf{J}'(\mathbf{r}, t) &= \frac{1}{m} \operatorname{Re} \left\{ e^{-i\frac{q}{\hbar}X(\mathbf{r}; t)} \psi^*(\mathbf{r}, t) \left[ \frac{\hbar}{i} \nabla - q\mathbf{A}'(\mathbf{r}; t) \right] e^{i\frac{q}{\hbar}X(\mathbf{r}; t)} \psi(\mathbf{r}, t) \right\} \\ &= \frac{1}{m} \operatorname{Re} \left\{ \psi^*(\mathbf{r}, t) \left[ \frac{\hbar}{i} \nabla - q\mathbf{A}'(\mathbf{r}; t) + q\nabla\chi(\mathbf{r}; t) \right] \psi(\mathbf{r}, t) \right\} \end{aligned} \quad (74)$$

یعنی، با درنظر گرفتن (۲) :

$$\mathbf{J}'(\mathbf{r}, t) = \mathbf{J}(\mathbf{r}, t) \quad (75)$$

بنابراین، چگالی و جریان احتمال در تغییرپیمانه تغییرناپذیراند، این نتیجه می‌توانست از نتایج بخش  $\beta$ ی بالا پیش‌بینی شود، زیرا [ رک رابطه (۱۹) - D ) از فصل سوم ] ( $\rho(\mathbf{r}, t)$  و  $\mathbf{J}(\mathbf{r}, t)$ ) را می‌توان به عنوان مقادیر متوسط عملگر  $|\mathbf{r}\rangle\langle\mathbf{r}|$  و :

$$\mathbf{K}_J(\mathbf{r}) = \frac{1}{2m} \{ |\mathbf{r}\rangle\langle\mathbf{r}| \Pi_J + \Pi_J |\mathbf{r}\rangle\langle\mathbf{r}| \} \quad (76)$$

در نظر گرفت. به آسانی می‌توان نشان داد که این دو عملگر در رابطه (۵۹) صدق می‌کنند از این‌رو این دو عملگر کمیتهای واقعاً فیزیکی‌ای را توصیف می‌کنند که مقادیر متوسط آنها تغییرناپذیر پیمانه‌ای است.

**مراجع و پیشنهادات برای مطالعه** بیشتر:

Messiah (1.17), chap. XXI, §§20 to 22; Sakurai (2.7), §8-1.

Gauge invariance, extended to other domains, has recently roused considerable interest in particle physics; see, for example, the article by Abers and Lee (16.35).

## انتشار دهنده معادله شرودینگر

۱ - مقدمه، ایده فیزیکی

۲ - وجود و خواص یک انتشار دهنده (۱)  $K(2,1)$

۳ - وجود یک انتشار دهنده

۴ - تعبیر فیزیکی (۱)  $K(2,1)$

۵ - عبارت (۱) بر حسب ویژه حالت های  $H$

۶ - معادله ای که (۱) در آن صدق می کند

۷ - فرمول بندی لاگرانژی مکانیک کوانتومی

۸ - مفهوم جاده فضا - زمان

۹ - تجزیه (۱)  $K(2,1)$  به یک مجموع از دامنه های جزئی

۱۰ - اصول موضوعه فایسم

۱۱ - حد کلاسیکی: ارتباط با اصل هامیلتون

۱ - مقدمه

ذره ای را که توسط تابع موج (۱)  $\psi$  توصیف می شود در نظر بگیریم، از معادله

شرودینگر می توان (۱)  $\frac{\partial^2}{\partial t^2} \psi$  ، یعنی ، میزان تغییر (۱)  $\psi$  نسبت به زمان ، را محاسبه

کرد، بنابراین، معادله مزبور تحول زمانی تابع موج (۱)  $\psi$  را، با استفاده از دیدگاه

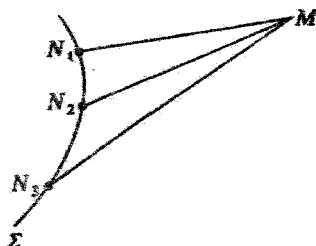
دیفرانسیلی بدست می دهد. می توان این سؤال را مطرح کرد که آیا ممکن است یک دیدگاه

کلی تر (ولی معادل) انتخاب کرد که به کمک آن بتوان مستقیماً مقدار (۱)  $\psi_0$  ری تابع موج

در یک نقطه معین  $t_0$  و زمان معین  $t_0$  را با شناختن کل تابع موج (۱)  $\psi$  در زمان قبلی  $t_0$  (که لزوماً بی شایست نزدیک به آن نیست) تعیین کرد.

برای پاسخ به این سؤال، می توانیم از قلمرو دیگری از فیزیک، الکترومغناطیس، که در آن هردو دیدگاه امکان پذیراست الهام بگیریم. مادلات ماکسل (دیدگاه دیفرانسیلی) میزان تغییرات مولفه های مختلف میدان های الکتریکی و مغناطیسی را بدست می دهد، اصل هویگنس (دیدگاه کلی) محاسبه مستقیم میدان در هر نقطه  $M$  را، وقتی یک میدان

تکفام روی یک سطح  $\Sigma$  معلوم باشد، ممکن می‌سازد: میدانهای تابش شده توسط چشمهای ثانوی فرضی  $N_1, N_2, \dots, N_3$  واقع بر سطح  $\Sigma$  را که دامنه و فاز آنها توسط مقادیر میدان در  $N_1, N_2, \dots, N_3$  تعیین می‌شود در محل نقطه  $M$  باهم جمع می‌کنیم (شکل ۱).



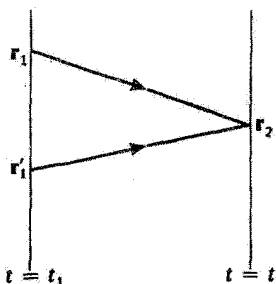
شکل ۱

در آزمایش تفرق، می‌توان با استفاده از اصل هویگنس میدان الکتریکی در نقطه  $M$  را به عنوان مجموع میدانهای تابش شده توسط چشمهای ثانویه  $N_1, N_2, N_3, \dots, N_3$  واقع بر سطح  $\Sigma$  محاسبه کرد.

قصد داریم در این مکمل نشان دهیم که مشابه اصل هویگنس در مکانیک کوانتومی وجود دارد. بطور دقیق‌تر، می‌توان بفاز  $\psi_1(t_1), \psi_2(t_2)$  نوشت:

$$\psi(r_2, t_2) = \int d^3r_1 K(r_2, t_2; r_1, t_1) \psi(r_1, t_1) \quad (1)$$

فرمولی که تعبیر فیزیکی آن بصورت زیر است: دامنه احتمال یافتن ذره در لحظه  $t_2$  در مکان  $r_2$  از جمع کردن تمام دامنهای "تابش شده" توسط "چشمهای ثانوی" ( $\psi_1(t_1), \psi_2(t_1), \dots, \psi_n(t_1)$ ) که روی سطح فضا - زمانی  $t_1 = t$  قواردارند و هر کدام از آنها بهمیزانی متناسب با  $\psi_1(t_1), \psi_2(t_1), \dots, \psi_n(t_1)$  مشارکت می‌کنند، بدست می‌آید (شکل ۲). ما در اینجا فرمول اخیرا ثابت  $K$  را که انتشار دهنده معادله شرودینگر نامیده می‌شود محاسبه و خواص آنرا مطالعه خواهیم کرد. سپس بطور بسیار کیفی نشان خواهیم داد چگونه می‌توان تمام مکانیک کوانتومی را بر حسب  $K$  او انداد (فرمول بندی لاگرانژی مکانیک کوانتومی، دیدگاه فاینمن).



شکل ۲

دامنه احتمال  $(r_2, t_2) \psi$  می‌تواند از جمع کردن سهمهای دامنه‌های مختلف  $\psi(r_1, t_1)$  وغیره متناظر بالحظه قبلی  $t_1$  بدست آید. به هر یک از پیکانهای شکل یک "انتشاردهنده"  $K(r_2, t_2; r_1, t_1)$ ،  $K(r_2, t_2; r'_1, t_1)$  وغیره وابسته است.

### ۳- وجود و خواص یک انتشاردهنده $K(2, 1)$

#### a- وجود یک انتشاردهنده

مسئله عبارت است از ارتباط دادن مستقیم حالت‌های دستگاه در دوزمان مختلف. این امر با به کار بردن عملگر تحول که در مکمل  $F_{III}$  وارد شد ممکن می‌شود، زیرا می‌توانیم بنویسیم:

$$|\psi(t_2)\rangle = U(t_2, t_1) |\psi(t_1)\rangle \quad (2)$$

از تابع  $|\psi(t_2)\rangle$  می‌توان به‌سانی تابع موج  $(r_2, t_2) \psi$  را بدست آورد:

$$\psi(r_2, t_2) = \langle r_2 | \psi(t_2) \rangle \quad (3)$$

با بودن (۲) در (۳) و گنجانیدن رابطه بستواری:

$$\int d^3r_1 |r_1\rangle \langle r_1| = \mathbb{I} \quad (4)$$

بین  $U(t_2, t_1)$  و  $|\psi(t_1)\rangle$  بددست می‌آوریم:

$$\begin{aligned} \psi(r_2, t_2) &= \int d^3r_1 \langle r_2 | U(t_2, t_1) | r_1 \rangle \langle r_1 | \psi(t_1) \rangle \\ &= \int d^3r_1 \langle r_2 | U(t_2, t_1) | r_1 \rangle \psi(r_1, t_1) \end{aligned} \quad (5)$$

بدین ترتیب، به شرط قراردادن:

$$\langle \mathbf{r}_2 | U(t_2, t_1) | \mathbf{r}_1 \rangle = K(\mathbf{r}_2, t_2; \mathbf{r}_1, t_1)$$

نتیجه به فرمول (۱) می‌رسیم. درواقع، چون می‌خواهیم فرمولهایی از نوع (۱) را فقط برای  $\langle \mathbf{r}_2 | U(t_2, t_1) | \mathbf{r}_1 \rangle$  بگار ببریم، می‌توان برای  $t_2 > t_1$  قرار داد  $K = 0$ . لذا تعريف دقیق  $K$  عبارت است از:

$$K(\mathbf{r}_2, t_2; \mathbf{r}_1, t_1) = \langle \mathbf{r}_2 | U(t_2, t_1) | \mathbf{r}_1 \rangle \theta(t_2 - t_1) \quad (۶)$$

که در آن  $\theta(t_2 - t_1)$  "تابع پلمای" است:

$$\begin{aligned} \theta(t_2 - t_1) &= 1 & t_2 > t_1 \\ \theta(t_2 - t_1) &= 0 & t_2 < t_1 \end{aligned} \quad (۷)$$

واردشدن  $\theta(t_2 - t_1)$  هم از نظر فیزیکی مفید است و هم از نظر ریاضی. از دیدگاه فیزیکی، راه ساده‌ای است برای مجبور کردن چشممهای ثانوی واقع بر سطح  $t = t_1$  (شکل ۲) تا فقط به سمت آینده "تابش" کند. به این دلیل  $K(\mathbf{r}_2, t_2; \mathbf{r}_1, t_1)$  که توسط (۶) تعريف شده است انتشار دهنده، پس افتاده نامیده می‌شود. از دیدگاه ریاضی، بعدها خواهیم دید که  $K(\mathbf{r}_2, t_2; \mathbf{r}_1, t_1)$ ، به خاطر عامل  $\theta(t_2 - t_1)$ ، در یک معادله با مشتقهای جزئی که طرف راست آن یک تابع دلتا است، یعنی در یک معادله تعريف یک تابع گرین، صدق می‌کند.

### گوشوهای:

- (i) توجه کنید که معادله (۵)، حتی اگر  $t_1 < t_2$  باشد نیز معتبر است. بعلاوه، همینطور می‌توان بطور ریاضی یک انتشار دهنده "پیش افتاده" وارد کرد که فقط برای  $t_1 < t_2$  مخالف صفر باشد و همچنین در معادله "تعريف یک تابع گرین" صدق کند. چون مفهوم فیزیکی یک چنین انتشار دهنده "پیش افتاده" در این مرحله روشن نیست آنرا در اینجا مورد مطالعه قرار نخواهیم داد.
- (ii) وقتی هیچ‌گونه ابهامی پیش نماید، بجای  $(t_1, \mathbf{r}_1, t_2, \mathbf{r}_2) K(\mathbf{r}_2, t_2; \mathbf{r}_1, t_1)$  خواهیم نوشت

ب - تعبیر فیزیکی  $K(2, 1)$ 

این تعبیر از تعریف (۶) نتیجه می‌شود:  $K(2, 1)$  معرف دامنه احتمالی است که ذره، اگر در زمان  $t_1$  در نقطه  $r_1$  باشد، در زمان بعدی  $t_2$  به نقطه  $r_2$  برسد. اگر حالت جایگزینه در نقطه  $r_1$  را به عنوان حالت اولیه در زمان  $t_1$  در نظر بگیریم، یعنی:

$$|\psi(t_1)\rangle = |r_1\rangle \quad (8)$$

بردار حالت در زمان  $t_2$  خواهد شد:

$$|\psi(t_2)\rangle = U(t_2, t_1)|\psi(t_1)\rangle = U(t_2, t_1)|r_1\rangle \quad (9)$$

در این صورت دامنه احتمال یافتن ذره در این لحظه در نقطه  $r_2$  برابر است با:

$$\langle r_2 | \psi(t_2) \rangle = \langle r_2 | U(t_2, t_1) | r_1 \rangle \quad (10)$$

c - عبارت  $K(2, 1)$  بر حسب ویژه حالت‌های  $H$ 

فرض کنیم هامیلتونی  $H$  بطور صریح بدهمان بستگی نداشته باشد، و ویژه حالتها و ویژه مقادارهای آن را به ترتیب  $|\varphi_n\rangle$  و  $E_n$  بنامیم:

$$H |\varphi_n\rangle = E_n |\varphi_n\rangle \quad (11)$$

برطبق فرمول (۱۸) از مکمل  $F_{III}$ ، داریم:

$$U(t_2, t_1) = e^{-iH(t_2 - t_1)/\hbar} \quad (12)$$

با توجه به رابطه بستاری:

$$\sum_n |\varphi_n\rangle \langle \varphi_n| = 1 \quad (13)$$

می‌توان (۲) را به صورت زیر نوشت:

$$U(t_2, t_1) = e^{-iH(t_2 - t_1)/\hbar} \sum_n |\varphi_n\rangle \langle \varphi_n| \quad (14)$$

یعنی، با درنظرگرفتن (۱۱)، داریم:

$$U(t_2, t_1) = \sum_n e^{-iE_n(t_2-t_1)/\hbar} |\varphi_n\rangle \langle \varphi_n| \quad (15)$$

لذا، برای محاسبه  $K(2, 1)$  کافی است عنصر ماتریسی دوطرف (۱۵) بین  $|\mathbf{r}_2\rangle$  و  $\langle \mathbf{r}_1|$  را بگیریم و آنرا در  $\theta(t_2 - t_1)$  ضرب کنیم. چون داریم:

$$\langle \mathbf{r}_2 | \varphi_n \rangle = \varphi_n(\mathbf{r}_2) \quad (16)$$

$$\langle \varphi_n | \mathbf{r}_1 \rangle = \varphi_n^*(\mathbf{r}_1) \quad (17)$$

نتیجه می‌شود:

$$K(\mathbf{r}_2, t_2; \mathbf{r}_1, t_1) = \theta(t_2 - t_1) \sum_n \varphi_n^*(\mathbf{r}_1) \varphi_n(\mathbf{r}_2) e^{-iE_n(t_2-t_1)/\hbar} \quad (18)$$

هـ - معادله‌ای که  $K(2, 1)$  در آن صدق می‌گند

تابع  $\varphi_n(\mathbf{r}_2) e^{-iE_n t_2/\hbar}$  یک جواب معادله شرودینگر است. از آن نتیجه‌گیری می‌کنیم که، در نهایش  $\{|\mathbf{r}\rangle\}$ ،

$$\left[ i\hbar \frac{\partial}{\partial t_2} - H\left(\mathbf{r}_2, \frac{\hbar}{i} \nabla_2\right) \right] \varphi_n(\mathbf{r}_2) e^{-iE_n t_2/\hbar} = 0 \quad (19)$$

(که در آن  $\nabla_2$  نماد فشرده‌ای برای مشخص کردن سه عملگر  $\frac{\partial}{\partial x_2}, \frac{\partial}{\partial y_2}, \frac{\partial}{\partial z_2}$  است). حال به دوطرف معادله (۱۸) عملگر:

$$i\hbar \frac{\partial}{\partial t_2} - H\left(\mathbf{r}_2, \frac{\hbar}{i} \nabla_2\right)$$

را که فقط روی متغیرهای  $t_2$  و  $\mathbf{r}_2$  عمل می‌کند، اعمال کنیم. می‌دانیم که [دک پیوست II]، رابطه (۴۴) :

$$\frac{\partial}{\partial t_2} \theta(t_2 - t_1) = \delta(t_2 - t_1) \quad (20)$$

در نتیجه، با استفاده از (۱۹)، به دست می‌آوریم:

$$\begin{aligned} & \left[ i\hbar \frac{\partial}{\partial t_2} - H\left(\mathbf{r}_2, \frac{\hbar}{i} \nabla_2\right) \right] K(\mathbf{r}_2, t_2; \mathbf{r}_1, t_1) = \\ & i\hbar \delta(t_2 - t_1) \sum_n \varphi_n^*(\mathbf{r}_1) \varphi_n(\mathbf{r}_2) e^{-iE_n(t_2-t_1)/\hbar} \end{aligned} \quad (21)$$

به علت حضور  $(t_2 - t_1) \delta$  می توانیم در جمع بندی طرف دوم (۲۱) که روی  $n$  انجام می شود به حای  $t_1 < t_2$  صفر قرار دهیم . در این صورت اکسپونانسیل برابر ۱ می شود . بنابراین آنچه می ماند عبارت است از  $\sum \varphi_n(r_2) \varphi_n^*(r_1)$  که، بنابر (۱۳)، (۱۶) و (۱۷)، برابر است با  $\delta(r_2 - r_1)$  کافی است عنصر ماتریسی (۱۲) بین  $|r_2\rangle$  و  $|r_1\rangle$  را حساب کنیم [۱] . بالاخره،  $K$  در معادله زیر مصدق می کند :

$$\left[ i\hbar \frac{\partial}{\partial t_2} - H\left(r_2, \frac{\hbar}{i} \nabla_2\right) \right] K(r_2, t_2; r_1, t_1) = i\hbar \delta(t_2 - t_1) \delta(r_2 - r_1) \quad (22)$$

جوابهای معادله (۲۲)، که طرف راست آن با "تابع دلتا" چهار بعدی متناسب است، "توابع گرین" نامیده می شوند . می توان نشان داد که برای تعیین کامل  $K(2, 1)$ ، کافی است به (۲۲) شرط مرزی زیر را تحمیل کنیم :

$$K(r_2, t_2; r_1, t_1) = 0 \quad t_2 < t_1 \quad (23)$$

معادلات (۲۲) و (۲۳) مفاهیم جالبی دارند، بخصوص دزرابطه با تئوری اغتشاش که در فصل یازدهم مورد مطالعه قرار خواهیم داد .

### ۳ - فرمولبندی لاغرانژی مکانیک کوانتومی

#### a - مفهوم جاده، فضا - زمان

دونقطه  $(r_1, t_1)$  و  $(r_2, t_2)$  را در فضا - زمان در نظر بگیرید (برگ شکل ۳، ۱ روی محور طولها برده شده و محور عرضها معرف مجموعه سه محور فضایی است) .  $N$  زمان واسطه محور طولها برده شده و محور عرضها معرف مجموعه سه محور فضایی است) .  $N$  زمان واسطه محور طولها برده شده و محور عرضها معرف مجموعه سه محور فضایی است) .  $N$  زمان واسطه  $t_{\alpha_i}$  که در فواصل مساوی از یکدیگر بین  $t_1$  و  $t_2$  قرار داشته باشد :

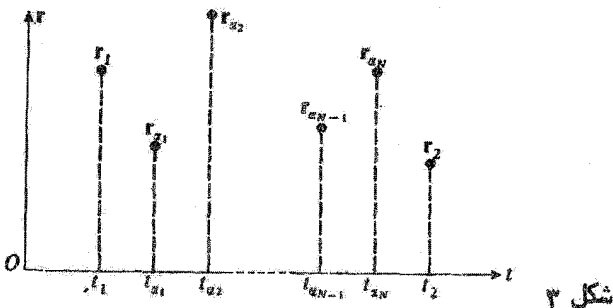
$$t_1 < t_{\alpha_1} < t_{\alpha_2} < \dots < t_{\alpha_{N-1}} < t_{\alpha_N} < t_2 \quad (24)$$

و برای هر کدام از آنها یک مکان  $r$  در فضا انتخاب کنید . بدین ترتیب می توان وقتی  $N$  به سمت بینهایت میل کند یک تابع  $(i)$  را (که فرض خواهیم کرد پیوسته است) ساخت بهطوری که :

$$r(t_1) = r_1 \quad (25-a)$$

$$r(t_2) = r_2 \quad (25-b)$$

گوئیم که  $\Psi(t)$  یک جاده فضا - زمان بین  $(t_1, t_1)$  و  $(t_2, t_2)$  تعریف می‌کند: یک‌چنین جاده‌ای ممکن است مسیر یک نقطه فیزیکی که در زمان  $t_1$  از نقطه  $r_1$  حرکت می‌کند و در زمان  $t_2$  به نقطه  $r_2$  می‌رسد باشد.



شکل ۳

نمودار وابسته به یک "جاده فضا - زمان":  $N$  زمان وسط  $t_x$  ( $x = 1, 2, \dots, N$ ) که به فواصل مساوی بین  $t_1$  و  $t_2$  قرار دارند انتخاب می‌کنیم و به هر کدام یک مقدار  $\Psi$  نسبت می‌دهیم.

#### ۶ - تجزیه $K(2, 1)$ به یک مجموع از دامنه‌های جزوی

ابتدا بهمودی برگردیم که در آن تعداد  $N$  زمان وسط محدود است. با استفاده از فرمول (۱۰) از مکمل  $F_{III}$  می‌توان نوشت:

$$U(t_2, t_1) = U(t_2, t_{x_N}) U(t_{x_N}, t_{x_{N-1}}) \dots U(t_{x_2}, t_{x_1}) U(t_{x_1}, t_1) \quad (26)$$

عناصر ماتریسی دوطرف (۲۶) را بین  $|r_2\rangle\langle r_2|$  و  $|r_1\rangle\langle r_1|$  می‌گیریم و برای هر زمان وسط  $t_x$  رابطه بستاری در نمایش  $\{ |r\rangle\langle r| \}$  را وارد کنیم. بدین ترتیب بر طبق (۶) و (۲۴) بدست می‌آید:

$$K(2, 1) = \int d^3r_{x_N} \int d^3r_{x_{N-1}} \dots \int d^3r_{x_2} \int d^3r_{x_1} K(2, \alpha_N) K(\alpha_N, \alpha_{N-1}) \dots \times K(\alpha_2, \alpha_1) K(\alpha_1, 1) \quad (27)$$

حال، حاصلضرب:

$$K(2, \alpha_N) K(\alpha_N, \alpha_{N-1}) \dots K(\alpha_2, \alpha_1) K(\alpha_1, 1) \quad (28)$$

را در نظر بگیریم. با تعمیم استدلال بخش ۶-۲ می‌توان این جمله را به عنوان دامنه احتمال

اینکه ذره‌ای که نقطه<sup>\*</sup>  $(r_1, t_1)$  را برای رسیدن به نقطه  $(r_2, t_2)$  ۲ ترک می‌کند متواالیاً "از تمام نقاط  $(r_1, t_1)$  تا  $(r_2, t_2)$  ی شکل ۳ بگذرد، تعبیر نمود، توجه کنید که در فرمول (۲۷) در هر زمان  $t_1$  روی تمام مکانهای ممکن  $r_1$  جمع‌بندی صورت گرفته است.

حال  $N$  را به سمت پی‌نهایت میل دهیم\*. در این صورت مجموعه نقاط  $r_1$  یک جادهٔ فضا – زمان بین ۱ و ۲ تعریف می‌کند، و حاصلضرب (۲۸) وابسته به آن به دامنهٔ احتمال برای اینکه ذره این جاده را طی کند تبدیل می‌شود. البته تعداد انتگرال‌ها در فرمول (۲۷) بی‌نهایت می‌شوند. با این وجود، در می‌یابیم جمع‌بندی روی مجموعه مکانهای ممکن در هر لحظه به جمع‌بندی روی مجموعه جاده‌های ممکن تبدیل می‌شود. بدین ترتیب  $K(2, 1)$  به صورت حاصل جمعی (در واقع انتگرالی) که متناظر با برهمن، مش همدوس دامنهای وابسته به تمام جاده‌های فضا – زمان ممکن که از ۱ شروع و به ۲ ختم می‌شوند، در می‌آید.

### ۲- اصول موضوع فاینمن

مفاهیم انتشاردهنده و جادهٔ فضا – زمان فرمولبندی جدیدی را برای اصل موضوع مربوط به تحول زمانی دستگاههای فیزیکی ممکن می‌سازد. ما در اینجا ایده‌های کلی یکچنین فرمولبندی را برای مورد یک ذرهٔ بدون اسپین ارائه می‌دهیم.

$K(2, 1)$  را مستقیماً به عنوان دامنهٔ احتمال برای اینکه ذره در زمان  $t_1$  از  $r_1$  شروع کند و در زمان  $t_2$  به  $r_2$  برسد، تعریف می‌کنیم. سپس به عنوان اصل موضوع می‌پذیریم که:

- (۱)  $K(2, 1)$  مجموع بی‌نهایت دامنه‌جزئی است که هریک از آنها مربوط به یک جادهٔ فضا – زمان که  $(r_1, t_1)$  را به  $(r_2, t_2)$  مرتبط می‌سازد، می‌باشد.
- (۲) دامنهٔ جزوی  $K_T(2, 1)$  وابسته بهیکی از این جاده‌ها ( $T$ ) بطریق زیر تعیین می‌شود: فرض کنیم  $S_T$  کش کلاسیک محاسبه شده در طول  $T$  باشد، یعنی:

$$S_T = \int_{(T)} \mathcal{L}(r, p, t) dt \quad (29)$$

که در آن  $(r, p, t)$  لاغرانژی ذره است (رک پیوست III). در این صورت  $K_T(2, 1)$  برابر

\* درین قسمت سعی نمی‌شود که از نظر ریاضی دقیق باشیم..

است با :

$$K_F(2, 1) = N e^{\frac{i}{\hbar} S_F} \quad (30)$$

که در آن  $N$  ثابت بهنجارش است (که می‌تواند صریحاً تعیین شود). می‌توان نشان داد که معادله شرودینگر به عنوان نتیجه‌ای از این دو اصل موضوع تجلی می‌کند. هم‌چنین، می‌توان رابطه جابجایی پذیری بندادی بین مؤلفه‌های مشاهده پذیرهای  $R$  و  $P$  را از آنها نتیجه گرفت. بنابراین، دو اصل موضوع بالا یک فرمولبندی برای مکانیک کوانتومی ممکن می‌سازند که با فرمولبندی فصل سوم متفاوت ولی معادل با آن است.

#### د - حدکلاسیکی و اصل‌های میلتون

فرمولبندی‌ای که مطرح ساختیم مخصوصاً برای بحث در ارتباط بین مکانیک کوانتومی و مکانیک کلاسیک جالب است.

وضعیتی را در نظر بگیریم که در آن کنشهای  $S_F$  خیلی بزرگتر از  $\hbar$  باشد. در این مورد، تغییر  $\Delta S_F$  کنش بین دو جاده مختلف، حتی اگر مقدار نسبی آن کوچک باشد ( $1 \ll \frac{\Delta S_F}{S_F}$ )، معمولاً خیلی بزرگتر از  $\hbar$  است. در نتیجه، فاز  $K_F(2, 1)$  به سرعت تغییر می‌کند، و مشارکت اغلب جاده‌های  $F$  در دامنه کلی  $(1, 2, K)$  به موسیله تداخل یکدیگر را حذف می‌کنند. لیکن، فرض کنیم جاده‌ای مانند  $F_0$  وجود داشته باشد که برای آن کنش مانا باشد (یعنی، وقتی از  $F_0$  به یک مسیر بی‌نهایت نزدیک به آن برویم، تامربه اول، تغییری حاصل نشود). در این صورت دامنه  $(1, 2, K_{F_0})$  با دامنه‌های جاده‌های مجاور  $F_0$  به طور سازنده تداخل می‌کند، زیرا، این بار، فازهای اشان عمل "برابر می‌مانند". در نتیجه وقتی کنشهای  $S_F$  خیلی بزرگتر از  $\hbar$  باشند، در یک وضعیت "شبکلاسیکی" قرارداریم: برای به دست آوردن  $(1, 2, K)$  می‌توان از تمام جاده‌ها بجز  $F_0$  جاده‌های بینهایت نزدیک به آن صرف نظر کرد، بنابراین می‌توان گفت که ذره، بین نقاط ۱ و ۲ جاده  $F_0$  را طی می‌کند. اما این همان مسیر کلاسیکی است، زیرا اصل‌های میلتون این مسیر را به عنوان جاده‌ای که در امتداد آن کنش می‌نیم است تعیین می‌کند. بنابراین، اصول موضوع فاینممن، در حد کلاسیکی اصل کمترین کنش های میلتون را در برابر می‌گیرد. بعلاوه، این اصول موضوع بهما امکان می‌دهند تا یک توضیح مجازی برای آن ارائه دهیم: موج وابسته به ذره است که، از بین مسیرهای

مختلف ممکن، مسیری را برای آن کنش کمترین مقدار را داشته باشد. فرمولبندی لاگرانژی مکانیک کوانتمومی مزیت‌های متعدد دیگری نیز دارد، که ما در اینجا وارد جزئیات آنها نخواهیم شد. به عنوان مثال، اشاره می‌کنیم که این فرمولبندی به آسانی بهموزد نسبیتی تعمیم داده می‌شود زیرا استدلال مستقیماً "در فضا-زمان صورت گرفته است. علاوه بر این، می‌تواند به هر دستگاه کلاسیکی ("هلزوما" مکانیکی) که توسط یک اصل تغییری هدایت می‌شود (مانند، یک میدان) اعمال شود. اما، از نظر ریاضی اشکالاتی دارد (جمع بندی روی تعداد بینهایت جاده، حد  $N \rightarrow \infty$  و غیره).

### مراجع و پیشنهادات برای مطالعه بیشتر

Feynman's original article (2.38); Feynman and Hibbs (2.25); Bjorken and Drell (2.6), chaps. 6 and 7.

## مکمل III

## حالتهای ناپایدار . طول عمر

- ۱ - مقدمه
- ۲ - تعریف طول عمر
- ۳ - توصیف پدیده‌شناسی ناپایداری یک حالت

## / - مقدمه

یک دستگاه پایسنا (دستگاهی که هامیلتونی  $H$  آن مستقل از زمان است) در نظر بگیریم . فرض کنیم در زمان  $t = 0$  ، حالت دستگاه یکی از ویژه‌حالتهای هامیلتونی ، یعنی  $| \varphi_n \rangle$  باشد :

$$| \psi(0) \rangle = | \varphi_n \rangle \quad (1)$$

با :

$$H | \varphi_n \rangle = E_n | \varphi_n \rangle \quad (2)$$

در این مورد ، دستگاه همواره در همان حالت (یک حالت مانا ، بخش b-2-D) از فصل سوم ) باقی خواهد ماند .

در فصل پنجم اتم هیدروژن را با حل معادله ویژه مقداری هامیلتونی آن ، که یک عملگر مستقل از زمان است ، مطالعه خواهیم کرد . ترازهای (یعنی مقادیر ممکن انرژی) که بدین ترتیب برای اتم هیدروژن بدست خواهیم آورد بالانزیپیا بی که بطور تجربی اندازه‌گیری شده است بطور بسیار خوبی توافق دارد . لیکن می‌دانیم که ، اغلب این توارهای در واقع ناپایدارند : اگر در لحظه  $t = 0$  ، اتم در یک حالت برانگیخته ، یعنی ، در یک ویژه حالت  $| \varphi_n \rangle$  متناظر با انرژی  $E_n$  که از انرژی حالت پایه ، که پائین حالت انرژی است ) بزرگتر است باشد ، عموماً باگسیل یک یا چند فوتون بفاین حالت پایه "برمی‌گردد" . لذا حالت  $| \varphi_n \rangle$  واقعاً ، در این مورد ، یک حالت پایدار نیست .

این مسئله از این واقعیت ناشی می‌شود که در محاسبات از نوع بکاررفته در فصل هفتم ، دستگاه (اتم هیدروژن) طوری در نظر گرفته می‌شود که گویی کاملاً "منزوی" است ، در حالی که در برهم‌کنش دائم با میدان الکترومغناطیسی است . با وجودی که تحول دستگاه

کلی "اتم + میدان الکترومغناطیسی" می‌تواند بهطور کامل توسط یک هامیلتونی توصیف شود، نمی‌توان بهطور دقیق یک هامیلتونی برای اتم هیدرزن بهمنهایی تعریف کرد [ رک گوشزد (v) از بخش b - ۵ مکمل  $E_{\text{III}}$  ] . اما، چون جفتیدگی بین اتم و میدان ضعیف است (می‌توان نشان داد که "نیروی آن توسط ثابت ساختار ریز  $\frac{1}{137} \approx \alpha$  ، که ما آن را در فصل هفتم وارد خواهیم کرد ، مشخص می‌شود ) ، این تقریب که در آن کاملاً "وجوه میدان الکترومغناطیسی را نادیده می‌گیریم بسیار خوب است ، البته بجز وقی که دقیقاً ناپایداری حالتها مورد نظر ما باشد .

گوشزدها :

(i) اگر یک دستگاه کاملاً منزوی و پایستار ، در لحظه اولیه در حالتی که از ترکیب خطی چند حالت مانا تشکیل شده است ، بآش بازمان تحول خواهد یافت و همواره در همان حالت باقی نخواهد ماند . ولی هامیلتونی آن یک ثابت حرکت است و در نتیجه (رک فصل سوم ، بخش c - ۲ - D ) احتمال یافتن این یا آن مقدار انرژی ، هم‌چنین متوسط انرژی ، مستقل از زمان است . بر عکس ، در مورد یک تراز ناپایدار ، عبور برگشت ناپذیر از یک حالت به حالت دیگر ، با اتفاق مقداری از انرژی دستگاه ، همراه است . این مقدار انرژی توسط فوتونهای گسیل شده از اتم خارج می‌شوند \*

(ii) ناپایداری ترازهای برانگیخته یک اتم از گسیل خود به خود فوتونها ناشی می‌شود . حالت پایه پایدار است زیرا تراز انرژی پائین‌تری وجود ندارد . مع ذالک ، یادآور شویم که اتمها می‌توانند انرژی نوری نیز جذب کنند و به تراز بالاتر انرژی بروند . می‌خواهیم در اینجا نشان دهیم که چگونه می‌توان ناپایداری یک تراز را به‌طور پدیده‌شناختی به حساب آورد . چون دستگاه را بازهم طوری در نظر خواهیم گرفت که گویی منزوی است ، این توصیف دقیق نخواهد بود . سعی خواهیم کرد این ناپایداری را به‌طریق ساده‌ای واود توصیف کوانتموی دستگاه نمائیم .

مکمل  $D_{\text{III}}$  ، با توجیه روش پدیده شناختی بکار رفته در اینجا ، بررسی دقیق‌تری ازین مسئله ارائه می‌دهد .

\* که ، علاوه بر آن ، ممکن است تکانه خطی و زاویه‌ای نیز خارج کنند .

## ۳ - تعریف طول عمر

تجربه نشان می‌دهد که ناپایداری یک ترازرا می‌توان اغلب توسط تنها یک فراسنج  $\tau$  که دارای دیفانسیون زمان است و طول عمر تراز نامیده می‌شود، مشخص کرد. بطور دقیق‌تر، اگر دستگاه در زمان  $t = 0$  در حالت ناپایدار  $\langle \varphi_n |$  بوده شده باشد، مشاهده می‌کنیم که احتمال  $P(t)$  برای اینکه در یک زمان بعدی  $t$  بازهم در این حالت برانگیخته باشد برابر است با:

$$P(t) = e^{-t/\tau} \quad (3)$$

این نتیجه را می‌توان به‌طریق زیر نیز بیان کرد:  $N$  دستگاه مستقل یکسان (عددبزرگی است) را که همگی در زمان  $t = 0$  در حالت  $\langle \varphi_n |$  بوده شده باشند در نظر بگیرید. در زمان  $t$ ، تعداد  $N(t) = N e^{-t/\tau}$  از آنها در این حالت باقی مانده‌اند. در فاصله زمانی بین  $t$  و  $t + dt$  از دستگاهها از حالت ناپایدار خارج شده‌اند:

$$dN(t) = N(t) - N(t + dt) = -\frac{dN(t)}{dt} dt = N(t) \frac{dt}{\tau} \quad (4)$$

بنابراین، برای هر یک از  $N(t)$  دستگاه که هنوز در زمان  $t$  در حالت  $\langle \varphi_n |$  قرار دارد، می‌توان یک احتمال:

$$d\omega(t) = \frac{dN(t)}{N(t)} = \frac{dt}{\tau} \quad (5)$$

برای اینکه در فاصله زمانی  $dt$  بعد از لحظه  $t$  این حالت را ترک کنند، تعریف کرد. ملاحظه می‌کنیم که  $d\omega$  مستقل از  $t$  است: می‌گوئیم که احتمال برواحد زمان دستگاه برای ترک حالت ناپایدار  $\frac{1}{\tau}$  است.

گوشزدها:

(i) حال مقدار متوسط زمانی را که دستگاه در حالت ناپایدار می‌ماند محاسبه می‌کنیم. این مقدار برابر است با:

$$\int_0^\infty t e^{-t/\tau} \frac{dt}{\tau} = \tau \quad (6)$$

بنابراین  $\varphi_n$  عبارت است از زمان متوسطی که دستگاه در حالت  $|\varphi_n\rangle$  بهسر می‌برد، به همین دلیل است که آنرا طول عمر این حالت می‌نامیم.

برای یک حالت پایدار،  $\mathcal{P}_n$  همواره برابر ۱ است و طول عمر  $\tau$  بی‌نهایت است. (ii) پیک خاصیت قابل توجه طول عمر  $\tau$  اینستکه، بهروش به‌کاررفته برای بردن دستگاه به حالت ناپایدار، یعنی، به "تاریخچه" قبلی اش بستگی ندارد: طول عمر مشخصه خود حالت ناپایدار است.

برطبق رابطه عدم قطعیت زمان - انرژی (بخش ۶ - D از فصل سوم)، (iii) به زمان  $\tau$  مشخصه تحول یک حالت ناپایدار یک عدم قطعیت  $\Delta E$  در انرژی وابسته است که توسط رابطه، زیر داده می‌شود:

$$\Delta E \approx \frac{\hbar}{\tau} \quad (7)$$

در حقیقت به این نتیجه می‌رسیم که انرژی یک حالت ناپایدار نمی‌تواند با هر دقت دلخواهی تعیین شود بلکه حداقلبا عدم قطعیتی از مرتبه  $\Delta E$  تعیین می‌شود.  $\Delta E$  را پهنه‌ای طبیعی تراز مورد نظر می‌نامیم. در مورد اتم هیدروژن، پهنه‌ای ترازهای مختلف در مقابل جدائی‌شان قابل اغماض است. این نکته تشریح می‌کند که چرا می‌توانیم آنها را، تا یک تقریب مرتبه اول، مانند اینکه پایدارند، در نظر بگیریم.

### ۳ - توصیف پدیده‌شناسنامی ناپایداری یک تراز

ابتدا یک دستگاه پایستان در نظر بگیریم که در زمان اولیه، در ویژه‌حالت  $|\varphi_n\rangle$  متعلق به مامیلتونی  $H$  بوده شده باشد. بنابر قاعده (D - ۵۴) از فصل سوم، بودار حالت در زمان  $t$  خواهد شد:

$$|\psi(t)\rangle = e^{-iE_n t/\hbar} |\varphi_n\rangle \quad (8)$$

احتمال  $(t)_n$  برای یافتن دستگاه، در یک اندازه‌گیری در زمان  $t$ ، در ویژه‌حالت  $|\varphi_n\rangle$  برابر است با:

$$\mathcal{P}_n(t) = |e^{-iE_n t/\hbar}|^2 \quad (9)$$

چون انرژی  $E_n$  حقیقی است (زیرا  $H$  یک مشاهده‌پذیر است)، این احتمال ثابت و برابر

۱ است : باردیگر می‌بینم که  $\langle \varphi_n |$  یک حالت مانا است .

حال بدبینیم اگر ، در (۹) ، بحای  $E_n$  عدد مختلط زیر را قرار دهیم :

$$E'_n = E_n - i\hbar \frac{\gamma_n}{2} \quad (10)$$

چه اتفاق خواهد افتاد . در این صورت احتمال  $(t)_n^{\varphi}$  برابر است با :

$$\mathcal{P}_n(t) = |e^{-i(E_n - i\hbar \frac{\gamma_n}{2})t/\hbar}|^2 = e^{-\gamma_n t} \quad (11)$$

در این مورد ، احتمال یافتن دستگاه در حالت  $\langle \varphi_n |$  بهطور نمائی ، مانند فرمول (۳) ، با زمان کاهش می‌یابد . بنابراین ، برای اینکه ناپایداری یک حالت  $\langle \varphi_n |$  را ، که طول عمرش  $\tau_n$  است ، بهطور پدیده شناختی منظور کنیم ، کافی است ، مانند (۱۰) ، با قراردادن :

$$\gamma_n = \frac{1}{\tau_n} \quad (12)$$

یک قسمت موهومند به انرژی آن اضافه کنیم .

گوشزد :

وقتی  $E'_n$  را جایگزین  $E_n$  کنیم ، هنجار بردار حالت (۸) برابر  $e^{-\gamma_n t/2}$  می‌شود و با زمان تغییر می‌کند . این نتیجه شگفت‌انگیز نیست . در بخش ۱-۱-D ارفصل سوم دیدیم که بقاء هنجار بردار حالت از طبیعت هرمیتی بودن عملگر هامیلتونی ناشی می‌شود ، اما ، عملگری که ویژه مقدارهایش مختلط است ، مانند  $E'_n$  ، نمی‌تواند هرمیتی باشد . البته همانطوری که در بخش ۱ اشاره کردیم این امر از این واقعیت ناشی می‌شود که دستگاه مورد نظر قسمتی از یک دستگاه بزرگ است (با میدان الکترومغناطیسی برهم کنش می‌کند) و تحول آن نمی‌تواند دقیقاً "توسط یک هامیلتونی" توصیف شود . این که بتوانیم با وارد کردن "هامیلتونی" "ای" با ویژه مقدارهای مختلط فقط تحول آن را بررسی کنیم ، باز هم به حد کافی جالب است .

## مکمل III

## تمرینات

- / در یک مساله یک بعدی ، ذره‌ای در نظر بگیرید که تابع موج آن :

$$\psi(x) = N \frac{e^{ip_0 x/\hbar}}{\sqrt{x^2 + a^2}}$$

باشد ، که در آن  $a$  و  $p_0$  ثابت‌های حقیقی و  $N$  یک ضریب بهنجارش است .

$N - a$  را طوری تعیین کنید که  $(x)\psi$  بهنجارشده باشد .

b - اگر مکان ذره اندازه‌گیری شود ، احتمال یافتن نتیجه‌ای بین  $-\frac{a}{\sqrt{3}}$  و  $\frac{a}{\sqrt{3}}$  چقدر است ؟

c - مقدار متوسط تکانه ذره‌ای باتابع موج  $(x)\psi$  را محاسبه کنید .

- ۳ - در یک مسأله یک بعدی ، ذره‌ای به جرم  $m$  را که تابع موج آن در زمان  $t$  برابر  $\psi(x, t)$  باشد در نظر بگیرید .

a - در زمان  $t$  ، فاصله  $d$  ای این ذره از مبدأ اندازه‌گیری می‌شود . احتمال برای یافتن نتیجه‌ای بزرگتر از یک طول معلوم  $d_0$  را به صورت تابعی از  $(x, t)\psi$  بنویسید . حد های  $\mathcal{P}(d_0)$  وقتی که  $0 \rightarrow d_0$  و  $\infty \rightarrow d_0$  چقدر است .

b - به جای اندازه‌گیری فاصله  $d$  در قسمت  $a$  ، سرعت  $v$  ای ذره در زمان  $t$  اندازه‌گیری می‌شود . احتمال یافتن نتیجه‌ای بزرگتر از مقدار معین  $v_0$  را به صورت تابعی از  $(x, t)\psi$  بیان کنید .

- ۴ - تابع موج یک ذره آزاد ، در یک مسأله یک بعدی ، در زمان  $t = 0$  به صورت زیر داده شده است :

$$\psi(x, 0) = N \int_{-\infty}^{+\infty} dk e^{-|k|/k_0} e^{ikx}$$

که در آن  $k_0$  و  $N$  ثابت‌اند .

a - احتمال  $\mathcal{P}(p_1, 0)$  برای اینکه یک اندازه‌گیری تکانه‌که در زمان  $t = 0$  انجام شده باشد ، نتیجه‌ای بین  $p_1 - p_1 +$  بدهد ، چقدر است ؟ تابع  $(x, t)\psi$  را رسم کنید .

b - اگر اندازه‌گیری در زمان  $t$  انجام شود این احتمال  $\mathcal{P}(p_1, t)$  چقدر است ؟

نتیجه را تعبیر کنید.

- c - شکل بسته موج در زمان  $t = 0$  چگونه است؟ برای این زمان، حاصل خوب  $\Delta X \cdot \Delta P$  را محاسبه کنید، نتیجه‌گیری‌تان چیست؟ تحول بعدی بسته موج را به‌طور کیفی توصیف کنید.

- ۴ - گسترده‌گی یک بسته موج آزاد

یک ذره آزاد در نظر بگیرید.

- a - با به‌کاربردن قضیه اهنرفست، نشان دهید که  $\langle X \rangle$  یک تابع خطی از زمان است، در حالی که مقدار متوسط  $\langle P \rangle$  ثابت می‌ماند.

- b - معادلات حرکت برای مقادیر متوسط  $\langle X^2 \rangle$  و  $\langle XP + PX \rangle$  را بنویسید. این معادلات را انتگرال‌گیری کنید.

- c - بانتخاب یک مبدأ زمانی مناسب، نشان دهید انحراف مربعی متوسط  $\Delta X^2$  رابطه زیر دارد می‌شود:

$$(\Delta X)^2 = \frac{1}{m^2} (\Delta P)_0^2 t^2 + (\Delta X)_0^2$$

که در آن  $(\Delta X)_0$  و  $(\Delta P)_0$  عبارتند از انحرافات مربعی متوسط در زمان اولیه.

- پهنانی بسته موج چگونه با زمان تغییر می‌کند (رک بخش c از مکمل ۱  $G_1$ )؟ یک تعبیر فیزیکی ارائه دهید.

- ۵ - ذره تحت تاثیر یک سیروی ثابت

- در یک مساله یک بعدی، ذره‌ای بالانزی پتانسیل  $V(X) = fX$  در نظر گیرید، که در آن  $f$  یک ثابت مثبت است  $[V(X)]$ ، به عنوان مثال، از یک میدان گرانشی یا یک میدان الکتریکی یکنواخت ناشی شده است [۲].

- a - قضیه اهنرفست را برای مقادیر متوسط مکان  $X$  و تکانه  $P$  ذره بنویسید. از این معادلات انتگرال‌گیری کنید، با حرکت کلاسیک مقایسه کنید.

- b - نشان دهید که انحراف مربعی متوسط  $\Delta P$  با زمان تغییر نمی‌کند.

- c - معادله شرودینگر را در نطايش  $\{\psi(t)\}$  بنویسید. از آن رابطه‌ای بین  $\frac{\partial}{\partial p} |\psi(t)|^2$  و  $\frac{\partial}{\partial t} \langle \psi(t) | \psi(t) \rangle$  بدست آورید. از معادله‌ای که بدین ترتیب بدست آورده‌اید انتگرال بگیرید، یک تعبیر فیزیکی ارائه دهید.

۵ - تابع موج سه بعدی:

$$\psi(x, y, z) = N e^{-\left[\frac{|x|}{2a} + \frac{|y|}{2b} + \frac{|z|}{2c}\right]}$$

را که در آن  $a$ ،  $b$  و  $c$  سه طول مثبت است، در نظر بگیرید.

- ثابت  $N$  را طوری محاسبه کنید که  $\psi$  بهنجارشده باشد.

$a$  - احتمال اینکه یک اندازه‌گیری  $X$  نتیجه‌ای بین ۰ و  $a$  بدهد چقدر است؟

$b$  - احتمال این‌که اندازه‌گیریهای همزمان  $Y$  و  $Z$  نتایجی بدهند که به ترتیب

بین  $b$  و  $b$ ،  $+c$  و  $-c$  باشد، محاسبه کنید.

$c$  - احتمال این را که یک اندازه‌گیری تکانه نتیجه‌ای واقع در عنصر  $d p_x d p_y d p_z$

که در نقطه  $0$  است  $p_y = p_z = \hbar/c$  و  $p_x = \psi$  متتمرکز است بدهد محاسبه کنید.

$d$  - فرض کنید  $\psi(r) = \psi(r)$  یک تابع موج بهنجارشدهٔ یک ذره باشد.  
خواسته‌های زیر را بر حسب  $(r)$  بیان کنید:

$a$  - احتمال اینکه اندازه‌گیری طول  $X$ ، نتیجه‌ای بین  $x_1$  و  $x_2$  بدهد.

$b$  - احتمال اینکه اندازه‌گیری مؤلفه  $P_x$  تکانه، نتیجه‌ای بین  $p_1$  و  $p_2$  بدهد.

$c$  - احتمال اینکه اندازه‌گیریهای همزمان  $X$  و  $P_z$  نتیجه:

$$x_1 \leq x \leq x_2$$

$$p_z \geq 0$$

را بدهد.

$d$  - احتمال اینکه اندازه‌گیریهای همزمان  $x$ ،  $P_x$ ،  $P_y$ ،  $P_z$  نتیجه:

$$p_1 \leq p_x \leq p_2$$

$$p_3 \leq p_y \leq p_4$$

$$p_5 \leq p_z \leq p_6$$

بدهد، نشان دهید که این احتمال، وقتی که  $p_5 \rightarrow -\infty$  و  $p_6 \rightarrow +\infty$  و  $p_3 \rightarrow -\infty$  با نتیجه قسمت  $b$  برابر است.

$e$  - احتمال اینکه اندازه‌گیری مؤلفه  $U = \frac{1}{\sqrt{3}}(X + Y + Z)$  از مکان ذره، نتیجه‌ای بین  $u_1$  و  $u_2$  بدهد.

$f$  - فرض کنید  $J(r)$  جریان احتمال وابسته به یک تابع موج  $(r)$ ، که حالت ذره‌ای به جرم را توصیف می‌کند، باشد [فصل سوم، روابط (۱۷) و (۱۹) - (D)]

a. نشان دهید:

$$m \int d^3r J(r) = \langle \mathbf{P} \rangle$$

که در آن  $\langle \mathbf{P} \rangle$  مقدار متوسط تکانه است.

b - عملگر  $L$  (تکانه زاویه‌ای مداری) را که به صورت  $L = \mathbf{R} \times \mathbf{P}$  تعریف می‌شود در نظر بگیرید. آیا سه‌مولفه  $L$  عملگرهای هرمیتی هستند؟ رابطه زیر را ثابت کنید:

$$m \int d^3r [\mathbf{r} \times \mathbf{J}(\mathbf{r})] = \langle \mathbf{L} \rangle$$

9 - می‌خواهیم نشان دهیم که حالت فیزیکی یک ذره (بدون اسپین) بطور کامل، با مشخص کردن چگالی احتمال  $|\psi(\mathbf{r})|^2$  و جریان احتمال  $J(\mathbf{r})$ ، معین می‌شود.  
- فرض کنید تابع  $\psi(\mathbf{r})$  معلوم باشد و شناسه آن را  $\xi(\mathbf{r})$  بگیرید:

$$\psi(\mathbf{r}) = \sqrt{\rho(\mathbf{r})} e^{i\xi(\mathbf{r})}$$

نشان دهید که:

$$\mathbf{J}(\mathbf{r}) = \frac{\hbar}{m} \rho(\mathbf{r}) \nabla \xi(\mathbf{r})$$

نتیجه بگیرید که دو تابع موج که به یک چگالی  $\rho(\mathbf{r})$  و جریان  $J(\mathbf{r})$  منجر می‌شوند می‌توانند فقط در عامل فاز کلی باهم فرق داشته باشند.

b - توابع دلخواه  $\rho(\mathbf{r})$  و  $J(\mathbf{r})$  مفروض‌اند، نشان دهید که فقط وقتی می‌توان یک حالت کوانتومی  $\psi(\mathbf{r})$  به آنها وابسته کرد که  $0 = \nabla \times \mathbf{v}(\mathbf{r}) = \nabla \times \mathbf{v}(\mathbf{r})/\rho(\mathbf{r}) = \mathbf{J}(\mathbf{r})/\rho(\mathbf{r})$  باشد، که در آن  $\mathbf{v}(\mathbf{r})$  سرعت وابسته به سیال احتمال است.

c - حال فرض کنید ذره وارد میدان مغناطیسی  $\mathbf{A}(\mathbf{r}) = \nabla \times \mathbf{B}(\mathbf{r})$  شود [بسه‌فصل سوم، تعریف (D - ۲۶) از جریان احتمال در این مورد، مراجعه کنید]. نشان دهید که:

$$\mathbf{J} = \frac{\rho(\mathbf{r})}{m} [\hbar \nabla \xi(\mathbf{r}) - q \mathbf{A}(\mathbf{r})]$$

و:

$$\nabla \times \mathbf{v}(\mathbf{r}) = - \frac{q}{m} \mathbf{B}(\mathbf{r})$$

## - ۱۰ - قضیه ویریال

a - در یک مساله سه بعدی، ذرهای در نظر بگیرید که هامیلتونی آن عبارت باشد از:

$$H = \frac{P^2}{2m} + V(X)$$

که در آن:

$$V(X) = \lambda X^n$$

جابجاگر  $[H, XP]$  را محاسبه کنید. اگر در پتانسیل  $V$  یک یا چند حالت مانای  $\langle \varphi \rangle$  وجود داشته باشد، نشان دهید که مقادیر متوسط انرژیهای جنبشی  $\langle T \rangle$  و انرژیهای پتانسیل  $\langle V \rangle$  در این حالتها در رابطه  $\langle V \rangle = n \langle V \rangle = 2 \langle T \rangle$  صدق می کنند.

b - در مساله سه بعدی، هامیلتونی به صورت زیر نوشته می شود:

$$H = \frac{P^2}{2m} + V(R)$$

جابجاگر  $[H, R \cdot P]$  را محاسبه کنید. فرض کنید  $V(R)$  یک تابع همگن درجه  $n$  از متغیرهای  $X$ ،  $Y$  و  $Z$  باشد. لزوماً چهارابطه ای بین انرژی جنبشی متوسط و انرژی پتانسیل متوسط ذره در یک حالت مانا وجود دارد؟

این رابطه را به ذرهای که در پتانسیل  $V(r) = -e^2/r$  حرکت می کند (اتم هیدروژن) اعمال کنید.

مذکور می شویم که یک تابع همگن درجه  $n$  از متغیرهای  $x$ ،  $y$  و  $z$ ، تابعی است که بنا به تعریف در رابطه:

$$V(\alpha x, \alpha y, \alpha z) = \alpha^n V(x, y, z)$$

و در اتحاد اول:

$$x \frac{\partial V}{\partial x} + y \frac{\partial V}{\partial y} + z \frac{\partial V}{\partial z} = nV(x, y, z)$$

صدق کند.

c - یک دستگاه مشکل از  $N$  ذره با مکانهای  $R_i$  و تکانهای  $P_i$  در نظر بگیرید. وقتی انرژی پتانسیل آنها یک تابع همگن (درجه  $n$ ) از مؤلفه های  $X_i$ ،  $Z_i$  باشد، آیا می توان نتایج بالا را به آن تعمیم داد؟ به عنوان کاربرد، می توان یک ملکول دلخواه را که از هسته هایی با بار  $Z_i q$  - و الکترون هایی با بار  $e$  تشکیل شده است مطالعه کرد. تمام این ذرات دونا، دوتا از طریق نیروهای گولنی با یکدیگر برهمنش دارند. در یک حالت پایه ملکول، چهارابطه ای بین انرژی جنبشی ذرات و انرژی برهمنش

متقابل آنها برقرار است؟

### - ۱۱ تابع موج و ذرهای

در یک مسأله یک بعدی، دستگاهی مشکل از دو ذره<sup>۱</sup> (۱) و (۲) را در نظر بگیرید که تابع موج  $(x_1, x_2)\psi$  به آن وابسته است.

a - احتمال اینکه، در اندازه‌گیری مکانهای  $X_1$  و  $X_2$  ای ذره نتیجه<sup>۲</sup> زیر به دست آید چقدر است:

$$x \leq x_1 \leq x + dx$$

$$\alpha \leq x_2 \leq \beta$$

b - احتمال یافتن ذره (۱) بین  $x$  و  $x + dx$  [وقتی که هیچ مشاهده‌ای روی ذره<sup>۳</sup>

(۲) انجام نشود] چقدر است؟

c - احتمال یافتن حداقل یکی از ذرات بین  $\alpha$  و  $\beta$  چقدر است؟

d - احتمال یافتن یک و فقط یک ذره بین  $\alpha$  و  $\beta$  چقدر است؟

e - احتمال یافتن تکانه ذره<sup>۴</sup> (۱) بین  $p'$  و  $p''$  و مکان ذره<sup>۵</sup> (۲) بین  $\alpha$  و  $\beta$

چقدر است؟

f - تکانهای  $P_1$  و  $P_2$  ای ذره اندازه‌گیری می‌شود. احتمال یافتن نتیجه:

$p''' \leq p_2 \leq p''', p' \leq p_1 \leq p''$  چقدر است؟

g - تنها کمیتی که اندازه‌گیری می‌شود تکانه  $P_1$  ذره اول است. ابتدا از نتایج

e و سپس از نتایج f، احتمال این را که این تکانه بین  $p'$  و  $p''$  باشد محاسبه کنید. دونتیجه<sup>۶</sup> به دست آمده را با یکدیگر مقایسه کنید.

h - فاصله<sup>۷</sup> جبری  $X_1 - X_2$  بین دو ذره اندازه‌گیری می‌شود. احتمال یافتن نتیجه‌ای بین  $d - d +$  چقدر است؟ مقدار متوسط این فاصله چقدر است؟

### - ۱۲ چاه یکبعدی بینهایت

ذرهای به جرم  $m$  را که در پتانسیل:

$$V(x) = 0 \quad 0 \leq x \leq a.$$

$$V(x) = +\infty \quad x < 0 \quad \text{or} \quad x > a$$

قرار دارد در نظر بگیرید. ویژه حالت‌های هامیلتونی  $H$  دستگاه متناظر با ویژه‌مقدارهای  $E_n$  را با  $\langle \varphi_n | \text{نمایش می‌دهیم (رک مکمل } H_1 \text{)} .$  حالت ذره در لحظه<sup>۸</sup> ۰

$$= \frac{n^2 \pi^2 \hbar^2}{2ma^2}$$

عبارت است از :

$$|\psi(0)\rangle = a_1 |\varphi_1\rangle + a_2 |\varphi_2\rangle + a_3 |\varphi_3\rangle + a_4 |\varphi_4\rangle$$

a - احتمال اینکه، اگر انرژی ذره در حالت  $\langle \psi | \psi(0) \rangle$  اندازه‌گیری شود، مقداری

کوچکتر از  $\frac{3\pi^2\hbar^2}{ma^2}$  به دست آید چقدر است؟

b - مقدار متوسط و انحراف مربعی متوسط انرژی ذره در حالت  $\langle \psi | \psi(0) \rangle$  چقدر است؟

c - بودار حالت  $\langle \psi(t) | \psi(0) \rangle$  در لحظه  $t$  را محاسبه کنید. آیا نتایج به دست آمده

در a و b در لحظه  $t = 0$  در هر زمان دلخواه، معتبر می‌مانند؟

d - وقتی انرژی را اندازه‌گیری می‌کنیم، نتیجه  $\frac{8\pi^2\hbar^2}{ma^2}$  به دست می‌آید. حالت

دستگاه بعد از این اندازه‌گیری چیست؟ اگر مجدداً انرژی اندازه‌گیری شود نتیجه چه خواهد بود؟

- چهارم دو بعدی بینهایت (رک مکمل  $G_{II}$ )

در یک مسأله دو بعدی، ذره‌ای به جرم  $m$  را در نظر بگیرید که هامیلتونی  $H$  آن

به صورت زیر است :

$$H = H_x + H_y$$

با :

$$H_x = \frac{P_x^2}{2m} + V(X) \quad H_y = \frac{P_y^2}{2m} + V(Y)$$

مقدار انرژی پتانسیل  $V(x)$  [ یا  $V(y)$  ] بخازه  $x$  ( یا  $y$  ) در فاصله  $[0, a]$  صفر و در جاهای دیگر بینهایت است.

a - کدام یک از مجموعه‌های عملگرهای زیر، تشکیل یک م.ک.م. ج می‌دهند؟

$$\{H\}, \{H_x\}, \{H_x, H_y\}, \{H, H_x\}$$

b - ذره‌ای را در نظر بگیرید که تابع موجش به صورت زیر باشد :

$$\psi(x, y) = N \cos \frac{\pi x}{a} \cos \frac{\pi y}{a} \sin \frac{2\pi x}{a} \sin \frac{2\pi y}{a} \quad 0 \leq x \leq a \\ 0 \leq y \leq a$$

در جاهای دیگر (  $N$  یک مقدار ثابت است ) .

a - مقدار متوسط  $\langle H \rangle$  ( انرژی ذره ) چقدر است؟ اگر انرژی  $H$  اندازه‌گیری شود

چه نتایجی، و با چه احتمالهایی، می‌تواند به دست آید؟

$\beta$  - مشاهده‌پذیر  $H_x$  اندازه‌گیری می‌شود، چه نتایجی، و با چه احتمالاتی می‌توان به دست آورد؟ اگر این اندازه‌گیری نتیجه  $\frac{\pi^2 \hbar^2}{2ma^2}$  را بدهد، نتایج اندازه‌گیری بعدی  $H_y$ ، و احتمالهای آنها چقدر خواهد بود؟

$\gamma$  - بجای اندازه‌گیریهای قبلی، یک اندازه‌گیری همزمان از  $H_x$  و  $P_y$  انجام می‌دهیم. احتمال یافتن:

$$E_x = \frac{9\pi^2 \hbar^2}{2ma^2}$$

و:

$$p_0 \leq p_y \leq p_0 + dp$$

چقدر است؟

$\delta$  - یک دستگاه فیزیکی در نظر بگیرید که فضای حالت‌های آن، که سه بعدی است، توسط پایه راست هنجاری مشکل از سه کت  $|u_1\rangle, |u_2\rangle, |u_3\rangle$  بوجود آمده باشد. در این پایه علکر هامیلتونی  $H$  دستگاه و دو مشاهده‌پذیر  $A$  و  $B$  به صورت زیر نوشته می‌شوند:

$$H = \hbar\omega_0 \begin{pmatrix} 1 & 0 & 0 \\ 0 & 2 & 0 \\ 0 & 0 & 2 \end{pmatrix}; \quad A = a \begin{pmatrix} 1 & 0 & 0 \\ 0 & 0 & 1 \\ 0 & 1 & 0 \end{pmatrix}; \quad B = b \begin{pmatrix} 0 & 1 & 0 \\ 1 & 0 & 0 \\ 0 & 0 & 1 \end{pmatrix}$$

که در آن  $a$ ،  $b$  و  $\omega_0$  ثابتهای حقیقی مثبت‌اند.دستگاه فیزیکی در زمان  $t = 0$  در حالت زیر قرار دارد:

$$|\psi(0)\rangle = \frac{1}{\sqrt{2}}|u_1\rangle + \frac{1}{2}|u_2\rangle + \frac{1}{2}|u_3\rangle$$

- در زمان  $t = 0$ ، انرژی دستگاه اندازه‌گیری می‌شود. چه مقادیری، و با چه احتمالهایی، می‌توانند به دست آیند؟ برای دستگاه وقتی در حالت  $\langle \psi(t)|$  قرارداده،

مقدار متوسط  $\langle H \rangle$  و انحراف مربوطی متوسط  $\Delta H$  را محاسبه کنید.

$a$  - بجای اندازه‌گیری  $H$  در زمان  $t = 0$ ،  $A$  را اندازه‌گیری می‌کنیم، چه نتایجی، و با چه احتمالهایی، می‌توانند به دست آیند؟ بردار حالت بلا فاصله پس از اندازه‌گیری چیست؟

$b$  - بردار حالت  $\langle \psi(t)|$  دستگاه در زمان  $t$  را محاسبه کنید.

$c$  - مقادیر متوسط  $A$  و  $B$  در زمان  $t$  ( $\langle A \rangle(t)$  و  $\langle B \rangle(t)$ ) را محاسبه کنید. چه گوشزدی می‌توانید بکنید؟

e - اگر مشاهده‌پذیر  $A$  در زمان  $t$  اندازه‌گیری شود، چه نتایجی به دست خواهد آمد؟ به همین سوال برای مشاهده‌پذیر  $B$  پاسخ دهید. نتایج حاصل را تعبیر کنید.

### - دیدگاه برهمنش

(توصیه می‌شود قبل از برداختن بهاین تمرین، مکمل  $F_{III}$  و احتمالاً "مکمل  $G_{III}$ " را بخوانید).

یک دستگاه فیزیکی دلخواه در نظر بگیرید. هامیلتونی آن را با  $H_0(t)$  و عملکر تحول مربوط به آن را با  $U_0(t, t')$  نشان دهید:

$$\begin{cases} i\hbar \frac{\partial}{\partial t} U_0(t, t_0) = H_0(t) U_0(t, t_0) \\ U_0(t_0, t_0) = \mathbb{1} \end{cases}$$

حال فرض کنید دستگاه طوری مفتوش شود که هامیلتونی آن بصورت زیر درآید:

$$H(t) = H_0(t) + W(t)$$

بردار حالت دستگاه در "دیدگاه برهمنش"  $|\psi_I(t)\rangle$ ، از بردار حالت  $|\psi_S(t)\rangle$  در دیدگاه شرودینگر توسط رابطه زیر تعیین می‌شود:

$$|\psi_I(t)\rangle = U_0^t(t, t_0) |\psi_S(t)\rangle$$

a - نشان دهید که تحول  $\langle \psi_I(t) |$  به صورت زیر است:

$$i\hbar \frac{d}{dt} |\psi_I(t)\rangle = W_I(t) |\psi_I(t)\rangle$$

که در آن  $W_I(t)$  تبدیل یافته، عملکر  $W(t)$  تحت تبدیل یکانی وابسته به  $U_0^t(t, t_0)$  است:

$$W_I(t) = U_0^t(t, t_0) W(t) U_0(t, t_0)$$

بطور کیفی تشریح کنید که چرا، وقتی اختشاش  $W(t)$  خیلی کوچکتر از  $H_0(t)$  باشد، تحول بودار  $|\psi_I(t)\rangle$  خیلی کندتر از تحول  $|\psi_S(t)\rangle$  است.

b - نشان دهید که معادله دیفرانسیلی قبلی با معادله انتگرالی:

$$|\psi_I(t)\rangle = |\psi_I(t_0)\rangle + \frac{1}{i\hbar} \int_{t_0}^t dt' W_I(t') |\psi_I(t')\rangle$$

که در آن  $|\psi_I(t_0)\rangle = |\psi_S(t_0)\rangle$ ، هم ارز است.

c - با حل این معادله انتگرالی به طریق ۵ زنجیره‌ای، نشان دهید که کت  $\langle \psi(t) |$  می‌تواند به صورت زیر بر حسب توانهای  $W$  بسط داده شود:

$$|\psi_I(t)\rangle = \left\{ \mathbb{1} + \frac{1}{i\hbar} \int_{t_0}^t dt' W_I(t') + \frac{1}{(i\hbar)^2} \int_{t_0}^t dt' W_I(t') \int_{t_0}^t dt'' W_I(t'') + \dots \right\} |\psi_I(t_0)\rangle$$

- ۱۵ - همیستگی بین دو ذره

(توصیه می‌شود برای پاسخ دادن به سؤال e) این تمرین مکمل  $E_{III}$  را بخوانید: یک دستگاه فیزیکی مشکل از دو ذره<sup>a</sup> (۱) و (۲) به جرمها مساوی  $m$  و بدون بروهم کش که هردو در چاه پتانسیل بینهایت به پهنای  $a$  قرار دارند در نظر بگیرید (رک مکمل  $H_I$ ، بخش c-۲). فرض کنید  $H(1)$  و  $H(2)$  هامیلتونیها و  $|\varphi_n(1)\rangle$  و  $|\varphi_n(2)\rangle$  ویژه حالت‌های متناظر با ذرات اول و دوم، با انرژیهای  $\frac{q^2\pi^2\hbar^2}{2ma^2}$  و  $\frac{n^2\pi^2\hbar^2}{2ma^2}$  باشند. پایه انتخاب شده در فضای حالت‌های دستگاه کلی، از حالت‌های  $|\varphi_n\varphi_q\rangle$  که توسط رابطه زیر تعریف شده‌اند، تشکیل یافته است:

$$|\varphi_n\varphi_q\rangle = |\varphi_n(1)\rangle \otimes |\varphi_q(2)\rangle$$

a - ویژه حالتها و ویژه مقادارهای عملگر  $H = H(1) + H(2)$ ، هامیلتونی کل دستگاه، کدامند؟ درجه تبهکنی دو یا چند ترین تراز انرژی را بدست آورید.

b - فرض کنید دستگاه در زمان  $t = 0$  در حالت زیر باشد:

$$|\psi(0)\rangle = \frac{1}{\sqrt{6}} |\varphi_1\varphi_1\rangle + \frac{1}{\sqrt{3}} |\varphi_1\varphi_2\rangle + \frac{1}{\sqrt{6}} |\varphi_2\varphi_1\rangle + \frac{1}{\sqrt{3}} |\varphi_2\varphi_2\rangle$$

$\alpha$  - حالت دستگاه در زمان  $t$  چیست؟

$\beta$  - انرژی کل  $H$  اندازه‌گیری می‌شود. چهنتایجی و با چه احتمالهایی می‌تواند بدست آید؟

γ - بهمین سؤال، وقتی بجای  $H$ ،  $H(1)$  اندازه‌گیری شود، پاسخ دهید.

$\alpha - c$  - نشان دهید که  $\langle \psi(0) |$  یک حالت حاصل‌ضرب تانسوری است. وقتی

دستگاه در این حالت قرار دارد، مقادیر متوسط  $\langle H(1)H(2) \rangle$ ،  $\langle H(1) \rangle \langle H(2) \rangle$  و  $\langle H(2) \rangle \langle H(1) \rangle$  را محاسبه کنید. دومقدار  $\langle H(1)H(2) \rangle \langle H(1) \rangle \langle H(2) \rangle$  و  $\langle H(2) \rangle \langle H(1) \rangle \langle H(1) \rangle \langle H(2) \rangle$  را با یکدیگر مقایسه کنید. این نتیجه را چگونه تشریح می‌کنید؟

$\beta$  - نشان دهید که وقتی حالت دستگاه حالت  $\langle \psi(t) |$  بدست آمده در b باشد،

نتایج قبلی معتبر می‌مانند.

*d* - حال، فرض کنید که حالت  $\langle 0 | \psi \rangle$  به صورت زیر باشد:

$$|\psi(0)\rangle = \frac{1}{\sqrt{5}} |\varphi_1\varphi_1\rangle + \sqrt{\frac{3}{5}} |\varphi_1\varphi_2\rangle + \frac{1}{\sqrt{5}} |\varphi_2\varphi_1\rangle$$

نشان دهید که  $\langle 0 | \psi \rangle$  نمی‌تواند به صورت یک حاصلضرب تانسوری نوشته شود. برای این مورد، به تمام سوالات مطرح شده در *c* پاسخ دهید.

*e* -  $\alpha$  - ماتریس معرف عملگر چگالی  $\rho$  متناظر با کت  $\langle 0 | \psi \rangle$  را که در *b* داده شده است، در پایه بردارهای  $\langle \varphi_n | \varphi_m \rangle$  بنویسید. ماتریس چگالی  $\rho(t)$  در زمان *t* چیست؟ در زمان *t* = 0، رد های جزئی:

$$\rho(1) = \text{Tr}_2 \rho \quad \text{و} \quad \rho(2) = \text{Tr}_1 \rho$$

را محاسبه کنید. آیا عملگرهای چگالی  $\rho$ ،  $\langle 1 | \rho | 1 \rangle$  و  $\langle 2 | \rho | 2 \rangle$  حالت هایی خالص را توصیف می‌کنند.  $\rho$  را با  $\rho(2) \otimes \rho(1)$  مقایسه کنید، چه تعبیری ارائه می‌دهید؟  $\beta$  - به همان سوالات مطرح شده در *a*، ولی با انتخاب کت قسمت *d* برای  $\langle 0 | \psi \rangle$ ، پاسخ دهید.

موضوع تمرینات مدعی عملگر چگالی است. بنابراین مفاهیم و نتایج مکمل  $E_{\text{III}}$  دانسته فرض می‌شوند.

*f* - فرض کنید  $\rho$  عملگر چگالی یک دستگاه دلخواه، و  $\langle \chi_i | \chi_j \rangle$  و  $\langle \pi_i | \pi_j \rangle$  و  $\langle \chi_i | \pi_j \rangle$  و  $\langle \pi_i | \chi_j \rangle$  مقدارهای آن باشند.  $\rho$  و  $\rho^2$  را بر حسب  $\langle \chi_i | \chi_j \rangle$  و  $\langle \pi_i | \pi_j \rangle$  بنویسید، ماتریسهای معرف این دو عملگر در پایه  $\{ \langle \chi_i |, \langle \pi_i | \}$  اولاً در موردی که  $\rho$  یک حالت خالص باشد و ثانیاً "در مورد آمیزه آماری چند حالت، چگونه اند" (ابتدا نشان دهید که، در مورد خالص،  $\rho$  فقط یک عنصر قطر اصلی مخالف صفر دارد که آن هم برابر ۱ است، در حالیکه برای یک آمیزه، آماری،  $\rho$  دارای چند عنصر قطری بین ۰ تا ۱ است، نشان دهید که  $\rho$  فقط و فقط وقتی متناظر با یک مورد خالص است که  $\text{rd}^2 \rho$  برابر ۱ باشد).

*g* - دستگاهی در نظر بگیرید که عملگر چگالی آن  $\langle i | \rho | i \rangle$  است، و تحت تأثیر یک هامیلتونی  $H(t)$  تحول می‌یابد. نشان دهید که  $\text{rd}^2 \rho$  با زمان تغییر نمی‌کند. نتیجه: آیا دستگاه می‌تواند طوری تحول یابد که متولیاً "در یک حالت خالص و یک آمیزه آماری حالتها باشد؟

*h* - فرض کنید  $(2) + (1)$  یک دستگاه کلی مشکل از دو زیر دستگاه  $(1)$  و  $(2)$  باشد،  $A$  و  $B$  معرف عملگرهایی هستند که در فضای حالت  $(2) \otimes (1)$  عمل می‌کنند. نشان

دهید وقتی  $A$  (یا  $B$ ) فقط در فضای  $\mathcal{E}(1)$  عمل کند، یعنی، وقتی  $A$  (یا  $B$ ) بتواند بصورت:

$$A = A(1) \otimes \mathbb{I}(2) \quad [\text{or } B = B(1) \otimes \mathbb{I}(2)]$$

نوشته شود، دو رد جزوی  $\text{Tr}_1 \{ AB \}$  و  $\{ BA \}$  با یکدیگر برابرند.  
کاربرد: اگر عملگر  $H$ ، هامیلتونی دستگاه‌کلی، مجموع دو عملگر باشد که به ترتیب فقط در  $\mathcal{E}(1)$  و فقط در  $\mathcal{E}(2)$  عمل کنند:

$$H = H(1) + H(2),$$

تغییرات عملگر چگالی کاهش یافته  $(1) \rho$  نسبت به زمان،  $(\frac{d}{dt} \rho)$  را محاسبه کنید.  
نتیجه: به دست آمده را از نظر فیزیکی تعبیر کنید.

تمرین ۵

مراجع: Flügge (1.24), §§40 and 41; Landau and Lifshitz (1.19), §22.

تمرین ۱۰

مراجع: Levine (12.3), chap. 14; Eyring et al (12.5), §18 b.

تمرین ۱۵

مراجع: مراجع مکمل  $G_{\text{III}}$  را به بینید.

## بازگشت به مسائل یک بعدی

اکنون که با صورت بندی ریاضی و با محتواهای فیزیکی مکانیک کوانتومی بیشتر آشنا شده‌ایم، می‌توانیم نتایج بدست آمده در فصل اول را دقیق‌تر و کامل‌تر کنیم. در سه مکمل بعدی، به طریقی عام، خواص کوانتومی یک ذره را که تحت تأثیر یک پتانسیل نرده‌ای\* با شکل دلخواه قراردارد، مطالعه خواهیم کرد. برای سهولت مطالعه خود را به مسائل یک بعدی محدود خواهیم ساخت. ابتدا حالت‌های مانای مقید یک ذره را که که انرژی‌های آن یک‌طیف گستته تشکیل می‌دهند (مکمل  $M_{III}$ ) بررسی خواهیم کرد، و سپس حالت‌های نامقید متناظر با یک پیوستار انرژی را مورد مطالعه قرار خواهیم داد (مکمل  $N_{III}$ ). علاوه بر این، یک‌مورد خاص را که بخاراطرا بردهایش، مخصوصاً "درفیزیک حالت جامد"، بسیار اهمیت دارد بررسی خواهیم کرد، و آن عبارت است از یک پتانسیل تناوبی (مکمل  $O_{III}$ ).

مکمل  $M_{III}$

### حالت‌های مقید یک ذره در یک «چاه پتانسیل» با شکل دلخواه

- ۱ - کوانتش انرژی‌های حالت مقید
- ۲ - مقدار می‌نیم انرژی حالت پایه

در مکمل  $I_{H}$ ، برای یک مورد خاص (چاه "مربعی" محدود یا نامحدود)، حالت‌های مقید یک ذره در یک چاه پتانسیل را مطالعه کردیم. چند خاصیت از این حالت‌های مقید را بدست آوردیم: مانند طیف انرژی گستته و انرژی حالت پایه که از انرژی می‌نیم کلاسیکی بزرگتر است. در این مکمل نشان خواهیم داد که این خواص، در واقع، عمومی هستند و نتایج فیزیکی متعددی دارند.

وقتی انرژی پتانسیل یک ذره یک می‌نیم داشته باشد (شکل ۵ - ۱ را بهینه‌نید)، می‌گوئیم که ذره در یک "چاه پتانسیل"\*\*\* قراردارد. قبل از مطالعه کیفی حالت‌های مانای یک

\* آثار پتانسیل برداری  $A$  بعداً، بخصوص در مکمل  $E_{VI}$ ، بررسی خواهد شد.

\*\*البته، انرژی پتانسیل فقط با تقریب یک ثابت افزایشی تعیین می‌شود. بنابراین قرارداد، پتانسیل در بینهایت را صفر قرار می‌دهیم.

ذره کوانتومی در یک چنین چاهی، حرکت متناظر یک ذره کلاسیکی را یادآوری می‌کنیم. وقتی انرژی  $E_{cl}$  آن می‌نیم مقدار مجاز  $V_0 = E_{cl}$  را (که در آن  $V_0$  عمق چاه است) بگیرید، ذره در نقطه  $M_0$  که طول آن  $x_0$  است بدون حرکت خواهد بود؛ در مرورد  $0 < E_{cl} < V_0$  باشد، با دامنهای که با  $E_{cl}$  افزایش می‌یابد، در چاه نوسان خواهد کرد. بالاخره وقتی  $0 < E_{cl} < V_0$  باشد، ذره در چاه باقی نخواهد ماند، بلکه به سمت بینهایت خواهد رفت. بنابراین "حالت‌های مقید" ذره کلاسیکی متناظر است با تمام مقادیر منفی انرژی بین  $V_0$  و  $0$ . برای یک ذره کوانتومی، وضعیت بسیار منفاوت است. حالت‌های انرژی کامل "معین  $E$ "، حالت‌های مانع هستند که توابع موج  $\varphi(x)$  آنها جوابهای معادله ویژه مقداری هامیلتونی  $H$  است:

$$\left[ -\frac{\hbar^2}{2m} \frac{d^2}{dx^2} + V(x) \right] \varphi(x) = E \varphi(x) \quad (1)$$

یک‌چنین معادله دیفرانسیلی مرتبه دومی، برای هر مقدار  $E$ ، دارای بینهایت جواب است: اگر به  $\varphi(x)$  و مشتق آن در یک نقطه معین مقادیر دلخواهی نسبت دهیم می‌توانیم  $\varphi$  را برای هر مقدار دیگر  $x$  بدست آوریم. بنابراین معادله (1) به تواندهایی که می‌تواند مقادیر ممکن انرژی را محدود سازد، لیکن، دراینجا نشان خواهیم داد که اگر، علاوه بر آن، شرایط مرزی معینی روی  $\varphi(x)$  تحمیل کنیم، تنها مقادیر معینی از  $E$  ممکن خواهند بود (کوانتش ترازهای انرژی).

### ۱- کوانتش انرژی‌های حالت مقید

حالت‌های را "حالت‌های مقیده ذره" خواهیم نامید که توابع موج  $\varphi(x)$  آنها در معادله ویژه‌مقداری (1) صدق کنند و مجدوراً "انتگرال پذیر باشند" [که برای اینکه  $\varphi(x)$  بتواند واقعاً حالت فیزیکی یک ذره را توصیف کند ضروری است]. از این‌رو، اینها حالت‌های پایداری هستند، که برای آنها چگالی احتمال مکان  $| \varphi(x) |^2$  فقط در ناحیه محدودی از فضا مقادیر غیر قابل اعتماضی دارد [برای اینکه  $| \varphi(x) |^2 \int_{-\infty}^{+\infty} dx | \varphi(x) |^2$  همگرا شود باید  $| \varphi(x) |^2$  وقتی  $x \rightarrow \pm \infty$  بطور سریع به سمت صفر میل کند]. حالت‌های مقید ما را بهیاد حرکت کلاسیکی‌ای می‌اندازد که ذره در داخل چاه نوسان می‌کند بدون اینکه هرگز بتواند از آن خارج شود (انرژی  $E_{cl}$  منفی ولی بزرگتر از  $V_0$  -).

خواهیم دید که در مکانیک کوانتومی، این واقیت که  $\varphi(x)$  باید مجدوراً "انتگرال پذیر باشد، می‌رساند که انرژی‌های ممکن یک مجموعه گستته از مقادیری را تشکیل می‌دهند که در

فاصله بین  $V_0$  و ۰ قرار دارند. برای فهم این مطلب، به پتانسیل نشان داده شده در شکل ۱ بر می‌گردیم. برای سهولت، فرض خواهیم کرد که  $V(x)$  در خارج بازه  $[x_1, x_2]$  دقیقاً صفر است. اگر  $x_1 < x < x_2$  باشد (ناحیه I)،  $V(x) = 0$  و جواب معادله (۱) به صورت زیر نوشته می‌شود:

اگر  $E > 0$  باشد:

$$\varphi_I(x) = A e^{ikx} + A' e^{-ikx} \quad (2)$$

$$k = \sqrt{\frac{2mE}{\hbar^2}} \quad (3)$$

اگر  $E < 0$  باشد:

$$\varphi_I(x) = B e^{\rho x} + B' e^{-\rho x} \quad (4)$$

$$\rho = \sqrt{-\frac{2mE}{\hbar^2}} \quad (5)$$

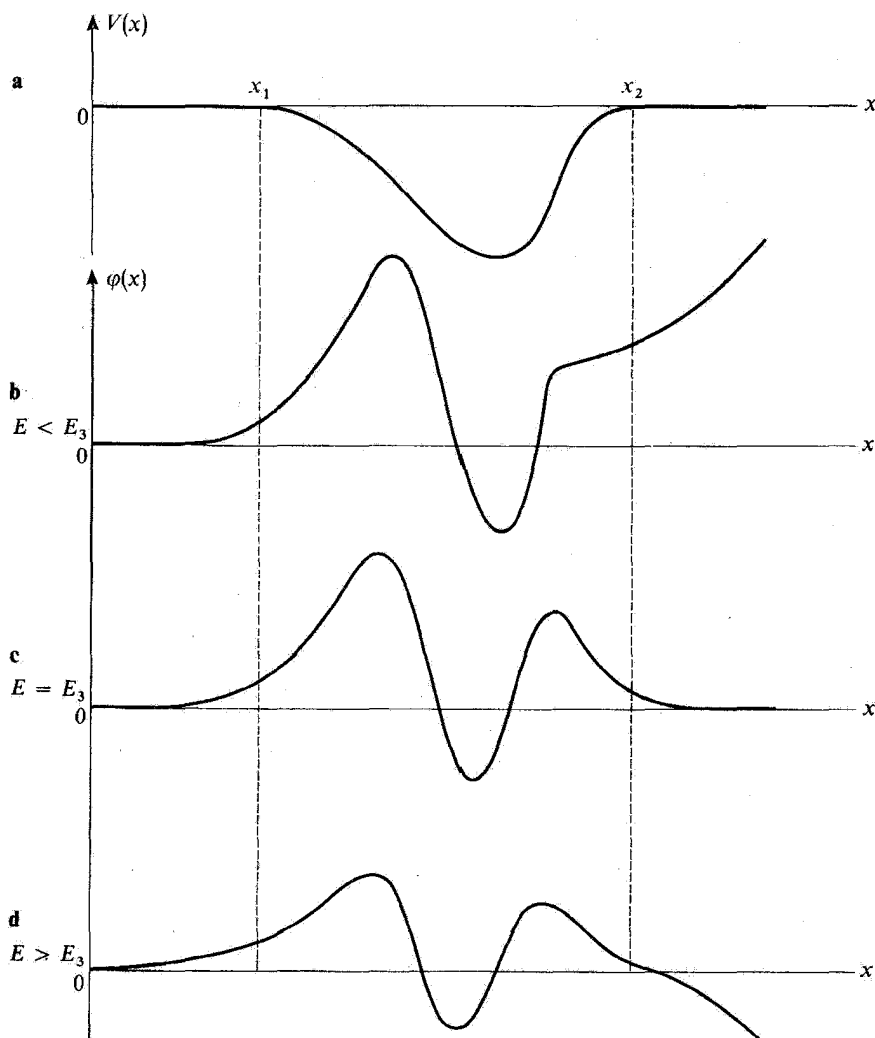
ما به دنبال یک جواب مجدد را "انتگرال پذیر می‌گردیم، بنابراین باید شکل (۲) را که در آن  $\varphi_I(x)$  بفهم نهشی از امواج تخت بامدل‌های ثابت است که خود باعث: واگرایش انتگرال:

$$\int_{-\infty}^{x_1} dx |\varphi_I(x)|^2 \quad (6)$$

می‌شوند، از بین ببریم. تنها امکان (۶) باقی می‌ماند و بدین ترتیب نتیجه، اول را به صورت زیر به دست می‌آوریم: حالت‌های مقید ذره، همگی دارای انرژی منفی هستند. در (۶) نمی‌توانیم جمله  $e^{-\rho x}$  را، که وقتی  $\infty \rightarrow x$  میل می‌کند و اگرا می‌شود، داشته باشیم. لذا داریم:

$$\varphi_I(x) = e^{\rho x} \quad x < x_1 \quad (7)$$

[ضریب تناسب  $B$  را حذف کردیم، زیرا ممکن بودن معادله (۱) بمناسبت امکان می‌دهد  $\varphi_I(x)$  را با تقریب یک ضریب ضریب تعیین کنیم].



شکل ۱.

چاه پتانسیل با عمق  $\frac{1}{2}$  (شکل a)، واقع بین نقاط  $x = x_1$  و  $x = x_2$ . یک جواب  $\phi(x)$  برای معادله ویژه مقداری  $H$  طوری انتخاب می‌کنیم که، برای  $x < x_1$  و قریب به  $\infty$   $\phi(x)$  میل می‌کند، بطور نمایی به سمت صفر میل کند. سپس این جواب را به کل محور  $x$  ها تعمیم می‌دهیم. برای یک مقدار دلخواه انرژی  $E$  تابع  $\phi(x)$  در  $x \rightarrow +\infty$  به صورت  $\tilde{B}(E) e^{ixx}$  و اگرآ می‌شود. شکل b موردی را که  $\tilde{B}(E) > 0$  و شکل c موردی را که  $\tilde{B}(E) < 0$  است، نشان می‌دهد. با این وجود، اگر انرژی  $E$  طوری انتخاب شود که  $\tilde{B}(E) = 0$  شود،  $\phi(x)$ ، وقتی  $x \rightarrow +\infty$  میل کند، بطور نمایی به سمت صفر میل می‌کند (شکل c) و  $\phi(x)$  مجذوراً انتگرال پذیر است.

مقدار  $\varphi(x)$  در بازه  $x_1 \leq x \leq x_2$  (ناحیه II) از گستن  $(x)$   $\varphi_1$  به دست می‌آید: باید جوابی برای معادله (1) پیدا کنیم که در  $x_1 = x$  برابر با  $e^{\rho x_1}$  و مشتق آن درین نقطه مساوی  $\rho e^{\rho x_1}$  شود. تابع  $\varphi_{II}(x)$  که بدین ترتیب به دست می‌آید به  $\rho$ ، والبته، به عبارت دقیق  $V(x)$  بستگی دارد. معذالک، چون (1) یک معادله دیفرانسیل مرتبه دوم است  $\varphi_{II}(x)$  توسط شرایط مرزی اخیر، به طور بکتابتی تعیین می‌شود، این تابع، علاوه بر این حقیقی است (که ما را قادر می‌سازد تا منحنی‌های نظیر منحنی‌های شکل‌های b-1، c-1 و d-1 را رسم کنیم).

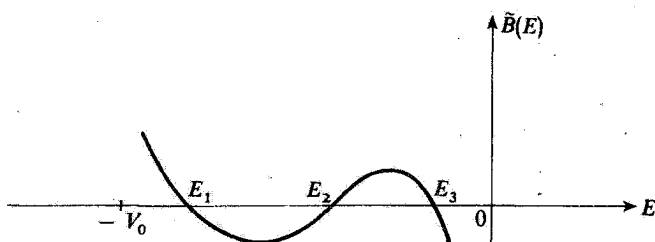
آنچه باقی می‌ماند این است که جواب معادله را بررسی  $x_2 > x$  (ناحیه III) به دست آوریم، این جواب می‌تواند به صورت زیر نوشته شود:

$$\varphi_{III}(x) = \tilde{B} e^{\rho x} + \tilde{B}' e^{-\rho x} \quad (8)$$

که در آن  $\tilde{B}$  و  $\tilde{B}'$  ثابت‌هایی حقیقی‌اند که توسط شرایط پیوستگی  $\varphi(x)$  و  $d\varphi/dx$  در نقطه  $x = x_2$ ، تعیین می‌شوند.  $\tilde{B}$  و  $\tilde{B}'$  هم به  $\rho$  و هم به تابع  $V(x)$  بستگی دارند. بنابراین جوابی برای معادله (1)، نظیر، بعنوان مثال، جوابی که در شکل b-1 نشان داده شده است، به دست آورده‌ایم. آیا این جواب مجدوراً "انتگرال پذیر است؟ از (8) مشاهده می‌کنیم که عموماً" این طور نیست مگر اینکه  $\tilde{B}$  صفر باشد (این مورد خاص در شکل c-1 نشان داده شده است). اما، برای یک تابع معین  $V(x)$ ،  $\tilde{B}$  از طریق  $\rho$  تابعی از  $E$  است. بنابراین، تنها مقادیری از  $E$  که برای آنها یک حالت مقید وجود دارد جوابهای معادله  $0 = \tilde{B}(E)$  است. این جوابهای  $E_1, E_2, \dots$  (رک شکل ۲) یک طیف گستته تشکیل می‌دهند که، البته، به پتانسیل  $V(x)$  انتخاب شده بستگی دارد (در بخش بعدی خواهیم دید که تمام انرژی‌های  $E_i$  از  $V_0$  - بزرگتراند).

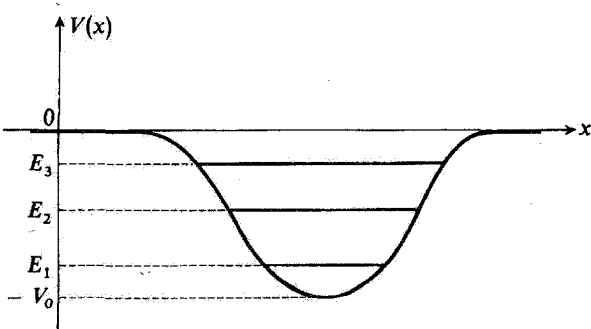
بدین ترتیب به نتیجه، زیر می‌رسیم: مقادیر ممکن انرژی حالت‌های مقید ذرهای که در یک چاه پتانسیل با شکل دلخواه قرار دارد، یک مجموعه گستته تشکیل می‌دهند (اغلب گفته می‌شود که انرژی‌های حالت مقید کوانتیده هستند). این نتیجه رامی‌توان با کوانتش مدهای الکترومغناطیسی در یک حفره متشابه داشت. هیچ مشابهی در مکانیک کلاسیک، که در آن، همان‌طوری که دیدیم، تمام مقادیر انرژی بین  $V_0$  - ۰ قابل قبول‌اند، وجود ندارد. در مکانیک کوانتومی، پائین‌ترین تراز انرژی  $E_1$  را حالت پایه، تراز انرژی  $E_2$  بلافاصله بالاتر از آن را اولین حالت برانگیخته، تراز انرژی بعدی  $E_3$  را دومین حالت برانگیخته و غیره می‌نامیم. غالباً به هر یک از این حالت‌ها نمودار طرح وارزی را وابسته کنند: در داخل چاه پتانسیل  $V(x)$ ، یک پاره خط افقی که محل عمودی آن متناظر با انرژی

حالت باشد و طول آن ایده‌ای از گستردنگی فضائی تابع موج را می‌دهد رسم می‌کنند (این خط درواقع نقاطی از محور را دربر می‌گیرد که ذره کلاسیکی باهمان انرژی می‌توانست به آن نقاط برسد). برای مجموعه ترازهای انرژی طرحواری از نوع نشان داده شده در شکل ۳ بدست می‌آوریم.



شکل ۲.

نمایش تابع  $B(E)$ . صفرهای  $B(E)$  مقادیری از  $E$  را نشان می‌دهند که برای آنها  $\phi(x)$  مجدوراً انتگرال پذیر است (وضعیت شکل ۱-۱)، یعنی، انرژیهای  $E_1, E_2, \dots, E_3$  ... حالت‌های مقید، تمام این انرژیها بین  $-V_0$  و ۰ واقعند.



شکل ۳.

نمایش طرحواره‌ای حالت‌های مقید یک ذره در یک چاه پتانسیل، برای هریک از این حالت‌های مانا، یک پاره خط افقی می‌کشیم که عرض آن برابر با انرژی تراز مربوطه باشد. این پاره خط به نقاط تقاطع آن با منحتی نمایش انرژی پتانسیل  $V(x)$  یعنی، بهناحیه حرکت کلاسیکی ذره باهمان انرژی محدود می‌شود. پاره خط ایده‌ای از گستردنگی بسط تابع موج بدست می‌دهد.

همان طوری که در فصل اول دیدیم، پدیده کوانتش انرژی یکی از عواملی بود که منجر به مرود مکانیک کوانتومی شد. این پدیده در دستگاههای فیزیکی بسیار زیادی ظاهر می‌شود: در ترازهای انرژی آنها (رک فصل هفتم، اتم هیدروژن)، نوسانگر هارمونیک (رک فصل پنجم)، هسته‌های اتمی و غیره.

### ۲- مقدار می‌نیم انرژی حالت پایه

در این بخش نشان خواهیم داد که انرژیهای  $E_1, E_2, \dots$  همگی از مقدار می‌نیم  $V_0$  - انرژی پتانسیل  $V(x)$  بزرگتراند. سپس خواهیم دید که چگونه این نتیجه می‌تواند با استفاده از رابطه عدم قطعیت هایزنبرگ به آسانی فهمیده شود. اگر  $\varphi(x)$  یک جواب معادله (۱) باشد، با ضرب کردن این معادله در  $\varphi^*(x)$  و انتگرال‌گیری از معادله به دست آمده، خواهیم یافت:

$$\begin{aligned} -\frac{\hbar^2}{2m} \int_{-\infty}^{+\infty} dx \varphi^*(x) \frac{d^2}{dx^2} \varphi(x) + \int_{-\infty}^{+\infty} dx V(x) |\varphi(x)|^2 \\ = E \int_{-\infty}^{+\infty} dx |\varphi(x)|^2 \end{aligned} \quad (9)$$

برای یک حالت مقید، می‌توان تابع  $\varphi(x)$  را بهنجار کرد، و در این صورت معادله (۹) می‌تواند به شکل زیر نوشته شود:

$$E = \langle T \rangle + \langle V \rangle \quad (10)$$

$$\langle T \rangle = -\frac{\hbar^2}{2m} \int_{-\infty}^{+\infty} dx \varphi^*(x) \frac{d^2}{dx^2} \varphi(x) = \frac{\hbar^2}{2m} \int_{-\infty}^{+\infty} dx \left| \frac{d}{dx} \varphi(x) \right|^2 \quad (11)$$

[که در آن از انتگرال به روش جزء به جزء و از این واقعیت که وقتی  $\rightarrow \infty$  میل کند  $\varphi(x)$  به سمت صفر میل می‌کند، و:]

$$\langle V \rangle = \int_{-\infty}^{+\infty} dx V(x) |\varphi(x)|^2 \quad (12)$$

استفاده کرده‌ایم [رابطه (۱۰)] نشان می‌دهد که  $E$  مجموع مقدار متوسط انرژی جنبشی:

$$\langle T \rangle = \langle \varphi | \frac{P^2}{2m} | \varphi \rangle \quad (13)$$

وانرژی پتانسیل:

$$\langle V \rangle = \langle \varphi | V(X) | \varphi \rangle \quad (14)$$

است. از روابط (۱۱) و (۱۲)، نتیجه می‌شود که:

$$\langle T \rangle > 0$$

$$\langle V \rangle \geq \int_{-\infty}^{+\infty} dx (-V_0) |\varphi(x)|^2 = -V_0 \quad (15)$$

در نتیجه:

$$E = \langle T \rangle + \langle V \rangle > \langle V \rangle \geq -V_0 \quad (16)$$

و انگهی، همانطوری که در بخش ۱ نشان دادیم،  $E$  منفی است، ملاحظه می‌کنیم که مانند مکانیک کلاسیک، انرژی‌های حالت مقید همواره بین  $V_0 - 0$  قرار دارند.

معذالک یک اختلاف مهم بین وضعیتهای کلاسیکی و کوانتومی وجود دارد: با وجودی که، در مکانیک کلاسیک، ذره می‌تواند انرژی‌ای برابر  $V_0$  - (مورد ذره در حال سکون در  $M_0$ ) یا کمی بزرگتر از  $V_0$  - (مورد نوسانات کوچک) داشته باشد، در مکانیک کوانتومی چنین نیست: پائین‌ترین انرژی ممکن، انرژی  $E_1$  حالت پایه است که لزوماً از  $V_0$  - بزرگتر است (رگ شکل ۳). همانطوری که در زیر نشان خواهیم داد، روابط عدم قطعیت هایزنبورگ ما را قادر می‌سازند تا منشاء فیزیکی این نتیجه را بفهمیم.

اگر سعی کنیم Hallتی از ذره را بسازیم که برای آن انرژی پتانسیل متوسط تا حد دلخواه کوچک باشد، از (۱۶) ملاحظه می‌کنیم که باید تابع موجی انتخاب کنیم که علاوه در نقطه  $M_0$  جایگزینه باشد. در اینصورت انحراف مربعی متوسط  $\Delta X$  بسیار کوچک، بنابراین،  $\Delta P$  "لزوماً" بسیار بزرگ است. چون:

$$\langle P^2 \rangle = (\Delta P)^2 + \langle P \rangle^2 \geq (\Delta P)^2 \quad (18)$$

انرژی جنبشی  $\langle P^2 \rangle / 2m = \langle P \rangle \langle T \rangle$  نیز بسیار بزرگ است. لذا، اگر انرژی پتانسیل

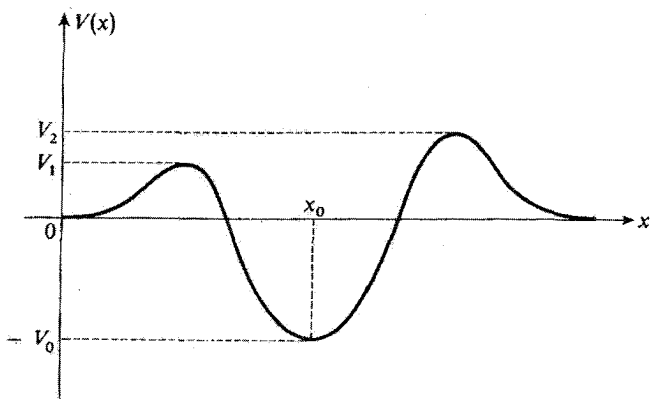
ذره به سمت می‌نیمیش میل کند، انرژی جنبشی آن بدون حد افزایش خواهد یافت. تابع موج حالت پایه متناظر با سازشی است که برای آن مجموع این دو انرژی می‌نیم باشد. بنابراین

حالت پایه، ذره کوانتومی توسط تابع موجی مشخص می‌شود که دارای مقداری گستردگی فضایی است (رک شکل ۳)، و انرژی آن "لزوماً" بزرگتر از  $V_0$  – ۱ است. برخلاف وضعیت مکانیک کلاسیک، حالت بالاتری کاملاً معینی در مکانیک کوانتومی وجود ندارد که در آن، ذره در ته‌چاه پتانسیل "در حال سکون" باشد.

### گوشزد:

چون انرژی حالت‌های مقید بین  $V_0$  – ۰ قرار دارد، یک‌چندین حالت‌هایی فقط وقتی می‌توانند وجود داشته باشند که پتانسیل  $V(x)$  در یک یا چند ناحیه از محور  $x$  ها منفی باشد. بهمین دلیل است که در این مکمل بک "چاه" پتانسیل نظیر آنچه که در شکل a – ۱ نشان داده شده است انتخاب کردۀ‌ایم (در حالیکه در مکمل بعدی، خود را بهمورد چاه پتانسیل محدود نخواهیم ساخت).

بنابراین هیچ مانع وجود ندارد که  $V(x)$  برای بعضی از مقادیر  $x$  مشبّت باشد، به عنوان مثال، "چاه" می‌تواند توسط "سد‌های" پتانسیل، مانند شکل ۴، احاطه شود (همواره فرض خواهیم کرد که پتانسیل در بین‌هایت، صفر است). در این مورد، بعضی از حرکت‌های کلاسیکی بالاتری مشبّت، مقید خواهد ماند، در صورتیکه در مکانیک کوانتومی، همان استدلال بالا نشان می‌دهد که حالت‌های مقید همواره دارای انرژی‌ای بین  $V_0$  – ۰ هستند. از نظر فیزیکی، این اختلاف از این واقعیت ناشی می‌شود که یک سد پتانسیل بالارتفاع محدود هرگز قادر نیست یک ذره کوانتومی را کاملاً برگرداند: همواره یک احتمال غیرصفری وجود دارد که ذره توسط پدیده تونل از سد عبور کند.



شکل ۴.

چاه پتانسیل با عمق  $V_0$  - که بین دوسد پتانسیل بهارتفاق  $V_1$  و  $V_2$  قرار دارد (فرض کنید، به عنوان مثال،  $V_2 \leq V_1 \leq V_0$ ) . از نظر کلاسیکی، حرکت‌هایی برای ذره وجود دارد که انرژی آنها بین  $V_0$  و  $V_1$  است و بین دوسد محبوس می‌مانند. در مکانیک کوانتومی، ذره‌ای که انرژی آن بین  $0$  و  $V_1$  است می‌تواند توسط پدیده تونل از سد عبور کند، درنتیجه حالت‌های ممکن همواره انرژیهایی بین  $V_0$  و  $0$  دارند.

#### مراجع و پیشنهادات برای مطالعه بیشتر:

Feynman III (1.2), §16-6; Messiah (1.17), chap. III, §II; Ayant and Belorizky (1.10), chap. IV, §§1, 2, 3; Schiff (1.18), §8.

## حالتهای نامقید یک ذره در حضور یک چاه یا سد پتانسیل با شکل دلخواه

۱ - ماتریس عبور  $M(k)$

۲ - تعریف  $a$

۳ - خواص  $M(k)$

۴ - ضرائب بازتاب و عبور

۵ - مثال

در مکمل M<sub>III</sub>، نشان دادیم که انرژی حالتهای مقید یک ذره واقع در پتانسیل  $V(x)$  منفی است.\* و فقط وقتی وجود دارند که  $V(x) < 0$  یک پتانسیل جاذبه باشد (یک چاه پتانسیل که حرکت مقید کلاسیکی را ممکن سازد). در آنجا مجبور شدیم مقادیر مثبت انرژی را رد کنیم زیرا این مقادیر بمویزه تابعهای  $\psi_k(x)$  ای برای هامیلتونی  $H$  منجر می‌شوند که رفتارشان در بینهایت مانند برهم نهشای توابع نمایی  $e^{\pm ikx}$  می‌شده "مجذوراً" انتگرال پذیر نیستند. با این وجود، در فصل اول دیدیم که با ترکیب خطی یک چنین توابعی می‌توان تابع موجهای (بسته موجهای) مانند  $\psi_k(x)$  ساخت که مجذوراً انتگرال پذیر باشد، و ازین رو بتوانند معرف حالت فیزیکی یک ذره باشد. واضح است که، چون حالتهایی که بدین ترتیب به دست آمده‌اند شامل چندین مقدار  $k$  (یعنی، چندین مقدار انرژی) هستند دیگر حالتهای مانایی نخواهد بود، بنابراین تابع موج  $\psi_k(x)$  بازمان تحول می‌یابد، منتشر می‌شود و تغییر شکل پیدا می‌کند، اما، با درنظر گرفتن اینکه  $\psi_k(x)$  بر حسب ویژه تابعهای  $\psi_k(x)$  بسط داده شده است، می‌توانیم این تحول را بطور بسیار ساده‌ای محاسبه کنیم [ همانطوری که، به عنوان مثال، در مکمل I، انجام دادیم واز خواص  $\psi_k(x)$  برای محاسبه ضرائب عبور و بازتاب یک سد پتانسیل، تأخیر در اثر انعکاس و غیره استفاده کردیم ]. بداین دلیل، علی‌رغم اینکه هر یک از  $\psi_k(x)$  ها نمی‌توانند به تنها یک حالت فیزیکی باشند، مفید است که مویزه تابعهای انرژیهای مثبت  $H$  را، مانند مکمل  $H_1$ ، برای چند پتانسیل مربعی مورد مطالعه

\* یادآوری می‌کنیم که مبدأ انرژی را طوری انتخاب می‌کنیم که  $V(x) > 0$  در بینهایت صفر شود.

قرار دهیم\*.

در این مکمل می‌خواهیم، به طریقی عام (در عین حالی که خود را به مسائل یک بعدی محدود می‌کنیم) اثر یک پتانسیل  $V(x)$  روی ویژه تابعهای  $\varphi_k(x)$  متناظر بالترزیهای مثبت را برسی کنیم. هیچ فرضی درباره شکل  $V(x)$ ، که ممکن است شامل یک یا چند عدد، چاه وغیره باشد، نخواهیم کرد، بجزاینکه در خارج یک بازهٔ محدود  $[x_1, x_2]$  از محور  $x$  هاضم شود. نشان خواهیم داد که در تمام موارد، اثر  $V(x)$  روی توابع  $\varphi_k(x)$  می‌تواند توسط یک ماتریس  $M(k)$ ، که دارای چند خاصیت عمومی است، توصیف شود. بدین ترتیب نتایج گوناگونی مستقل از شکل پتانسیل  $V(x)$  به دست خواهیم آورد. به عنوان مثال، خواهیم دید که ضرائب عبور و بازناب از یک سد (متقارن یا نامتقارن) برای ذره‌ای که از چپ می‌آید و برای ذره‌ای که با همان انرژی از راست می‌آید یکسان است. فایده دیگر این مکمل  $N_{III}$  استفاده از آن به عنوان سرآغازی برای محاسبات مکمل  $O_{III}$  است، که در آن خواص یک ذره در یک پتانسیل تناوبی  $V(x)$  را مطالعه خواهیم کرد.

### ۱- ماتریس عبور $M(k)$

#### a- تعریف $M(k)$

در یک مساله یک بعدی، یک پتانسیل  $V(x)$  در نظر گیرید که در خارج بازهٔ  $[x_1, x_2]$  صفر است ولی در داخل این بازه به طور دلخواهی تغییر می‌کند (شکل ۱). مبداء  $x$  را در وسط بازهٔ  $[x_1, x_2]$  انتخاب می‌کنیم تا  $V(x)$  فقط به بازه  $(1/2, 1/2 + |x|)$  تغییر کند. معادله‌ای که هر تابع موج  $\varphi(x)$  وابسته به یک حالت مانا بالترزی  $E$  در آن صدق می‌کند عبارت است از:

$$\left\{ \frac{d^2}{dx^2} + \frac{2m}{\hbar^2} [E - V(x)] \right\} \varphi(x) = 0 \quad (1)$$

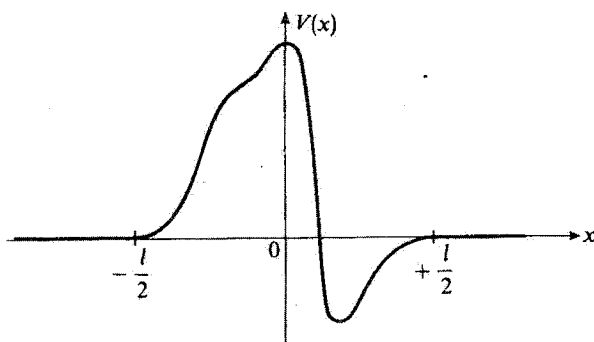
---

\* هم چنین می‌توانستیم به فکر مطالعه ویژه تابعهایی از  $H$  که مجدوراً "انتگرال پذیر نیستند" و انرژی آنها منفی است (آنها بیش از  $E$  است) بپردازیم. این تابعهایی می‌توانند مطالعه ویژه تابعهایی از  $H$  که مجدوراً "انتگرال پذیر نباشند".

در بقیه این مکمل، برای مشخص کردن انرژی، فراسنج  $k$  را به صورت:

$$k = \sqrt{\frac{2mE}{\hbar^2}} \quad (2)$$

انتخاب خواهیم کرد.



شکل ۱

پتانسیل  $V(x)$  در داخل بازه  $-l/2 \leq x \leq l/2$  - بطور دلخواه تغییر می‌کند و در خارج این بازه صفر است.

در ناحیه  $x < -\frac{l}{2}$  ، تابع  $e^{ikx}$  در معادله (1) صدق می‌کند، جواب این معادله را که بازه  $-\frac{l}{2} < x$  برابر  $e^{ikx}$  است به  $v_k(x)$  نشان می‌دهیم. وقتی  $x > +\frac{l}{2}$  باشد، "لزوماً" یک ترکیب خطی از دو جواب مستقل  $e^{ikx}$  و  $e^{-ikx}$  معادله (1) است. بنابراین داریم:

$$\begin{cases} v_k(x) = e^{ikx} & : x < -\frac{l}{2} \\ v_k(x) = F(k) e^{ikx} + G(k) e^{-ikx} & : x > +\frac{l}{2} \end{cases} \quad (3-a) \quad (3-b)$$

که در آن  $F(k)$  و  $G(k)$  ضرایبی هستند که هم به  $k$  و هم به شکل پتانسیل مورد نظر بستگی دارند. بطور مشابه می‌توانیم جوابی مانند  $v'_k(x)$  وارد کنیم که برای  $-l/2 < x$  برابر با  $e^{-ikx}$  باشد:

$$\begin{cases} v'_k(x) = e^{-ikx} & : x < -\frac{l}{2} \\ v'_k(x) = F'(k) e^{ikx} + G'(k) e^{-ikx} & : x > +\frac{l}{2} \end{cases} \quad (4-a) \quad (4-b)$$

عمومی ترین جواب  $\varphi_k(x)$  (معادله ۱) (مرتبه دوم نسبت به  $x$ ) برای یک مقدار معین  $E$  (یعنی بک، مقدار معین  $k$ )، ترکیبی خطی از  $v_k$  و  $v'_k$  است:

$$\varphi_k(x) = A v_k(x) + A' v'_k(x) \quad (5)$$

روابط (۳-a) و (۴-a) می‌رسانند که:

$$\varphi_k(x) = A e^{ikx} + A' e^{-ikx} \quad : x < -\frac{l}{2} \quad \text{برای } (6-a)$$

در حالی که روابط (۳-b) و (۴-b) می‌دهند:

$$\varphi_k(x) = \tilde{A} e^{ikx} + \tilde{A}' e^{-ikx} \quad : x > +\frac{l}{2} \quad \text{برای } (6-b)$$

که در آن:

$$\begin{aligned} \tilde{A} &= F(k) A + F'(k) A' \\ \tilde{A}' &= G(k) A + G'(k) A' \end{aligned} \quad (7)$$

بنا به تعریف، ماتریس  $M(k)$  یک ماتریس  $2 \times 2$  به صورت:

$$M(k) = \begin{pmatrix} F(k) & F'(k) \\ G(k) & G'(k) \end{pmatrix} \quad (8)$$

است که به کمک آن می‌توان روابط (۷) را به صورت ماتریسی:

$$\begin{pmatrix} \tilde{A} \\ \tilde{A}' \end{pmatrix} = M(k) \begin{pmatrix} A \\ A' \end{pmatrix} \quad (9)$$

نوشت. بنابراین  $M(k)$  بهما امکان می‌دهد تا، با داشتن رفتار (a-۶) تابع موج دوطرف چپ پتانسیل، رفتار (b-۶) آن در طرف راست پتانسیل، را تعیین کنیم.  $M(k)$  را "ماتریس عبور" پتانسیل می‌نامیم.

گوشزد:

جريان وابسته به یک تابع موج  $\varphi(x)$  عبارت است از:

$$J(x) = \frac{\hbar}{2mi} \left[ \varphi^*(x) \frac{d\varphi}{dx} - \varphi(x) \frac{d\varphi^*}{dx} \right] \quad (10)$$

با مشتق‌گیری، داریم:

$$\frac{d}{dx} J(x) = \frac{\hbar}{2mi} \left[ \varphi^*(x) \frac{d^2\varphi}{dx^2} - \varphi(x) \frac{d^2\varphi^*}{dx^2} \right] \quad (11)$$

با در نظر گرفتن (۱)، به دست می‌آوریم:

$$\frac{d}{dx} J(x) = 0 \quad (12)$$

بنابراین، جریان  $(x)$  را وابسته به یک حالت مانا در تمام نقاط محور  $x$  ها یکسان است، توجه کنید که (۱۲) مشابه یک بعدی رابطه:

$$\operatorname{div} \mathbf{J}(\mathbf{r}) = 0 \quad (13)$$

است، که برطبق رابطه (۱۱ - D) از فصل سوم، برای هر حالت مانا ذرۀ‌ای که در فضای سه‌بعدی حرکت می‌کند، معتبر است. بنابراین، برطبق (۱۲)، جریان  $J_k(x)$  وابسته به  $\varphi(x)$  را می‌توان چهار‌انتخاب (۳-a) و چه بانتحاب (۳-b) برای  $\varphi_k(x)$  برای هر  $x$  غیرمشخصی محاسبه کرد:

$$J_k(x) = \frac{\hbar k}{m} [ |A|^2 - |A'|^2 ] = \frac{\hbar k}{m} [ |\tilde{A}|^2 - |\tilde{A}'|^2 ] \quad (14)$$

## ۶ - خواص

$x$  با استفاده از این واقعیت که تابع  $\varphi(x)$  حقیقی است، به آسانی می‌توان نشان داد که اگر  $\varphi(x)$  جواب معادله (۱) باشد،  $\varphi^*(x)$  نیز جواب آن خواهد بود. حال تابع  $v_k^*(x)$  را که جواب (۱) است در نظر بگیرید، مقایسه (۳-a) و (۳-b) نشان می‌دهد که وقتی  $-\frac{1}{2} < x <$  باشد، این تابع با  $v_k'(x)$  یکسان است. از این رو برای تمام  $x$  ها داریم:

$$v_k^*(x) = v_k'(x) \quad (15)$$

با بردن تساویهای (۳-b) و (۳-a) در این رابطه، به دست می‌آوریم:

$$F^*(k) = G'(k) \quad (16)$$

$$G^*(k) = F'(k) \quad (17)$$

در نتیجه ماتریس  $M(k)$  را می‌توان به شکل ساده شده زیر نوشت:

$$M(k) = \begin{pmatrix} F(k) & G^*(k) \\ G(k) & F^*(k) \end{pmatrix} \quad (18)$$

$\beta$  در بالا دیدیم که [رک (۱۲)] جریان احتمال  $(x)$  برای یک حالت مانا به  $x$  بستگی ندارد، از این‌رو باید داشته باشیم [رک (۱۴)] :

$$|A|^2 - |A'|^2 = |\tilde{A}|^2 - |\tilde{A}'|^2 \quad (19)$$

روابط (۹) و (۱۸) می‌دهند:

$$\begin{aligned} |\tilde{A}|^2 - |\tilde{A}'|^2 &= [F(k)A + G^*(k)A'][F^*(k)A^* + G(k)A'^*] \\ &\quad - [G(k)A + F^*(k)A'][G^*(k)A^* + F(k)A'^*] \quad (20) \\ &= [|F(k)|^2 - |G(k)|^2][|A|^2 - |A'|^2] \end{aligned}$$

بنابراین شرط (۱۹) معادل است با:

$$|F(k)|^2 - |G(k)|^2 = \text{Det } M(k) = 1 \quad (21)$$

### گوشزده:

(i) هیچ فرض خاصی در بارهٔ شکل پتانسیل نکردیم. اگر پتانسیل زوج، یعنی، اگر  $V(x) = V(-x)$  باشد، ماتریس  $M(k)$  یک خاصیت دیگر نیز دارد: می‌توان نشان داد که  $G(k)$  موهومی خاص است.

(ii) روابط (۶) نشان می‌دهند که  $A$  و  $A'$  ضرائب امواج تخت "وروودی"، یعنی، امواج وابسته به ذراتی که به ترتیب از  $-\infty$  و  $x = +\infty$  به سمت منطقه تفوذ پتانسیل حرکت می‌کنند (ذرات فروودی) هستند، از طرف دیگر  $\tilde{A}$  و  $\tilde{A}'$  ضرائب متاظری امواج "خروجی" وابسته به ذراتی که از پتانسیل دور می‌شوند (ذرات عبور کرده یا منعکس شده می‌باشد). مفید است که ماتریس  $S$  را، که هما امکان می‌دهد تادامنهٔ امواج خروجی را بر حسب دامنهٔ امواج وروودی محاسبه کنیم، وارد کیم.

$$\begin{pmatrix} \tilde{A} \\ A' \end{pmatrix} = S(k) \begin{pmatrix} A \\ \tilde{A}' \end{pmatrix} \quad (22)$$

همانطوری که الان نشان می‌دهیم،  $S(k)$  می‌تواند به‌آسانی بر حسب عناصر ماتریس  $M(k)$  بیان شود. از روابط:

$$\tilde{A} = F(k) A + G^*(k) A' \quad (23-a)$$

$$\tilde{A}' = G(k) A + F^*(k) A' \quad (23-b)$$

نتیجه می‌شود:

$$A' = \frac{1}{F^*(k)} [\tilde{A}' - G(k)A] \quad (24)$$

با جایگزین کردن این رابطه در (23-a)، به دست می‌آید:

$$\tilde{A} = \frac{1}{F^*(k)} [(F(k)F^*(k) - G(k)G^*(k))A + G^*(k)\tilde{A}'] \quad (25)$$

سپس با در نظر گرفتن (21)، می‌توانیم ماتریس  $S(k)$  را به صورت زیر بنویسیم:

$$S(k) = \frac{1}{F^*(k)} \begin{pmatrix} 1 & G^*(k) \\ -G(k) & 1 \end{pmatrix} \quad (26)$$

به‌آسانی می‌توان، با استفاده مجدد از (21)، ثابت کرد که:

$$S(k) S^\dagger(k) = S^\dagger(k) S(k) = 1 \quad (27)$$

بنابراین  $S(k)$  یکانی است. این ماتریس در تئوری برخورد نقش مهمی ایفا می‌کند، می‌توانستیم یکانی بودن آن را از یکانی بودن عملگر تحول (رک مکمل  $F_{III}$ )، که بیانگر پایستگی احتمال کل یافتن ذره در جایی روی محور  $x$  ها نسبت به زمان است (هنچار تابع موج)، ثابت کنیم.

### ۳- ضرائب عبور و بازنتاب

برای محاسبه ضرائب بازنتاب و عبور برای ذره‌ای که با پتانسیل  $V(x)$  مواجه می‌شود، باید (مانند مکمل  $J_1$ ) با همان ویژه تابعهای  $H$  که در بالا مطالعه کردیم، یک بسته موج ساخت. به عنوان مثال، یک ذره فروضی بالتری  $E$  که از چپ می‌آید در نظر بگیرید. بسته موج متناظر از برهمنهش توابع  $\varphi_k(x)$ ، که برای آنها قواردادهای  $\tilde{A}' = 0$ ، با ضرائبی که توسط یک تابع  $g(k)$  که در نزدیکی  $k = k_i = \sqrt{2mE_i/\hbar^2}$  دارای قله برجسته‌ای است، داده می‌شوند،

به دست می‌آید. در اینجا وارد جزئیات محاسبات نخواهیم شد، این محاسبات از هر نظر مشابه محاسبات مکمل<sub>i</sub> هستند. این محاسبات نشان می‌دهد که ضرائب بازتاب و عبور، به ترتیب برابرند با  $|\tilde{A}(k_i)/A(k_i)|^2$  و  $|A'(k_i)/A(k_i)|^2$  و چون  $\tilde{A}' = 0$  است، روابط (۲۶) و (۲۷) می‌دهند:

$$\begin{aligned}\tilde{A}(k) &= \frac{1}{F^*(k)} A(k) \\ A'(k) &= -\frac{G(k)}{F^*(k)} A(k)\end{aligned}\quad (۲۸)$$

بنابراین، ضرائب بازتاب و عبور برابرند با:

$$R_1(k_i) = \left| \frac{A'(k_i)}{A(k_i)} \right|^2 = \left| \frac{G(k_i)}{F(k_i)} \right|^2 \quad (۲۹-a)$$

$$T_1(k_i) = \left| \frac{\tilde{A}(k_i)}{A(k_i)} \right|^2 = \frac{1}{|F(k_i)|^2} \quad (۲۹-b)$$

[ به آسانی می‌توان ثابت کرد که شرط (۲۱) تضمین می‌کند که  $R_1(k_i) + T_1(k_i) = 1$  حال اگر ذره‌ای را در نظر بگیریم که از راست می‌آید، باید قرار دهیم  $A = 0$ ، که در آن صورت خواهیم داشت:

$$\begin{aligned}\tilde{A}(k) &= \frac{G^*(k)}{F^*(k)} A'(k) \\ A'(k) &= \frac{1}{F^*(k)} \tilde{A}'(k)\end{aligned}\quad (۳۰)$$

ضرائب عبور و بازتاب، این‌بار، برابرند با:

$$T_2(k) = \left| \frac{A'(k)}{\tilde{A}'(k)} \right|^2 = \frac{1}{|F(k)|^2} \quad (۳۱-a)$$

$$R_2(k) = \left| \frac{\tilde{A}(k)}{A'(k)} \right|^2 = \left| \frac{G(k)}{F(k)} \right|^2 \quad (۳۱-b)$$

مقایسه (۲۹) و (۳۱) نشان می‌دهد که  $R_1(k) = R_2(k)$  و  $T_1(k) = T_2(k)$ : بنابراین شفافیت سد (متقارن یا نامتقارن) همواره برای ذراتی که از راست می‌آیند و برای آنهایی که از چپ می‌آیند یکسان است.

$$|F(k)| \geq 1 \quad (۳۲)$$

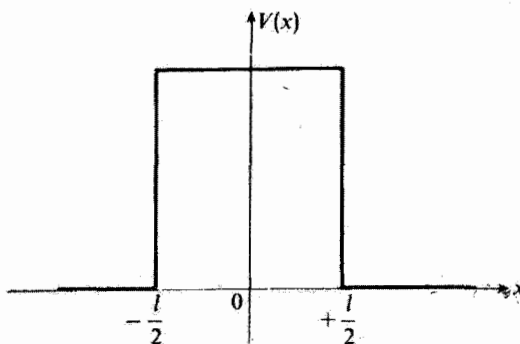
وقتی تساوی برقرار باشد، ضریب بازنایاب صفر و ضریب عبور برابر ۱ است (تشدید) . از طرف دیگر، وضعیت معکوس ممکن نیست: چون  $|F(k)| > |G(k)|$  ، هرگز نمی‌توانیم داشته باشیم:  $R = 0$  [مگر در مورد حدی که  $|F(k)| < |G(k)|$  بسطور همزمان به سمت بینهایت میل کنند] .

## ۳ - مثال

حال به پتانسیلهای مربعی بخش ۲-۲ از مکمل  $H_1$  برمی‌گردیم: در ناحیه  $-\frac{l}{2} < x < \frac{l}{2}$   $V(x)$  برابر است با مقدار ثابت  $V_0$ \* (شکل ۲ را، که در آن  $V_0$  مشبت انتخاب شده است، ببینید).

ابتدا فرض کنید  $E$  کوچکتر از  $V_0$  است و قرار دهید:

$$\rho = \sqrt{\frac{2m}{\hbar^2} (V_0 - E)}$$
 (۳۳)



شکل ۲ . . . مید-پتانسیل مربعی

\* در واقع در اینجا سدی را در نظر گرفته‌ایم که نسبت به سد مکمل  $H_1$  جایجا شده است، زیرا فرض می‌کنیم که این سد بجای اینکه بین  $x = 0$  و  $x = l$  باشد، بین  $x = -l/2$  و  $x = +l/2$  قرار دارد.

یک محاسبه مقدماتی مشابه با محاسبات مکمل  $H_1$  می‌دهد:

$$M(k) = \begin{pmatrix} \left[ \cosh \rho l + i \frac{k^2 - \rho^2}{2k\rho} \sinh \rho l \right] e^{-ikl} & -i \frac{k_0^2}{2k\rho} \sinh \rho l \\ i \frac{k_0^2}{2k\rho} \sinh \rho l & \left[ \cosh \rho l - i \frac{k^2 - \rho^2}{2k\rho} \sinh \rho l \right] e^{ikl} \end{pmatrix} \quad (34)$$

با:

$$k_0 = \sqrt{\frac{2mV_0}{\hbar^2}} \quad (35)$$

(دراینجا  $V_0$  لزوماً مثبت است، زیرا فرض کرده‌ایم  $E < V_0$ ). حال اگر فرض کنیم  $E > V_0$ ، و قرار دهیم:

$$k' = \sqrt{\frac{2m}{\hbar^2}(E - V_0)} \quad (36)$$

و:

$$k_0 = \sqrt{c \frac{2mV_0}{\hbar^2}} \quad (37)$$

(که در آن  $c = +1$  و  $V_0 < 0$  اگر  $E = 0$  و  $V_0 > 0$  بنا بر این به دست می‌آوریم):

$$M(k) = \begin{pmatrix} \left[ \cos k'l + i \frac{k^2 + k'^2}{2kk'} \sin k'l \right] e^{-ikl} & -ic \frac{k_0^2}{2kk'} \sin k'l \\ ic \frac{k_0^2}{2kk'} \sin k'l & \left[ \cos k'l - i \frac{k^2 + k'^2}{2kk'} \sin k'l \right] e^{ikl} \end{pmatrix} \quad (38)$$

به سادگی می‌توان روابط (۳۶)، (۳۷) و (۳۸) را لغزش‌نمودنی‌های  $M(k)$  که در (۳۴) و (۳۵) داده شده‌اند، ثابت کرد.

مراجع و پیشنهادات برای مطالعه بیشتر:

مکمل O<sub>III</sub>

### خواص کوانتومی یک ذره در یک سیاختر تناوبی یک بعدی

۱ - عبور از چند سد پتانسیل یکسان متوالی

a - نمادگذاری

b - شرایط اتصال

c - ماتریس تقریب زنجیره‌ای  $Q(x)$

d - ویژه مقدارهای  $Q(x)$

۲ - بحث فیزیکی: مفهوم نوار انرژی مجاز یا منوع

a - رفتار تابع موج  $\psi(x)$

b - بازتاب برآگ، انرژی‌های ممکن یک ذره در یک پتانسیل تناوبی

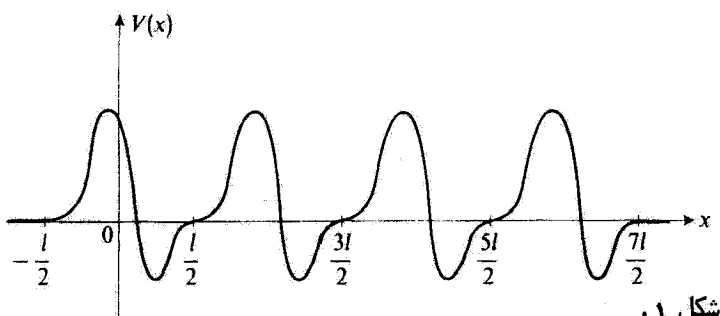
۳ - کوانتش ترازهای انرژی در یک پتانسیل تناوبی، اثر شرایط مرزی

a - شرایط تحمیل شده به تابع موج

b - نوارهای انرژی مجاز: حالت‌های مatanی ذره در داخل شبکه

c - نوارهای منوع: حالت‌های مatanی جایگزیده روی لبه‌ها

در این مکمل می‌خواهیم خواص کوانتومی ذره‌ای را که در یک پتانسیل  $V(x)$  با ساختار تناوبی قرار دارد، بررسی کنیم. توابع  $V(x)$  ای که در نظر خواهیم گرفت لزوماً به معنی دقیقی کلمه تناوبی نیستند، کافی است که ناحیه محدودی از محور  $x$  ها به‌شکل یک تابع تناوبی باشند (شکل ۱)، یعنی، یک‌شکل در یک بازه را به‌طور منظم  $N$  بار پهلوی هم‌قرار داده باشند [ فقط در حد  $\infty \rightarrow N$  است که  $V(x)$  واقعاً "تناوبی" است ] .



شکل ۱.

پتانسیل  $V(x)$  که دارای یک ساختار تناوبی است، از  $N$  بار پهلوی هم قراردادن یک شکل به‌دست آمده است (درین شکل ۴ =  $N = 4$  است).

بهیک چنین ساختارهایی، به عنوان مثال، در بررسی یک ملکول خطی که از  $N$  اتم (یا گروه اتمهای) یکسان که بفواصل مساوی از یکدیگر قرار دارند، تشکیل شده است، بخورد می‌کنیم. هم‌جنین در فیزیک حالت جامد، وقتی که برای فهم موقعیت ترازهای انرژی یک الکترون در یک بلور، یک مدل یکبعدی انتخاب می‌کنیم با چنین پتانسیلهای مواجه می‌شویم. اگر  $N$  بسیار بزرگ باشد (مورد یک‌ماکرون‌ملکول خطی یا بلور ماکروسکوپیکی)، پتانسیل  $V(x)$ ، در ناحیه وسیعی از فضای تابع تناوبی داده می‌شود، و می‌توان انتظار داشت که خواص ذره عمللاً طوری باشد که گونه  $V(x)$  "واقعاً" تناوبی است. ولی، از نقطه نظر فیزیکی، حدی که  $N$  بینهایت باشد هرگز حاصل نمی‌شود، و مادراینجا بهموردی می‌پردازیم که در آن  $N$  دلخواه باشد.

برای مطالعه اثر پتانسیل  $V$  روی یک ویژه تابع  $\psi(x)$  تعلق به‌ها می‌لتوانی  $H$  با ویژه مقدار  $E$ ، یک ماتریس  $2 \times 2$ ، ماتریس تقریب زنجیره‌ای  $Q$ ، که به  $E$  بستگی دارد، وارد خواهیم کرد. نشان خواهیم داد که رفتار  $\psi(x)$ ، بسته به‌اینکه ویژه‌مقدارهای ماتریس تقریب زنجیره‌ای حقیقی یا موهومی باشد، کاملاً فرق می‌کند. چون این ویژه‌مقدارها به‌اتری انتخاب شده  $E$  بستگی دارند، مفید است که بین محدوده‌های از اتری که متناظرند با ویژه‌مقدارهای حقیقی و آنهایی که منجر به‌ویژه‌مقدارهای موهومی می‌شوند فرق بگذاریم. بدین ترتیب است که مفهوم نوار اتری مجاز یا نوار اتری منسوج وارد خواهد شد.

### گوشزدها:

(i) برای سهولت، به نمونه‌ای که با  $N$  بار تکرار پتانسیل  $V(x)$  را می‌دهد (شکل ۱)، نام "سدپتانسیل" را خواهیم گذاشت. لیکن، این نمونه می‌تواند یک "چاه‌پتانسیل" نیز باشد یا می‌تواند هر شکل دلخواه دیگری نیز داشته باشد.

(ii) برخلاف قراردادی که تاکنون داشتیم، معمولاً در فیزیک حالت جامد، حرف  $k$  را برای تعیین فراسنجی که در عبارتهای تابع موجهی مانا وارد می‌شود و دیگر متناسب با ریشه دوم اتری نیست، به کار می‌برند. برای هماهنگی با این کاربرد، از این‌بعد ازتمادگذاری‌ای که قدری با اتمادگذاری مکمل  $N_{III}$  متفاوت است استفاده خواهیم کرد، به جای  $k$  از  $\alpha$  استفاده می‌کنیم:

$$\alpha = \sqrt{\frac{2mE}{\hbar^2}} \quad (1)$$

و تا بعد از حرف  $k$  استفاده نخواهیم کرد (خواهیم دید که  $k$  مستقیماً "با ویژه مقدارهای ماتریس  $Q$ "، وقتی که مختلط آند، مرتبط است).

### ۱ - عبور از چند سد پتانسیل یکسان متواالی

یک پتانسیل  $V(x)$ ، مانند شکل ۱، که از پهلوی هم قراردادن  $N$  سد تشکیل شده است در نظر بگیرید: اولین سد در اطراف  $x = 0$ ، دومین در  $x = l$ ، سومین در  $2l$  و بالآخره آخرین سد در اطراف  $x = (N-1)l$  متغیر شده‌اند. می‌خواهیم رفتار یک ویژه تابع  $\varphi_a(x)$ ، جواب معادله ویره‌مقداری  $H$ :

$$\left\{ \frac{d^2}{dx^2} + \frac{2m}{\hbar^2} [E - V(x)] \right\} \varphi_a(x) = 0 \quad (2)$$

را، که در آن  $E$  و  $a$  توسط (۱) بهم مربوط می‌شوند، در حین عبور از این مجموعه سدها بررسی کنیم.

### ۲ - نمادگذاری

در طرف چپ این  $N$  سد، یعنی، برای  $x \leq -\frac{l}{2}$   $V(x) = 0$  صفر است، و جواب عمومی معادله (۲) عبارتست از:

$$\varphi_a(x) = A_0 e^{ixx} + A'_0 e^{-ixx} \quad : x \leq -\frac{l}{2} \quad (3-a)$$

مانند بخش a-۱ از مکمل  $N_{III}$ ، دو تابع  $v_a(x)$  و  $v'_a(x)$  را که در اینجا به صورت  $v_a(x)$  و  $v'_a(x)$  در می‌آیند، در نظر بگیرید. در ناحیه اولین سد، که در  $x = 0$  متغیر کرایست، جواب عمومی معادله (۲) به صورت زیر نوشته می‌شود:

$$\varphi_a(x) = A_1 v_a(x) + A'_1 v'_a(x) \quad : -\frac{l}{2} \leq x \leq \frac{l}{2} \quad (3-b)$$

همین‌طور در ناحیه سد دوم، به مرکز  $x = l$ ، داریم:

$$\varphi_a(x) = A_2 v_a(x-l) + A'_2 v'_a(x-l) : \frac{l}{2} \leq x \leq \frac{3l}{2} \quad (3-c)$$

و بهطور کلی در ناحیه سد  $n$  ام، به مرکز  $(n-1)l$

$$\text{برای } \frac{l}{2} \leq x \leq (n-1)l + \frac{l}{2}$$

$$\varphi_a(x) = A_n v_a[x - (n-1)l] + A'_n v'_a[x - (n-1)l] \quad (3-d)$$

بالاخره درست راست این  $N$  سد، یعنی، برای  $x \geq (N-1)l + \frac{l}{2}$ ، مجدداً  $V(x)$  برابر صفر می‌شود، و داریم:

$$\varphi_a(x) = C_0 e^{ia[x-(N-1)l]} + C'_0 e^{-ia[x-(N-1)l]} : x \geq (N-1)l + \frac{l}{2} \quad (3-e)$$

اکنون باید این عبارتهای مختلف  $\varphi_a(x)$  را در  $\frac{l}{2}, (N-1)l + \frac{l}{2}$  و  $(N-1)l + \frac{3l}{2}$  بهم وصل کنیم، این کاری است که در بخش بعدی انجام خواهیم داد.

#### ۶ - شرایط اتصال:

تابع  $v_a$  و  $v'_a$  به شکل پتانسیل انتخاب شده بستگی دارند. لیکن، نشان خواهیم داد که، محاسبه آنها و همینطور مشتقهای آنها در دولبه هرسد، با استفاده از نتایج مکمل  $N_{III}$ ، کارآسانی است.

برای این منظور فرض کنید که همه سدها بجز یکی، به عنوان مثال، سد  $n$  ام، به مرکز  $(n-1)l$  بوداشته شده باشند. در این صورت جواب (3-d)، که همواره در داخل این سد معتبر است، باید به وسیله برهمنهش امواج تختی که از جایگزین کردن  $x$  توسط  $x - (n-1)l$  و  $k$  توسط  $a$  و با افزودن یک نمار  $n$  به  $\tilde{A}'_n, \tilde{A}_n, A'_n, A_n$  در فرمولهای (6-a) و (6-b) از مکمل  $N_{III}$  بدست می‌آیند، به راست و به چپ گسترش داده شود.

بدین ترتیب، اگر سد  $n$  ام تنها باقی مانده باشد، داریم :

$$A_n e^{iz[x-(n-1)l]} + A'_n e^{-iz[x-(n-1)l]} : x \leq (n-1)l - \frac{l}{2} \quad (4)$$

$$\tilde{A}_n e^{iz[x-(n-1)l]} + \tilde{A}'_n e^{-iz[x-(n-1)l]} : x \geq (n-1)l + \frac{l}{2} \quad (5)$$

با :

$$\begin{pmatrix} \tilde{A}_n \\ \tilde{A}'_n \end{pmatrix} = M(a) \begin{pmatrix} A_n \\ A'_n \end{pmatrix} \quad (6)$$

که، با درنظر گرفتن تغییر در نمادگذاری،  $M(x)$  همان ماتریس  $M(k)$  وارد شده در مکمل

$N_{III}$  است. درنتیجه، در لبه چپ سد  $n$  ام، تابع  $\varphi_2$  تعریف شده در (۳-۴)، دارای همان مقدار و همان مشتق برهم نهش امواج تخت (۴) است. همینطور، در لبه راست این سد، دارای همان مقدار و همان مشتق (۵) است. بهمکان این نتایج می‌توان به آسانی شرایط اتصال در ساختار تنایوی را نوشت.

سابراین، در لبه چپ اولین سد (یعنی، در  $x = -l/2$ )، کافی است توجه کنیم که (۳-۴) دارای همان مقدار و همان مشتق  $A_1 e^{ixx} + A'_1 e^{-ixx}$  است، که از آن بلافاصله نتیجه می‌شود:

$$\begin{cases} A_0 = A_1 \\ A'_0 = A'_1 \end{cases} \quad (7)$$

(نتیجه‌ای که از مکمل  $N_{III}$  معلوم بود).

در لبه راست اولین سد، که همان لبه چپ دومین سد است، باید  $A_2 e^{i(x-l)} + A'_2 e^{-i(x-l)}$  و  $\tilde{A}_1 e^{ixx} + \tilde{A}'_1 e^{-ixx}$  دارای یک مقدار و یک مشتق باشند، که از آنجا نتیجه می‌شود:

$$\begin{cases} A_2 = \tilde{A}_1 e^{ixl} \\ A'_2 = \tilde{A}'_1 e^{-ixl} \end{cases} \quad (8)$$

بطور مشابه، در محل اتصال سدهای  $n$  ام و  $(n+1)$  ام  $\left(x = nl - \frac{l}{2}\right)$ ، با مساوی قراردادن مقدار و مشتق تابع (۵) با مقدار و مشتق عبارتی که از جایگزین کردن  $n$  توسط  $n+1$  در (۴) به دست می‌آید، داریم:

$$\begin{cases} A_{n+1} = \tilde{A}_n e^{ixl} \\ A'_{n+1} = \tilde{A}'_n e^{-ixl} \end{cases} \quad (9)$$

بالاخره، در لبه راست آخرین سد  $\left(x = (N-1)l + \frac{l}{2}\right)$ ، با مید (۳-۵) و عبارتی که از جایگزین کردن  $n$  توسط  $N$  در (۵) به دست می‌آید، دارای مقادیر و مشتقهای مساوی باشند که از آن نتیجه می‌شود.

$$\begin{cases} C_0 = \tilde{A}_N \\ C'_0 = \tilde{A}'_N \end{cases} \quad (10)$$

c - ماتریس تقریب زنجیره‌ای  $D(\alpha)$ 

ماتریس  $D(\alpha)$  را که به صورت زیر تعریف می‌شود وارد کنیم:

$$D(\alpha) = \begin{pmatrix} e^{i\alpha l} & 0 \\ 0 & e^{-i\alpha l} \end{pmatrix} \quad (11)$$

به کمک آن می‌توان شرط اتصال (۹) را به شکل:

$$\begin{pmatrix} A_{n+1} \\ A'_{n+1} \end{pmatrix} = D(\alpha) \begin{pmatrix} \tilde{A}_n \\ \tilde{A}'_n \end{pmatrix} \quad (12)$$

یعنی، با توجه به (۶)، به شکل:

$$\begin{pmatrix} A_{n+1} \\ A'_{n+1} \end{pmatrix} = D(\alpha) M(\alpha) \begin{pmatrix} A_n \\ A'_n \end{pmatrix} \quad (13)$$

نوشت، سپس با تکرار این معادله و بکار بردن (۷)، به دست می‌آوریم:

$$\begin{aligned} \begin{pmatrix} A_{n+1} \\ A'_{n+1} \end{pmatrix} &= [D(\alpha) M(\alpha)]^n \begin{pmatrix} A_1 \\ A'_1 \end{pmatrix} \\ &= [D(\alpha) M(\alpha)]^n \begin{pmatrix} A_0 \\ A'_0 \end{pmatrix} \end{aligned} \quad (14)$$

بالاخره شرط اتصال (۱۰) را می‌توان با استفاده از (۶) و (۱۴) به صورت زیر تبدیل نمود:

$$\begin{pmatrix} C_0 \\ C'_0 \end{pmatrix} = M(\alpha) \begin{pmatrix} A_N \\ A'_N \end{pmatrix} = M(\alpha) [D(\alpha) M(\alpha)]^{N-1} \begin{pmatrix} A_0 \\ A'_0 \end{pmatrix} \quad (15)$$

یعنی:

$$\begin{pmatrix} C_0 \\ C'_0 \end{pmatrix} = \underbrace{M(\alpha) D(\alpha) M(\alpha) D(\alpha) \dots D(\alpha) M(\alpha)}_{M(\alpha) N} \begin{pmatrix} A_0 \\ A'_0 \end{pmatrix} \quad (16)$$

در این فرمول، که به ما امکان می‌دهد تا از  $\begin{pmatrix} C_0 \\ C'_0 \end{pmatrix}$  به  $\begin{pmatrix} A_0 \\ A'_0 \end{pmatrix}$  برویم، یک ماتریس  $M(\alpha)$  برسد، و یک ماتریس  $D(\alpha)$  به فاصله بین دو سد متوالی واپس شده است.

روابط (۱۳) و (۱۴) اهمیت نقش ایفا شده توسط ماتریس:

$$Q(\alpha) = D(\alpha) M(\alpha) \quad (17)$$

را که وقتی از  $\begin{pmatrix} A_{n+1} \\ A'_1 \end{pmatrix}$  می رویم، یعنی، وقتی انتقالی یادداشته  $n!$  در طول ساختار تناوبی انجام می دهیم باتوان  $n$  ام دارد می شود، نشان می دهد. به این دلیل،  $(\alpha) Q$  را "ماتریس تقریب زنگیرمای" می نامیم از فرمول (۱۸) از مکمل  $N_{III}$  و عبارت (۱۱) برای  $D(\alpha)$ ، به دست می آید:

$$Q(\alpha) = \begin{pmatrix} e^{i\alpha I} F(\alpha) & e^{i\alpha I} G^*(\alpha) \\ e^{-i\alpha I} G(\alpha) & e^{-i\alpha I} F^*(\alpha) \end{pmatrix} \quad (18)$$

اگر طوری تغییر پایه دهیم که  $Q(\alpha)$  قطری شود، محاسبه "[ $Q(\alpha)$ ] ساده می شود، به این دلیل ویژه مقدارهای  $Q(\alpha)$  را مورد مطالعه قرار خواهیم داد.

۴ - ویژه مقدارهای  $Q(\alpha)$

فرض کنید  $\lambda$  یک ویژه مقدار  $Q(\alpha)$  باشد. معادله مشخصه ماتریس (۱۸) به صورت:

$$[e^{i\alpha I} F(\alpha) - \lambda] [e^{-i\alpha I} F^*(\alpha) - \lambda] - |G(\alpha)|^2 = 0 \quad (19)$$

یعنی، با در نظر گرفتن رابطه (۲۱) از مکمل  $N_{III}$ ،

$$\lambda^2 - 2\lambda X(\alpha) + 1 = 0 \quad (20)$$

نوشته می شود که در آن  $X(\alpha)$  عبارت است از قسمت حقیقی عدد مختلط

$$X(\alpha) = \operatorname{Re} [e^{i\alpha I} F(\alpha)] = \frac{1}{2} \operatorname{Tr} Q(\alpha) \quad (21)$$

بادآور شویم [ رک مکمل  $N_{III}$ ، رابطه (۲۱) ] که مدول  $|F(\alpha)|$  بزرگتر از ۱ است، بنابراین

همین مطلب در باره مدول  $|F(\alpha)|$  نیز صادق است.

مبین معادله درجه دوم (۲۰) عبارت است از:

$$A' = [X(\alpha)]^2 - 1 \quad (22)$$

در این صورت دو حالت ممکن است اتفاق بیفتد:

(۱) اگر انرژی  $E$  طوری باشد که:

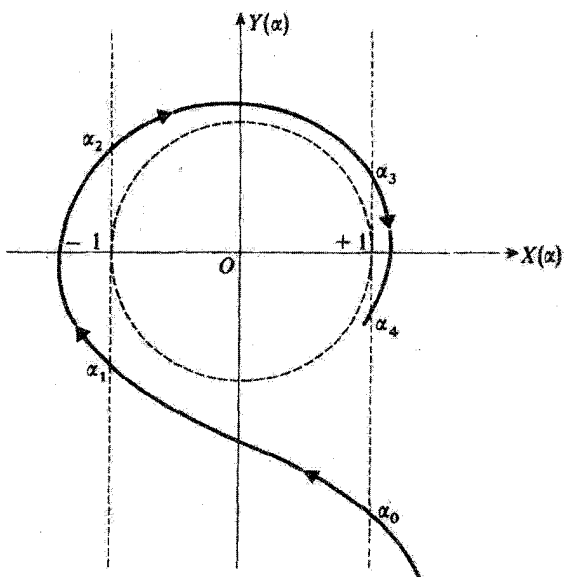
$$|X(\alpha)| \leq 1 \quad (23)$$

(به عنوان مثال، اگر در شکل ۲،  $\alpha$  بین  $\alpha_0$  و  $\alpha_1$  باشد)، می‌توان قرارداد:

$$X(\alpha) = \cos [k(\alpha)l] \quad (24)$$

: با

$$0 \leq k(\alpha) \leq \frac{\pi}{l} \quad (25)$$



شکل ۲.

تفصیرات عدد مختلط  $e^{i\alpha} F(\alpha) = X(\alpha) + iY(\alpha)$  نسبت به  $\alpha$ . چون  $|F(\alpha)| > 1$ ، منحنی به دست آمده در صفحه مختلط در خارج دایره‌ای به مرکز ۰ و شعاع واحد قرار می‌گیرد. بحث بعدی نشان می‌دهد که اگر  $|X(\alpha)|$  کوچک‌تر از ۱ باشد، یعنی اگر مقدارهای انتخاب شده نقطه‌ای از منحنی واقع بین دو خطچین قائم در شکل را بدهد، انرژی متناظر با آن در یک "سوار مجاز" قرار می‌گیرد. در مورد مخالف با آن، در یک "سوار منوع" واقع می‌شود.

سپس یک محاسبه ساده نشان می‌دهد که ویژه مقدارهای  $\alpha$  توسط رابطه زیرداده می‌شوند:

$$\lambda = e^{\pm ik(\alpha)l} \quad (26)$$

بنابراین دو ویژه مقدار همیوغ مختلط با مدول ۱ وجود دارد.

(۲) از طرف دیگر، اگر انرژی  $E$  مقداری از  $\alpha$  را بدهد که داشته باشیم:

$$|X(\alpha)| > 1 \quad (27)$$

(به عنوان مثال، اگر در شکل ۲،  $\alpha$  بین  $\alpha_1$  و  $\alpha_2$  باشد)، قرار می‌دهیم:

$$X(\alpha) = e \cosh [\rho(\alpha)l] \quad (28)$$

که در آن:

$$\rho(\alpha) \geq 0 \quad (29)$$

اگر  $X(\alpha)$  مثبت و  $-1 < e = -X(\alpha)$  منفی باشد. در این صورت داریم:

$$\lambda = e^{\pm \rho(\alpha)l} \quad (30)$$

در این مورد، هردو ویژه مقدار  $\alpha$  حقيقی، و عکس یکدیگرند.

۳- بحث فیزیکی: مفهوم نوار انرژی مجاز و نوار انرژی منوع

a- رفتار تابع موج  $\phi_\alpha(x)$

برای اعمال (۱۴)، ابتدا دوماتریس ستونی  $(\alpha) A_1$  و  $A_2(\alpha)$  وابسته به ویژه بردارهای  $\alpha$  را که بهتر ترتیب باویژه مقدارهای  $\lambda_1$  و  $\lambda_2$  متناظرند، محاسبه می‌کنیم. سپس ماتریس  $Q(\alpha)$  را به ترتیب باویژه مقدارهای  $A_1$  و  $A_2(\alpha)$  متناظرند، محاسبه می‌کنیم.

$\begin{pmatrix} A_1 \\ A'_1 \end{pmatrix}$  را بصورت زیر می‌نویسیم:

$$\begin{pmatrix} A_1 \\ A'_1 \end{pmatrix} = c_1(\alpha) A_1(\alpha) + c_2(\alpha) A_2(\alpha) \quad (31)$$

که از آن می‌توان بلا فاصله به دست آورد:

$$\begin{pmatrix} A_n \\ A'_n \end{pmatrix} = \lambda_1^{n-1} c_1(\alpha) A_1(\alpha) + \lambda_2^{n-1} c_2(\alpha) A_2(\alpha) \quad (32)$$

از این عبارت روشن است که رفتار تابع موج، بسته به‌اینکه، در قلمرو انرژی تابع موج،  $|X(\alpha)|$  بزرگتر از ۱ باشد، بسیار متفاوت است. در مورد اول، فرمول (۲۶) نشان می‌دهد که اثربور از سدهای متوالی توسط یک انتقال فاز در موج‌لهای ماتریس ستونی

$\begin{pmatrix} A_n \\ A'_n \end{pmatrix}$  نسبت به  $A_1(\alpha)$  و  $A'_1(\alpha)$  بیان می‌شود. رفتار  $(x)_\varphi$  در اینجا بادآور رفتار یک بُرهم نهش از توابع نمایی موهومی است. بر عکس، اگر انرژی طوری باشد که  $1 > |X(\alpha)|$  باشد، فرمول (۳۵) نشان می‌دهد که فقط یکی از ویژه مقدارها (به عنوان مثال،  $A_1(\alpha)$ ) مدولی بزرگتر از ۱ دارد. در نتیجه، برای "بقدر کافی بزرگ، داریم:

$$\begin{pmatrix} A_n \\ A'_n \end{pmatrix} \leq e^{n-1} e^{(n+1)\rho(x)t} c_1(\alpha) A_1(\alpha) \quad (32)$$

بنابراین،  $A_n$  و  $A'_n$  به‌طور نهائی با  $n$  افزایش می‌یابند [ بجز در مورد خاصی که  $c_1(\alpha) = 0$  باشد ] ، در این صورت مدول تابع موج  $(x)_\varphi$  با عبور از سدهای متوالی افزایش می‌یابد، و رفتارش بادآور رفتار بُرهم نهشی از توابع نمایی حقیقی است.

#### ۶- انعکاس برآگ، انرژیهای ممکن یک ذره در یک پتانسیل تناوبی

انتظار داریم که بسته به‌اینکه  $(x)_\varphi$  مانند بُرهم نهشی از توابع نمایی حقیقی یا مانند بُرهم نهشی از توابع نمایی موهومی رفتار کند، پدیده‌های حاصله بسیار متفاوت باشند. به عنوان مثال، ضریب عبور  $T_N(\alpha)$  برای  $N$  سد یکسان را محاسبه کنیم. رابطه (۱۵) نشان می‌دهد که ماتریس  $[Q(\alpha)]^{N-1}$  برای این  $N$  سد، نقش مشابهی با نقش  $M(\alpha)$  برای یک سد تنها ایفا می‌کند. برطبق رابطه (۶-۲۹) از مکمل  $N_{III}$ ، ضریب عبور  $T(\alpha)$  بر حسب عنصری از این ماتریس که در سطر اول و ستون اول قرار دارد بیان شده است [ معکوس  $T_N(\alpha)$  برابر است با مجذور مدول این عنصر ]. حال، اگر انرژی  $E$  ی ذره طوری انتخاب شده باشد که ویژه مقدارهای  $Q(\alpha)$  حقیقی باشند، یعنی، توسط (۳۰) داده شوند، چه اتفاق می‌افتد؟ وقتی  $N$  بقدر کافی بزرگ شود، ویژه مقدار  $e^{\theta(\alpha)} = \lambda_1$  غالباً می‌شود، و ماتریس  $[Q(\alpha)]^{N-1}$  به‌طور نمایی با  $N$  افزایش می‌یابد [ همان‌طوری که می‌توان از رابطه (۳۳) دید ] . در نتیجه ضریب عبور به‌طور نمایی کاهش می‌یابد:

$$T_N(x) \propto e^{-2N\rho(x)t} \quad (34)$$

دراین مورد، برای مقادیر بزرگ  $N$ ، مجموعه  $N$  سد پتانسیل عمل "بهطور قطع ذره را منعکس می‌کند. این مطلب توسط این واقعیت تشریح می‌شود که امواج پراکنده شده توسط سدهای پتانسیل مختلف، برای موج عبوری بهطور کامل "کاهنده و برای موج بازنگشی بهطور کامل" سازنده تداخل می‌کنند. از این رو می‌توان این پدیده را با انعکاس برآگ تشیب کرد. بعلاوه، توجه کنید که این تداخل کاهنده برای موج عبوری، می‌تواند حتی اگر انرژی  $E$  از ارتفاع سد بزرگتر باشد (موردی که، در مکانیک کلاسیک، ذره عبوری نمی‌کند) ایجاد شود. معذالک، اگر ضریب عبور یک سد منزوی، خیلی نزدیک به ۱ باشد، داریم  $1 \approx |F(\alpha)|$  [به عنوان مثال، در شکل ۲، اگر  $\alpha$ ، یعنی انرژی، به سمت بینهایت میل کند داریم  $1 \rightarrow |F(\alpha)|$ . در این صورت نقطه معرف عدد مختلط  $e^{i\alpha F(\alpha)}$  بسیار نزدیک به دایرہ‌ای به شاعر واحد و مرکز ۰ است. شکل ۲ نشان می‌دهد که ناحیه‌هایی از محور انرژی که در آنها  $1 > |F(\alpha)|$  است، یعنی، جائی که انعکاس کلی رخ می‌دهد، بسیار باریک‌اند و می‌توانند عمل "به عنوان مقادیر منزوی انرژی درنظر گرفته شوند. این مطلب از نظر فیزیکی توسط این واقعیت توصیف می‌شود که اگر انرژی ذره فرودی خیلی بزرگتر از دامنه تغییرات پتانسیل  $V(x)$  باشد، تکانه آن کامل "معین است، چون طول موج وابسته به آن کامل "معین است در این صورت شرط برآگ  $n = \frac{1}{2}$  (که در آن  $n$  یک عدد درست است) مقادیر کامل "معین انرژی را به دست می‌دهد.

بر عکس، اگر انرژی  $E$  ذره در محدوده‌ای قرار گیرد که در آن ویژه مقدارها، مانند (۲۶)، دارای مدول ۱ باشند، عناصر ماتریس  $[Q(\alpha)]^{N-1}$  دیگر وقتی  $N$  به سمت بینهایت میل می‌کند، به سمت بینهایت میل نخواهد گرد. تحت این شرایط، ضریب عبور  $T_N(\alpha)$  با افزایش تعداد سدها، به سمت صفر میل نمی‌کند. این بار نیز با یک پدیده "صرفان" کوانتومی مواجهیم، که به طبیعت موجی تابع موج مربوط می‌شود و باعث می‌شود که تابع موج، بدون اینکه بهطور نمائی کاهش پیدا کند، در ساختار پتانسیل تناوبی منظم انتشار یابد. مخصوصاً "توجه کنید که ضریب عبور  $T_N(\alpha)$  با حاصلضرب ضرائب عبور سدهای انفرادی بسیار متفاوت است (این حاصلضرب، وقتی  $\infty \rightarrow N$ ، به سمت صفر میل می‌کند زیرا تمام ضریبها کوچکتر از ۱ هستند).

مسئله جالب دیگری که مخصوصاً در فیزیک حالت جامد با آن مواجه می‌شویم، کوانتش ترازهای انرژی برای ذرهای است که در یک مجموعه چاههای پتانسیل یکسان و متساوی الفاصله، یعنی یک پتانسیل  $V(x)$  با یک ساختار تناوبی، قرار دارد. این مسئله دقیقاً در بخش ۳ مورد مطالعه قرار خواهد گرفت، لیکن، از همین حالا می‌توانیم شکل طیف انرژیهای ممکن را حدس بزنیم. اگر فرض کنیم انرژی ذره طوری باشد که  $1 > |X(\alpha)|$  باشد،

معادله (۳۳) نشان میدهد که وقتی  $\infty \rightarrow n$  ، ضرائب  $A_n$  و  $A'_n$  بینهایت می‌شوند . واضح است که این امکان باید مردود شمرده شود . زیرا در آن تابع موج کراندار نمی‌ماند . از این‌رو انرژیهای منتظر با آن ممنوعند ، بهاین‌دلیل ، به‌حدوده‌هائی از انرژی که برای آن  $1 > |X(\alpha)|$  است نام نوارهای ممنوع داده شده است . از طرف دیگر ، اگر انرژی‌ذره طوری باشد که  $1 < |X(\alpha)|$  باشد ، وقتی  $\infty \rightarrow n$  ،  $A_n$  و  $A'_n$  کراندار می‌مانند ، نواحی منتظر از محور انرژیها نوارهای مجاز نامیده می‌شوند . به‌طور خلاصه ، طیف انرژی تشکیل شده است از بازه‌های محدودی که تمام انرژیهای داخل آنها قابل قبولند ، و توسط نواحی‌ای که انرژیهای آنها ممنوع است از یکدیگر جدا شده‌اند .

### ۳ - کوانتش ترازهای انرژی در یک پتانسیل با ساختار تناوبی ،

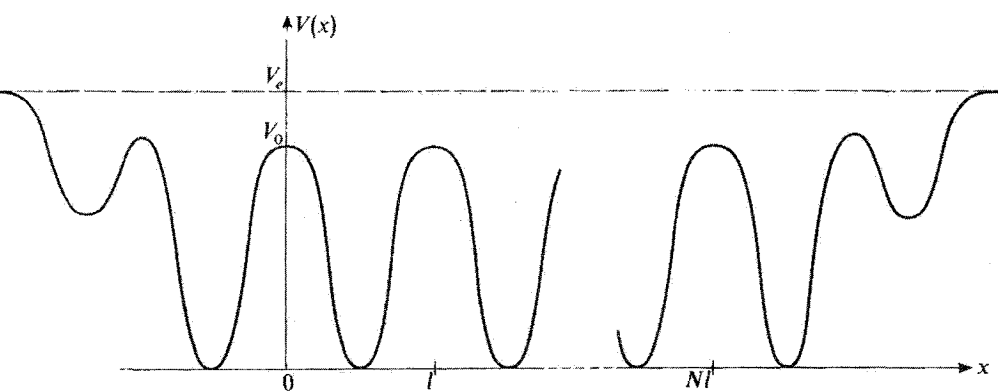
اثر شرایط مرزی

ذره‌ای به‌حجم  $m$  در نظر بگیرید که در پتانسیل  $V(x)$  نشان داده شده در شکل ۳ قرار دارد . در ناحیه  $V(x)$  ، در ناحیه  $\frac{1}{2} - \frac{l}{2} \leq x \leq NI + \frac{l}{2}$  به‌شکل یک تابع تناوبی است ، که از  $1 + N$  سد متوالی بهارتفاع  $\psi_0$  و متمرکز در  $x = 0, l, 2l, \dots, NI$  تشکیل شده است . در خارج این ناحیه ،  $V(x)$  در فاصله‌ای در حدود  $1$  تغییرات دلخواهی پیدا می‌کند ، سپس برابر مقدار ثابت مثبت  $\varepsilon$  می‌شود . در آنچه بمنابع می‌آید ، ناحیه  $[0, NI]$  "داخل شبکه" و نواحی حدی  $\frac{l}{2} - \frac{1}{2} \leq x \leq NI + \frac{l}{2}$  "دوانتها" (یا لبه‌های) شبکه" نامیده خواهند شد . از نظر فیزیکی ، یک چنین تابع  $V(x)$  ای می‌تواند معرف پتانسیلی باشد که توسط یک الکترون در یک مکول خطی یا در یک بلور (در یک مدل یک بعدی) دیده می‌شود . در این صورت چاههای پتانسیل واقع در  $\dots, \frac{3l}{2}, \frac{2l}{2}, \frac{l}{2}$   $= x$  منتظرند با جذب الکترون توسط یونهای مختلف . دور از بلور (یا مکول) ، الکترون دیگر تحت تاثیر هیچ نیروی جاذبه‌ای نیست . بهمین دلیل است که  $V(x)$  در خارج ناحیه  $\frac{l}{2} - \frac{1}{2} \leq x \leq NI + \frac{l}{2}$  به‌سرعت مقدار ثابتی می‌شود .

پتانسیل  $V(x)$  ای که انتخاب کردایم کاملاً در چارچوب مکمل  $M_{III}$  (جز تغییری در مبدأ انرژی) قرار می‌گیرد . بنا بر این ، می‌دانیم که حالت‌های مقید ذره طیف‌گسته‌ای از انرژی بدست می‌دهند که همگی کوچکتر از  $\varepsilon$  هستند . با این‌وجود ، پتانسیل  $V(x)$  انتخاب شده در اینجا دارای این ویژگی برستایی نیز هست که دارای ساختار تناوبی از نوع بررسی شده در بخش ۱ در بالا است ، با تکیه بر نتایج این بخش ، نشان خواهیم داد که نتیجه‌گیریهای مکمل  $M_{III}$  شکل خاصی در این مورد به خود می‌گیرند . به عنوان مثال ، در مکمل

$M_{III}$  این واقعیت را مورد تاکید قرار دادیم که این شرایط مرزی [ وقتی  $\pm \infty \rightarrow x$  ،  $\phi(x) \rightarrow 0$  ] هستند که کوانتش ترازهای انرژی را وارد می‌کنند. بنابراین می‌توانیم انتظار داشته باشیم که شرایط مرزی مساله‌ای که در اینجا مورد مطالعه قرار می‌دهیم، یعنی، تغییرات پتانسیل در لبه‌های شبکه، نقشی اساسی در تعیین انرژیهای ممکن ایفا کنند. در واقع، به‌هیچ‌وجه این چنین نیست: خواهیم دید که این انرژیها، عملًا فقط به مقادیر  $V(x)$  در ناحیه‌ای که تناوبی است بستگی دارند و نه به آثار لبه‌ای (البته مشروط برآنکه تعداد چاههای پتانسیل بقدر کافی زیاد باشد). بعلاوه، با نشان دادن اینکه اغلب انرژیهای ممکن در نوارهای انرژی مجاز گرد می‌آید، نتیجه‌های را که در بخش ۲ به طور مکافهای و بدون استدلال به دست آوردهیم، اثبات خواهیم کرد. تنها چند حالت مانا، جایگزینه در ترددیکی لبه‌ها، بطور جدی به تغییرات  $V(x)$  در این ناحیه بستگی دارند و می‌توانند انرژی‌ای داشته باشند که در نوار ممنوع واقع شود.

بنابراین، اساساً "مانند مکمل  $M_{III}$  عمل خواهیم کرد، و ابتدا بطور دقیق شرایطی را که به تابع موج  $\psi(x)$  یک حالت مانا تحمیل می‌شود بررسی خواهیم کرد.



شکل .۳

تغییرات پتانسیل دیده شده توسط یک الکترون در "یک بلور یک بعدی" و روی لبه‌های آن نسبت به  $x$  در داخل بلور، پتانسیل یک ساختار تناوبی دارد،  $V(x)$  بین یونها (سدهای واقع در  $x = 0, 1, 2l, \dots$ ) دارای ماسکریسم و در محل بونها (چاههای واقع در  $x = 1/2, 3l/2, \dots$ ) دارای می‌تیزم است. روی لبه‌های بلور،  $V(x)$  در مسافتی در حدود  $1$  بطور کم و بیش پیچیده‌ای تغییر می‌کند، سپس سریعاً "به مقدار ثابت  $\pm$  میل می‌کند.

## ۸ - شرایط تحمیل شده به تابع موج

در ناحیه‌ای که  $V(x)$  تناوبی است، رابطه<sup>۴</sup> (۳-۴) شکل تابع موج  $\psi(x)$  را به دست می‌دهد، ضرائب  $A_n$  و  $A'_n$  از (۳۲) تعیین می‌شوند. برای اینکه (۳۲) را صریحت‌بندی‌سیم، قرار دهیم:

$$\begin{aligned} c_1(x)A_1(x) &= \begin{pmatrix} f_1(\alpha) \\ f'_1(x) \end{pmatrix} \\ c_2(x)A_2(x) &= \begin{pmatrix} f_2(\alpha) \\ f'_2(x) \end{pmatrix} \end{aligned} \quad (35)$$

در این صورت به دست می‌آوریم:

$$\begin{aligned} A_n &= f_1(\alpha) \lambda_1^{n-1} + f_2(\alpha) \lambda_2^{n-1} \\ A'_n &= f'_1(\alpha) \lambda_1^{n-1} + f'_2(\alpha) \lambda_2^{n-1} \end{aligned} \quad (36)$$

حال، شرایط مرزی روی تابع موج  $\psi(x)$  را بررسی کنیم. در طرف چپ، دورازشی‌که  $V(x)$  برابر است با  $V_e$  و  $\psi(x)$  به صورت زیر نوشته می‌شود:

$$\varphi_x(x) = B e^{\mu(x)x} \quad (37-a)$$

با:

$$\mu(x) = \sqrt{\frac{2m}{\hbar^2}(V_e - E)} \quad (37-b)$$

(جواب<sup>۵</sup>) را که برای  $\infty \rightarrow x$  و اگر  $x$  می‌شود حذف کردی‌ایم). جریان احتمال وابسته به تابع (۳۷) صفر است (رک مکمل  $B_{III}$ ، بخش ۱). حال، برای یک حالت مانا، این جریان مستقل از  $x$  است [رک مکمل  $N_{III}$ ، رابطه (۱۴)]؛ بنابراین برای تمام  $x$ ‌ها، حتی داخل شبکه، صفر است. در نتیجه، برطبق رابطه<sup>۶</sup> (۱۴) از مکمل  $N_{III}$  از مکمل  $A_n$  و  $A'_n$  "لزوماً" دارای یک مدول هستند. بنابراین، اگر بخواهیم شرایط مرزی در طرف چپ را به صورت روابطی بین ضرائب  $A_1$  و  $A'_1$  بیان کنیم [یعنی، بندی‌سیم که عبارت  $\psi(x)$  برای

$\frac{l}{2} \leq x \leq \frac{l}{2}$  - گسترش تابع موج (۳۷) است]، رابطه‌ای به صورت زیر پیدا می‌کنیم:

$$\frac{A_1}{A'_1} = e^{i\chi(x)} \quad (38-a)$$

که  $\chi$  یک تابع حقیقی از  $x$  ( و بنابراین تابعی از انرژی  $E$  ) است که به رفتار دقیق در لبه طرف چپ شبکه بستگی دارد [ در آنچه بددنیال می‌آید ، به عبارت دقیق این تابع  $\chi$  نیازی نخواهیم داشت ، نکته اساسی این است که شرایط مرزی در طرف چپ به شکل  $a$  ( ۳۸ ) باشد ] .

همین نوع استدلال می‌تواند به طرف راست  $(x \rightarrow +\infty)$  اعمال می‌شود ، شرایط مرزی در این طرف به صورت زیر نوشته می‌شود :

$$\frac{A_{N+1}}{A'_{N+1}} = e^{i\chi(x)} \quad (38-b)$$

که در آن تابع حقیقی  $\chi$  به رفتار  $(x)$  در لبه طرف راست شبکه بستگی دارد .  
بهطور خلاصه ، می‌توان گفت که کوانتش ترازهای انرژی می‌تواند به طریق زیر به دست آید :

— ابتدا از دو ضریب  $A_1$  و  $A'_1$  که در ( ۳۸-a ) صدق می‌کنند شروع می‌کنیم ، این امر ما را مطمئن می‌سازد که تابع  $\varphi(x)$  ، وقتی  $x \rightarrow -\infty$  ، کراندار می‌ماند . چون  $\varphi(x)$  با تقریب یک ضریب ثابت تعریف می‌شود ، می‌توانیم ، به عنوان مثال ، ضرائب  $A_1$  و  $A'_1$  را به صورت زیر انتخاب کنیم :

$$A_1 = e^{i\chi(x)/2} \quad (39)$$

$$A'_1 = e^{-i\chi(x)/2}$$

— سپس ، با استفاده از ( ۳۶ ) ، ضرائب  $A_1$  و  $A'_1$  را محاسبه می‌کنیم تا تابع موج انتخاب شده را به تمام بلور گسترش دهیم . توجه کنید که از شرط ( ۳۹ ) برمی‌آید که  $\varphi(x)$  حقیقی است ( رک مکمل  $N_m$  ، بخش b-۱ ) ، بنابراین ، محاسبه  $A_1$  و  $A'_1$  باید نتیجهٔ زیر را بدهد :

$$A_n' = A_n^* \quad (40)$$

— بالاخره ، می‌نویسیم که ضرائب  $A_{N+1}$  و  $A'_{N+1}$  در ( ۳۸-b ) ، رابطه‌ای که ما را مطمئن می‌سازد که  $\varphi(x)$  برای  $x \rightarrow +\infty$  کراندار می‌ماند ، صدق می‌کنند . در واقع ، رابطهٔ ( ۴۰ ) نشان می‌دهد که نسبت  $A_{N+1}/A'_{N+1}$  خود بخود یک عدد مختلط با مدول واحد است ، بنابراین ، شرط ( ۳۸-b ) بتساوی فازهای دو عدد مختلط تقسیل می‌باشد . بدین ترتیب یک معادلهٔ حقیقی برای  $\chi$  به دست می‌آوریم که دارای تعدادی جواب حقیقی است که انرژیهای مجاز را می‌دهند .

این روش را به کارخواهیم بست ، و در عین حال بین دو مورد ، ویژه مقدارهای

حقیقی  $|Q(x)|$  موردی که در آن  $1 < |X(x)|$  است و ویژه مقدارهای موهومی [ موردی که در آن  $1 > |X(x)|$  ] ، تفاوت فائق می‌شود .

۶ - نوارهای انرژی مجاز :  
حالت‌های مانای ذره در داخل شبکه

ابتدا فرض کنید انرژی  $E$  در ناحیه‌ای باشد که در آن  $1 < |X(x)|$  .

۷ - شکل معادله کوانتش :

با در نظر گرفتن (۲۶) ، روابط (۳۶) به صورت زیر در می‌آیند :

$$\begin{cases} A_n = f_1'(x) e^{i(n-1)k(x)t} + f_2(x) e^{-i(n-1)k(x)t} \\ A'_n = f_1'(x) e^{i(n-1)k(x)t} + f_2'(x) e^{-i(n-1)k(x)t} \end{cases} \quad (41)$$

هم‌چنین دیدیم که انتخاب (۳۹) برای  $A_1$  و  $A'_1$  دلالت براین دارد که برای تمام  $n$  ها  $A'_n = A_n$  . به آسانی می‌توان نشان داد که روابط (۴۱) فقط هنگامی دو عدد مختلط همیوغ می‌دهند که داشته باشیم :

$$\begin{aligned} f_1^*(x) &= f_2'(x) \\ f_2^*(x) &= f_1'(x) \end{aligned} \quad (42)$$

در این صورت شرط (۶-۳۸) می‌تواند به صورت زیر نوشته شود :

$$\frac{f_1(x) e^{2iNk(x)t} + f_2(x)}{f_2^*(x) e^{2iNk(x)t} + f_1^*(x)} = e^{i\chi'(x)} \quad (43)$$

این معادله برای « معادله‌ای است که کوانتش ترازهای انرژی را می‌دهد . برای حل آن ، قرار دهیم :

$$\Theta(x) = \operatorname{Arg} \left\{ \frac{f_1^*(x) e^{i\chi'(x)/2} - f_2(x) e^{-i\chi'(x)/2}}{f_1(x) e^{-i\chi'(x)/2} - f_2^*(x) e^{i\chi'(x)/2}} \right\} \quad (44)$$

$\Theta(x)$  می‌تواند ، در اصل ، از  $\chi(x)$  و ماتریس  $Q(x)$  محاسبه شود . در این صورت

معادله<sup>۴۳</sup> (۴۳) می‌تواند به صورت زیر نوشته شود :

$$e^{2iNk(x)t} = e^{i\theta(\alpha)} \quad (45)$$

بنابراین، ترازهای انرژی توسط رابطه<sup>۴۴</sup> زیر داده می‌شوند :

$$k(\alpha) = \frac{\Theta(\alpha)}{2Nl} + p \frac{\pi}{Nl} \quad (46)$$

با :

$$p = 0, 1, 2, \dots, (N - 1) \quad (47)$$

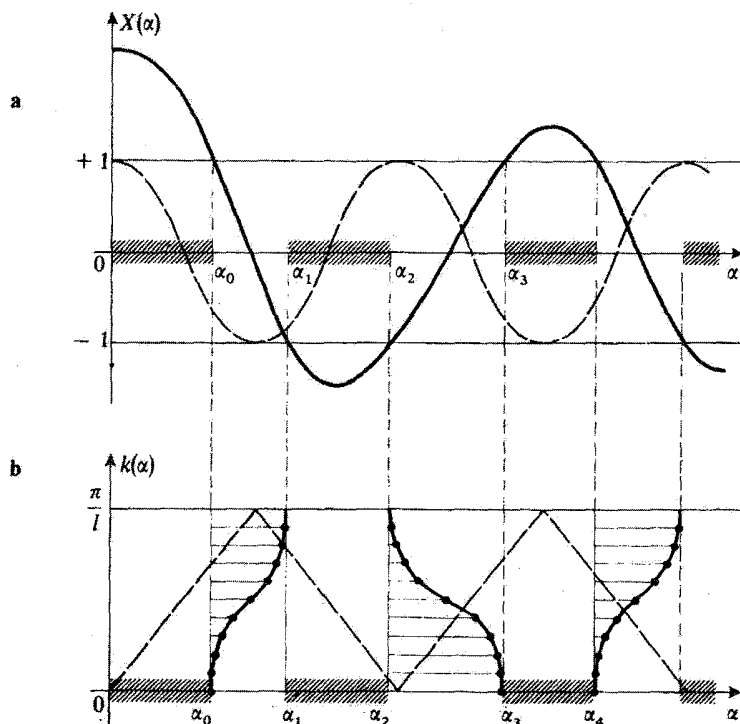
[ سایر مقادیر  $p$  باید مستثنی شوند زیرا شرط (۲۵) در اینجا  $k(\alpha)$  را وارد می‌کند که در داخل بازمای به پهنهای  $1/\pi$  تغییر کند ] . از همین حالا می‌توانیم بدهیم که اگر  $N$  بسیار بزرگ باشد، می‌توانیم معادله<sup>۴۶</sup> (۴۶) را به شکل ساده شده<sup>۴۷</sup> زیر بنویسیم .

$$k(\alpha) \simeq p \frac{\pi}{Nl} \quad (48)$$

β - حل نموداری، تعیین ترازهای انرژی

اگر تعریف (۴۶) از  $k(\alpha)$  را در (۴۶) قرار دهیم، معادله‌ای بر حسب  $\alpha$  به دست می‌آوریم که انرژیهای مجاز را به دست می‌دهد . برای حل نموداری این معادله، ابتدا منحنی نمایش تابع  $X(\alpha) = \operatorname{Re}[e^{i\alpha l} F(\alpha)]$  را رسم می‌کنیم . به علت تابع نمائی موهوسی<sup>۴۸</sup>، انتظار داریم که این منحنی دارای رفتاری نوسانی، از نوع نشان داده شده در شکل ۴ - a باشد . چون  $|F(\alpha)|$  بزرگتر از ۱ است [ رک مکمل  $N_{III}$ ، رابطه<sup>۴۹</sup> (۳۲) ]، دامنه نوسانات بزرگتر از ۱ می‌باشد، بطوری که این منحنی دو خط راست  $X(\alpha) = \pm$  را در مقادیر معین  $\alpha_0, \alpha_1, \alpha_2, \dots$  از متغیر  $\alpha$  قطع می‌کند . سپس تمام ناحیه‌هایی از محور  $\alpha$  را که توسط این مقادیر محصور می‌شوند، و برای آنها شرط  $1 < |X(\alpha)| < |F(\alpha)|$  برقرار نیست، حذف می‌کنیم . با توجه به مجموعه کمانهای منحنی‌هایی که بین ترتیب برای  $X(\alpha)$  به دست آورده‌ایم، باید تابع زیر را نشان دهیم :

$$k(\alpha) = \frac{1}{l} \operatorname{Arc cos} X(\alpha) \quad (49)$$



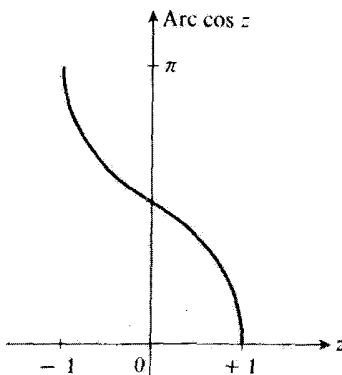
شکل ۴.

تفصیرات  $k(\alpha) = \frac{1}{l} \operatorname{Arc cos} [X(\alpha) e^{i\alpha t}]$  (شکل ۲ را به بینید) و  $[X(\alpha)]$  مقادیر  $\alpha$  (یعنی، مقادیر انرژی  $E$ ) وابسته به حالت‌ای مانا (اگر  $1 \gg N$  باشد) علاوه بر این، باقطع دادن منحنی نمایش  $k(\alpha)$  با خطوط افقی به معادلات  $y = p\pi/Nl$  ( $p = 0, 1, 2, \dots, N-1$ ) بدست می‌آید. بدین ترتیب نوارهای مجاز، هریک شامل  $N$  تراز خیلی نزدیک به یکدیگر (بازه‌های  $\alpha_1 \leq \alpha \leq \alpha_0$  و غیره) و نوارهای ممنوع (نواحی هاشورزده شده  $\alpha_2 < \alpha < \alpha_1$  و غیره) ظاهر می‌شوند.

منحنی‌های خط‌چین متناظرنده با مورد خاصی که  $V(x) = 0$  باشد (یک ذره آزاد).

با درنظر گرفتن شکل تابع آرک کسینوسی (ارک شکل ۵)، به منحنی‌ای می‌رسیم که رفتار آن در شکل b - ۴ نشان داده شده است. معادله (۴۶) می‌رساند که ترازهای انرژی متناظرنده با محل تقاطع این منحنی‌های نمایانگر توابع  $\frac{\Theta(x)}{2Nl} + p \frac{\pi}{Nl}$ ، یعنی، اگر  $1 \gg N$  باشد، با خطوطی به معادلات  $x = p \frac{\pi}{Nl}$  ( $p = 0, 1, 2, \dots, N-1$ ) رضامندند.

بدین ترتیب گروههایی از  $N$  تراز به دست می‌آوریم، که به مقادیر متساوی الفاصله  $k(\alpha)$  وابسته‌اند و در نوارهای مجازی که توسط  $\alpha_1 \leq \alpha \leq \alpha_0 \leq \alpha_2 \leq \alpha_3$  و غیره تعریف می‌شوند واقع شده‌اند. بین این نوارهای مجاز، نوارهای ممنوع قرار دارند (خواص آنها را در بخش ۳ بررسی خواهیم کرد).



شکل ۵.  
تابع آرک کسینوسی.

اگر یک نوار مجاز بخصوص را در نظر بگیریم، می‌توانیم محل هر تراز را از مقدار  $k(\alpha)$  متناظر با آن پیدا کنیم. این امر منجر به انتخاب  $k$  به عنوان متغیر و  $\alpha$  و، درنتیجه  $E$  به عنوان توابع  $\alpha(k)$  از  $k$  می‌شود. تغییرات  $\alpha$  نسبت به  $k$  مستقیماً "توضیع منحنی شکل ۶-۴" داده می‌شود، بنابراین برای بدست آوردن انرژی  $E(k)$  کافی است تابع  $\frac{\hbar^2 x^2}{2m}$  را محاسبه کنید. منحنی متناظر در شکل ۶ نشان داده شده است.

گوشزد:

شکل ۶-۴ به موضع نشان می‌دهد که، به یک مقدار معین  $k$ ، چندین مقدار  $\alpha$  و در نتیجه چندین مقدار انرژی متناظر است، به همین دلیل است که چندین مقدار انرژی متناظر است، به همین دلیل است که چندین کمان در شکل ۶ ظاهر شده است. معذلك، اگر در داخل یک نوار مجاز معین،  $\alpha(X)$  بطور یکنواخت از  $-1$  تا  $+1$  افزایش یابد (یا بطور یکنواخت از  $+1$  تا  $-1$  کاهش یابد)، تنها یک تراز انرژی به مردمدار  $k$  برای این نوار متناظر است، و این نوار شامل  $N$  تراز انرژی است.



شکل ۶.

تغییرات انرژی نسبت به فراسنج  $k$  . خطوط پرمتناظرند با اولین دونوار مجاز (مقادیر  $k$  که ترازهای انرژی را می‌دهند در داخل بازه  $0 \leq k \leq \pi/l$  ) متساوی‌الفاصله‌اند . خط چین‌ها مربوط به مورد خاصی هستند که پتانسیل  $V(x)$  صفر است (یک ذره آزاد ) ، نوارهای مجاز هم مرزاند و هیچ نوار منوعی وجود ندارد .

## ۷ . بحث

محاسبات اخیر نشان می‌دهد که چگونه ، وقتی  $N = 1$  به مقادیر بسیار بزرگ می‌رویم ، به تدریج از یک دسته ترازهای انرژی گستته به نوارهای مجاز می‌رسیم . در واقع ، این نوارها از ترازهای گستته تشکیل شده‌اند ، ولی فاصله‌آنها برای یک شبکه ماکروسکوپیکی آنقدر کوچک است که علاوه بر پیوستار تشکیل می‌دهند . وقتی  $k$  به عنوان یک فراسنج در نظر گرفته شود ، چگالی حالتها (تعداد انرژیهای ممکن در واحد بازه  $k$  ) ثابت و برابر  $Nl/\pi$  است . این خاصیت ، که بسیار مفید است ، تشریح می‌کند که چرا عموماً  $k$  را به عنوان متغیر انتخاب می‌کنیم .

در رفتن از (۴۶) به (۴۸) یک نکته مهم بروز می‌کند : وقتی  $N$  بزرگ است ، آثار لبه‌ای شبکه ، که تنها از طریق توابع  $\chi^{(\alpha)}$  و  $\chi^{(\beta)}$  در (۴۶) و (۴۸) وارد می‌شوند ، دیگر هیچ نقشی ندارند ، فقط شکل یتانسیل تناوبی در داخل شبکه است که در تعیین انرژیهای ممکن ، اهمیت دارد . دومورد حدی زیر جالب توجه است :

$$(1) \text{ اگر } V(x) = 0 \text{ (ذره آزاد) باشد ، داریم :} \\ \begin{cases} F(\alpha) = 1 \\ X(\alpha) = \cos \alpha l \end{cases} \quad (50)$$

و به دست می آوریم :

$$\begin{aligned} k(\alpha) &= \alpha & : 0 \leq \alpha \leq \frac{\pi}{l} \\ k(\alpha) &= \frac{2\pi}{l} - \alpha & : \frac{\pi}{l} \leq \alpha \leq \frac{2\pi}{l} \\ && \text{اگر ... وغیره...} \end{aligned} \quad (51)$$

(خط شکسته منتاظر در شکل b - ۴ به صورت خط چین نمایش داده شده است). رابطه (۵۰) نشان می دهد که شرط  $1 \leq |X(\alpha)|$  همواره برقرار است: همان طور که می دانیم، برای یک ذره آزاد نوار من نوع وجود ندارد.

بنابراین شکل ۶ بهما امکان می دهد تا اثر پتانسیل  $V(x)$  روی منحنی  $E(k)$  را به بینیم. وقتی نوارهای من نوع ظاهر می شوند، منحنی های معرف انرژی طوری تغییر شکل می یابند که بوابی  $0 = k = \pi/l$  (لبه های نوار) مماسهای افقی داشته باشند. برخلاف آنچه برای یک ذره آزاد رخ می دهد، هرجا انرژی بطور خطی با  $k$  تغییر کند، برای هونوار یک نقطه عطف وجود دارد.

(۲) اگر ضریب عبور  $T(\alpha)$  عمل " صفر باشد، داریم [ رک مکمل  $N_{III}$  ، معادلات :

$$\begin{cases} |F(\alpha)| \gg 1 \\ |G(\alpha)| \gg 1 \end{cases} \quad (52)$$

در شکل ۲، نقطه معرف عدد مختلط  $F(\alpha)$  خیلی از مبدأ دوراست. بدین ترتیب در این شکل ملاحظه می کنیم که ناحیه هایی از محور  $\alpha$  ها که برای آنها  $< |X(\alpha)|$  است، فوق العاده باریکند. بنابراین، اگر ضریب عبور سدهای جزئی کاهش یابد، نوارهای مجاز منقبض می شوند، در حد عبور صفر، به ترازهای منفرد در یک چاه منزوی تبدیل می شوند. بر عکس به مجرد اینکه اثر تونل عبور ذره از یک چاه به چاه بعدی را اجازه دهد، هریک از ترازهای گستته، حله به یک نوار انرژی تبدیل می شود، که پنهانی آن با افزایش ضریب عبور افزایش می یابد. در مکمل  $F_X$  باین خاصیت برخواهیم گشت.

## ۶ - نوارهای ممنوع: حالت‌های مانای جایگزینده روی لبه‌ها

۷. شکل معادلات، ترازهای انرژی.

حال فرض کنیم که  $\alpha$  به محدوده‌ای که در آن  $|X(\alpha)| > 1$  است متعلق داشته باشد. در این صورت، برطبق (۳۰)، رابطه (۳۶) می‌تواند به صورت زیر نوشته شود:

$$\begin{cases} A_n = e^{n-1} [f_1(\alpha) e^{(n-1)\rho(\alpha)t} + f_2(\alpha) e^{-(n-1)\rho(\alpha)t}] \\ A'_n = e^{n-1} [f'_1(\alpha) e^{(n-1)\rho(\alpha)t} + f'_2(\alpha) e^{-(n-1)\rho(\alpha)t}] \end{cases} \quad (53)$$

این واقعیت که برای تمام  $n$  ها  $A'_n = A_n^*$  است می‌رساند که در اینجا باید داشته باشیم:

$$\begin{cases} f'_1(\alpha) = f_1^*(\alpha) \\ f'_2(\alpha) = f_2^*(\alpha) \end{cases} \quad (54)$$

سپس شرط کوانتش (۳۸-۳۹) به صورت زیر در می‌آید:

$$\frac{A_{N+1}}{A'_{N+1}} = \frac{f_1(\alpha) + f_2(\alpha) e^{-2N\rho(\alpha)t}}{f_1^*(\alpha) + f_2^*(\alpha) e^{-2N\rho(\alpha)t}} = e^{i\chi'(\alpha)} \quad (55)$$

یعنی:

$$e^{-2N\rho(\alpha)t} = L(\alpha) \quad (56)$$

که تابع حقیقی  $L(\alpha)$  به صورت زیر تعریف می‌شود:

$$L(\alpha) = - \frac{f_1^*(\alpha) e^{i\chi'(\alpha)/2} - f_1(\alpha) e^{-i\chi'(\alpha)/2}}{f_2^*(\alpha) e^{i\chi'(\alpha)/2} - f_2(\alpha) e^{-i\chi'(\alpha)/2}} \quad (57)$$

موردی را که در آن  $1 \gg N$  است در نظر بگیریم، در این صورت  $0 \approx e^{-2N\rho(\alpha)t}$  و معادله (۵۶) به صورت زیر در می‌آید:

$$L(\alpha) = 0 \quad (58)$$

بنابراین، ترازهای انرژی واقع در نوارهای ممنوع توسط صفرهای تابع  $L(\alpha)$  داده می‌شوند (رک شکل ۷).  $N$  نه در (۵۷) وارد می‌شود و نه در (۵۸)، بنابراین تعداد این ترازها به  $N$  بستگی ندارد (برخلاف تعداد ترازهای واقع در یک نوار مجاز)، در نتیجه، وقتی  $1 \gg N$  باشد، می‌توان گفت که عملاً "تمام ترازها در نوارهای مجاز جمع شده‌اند".

## ۷ . بحث

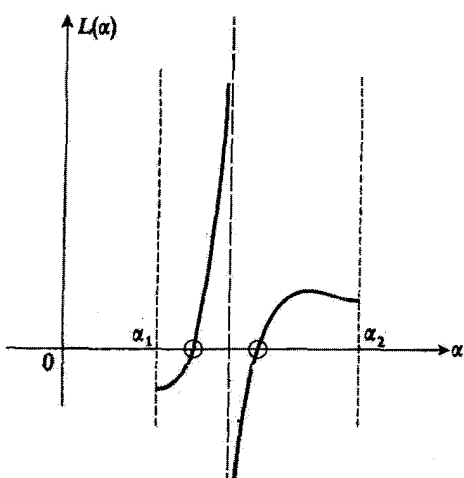
وضعیت اینجا به طور ریشه‌ای با وضعیت بخش  $\theta$  تفاوت دارد: تعداد  $N$ ، یعنی، طول شبکه هیچ نقشی ندارد (مشروط برآنکه بحد کافی بزرگ باشد)، از طرف دیگر، تعریف (۵۷) برای  $L(\alpha)$  نشان می‌دهد که توابع  $\chi(\alpha)$  و  $\chi'(\alpha)$  نقشی اساسی در مساله ایفا می‌کنند. چون از قبیل می‌دانیم که این توابع بعرفتار  $(x)$  و در لبه‌های شبکه بستگی دارند، انتظار داریم حالتها را که در این نواحی جایگزیده‌اند به دست آوریم.

حققاً "این چنین است، معادلات (۵۷) و (۵۸) دو امکان ارائه می‌دهند:

(۱) اگر  $0 = f_1(\alpha)$  باشد، واقعیت  $0 = L(\alpha)$  ایجاب می‌کند که:

$$\frac{f_1(\alpha)}{f'_1(\alpha)} = \frac{f_1(\alpha)}{f'_1(\alpha)} = e^{i\chi'(\alpha)}. \quad (۵۹)$$

حال به تعریف (۳۵) از  $f_1(\alpha)$  و  $f'_1(\alpha)$  بروگردیم، رابطه (۵۹) نشان می‌دهد که تابع موج ساخته شده از اولین ویژه بردار  $(\alpha)$  در شرایط مرزی طرف راست صدق می‌کند. این را به سادگی می‌توان فهمید: اگر در  $x = 0$  با یک تابع موج دلخواه که در شرایط مرزی طرف چپ صدق می‌کنند، شروع کنیم، ماتریس  $\begin{pmatrix} A_1 \\ A'_1 \end{pmatrix}$  روی دو ویژه بردار  $(\alpha)$  دارای مولفه است، در این صورت ضرائب  $A_{N+1}$  و  $A'_{N+1}$  (اگر  $1 \gg N$  باشد) توسط (۳۳) که بطبق آن ماتریس  $\begin{pmatrix} A_{N+1} \\ A'_{N+1} \end{pmatrix}$  با ماتریس ستونی اولین ویژه بردار  $(\alpha)$  متناسب است، داده می‌شود.



شکل ۷

تفییرات  $L(\alpha)$  نسبت به  $\alpha$  در یک نوار منوع. صفرهای  $L(\alpha)$  حالتها مانایی را که روی لبه‌های شبکه جایگزیده‌اند به دست می‌دهند.

توجه کنید که چون ویژه مقدار  $\lambda_1(\alpha)$  بزرگتر از ۱ است، نابع موج بطور نمایی با  $x$  افزایش می‌یابد. بنابراین حالت مانائی که توسط اولین ویژه بردار  $\varphi(\alpha)$  داده می‌شود در انتهای طرف راست شبکه جایگزیده است.

(۲) اگر  $f_1(\alpha) = 0$  باشد، رابطه (۵۴) می‌دهد  $f'_1(\alpha) = 0$  و تعاریف (۳۵) ایجاب می‌کند که  $\psi(\alpha) = 0$  : حالت مانای متناظر به ویژه بردار دوم  $\varphi(\alpha)$  وابسته است، صرفنظر از اینکه این حالت در انتهای طرف چپ شبکه جایگزیده است، نتایج به دست آمده در (۱) معتبر می‌ماند.

#### مراجع و پیشنهادات برای مطالعه بیشتر:

Merzbacher (1.16), chap. 6, §7; Flügge (1.24), §§28 and 29; Landau and Lifshitz (1.19), §104; see also solid state physics texts (section 13 of the bibliography).

## فهرست راهنمای

الف	
ام ثیدرزن	
مدل بوهر	۶۴
نظریه کوانتومی	(۴۸۶،۹۹،۵۱)
اثر تونل،	
احتمال	
یک نتیجه، اندازه‌گیری	(۲۹۸،۲۰۲۶)
دامنه	۳۵۷،۳۴۹،۲۶
جریان و چگالی	۴۶۸،۴۴۸،۳۸۶،۳۲۰،۲۶
آزمایش دوشکاف یانگ	۱۴
نرده‌ای (ضرب)	۲۲۸،۲۰۴،۱۵۰،۱۴۶،۱۲۵،۲۵
اصول موضوع فایمن	۴۵۸
اصول موضوع (کلی)	۲۹۶
الحاقی (عملگر)	۱۶۲
الکترومغناطیس (میدانها و پتانسیل)	۴۳۱
امواج	
تابع موج	۳۱۲،۲۰۲،۱۲۹،۲۵
میرا	۳۸۹،۱۱۰،۱۰۰،۹۶،۵۱
تحت	۱۳۸،۳۶،۳۰
T میزه (اختلال)	۴۱۱،۴۰۶،۳۵۵
ماری حالتها	
انتشار دهنده	۴۵۵
اندازه‌گیری	
اصول موضوع کلی	۳۱۲،۲۹۶
حالت بعد از اندازه‌گیری	۳۱۲،۲۰۵
روی قسمتی از یک دستگاه فیریکی	۳۹۷
انرژی (ر.ک. پایستگی، عدم قطعیت)	
انرژی بونش (ر.ک. هیدروژن)	
اینشتین	
روابط پلانک-اینشتین	۱۳
پارادوکس اینشتین، پادولسکی،	
روزن	۴۰۳
انعکاس برآک	۵۰۷
ب	
برا	۱۷۲،۱۵۱
بسته‌وجهای	
کلی	۲۹
انتشار	۲۳۶،۸۵،۳۹
گسترش	۴۶۷،۸۷
می‌نیم	۳۹۵
گوسی آزاد	۸۲
در یک پله پتانسیل	۱۰۲
در یک چاه پتانسیل	۳۷۸
دوبعدی	۷۳
سه‌بعدی	
تقلیل سنته، موج	۳۱۲،۳۱۰،۳۰۴
سته موجهای می‌نیم	۲۹۵
بوهر	
فرکانس	۲۴۵
مدل	۶۲
برهم نهش	
اصل	۳۴۹،۳۲۷،۲۹۶،۱۹
همدوسي	۴۱۴

منظم و تصادفی	۲۷۹	خطی	۶۰۴،۳۵۰
پاریته	۲۷۴	برهم سهش همدوس حالتها	۶۰۴،۳۹۴
تیهگی اساسی (یا منظم)	۲۷۹	پ	
تحول		باریته (علگر)	۱۶۶
بردار حالت	۲۰۷	پایستگی	
مقدار متوسط	۲۳۲	احتمال	۲۲۹،۳۲۸
عملگر	۴۲۲	انرژی	۴۴۱،۳۲۸
تداخلها	۳۴۹،۶۸۰،۱۴	پایه راست هنجار	۱۹۰،۱۶۹،۱۴۷،۱۴۴،۱۲۳
ترازها (انرژی)	۴۷۹،۱۰۳	پایه‌ها (فضای حالت)	
تصویرگرها	۲۶۵،۲۲۳،۱۵۹،۱۵۳،۱۹۱،۱۵۸	گستره	۱۶۸،۱۲۳
تحادل ترمودینامیکی (کلیات)	۴۱۶	پیوسته	۱۶۹،۱۴۴
تغییرناپذیری (بیمانی)	۴۲۱	مخلوط	۱۴۵
تقلیل بسته، موج	۳۸۴،۳۶۷،۰۳۱۲۰،۳۰۴	روابط سرشتی	۱۷۲،۱۴۷
تکانه	۴۴۰،۴۳۴،۳۰۸،۰۲۹۴	پتانسیل	
همیوغ	۳۱۱،۰۲۹۴	عملگر	۲۳۶
تکانه راویه‌ای ذاتی (ز.ک. اسین)		نرده‌های	۴۳۱،۰۲۱۰
تکانه مکانیکی	۴۴۱،۰۴۳۵،۰۲۱۱،۰۲۹۵	نتاولی	۴۹۸
ث		پتانسیلهای مربعی	۳۸۶،۰۲۷۳،۰۱۰۷،۹۰۰۴۸
ثابت‌های حرکت	۴۲۸،۰۲۴۱	برآکندگی تشدیدی	۹۹
ج		پلاسک	
جابجایی		رابطه، پلانک اینشتین	۲۵۰،۱۴
روابط بندادی	۳۰۸،۰۲۰۸	ثابت	
سازگاری و جابجایی پذیری	۳۲۰	پله پتانسیل	۳۸۷،۰۱۰۷،۹۳۰،۵۰
جابجایگرها	۲۴۱،۰۲۳۷،۰۲۲۲	پودولکی	
جاده (فضا - زمان)	۴۵۶	(پارادوکس اینشتین - پودولسکی - روزن)	۴۰۳
جامدات (نوار انزوی الکترونها)	۵۱۳،۰۵۰۶	پهنهای طبیعی	۴۶۴
جریان احتمال	۴۶۹،۰۴۴۸،۰۳۸۶،۰۳۲۹	پیمانه	۴۳۱
ح		ت	
حال		تابع دلتا	
بردار	۳۲۵،۰۲۹۴،۰۱۴۸	استفاده در مکانیک کوانتومی	۳۸۴،۰۱۵۳،۰۳۴۱
حالت پایه	۴۸۴،۰۶۴	جهاه‌اوسد های تابع دلتا	۱۲۰،۰۱۱۹،۰۱۱۸،۰۱۱۷
حالت خاص	۴۰۷	تابع (موج)	۳۱۲،۰۲۰،۰۱۲۹،۰۲۵
حالتهای مانا	۳۳۹،۰۹۰،۰۴۳	تیهگی	
یک حالت ذره در یک پتانسیل دلخواه	۴۷۸	ویژه مقدار	۳۶۶،۰۳۰۰،۰۱۸۲

(ر.ک. سرعت)	یک ذره در یک پتانسیل متناوب ۴۹۸
ش	دامنهای احتمال ۳۵۷، ۳۴۹
شرایط مرزی ۴۷۹، ۵۰۹	دستگاههای پایستار ۴۲۴
شرط فاز مانا ۷۸، ۰۲۵	دوبروی دوبروی ۵۷، ۰۲۴
ض	رابطه دوبروی ۵۷، ۰۲۴
ضرب	طول موج دوبروی ۵۷، ۰۲۴
نردهای ۱۳۵، ۱۳۰، ۱۴۶، ۱۵۰، ۱۲۵، ۲۲۸، ۲۰۴	دوگانگی موج - ذره ۶۸، ۵۷، ۰۱۴
عملکرها ۱۷۵، ۱۲۲	دیدگاه برهمنکش ۴۷۴
ضرب ناسوری	دیدگاه شروبدینگر ۴۲۷
تعريف و خواص ۲۱۱	دیدگاه شروبدینگر - هایزیرگ ۴۲۷
کاربردها ۳۷۶	ذ
حالات ۴۲۰، ۴۰۰	ذره آزاد ۴۹
ط	حالتهای مانا نکانه کاملانه معین ۳۶
طول عمر ۴۶۱	بستههای موج ۴۶۷، ۸۲، ۳۹
طول موج دوبروی ۵۷، ۰۲۵	ذ
طیف پیوسته ۳۶۵، ۳۰۱، ۱۸۹	رابطه بستاری ۱۶۹، ۱۲۶
طیف یک مشاهده پذیر ۲۹۹، ۱۸۲	رابطه پارسوال - بسل ۳۷
پیوسته ۳۶۵، ۳۰۲، ۱۹۱	ذ
ع	یک عملکر ۲۲۵
عدد گوانسومی خوب ۳۴۳	رد جزئی ۴۱۷
عملکرها	روابط حاچابی بندادی ۳۵۸، ۳۰۸
تعريف ۱۰۷، ۱۳۱	روابط عدم قطعیت
خواص عمومی ۲۳۵	هایزیرگ ۳۸، ۳۱۹، ۷۹، ۶۹، ۶۴، ۶۱
معادله ویژه مقدار، قطری کردن ۲۱۹، ۱۸۱	زمان - انرژی ۳۴۶
نمایش ۱۷۴	ذ
هرمیتی ۱۸۸، ۱۶۷	زاکویی (ر.ک. هامیلتونی)
یکانی ۴۲۴، ۲۲۴	س
تابع یک عملکر ۲۳۴	سد پتانسیل
چگالی ۲۱۷	مرتعی ۴۹۶، ۵۱، ۰۵۰
تحول ۴۲۲	سرعت
باریته ۲۶۶	ماز ۶۰، ۰۲۹
استقلال ۲۶۳	گروه ۸۷، ۷۹، ۶۰، ۴۱
ف	تعمیم یافته ۲۹۴
فوتوسها ۱۲	سرعت گروه

معادلات هامیلتون - زاکوی	۲۹۴	ق
مقدار متوسط یک مشاهده‌پذیر	۳۲۲۰۳۱۴	قضیه اهرنفست
مکمل	۶۹	۴۲۰، ۳۳۴
موج تحت	۱۳۸، ۳۶، ۳۵	قضیه ویریال
موج میرا	۲۸۹، ۱۱۰، ۱۰۰، ۹۶، ۵۱	۴۷۵
ن		قطری کردن یک عملگر
نایابداری	۳۶۲	۱۹۴
نامساوی شوارتز	۲۲۸	قواعد انتخاب برای یک عملگر زوج یا فرد
نسبت تزیرو-مغناطیسی الکترون (اسین)	۵۲۱	۲۷۰
نمادگذاری دیراک	۱۴۸	ک
نمایش	۱۶۸	کش
نمایش		۴۵۸
کلیات		کش (ر.ک. حالت)
مکان و نکانه	۲۵۳، ۲۰۵	۱۷۲، ۱۴۹
نوارهای مجاز	۵۱۲۰، ۵۵۶	کوانتش
نوارهای مجاز یا منوع	۵۱۹، ۵۱۳، ۵۰۶	قواعد
ه		۳۱۲۰۳۰۷
هامیلتونی	۲۲۸۰۳۱۷	انرژی
یک ذره در یک پتانسیل تردیده‌ای	۳۰۹	۴۷۹، ۱۰۴، ۵۲۰، ۲۴۰، ۱۲
یک ذره در یک پتانسیل برداری	۴۴۰، ۴۳۲، ۳۱۰	نتایج اندازه‌گیری
هایزینبرگ		۲۱۲۰۲۹۷، ۲۱
رابطه عدم قطعیت هایزینبرگ	۶۴، ۴۱، ۳۸	گ
		گسل خود بخود
		۴۶۲
		گسترش بسته موج
		۴۶۷، ۸۷
ل		لاگرانژی یک ذره در یک میدان الکترو-مغناطیسی
		۴۳۴
ه		م
		ماتریس، ماتریسها
		۱۷۵، ۱۷۲
		الحاقی
		۱۷۸
		هرمیتی
		۱۷۸
		یکای
		۲۴۷
		مقتران سازی مشاهده پذیرها
		۳۰۹
		مجموعه‌کامل مشاهده پذیرهای جابجا‌بی پذیر
		(م. ک. م. ج) (۲۲۶، ۲۸۵، ۲۲۰، ۱۹۷)
		مشاهده پذیر
		۲۹۷، ۱۹۲
		اندازه‌گیری
		۲۱۲، ۲۹۷
		کوانتش
		۳۰۷
		که جابجاگران برابر است با
		۲۵۹، ۳۹۴
		مشاهده پذیرهای سازکار
		۳۲۰
		معادله سرنشی یک عملگر
		۱۸۵
		معادله شروذینگر
		۴۰۹، ۳۲۷، ۳۰۷، ۲۵
		در نمایش مکانی و نکانه‌ای
		۲۵۸، ۲۵۵
		جواب برای دستگاه پایسته
		۳۳۹
		معادلات لاگرانژ
		۲۹۴